

# Sirius

by **James B. Kaler**

with **John H. Biehl**

and **John J. Ebert**

with **John J. Ebert**

with **John J. Ebert**

with **John J. Ebert**

with **John J. Ebert**

with **John J. Ebert**

with **John J. Ebert**

with **John J. Ebert**

with **John J. Ebert**

with **John J. Ebert**

with **John J. Ebert**

with **John J. Ebert**

with **John J. Ebert**

with **John J. Ebert**

with **John J. Ebert**

with **John J. Ebert**

with **John J. Ebert**

with **John J. Ebert**

with **John J. Ebert**

with **John J. Ebert**

with **John J. Ebert**

with **John J. Ebert**

with **John J. Ebert**

with **John J. Ebert**

with **John J. Ebert**

with **John J. Ebert**

with **John J. Ebert**

with **John J. Ebert**

with **John J. Ebert**

with **John J. Ebert**

AT 10

49 1-2-45

AM  
8

PHILLIPS LIBRARY

OF

HARVARD COLLEGE OBSERVATORY.

SIRIUS

†

(1908)

# SIRIUS.



**Zeitschrift für populäre Astronomie.**

**Zeitschrift für Freunde und Förderer der Einzelbände.**

Herausgegeben unter Mitwirkung  
hervorragender Fachkünstler und astronomischer Schriftsteller

von

Prof. Dr. Hermann J. Klein  
in Köln-Deutsches.

—————

41. Band oder neun Folgen 48. Band  
1904.



Edard Heinrich Mayer  
Verlagsbuchhandlung  
LEIPZIG, Neßstraße 16



## Inhaltsverzeichnis

100

Volume 10 Number 1 March 2000

Bitte Folien der Veranstaltung in Doppel-  
druck 150.

Der weltliche Vorkurs der chemischen Elementen: Grundlagen und der Exkurs. 2000.

Einfache Methode der Zeit des Durchgangs der Sonne durch den Meridian zu bestimmen. 276.

1000

Meine spezialisierte Doppeldecker. 31  
Die Fotografergesellschaft des Regiments  
von 1 um großen Fluss. 33

100

Untersuchungen über das Spielern der  
Mosaik Nr. 2 von  
Tessalonika 143

New Contributions to Philosophy  
1986, 1987

Die Informationspflichten der geschäftlichen und unternehmerischen Kommunikation 179

**Synchronisation:** Doppelstunden, die an verschiedenen Observatorien unter Beobachtung stehen. (20)

Das Modul des Doppelstroms 70 Optimal

Der photographische Standard von J.  
Mollat und H. Wollat 1966.

Der Name des spezialisierten Doppel-  
systems ist **Lehrstuhl**. 118

Wird Bestimmung der Radiogucken möglich?  
von Herrn der 2. und 3. Spalten  
Masse, ausgeführt auf der Strömung zu  
Bonn. 1910.

[illegible]

1998, 1999, 2000, 2001, 2002, 2003, 2004, 2005, 2006, 2007, 2008, 2009, 2010, 2011, 2012, 2013, 2014, 2015, 2016, 2017, 2018, 2019, 2020, 2021, 2022, 2023, 2024, 2025, 2026, 2027, 2028, 2029, 2030, 2031, 2032, 2033, 2034, 2035, 2036, 2037, 2038, 2039, 2040, 2041, 2042, 2043, 2044, 2045, 2046, 2047, 2048, 2049, 2050, 2051, 2052, 2053, 2054, 2055, 2056, 2057, 2058, 2059, 2060, 2061, 2062, 2063, 2064, 2065, 2066, 2067, 2068, 2069, 2070, 2071, 2072, 2073, 2074, 2075, 2076, 2077, 2078, 2079, 2080, 2081, 2082, 2083, 2084, 2085, 2086, 2087, 2088, 2089, 2090, 2091, 2092, 2093, 2094, 2095, 2096, 2097, 2098, 2099, 2100, 2101, 2102, 2103, 2104, 2105, 2106, 2107, 2108, 2109, 2110, 2111, 2112, 2113, 2114, 2115, 2116, 2117, 2118, 2119, 2120, 2121, 2122, 2123, 2124, 2125, 2126, 2127, 2128, 2129, 2130, 2131, 2132, 2133, 2134, 2135, 2136, 2137, 2138, 2139, 2140, 2141, 2142, 2143, 2144, 2145, 2146, 2147, 2148, 2149, 2150, 2151, 2152, 2153, 2154, 2155, 2156, 2157, 2158, 2159, 2160, 2161, 2162, 2163, 2164, 2165, 2166, 2167, 2168, 2169, 2170, 2171, 2172, 2173, 2174, 2175, 2176, 2177, 2178, 2179, 2180, 2181, 2182, 2183, 2184, 2185, 2186, 2187, 2188, 2189, 2190, 2191, 2192, 2193, 2194, 2195, 2196, 2197, 2198, 2199, 2200, 2201, 2202, 2203, 2204, 2205, 2206, 2207, 2208, 2209, 2210, 2211, 2212, 2213, 2214, 2215, 2216, 2217, 2218, 2219, 2220, 2221, 2222, 2223, 2224, 2225, 2226, 2227, 2228, 2229, 2230, 2231, 2232, 2233, 2234, 2235, 2236, 2237, 2238, 2239, 2240, 2241, 2242, 2243, 2244, 2245, 2246, 2247, 2248, 2249, 2250, 2251, 2252, 2253, 2254, 2255, 2256, 2257, 2258, 2259, 2260, 2261, 2262, 2263, 2264, 2265, 2266, 2267, 2268, 2269, 2270, 2271, 2272, 2273, 2274, 2275, 2276, 2277, 2278, 2279, 2280, 2281, 2282, 2283, 2284, 2285, 2286, 2287, 2288, 2289, 2290, 2291, 2292, 2293, 2294, 2295, 2296, 2297, 2298, 2299, 2300, 2301, 2302, 2303, 2304, 2305, 2306, 2307, 2308, 2309, 2310, 2311, 2312, 2313, 2314, 2315, 2316, 2317, 2318, 2319, 2320, 2321, 2322, 2323, 2324, 2325, 2326, 2327, 2328, 2329, 2330, 2331, 2332, 2333, 2334, 2335, 2336, 2337, 2338, 2339, 2340, 2341, 2342, 2343, 2344, 2345, 2346, 2347, 2348, 2349, 2350, 2351, 2352, 2353, 2354, 2355, 2356, 2357, 2358, 2359, 2360, 2361, 2362, 2363, 2364, 2365, 2366, 2367, 2368, 2369, 2370, 2371, 2372, 2373, 2374, 2375, 2376, 2377, 2378, 2379, 2380, 2381, 2382, 2383, 2384, 2385, 2386, 2387, 2388, 2389, 2390, 2391, 2392, 2393, 2394, 2395, 2396, 2397, 2398, 2399, 2400, 2401, 2402, 2403, 2404, 2405, 2406, 2407, 2408, 2409, 2410, 2411, 2412, 2413, 2414, 2415, 2416, 2417, 2418, 2419, 2420, 2421, 2422, 2423, 2424, 2425, 2426, 2427, 2428, 2429, 2430, 2431, 2432, 2433, 2434, 2435, 2436, 2437, 2438, 2439, 2440, 2441, 2442, 2443, 2444, 2445, 2446, 2447, 2448, 2449, 2450, 2451, 2452, 2453, 2454, 2455, 2456, 2457, 2458, 2459, 2460, 2461, 2462, 2463, 2464, 2465, 2466, 2467, 2468, 2469, 2470, 2471, 2472, 2473, 2474, 2475, 2476, 2477, 2478, 2479, 2480, 2481, 2482, 2483, 2484, 2485, 2486, 2487, 2488, 2489, 2490, 2491, 2492, 2493, 2494, 2495, 2496, 2497, 2498, 2499, 2500, 2501, 2502, 2503, 2504, 2505, 2506, 2507, 2508, 2509, 2510, 2511, 2512, 2513, 2514, 2515, 2516, 2517, 2518, 2519, 2520, 2521, 2522, 2523, 2524, 2525, 2526, 2527, 2528, 2529, 2530, 2531, 2532, 2533, 2534, 2535, 2536, 2537, 2538, 2539, 2540, 2541, 2542, 2543, 2544, 2545, 2546, 2547, 2548, 2549, 2550, 2551, 2552, 2553, 2554, 2555, 2556, 2557, 2558, 2559, 2560, 2561, 2562, 2563, 2564, 2565, 2566, 2567, 2568, 2569, 2570, 2571, 2572, 2573, 2574, 2575, 2576, 2577, 2578, 2579, 2580, 2581, 2582, 2583, 2584, 2585, 2586, 2587, 2588, 2589, 2590, 2591, 2592, 2593, 2594, 2595, 2596, 2597, 2598, 2599, 2600, 2601, 2602, 2603, 2604, 2605, 2606, 2607, 2608, 2609, 2610, 2611, 2612, 2613, 2614, 2615, 2616, 2617, 2618, 2619, 2620, 2621, 2622, 2623, 2624, 2625, 2626, 2627, 2628, 2629, 2630, 2631, 2632, 2633, 2634, 2635, 2636, 2637, 2638, 2639, 2640, 2641, 2642, 2643, 2644, 2645, 2646, 2647, 2648, 2649, 2650, 2651, 2652, 2653, 2654, 2655, 2656, 2657, 2658, 2659, 2660, 2661, 2662, 2663, 2664, 2665, 2666, 2667, 2668, 2669, 2670, 2671, 2672, 2673, 2674, 2675, 2676, 2677, 2678, 2679, 26

## Introduction

Der Komet 1958 vor der Sonneneichel, 14.  
Aufnahme des Heliographen Kometen, 42  
Die Identität der Kometen 1973 und  
1975, 43

Page 10 of 10

1000

Pharmazeutischer Auszubildender des Handwerks  
d. H.M. (Dresden, 1986)

Das Hauptinteresse: Wiederkehr des Halley-  
schen Kometen 179

Das Institut für Erhebungen des Hallwiler Kantons 226

1998, 1999, 2000, 2001, 2002, 2003, 2004, 2005, 2006, 2007, 2008, 2009, 2010, 2011, 2012, 2013, 2014, 2015, 2016, 2017, 2018, 2019, 2020, 2021, 2022, 2023, 2024, 2025, 2026, 2027, 2028, 2029, 2030, 2031, 2032, 2033, 2034, 2035, 2036, 2037, 2038, 2039, 2040, 2041, 2042, 2043, 2044, 2045, 2046, 2047, 2048, 2049, 2050, 2051, 2052, 2053, 2054, 2055, 2056, 2057, 2058, 2059, 2060, 2061, 2062, 2063, 2064, 2065, 2066, 2067, 2068, 2069, 2070, 2071, 2072, 2073, 2074, 2075, 2076, 2077, 2078, 2079, 2080, 2081, 2082, 2083, 2084, 2085, 2086, 2087, 2088, 2089, 2090, 2091, 2092, 2093, 2094, 2095, 2096, 2097, 2098, 2099, 2100, 2101, 2102, 2103, 2104, 2105, 2106, 2107, 2108, 2109, 2110, 2111, 2112, 2113, 2114, 2115, 2116, 2117, 2118, 2119, 2120, 2121, 2122, 2123, 2124, 2125, 2126, 2127, 2128, 2129, 2130, 2131, 2132, 2133, 2134, 2135, 2136, 2137, 2138, 2139, 2140, 2141, 2142, 2143, 2144, 2145, 2146, 2147, 2148, 2149, 2150, 2151, 2152, 2153, 2154, 2155, 2156, 2157, 2158, 2159, 2160, 2161, 2162, 2163, 2164, 2165, 2166, 2167, 2168, 2169, 2170, 2171, 2172, 2173, 2174, 2175, 2176, 2177, 2178, 2179, 2180, 2181, 2182, 2183, 2184, 2185, 2186, 2187, 2188, 2189, 2190, 2191, 2192, 2193, 2194, 2195, 2196, 2197, 2198, 2199, 2200, 2201, 2202, 2203, 2204, 2205, 2206, 2207, 2208, 2209, 2210, 2211, 2212, 2213, 2214, 2215, 2216, 2217, 2218, 2219, 2220, 2221, 2222, 2223, 2224, 2225, 2226, 2227, 2228, 2229, 2230, 2231, 2232, 2233, 2234, 2235, 2236, 2237, 2238, 2239, 2240, 2241, 2242, 2243, 2244, 2245, 2246, 2247, 2248, 2249, 2250, 2251, 2252, 2253, 2254, 2255, 2256, 2257, 2258, 2259, 2260, 2261, 2262, 2263, 2264, 2265, 2266, 2267, 2268, 2269, 2270, 2271, 2272, 2273, 2274, 2275, 2276, 2277, 2278, 2279, 2280, 2281, 2282, 2283, 2284, 2285, 2286, 2287, 2288, 2289, 2290, 2291, 2292, 2293, 2294, 2295, 2296, 2297, 2298, 2299, 2300, 2301, 2302, 2303, 2304, 2305, 2306, 2307, 2308, 2309, 2310, 2311, 2312, 2313, 2314, 2315, 2316, 2317, 2318, 2319, 2320, 2321, 2322, 2323, 2324, 2325, 2326, 2327, 2328, 2329, 2330, 2331, 2332, 2333, 2334, 2335, 2336, 2337, 2338, 2339, 2340, 2341, 2342, 2343, 2344, 2345, 2346, 2347, 2348, 2349, 2350, 2351, 2352, 2353, 2354, 2355, 2356, 2357, 2358, 2359, 2360, 2361, 2362, 2363, 2364, 2365, 2366, 2367, 2368, 2369, 2370, 2371, 2372, 2373, 2374, 2375, 2376, 2377, 2378, 2379, 2380, 2381, 2382, 2383, 2384, 2385, 2386, 2387, 2388, 2389, 2390, 2391, 2392, 2393, 2394, 2395, 2396, 2397, 2398, 2399, 2400, 2401, 2402, 2403, 2404, 2405, 2406, 2407, 2408, 2409, 2410, 2411, 2412, 2413, 2414, 2415, 2416, 2417, 2418, 2419, 2420, 2421, 2422, 2423, 2424, 2425, 2426, 2427, 2428, 2429, 2430, 2431, 2432, 2433, 2434, 2435, 2436, 2437, 2438, 2439, 2440, 2441, 2442, 2443, 2444, 2445, 2446, 2447, 2448, 2449, 2450, 2451, 2452, 2453, 2454, 2455, 2456, 2457, 2458, 2459, 2460, 2461, 2462, 2463, 2464, 2465, 2466, 2467, 2468, 2469, 2470, 2471, 2472, 2473, 2474, 2475, 2476, 2477, 2478, 2479, 2480, 2481, 2482, 2483, 2484, 2485, 2486, 2487, 2488, 2489, 2490, 2491, 2492, 2493, 2494, 2495, 2496, 2497, 2498, 2499, 2500, 2501, 2502, 2503, 2504, 2505, 2506, 2507, 2508, 2509, 2510, 2511, 2512, 2513, 2514, 2515, 2516, 2517, 2518, 2519, 2520, 2521, 2522, 2523, 2524, 2525, 2526, 2527, 2528, 2529, 2530, 2531, 2532, 2533, 2534, 2535, 2536, 2537, 2538, 2539, 2540, 2541, 2542, 2543, 2544, 2545, 2546, 2547, 2548, 2549, 2550, 2551, 2552, 2553, 2554, 2555, 2556, 2557, 2558, 2559, 2560, 2561, 2562, 2563, 2564, 2565, 2566, 2567, 2568, 2569, 2570, 2571, 2572, 2573, 2574, 2575, 2576, 2577, 2578, 2579, 2580, 2581, 2582, 2583, 2584, 2585, 2586, 2587, 2588, 2589, 2590, 2591, 2592, 2593, 2594, 2595, 2596, 2597, 2598, 2599, 2600, 2601, 2602, 2603, 2604, 2605, 2606, 2607, 2608, 2609, 2610, 2611, 2612, 2613, 2614, 2615, 2616, 2617, 2618, 2619, 2620, 2621, 2622, 2623, 2624, 2625, 2626, 2627, 2628, 2629, 2630, 2631, 2632, 2633, 2634, 2635, 2636, 2637, 2638, 2639, 2640, 2641, 2642, 2643, 2644, 2645, 2646, 2647, 2648, 2649, 2650, 2651, 2652, 2653, 2654, 2655, 2656, 2657, 2658, 2659, 2660, 2661, 2662, 2663, 2664, 2665, 2666, 2667, 2668, 2669, 2670, 2671, 2672, 2673, 2674, 2675, 2676, 2677, 2678, 2679, 26

Die definierte Selbstbestimmung des Kindes  
von 1984 ff. 379

Der Kunst-Tempel, Smith (1888) S. 282, 283  
Verfälschungen in der Holographie des Ne-  
umens 1888 S. 283

## Conclusions

Wasser-Hypothese	Wasser des	Wasser des
Landes	Landes	Landes

Anwendungen der mathematischen Wissenschaften auf Biologie, Geographie und naturwissenschaftliche Probleme 197

Das Problem der Entwicklung unserer  
Ressourcen ist

Reference	Investigative question	Study design	Year
1	How many people are affected by the disease?	Cross-sectional study	2000
2	What are the risk factors for the disease?	Cohort study	2001
3	What are the symptoms of the disease?	Case-control study	2002
4	What are the causes of the disease?	Experimental study	2003
5	What are the treatments for the disease?	Randomized controlled trial	2004
6	What are the outcomes of the disease?	Longitudinal study	2005
7	What are the complications of the disease?	Case-series study	2006
8	What are the prognoses of the disease?	Retrospective study	2007
9	What are the prevention strategies for the disease?	Intervention study	2008
10	What are the health care costs for the disease?	Health services research	2009

### 5. Merkmale v. Dienstleistungen

Das Hotel wurde zum Museum um-  
gewandelt.

From *Psychological Science*, 19(1), 10-16. Copyright 2008 by the Society for Experimental Social Psychology. 0956-7976/08/\$12.00 DOI: 10.1177/0956797607312101

[illegible]

1990	1991	1992	1993	1994	1995	1996	1997	1998	1999	2000	2001	2002	2003	2004	2005	2006	2007	2008	2009	2010	2011	2012	2013	2014	2015	2016	2017	2018	2019	2020	2021	2022	2023	2024	2025	2026	2027	2028	2029	2030	2031	2032	2033	2034	2035	2036	2037	2038	2039	2040	2041	2042	2043	2044	2045	2046	2047	2048	2049	2050	2051	2052	2053	2054	2055	2056	2057	2058	2059	2060	2061	2062	2063	2064	2065	2066	2067	2068	2069	2070	2071	2072	2073	2074	2075	2076	2077	2078	2079	2080	2081	2082	2083	2084	2085	2086	2087	2088	2089	2090	2091	2092	2093	2094	2095	2096	2097	2098	2099	2100	2101	2102	2103	2104	2105	2106	2107	2108	2109	2110	2111	2112	2113	2114	2115	2116	2117	2118	2119	2120	2121	2122	2123	2124	2125	2126	2127	2128	2129	2130	2131	2132	2133	2134	2135	2136	2137	2138	2139	2140	2141	2142	2143	2144	2145	2146	2147	2148	2149	2150	2151	2152	2153	2154	2155	2156	2157	2158	2159	2160	2161	2162	2163	2164	2165	2166	2167	2168	2169	2170	2171	2172	2173	2174	2175	2176	2177	2178	2179	2180	2181	2182	2183	2184	2185	2186	2187	2188	2189	2190	2191	2192	2193	2194	2195	2196	2197	2198	2199	2200	2201	2202	2203	2204	2205	2206	2207	2208	2209	2210	2211	2212	2213	2214	2215	2216	2217	2218	2219	2220	2221	2222	2223	2224	2225	2226	2227	2228	2229	2230	2231	2232	2233	2234	2235	2236	2237	2238	2239	2240	2241	2242	2243	2244	2245	2246	2247	2248	2249	2250	2251	2252	2253	2254	2255	2256	2257	2258	2259	2260	2261	2262	2263	2264	2265	2266	2267	2268	2269	2270	2271	2272	2273	2274	2275	2276	2277	2278	2279	2280	2281	2282	2283	2284	2285	2286	2287	2288	2289	2290	2291	2292	2293	2294	2295	2296	2297	2298	2299	2300	2301	2302	2303	2304	2305	2306	2307	2308	2309	2310	2311	2312	2313	2314	2315	2316	2317	2318	2319	2320	2321	2322	2323	2324	2325	2326	2327	2328	2329	2330	2331	2332	2333	2334	2335	2336	2337	2338	2339	2340	2341	2342	2343	2344	2345	2346	2347	2348	2349	2350	2351	2352	2353	2354	2355	2356	2357	2358	2359	2360	2361	2362	2363	2364	2365	2366	2367	2368	2369	2370	2371	2372	2373	2374	2375	2376	2377	2378	2379	2380	2381	2382	2383	2384	2385	2386	2387	2388	2389	2390	2391	2392	2393	2394	2395	2396	2397	2398</
------	------	------	------	------	------	------	------	------	------	------	------	------	------	------	------	------	------	------	------	------	------	------	------	------	------	------	------	------	------	------	------	------	------	------	------	------	------	------	------	------	------	------	------	------	------	------	------	------	------	------	------	------	------	------	------	------	------	------	------	------	------	------	------	------	------	------	------	------	------	------	------	------	------	------	------	------	------	------	------	------	------	------	------	------	------	------	------	------	------	------	------	------	------	------	------	------	------	------	------	------	------	------	------	------	------	------	------	------	------	------	------	------	------	------	------	------	------	------	------	------	------	------	------	------	------	------	------	------	------	------	------	------	------	------	------	------	------	------	------	------	------	------	------	------	------	------	------	------	------	------	------	------	------	------	------	------	------	------	------	------	------	------	------	------	------	------	------	------	------	------	------	------	------	------	------	------	------	------	------	------	------	------	------	------	------	------	------	------	------	------	------	------	------	------	------	------	------	------	------	------	------	------	------	------	------	------	------	------	------	------	------	------	------	------	------	------	------	------	------	------	------	------	------	------	------	------	------	------	------	------	------	------	------	------	------	------	------	------	------	------	------	------	------	------	------	------	------	------	------	------	------	------	------	------	------	------	------	------	------	------	------	------	------	------	------	------	------	------	------	------	------	------	------	------	------	------	------	------	------	------	------	------	------	------	------	------	------	------	------	------	------	------	------	------	------	------	------	------	------	------	------	------	------	------	------	------	------	------	------	------	------	------	------	------	------	------	------	------	------	------	------	------	------	------	------	------	------	------	------	------	------	------	------	------	------	------	------	------	------	------	------	------	------	------	------	------	------	------	------	------	------	------	------	------	------	------	------	------	------	------	------	------	------	------	------	------	------	------	------	------	------	------	------	------	------	------	------	------	------	------	------	------	------	------	------	------	------	------	------	------	------	------	------	------	------	------	------	------	------	------	------	------	------	------	------	------	------	--------

Der Ursprung der Meteoriten. 123.  
Vergleichendster Aufbau eines großen  
terrestrischen Klumpen auf der Erde. 199.  
Der Durchmesser von Mars im Januar-  
tag. 202.

#### 4. Mond der Erde.

Mondbeobachtungen am Ferenczi. 52.  
Beobachtungen über die Helligkeit des  
Mondphasen. 62.  
Die Verzeichnung der Sonnen- und Mond-  
beobachtungen auf demontierten Unterlage.  
204.  
Die Verzeichnung der Mondbeobachtungen  
amontierten. 205.  
Die Helligkeit des Mondes in Sterngrößen-  
klassen. 206.  
Zelluläre Veränderung auf der Mondober-  
fläche. 208.  
Das Apogäum-Gelegenheit und -Helligkeit  
auf dem Mond. 214.  
Durchgang des Mondes durch den Halo-  
stadium der Erde. 261.

#### 5. Monde der Planeten.

Beobachtungen des 5. Jupitermondes. 18.  
Beobachtung eines Subplanetaren Gegen-  
standes in der Nähe des Jupiter. 92.  
Eine Beobachtung des 2. Jupitermondes durch  
den ersten. 213.  
Die Bahn des 5. Jupitermondes. 214.  
Beobachtungen des 5. Jupitermondes. 215.  
Der 10. Mond des Saturn. 219.  
Die Bahn des 5. Jupitermondes. 262.

#### 6. Nebelflecke u. Sternhaufen.

Die Bewegung des Andromedanebels. 14.  
Der Nebelfleck am Cepheus. 26.  
Die Katalog der hellen Sternhaufen und  
Nebelflecken. 249.  
Der planetarische Nebel AOK 163 in der  
Andromeda. 165.  
Die hellesteren des Nebels HV 15 am  
Schwein. 261.

#### 7. Planeten.

Merkur. Durchgang desselben im No-  
vember 1907. 13, 42.

Venus. Der Glanz des Planeten Venus. 381.  
Mars. Das Fehlen von großen Gebirgs-  
erhebungen auf dem Mars. 49.  
Beobachtungen des Mars während der  
Opposition 1907. 105.  
Der Marsbeobachtung. 106.  
Jupiter. Photographische Aufnahmen des  
Planet Jupiter im großen Refraktor der  
Wiener Sternwarte. 11.  
Beobachtungen des Jupiter. 200.  
Saturn. Die Verzeichnung und Wieder-  
erscheinung des Saturns. 1907. 12.  
Beobachtungen des Saturns. 1907 auf  
der Lick-Sternwarte. 52.  
Beobachtungen des Planeten Saturn von  
St. Gallen in Lössen. 51.  
Beobachtungen der Saturnringe bei ihrem  
Verwandeln 1907 und Veranschaulichung  
Erklärung der wahrgenommenen Erschei-  
nungen von Prof. E. L. Barnard. 21.  
Angeblicher neuer Ring des Saturn. 92.  
261.  
Beobachtungen des Saturns auf der  
Wiener Sternwarte. 105.  
Anzeichen des Saturn im Strahligen Refrak-  
tor der Lick-Sternwarte. 129.  
Fortgesetzt Beobachtungen des Saturn 1907.  
129.  
Kleine Planeten. Neu entdeckte kleiner  
Planet von ungewöhnlicher Helligkeit. 42.  
Der neue Planet 1908 B. 75.  
Entdeckungen kleiner Planeten im Jahr  
1907. 113.  
Der neue kleine Planet 1908 C. 114.  
Beobachtung eines sehr schwachen  
kleinen Planeten. 114.  
Die Jupitergruppe der kleinen Planeten. 261.

#### 8. Planetenkonstellationen, Stellungen der

#### Jupiter- und Saturnmonde usw.

11, 45, 68, 92, 107, 142, 165, 188, 213, 227,  
264, 264.

#### 9. Sonne.

Eine große eruptive Protuberanz. 15.  
Stereoskopische Photographen der Sonne  
und ihrer Fleckengruppen. 55.  
Gruppe in der Sonnenatmosphäre und im  
interplanetarischen Raum. 52.

**Spektroskopische Untersuchung der Sonnenrotations.** Von W. S. Adams. 73.  
Sonnenphotographien. 105.

Die dreifachste Sonnenrotation am 28. Jan. 1903. 126.

Über die Rotationsdauer der Sonne. 139.

Eine vergleichende Untersuchung der Spektren des Randes und der Mitte der Sonnenrotelle. 140.

Die Bestimmung der Sonnenrotations am 3. Januar 1903 auf der First Point. 203.

Die Bestimmung der Sonnen- und Mondrotationen auf einer neuen Unterlage. 208.

Die Sonnenrotation. 191.  
Schwankungen in der Rotationsdauer der Sonne. 235.

Die Helligkeit der Sonne und des Mondes in Merkurtransits. 234.

Die Sonnenflecken als Abkühlungsprodukte der äußeren Photosphäre. 243.

Eine große Gruppe in der Sonnenrotation am 1. Januar 1903. 246.

Über die Kaskade der magnetischen Erscheinungen der Sonne. 255.

Die Circulation der Sonnenoberfläche. 259.

Die Circulation der Sonnenoberfläche. 259.

Ringförmige Sonnenflecken am 21. Dezember 1903. 281.

## 18. Sternwarten, Instrumente und Beobachtungsmethoden.

Die heutige Sternwarte, ihre Aufgaben und ihre Verhältnisse. 1, 11, 51, 54.

Sternwarten in der Arabischen Kosmos. 29.

Ein verbessertes Verfahren zur Prüfung von Fernrohrsystemen. 31.

Geschichte der astronomischen Meßwerkzeuge. 37.

Der blinde Reflektor des Observatoriums auf Mount Wilson. 319.

Das am astrophysikalischen Observatorium des Kaiserlichen Instituts angefertigten Untersuchungen. 311.

Der Meßkreisbogen von 100 Zoll Durchmesser. 312.

Die Sternwartenfrage in Ostpreußen. 317.

Das Arbeiten auf dem Gebiet der Astrophysik im Jahre 1903 in der deutschen Observatorien. 323.

Die Tätigkeit der Berliner Sternwarte im Jahre 1903. 330.

## 19. Veränderliche Sterne.

Der Rotationswinkel Farbe und Periodendauer der veränderlichen Sterne. 115.

Untersuchung des Lichtverhaltens einiger veränderlichen Sterne des Algoltypus. 119.

Der Veränderliche R in der nördlichen Krone. 120.

Min im Maximum im Maximum seiner Helligkeit. 20.

Die Bahn des veränderlichen Sterns Algol. 204.

## 20. Vermischtes.

Der heutige Standpunkt der Himmelskunde. Von David Gill. 1, 25, 46.

Forschung für Freunde der Himmelskunde. 18.

Fortsetzung der Abänderungen. 20.

Erklärungen zu dem astronomischen Kalender. 18.

F. J. C. Janssen. 41.

Astronomische Schwärze. 43.

Die Unveränderlichkeit der Weltgesetze der Spektralanalyse. 49.

Ein Kopernikaner Institut. 41.

Neuere Astronomie. 51.

Die Elektrifizierung in der Astronomie. 51.

Welt-Kalender. 10.

Ein nördlicher Vordringler Orion. 102.

Professor Dr. Lorenz. 106.

Die 75. Versammlung der Astronomischen Gesellschaft in Wien. 201.

Von der relationalen Bewegung der Himmelskörper. Von C. Schuy. 203.

Das Sternwarteninstitut in Prag. 205.

## 21. Tafeln.

I. Photographische Aufnahmen des Planeten Jupiter am großen Heliost.

von der Wiener Sternwarte von Dr. Jan Miksa.

II. Große eruptive Sonnenprotuberanten in verschiedenen Stadien der Entwicklung, photographiert auf der Venusmission am 21. Mai 1903.

III. Der Nebel im Cepheus NGC 7023 nach der photographischen Aufnahme von Prof. Axel Wolf.



- |  |   |
|--|---|
| <p>III. Mundsteinbecken am Fenschiefer gezeichnet von C. Schuch.</p> <p>V. Saturn 1907 gezeichnet von Prof. Barnard.</p> <p>VI. Sonnenfleck-Photographien von August Herzer.</p> <p>VII. Saturn am 14. April 1907 gezeichnet von E. E. Barnard.</p> <p>VIII. Der Komet d 1907 (Daneb) August 14 nach photograph. Aufnahme von Prof. Max Wolf.</p> <p>IX. Photographische Sternkarte von Prof. Falsch und Max Wolf.</p> | <p>X. Sterngebäude für den 14. April 1907 gezeichnet von Prof. Falsch und Max Wolf.</p> <p>XI. Photographien einer photographischen Aufnahme des 12. Sternensystems vom 20. Juni 1904.</p> <p>XII. Photographische Aufnahme der Sternkarte der Sternensysteme von E. E. Barnard.</p> <p>XIII. Das Sternensystem und Umgebung auf dem Mond, nach der photographischen Aufnahme auf der Fenschiefer Sternkarte.</p> |
|--|---|



# SIRIUS.

Zeitschrift für populäre Astronomie.

Centralorgan für alle Freunde und Förderer der Himmelskunde.

Herausgegeben

unter Mitwirkung hervorragender Fachkollegen und astronomischer Schriftsteller

von Prof. Dr. Hermann J. Klein in Köln.

Januar 1908.

„Wissen und Erleben steht da. Freude und da.  
Bereicherung der Menschheit.“ — Einstein.

Jeden Monat 1 Heft. — Jährlich 12 Mk.

Verlag von EDUARD HEINRICH MAYER in Leipzig.

**INHALT:** Der heutige Standpunkt der Himmelskunde. Von David Gill. S. 1. — Die heutige Sternkarte, der Ausrichtungen und ihre Vorzeichen. (Fortsetzung). S. 2. — Photographische Aufnahmen des Planeten Jupiter am großen Teleskop der Wiener Sternwarte. (Karte: Tafel I.) S. 11. — Das Vordringen und Wiedereintrreten des Saturns 1907. S. 11. — Die Bewegung des Asteroidenastera. S. 24. — Verschiede Nachrichten. (Karte: Tafel II.) S. 15. — Erklärung der Abänderungen. S. 18. — Entdeckung von dem astronomischen Kometen. S. 20. — Astronomischer Kometen. S. 21. — Lösungen der Jupiterwende. S. 22. — Lösungen der Jupiterwende. S. 23.

## Der heutige Standpunkt der Himmelskunde.

Rede auf der jüngsten Versammlung im Louvre, der holländischen Gesellschaft für den Fortschritt der Wissenschaft von ihrem Präsidenten Hr. David Gill, vormaligen Direktor der Kap-Sternwarte.)

**I**m Jahre 1871 sagte Lord Kelvin in seiner Rede als Präsident: „Für einen nichtwissenschaftlichen Geist scheint die wissenschaftliche Tätigkeit, die sich auf genaue und sorgfältige Messungen bezieht, weniger hervorragend und nachweislich als diejenige, die sich der Entdeckung neuer Tatsachen zuwendet. Aber fast alle großen wissenschaftlichen Entdeckungen sind die Belohnung genauer und gefählicher Messungen und langer Arbeit in sorgfältiger Feststellung numerischer Werte gewesen.“ Außer den von Lord Kelvin, dem

Reactor dieser Behauptung angeführten Beispielen, kann man heute noch ein typisches und bemerkenswertes Beispiel in der Arbeit von Lord Rayleigh, der zur Entdeckung des Argons in der atmosphärischen Luft führte. Wie werden hierbei gleich sehr, daß die Richtigkeit der Behauptung Lord Kelvins sich ganz besonders in der Astronomie ergibt.

In einer Vorlesung am College im Aberdeen, der ich 1859 als Student beizuohnte, sagte Clerk Maxwell u. a.: „Ein Normalmaßstab, wie man sich dessen heute bei uns bedient, ist ganz und gar kein wirklicher Normalmaßstab, sondern

5 Deutsche Übersetzung im Astron. Jahrb. 1883, Heft 1.

der Metallstange, auf der gewisse Stücke die Länge des Yard beschreiben, und von welchem man das Original im Sitzungssaal der Gewerben aufbewahrt. Wenn dieser Haas abnormen würde, wäre der Normalmetre verlorren. Eine Kopie desselben kann niemals das Original völlig ersetzen, denn jede menschliche Arbeit ist Fehlen unterworfen. Aber noch mehr: Dieser sogenannte Normalmetre, behält er eine unveränderliche Länge? Sicherlich ändert er dieselbe mit der Temperatur, wahrscheinlich auch mit dem Alter infolge molekularer Umänderungen und ich bin sogar nicht gewiß, ob diese Länge sich mit der Richtung der Lage, in der er benutzt wird, nicht auch ändert. Jedenfalls ist ein solcher Normalmetre wenig praktisch, was sich aus folgender Betrachtung ergibt. Wenn man sich einen Menschen auf dem Mars oder Jupiter vorstellt denkt und sagt, er würde von dem Beobachter dieses Planeten nach unserem Normalmetre gemengt, so würde er ihnen dann weder genügend beschaffen noch reproduzieren können und sich dann gründlich schlecht verkommen. Würde er aber einem Physiker auf dem Mars oder Jupiter sagen, daß auf der Erde eine unverständliche, von der Natur gegebene Größe, z. B. die Wellenlänge der gelben Linie D im Spektrum des Natriums, als Normalmaß diene, so würde jener Physiker sofort zustande sein, die Länge unseres Fuß- oder Meter herzustellen, so bald ihm gesagt wird, wie oftmal die Wellenlänge der Linie D in diesem Fuß oder Yard enthalten ist. Unser Normalmaß wäre also im ganzen Weltteil herzustellen, soweit darin Natrium angetroffen wird. Auf diese internationale Weise könnte man Clark Maxwell große Prinzipien lehren. Anfangs lehren wir Studenten stöchiometrisch, aber einige von uns begreifen die Sache und behalten die Lehen.

Gegenwärtig hat die wissenschaftliche Welt die natürliche Normalmetre angenommen, was in Maxwell vorschlag-

Man bezeichnet unser Einheits als Meter und seine Länge sollte genau gleich dem mittleren Teil eines Erdenmeridian sein, dieser Normalmetre besteht aus Metall und beträgt sehr nahe die vorgeschriebene Länge, auch ist er mit größter Sorgfalt hergestellt, aber nicht-destoweniger bleibt er der Zerstörung unterworfen und möglichen ungleichen Veränderungen. Aus diesem Grunde kann man ihn wissenschaftlich nur in folgender Weise beschreiben: Er besteht aus einer Metallstange deren Länge im Jahre 1880 bei 0°C Wasser 1523154 mal größer ist als die Wellenlänge der roten Linie im Spektrum des Kaliumens, gemessen in trockener Luft bei 15° C des normalen Wasserniveaus unter einem Luftdruck von 760 mm einer Quecksilbersäule von 0° C Wärme. Dieser Wert ist jüngst von Perrin und Fabry auf Grund der gemessenen Messungen bestätigt worden und das Ergebnis ist dies bis auf den sechshundertsten Teil der Länge des Meters genau.

Schon 1890 hatte man die Länge des Normalmeters nach der Methode von Michelson in Einklang der Wellenlänge der roten Spektrallinie des Kaliumens bestimmt und diesen Resultat stimmt mit dem 1880 erhaltenen völlig überein, nämlich bis auf weniger als den sechshundertsten Teil der Länge des Meters.

Den Untersuchungen von Quilleman vom internationalen Bureau des poids et mesures, verdanken wir die Entdeckung besserer Werte Eigenschaften der Legierung von Nickel und Stahl, welche von außerordentlicher Wichtigkeit für die Genauigkeit der Messungen sind. Auf Grund der Arbeit Quillemans sind Messungsscheitel hergestellt worden, die, wie die Beobachtungen am Cap beweisen, mit geringeren Kosten und in weniger Zeit eine Genauigkeit von 70 der Länge ausweisen lassen als früher für eine solche von 1 der Länge erforderlich waren.

Größe Fortschritte sind in der gesamten Ermittlung des Grundmaßes der

Astronomie, nämlich der Entfernung der Sonne von der Erde, gemacht werden, durch schärfere Bestimmung der Sonnenparallaxe. Schon 1677 wagte ich vorzusagen, es sei keine Gewissheit dafür, daß man mittels der Venusdurchgänge die Sonnenparallaxe schärfer ermitteln werde, daß aber durch Messung der Winkelabstände gewisser kleinen Planeten von Fixsternen mit Hilfe des Heliometers, Ergebnisse mit einem hohen Grade von Präzision auch erreichen ließen. Die Beobachtungen der kleinen Planeten Ios, Sappho und Victoria in der günstigsten Opposition von 1888 und 1889, haben meine Voraussetzung durchaus bestätigt. Die Entfernung der Sonne von der Erde ist gegenwärtig bis auf ungefähr  $\frac{1}{1000}$  genau bekannt. Der später entdeckte Planet Eros, welcher sich im Jahre 1900 der Erde bis auf etwa ein Drittel der Sonnenentfernung näherte, bot die ganz erweiterte Mittel zu genauer Bestimmung der Sonnenentfernung und die hauptsächlichsten Observatorien der nördlichen Erdhälfte haben diese Gelegenheit reichlich ausgenutzt, während auf der südlichen Erdhälfte solche Beobachtungen leider nicht angestellt werden konnten, da Eros in zu großer nördlicher Deklination sich befand. Obwohl die Ergebnisse dieser Beobachtungen bereits bekannt sind, beschäftigen sie vollständig den Fehler (1888, 1889) aus den Beobachtungen der Ios, Victoria und Sappho abgeleiteten Wert der Sonnenparallaxe. Im Jahre 1901 wird Eros der Erde bis auf  $\frac{1}{4}$  der mittleren Sonnenentfernung nahe kommen und den Astronomen dann Gelegenheit geben, die Entfernung der Sonne von der Erde bis auf etwa  $\frac{1}{1000}$  genau zu ermitteln. An uns aber ist es, schon jetzt Vorkehrungen zur erfolgreichen Beobachtung des Eros im Jahre 1901 zu treffen, durch das Studium der geometrischen Fehler, welche unzufällig aus Teil der photographischen Operationen stammen, die bei den astronomischen Aufnahmen angewandt wer-

den. Ebenso ist es unsere Aufgabe, die für solche Aufnahmen geeigneten Teleskope zu konstruieren und zur Herstellung von Heliometerkarten zu verwenden, welche die Sterne enthalten in deren Nachbarschaft Eros im Jahr 1901 vorüberziehen wird. Endlich wird es nötig sein, die Positionen der mit den verschiedenen Teleskopen photographisch aufgenommenen Sterne zu ermitteln um zu erkennen, welche Abweichungen eben stattfinden und deren Ursache zu ermitteln. Wenn alle Teleskope für jeden Stern den gleichen Ort am Himmel liefern, so kann man sicher sein, daß die Positionen des Eros frei von systematischen Fehlern gewonnen wurden. Dieser Planet wird bei seinem Ervorkommen im Jahre 1901 einen so langen Bogen am Himmel beschreiben, daß es schon jetzt Zeit wird, durch Merkmalsbeobachtungen die Positionen der Sterne festzulegen, welche zur Orientierung der Konstruktion auf den photographischen Platten erforderlich sind. Wünschenswert wäre es, wenn in dieser Beziehung unter den Hauptastronomen eine Einigung über diese Heliometer und deren Organisation zustande käme. —

Wenden wir uns nunmehr von unserem Sonnensystem dem Fixsternraum zu, den fernen Sternen, die uns überall im Raume umgeben.

Der Neugiergewalt kann sich nur schwer darüber Herrschaft gelien, von welcher Wichtigkeit genauere Bestimmungen sind. Diese Vorurtheile zeigen im allgemeinen keine Beziehung zu den astronomischen Entdeckungen, aber in Wirklichkeit sind sie die kostbarsten Hilfsmittel dazu und für astronomische Untersuchungen. Allerdings, Würdigt man z. B. eine Ortsbestimmung der Erdoberfläche mit Hilfe astronomischer Methoden oder die Position irgend eines Objekts am Himmel zu bestimmen, so muß man auf einen zuverlässigen Strukturalz zurückgreifen, um sich die unentbehrlichen Unterlagen zu verschaffen. Aber die Fixsterne

hätten darüber hinaus die weit höhere Intensität, denn jeder von ihnen besitzt eine scheinbare Bewegung am Himmelsgewölbe, die nicht nur zum Teil in der obersten Bewegung des Sterns ihren Ursprung hat, zum Teil aber auch durch die Bewegung unseres Sonnensystems hervorgerufen wird. Wollten wir diese Bewegungen bestimmen und uns über ihre allgemeinen Ursachen Rechenschaft geben, würden wir die dynamischen Verhältnisse des Universums ergründen oder die Bildung und Entwicklung bei der Bewegung des ganzen Sonnensystems durch den Weltraum, so müssen wir genaue Sternvermessungen zu Hilfe nehmen, um möglichst höhere Orte der Sterne mit den neuesten zu vergleichen.

Der Wert dieser genauen Sternmessungen für unsere ganze astronomische Untersuchungen, welche im geschichtlichen Verhältnis eines Abnehmens unserer Praktiken. Wir können die Epochen unserer Beobachtungen nicht ändern, aber wir können den Wert der letzteren um die Verlässe erhöhen, indem wir die Genauigkeit derselben vergrößern. Aus diesem Grunde haben nicht wenige unserer bedeutendsten Astronomen ihr Leben hauptsächlich der Gewinnung von Meridiankreisbeobachtungen hoher Genauigkeit gewidmet und sind bei dieser selbstverlorenen und gewissten Tätigkeit von dem Bewußtsein getragen worden, ihre Grundlagen für die wissenschaftliche Gebäude zukünftiger Astronomen zu legen.

Es scheint, daß die höchste Beweiskraft von Sternbildern sich im Buche Job findet, woselbst Arktur, Orion, die Plejaden und die Kammern des Stiers erwähnt werden. Schopenhauer glaubt mit gutem Grunde, daß der kognitive Ausdruck sich auf die glänzende Sternegruppe von Caput bis zum Zenith bezieht, welche den nördlichen Kreuz umfaßt und mit dem hellsten Teile der Milchstraße zusammenfällt. Um das Jahr 750 vor Christus, aus welcher Epoche wahrscheinlich das

Buch Job stammt, errichten die gemauerten Sterne über dem Horizont von Judäa Höhen von  $5^{\circ}$  bis  $15^{\circ}$ , während nur nördlich der Polkammer ein heutzutage noch in geographischen Breiten von weniger als etwa  $12^{\circ}$  sehen kann. Unverkennbar ist das nördliche Kreuz in den bekannten Versen Dantes genannt. Petrusburg katalogisiert die Sterne desselben als No. 31, 32, 33, 34 des Zeniths und deutlich sind sie auf dem 1780 von Lacaille beschriebenen Himmelsglobus Borgia gravirt, der von einem Araber in Ägypten im Jahr 822 der Hebräer hergestellt worden ist, was dem Jahr 1225 unserer Zeitrechnung entspricht. Möglicherweise hat Dant's diesen Himmelsglobus gesehen. Als Amago Vesputi die tropischen Meere besuchte, erkannte er offenbar die Konstellationen des nördlichen Kreuzes, denn er befragte 1501, der erste Europäer gewesen zu sein, der die Sterne unserer Sternkarten wiedergefunden habe. Sein Gefährte Andrea Canali beschreibt in einem Briefe aus jener Epoche an Julius von Medici «das wunderbare Kreuz, der glanzvollste aller himmlischen Konstellationen». Man hat öfters mit diesem Sternbilde zu viel Weisheit gemacht, so daß die Mehrzahl derer, die es zum ersten Male sehen, die Enttäuschung erleben. Nichtsdestoweniger macht es doch auf den Menschen, der es nördlich von den Tropenländern findet, bei der Kalmation nicht einen lebhaften Eindruck, wenigstens war dies bei mir der Fall auf meiner ersten Reise nach dem Kap der guten Hoffnung. Wie viel mächtiger aber mußte der Eindruck dieses Sternkreuzes auf die zum Polarkreis zugehörigen stofflichen Gemüther der alten Seefahrer sein, als sie in die unerforschten Meere der tropischen Zone eintraten.

Das früheste allgemeine Kennzeichen der letzten Sterne des nördlichen Himmels verdanken wir Friedrich von Houtmann, der aus der holländischen

Reisung nach Japan umschiffte Flotte beauftragt. Houston erlitt Schiffbruch und wurde auf Sumatra gefangen gehalten. Dort lernte er die Sprache der Eingeborenen und machte Beobachtungen über die Positionen und Helligkeiten der südlichen Fixsterne im Stern-Katalog von 304 Sternen ist die Anfang zu seinem Vokabularium der Malaiischen Sprache gedruckt, das 1823 in Amsterdam erschien. Im Jahre 1677 besuchte der berühmte Astronom Halley die Insel Saint Helena, um eine Aufnahme der Sterne des südlichen Himmels zu machen. Er wählte als Stationspunkt einen Ort, der auf der Adamsinselnburg als Halleyburg bezeichnet ist und wovon ich nach die Fundamente der Observatoriums vorlag. Halley wandte bei seiner Arbeit sehr durch die auf Helens herrschende Bewölkung beeinträchtigt. Nach seiner 1679 erfolgten Rückkehr nach England veröffentlichte er seinen *Catalogus Stellarum Australium*, in welchem er dieörter und Größen von 341 südlichen Sternen mitteilt. Jedoch ist die erste Arbeit über die Sterne der südlichen Hemisphäre, welche dauerndes Wert besitzt, von dem Abte Lacaille in dem Jahre 1751 bis 1752 veröffentlicht worden. Er wählte zu seinem Aufenthaltsorte das Kap der guten Hoffnung, welches damals der einzige Punkt der südlichen Hemisphäre war, so dem ein Astronom in genügend südlicher Breite überhaupt ein Observatorium errichten und mit Sicherheit beobachten konnte. Er wählte als Station die Kapstadt und machte einen Katalog von etwa 14000 Sternen zusammen, beobachtete außerdem die Opposition der Mars und maß eines Meeres Höhenabzuges, alles im Zusammenhang eines einzigen Jahres! Seine Arbeiten am Kap bildeten die Wege für die Astronomie und Geodäsie der südlichen Erdhälfte.

Um die Zeit, als Lacaille am Kap arbeitete, lagte Bessel auf der nördlichen Erdhälfte die Fundamente der ersten Himmelsbeobachtung. Freilich

hatte er bessere Instrumente und viel mehr Zeit zur Verfügung als Lacaille und so wurden Bessels Beobachtungen des Fundaments, auf dem die herrliche Gebäude der heutigen Präzisionsastronomie ruht. Seine Arbeiten wurden durch die Nachfolger an der Göttinger Sternwarte fortgeführt und daneben war eine lange Reihe berühmter Astronomen, in derselben Weise tätig, Man war wie Flamsteed, Groombridge, Bessel, Gauss und Angström. Dagegen blieben auf der südlichen Erdhälfte nach Lacaille 70 Jahre lang die Flügel der Astronomischen Arbeiten unbeschrieben.

Erst der Sternwarte am Kap, die seit Beginn der Regierung 1820 errichtet wurde, ist der erste Schritt zu gewissen astronomischen Arbeiten auf der südlichen Hemisphäre zu verdanken. Es fehlte die Zeit, um im einzelnen die bis zum heutigen Tage auf der südlichen Erdhälfte ausgeführten astronomischen Arbeiten anzuführen, auch habe ich mich darüber in der Süd-afrikanischen Philosophischen Gesellschaft vorbereitet, dort jedoch nicht die Arbeiten von Dr. Gould und Dr. Thomas in Capetown in Südafrika nach Verdienst gewürdigt. Dank Herrn Beobachtungen ist im Voraus zu bezweifeln, die am Kap angestellt wurden, die Astronomie des Fixsternhimmels der südlichen Hemisphäre hat soweit vorgeschritten als die der nördlichen, wobei hervorzuheben ist, daß Präzisionsbeobachtungen im Süden fast um Jahrhundert später begonnen, als diejenigen der nördlichen Hemisphäre.

Halley war 1716 der erste, welcher von einer Eigenbewegung der Fixsterne als bester Beweis sprach. Im Jahre 1768 besuchte Tobias Mayer in Göttingen, daß, wenn unsere Sonne gleich dem andern Fixstern eine eigene Bewegung durch den Weltraum besitzt, diese sich in scheinbaren Bewegungen der Fixsterne abspiegeln müsse. Wenn, sagt er, „die Sonne und wir die Fixsterne und die Erde die wir bewohnen, sich dreht auf einem Punkt

des Himmels hin bewegt, dann werden alle in dieser Region zusammengefallenen Sterne sich ebenfalls voneinander zu entfernen scheinen, während die im umgekehrten Teile der Himmelskugel sich gegenseitig nähern. Es ist dies, wie wenn jemand, der im Weltraum spazieren geht, die Klauen, die vor ihm sind, sich entfernen und die, die er zurückläßt, sich nähern sieht. Nichts könnte klar sein, aber soll den wenigen Ihm zur Verfügung stehenden Daten kein Mayer zu dem Schluß, daß die Bewegungen der Sterne nicht beherrscht werden von dem einen oder einem andern gewöhnlichen Gesetz, sondern den Sternen selbst eigen sind.

Friedrich Wilhelm Herschel machte (178) den ersten Versuch, Mayers Prinzip auf die Bestimmung der Richtung und Größe der Sonnenbewegung im Raume anzuwenden. Er hatte aus vorhandenen Daten die Eigenbewegungen von 14 Sternen ab und kam schlußfolgernd zu dem Schluß, daß die Bewegung der Sonne im Raume fast in der Richtung auf den Stern  $\alpha$  Herkules erfolgt und 16½ der scheinbaren Bewegungen der fraglichen 14 Sterne diesem Umstande zugeschrieben werden können.

Dieser Schlußreife auf schwacher Grundlage, aber der Untersuchungen der späteren Astronomen wegen, daß er vollständig eine große Annäherung an die Wahrheit gewesen, ist, eine bessere Annäherung als Herschel's spätere Bestimmungen, 1805 und 1806, welche auf zuverlässigeren Daten sich stützen.

Fahren wir für einen Moment die Umrände des Problems im Auge. Wenn als Sterne außer unserer Sonne im Raume still ständen, so würden nach Mayer ohne ungeführten Stern, alle Sterne scheinbare Bewegungen vom Orte nach dem die Sonne sich hin bewegt (dem Apex der Sonnenbewegung), auf den entgegengesetzten Punkt (den Antipex) hin, zeigen. Das heißt, wenn die Position eines jeden Sternes, dessen scheinbare Bewegung bekannt ist, auf

der Oberfläche einer Kugel vorzeichnet und eine Linie mit einer Pfeilspitze durch jeden Stern gezogen würde, die die Richtung seiner Bewegung auf der Kugel anzeigt, dann würden die Pfeilspitzen sämtlich auf dem Punkt Herkules, der der Antipex der Sonnenbewegung ist, Richtung anzeigt, während sie sich im Apex treffen, das heißt die Richtung der Sonnenbewegung im Raume anzeigen.

Da aber die scheinbaren Sternbewegungen klein sind und nur mit einem beträchtlichen Fehler bestimmbar sind, wird es unmöglich sein, einen Punkt auf der Kugel zu finden, der sich als Apex oder Antipex darstellt.

Solche Abweichungen würden, nach unserer Annahme, von Beobachtungsfehlern herrühren; aber in Wirklichkeit würden auch wohl großen Abweichungen vorkommen, die davon herrühren, daß die anderen Sterne sich Eigenbewegungen im Raume besitzen. Dies schließt mit einem Male eine neue Schwierigkeit, nämlich die, einen absoluten Ort im Raume zu bestimmen. Der Menschengeist könnte sich erschöpfen in dieser Denkhung, aber er kann niemals das Problem lösen. Wir können uns z. B. vorstellen, daß die Lage der Sonne in irgend einem Moment bestimmt ist mit Beziehung auf irgend eine Anzahl umgehender Sterne, aber auf keine Weise können wir Mittel finden, die absolute Lage eines Punktes im Raume zu bestimmen ohne Bezugnahme auf die umgehenden Objekte. Wenn daher die Vergleichsobjekte unbekannte eigene Bewegungen haben, ist eine scharfe Bestimmung unmöglich.

Die behauptete Eigenbewegung eines Sternes hat drei mögliche Ursachen: 1. Die parallaxische Bewegung oder die Wirkung der Bewegung unserer Sonne im Raume, wodurch unser Beobachtungspunkt der umgehenden Himmelsobjekte, verändert wird. 2. Die Eigenbewegung des Sternes, d. h. seine eigene absolute Bewegung im Raume. 3. Den Teil der scheinbaren

Bewegung, der von unabweislichen Beobachtungsfakten herfließt.

Bei allen Erörterungen der Seasonbewegung im Raume, von Henschel bis heute, wurde angenommen, daß die Eigenbewegungen der Sterne nach dem Zufalle zugeordnet sind und im Mittel einer beträchtlichen Zahl derselben sich annullieren. Es ist dann möglich, einen solchen Wert für den Apex der Seasonbewegung zu finden, daß die übrigen Meisten Eigenbewegungen der diskutierten Sterne im Mittel Null sind. Das heißt, wir betrachten die Bewegung der Sonne im Raume als das Schwerkräftszentrum aller in der Diskussion betrachteten Sterne und betrachten diese Schwerkräftszentren als unbeweglich im Raume.

In aller Strenge, und besonders um die Größe von der Richtung der Seasonbewegung im Raume zu bestimmen, müßte man die Parallaxen eines jeden in der Diskussion verhandelten Sternes kennen, ebenso seine Eigenbewegung. Da dieses nicht der Fall ist, pflegt man von folgender Annahme auszugehen.

Die Sterne einer und derselben Größe befinden sich ungefähr in gleichem Abstände, die Abstände der Sterne von verschiedenen Größenklassen können aus der Hypothese abgeleitet werden, daß sie im Durchschnitt alle gleiche Leuchtkraft besitzen.

Diese Annahme ist nicht berechtigt 1. wegen der Verschiedenheit in der absoluten Leuchtkraft der Sterne, 2. weil sie in sich selbst, daß die mittlere absolute Leuchtkraft der Sterne in allen Graden des Raumes dieselbe ist. Viele Astronomen haben auseinander zu diesen Richtungen Untersuchungen durchgeführt mit gut übereinstimmenden Ergebnissen wenig auf die Lage des Apex, aber mit sehr unterschiedenden Ergebnissen bezüglich der Entfernung der Fixsterne. Um zu beweisen, wie weit die Größe (oder Helligkeit) eines Sternes die Annahme seines verhältnismäßigen Abstandes ist, müssen wir Belege aus direkten Bestimmungen der Sternparallaxen haben.

(Schluß folgt)

## Die heutigen Sternwarten, ihre Ausrichtungen und ihre Vorsteher.

(Fortsetzung von Seite 1917 S. 274.)

**Helsingfors (Finnland).** Sternwarte der Universität.

Geographische Breite  $60^{\circ} 8' 42.6''$  N.,  
Länge  $1^{\circ} 39' 49.10''$  E.

Seehöhe 12 m.

Direktor: Prof. A. S. Donner, 1 Observator und 2 Assistenten.

Das Sternwarte ist 1829 gegründet worden und besitzt als Hauptinstrumente ein Äquatorial von Utschneider & Fraenkel mit Objektiv von 178 mm Öffnung und einem Schiefdrähtchen Spiegelsystem, ferner ein Fraunhoferches Heliometer mit 76 mm Öffnung, dann Meridionalferns mit Fernrohr von 182 mm Öffnung, ein photographisches Äquatorial für die photographische Himmelskarte.

**Kwangkong (China)** Reichs astronomisches Observatorium.

Geographische Breite  $32^{\circ} 13' 13.3''$  N.,  
Länge  $7^{\circ} 36' 41.85''$  E.

Seehöhe 34 m.

Direktor: W. Dobbert, 1 Astronom und 3 Assistenten.

Das Observatorium ist 1885 gegründet worden und seit Anfang 1924 in Tätigkeit. Es besitzt ein Meridionalferns von 76 mm Öffnung und ein Äquatorial von 152 mm Öffnung, beide Instrumente sind Eigentum des Sternwarte zu Greenwich.

**Java, Universitätswarte.**

Geographische Breite  $34^{\circ} 35' 34.9''$  N.,  
Länge  $8^{\circ} 45' 31.55''$  E.

Seehöhe 156 m.



**Director:** Prof. Dr. G. Knapf.  
Geegründet 1812, wurde die Sternwarte 1829 auf Kosten von E. Abbe modernisiert. Sie besitzt ein Äquatorial von 174 mm Öffnung und ein Meridianfernrohr von 73 mm. Mit ihr ist eine meteorologische und wissenschaftliche Station verbunden.

**Justizler:** (früher Dorpat, Ruffand).  
Kaiserliche Universitäts Sternwarte.  
Geographische Breite  $56^{\circ} 22' 46.1''$  N.,  
Länge  $1^{\circ} 48' 53.3''$  E.  
Stühle 60 5 m.

**Director:** Prof. O. Leewitzky, 1 Observator, 3 Assistenten.

Die Sternwarte wurde 1809 begonnen und 1816 vollendet. Der erste Direktor war J. Huth, dem folgte P. W. Straus, dessen Doppelsternbeobachtungen zu dem damals größten Refraktor als zur Weiterentwicklung erhoben. Sein Nachfolger war J. H. Mädler. Hauptinstrumente sind: Ein Meridianfernrohr von Reichenbach mit 190 mm Objektiv, ein Fraunhofer'scher Refraktor von 240 mm Öffnung und ein Repsold'sches Helometer mit 100 mm Objektiv.

**Kap (Südrheinl.).** Royal Observatory.  
Geographische Breite  $37^{\circ} 56' 15''$  S.,  
Länge  $1^{\circ} 13' 14.76''$  E.  
Stühle 16 m.

**Director:** S. S. Hough, 4 Assistenten, 6 Richter, Triangulations-Rechenrind 8 Rechenmaschinen.

Die Sternwarte am Kap wurde 1820 gegründet und F. Patterson diente als Königlicher Astronom bestellt. Sie liegt in einem H in der großen Park, 5 km ost-südlich von der Stadt. Hauptinstrumente: Das Viktorienfernrohr, ein dreifaches Äquatorial mit einem photographischen Objektiv von 610 mm Öffnung, zwei gewöhnlichen Objektiven von 457 und 203 mm Öffnung, ähnlich mit einer Brennweite von 6.85 m. Dieses Instrument besitzt ein Objektprisma von 610 mm Durchmesser, sowie ein Spektroskop zur Bestimmung der radialen Bewegungen der Sterne. Ein Meridianfernrohr mit Objektiv von 200 mm Öffnung, ähnelt ganz an Greenwich

ähnlich, besitzt einen Meridianfernrohr von Triangulation & Statua mit 152 mm Objektiv und Registrierinstrument von Repsold. Ein Repsold'sches Helometer von 178 mm Öffnung, ein photographisches Äquatorial von 220 mm Öffnung, darüber zahlreiche andere Instrumente.

**Kauon (Rußland).** Kaiserliche Universitäts Sternwarte.  
Geographische Breite  $58^{\circ} 47' 34.3''$  N.,  
Länge  $3^{\circ} 14' 29.04''$  E.  
Stühle 78 m.

**Director:** D. Delboug, 2 Assistenten, 2 Richter.

Die Sternwarte wurde 1838 vollendet. Sie besitzt ein Schneider'sches Fraunhofer'sches Äquatorial mit 244 mm Objektiv, ein Repsold'sches Helometer von 166 mm, ein Meridianfernrohr von Frazer & Martins. Gegenwärtig dient diese Sternwarte hauptsächlich Untersuchungen und zwar mit Gründung des nachfolgenden.

**Observatorium Engelhardt.** Dasselbe liegt 20 km westlich von Kauon und ist nach Baron v. Engelhardt benannt, der 1877 das auf seinem Privatobservatorium in Dresden befindlichen Instrumente, hienher schenkte. Dasselbe besitzt: Ein Äquatorial von Götze mit Objektiv von 260 mm Öffnung, ein Refraktor von Marx mit 162 mm Objektiv, ein Repsold'scher Meridianfernrohr mit 135 mm Öffnung. Dieses Observatorium untersucht ebenfalls der Leitung von Prof. Delboug, darüber ist dort tätig 1 Observator und 2 Assistenten.

**Kiel.** Kaiserliche Universitäts Sternwarte.  
Geographische Breite  $54^{\circ} 20' 27.80''$  N.,  
Länge  $1^{\circ} 40' 38.55''$  E.  
Stühle 48 m.

**Director:** Prof. Dr. Harzer, 1 Observator, 1 Assistent, 1 Rechenrind.

Die Sternwarte befindet sich ursprünglich in Altona und wurde 1874 nach Kiel verlegt. Der Hauptinstrument ist ein Repsold'scher Meridianfernrohr mit einem Fernrohr von 217 mm Öffnung und 3 m Brennweite, das zu Fundamentbestimmungen dient.



10



11

10.25 140, Pöls 11  
14. 10 = 10.25, 1 = 1.25



12

11.25 140, Pöls 12  
14. 10 = 11.25, 1 = 1.25



13



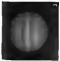
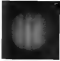
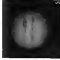
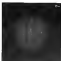
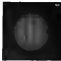
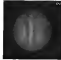
14

10.25 140, Pöls 14  
14. 10 = 11.25, 1 = 1.25



15

11.25 140, Pöls 15  
14. 10 = 11.25, 1 = 1.25

		
1933, 11. 12. 1937, März 12. 75 mm Obj., $f = 500$ , $\lambda = 5000$	1933, 11. 12. 1937, März 12. 75 mm Obj., $f = 500$	1933, 11. 12. 1937, März 12. 75 mm Obj., $f = 500$
		
1933, 11. 12. 1937, März 12. 75 mm Obj., $f = 500$	1933, 11. 12. 1937, März 12. 75 mm Obj., $f = 500$	1933, 11. 12. 1937, März 12. 75 mm Obj., $f = 500$

Tafel 1  
 Photographische Aufnahmen des Planeten Jupiter am großen Refraktor der Wiener Sternwarte.  
 Von Dr. Jos. Kersch.

In Kiel befindet sich die Zentralstelle für astronomische Telegramme, die 1882 durch die europäischen Sternwarten gegründet wurde zum Zweck astronomische Entdeckungen telegraphisch an die teilnehmenden Observatorien zu berichten. Die Zentralstelle steht in direkter Verbindung mit den wichtigsten Zentralstellen: Harvard-College-Observatorium für Nordamerika, Sternwarte zu Rio de Janeiro für Südamerika, Kapsternwarte für Südafrika, der Sternwarte zu Melbourne für Australien, dem Observatorium zu Madrid für Indien und dem Observatorium zu Hongkong für den fernsten Osten.

**Kiew (Rußland).** Sternwarte der Kaiserl. Universität St. Vladimir zu Val.  
Geographische Breite  $50^{\circ}37'11.8''$  N.,  
Länge  $26^{\circ}28'0.98''$  E.  
Seehöhe 183 m.

Direktor: Prof. Dr. B. Vogel, 1 Observator.

Die Sternwarte wurde 1841 im Bau begonnen und 1845 vollendet. Sie besitzt einen Refraktor mit 245 mm Öffnung von Stein und Mähler, der 1842 mit einer ersten kaiserlichen Montierung ausgestattet wurde, die gleichzeitig ein photographisches Fernrohr mit Steinbockschon Objektiv von 100 mm Öffnung trug, außerdem ein Meridianinstrument von Repsold mit 122 mm Objektiv.

**Königsberg.** Königl. Universitätssternwarte.  
Geographische Breite  $54^{\circ}52'50.6''$  N.,  
Länge  $19^{\circ}21'38.97''$  E.  
Seehöhe 33 m.

Direktor: H. Behrmann, 1 Astronom, 2 Assistenten.

Diese Sternwarte, 1811 bis 1813 erbaut, ist eine Schöpfung Bessels. Ihr wichtigstes Hauptinstrument, das auch heute noch in Gebrauch, ist das erste große Heliosometer (von 112 mm Öffnung), welches Fraunhofer angefertigt hat. Außerdem besitzt sie einen kaiserlichen Meridiankreis mit 100 mm Objektiv und einen Refraktor mit Objektiv von Stein-

brider & Heriel von 325 mm Öffnung und Montierung von Repsold.

**La Plata (Argentinien).** Observatorio astronomico de la Universidad nacional.

Geographische Breite  $34^{\circ}54'30.3''$  S.,  
Länge  $58^{\circ}51'32.9''$  W.  
Seehöhe 12 m.

Direktor: F. Ponce de Leon, 3 Assistenten.

Dieses Observatorium ist 1883 von der Provinz Buenos-Aires gegründet worden, gelegentlich der Schaffung der neuen Hauptstadt. Sein erster Direktor, Fr. Bosc, starb 1889. Nach sechsmonatiger Unterbrechung der Tätigkeit, wurde die Sternwarte von der Regierung der Republik angekauft und der Universität angegliedert. Hauptinstrument ist ein quadratisches Äquatorial mit Objektiv von 410 mm Öffnung, ein Meridiankreis von demselben Künstler, ein Refraktor mit Spiegel von 400 mm Durchmesser und ein photographischer Refraktor vom Typus derjenigen, welche für die photographische Himmelskarte in Benutzung sind. Die Sternwarte ist gegenwärtig noch auf dem Wege der Vervollständigung.

**Leipzig.** Universitätssternwarte.  
Geographische Breite  $51^{\circ}20'59''$  N.,  
Länge  $12^{\circ}49'33.97''$  E.  
Seehöhe 119 m.

Direktor: Prof. H. Brubaker, 2 Astronomen, 2 Assistenten, 1 Mechaniker.

Die erste Leipziger Sternwarte stammte aus dem Jahre 1757 bis 1760 und war auf der Pfaffenburg installiert. Sie bestand als unregelmäßig angelegtes Observatorium bis Ende der Kaiserzeit über das vorige Jahrhundert. Unter Brubaker wurde die neue, schon von seinem Vorgänger d'Arrest geplante und 1851 vollendete Sternwarte in Betrieb gestellt. Hauptinstrumente sind ein Refraktor von Steinheil mit 215 mm Öffnung und Montierung von Peter & Martin, ein Fraunhoferischer Refraktor von 110 mm Öffnung.

**Leyden (Holland).** Observatorium der Universität.

Geographische Breite  $52^{\circ} 9' 19.6''$   
Länge  $9^{\circ} 17' 56.10''$  E.

Seehöhe 4 m.

Director: Prof. H. G. van de Sande Bakhuysen, 3 Observatoren, 1 Assistent.

Auf Sankt des alten wurde Ende der Kaiserzeit das neue Observatorium errichtet, in welchem die Beobachtungen 1861 unter Director F. Kaiser begannen. Hauptinstrumente sind: Ein Refraktor von 190 mm Öffnung von Merz mit Montierung von Repsold, ein Refraktor von 152 mm Öffnung, ein Meridiankreis von Frazer & Martin, ein photographisches Äquatorial, System Henry Lissabon, Königl. Observatorium, Tschuda.

Geographische Breite  $38^{\circ} 42' 31.25''$  N.,  
Länge  $9^{\circ} 34' 44.68''$  E.

Seehöhe 94 m.

Director: C. A. Campos Rodrigues (Vize-director), 3 Astronomen, 2 Diener.

Das Observatorium wurde 1884 gegründet, indessen sind die Gebäude heute noch nicht ganz vollendet. Hauptinstrumente: Ein Meridiankreis von Repsold mit Meridianem Okular von 135 mm Öffnung, ein Äquatorial mit 362 mm Okular von Merz und Montierung von Repsold, ein Äquatorial von 117 mm Öffnung, ein tragbares Meridianinstrument von Repsold, ein Passageninstrument im ersten Vertical mit Okular von 168 mm Öffnung.

Land (Schweden). Königl. Universitätsobservatorium.

Geographische Breite  $55^{\circ} 41' 52.8''$  N.,  
Länge  $9^{\circ} 52' 45.64''$  E.

Seehöhe 36 m.

Director: C. Y. L. Charles, 1 Observator, 1 Assistent.

Das Sternwarte stammt aus dem Jahre 1681 und ihr erster Director war A. Möller. Hauptinstrumente sind: Ein Meridiankreis von Repsold mit 168 mm Okular, ein Meridianes Äquatorial mit

Okular von 240 mm Öffnung und ein Sternförmiges Äquatorial mit 168 mm Okular.

Lyon (Frankreich). Observatoire de l'Université de Lyon.

Geographische Breite  $45^{\circ} 41' 40.97''$  N.,  
Länge  $9^{\circ} 16' 8.54''$  E.

Seehöhe 300 m.

Director: Ch. André, 2 Himmelskammern, 2 Astronomen, 1 Meteorologe.

Das Sternwarte liegt zu Saint-Gemini-Léon, 8 km südwestlich von Lyon und wurde 1878 gegründet. Hauptinstrumente: Ein Meridiankreis von Echerm mit Okular von 150 mm Öffnung, ein Äquatorial von Gauthier mit 320 mm Okular. Ein Siderostat von 300 mm Öffnung wird demselben in einer unterirdischen Camera von 133 mm Länge aufgestellt.

Madison (Wisconsin, Vereinigte Staaten), the Washburn Observatory, University of Wisconsin.

Geographische Breite  $43^{\circ} 4' 24.8''$  N.,  
Länge  $54^{\circ} 57' 30.043''$  W.

Seehöhe 292 m.

Director: G. C. Comstock, 1 Astronom. Das Sternwarte ist 1878 auf Kosten von C. C. Washburn errichtet worden. Ihr erster Director war J. C. Watson. Hauptinstrumente sind: Ein Clarkcher Refraktor von 480 mm Öffnung und ein Meridiankreis von Repsold.

Madras (Deutsch Ostindien). Geographische Breite  $13^{\circ} 4' 5.8''$  N.,  
Länge  $80^{\circ} 36' 34.6''$  E.

Seehöhe 7 m.

Director: C. Noble Smith, Subdirector: R. L. Jones, 1 Gehilfe.

Das Sternwarte wurde 1792 gegründet und ihr erster Director war Goldingham. Hauptinstrumente sind: Ein Meridiankreis von Troughton & Simms mit Okular von 140 mm Öffnung, ein Äquatorial von demselben mit 300 mm Okular.

(Fortsetzung folgt)

## Photographische Aufnahmen des Planeten Jupiter am grossen Refraktor der Wiener Sternwarte.

(Mithras-Tablet 1.)

**I**n der Schöpfung dieser Zeiten hat nach einer Reihe ziemlich schwieriger Versuche am 27stägigen Refraktor der Wiener Sternwarte Aufnahmen des Planeten Jupiter erzielt, welche nicht nur die grösseren Strukturen, sondern auch nicht wenige feiner Details enthalten, die einer Umstellung von geeigneter Unterlage für genaue Messungen fähig wären. Es nahm sich darum vor, den Planeten nicht mehr bloss gelegentlich, sondern systematisch zu photographiren.

Die Wolkenschichtbilder, brauchbare Bilder zu erhalten, ist wegen der vielen unglückigen Efflässe aber immer sehr gering, eigentlich kann man von der überhaupt erst sprechen, wenn die Möglichkeit gegeben ist, eine größere Reihe von Aufnahmen nach aufeinander hinzustellen. Im vorliegenden Falle ermöglichte dies nur die Kasse mit tragender Kinnastocherumrichtung, die auf einer Platte im Format 9x12 cm drei bis fünf Reihen von je zehn Aufnahmen gestattet. Auf diese Weise war es möglich, 30 bis 50 Aufnahmen in ca. fünf Minuten herzustellen. Daß bei einer so großen Reihe von Belichtungen mindestens für eine Aufnahme alle glänzenden Umstände zusammenzufallen, ist nicht zweifelhaft, und tatsächlich finden sich in einer solchen Reihe fast immer einige wenige Aufnahmen, welche durch besondere Güte hervorragen. So gelang es z. B. auf diesem Wege, Bilder des Planeten zu erhalten, welche Stellen bis hoch in die Polarzonen hinab aufweisen und dunkle und helle Zonen oft in der Anzahl von 14 bis 15 zeigen, die ihre vollkommene helle Linie, welche den Stützpunkt bildet für die gesamte Länge nach durchzieht, wurde wiederholt abgebildet. Objekte, welche nur kleine Bruchteile von Bogenminuten im

Durchmesser besaßen und obwohl nur bei ganz guter Luft zu sehen waren, wurden photographisch unendlich vervielfacht, wenn nur der Kontrast zwischen ihnen und ihrer Umgebung an genügend war, auch der große rote Fleck, ein sehr schwieriges Objekt, ist auf einigen Aufnahmen zu se, wenn; die Abbildung der Schatten der vier größten Trabanten war selbst bei milder guter Luft stets eine deutliche.

Die Anzahl der von Anfang Februar bis Anfang April 1907 gewonnenen Aufnahmen beträgt ca. 3000, von denen naturgemäß nur eine kleine Anzahl für die weitere Verarbeitung brauchbar ist. Einige der besten sind diesem Heft in guter Reproduktion beigegeben.

Es sei noch folgendes bemerkt:

Die Aufnahmen erfolgten zur Einstellung der bestmöglichen Schärfe im Fokuspunkt der optisch hellen Stellen, der ausserhalb Spektralbereich erstreckte sich daher von D bis F. Da ein optischer chemischer Fokus nicht besteht, waren Aufnahmen an dieser Stelle nicht möglich.

Zur Erzielung einer möglichst großen Originalgröße wurde zwischen Objekt und Platte ein negatives Vergrößerungsgerät eingeschaltet. Die stärkste noch mit Erfolg verwendete Vergrößerung betrug 31. Die dabei erhaltenen Jupiterbilder haben zur Zeit der Opposition einen Durchmesser von ca. 4 mm. Da das Plattenkorn ohne weiteres eine fünffache Vergrößerung zuläßt, können in der Folge Jupiterbilder von 20 mm entstehen hergestellt werden.

Wollte die Aufnahmen, wie schon bemerkt, im Fokuspunkt der optisch hellsten Stellen erfolgt, müßten natürlich gut gelungene Platten verwendet werden. Zur Anschaffung der chemischen Stellen wurde ein sehr

starker Ausstrahlung, der die Strahlen genau von P abstrahlt, ohne Verflechtung der Strahlen dazwischen von D bedurft es nicht, da für sie auch die gewöhnliche Platte nicht mehr empfehlend ist.

Für die Qualität der Bilder war auch die gute Temperierung des Kappelsternes und des Fernrohrs selbst von großer Bedeutung. Zu dem Zweck wurde die Kugel bereits mehrere Stunden vor Beginn der Arbeit gelüftet und ein starker Luftzug durchgeschickt. Die Lüftung des Fernrohrs selbst geschah durch Öffnen mehrerer Klappen am Objektiv und durch Entfernung des Okulars. Auf diese Weise wurde ein sehr geringer Unterschied

zwischen Innen- und Außentemperatur erreicht. Der Temperaturunterschied zwischen Objektiv und Okular betrug selten mehr als  $1^{\circ}\text{C}$ .

Die Erschütterungen, welche das Umwälzen des Fernrohrs erzeugt, wurden genau studiert, der die Bewegung übermischende Sektor geprüft und nur die besten, etwa  $2^{\circ}$  umfassende Strecken während der Aufnahme benutzt. Die dennoch verbleibenden Erschütterungen waren abgemildert und von sehr geringer Amplitude.

Zu so noch bemerkt, daß die Belichtungsdauer selten mehr als  $15^{\circ}$  betrug. Vermutlich, sie noch weiter herabzusetzen, schlägen sie jetzt fehl.

Dr. Joseph Rhaden.

## Das Verschwinden und Wiederauferscheinen des Saturnrings 1902.

**D**as Saturn- $\gamma$  ist gemäß den Beobachtungen von Prof. Peter vollständig ausgefallen worden, zu welchen Zeiten und unter welchen kosmischen Verhältnissen der Saturnring im Laufe des Jahres 1902 verschwand und wieder sichtbar wurde. Am 12. April trat die Erde in die Ringebene, und der Ring verschwand, Juli 26 stand die Sonne in der Ringebene, und der Ring wurde sichtbar. Oktober 4 war die Erde in der Ringebene, und der Ring verschwand abermals. Im Jahre 1903 Januar 7 ist die Erde in der Ringebene, und der Ring erscheint wieder. Das erste Verschwinden des Ringes Mitte April war nicht zu beklagen, da Saturn in der Nähe der Sonne verweilt. Über das Sichtbarwerden des Ringes nach dem 4. Oktober liegen bis jetzt folgende Mittheilungen vor:

Zuerst meldete Prof. Campbell von der Licksterwarte am 28. Oktober, daß während der vorhergehenden Woche hellere Kreise auf dem Saturnring sich

hervor geworfen seien, und zwar p. n. und östlich und westlich, symmetrisch zum Saturn. Am 1. November telegraphirte Lowell von Flagstaff, daß er die gleiche Erscheinung am Saturn wahrgenommen habe wie Campbell. Die astronomischen Nachrichten brachten folgende Mittheilung von Prof. E. Hartwig, Hamburg, 1901, Nov. 2.

«Die gute Luft benutzte ich gestern zur Beobachtung von Saturn und bemerkte zu meiner Überraschung, daß der Ring nach beiden Seiten wieder sichtbar ist in vollständiger Flouren. Der Scheitel des Ringes auf der Saturnachse war sehr deutlich und besser als vor vier Wochen. Nicht in Überreichung mit der Meldung symmetrisch gelegener Kreise des Ringes sah ich die der Kugel nächsten Teile des Ringes am besten.»

E. Schaefer in Gießen sah am 2. Oktober den Ring nach oben Schwenget, als letzte Linie in einem Capewitzschen Teleskop von 140 mm Öffnung, am 4. Oktober  $45^{\circ}$  oberhalb noch in einem Spiegelteleskop von

188 mm, aber 7½" war jede Spur der Ringfläche außerhalb der Kugel des Planeten verschwunden. Mit einem Instrument von 348 mm Öffnung waren auf Momentspausen des Rings um 7½" aufzufinden, 8" aber nicht mehr davon.

Über die Sichtbarkeit des Rings schreibt uns Herr Dr. E. Fleischer: »Am 3. November sah ich zum ersten Male den Saturnusringchen als äußere Linie, sehr am Grunde etwas verdickende graue Linie nördlich vom Äquator mit 300facher Vergrößerung. Später sah ich dasselbe, aber schwächer, auch am 300fachen Vergrößerung.«

Dr. W. Himmelfarb, Assistent an der Sternwarte in Königsberg, berichtet vom 19. Oktober 1907:

»Am 13. Oktober der Königsberger Sternwarte wurden folgende Wahrnehmungen gemacht:

1907 Okt. 1 8<sup>h</sup> mittl. Zeit Götting. Ring deutlich sichtbar, Schatten desselben auf der Planetenoberfläche nicht erkennbar. Dünstige Luft.

Okt. 3 8<sup>h</sup> mittl. Zeit Götting. Ring unsichtbar. Beobachtung durch Wolken.

Okt. 3 10<sup>h</sup> mittl. Zeit Götting. Ring verschwunden. Schatten des Rings und dunkle Strichen auf der Saturnschale gut sichtbar. Einzelne oberer Fläche zu erkennen. Derselben Eindruck hat der Rechner der Sternwarte, Herr Schaeffeler.

Himmelfarb möchte ich anmerken, daß der Durchgang der Erde durch die Ebene des Saturnrings am Okt. 3 8<sup>h</sup> mittl. Zeit Götting. stattgefunden habe.

Dr. F. Kautenper veröffentlicht folgende Beobachtungen und Bemerkungen über das Verschwinden der Ringe:

»Für ein vollständiges Verstecken von 30 mm Öffnung, wie es dem Berichtswriter zur Verfügung stand, war bereits am 3. Oktober die Ringlinie nur noch gabelstark im Wasserandauer und zwar am 4., wo es vollständig bewölkt war, weiter nicht mehr zu sehen gewesen. In der Zeit bis zum 7. Januar,

wo der Ring verschwunden blieb, können nun wieder die Ringlinien unter Überlegenheit zeigen. Es gilt nämlich einen Beweis für die Existenz des Saturnrings, der theoretisch geführt ist, auch praktisch darzutun. Der Augenchein selbst eine feste, flache Ringlinie am Saturn. Ich schreibe, Der Mathematiker des Himmels bewies, daß eine feste Scheibe hier gar nicht existieren könne. Namentlich hat Georg Darwin, Professor der Mathematik in Cambridge, um über die Entstehung der Saturnringe aufgeklärt. Wenn außer den Saturnringen, die wir jetzt noch sehen, früher ein anderer noch näher am Saturn existierte als der jetzt meiste Trümm, nämlich, so läßt sich beweisen, daß, wenn er dem Rande des Saturn näher kam als 1.54 Saturnhalbmessung, der Mond dann infolge der verschiedenen starken Anziehung des großen Planeten auf seine einzelnen Teile Zerrungen von solcher Größe erfuhr, daß die feste Kugel in flüssige Masse zerfiel und zerfiel. Dann aus einem festen Körper muß denn die Strom, kleiner Körperchen die ursprüngliche Kette des Saturnkörpers entlang laufen, und durch Zusammenstoße zwischen den neuen Mondchen wird aus der schmelzen schließlich eine feste Straße. Gegen dies haben wir aber bei Saturn vor uns. Der breite feste Doppelring beginnt in 0.51 Radius Abstand und geht bis zu 1.18 Radius Abstand vom Planetenrande. In dieser ganzen Zone können also keine festen Monde bestehen, und wenn Trümmer laufen aus in breiter, flacher Kugel aus den zerfallenen Hauptkörper.

Wenn aber die kleinen Bruchstücke dabei sich gegenseitig stoßen, so drängen sie sich auch ein wenig nach oben und unten, so daß die Scheibe an einzelnen Stellen von ihnen herangedrungenen Gliedern überlagert wird. Das wird nun für gewöhnlich von der Erde aus kaum wahrzunehmen, wenn die Ringfläche schief gegen die Auge



steht, dass selbst sich diese abgerundeten Menschen nicht von dem weißen Hintergrund ab, auf dem sie sich projizieren, hebt, aber die Ringreihe so wie jetzt, besonders gegen das Auge geföhrt, daß ihnen sie selbst nicht wohl, dass werden Erhöhen über die Fläche sich von dem dunkeln Hintergrund des Weltraum wohl abheben, allerdings nur für sehr starke Fernsicht, die Gruppen solcher kleiner Trabanten trotz der Entfernung von 1150 Millionen Kilometer erkennen können.

Es war anzunehmen, daß die geringe jetzt gebotene Gelegentheit auf der Lichterwand auf dem Mond Himmeln, die zur Erkennung lichtschwacher Körper im Sonnensystem schon so viel getan hat, nicht verabsäumt werden würde. Ein Telegramm an die astronomische Zentralstelle in Kiel vom 28. Oktober meldet nun, daß in der Woche vom 28. bis 27. Oktober tatsächlich Teile der Ringe gesehen worden sind, und zwar in Form von je zwei hellen Knoten zu beiden Seiten des Planeten, die symmetrisch zum Planetenmittelpunkt lagen. Harnack ist

der Meinung dafür überzeugt, daß die Ringe wirklich aus hinter schließlichen kleinen Körperchen bestehen, die nach der Orientierung der Orientierung um Saturn anhalten wie die große Monda. Eine Reihe solcher über die Ebene der Ringe herausgetreten Teilchen, die im Osten nördlich der Hauptmasse liegt, muß auch einem äußeren Verlauf im Westen ebenso auf südlich der Ebene erschienen, aber in gleichem Abstand vom Planetenmittelpunkt, daher die Symmetrie der Erscheinung. Da die Bahnen einzelner Teilchen in Kreisen um dem Saturnmittelpunkt erfolgen und kein Gesetz die nach der Seite herausgetretenen Monda wieder in die Hauptebene zurückzuführen, sondern vollständig immer mehr außer kommen, dass je zurückzuführen, und die Folge wird eine langsame Verbreiterung der schmalen Ringreihe umschreibt zur Hauptebene sein. Die außerordentlich schmale Gestalt derselben, die wir jetzt für mittlere Fernsicht ganz sichtbar macht, beweist, daß die Ringflächen relativ jungen kosmischen Alters ist.

## Die Bewegung des Andromedanebels.

 Auf Grund unglücklicher Messungen an 64 Astrophotogrammen des Großen Andromedanebels, die in Stockholm mit 20 bis 40 Minuten Belichtungszeiten aufgenommen worden sind, hat K. Boklin durch Nachrechnung gefunden, daß die Parallax dieses Nebels 0.12' beträgt, während die Eigenbewegung desselben jedenfalls äußerst klein ist <sup>1)</sup>. »Da die eigene Bewegung des Nebels, sagt Boklin, fast verschwindend ist und es äußerst schwer fällt, dem für die Parallax des Nebels gebrauchten Worte jede Kraft abzusprechen, würde man sich lieber, anzunehmen, daß die Bewegungen des Nebels und des Sonnensystems nahezu

gleich seien. Wie nun der Sonnenapex (der Punkt, gegen welchen hin am Himmel die Sonne sich bewegt) nicht weit entfernt vom Pol der Ekliptik steht, so würde ebenso erwartet werden können, daß auch der Apex der Bewegung des Andromedanebels nahezu in denselben Pol sich befindet. Der Pol des Andromedanebels liegt aber in derselben Himmelsgegend wie der Pol der Ekliptik und der Sonnenapex.«

Indem sich also einzig Wahrscheinlichkeit für die Gleichzeitigkeit der Bewegungen des Nebels und des Sonnensystems ergibt, hat Boklin sich auch nach anderen Fundamentalkörpern unter den Fixsternsystemen umgesehen, um diese ebenfalls in Bezug auf Gleichzeitigkeit der Bewegungen zu prüfen

<sup>1)</sup> Astronomische Nachrichten, Nr. 4213.

Hierzu bieten sich zunächst die Bahnen der Doppelsterne, doch infolge des Unterschiedes nicht durchaus eindeutige Resultate. Bei einer Gruppe von Doppelsternen, zu der eigentümlicherweise mehrere Sterne mit merkwürdiger Parallelität gehören, ergab sich aus dem Andromedanebel ähnliches Verhalten, nämlich daß diese Systeme sich näher zu sondern gegen ihre Bahnbewegung bewegen.

Die Hypothese, sagt Kottlin, daß der Andromedanebel sich nicht gegen seine Bahnbewegung vorwärtsbewegt, würde so nicht mehr befriedigend erscheinen.

Gehört aber irgendeine der Andromedanebel zu den uns nächsten Himmelskörpern, so würde der Umstand, daß der eigentümliche Bewegung dieses Nebels verschwindend klein ist, nur so zu denken sein, daß diese Bewegung mit derjenigen des Sonnensystems gleich und gleichgerichtet wäre. Nach dem, was festgestellt worden ist, steht einer solchen Hypothese nichts im Wege, sondern die Wahrscheinlichkeit derselben erscheint sogar in mehrfacher Hinsicht durch die vorläufige Untersuchung, um die es sich hier handelt, eingetauscht begründet.

## Vermischte Nachrichten.

**Das große reaktive Protuberanz.** (Hierauf Tafel II.) Aus dem Verfehr-observatorium wurden während der letzten Spektroskopie am täglich Aufstehen der Protuberanz rings um die ganze Sonnenscheibe ausgeführt, wobei die H-Linie des Spektrums benutzt wird. Bei einer solchen Aufnahme am 21. Mai 1907 Nr. 28, Zeit v. Greenwich stündlich der Beobachter Philipp Fox beim Entdecken der Platte eine ungewöhnlich große, eigentümliche Protuberanz. Er rief daher sofort zum Spektroskopographen zurück, um eine Reihe weiterer Aufnahmen zu machen und die Entwicklung der merkwürdigen Protuberanz festzuhalten. Leider gelang es nur vier Aufnahmen nach Wunsch, da der Himmel sich kurz vor dem nur Aufnahmen gibt Fox im Astrophysical Journal Wiedergabe in Lichtdruck, und desselben sind auf Tafel II reproduziert.

Nr. 1 bezieht sich auf die Zeit Nr. 28, die höchste Erhebung der Protuberanz über die Sonnenoberfläche beträgt 228.5° oder 187 500 km. Man sieht deutlich, daß die Protuberanz in der Höhe abgerundet ist, als wenn sie von einer starken Strömung in der Sonnenatmosphäre abwärts gezogen würde.

Nr. 2 wurde Nr. 29 aufgenommen. Die Protuberanz war jetzt bis zu 229.5° oder 190 500 km über die Sonnenoberfläche emporgehoben. Sie erschien nunmehr kreisförmig zurückgezogen, fast wie ein Ring, der von der Seite gesehen wird, oder ein Wirbel.

Nr. 3, aufgenommen Nr. 30, zeigt die Protuberanz bis zu einer Höhe von 228.5° oder 187 500 km emporgehoben. Der Ring beginnt sich hier offenbar zu lösen, jedenfalls hat er sich erheblich weiter von der Sonnenoberfläche entfernt.

Nr. 4, aufgenommen Nr. 31, der Ring hat sich aufgelöst, und die höchsten Teile schwaben jetzt 221.6° oder 187 600 km über der Sonnenoberfläche. Das Ganze stellt sich als zwei nebeneinanderstehende, ringförmige Wolken aus glühendem Wasserstoff dar. Das ganz angewandte Gerüst hatte von Anfang an eine erhebliche Bewegung gegen Süd.

Der Merkur-Durchgang im November 1907 konnte in Deutschland wegen schlechten Wetters nur teilweise beobachtet werden. Herr E. Stephan schreibt uns: Am 14. Nov. war noch in Cassel sehr ungünstiges Wetter, Nebel,

Regen und starke Bewölkung. Eintritt und Austritt konnten nicht beobachtet werden, dagegen gelangen mit schwacher Vergrößerung 16 photographische Aufnahmen durch Wolkenslitschen, auf denen Merkur gut zu sehen ist. Die gleichzeitig sichtbaren Sonnenflecken zeigten sich im Fernrohr sehr viel heller als der schwarze Merkurfortschleichen.

Am 15. Nov. war schönes Wetter, so daß die große Fleckengruppe, die sich bereits sehr gelindert hatte, mehrere Male photographiert werden konnte.

**Beobachtungen des 5. Jupitermondes während der Opposition 1906 bis 1907** hat Prof. E. E. Barnard am 48-Zoller der Yerkesobservatorie angestellt.<sup>1)</sup> Die Luftverhältnisse waren im allgemeinen wenig günstig für die Beobachtungen eines so schwachen Objektes. Der große Helligkeit des Jupiter selbst machte die Atmosphärenringe um die Scheibe sehr hell beschatteter Luft, und der Satellit verschwand dann infolge des Mangels einer dunklen Hintergrund, von dem er sich abheben konnte. Die größte Nähe des Jupiter bei der Erde scheint also für Beobachtungen des 5. Mondes nicht so sehr ausschlaggebend gewesen zu sein, als bessere Luft bei größeren Entfernungen. Bei Beobachtung des 5. Mondes war die Nähe des Jovis oder anders der 4 hellen Monde des Jupiter oft recht störend, und in einigen Fällen wurde der schwache Trabant infolgedessen sogar ganz verdeckt. Bei günstigen Luftverhältnissen wird der 5. Mond im großen Fernrohr sehr gut zu sehen.

Der Komat 1819 II war der Sonnenschelle. In der Frage, ob ein Komat bei seinem Vorüberzuge vor der Sonnenschelle gesehen werden könne, hat lange Zeit eine Beobachtung von Piazzi eine große Rolle gespielt. Derselbe behauptete, am 15. Juni 1819 einen runden, dunkeln, nebelförmigen Fleck auf einem hellen Punkt in der Nähe

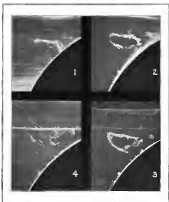
auf der Sonne gesehen zu haben. Sein Fernrohr war ein Französischer Refraktor von 8 $\frac{1}{2}$  Fuß Brennweite, der der besten der damals vorhandenen. Am 17. Juni war der Fleck verschwunden. An der Tandelfahheit der Wahrnehmung ist nicht zu zweifeln, denn schon Schumacher und Hind bezweifelten, ob der gesuchte Fleck mit dem Kometa identisch gewesen sei. Eine neue Berechnung der Bahn dieses Kometen hat Henry A. Peck angestellt und danach die Bewegung des Kometen über die Sonnenschelle bestimmt.<sup>2)</sup> Hieraus hat der Komat war die Sonne 1819 Juni 25.705 und am denselben Juni 25.695, er beschrieb dabei eine fast senkrechte zur Ekliptik stehende Linie. Peck kommt zu dem Ergebnisse, daß der Piazzische Fleck nicht mit dem Kometa identisch gewesen sein könne.

**Langs und Zeit.<sup>3)</sup>** Zu Ende des 15. Jahrhunderts wurden die ersten historischen Lagebestimmungen an die Helligkeitskurve von Nürnberg und Ulm angeschlossen, da die ersten Meridiane der ersten Epochen sind, welche aus den Theorien des Ptolemäus und den Beobachtungen von Regiomontanus hervorgehen, berechnet waren.

Als die Gelehrten der verschiedenen europäischen Nationen die ägyptischen Erdpläne entzifferten und erweiterten, schufen sie in Petroskies und gegenwärtiger Feindschaft eine große Verwirrung der Lageangaben. Gegen diesen Uebelstand versuchte in der ersten Hälfte des 12. Jahrhunderts Richau die verschiedenen Nationen auf eines Anfangsmittelpunktes durch den höchsten Punkt von Ferro zu bringen, aber erst 1754 wurde dieser Punkt in 16° 55' Länge gegen Paris Höchstpunkt genannt bestimmt. Dieses Ergebnis veranlaßte das Vordringen von Laplace, den Fernostindien als nach 20° westlich von Ferro anzusetzen. Es ist die

<sup>1)</sup> The Astron. Journal, No. 566.

<sup>2)</sup> The Astronom. Journal 1887, No. 528.  
<sup>3)</sup> Memo. POC, S. 126.



Seite 100

Tafel II

Große eruptive Sonnenprotuberanz in verschiedenen Stadien  
der Entwicklung.

Photographiert auf der Yerkes-Sonnenlinse am 31. Juli 1907 von Prof. Fox.

Mitte der sechziger Jahre des letztvergangenen Jahrhunderts blieb neben den Greenwich und Pariser Meridiane dieser Fernverkehr in Ordnung, er sollte die Halbkugel zweckmäßig und schnell besser verketteten Länderräumen. Solches 1850 machte sich Wissenschaft und Technik das Bedürfnis nach einer weitestgehenden Vernetzung so wohl der Längen wie der Zeit grüßte internationale Versammlungen empfahlen die Regierungen zu einer Normaleinstimmung. Bald darauf versuchte die Regierung der Vereinigten Staaten, eine solche Vernetzung in Anfangszeiten und Weiter zu bestehen. Im Frühjahr 1853 fandete gleiches der Senat in Hamburg von der letzten Kommission der internationalen Konferenz. So kam die nächste allgemeine Konferenz der europäischen Regierungen zu ihren Verhandlungen vom 15. bis 24. Oktober 1853 in Rom zu wesentlichen zu folgenden Beschlüssen:

a) Der wissenschaftliche und praktische Nutzen einer einheitlichen Länge und Zeit überwiegt selbst den Aufwand an Arbeit und die Schwierigkeiten der Angewandtheit.

b) Vom Greenwich-Meridian sollen die Längen Maß in der Richtung nach Ost gezählt werden.

c) Weltzeit und internationaler Datum beginnen mit dem mittleren Mittag in Greenwich, der also mit der Mitternacht oder dem Anfang des bürgerlichen Tages unter dem 12 Stunden oder 180° vom Greenwich entfernten Meridian zusammenfällt. Die Stunden der Weltzeit sollen von 0 bis 24 gezählt werden.

Zugleich betonte diese Versammlung die dringende Notwendigkeit solcher Maßvereinheitlichung für den Schulunterricht und erbatte den Bericht der Kommission zur Arbeitsversion vom 20. Mai 1875.

Nun sehen wir die Vereinigten Staaten von Nordamerika vorstellt, Ost als zivilisierten Länder zur Teilnahme

an einer Konferenz in Washington einladen, um diese Konferenz zu beenden. Die ersten Regierungen schicken Vertreter, aber beschlössen sie nicht zur Untersuchung eines internationalen Vertrages. Die Konferenz legte im Oktober 1884.

Gegen die Stimme von St. Domingo und seiner Stimmengruppe von Frankreich und Brasilien wurde beschlossen:

Von dem Anfangsmittag Greenwich sollen die Längen je nach Ost und West bis 180° zu zählen sein.

Deutschland und St. Domingo stimmten nicht für das weitere Vorgehen.

Eine Unterabteilung für alle diejenigen Fälle anzunehmen, in denen eine solche einheitlich empfunden wird; diese Zeit soll jedoch den Gebrauch der Ostzeit oder einer anderen wissenschaftlichen Normaleinstimmung nicht behindern.

Gegen die letzten Stimmen von Österreich-Ungarn und Spanien und bei Stimmengruppe der 7 Länder Deutschland, Frankreich, Italien, Niederlande, Schweden, Schweiz, St. Domingo, vereinbarten sich schließlich nur 15 Stimmen auf das weitere Beschluß.

Der Unterabteilung soll die mittlere Sonnenzeit sein. Es soll für die ganze Welt mit Mitternacht des ersten Hochjahres (von Greenwich) beginnen und mit dem Anfang des bürgerlichen Tages und dem Datumwechsel auf diesem Meridian zusammenfallen. — Dieser Tag soll von 0 bis 24 Uhr gezählt werden.

Insoweit, was der Vertreter Frankreichs erklärte, daß Frankreich wohl auf die Pariser Zeit verzichten würde, aber auf der Festlegung eines gemeinsamen schiedlichen Anfangsmittags, gleichwohl durch den Atlantik oder die Schengruppe, besteht.

Später hat sich die mächtige deutsche Längereinstimmung dieser Washingtoner Beschlüsse angeschlossen. Aber aus dem Verlauf der Konferenz ergibt, daß nur eine endgültige Konferenz nicht vollständig ist.



## Erklärung zu dem astronomischen Kalender.

In jedem Heft des *Almanach* findet sich auf den vier letzten Seiten ein monatlicher astronomischer Kalender, der die wichtigsten Himmelserscheinungen vor sich verläuft. Zum Vorläufigen stehen im folgenden zu berichten:

1. Die Zeitangaben, welche der Sonne, dem Monde und den Planeten betreffen, sind in mittlere Berliner Zeit angegeben. Nach den neuesten Bestimmungen ist die Länge des Berliner Meridians:  $10^{\circ} 28' 30''$  von Paris der Länge des Greenwich Meridians, d. h. von Westrom  $6^{\circ} 45' 30''$ . Als Anfang des Tages gilt die Mittags- und die Zählung der Stunden beginnt bei 12, so daß die Stunden Zahl 12 der Nachmittags- und die Stunden darüber bürgerlichen Tages bezeichnen, die Stunden über 12, wenn man um 12 vermindert, die Vormittagsstunden desselben bürgerlichen Tages und  $24 - 12 = 12$  bezeichnen. Als 12  $30^{\circ} 30''$  steht als Mitternacht vor.

2. Die Zeitangaben zum Planeten. Der astronomische Kalender enthält zunächst die für jeden Tag bestimmten Orte der Sonne und des Mondes am Himmel. Der kleinere Rektascensionswert gibt den wahren Winkelstand des betreffenden Körpers zum Frühlingspunkt und zwar in der Richtung gegen Osten an. Man prüft diesen Winkelstand sehr leicht an der Hand, indem in Stunden ( $^{\circ}$ ), Minuten ( $'$ ) und Sekunden ( $''$ ) ausrechnet, wobei  $1^{\circ} = 60'$ ,  $1' = 60''$ ,  $1'' = 60'''$  beträgt. Die Rektascension oder Abweichung in der Winkel zwischen dem Osten und dem Himmelsäquator, gemessen am Meridian, heißt das Centrum südlich vom Himmelsäquator, so ist seine Deklination  $+$ , steht es nördlich, so wird sie durch  $-$  bezeichnet. Die Rektascension und Deklination der Himmelskörper entsprechen den Meridianen und Breitenkreisen auf der Erdoberfläche. Der Rektascensionswert 24  $2^{\circ} 45'$  bedeutet Zeit weniger sechs Zeit sagt für jeden Tag an, wie viele Minuten und Sekunden nach mittl. Berliner Central Zeit gerade Ost steht ( $+$ ) oder weniger ( $-$ ) gegen mittl. als eine Stunde, welche mittl. Central Zeit ergibt,  $\pm 2$  vier Stunden.

Die Rektascension am Meridian gibt den Aufgang an, in welchem an jedem Tage der Mond genau im Süden oder frühen Kulmination des Mondes. In der Planeten-Ephemeride gibt die kleine Obere Meridiandurchgang die Zeit an, wenn der betreffende Planet genau im Süden steht (ohne Kulmination), das den Meridian über dem Horizont passiert. Auch hier ist zu beachten, daß die Stunden bis 12 fortgesetzt werden und Anfang bei 12 beginnt. Ein Planet, dessen oberer Meridiandurchgang an einem bestimmten Tage um 12 stattfindet, steht also um Mittag im Meridian, findet sein Meridiandurchgang um 12 statt, so steht er bereits 6 Uhr im Meridian, findet er um 12 $^{\circ}$  statt, so steht er um Mitternacht im Meridian, liegt er um 12 $^{\circ}$  ein, so ist er bereits am nächsten Tage früh 6 Uhr am Meridian. Diese Angaben können dazu dienen, die Zeit der günstigsten Wetterzeit resp. der Unsicherheit eines Planeten zu erkennen. In der kleinen Planetenephemeride mit Hülfe von bestimmten Ausdrücken kann man sich in Relation setzen, daß die beiden Körper in der angegebenen Zeit der günstigsten Ausrichtung waren. In den Fällen, wo gleichzeitig auch die Deklination, findet sehr nahe gleich ist, findet man Bedeutung statt. Diese Bedeutungen zeigen sehr wohl für die Orte zu gleicher Zeit und in gleicher Weise, sondern ist nicht für jeden Fall besonders berechnet worden. Im astronomischen Kalender sind die Angaben, wie sie sich für Berlin ergaben. — In Opposition ist ein Planet, wenn er 180° genau gegenüber steht, also wenn 12 Uhr durch den Meridian geht, in Opposition mit der Sonne, wenn er am Himmel um einen Bogen von 90° von der Sonne absteht, im aufsteigenden Knoten, wenn er sich durch die Länge der Ekliptik am Himmel nach Norden bewegt um 90° oder steigenden Knoten, wenn seine Bewegung durch die Ekliptik nach Süden abgedreht ist. Die größte Elongation bedeutet die Zeit, wenn einer der kleinen Planeten (Merkur und Venus) am nächsten östlich oder westlich von der Sonne am Himmel steht. Ein Planet ist im Perihel, wenn er der Sonne am nächsten steht, im Aphel, wenn er am weitesten von der Sonne entfernt ist.

3. Erscheinungen der vier hellen Jupitermonde. Die klassischen Angaben über die Erscheinungen der Jupitermonde beruhen auf mittlere Zeit von 1750 nämlich die Tage und nach der Reihenfolge ihrer Abstände vom Jupiter auf IV bezeichnen. Vier größere Figuren zeigen die Stellung jedes Mondes mit Bezug auf den Jupiter bei der Ausrichtung der Verbindung ( $\pm$ ) oder des Wiedererschensens ( $\pm$ ). Ist Licht angegeben, so kann der Ausicht aus dem Schatten, wenn beobachtet werden. Dieser befindet sich am Jupiter.

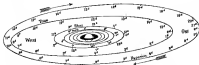
Bei den Verfinstlungen des Titania in Schatten des Jupiter. Bei B des Ausicht der Titania aus dem Schatten des Jupiter. Bei D des Verfinsterns der Titania unter der Jupiterhülle. Bei E des Wiedererschensens Titania unter der Jupiterhülle.

schichte, Tr 1 den Rand der Trabanten vor die Jupitersehne, Tr 2 den Ansatz des Trabanten von der Jupitersehne, Tr 3 den Eintritt des Trabanten in die Jupitersehne, Tr 4 den Austritt des Trabanten aus der Jupitersehne.

Es werden nur diejenigen Erscheinungen der Jupitermonde aufgeführt, welche sich ereignen, wenn Jupiter im Gegenstand über und die Sonne unter dem Horizonte steht. Um die Momente dieser Erscheinungen nach mitteleuropäischer Zeit zu finden, hat man nur 188,1 14 zu den angegebenen Zeitpunkten zu addieren. Die größere Genauigkeit der Zeiten werden durch Krümmungen in jedem Hefte des Satzes mit der letzten Seite verbunden.

4. **Stellungen der Saturnmonde.** Von den 18 Monden des Satzes sind 5 von je gleichem Helligkeitsgrad in Reihen von 4 Punkten Zickzack zu setzen, nämlich der 3. (Tethys), 4. (Dione), 5. (Rhea), 6. (Titan) und 8. (Iapetus), von denen in Titan 4 Größe, die übrigen sind 1/4 Größe oder darunter. Von der Menge in der Nähe des Satzes aufzufinden kann man sich einer Kopie der vorstehenden Zeichnung

Süd



Nord

50-jährige Bahnen der neuen kleinen Nord des Satzes 1900 im astronomischen Potholch.

bedeuten, welche die wahrscheinliche Stellung der 7 inneren Saturnmonde darstellt. In Wirklichkeit zeigen sich im Jahre 1900 die Bahnen der Saturnmonde als zwei schattige Ellipsen wie die Figur darstellt, sie sind in dieser bezüglich der größten Deutlichkeit außer und besser gezeichnet. Der Bahn des Titan ist in so viele Teile geteilt, wie die Umstände dieses Mondes Tage abt. Der Anfangspunkt der Teilung liegt im äußersten Punkte der schattigen Bahn, also dort, wo dieser Mond im Augenblicke seiner größten Elongation steht. Einen Tag später steht er an dem mit 1/4 bezeichneten Punkte der Bahn, 2 Tage später an dem mit 2/4 bezeichneten Punkte usw. An den Enden der beiden schattigen Monde Rhea, Dione und Tethys sind nicht nur die Stellungen in der Bahn nach Verlauf der ersten Tage, sondern auch nach Bestehen derselben, 1/4, 1/2 usw. angegeben. In der Abbildung zeigen die Punkte die Richtung der Bewegung der Monde. Am besten zu sehen sind Titan, Rhea und Dione.

In der nachstehenden Tabelle werden die Momente der größten Elongation der genannten Saturnmonde angegeben, und zwar nach mittlerer Greenwicher Zeit, denn Titan werden jedoch größtenteils Gegenüberstellung der größten Elongation (E) nach noch die Zeiten der mittleren Elongation (M), der ersten Konjunktion (K), wenn Titan südlich vom Planeten steht, und der ersten Konjunktion (K), wenn er nördlich vom Saturn steht, aufgeführt.

Druck



# Astronomischer Kalender für den Monat März 1908.

Tag des Monats	Sonnen				Mond			
	Mittlere Berliner Zeit				Mittlere Berliner Zeit			
	Zeit M. Z. — W. Z.	Rekt. ascen.	Decl. ascen.		Rekt. ascen.	Decl. ascen.	Mond im Mantel	
1	0 11 20.00	22 47 53.24	— 7 34 27.0		23 55 24.15	— 17 34 52.7	—	—
2	0 10 50.10	22 51 52.51	7 18 33.4		23 48 55.50	15 45 27.0	0 10	
3	0 10 19.20	22 55 52.50	0 52 58.4		23 37 45.55	7 55 51.5	0 50.4	
4	0 11 50.30	22 59 52.50	0 39 54.0		0 27 4.70	— 0 1 40.7	1 40.0	
5	0 12 20.40	23 3 52.50	0 0 57.0		1 21 57.00	+ 0 55 2.0	0 50.0	
6	0 11 50.50	23 0 30.70	0 42 17.5		0 58 0.20	0 44 7.0	0 51.0	
7	0 11 24.00	23 40 30.60	0 15 50.1		0 7 17.00	18 18 55.0	0 50.0	
8	0 11 0 0.10	23 34 0.00	+ 0 54 54.0		0 50 14.00	17 0 30.0	0 5.4	
9	0 10 40.20	23 27 40.00	+ 0 50 7.0		1 40 40.00	20 0 0.0	0 54.0	
10	0 10 10.30	23 21 39.70	1 0 40.0		0 41 30.00	20 50 0.7	0 44.1	
11	0 10 40.40	23 15 39.50	0 40 0.0		0 55 19.60	20 50 44.1	0 53.0	
12	0 9 57.70	23 09 49.00	0 55 54.7		7 24 54.70	23 42 52.0	0 55.4	
13	0 41 41	23 03 24.00	0 40 40.0		0 30 40.00	23 50 7.0	0 50.0	
14	0 54 7.0	23 30 4.00	0 30 14.7		0 0 50.10	23 50 10.0	0 51.4	
15	0 7 10.0	23 36 43.45	0 11 50.4		0 54 20.00	18 50 17.0	1 0 13.0	
16	0 0 0.00	23 40 39.00	1 40 54.7		10 41 14.00	20 47 23.1	13 37.1	
17	0 53 17	23 47 7.10	1 56 17.0		11 27 45.50	0 50 23.7	13 50.0	
18	0 50.00	11 50 47.00	1 0 50.0		12 13 40.10	+ 0 50 2.0	13 53.0	
19	0 47 7.0	00 44 30.50	0 50 50.0		12 50 40.00	— 0 55 21.0	13 57.0	
20	0 20 0.0	23 47 50.47	— 0 18 17.0		13 40 50.00	0 50 0.0	14 00.1	
21	0 31 7.0	0 1 30.00	+ 0 18 52.7		14 30 25.00	10 57 50.4	14 50.4	
22	7 2.00	0 0 30.74	0 30 14.0		15 20 10.70	14 57 7.1	14 40.0	
23	0 45.04	0 0 53.44	0 47 32.0		16 10 53.74	18 50 55.4	15 54.0	
24	0 27.04	0 10 31.00	1 10 20.4		17 20 20.74	20 10 0.0	17 01.4	
25	0 0 7.70	0 10 30.10	1 40 0.0		18 20 47.00	22 43 43.1	18 10.0	
26	0 50.50	0 19 47.00	0 0 50.0		19 20 10.00	20 42 50.0	18 50.0	
27	0 31.00	0 20 30.50	0 30 14.1		20 20 21.01	20 30 21.0	19 45.7	
28	0 10 0.0	0 27 4.70	0 55 54.7		21 20 47.00	18 47 27.0	20 40.0	
29	0 50.00	0 30 45.00	0 10 0.0		22 27 40.70	16 47 44.0	22 41.7	
30	0 27 10	0 36 31.00	0 40 23.0		23 24 10.00	0 50 50.0	23 34.0	
31	+ 4 50.00	0 57 50.70	+ 4 0 40.7		0 0 40.00	— 4 50 40.0	—	—

## Planetenkonstellationen 1908

Tag	h	m	Planet
1	10	10	Merkur in Konjunktion mit dem Monde
2	10	10	Neptun in Konjunktion mit dem Monde
3	10	10	Uranus in Konjunktion mit dem Monde
4	10	10	Mars in Konjunktion mit dem Monde
5	10	10	Jupiter in Konjunktion mit dem Monde
6	10	10	Merkur im aufsteigenden Knoten
7	10	10	Neptun tritt in das Zeichen des Widlers. Frühlingspunkt
8	10	10	Uranus in Konjunktion mit der Sonne
9	10	10	Merkur in großer westl. Elongation, 27° 40'
10	10	10	Merkur in der Perihelion
11	10	10	Merkur in Konjunktion mit dem Monde
12	10	10	Neptun in Konjunktion mit dem Monde

Planeten: Epheemeriden.

Nördlicher Berliner Merid.					Nördlicher Berliner Merid.				
Jahr Jahr	Rechnungen		Geometrisch		Jahr Jahr	Rechnungen		Geometrisch	
	h	m	s	sec		h	m	s	sec
Merkur.					Saturn.				
März 6	23	18	37	00	—	7	48	26	0
10	23	18	37	00	—	7	48	26	0
15	23	18	37	00	—	7	48	26	0
20	23	18	37	00	—	7	48	26	0
25	23	18	37	00	—	7	48	26	0
30	23	18	37	00	—	7	48	26	0
Venus.					Uranus.				
März 6	8	36	20	00	—	20	33	14	0
10	8	36	20	00	—	20	33	14	0
15	8	36	20	00	—	20	33	14	0
20	8	36	20	00	—	20	33	14	0
25	8	36	20	00	—	20	33	14	0
30	8	36	20	00	—	20	33	14	0
Mars.					Neptun.				
März 6	9	31	8	00	—	21	4	31	7
10	9	31	8	00	—	21	4	31	7
15	9	31	8	00	—	21	4	31	7
20	9	31	8	00	—	21	4	31	7
25	9	31	8	00	—	21	4	31	7
30	9	31	8	00	—	21	4	31	7
Jupiter.					Mondphasen 1906.				
März 1	8	36	20	00	—	20	33	14	0
11	8	36	20	00	—	20	33	14	0
21	8	36	20	00	—	20	33	14	0
31	8	36	20	00	—	20	33	14	0

Stundendeckungen durch den Mond für Berlin 1906

Nördlicher	Südlicher	Globe	Flare		Asteris	
			h	m	h	m
März 6	7	10	10	10	10	10
10	10	10	10	10	10	10
15	10	10	10	10	10	10
20	10	10	10	10	10	10
25	10	10	10	10	10	10
30	10	10	10	10	10	10

Lage und Größe des Saturnrings  
im 10. zum Juli 1906 nicht zu beobachten

März 11	Mercur Schiefe der Ekliptik	10° 27' 41"
Wahrg	" " "	10° 27' 41"
Halbmesser der Sonne		10° 50"
Parallaxe	" " "	5 45"

Stellungen der Jupitermonde im März 1925.

I.		c	III.		d	f
II.		e	IV.		g	h

Stellungen am 10<sup>h</sup> für den Anfang des astronomischen Perseides

Tag	West		Ort
1	3	1-0	0-4
2			0-4
3			0-4
4	0-4	0-4	0-4
5	0-4	0-4	0-4
6	0-4	0-4	0-4
7	0-4	0-4	0-4
8	0-4	0-4	0-4
9	0-4	0-4	0-4
10	0-4	0-4	0-4
11	0-4	0-4	0-4
12	0-4	0-4	0-4
13	0-4	0-4	0-4
14	0-4	0-4	0-4
15	0-4	0-4	0-4
16	0-4	0-4	0-4
17	0-4	0-4	0-4
18	0-4	0-4	0-4
19	0-4	0-4	0-4
20	0-4	0-4	0-4
21	0-4	0-4	0-4
22	0-4	0-4	0-4
23	0-4	0-4	0-4
24	0-4	0-4	0-4
25	0-4	0-4	0-4
26	0-4	0-4	0-4
27	0-4	0-4	0-4
28	0-4	0-4	0-4
29	0-4	0-4	0-4
30	0-4	0-4	0-4
31	0-4	0-4	0-4



# SIRIUS.

Zeitschrift für populäre Astronomie.

Centralorgan für alle Freunde und Förderer der Himmelskunde.

Herausgegeben

unter Mitwirkung hervorragender Fachmänner und astronomischer Schriftsteller

von Prof. Dr. Hermann A. Kluge in Köln.

Februar 1908.

„Wissen und Erkenntnis sind die Pflicht und die  
Bewehrung der Menschheit.“ Kants.

Jeden Monat 1 Heft. — Jährlich 12 Mk.

Verlag von EDUARD HEINRICH MAYER in Leipzig.

**INHALT:** Der heutige Standpunkt der Himmelskunde. Von David Gill. (Fortsetzung.) S. 25. — Sternwarten in den deutschen Reichen. S. 26. — Die künftigen Sternwarten für Beobachtungen und ihre Vortheile. (Fortsetzung.) S. 30. — Stereokinetische Photographie der Sonne und ihrer Fleckengruppen. S. 36. — Der Nebelhauch in Cygnus. (Himmels-Tafel III.) S. 38. — Neue photographische Doppelsterne. S. 64. — Verschiedene Nachrichten. S. 41. — Astronomischer Kalender. S. 45. — Notizen der japanischen. S. 47. — Erhebungen der Jagdmenschen. S. 62. —

## Der heutige Standpunkt der Himmelskunde.

Holz auf der jüngsten Versammlung im Leningrad der britischen Gesellschaft für den Fortschritt der Wissenschaft von ihrem Präsidenten Sir David Gill, vormaligen Direktor der Kap-Sternwarte.) (Fortsetzung.)

 Eine Messung von unserem Sonnensystem aus auf andere Sonnen und andere Systeme auszuweichen, wird als die höchste Leistung der praktischen Astronomie betrachtet werden. So groß und aber die Schwereigkeiten des Problems und so klein die beobachteten Winkel, daß erst in verhältnismäßig jüngerer Zeit nur eine ungenügende Schätzung der wirklichen Parallaxen irgend eines Fixsterns erhalten werden konnte. Bradley war überzeugt, daß, wenn der Stern  $\gamma$  Draconis eine Parallaxe von 1" hätte, er diese anzeigt

haben würde. Henderson hat aus der grossen Diskordanz seiner eigenen Meridianbeobachtungen von  $\alpha$  Centauri, die am Kap der guten Hoffnung 1812 bis 1833 gemacht waren, nach einem sichern Wort der Parallaxe eines Fixsterns erhalten. Er war dabei durch die Tatsache begünstigt, daß das Objekt, welches er beobachtete, zufällig, soweit wir wissen, das nächste bei unserer eigenen Sonne ist. Kurz darauf erhielt Struve eine merkwürdige Parallaxe für  $\alpha$  Lyrae und Bessel eine solche für  $\delta$  Cygni. Die Astronomen begrüßten mit Enthusiasmus diese Ergebnisse, aber für die großen Ziele der astronomischen

<sup>1)</sup> Deutsche Übersetzung im Auftrag.  
Straß 1908. Heft 2.

Astrosomen ist das, was wir hauptsächlich zu wissen wünschen, nicht, welches die Parallaxe dieses oder jenes einzelnen Sterns ist, sondern vielmehr, welchen die durchschnittliche Parallaxe eines Sterns ist, der eine bestimmte Größe und Eigenbewegung hat. Die Antwort ist auch nur nach einem unvollkommen Erreichen dieses Zieles schon weit entfernt. Der Stern  $\alpha$  Lyrae ist einer der hellsten am Himmel, der Stern  $\delta$  Cygni hat die größte zuerst bekannte Eigenbewegung, während  $\alpha$  Centauri nicht nur ein sehr heller Stern ist, sondern auch eine starke Eigenbewegung hat. Die Parallaxen dieser Sterne näherten daher aller Wahrscheinlichkeit nach groß aus im Vergleich zu der durchschnittlichen Parallaxe eines Sterns.

Später untersuchten verschiedene Astronomen die Parallaxen anderer Sterne, die große Eigenbewegungen haben, aber erst im Jahre 1851 hat am Kap der guten Hoffnung eine spezielle Forschung nach Sternparallaxen eingerichtet worden. Später wurde auf der Sternwarte des Yale College und am Kap der guten Hoffnung die Arbeit fortgesetzt mit größtem und vortheilhaftem Eifer. Durch Einführung des Heliographen und durch andere praktische Verbesserungen wurden die Möglichkeiten systematischer Fehler zugestrichen und die zufälligen Beobachtungsfehler auf sehr enge Grenzen schränkt.

Diese Untersuchungen brachten die ungeheure Verschiedenheit der absoluten Leuchtfähigkeit und Bewegungserschwindigkeit der verschiedenen Sterne mit Licht. Als Beispiel diese folgendes:

Unser nächster Nachbar unter den Sternen,  $\alpha$  Centauri, hat eine Parallaxe von  $4.76''$  oder ist etwa  $4\frac{1}{2}$  Lichtjahren von uns entfernt. Seine Masse ist unabhängig hiervon bekannt, fast genau gleich derjenigen unserer Sonne. Da von Spektralanalyse nicht unsere Sonne identisch ist, können wir annehmen, daß er uns von derselben Größe erscheint wie unsere Sonne, wenn

er in der Entfernung von  $\alpha$  Centauri verortet würde.

Aber die Sterne von derselben scheinbaren Größe wie  $\alpha$  Centauri hat durchschnittlich eine Parallaxe von nur  $2.6''$ , so daß  $\alpha$  Centauri oder unsere Sonne in eine Entfernung gleich der aus Durchschnittsgrößen einer Größe weicht, um nur wenig heller als ein Stern mittlerer Größe erscheinen würde.

Andererseits kommt man wenn Sirius von  $21\frac{1}{2}$  Größe, der die bemerkenswerte jährliche Eigenbewegung von  $2''$  besitzt, betrachtet wird, und sich mit einer Geschwindigkeit von 30 engl. Meilen pro Sekunde rechtwinklig zur Gesichtslinie bewegt. Er ist etwas kleiner als von uns entfernt wie Sirius, aber er strahlt nur ein Zehntelsoviel von der Leuchtkraft dieses glanzvollen Sterns aus. Sirius sendet 30mal mehr Licht entgegen als die unsere Sonne, aber er sieht nur ein Zehntelsoviel heller, wenn man ihn mit dem kleinen Canopus vergleicht, der mindestens 14000mal mehr Leuchtkraft als unsere Sonne ausstrahlt.

Eigenbewegung ist nicht als alleinige Helligkeit ein richtiges Anzeichen für die wahrscheinliche Nähe am Sterne bei der Sonne. Jeder Stern von beträchtlicher Eigenbewegung, der bisher untersucht worden, zeigte ein merkwürdiges Phänomen.

Diese Tatsache regt sofort den Gedanken an: Warum können nicht die scheinbaren Bewegungen der Sterne mit der durch die Sternbewegung in Raum entstandenen, benutzt werden, um Mittel zur Bestimmung der Sternparallaxen?

Die Genauigkeit solcher Bestimmungen wird, ungeachtet den auch die Methode der jährlichen Parallaxen gemacht, mit der Zeit wachsen. Allerdings kann das Verfahren nicht auf die Bestimmung der Parallaxen einzelner Sterne angewandt werden weil die Eigenbewegung eines bestimmten Sternes nicht gekannt werden kann von dem Teil seiner Sternbewegung, der von der parallaktischen Verschie-

lung herleitet. Aber was wir hier brauchen, ist nicht, die Parallelität eines auslässigen Sternes, sondern die mittlere Parallelität einer ganzen Gruppe von Sternen, und für diese Untersuchung ist die Methode sehr unzuverlässig, vorausgesetzt, daß die Eigenbewegungen dieser Sterne so verteilt sind, daß keine Bewegung irgend einer Richtung stattfindet.

Diese Annahme ist natürlich nur eine Arbeitshypothese, und wie wir aus der Abhandlung über Sternordnung, der Professor Kapteyn aus Groningen vor zwei Jahren mitgeteilt hat, wissen, stimmen Kapteyns Resultate und ebenfalls die in nachfolgender Weise von Edington bestätigt worden. Beide Resultate zeigen, daß wenigstens für angestrichelte Räume des Himmels eine nahezu gleiche Zahl von Sternen existiert, die sich in genau entgegengesetzten Richtungen bewegen. Der Annahme, daß der Mittelwert aus den Eigenbewegungen Null ist, kann aber wenigstens für diese Teile des Raumes noch ein ganz kleine Arbeitshypothese betrachtet werden.

Indem er nun angestrichelte Lage des Apex der Sonnenbewegung annahm, fand Kapteyn die beobachteten Eigenbewegungen der untersuchten Sterne in zwei Komponenten auf, nämlich eine in der Ebene des größten Kreises, der durch den Stern und den Apex geht, die andere senkrechtlich zu dieser Ebene. Die erste Komponente enthält offenbar die ganze parallellische Bewegung, die andere aber rührt gleichviel von den wirklichen Bewegungen der Sterne selbst her. Aus der ersten kann man die mittlere parallellische Bewegung der Gruppe ableiten und aus der Kombination der zwei Komponenten das Verhältnis der Geschwindigkeit der Sonnenbewegung zu der mittleren Geschwindigkeit der Sterne der Gruppe.

Da die Entfernung einer Gruppe von Sternen, wie sie durch die parallellische Bewegung gefunden wird, in

Thesen, der jährlichen Bewegung der Sonne im Raume ausgedrückt wird, ist die Geschwindigkeit dieser Bewegung eine der fundamentalsten Größen, um deren Ermittlung es sich handelt. Wenn die mittlere Parallelität einer hinreichend großen Gruppe von Sternen bekannt wäre, so hätten wir ein Mittel zur direkten Bestimmung der Geschwindigkeit der Sonnenbewegung im Raume, oder sogar anderswärts durch unabhängige Methoden die Geschwindigkeit der Sonne bestimmt werden könnte, so würde dadurch auch die mittlere Parallelität der Gruppe von Sternen bestimmt.

Die Wissenschaftler verdankt Sir William Huggins die geistliche Anwendung der sogenannten Dopplerschen Prinzipes auf die Bestimmung der Geschwindigkeit der Sternbewegung in der Geschichte.

Wenn wir diesem Wege bei einer hinreichenden Zahl von Sternen, die in der Nähe des Apex und Antapex der Sonnenbewegung liegen, deren Geschwindigkeit in der Geschichte der Erde bestimmt werden könnte, so daß angenommen werden dürfte, daß ihre eigenen Bewegungen aus dem Mittelwerte verschwinden, so hätten wir soeben eine direkte Bestimmung der gesuchten Geschwindigkeit der Sonnenbewegung.

Das Material für diese Bestimmung blieb sich langsam an und selbst mit dem verhältnismäßig geringen verfügbaren Material scheint es schon fast sicher anwendbar, daß der wahre Wert der Sonnenbahngeschwindigkeit zwischen 18 und 20 km, also im Mittel 19 km pro Sekunde beträgt. Dies entspricht fast genau einer jährlichen Bewegung der Sonne im Raume, die gleich ist dem Vierfachen des Abstandes der Sonne von der Erde.

Da somit die jährliche Bewegung der Sonne normal so groß ist wie der Sonnenabstand, so muß die parallellische Bewegung der Sterne, bei denen diese Bewegung unverkündet erscheint,

vielleicht so groß wie bei der Parallaxe. Wie diese Zahl sich mit der Größe der Verkürzung verhält, ist natürlich leicht zu berechnen. Die Hauptsache ist, daß wir nun feststehen sind, aus der mittleren parallaxischen Bewegung einer Gruppe von Sternen selbst den mittleren Parallaxen abzulesen.

Diese Untersuchung hat Kapteyn für Sterne verschiedener Größen durchgeführt. Sie ergab, daß der Parallaxen von Sternen, die um fünf Größenklassen in Bezug auf Helligkeit differieren, nicht im Verhältnis von 1:10 differieren, wie aus der Voraussetzung gleicher Leuchthelligkeit der Sterne im Universum folgen würde, sondern nur im Verhältnis von etwa 1:5.

Dieselbe Methode kann auch auf Sterngruppen von verschiedenen Eigenbewegungen angewendet werden, und nur durch eine indirekte Untersuchung und durch Zufallsfindung der zuverlässigen Parallaxenbestimmungen, die wir besitzen, könnte die Änderung der Parallaxe mit der Eigenbewegung befriedigend behandelt werden.

Neben der mittleren Parallaxe der Sterne von bestimmter Helligkeit und Eigenbewegung, ist es wesentlich, daß wir annehmen wissen, welcher Prozentatz der Sterne einer solchen Gruppe die doppelte, dreifache usw. mittlere Parallaxe der Gruppe hat und welcher Prozentsatz nur die Hälfte, ein Drittel dieser Parallaxe usw. Im Prinzip wenigstens kann man diese annähernd mit Hilfe der bereits bekannten Parallaxen für die Sterne, von denen wir zuverlässige Messungen derselben besitzen, können wir diese wahren Parallaxen mit der mittleren Parallaxe der Sterne vergleichen, die entsprechende Größe und Eigenbewegung haben, und dieser Vergleich wird dann zur Kenntnis des gesuchten Helligkeitsgesetzes führen. Leider ist wegen der Spärlichkeit des gegenwärtig verfügbaren Materials die Bestimmung des Helligkeitsgesetzes nicht so sicher, als wünschenswert wäre, aber weitere Verbesserungen sind un-

zweifelhaft der Zeit und der Zunahme der Parallaxenbestimmungen.

Nehmen wir aber vorläufig das auf diese Weise von Kapteyn gefundene Helligkeitsgesetz an, so können wir alle Sterne bis etwa zur neunten Größe im Raume lokalisieren.

Nehmen wir z. B. die Sterne der Größe 5.5 bis 6.5. Von diesen Sternen gibt es etwa 4000 im Himmel. Nach Agassiz haben etwa  $\frac{1}{2}$ ,  $\frac{1}{4}$  dieser Sterne, oder im ganzen etwa 400, Eigenbewegungen zwischen  $0.04''$  und  $0.05''$ . Nach Kapteyn empfindlicher Formel ist die mittlere Parallaxe dieser Sterne fast genau  $0.01''$ . Für sie haben nach einem Helligkeitsgesetz 29% der Sterne Parallaxen zwischen dem mittleren Wert und dem Doppelten des mittleren Wertes, 6% haben Parallaxen zwischen dem zwei- und dreifachen Mittelwert,  $1\frac{1}{2}\%$  zwischen dem drei- und vierfachen Mittelwert. Somit werden von unseren 400 Sternen 113 Parallaxen zwischen  $0.01''$  und  $0.02''$ , 26 zwischen  $0.02''$  und  $0.03''$ , 7 zwischen  $0.03''$  und  $0.04''$  haben und so weiter.

Leichtere ist es in derselben Weise die Sterne weiterer Größe, die andere Eigenbewegungen haben, und behandeln wir die Sterne erster, zweiter, dritter Größe und so fort bis zur neunten Größe in derselben Weise, so lokalisieren wir schließlich alle diese Sterne im Raume.

Praktisch haben wir nicht die meisten Sterne lokalisiert, aber wir können annähernd und innerhalb bestimmter Grenzen der Größe die Zahl der Sterne in jedem Abstände von der Sonne.

Wenn auch diese absolute Helligkeit und Abstand bekannt sind, haben wir ein Mittel, die Lichtmenge oder die absolute Leuchtkraft der Sterne zu bestimmen, vorausgesetzt, daß man annehmen kann, daß das Licht keine Schwächung auf seinem Wege durch das Intermedium erleidet. Unter dieser Annahme gelangt Kapteyn zu dem Ergebnisse, daß man innerhalb einer Kugel, deren Radius 160 Lichtjahre be-



zeigt seine Entfernung durchschnittlich gleich der der Sonne unserer Größe), indem wird:

1 Stern	100-1000	von 10-1000	
20 Sterne	10000	10000	1000
1 Stern	1000	1000	100
20-1000	100	10	10
1-10000	10	1	1
10-10000	1	0.1	0.1
100-1000	0.1	0.01	0.01

Da wir jetzt die Anwendung der Sterne verschiedener Grade der Leuchtfähigkeit im Raume gefunden haben und folglich auch ihre Zahl in verschiedenen Abständen von der Sonne, so können wir weiter insende sein, ihre relative Größe für diese verschiedenen Abstände zu bestimmen. Kapteyn führt auf diese Weise, daß, von der Sonne ausgehend, die Sternsdichte (d. h. die Zahl der Sterne pro Volumeneinheit des Raumes) ziemlich konstant ist, bis wir einen Abstand von etwa 300 Lichtjahren erreichen. Von da nimmt die

Dichte allmählich ab, bis sie in etwa 2500 Lichtjahren Entfernung von uns nur noch ein Fünftel von der Dichte in der Nähe der Sonne beträgt. Dieser Schluß muß jedoch als un sicher bezeichnet werden, bis wir in dem Stand gestellt sind, die Absorption des Lichts in seinem Lauf durch das Himmelsraum abschätzen, und einen Beweis dafür haben, daß das Verhalten der an sich schwachen zu den hellen Sternen im ganzen Universum konstant ist.

Soweit Kapteyns Untersuchungen über das Sternensystem als Ganzes. Die Rechnungen stellen also nur die durchschnittlichen Zustände des Systems dar. Die weitere Entwicklung unserer Kenntnisse verlangt ein ähnliches Studium für die verschiedenen Teile des Universums. Dies aber wird ein weit umfangreicheres Material erfordern, als wir gegenwärtig besitzen.

(Schluß folgt.)

## Sternwarten in den deutschen Kolonien

Von verschiedenen Seiten ist der Wunsch ausgesprochen worden, es möchten in den deutschen Schutzgebieten auch für die Pflege der Himmelskunde Anstalten errichtet werden. Die Wichtigkeit, u. Notwendigkeit deutscher Observatorien in Ozeanien, die sich eines für astronomische Beobachtungen besonders klaren Klimas erfreuen als unser Vaterland besitzt, tritt in dem Maße starker hervor, als die Instrumente mächtiger und die Beobachtungsmethoden feiner werden. Über das Sätze selbst hat sich jetzt Herr Prof. Dr. Andraes, Direktor der Sternwarte in Göttingen, in einer Zeitschrift an die Tägl. Rundschau näher referiert und die Ausführungen von so kompetenter Seite verdienen die größte Bedeutung. Prof. Andraes schreibt:

Der Wunsch der deutschen Astronomen, gleich ihren Kollegen anderer Nationen auch Observatorien in Ozeanien zu besitzen, die eine größere Gewähr für das Gelingen längerer Be-

obachtungsreisen bieten, als das in dem Klima des Heimatlandes der Fall ist, kann gewiß von keiner Seite als unberechtigt angesprochen werden. Es wäre höchst wünschenswert, wenn das Deutsche Reich sich zu einem solchen Unternehmen bereit finden lassen würde. Ich möchte mir nur erlauben darauf aufmerksam zu machen, daß bevor man einen solchen Wunsch näher tritt, das Arbeitsgebiet der neuen Sternwarte genauer definiert wird. Vor allen Dingen sind unsere klimatischen Verhältnisse für die meisten astrophysikalischen Arbeiten ungeeignet. Auch ist davon der Fall für Beobachtungen, bei denen man auf längere Personen klaren Wetters rechnen muß, wie das z. B. bei Verfolgung unserer Sterne, schnell bewegter Kometen und dergl. vorkommt. Anderseits gibt es aber auch Probleme der Astronomie, die in durchaus möglichen, daß man gewisse Beobachtungen gleichzeitig oder nahezu gleichzeitig von

möglichst voneinander entferntes Gebiet der Erde sein müßte, das gebräuchlichste von allem die Parallelkreisbestimmung.

Legt man diese Forderungen zugrunde, so stellt sich zunächst heraus, daß auch beiden Richtungen hin weder Deutsch-Ostafrika noch Kamerun geeignete Gebiete aufzuweisen haben, wenn man von den Gebirgen im Norden und Nordwesten Ostafrika absieht. In beiden Fällen ist aber auf längere Zeit hinaus eine bessere Zugänglichkeit zu diesen Gebieten noch nicht vorhanden, was ganz besonders in Betracht kommt, wenn es sich um den Transport schwerer und leicht zu beschädigender Instrumente eine handelt. Schon aus diesem Grunde würde Südwestafrika bei weitem vorzuziehen sein. Dazu besonders wird durch der Fall sein für länger dauernde Beobachtungsreisen, denn manns Erfahrungen zeigen sind in den Äquatorialen Kolonien nur sehr selten längere Perioden klaren Wetters zu erwarten, ja es hat oft schon erhebliche Schwierigkeiten gehabt, die verhältnismäßig wenigen astronomischen Beobachtungen, die an guten Beobachtungsstellen nötig waren, bei mangelhaften Ausharren an einer Station zu erhalten. Dagegen wird ich nur das nur bekannt gewordene Beobachtungsnetz auf den geographischen Vermessungsstationen, als auch bei den vielfachen astronomischen Ortsbestimmungen, daß in Südwestafrika Perioden von wochen- ja monatelangen klarem Wetter für ein und denselben Ort nicht selten sind. Die Schwierigkeiten, welche Südwestafrika den anderen Kolonien gegenüber bietet wird, sind ausschließlich im Wassermangel zu suchen, aber dafür sind die gesundheitlichen Bedingungen wieder ungemein besser und für die anstrengenden Arbeiten der Beobachter ohne jeden Nachteil, was wiederum von den Äquatorialen Gegenden nicht behauptet werden kann. Die Gegenden in der Nähe des Äquators haben manns Erwählung können hervorragenden Nutzen, der aus ihrer geographischen Lage für die Beobachtungen zu folgern

wird. Aber Südwestafrika hat für uns den Vorteil, daß die Sonne, welche unser Ort in dieser Kolonie mit irgendwo unserer deutschen Sternwarten verbindet, eine erheblich größere ist, als das z. B. in Ostafrika der Fall sein würde, daraus resultiert aber ohne weiteres für Parallelkreisbestimmungen ein erheblicher Vorteil.

Die große Klarheit der Luft, welche in Südwestafrika während längerer Perioden vorherrschend ist, steht dem bei sich demüßigen Himmel in den Urwaldgegenden der Äquatorialen Kolonien entgegen. Selbst auch in großen Höhen am Kilimandscharo und besonders am Kamerunberge ist der Horizont hochst selten klar, beide Kolonien liegen in Gebieten großen und häufigen Regenschlusses, wie aus dem nun schon ziemlich allgemeinen Regennormen hervorgeht. (Man vergleiche dazu die betreffenden Angaben der „Mitteilungen aus den deutschen Schutzgebieten“ und in Hanns-Handbuch der Meteorologie.). Wie mit der Regennorm, so stellt es sich mit den Bevölkerungsdichtungen im allgemeinen. Man braucht nur die Karten der Kolonien anzusehen, um sofort die Unverwendlichkeit der Anlage von Observatorien zu astrographischen Zwecken in einem Äquatorialen Kolonien zu erkennen. Auf den Karten der Karthagos im Westen des amerikanischen Kontinents liegen die Verhältnisse ganz anders, diese sind klimatologisch viel ähnlicher unseren Südwestafrika als den anderen deutschen Kolonialgebieten.

Eine ganz andere Frage würde aber die sein, ob die Errichtung von zweckmäßig eingerichteten Sternwarten in einem Kolonien nicht den ausserordentlich wertvollen Landesvermessungen ein großen Nutzen von würde. Diese mehr und mehr auszubildenden und zu größerer Genauigkeit weiter zu führenden Vermessungsarbeiten, die sich ebenfalls an die astronomischen Arbeiten der Landesvermessungen anknüpfen müßten, können solche Observatorien als

die wichtigsten Stützpunkte dieser. Dafür einzuwenden würde auch die Kolonialverwaltung weitgehende Vermittlung haben. — Das Resultat der vorstehenden Betrachtungen kann also dahin zusammengefaßt werden, daß eine Sternwarte zu rein wissenschaftlichen Zwecken (physikalischen sowohl wie zu solchen der reinen Astronomie) mit Vorteil nur in Südwestafrika einzurichten sein würde. Für unsere andere Kolonien aber, besonders für die kulturell schon weiter entwickelten, ist es von viel größerer Wichtigkeit Sternwarten zu gründen, die im wesentlichen nur für die Zwecke der genauen Ortsbestimmungen und für die geodätischen Zwecke der Kolonien einzuwirken mü-

ren. Bezüglich der Verwaltung und technischen Leitung würden diese Observatorien aber unter allen Umständen der Reichskolonial-Verwaltung zu unterstellen sein, da sie im wesentlichen, vielleicht nur mit Ausnahmen einer solchen in Südwestafrika, in erster Linie politisches Zwecken der Erschließung neuer Kolonien zu dienen haben würden. Das schließt natürlich in keiner Weise aus, daß an diesen Sternwarten sehr Geldwerte Gelegenheit gegeben wurde, bestimmte Untersuchungen anzustellen zu lassen, was dieses bei anderen wissenschaftlichen Instituten in besonderer Weise kulturell oder sonst bevorzugten Lage auch der Fall ist.

## Die heutigen Sternwarten, ihre Ausrüstungen und ihre Vorstöße.

(Fortsetzung.)

**Madrid.** Observatorio Astronómico y Meteorológico.

Geographische Breite  $40^{\circ} 34' 39.38''$  N.,  
Länge  $0^{\circ} 14' 45.13''$  E.

Seehöhe 655 m.

Director: F. Jany, 4 Astronomen,  
4 Assistenten.

Der Bau des Observatoriums stammt aus 1798. Hauptinstrument ist ein Meridiankreis von Reichen mit Fernrohr von 160 mm Öffnung, ein Herschelles Äquatorial mit 278 mm Objektiv, ein Grubbches Äquatorial mit 220 mm Objektiv und ein kleines Strahlenbeugungs Äquatorial.

**Marilla** (Philippische Inseln). Marilla Observatory (Weather Bureau).

Geographische Breite  $14^{\circ} 34' 41''$  N.,  
Länge  $8^{\circ} 3' 36.2''$  E.

Seehöhe 3 m.

Director: J. Algal, 3 J., 1 Assistent,  
3 Gehilfen.

Die Sternwarte wurde 1885 durch F. Faura & J. gegründet und 1886 an ihre gegenwärtige Stelle übertragen. Die

astronomische Section derselben dabei erst seit 1896. Hauptinstrument ist ein Äquatorial von Seagmüller mit Objektiv von 480 mm Öffnung, zu welchem zwei Spektroalänge, ein Fraunhofer-Spektroskop und ein Götze-Spektroskop gehören, ferner ein Meridiankreis und ein kleines Meridianinstrument von Dollond.

**Marsella** (Frankreich). Observatoire national der Universität d'Aix-Marsella.

Geographische Breite  $43^{\circ} 18' 17''$  N.,  
Länge  $8^{\circ} 31' 34.5''$  E.

Seehöhe 75 m.

Director: E. Stephan, 4 Adjunkt-astronomen, 3 Hilfsastronomen.

Das erste Observatorium in Marsella wurde 1798 durch P. Laland gegründet auf einer dem jamaikanischen rapheligen Grundstück und blieb so bis 1793. Dann wurde es zum Königlichen Observatorium erhoben und sein erster Director war S. T. von Sylvestre. Um das Jahr 1862 entstand auf Leventes Veranlassung ein neues Observatorium als Filiale der Pariser Sternwarte. Die heutige Stern-

werk ist seit 1873 vollständig, es liegt südlich von der Stadt auf der Höhe von Longchamp. Hauptinstrumente sind: Ein Meridiankreis mit 185 mm Objektiv von A. Martin, ein Foucault'sches Teleskop mit unabherrschtem (Gespiegel) von 800 mm Durchmesser und äquatorialer Höhenverstellung, ein Merzacher Äquatorial von 225 mm Öffnung, ein Komparationsmikroskop mit Objektiv von Foucault und metallischer Normierung. Die mechanischen Teile südlicher Instrumente sind von Fichow.

**Reithausen** (Vindis, Australien). Melbourne Observatory.

Geographische Breite  $37^{\circ}49'53.2''$  S., Länge  $144^{\circ}39'54.04''$  E.

Höhe 38 m.

Direktor: P. Barusch, Observationsastronom, 1 Classenlehrer, 5 Assistenten und 6 Diener, die größtenteils zur Ausstattung der Klassen der photographischen Himmelskunde tätig sind.

Die Sternwarte, welche 1853 auf Befehl der Regierung gegründet wurde, befindet sich solange zu Wykestown, wurde 1861 nach Melbourne übergeführt und 1863 vollendet. Der erste Direktor war R. L. J. Ellery, der 1885 zurücktrat. Hauptinstrumente sind: Ein Meridiankreis mit 127 mm Objektiv, ein anderer von 203 mm, ein Äquatorial mit 225 mm Objektiv, ein großes Spiegelteleskop mit Metallspiegel von 122 mm Öffnung von Orsted (1873).

**Meudon** (bei Paris). Observatoire d'Astronomie physique de Paris.

Geographische Breite  $48^{\circ}48'10''$  N., Länge  $2^{\circ}5'35.6''$  E.

Höhe 162 m.

Direktor: J. Janssen (früherlich von Nordeck), Schiedsrichter Dordrecht, 2 Hilfsastronomen, Assistenten usw.

Die Sternwarte stammt aus 1825. Ihre Hauptinstrumente sind: Ein Doppeläquatorial mit astronomischem Fernrohr von 630 mm Öffnung und photographisches Objektiv von 600 mm Öffnung, beide von 18 m Brennweite. Die Objektive sind von Gabe Henry geschliffen, die Montierung ist von

Gautier geliefert. Ein großes Spiegelteleskop von demselben mit Spiegel von 1 m Durchmesser und 3 m Brennweite, das der Gelehrte Henry herstellte. Ein photographisches Fernrohr von Foucault und ein anderes von Steinheil. Ein Meridiankreis von Gautier, inneres Spiegelteleskop, Spiralschichtgraphen und Statistische Instrumente.

**Milano** (Italien). R. Observatorio di Brera.

Geographische Breite  $45^{\circ}37'56.2''$  N., Länge  $8^{\circ}36'46.66''$  E.

Höhe 130 m.

Direktor: Prof. G. Colani, 2 Astronomen und 3 Assistenten.

Die Sternwarte stammt aus dem Jahre 1783 und ist besonders durch die Arbeiten Schiaparelli über den Mars berühmt. Hauptinstrument ist ein Merzacher Reflektor von 203 mm und ein anderer von 487 mm Öffnung.

**Minneapolis** (Minnesota, Vereinigte Staaten). Observatory of the University of Minnesota.

Geographische Breite  $44^{\circ}54'40.0''$  N., Länge  $93^{\circ}17'51.89''$  W.

Höhe 260 m.

Direktor: E. F. Loomisworth.

Das Sternwarte stammt aus dem Jahre 1896 und besitzt einen Reflektor von 267 mm Öffnung, zu dem ein gleich großes photographisches Objektiv gehört, daneben einen Meridiankreis von Sargeniller mit 76 mm Objektiv.

**Mount Hamilton** (California). Lick Observatory of the University of California.

Geographische Breite  $37^{\circ}30'25.6''$  N., Länge  $8^{\circ}6'34.88''$  W.

Höhe 1285 m.

Direktor: W. W. Campbell, 2 Astronomen, 3 Assistenzastronomen, 5 Assistenten, 3 Gehilfen, 1 Schüler.

Die Sternwarte entstand 1875 dank der Liberalität von J. Lick, 1888 wurde sie vergrößert. Sie liegt 42 km östlich von San José und ist auf bequemer Fährstraße zu erreichen. Erster Direktor war E. S. Holden. Hauptinstrumente: Ein Meridiankreis von Repsold mit

160 mm Objektiv, 1 Meridianinstrument von 102 mm Öffnung, 3 Aquatoriale davon eines mit 914 mm Öffnung und 1142 m Brennweite, ein zweites von 304 mm Öffnung und ein drittes mit 160 mm Öffnung, 3 Kondensierer mit 160 mm und 180 mm Objektiv, ein Reflektor von 510 mm Spiegel-durchmesser und 528 m Brennweite, 2 photographische Fernrohre, eines von Willard mit 152 mm Öffnung, ein zweites von Clark mit 127 mm Objektiv, eine Kamera zum Photographieren von Sonnenstrahlen, Spektroskope, Photometer usw.

**Mont San Cristobal** (Santiago, Chile) Sektoreale der Lickobservierie, 1 km südlich von Santiago, 516 m über dem Meer. Hauptinstrument ist ein Reflektor von 820 mm Öffnung mit 3 Spektrographen und einem Apparat zum Auslesen der Kollimator.

**Mount Wilson** (California) Solar Observatory of the Carnegie Institution of Washington Observatory Office Pasadena, California.

Geographische Breite  $34^{\circ} 12' 59.53''$  N., Länge  $7^{\circ} 51' = 34.3^{\circ}$  W.

Seehöhe 1731 m.

Director: G. E. Hale, Astronom und Chef der Konstruktionstechnik: G. W. Bailey, Astronomassistent und Chef der Kochkammer, W. S. Adams, 1 Assistent, 3 Arbeiter und Mechaniker.

Dieses Observatorium wurde 1904 begonnen mit Prof. Hale als Director. Hauptinstrument ist das sogen. „Snowden-Spektroskop“ mit 1.5 m Öffnung und 24 m Brennweite mit einem Guckrohr von 750 mm und 2 Konkavspiegeln von 610 mm Durchmesser. Zu diesem Instrument gehört ein großer Spektrohelograph. Ferner besitzt das Observatorium ein Reflektor und ein optisches Laboratorium hauptsächlich zum Studium der Strahlungen.

**Wakana**, Observatorium der Kaiserl. Universität.

Geographische Breite  $35^{\circ} 45' 19.47''$  N., Länge  $14^{\circ} 38' = 17.638^{\circ}$  E.

Seehöhe: 149.9 m.

Since 1908 Ref. 2.

Director: Prof. Dr. W. Condit, 1 Observator, 2 Assistenten.

Das Sternwarte zu Moskau wurde 1839 gegründet, aber später wesentlich vergrößert und modernisiert. Als Director derselben fungierten u. a. Schwarz und Bruchers. Unter Leitung des gegenwärtigen Directors wurden mehrere wissenschaftliche Institute, Vervielfachung ist zu nennen am Doppelquadrant zu optischen und photographischen Arbeiten mit Objektiv von 300 mm, ein Aquatorial mit spekulierendem Objektiv von 128 mm Öffnung, ein Meridiankreis von Repsold, ein Zeissersches Astrophotometer.

**München**, Königl. Sternwarte.  
Geographische Breite  $48^{\circ} 3' 45.5''$  N., Länge  $11^{\circ} 46' = 26.1^{\circ}$  E.

Seehöhe 528 m.

Director: Prof. Dr. H. v. Seeliger, 2 Observatoren, 2 Assistenten, 1 Gehilfe.

Das Sternwarte stammt aus dem Jahre 1518, der erste Director war Scheiner, dem folgte Lamont. Mit der ist eine mathematische und astronomische Station verbunden. Hauptinstrumente: Ein Meridiankreis von Repsold mit 152 mm Objektiv, ein Mercher Reflektor von 287 mm Öffnung mit neuer Montierung von Seeliger, ein photographischer Doppelreflektor mit 114 mm Objektiv, magnetische und astronomische Instrumente.

**Neapel**, Reale Osservatorio di Capodimonte.

Geographische Breite  $40^{\circ} 51' 46.3''$  N., Länge  $14^{\circ} 57' = 17.2^{\circ}$  E.

Seehöhe 154 m.

Director: E. Fergola, 3 Astronomen, 2 Assistenten.

Diese Sternwarte wurde im Jahre 1624 an Ort 1630 vollendet. Sie besitzt ein Mercher Aquatorial, einen Meridiankreis von Repsold und mehrere andere Instrumente.

**New Haven** (Connecticut, N.-A.) Yale University Observatory.

Geographische Breite  $41^{\circ} 19' 22.1''$  N., Länge  $73^{\circ} 51' = 44.85^{\circ}$  E.

Seehöhe 40 m.

3.

**Director:** W. L. Ekin, 1 Astronom,  
1 Assistent, 2 Bediente.

Das Sternwarte wurde 1852 gegründet und ihr erster Direktor war H. A. Newell. Hauptinstrumente sind: Ein Meridianfernrohr von Troughton & Simms, ein Äquatorial von Grubb mit 200 mm Öffnung, ein Repsold'sches Heliometer von 152 mm Öffnung.

**New York.** Observatory of Columbia University.

Geographische Breite  $40^{\circ} 40' 37.3''$  N.,  
Länge  $4^{\circ} 55' 50''$  W.

Seehöhe 25 m.

**Director:** Harold Jacoby, 2 Astronomen, 3 Bedienstete.

Die Sternwarte der Columbia University wurde 1860 errichtet und 1887 nach dem jetzigen Orte verlegt. Sie besitzt ein Äquatorial von 150 mm Öffnung, einen Repsold'schen Meridiankreis mit 100 mm Objektiv und verschiedene andere Instrumente.

**Mexico.** Observatorio Bicentenario, ex Montecruz.

Geographische Breite  $41^{\circ} 40' 14.0''$  N.,  
Länge  $0^{\circ} 28' 12.1''$  E.

Seehöhe 376 m.

**Director:** General C. Bassot, Subdirector: M. Simoes, 2 Observatoren.

Die Sternwarte wurde auf Kosten von Bischofshelm (Paris) errichtet und der Bau 1881 begonnen. Erster Direktor war J. Perron. Hauptinstrumente sind: Ein Äquatorial von 200 mm Öffnung von Gautier, ein Äquatorial condé mit 400 mm Objektiv, ein Äquatorial von Gautier mit 360 mm Öffnung.

**Northfield (Minnesota, N.-A.).** Goodsell Observatory of Carleton College.  
Geographische Breite  $44^{\circ} 27' 43.6''$  N.,  
Länge  $9^{\circ} 12' 35.6''$  W.

Seehöhe 326 m.

**Director:** W. Payne, 1 Astronom.

Die Sternwarte wurde von W. Payne 1877 gegründet und 1887 erweitert. Hauptinstrumente sind: Ein Repsold'scher Meridiankreis mit Fernrohr von 127 mm Öffnung, ein Äquatorial von 457 mm Öffnung mit Spaltstrahlung, ein Clark'sches Äquatorial von 200 mm

mit einem photographischen Objektiv.

**Odessa (Rußland).** Sternwarte der Sternwarte zu Poltawa.

Geographische Breite  $45^{\circ} 28' 32.91''$  N.,  
Länge  $2^{\circ} 3' 2.105''$  E.

Seehöhe —.

**Director:** A. d'Arbousky, 1 Astronom, 2 Bediente.

Diese Filiale wurde 1865 gegründet zum Zwecke von Fundamentalebenmessungen. Hauptinstrumente: ein Meridianfernrohr mit 108 mm Objektiv, ein Repsold'scher Meridiankreis mit 106 mm Objektiv.

**Ö-Szeged (Ungarn).** Königl. astronomisch-physikalisches Observatorium.

Geographische Breite  $47^{\circ} 52' 27.3''$  N.,  
Länge  $1^{\circ} 12' 45.66''$  E.

Seehöhe 113 m.

**Director:** v. Konkoly, Subdirector: R. v. Kövesligetly, 1 Observator, 2 Assistenten.

Diese Sternwarte wurde 1871 von Konkoly gegründet und 1889 dem Staat geschenkt. Sie besitzt u. a. einen Refraktor von 260 mm Öffnung, einen andern von 160 mm Öffnung, einen Photorefraktor von 100 mm, ein Zöllner'sches Astrophotometer, zwei Photoheliographen.

**Osaka (Japan).** v. Kaiserliche Sternwarte.

Geographische Breite  $48^{\circ} 12' 45.7''$  N.,  
Länge  $1^{\circ} 5' 11.1''$  E.

Seehöhe 260 m.

**Director:** L. de Ball.

Die Sternwarte wurde 1864 gegründet. Sie besitzt einen Refraktor von 200 mm Öffnung, einen photographischen Refraktor mit 180 mm Objektiv, einen Repsold'schen Meridiankreis, ein Foucault-Instrument im ersten Verstell, ein Heliometer mit 220 mm Objektiv.

**Ottawa (Canada).** Dominion of Canada Observatory.  
Geographische Breite  $45^{\circ} 23.5''$  N.,  
Länge  $7^{\circ} 24''$  W.

Seehöhe —.

**Director:** W. F. King, 2 Astronomen, 4 Observatoren, 1 Bediente.

Die Sternwarte wurde 1902 begonnen und 1905 vollendet. Sie besitzt ein Äquatorial von Warner & Swasey mit 381 mm Objektiv, einen Meridiankreis von Troughton & Simms, einen Codalstil mit 538 mm Objektiv, Spektroskope und einen Sonnentagographen. Die Aufstellung der Instrumente ist noch nicht ganz vollendet.

**Oxford (England)** Radcliffe Observatory.  
Geographische Breite  $51^{\circ} 45' 35.6''$  N.  
Länge  $0^{\circ} 5' 2.0''$  W.  
Seehöhe 65 m.

Director: A. A. Bennett, Radcliffe Observer, 3 Assistenten, 2 Rechnung.

Diese Sternwarte wurde 1771 gegründet und bestand noch 60 Jahre hindurch unter Direction des Savilian Professors der Universität. Seit 1838 sind die Funktionen des Radcliffe Observator wie denen des Savilian Professor getrennt. An Instrumenten sind vorhanden: Ein Meridiankreis von Troughton & Simms mit 127 mm Objektiv, ein Circularer Äquatorial mit Doppel-

refraktion, drei für photographische Aufnahmen mit 110 mm Öffnung und 416 m Brennweite, ein weiterer für Oberflächeneinsichtungen mit 457 mm Objektiv, ein Äquatorial von Cooke mit 254 mm Objektiv und kleinere Instrumente, auch ein kleines Helixometer von Repsold-Metz mit 190 mm Öffnung.

**Oxford (England)** University Observatory.  
Geographische Breite  $51^{\circ} 45' 34.2''$  N.  
Länge  $0^{\circ} 5' 0.4''$  W.  
Seehöhe 64 m.

Director: H. H. Turner, Savilian Professor, 2 Assistenten.

Die Sternwarte wurde 1875 errichtet und ihr erster Director war Ch. Pritchard. Sie besitzt an Instrumenten u. a. Einen Meridiankreis von Troughton & Simms mit Objektiv von 160 mm Öffnung, ein astrophotisches Äquatorial von Orubb mit 338 mm Öffnung und einem zweiten Fernrohr von 345 mm Öffnung, ein Spiegelteleskop von De la Rue mit Spiegl von 130 mm Durchmesser.

(H. H. Hg.)

## Stereoskopische Photographie der Sonne und ihrer Fleckengruppen.

 Darüber verbeugte sich auf der Stuttgarter Naturforscher-Versammlung H. E. Stephan (Cred.)

Als Grundregel bei stereoskopischen Aufnahmen, sagte er, wird gewöhnlich angegeben, daß die zwei Objectiv des photographischen Apparates in Augenentfernung (ca. 65 mm) angebracht sein müssen. Das trifft jedoch nur für Objecte zu, die sich nicht zu nahe und nicht in zu großer Entfernung befinden. Nehmen wir z. B. einen Gegenstand an, der nur wenige Centimeter vom Apparat entfernt ist, so wird der stereoskopische Effect überwiegen, das Object nicht im Stereoskop vorzuziehen aus.

Fern: Berge sehen dagegen ganz Bede aus, es genügt 65 mm als Objectivabstand nicht mehr, nur die nahen

Gegenstände sehen köperlich, alles was über 100 m entfernt ist, jedoch nicht. Um auch diese fernem Körper plastisch erscheinen zu lassen, müssen zwei Aufnahmestände mit je einem Objectiv in einer Entfernung von mehreren Metern voneinander aufgestellt werden.

So hat Oberst von Hübel Berge in der Dalmatien aus großer Entfernung mit einer Standlinie von 45 Metern photographiert, und diese Bilder wirken sehr plastisch. Wenn wir nun als Mittelweg annehmen, daß bei Gegenständen, die 12 m entfernt sind, ein Objectivabstand von 8 m noch zum Hervorbringen des plastischen Effects genügt, so kann man leicht berechnen, daß die Objective zur Aufnahme des 355 000 km

reifeiten Mondes ungefähr mit 2000 des Zwischenraums ausgefüllt sein müßten. Das würde in der Praxis etwas schwierig sein.

Es gibt aber noch ein anderes Verfahren, um aus nur einem Apparat Stereogramme zu erzielen. Macht man bei bestehendem Apparat eine Aufnahme, dreht dann das aufzunehmende Objekt um einen kleinen Winkel, der je nach dem Abstand von Apparat und Objekt verschieden ist, und macht man eine zweite Aufnahme, so ergibt die Zusammenstellung der Bilder einen stereoskopischen Effekt.

Auf diese Art sind die bekannten Mondstereogramme hergestellt, indem man die Librationen des Mondes benutzte. Man muß oft jahrelang warten, bis die Stellung des Mondes passend ist und der Lichtgrenze desselben Mondberge schenkt. Im das achte Mondstereogramme, welche Dr. Pollack und Archenhold zusammenstellten, ist der Zeitunterschied beider Aufnahmen mehrere Jahre. Eine der ersten stereoskopischen Mondaufnahmen ist Prof. Draper vor längerer Zeit gelungen. Ich habe dasselbe benutzt, um eine andere Tatsache zu zeigen, nämlich die Umkehrung des stereoskopischen Effektes durch Umwechsell der rechten mit der linken Aufnahme. Kein anderes Objekt ergab sich hierzu so gut wie die Deutsche Vollmond Aufnahme. Während der obere Mond im Stereoskop als Kugel erscheint, ist der untere, sonst völlig gleiche, nur halbe Kugelform.

Wichtig für meine spätere Ausführungen ist auch der stereoskopische Effekt der englischen Unionschiff auf der Photographie. Bei aufmerksamem Betrachtung findet man, daß die einzelnen Zellen in verschiedener Entfernung im Raum zu schweben scheinen. Beim oberen Bild sehen die Wale „Full Moon“ zurück, die unteren Zellen tretenkinig weiter vor, beim unteren Bild ist das Sachse umgekehrt. Ja, wenn man Übung im stereoskopischen Sehen hat, findet man, daß ständes Buch

mit dem denselben Worten höher oder tiefer stehen.

Der Ursache ist, daß im Satz die einzelnen Lettern der einen Unionschiff zueinander um ein Geringes höher oder tiefer gestellt sind als die der anderen, und daß die Zeilen nach der Breite gegeneinander etwas verschoben sind. Um nun die Sonne stereoskopisch aufzunehmen, macht man von ihr in gewissen Zeitabständen zwei Bilder. Diese, richtig zusammengestellt, müssen die Stereogramme geben. Während der Zwischenzeit hat sich die Sonne etwas um ihren Achse gedreht, und damit ist dieselbe Wirkung erreicht wie durch die Libration der Mond.

Als am 10. November 1905 mit meinem neuen Apparat die ersten Sonnenaufnahmen gelangen, kam mir gleich der Gedanke, daß die kleinen Bilder sich vielleicht für das Stereoskop eignen könnten. Aber die Ungenauigkeit des Wertes und die damalige Unvollständigkeit der Handhabung des Apparates veranlaßten, daß ich gerade von der großen Flecken Gruppe des November 1905, welche sehr gut den stereoskopischen Effekt gezeigt hätte, nur wenige Bilder nahm, und diese lagen 3 Tage auseinander konnten also nicht verwendet werden.

Dann kamen längere Zeit nur einzelne Flecken oder Fleckengruppen, aber nur eine größere Gruppe oder vielmehr über die ganze Sonne verstreute Flecken geben ein gutes Stereogramm.

Ende später und nach Verfertigung des Apparates war es mir möglich, einige größere Gruppen an mehreren aufeinander folgenden Tagen zu photographieren. Wolken und Nebel störten häufig, und sowohl die bei ruhiger Luft, als die bei starkem Winde aufgenommenen Bilder sind nicht ganz scharf. Wir haben in Cassel im ganzen Jahr nur wenige ruhige klare Tage gehabt.

Der Zeitunterschied zwischen den zwei Teilbildern des Stereogrammanwurde nach meiner Erfahrung am besten 12 Stunden sein, aber es ist selbst möglich, an einem Tage zwei so weit auseinander-



liegende Aufnahmen zu machen, da ich morgens und späts abends die Bilder meist müßiger, abgesehen von der Bewölkung.

Nimmt man den Zeitunterschied größer als 12 Stunden, so scheinen die Flecken im Stereoskop über der Sonne zu schweben, wenn man sie zu Meer, so nicht die Sonne aus wie eine fache Scheibe, der stereoskopische Effekt zu schwach.

Aber eines ist bei den Bildern sehr schön, nämlich das verbindende Höhenlage der Flecken einer Gruppe, besonders über der zwei Flecken eines gleichzeitig erschienenen Fleckenpaares.

In drei weißen Filmen scheint der vorgehende Fleck dem Beschauer erheblich älter zu sein als der nachfolgende.

Wäre aus dieser ohne weiteres die Höhenlage der Flecken in der Gestalt der Sonne feststellbar, so würde aus das Stereoskop unmöglich, ja in der Erkenntnis der Vorgänge auf der Sonne einschränken. Aber leider kann diese scheinbar verschiedene Höhenlage auch durch einen anderen Vorgang erklärt werden.

Falls sich nämlich die einzelnen Flecken auf der Sonnenoberfläche in verschiedener Geschwindigkeit fortbewegen, so werden dieselben auf dem einen Bild einander näher, auf dem anderen einander ferner sich befinden. Hierdurch wird derselbe Effekt hervorgerufen wie bei den Buchstaben der Unterschrift des Vollmondbildes, welches ich oben erwähnte, eine scheinbar verschiedene Höhenlage der doch in einer Ebene liegenden Punkte.

Insoweit wirkt das Stereoskop ein geeignetes Hilfsmittel, um auch die kleinsten Geschwindigkeitsunterschiede der Flecken nach und ohne mühevollen Messung feststellen zu können.

Auf einigen Bildern, besonders wenn die Aufnahmen nur wenige Stunden

Zeitsdifferenz haben, ist es mir selb, daß auch die Packeln, welche die größeren Flecken umgeben, einen deutlichen stereoskopischen Effekt erkennen lassen, sie scheinen wie Wolken neben und über dem Fleck. Einige Packeln, nahe dem Sonnenrand (nahe Fleck) sieht man bei rascherer Betrachtung sich genau in der Form der Protuberanzen über der Sonnenoberfläche erheben. Um dieses zu erklären, muß man allerdings größere Übung im stereoskopischen Sehen haben.

Prof. Max Wolf-Hägelberg benutzt in den Erklärungen, die seine internationalen Stereoskopbilder vom Sonneninnern begleiten, den Wert, den das Stereoskop für die Astronomie noch erlangen kann.

Ich möchte mich diesem Ausdruck anschließen, und nachdem ich gezeigt habe, daß sich schon auf einer kleinen Fingerringweite mit geringen Höhenunterschieden in dieser Richtung getrieben werden kann, möchte ich die mit großen, vorzüglichen Instrumenten aufgenommenen Sonnenarten bitten, aus zwei Aufnahmen mit geringem Zeitunterschied Flecken und Packeln auf stereoskopischen Effekt zu untersuchen.

Je geringer die Zeitsdifferenz, desto weniger scheinbare Veränderungen der beiden Objekte sind zu befechten, desto klarer wird der körperliche Effekt hervortreten.

Ist die Vergrößerung eine stärkere, so kann die Zeitsdifferenz kleiner sein, ich habe bei 110 Minuten Unterschied noch deutlichen stereoskopischen Effekt gehabt, — ist die Aufnahmen schonmal so groß, so werden 20 Minuten Zeitunterschied genügen, und in dieser Zeit sind die gegenseitigen Verschiebungen der beiden Objekte noch nicht so stark, daß sie das Bild beeinträchtigen können. Es wäre also nicht unmöglich, daß man auf diesem Weg eine körperliche Anschauung der Sonnenoberfläche erhält.

## Der Nebelfleck im Cepheus.

Neuer General-Katalog Nr. 7022.

Flussa Tafel III

**D**ieser Nebel wurde von W. Herschel am 18. Oktober 1784 entdeckt. Sein Ort im Himmel ist (für 1900)  $A.R. = 21^h 54^m$   $D. = +67^{\circ} 46'$ . Herschel beschreibt dieses Objekt wie folgt: »Ein Stern 7. Größe, sehr mit Nebel behaftet, welcher auch über das Gesichtsfeld hinausreicht. Er scheint sich wenigstens rings umher auf einem Grad zu erstrecken. Kleinsten Sterns 9 und 10 Größe sind vollkommen frei von dieser Trübung, ebenso Sterne 7. und 8. Größe.« Prof. Wolf hat diesen Nebel jüngst am 28-tägigen Refraktor des astrophysikalischen Instituts auf dem Königstuhl photographiert und dabei eine absolute Bestätigung seiner früheren Wahrnehmung gemacht, daß Nebel in der Mitternachts meridian von demselben Klumpen umgeben sind.

Auf Tafel III ist der Wellhells Aufnahme in Lichtdruck reproduziert. Figur 1 zeigt den Nebel mit verkleinerter Umgebung, Figur 2 ist eine vergrößerte Reproduktion des eigentlichen Nebels. Die Aufnahme geschah am 18. April 1907 mit einer Dauer von 40 Minuten. Der Nebel ist, wie Prof. Wolf betont, ein sehr bemerkenswertes Objekt. Besonders fiel ihm der ungewisse Abfall der Helligkeit der äußeren Umhüllung auf, wodurch der Eindruck hervorgehoben wurde, als wenn die Nebelmassen sich über die dunkle Umgebung erstreckten, aber nicht Licht genug besaßen, um sich sichtbar zu machen. Unter allen Nebeln, die Prof. Wolf kennt, ragt der in Rede stehende diese Beschreibung am deutlichsten

## Neue spektroskopische Doppelsterne.

**E**benfalls schließt man zu den Doppelsternenhundert hinzu je zwei Fernrohre nur einfach erscheinenden Paaren, wenn Untersuchungen in der Lage der Linien seines Spektrums erkennbar sind, die den Nachweis liefern, daß der Stern seine Bewegung in der Richtung der Geschwindigkeit zur Erde sehr erheblich oder periodisch verändert. Diese Veränderung erklärt sich nämlich am natürlichsten durch die Annahme, daß der Stern sich in geschlossener Bahn um einen ihm benachbarten Schwerpunkt bewegt, und zwar gemeinsam mit einem zweiten Stern. Die Anzahl dieser spektroskopischen Doppelsterne wächst noch, je und zehntlicher, als man vor einigen Jahrzehnten vermuten konnte. In diese letzten Reihen rechnet die Lickobservatorien wiederum Mithras über eine Anzahl neuer spektroskopischer Doppelsterne und über die Tabelle

einiger bereits bekannten. Folgendes ist der hauptsächlichste Inhalt dieser Anzeige.<sup>1)</sup>

»Carnegie ( $A.R. = 9^h 54^m$   $D. = -58^{\circ} 23'$ ). Der Charakter dieses Sterns als Doppelstern ist von Prof. W. H. Wright gelegentlich der Miltz-Expedition<sup>2)</sup> nach der nördlichen Hemisphäre entdeckt worden. Der Stern ist 3.5 Größe, und die photographischen Aufnahmen seines Spektrums verließen zwischen 50 und 60 Minuten. Auf Grund von 25 Platten, welche in der Zeit vom 4. Februar 1904 bis zum 11. Mai 1907 erhalten wurden, ergibt sich, daß die Geschwindigkeit des Sterns in der Geschwindigkeit vor Erde die sogenannte Bahngeschwindigkeit<sup>3)</sup> zwischen  $+44.4$  und  $-1.2$  km pro Sekunde schwankt, wobei  $+$  ein Entfernen,  $-$  ein Näherkommen des

<sup>1)</sup> Lickobservator. Bulletin Nr. 122, 123.

<sup>2)</sup> Siehe über diese Reise 1901, II. Heft.

Stern in der Geminiden bedeckt. Die Berechnung der Bahn ergab, daß die Umlaufdauer des Sterns 8344 Tage, Exzentrizität der Bahn 0,18, Halbmesser der Bahn mindestens 1960000 km, Bewegung des Systems durch den Raum  $+ 23,6$  km in der Sekunde beträgt.

• **Pavonis** (AR =  $20^{\text{h}} 17^{\text{m}}$  D =  $- 57^{\circ} 3'$ ). Der Doppelsterncharakter dieses Sterns 2. Größe ist zuerst von Prof. W. H. Wright in Chile entdeckt worden und wurde definitiv erwiesen durch die Vermessung der Platten durch Dr. L. Albrecht auf der Lick-Stationen. Unter guten atmosphärischen Verhältnissen konnte das Spektrum gänzlich schon in 22 bis 36 Minuten photographiert werden. In der Zeit von 1903 September 23 bis 1907 Juli 28 wurden 22 für die Bahnbestimmung geeignete Aufnahmen erhalten. Sie ergaben als Umlaufdauer des Sterns 11753 Tage, Exzentrizität seiner Bahn 0,64, Halbmesser derselben mindestens 1171000 km und Geschwindigkeit der Bewegung des ganzen Systems durch den Raum  $+ 36$  km. Die größte Differenz in der Radialgeschwindigkeit beträgt 14,5 km.

• **Volarum** (AR =  $9^{\text{h}} 19^{\text{m}}$  D =  $- 54^{\circ} 34'$ ). Auch bei diesem Stern ist sein Charakter als spektroskopischer Doppelstern durch Prof. W. H. Wright festgestellt der Mittelspektrograph entdeckt worden. Die Helligkeit des Sterns ist 2,6 Größe. Die Aufnahmen, welche bei der Bahnbestimmung berücksichtigt sind, wurden in der Zeit von 1904 März 6 bis 1907 Juli 2 erhalten. Sie zeigen als größte Geschwindigkeiten  $+ 70$  und  $- 29$  km pro Sekunde. Die Bahnbestimmung, auf 22 Aufnahmen begründet, ergibt als Umlaufzeit des Sterns um den gemeinsamen Schwerpunkt 11668 Tage, als Exzentrizität der Bahn 0,73, als geringsten zufälligen Halbmesser der Bahn 71260000 km und als Bewegungsgeschwindigkeit des ganzen Systems durch den Raum  $+ 21,9$  km pro Sekunde.

• **Draconis** (AR =  $10^{\text{h}} 31^{\text{m}}$  D =  $+ 58^{\circ} 58'$ ). Der Doppelsterncharakter dieses Sterns 4,5 Größe ist schon von Campbell erkannt worden. Sein Spektrum gehört zum Typus IIIa der Vogelschen Klassifikation. Die Linien in denselben sind ziemlich verwischt und schwer zu messen. Die Aufnahmen, auf welchen die Bahnbestimmung beruht, geschahen in der Zeit von 1895 März 23 bis 1904 Juli 29 mit dem Mittelspektrographen. Sie zeigen als Geschwindigkeitsbreite des Sterns  $+ 15,8$  und  $- 32,4$  km in der Sekunde. Die Berechnung ergab die Umlaufdauer 30906 Tage, Exzentrizität der Bahn 0,141, kleinster zufälliger Halbmesser der großen Achse der Bahn 9660000 km, Geschwindigkeit des Systems im Raum  $- 8,36$  km pro Sekunde.

• **Draconis** (AR =  $17^{\text{h}} 37^{\text{m}}$  D =  $+ 68^{\circ} 48'$ ). Dieser Stern 5. Größe wurde schon 1870 von Prof. Campbell als spektroskopischer Doppelstern erkannt. Aus 26 Aufnahmen mit dem Mittelspektrographen, die den Zeitraum von 1897 Juli 25 bis 1907 August 7 umfassen, hat jetzt A. Turner die folgenden definitiven Bahnelemente des Sterns berechnet:

Geschwindigkeit des ganzen Systems im Raum:  $- 13,68$  km pro Sekunde.  
Zeit des Periastrons: 1906 Juli 23 059  
Exzentrizität der Bahn 0,0007  
Umlaufdauer 527968 Tage.

Seine große Achse der Bahn mindestens 2600000 km.

Von Sternem, deren veränderliche Radialbewegung sich nachdrücklich gezeigt hat, ohne daß man/s noch eine Bahnbestimmung möglich wäre, werden aufgeführt:

• **Carinae** (AR =  $11^{\text{h}} 44^{\text{m}}$  D =  $- 58^{\circ} 26'$ ). Die mit dem Mittelspektrographen erhaltenen 5 Spektrogramme zeigen Geschwindigkeit zwischen  $+ 12,4$  und  $+ 3,3$  km pro Sekunde.

• **Orionis** (AR =  $23^{\text{h}} 47^{\text{m}}$  D =  $- 45^{\circ} 47'$ ). Die 11 Spektrogramme ergeben

Geschwindigkeiten zwischen  $-23$  und  $-16.5$  km pro Sekunde.

• *Tauri* (AR =  $3^{\circ}19.4'$  D =  $+6^{\circ}46'$ ). Das Spektrum ist vom Typus K und die Umlaufperiode wahrscheinlich lang. Die Messungen ergeben Geschwindigkeiten zwischen  $-23.7$  km und  $-15$  km.

• *Tauri* (AR =  $3^{\circ}25.4'$  D =  $+12^{\circ}35'$ ). Zwei Messungswerte zeigen Geschwindigkeiten zwischen  $+9$  km und  $+27$  km. Das Spektrum gehört zum Typus K, und die Umlaufperiode ist wahrscheinlich lang.

• *Canis lupardalis* (AR =  $4^{\circ}45.0'$  D =  $+33^{\circ}35'$ ). Aus 9 Messungswerten folgen Geschwindigkeiten zwischen  $+23$  km und  $-40$  km pro Sekunde. Das Spektrum gehört zum Typus A. Die Periode ist zweifellos klein.

• *Bootis* (AR =  $14^{\circ}12.8'$  D =  $+35^{\circ}58'$ ). Das Spektrum gehört zum Typus I. Die Messungen der 5 Platten zeigen Geschwindigkeiten zwischen  $+103.6$  und  $-45$  km pro Sekunde. Die Periode ist wahrscheinlich lang.

• *Coronae* (AR =  $15^{\circ}23.7'$  D =  $+29^{\circ}27'$ ). Das Spektrum gehört zum F-Typus. Es liegen zwölf Messungswerte vor, welche Geschwindigkeiten zwischen  $-33$  und  $-15$  km ergeben.

• *Cygni* (AR =  $20^{\circ}1.5'$  D =  $+43^{\circ}32'$ ). Das Spektrum entspricht dem K-Typus mit sehr guten Linien und gestärkt scharfe Messungen, welche Geschwindigkeiten zwischen  $-14$  und  $-24$  km pro Sekunde ergeben. Die Periode ist wahrscheinlich lang.

• *Tauri* (AR =  $4^{\circ}30.3'$  D =  $+5^{\circ}53'$ ). Spektrum des F-Typus mit ziemlich breiten, aber nicht maßbaren Linien. Es liegen 5 Messungswerte vor, welche Geschwindigkeiten zwischen  $+102$  und  $-45$  km anzeigen. Die Periode ist wahrscheinlich kurz.

• *Cephei* (AR =  $32^{\circ}1.4'$  D =  $+50^{\circ}43'$ ). Spektrum des K-Typus im ganzen liegen 15 Messungswerte vor, welche Geschwindigkeiten zwischen

$-14$  und  $-28$  km pro Sekunde anzeigen.

• *Virginis* (AR =  $12^{\circ}14.8'$  D =  $-8^{\circ}21'$ ). Die verstärkter Radialbewegung dieses Sterns 42 Größe ist ziemlich gleichzeitig mit dem Lock-Observatorium und der Yerkeserweiterung entdeckt worden. Wie Prof. Frost und Adams gefunden haben, zeigt der Stern bei Aufnahme mit dem Gouy-Francon-Spektroskop in dem Hauptspektrum noch ein ziemlich intensives Spektrum des Begleiters, auch in die Anzahl der Spektrallinien, welche genaue Messungen gestatten, verhältnismäßig groß. Der Stern steht in seinem Spektraltypus zwischen dem Stern des Orion- und des Skorpion-Typus, seine Linien sind sehr schmal und scharf, besonders die Wasserstofflinie, darüber auch mehrere Metalllinien, so die des Eisens und Titans. Heliumlinien sind nicht erkennbar. Die Magnitudenänderung von der Wellenlänge  $\lambda$  4481 ist ebenso stark als die Wasserstofflinie H $\gamma$  von Skorpionstern und nur  $\lambda$  4426 und 4131 schwächer. Das Spektrum des hellerschwarzen Begleiters ist das genaue Wiederholung desjenigen des hellen Sterns. Die Schwächestärke ist von Nauen bemerkt auf der Yerkeserweiterung ausgeführt worden. Die schwachen Geschwindigkeiten des hellen Sterns mit Bezug auf die Sonne variieren zwischen  $-15.7$  und  $+28.1$  km, die des Begleiters zwischen  $-41$  und  $+67$  km. Die Periode der Geschwindigkeitsänderung des Hauptsterns ist nahe 71.9 Tage, auch die des Begleiters variiert in dem gleichen Zeitraum, aber dessen Geschwindigkeitsänderung ist nicht so einfach, sondern stark darauf, daß noch ein anderer Begleiter als dieser und dem Hauptstern abwechselnd vorhanden sein muß. Was die Bahn des Hauptsterns um den gemeinsamen Schwerpunkt anbelangt, so findet der Berechner

Umlaufdauer = 71.9 Tage.

Exzentrizität = 0.254.

Abstand des Periastrons vom Kerne =  $154^{\circ}$ .

Radialgeschwindigkeit des Schwerpunktes des Systems = — 9,4 km.

Halbe große Achse mindestens 15 500 000 km.

Summe der Massen mindestens — 0.13 Sonnenmasse.

Ist die Neigung der Bahnebene wesentlich kleiner als  $90^\circ$ , so wird die halbe große Achse und ebenso die Summe der Massen entsprechend größer, bei  $30^\circ$  Neigung ist die große Bahnachse doppelt so groß und die Summe der Massen steigt auf 1.02 der Sonnenmasse.

Die Radialgeschwindigkeit des Schwerpunktes für den Begleiter ergab sich zu + 30 km, was anzeigt, daß dieser Begleiter auch in der Geschwindigkeit um 2166 000 km pro Tag von der helien Komponente entfernt. Wenn diesem kleinen Zuri hindurch stattfindet, so können beide Sterne offenbar kein physikalisches System bilden, da aber die Beobachtungen nur einen

Zeitraum von 5 Jahren umfassen, so läßt sich hierüber noch nichts Bestimmtes sagen. Man kann erwarten annehmen, daß der schwache Begleiter sehr weit von demselben entfernt steht und um die Zentralsonne in sehr langer Periode sich bewegt, so daß die für den Schwerpunkt gefunden Radialgeschwindigkeit in der Geküchtheit darstellt. Als der Berechner die berechneten mit den beobachteten Geschwindigkeiten verglich, ergab sich, daß die Abweichungen besser vorhanden aus Periode von 20-45 Tagen einkam, also die Hälfte der oben genannten Periode von 71.9 Tagen. Ähnliche Ungereimtheiten zeigen sich auch bei den spektroskopischen Doppelsternen; Oromstrom und W. Sargittell, sowie an einigen anderen von kurzer Periode, die wahre Ursache dieser Qualitäten ist aber noch unklar.

## Vermischte Nachrichten.

P. J. C. Janssen. Der allseitig verehrte französische Astrophysiker Janssen war 1824 in Paris geboren und erreichte ein Alter von fast 54 Jahren. Er wurde 1873 Direktor des Astrophysikalischen Observatoriums in dem herrlich gelegenen alten Schloß von Meudon, das nach einer kurzen Dampfheide auf der Seite von Paris erreicht wird. Die Lage von Meudon auf den Anhöhen des linken Seemfers und umgeben von herrlichen Wäldern ist eine für astrophysikalische Himmelsforschungen besonders günstige. Mit hervorragendem Eifer und Erfolge widmete sich Janssen besonders der Sonnenforschung. Auf der 1868 nach Venedig ausgesandten Expedition zur Beobachtung des totalen Sonnenfinsternis erlangte er durch Benützung der damals

vor kurzen erst konstruierten Spektroskops, daß die an dem Sonnenrande erscheinenden Protuberanzen aus glühenden Wasserstoffgasen bestehen. Dieser wichtigen Entdeckung, die eine neue Ära in der Sonnenphysik beendete, folgte alsbald eine zweite nicht minder bedeutsame, indem es Janssen gelang, nach einer einfachen Methode die bei denen nur bei Gelegenheit einer totalen Sonnenfinsternis wahrzunehmenden Gefilde der Protuberanzen auch sonst in einem starken Spektroskop zu beobachten. In Meudon untersuchte er später die Sonnenoberfläche mit Hilfe der Photographie, wobei ihm die ersten großen, über 20 cm im Durchmesser betragenden Sonnenbilder von ungetrübter Schärfe gelang. So entdeckte er folgerichtig mit dem Atavi-

habe Langley gewisse Gebilde in der Photosphäre der Sonne, die durch häufige Störungserscheinungen auf dessen Oberfläche verursacht werden und in verschiedenen Teilen der photosphärischen Schichten gelagert sind. Auf einer 1874 nach Japan zur Beobachtung des Venusdurchgangs vor der Sonne unternommenen Expedition erhielt Janssen durch Anwendung eines großen Photeliographen eine Reihe besonders großer und vorzüglicher Sonnenphotographien. Auch die Methode, die Zerstreuungen aus der wechselnden starken Schwärzung der Grenzschichten auf der photographischen Platte zu bestimmen, die später von Prof. Schwarzschild weiter ausgebildet wurde, ist zuerst von Janssen vorgeschlagen worden. Besonders populär wurde der französische Astrophysiker durch die von ihm 1862 durchgeführte Errichtung eines astrophysischen Observatoriums auf dem Gipfel des Montblanc. Obwohl gelitten, ließ sich Janssen mehrere Jahre hindurch nach seiner Höhenreise hinsetzen und stellte dort Beobachtungen über die atmosphärischen Absorptionen im Sonnenspektrum an Janssen, der Mitglied der Pariser Akademie der Wissenschaften und des Pariser Längerkommissars war, verband eine Energie mit großer Lebenswürdigkeit des Charakters. Jeder, der sich mit dem Studium eines an einer wissenschaftlichen Expedition gewöhnlichen Himmels Himmels befaßt, wie von der astronomischen Lebenswürdigkeit erzählt, wie der Herr und sein Frau Janssen der Gabe empfingen. Mit ihm ist ein bedeutender, in den letzten Jahren eines hohen Alters allerdings dem Fortschreiten der Astrophysik etwas verschämter Gelehrter und ein eigner Mann beizugehen.

Der Werkdurchgang im September 1867, über den jetzt die durch die Weiter ermöglichten Beobachtungen ziemlich vollständig bekannt geworden sind, hat mehrere Andeutungen gegeben, daß der von Langley früher und auch

jetzt wieder wiedergewonnen oder vermehrte hellen Schein (Ring) um die schwarze Planchette bei einem anderen als eine Kontakterscheinung ist, in seinem Falle kann er auf eine Hohl- atmosphäre bezogen werden.

Ein Haas durch einen Meteoriten verursacht. In der Nähe von Bellfontaine, dem Hauptort des Comté Logan in den Vereinigten Staaten, ist nach einer deutschen Meldung in der Nacht zum zweiten Weihnachtstage 1887 ein Meteor (zum Feuerball) niedergegangen. Dadurch wurde ein Gebilde vollständig zerstört und in Brand gesetzt, dabei ist ein Engländer ums Leben gekommen. Der Meteor fiel auf dem westlichen Oden auf die Erde nieder und drang 4-5 Fuß in den Boden. Er hat einen Umfang von 9', bis 10 m (?).

Neu entdeckter kleiner Planet von ungewöhnlicher Helligkeit. Am 4. Januar wurde auf dem Astrophysischen Institut Königsberg durch Kugel ein Planet entdeckt, der sich durch ungewöhnliche Helligkeit (92 Größe) und rasche Bewegung auszeichnete. Januar 5. 1887 wurde auf dem Astronomischen Institut Heidelberg der Ort des Planeten bestimmt.  $AR = 7^h 32^m 38^s$   $D = +14^{\circ} 41' 12''$  und die Helligkeit als 94 Größe geschätzt. Der Planet hat die vorläufige Bezeichnung 1888 B.M. erhalten.

Auffindung des Endischen Kometen. Am Astrophysischen Observatorium zu Heidelberg ist dieser Komet bei seiner damaligen Zurückkunft zur Sonne photographisch entdeckt worden. Sein Ort war Januar 2.  $6^h 14^m 20^s$   $D = +1^{\circ} 16'$ . Der Komet gleich an Helligkeit einem Sternchen 13 Größe. Näherliegendes Inst. Prof. Wolf, daß der Komet schon auf einer photographischen Aufnahme vom 25. Dezember 1887 enthalten ist aber weiß er hat im Komet der 1887 stand, übersehen wurde. Seine Position war

1991 December 25. T<sup>h</sup> 1991 = Zt.  
von Königsstuhl AR = 224 57.4 = D =  
+ 0° 54', Helligkeit = 13. Größe.

**Astrologischer Schwinkel.** Der  
Bügel begrabschte Abengrabe der Stern-  
denken ist in den letzten Jahren von  
Leuten, die auf die Dauerheit ihrer  
Nebenmenschen gefallenen, wieder aus-  
gegeben worden. Die Man Jacob  
(München) charakterisiert diese schwär-  
zhaften Beschreibungen treffend wie folgt:

„Um sich als selbstgeleiteter Astrolog  
zu erhalten, suchte er aus dem Vollen  
zu schöpfen. Da offeriert z. B. in der  
Neuen Metaphysischen Handbuch —  
den okkultistischen Zentralorganen deut-  
scher Zunge — ein Dr. mathem. Hül-  
berstadt des „Theosophischen“ in Jena-  
Unterungensheim (90 da viele jensei-  
gische) Horoskope zum beschreibenden Preise von  
120 Mk. Dabei sind nach Horoskope  
nach Indigiter Marier, nach genauerer  
Berechnung und sorgfältiger Divisionen.  
Verlangt wird aber Angabe des Geburts-  
datums, der Geschlechts, der ganz be-  
stimmten Stellung und bekanntester  
Lebensereignisse — zur Korrektur. Das  
sieht bedenklich nach einer „Rückwärts-  
prophierung“ aus — ein Geiz, in  
dem der ehemalige Schüler Vogt ge-  
rade vor einem halben Säulen zu  
München „geglückt“ hat. Seine astro-  
logischen Orakel sprachen „verhüllten-  
ständig das Lebensschicksal vererbender  
politisch hervorragender Persönlich-  
keiten. Vogt erweist sich in politisch  
sehr einflussreichen Kreisen eines großen  
Ansehens, und bekannteste politische  
Tagungsorte Süddeutschlands beschäf-  
tigten sich ernsthaft mit seinen astro-  
logischen Gutachten.“ Dr. Hül ist  
aber auch bereit, in 50 Briefen für das  
„Selbststudium“ zum Preise von 120 Mk.  
Unterricht in der praktischen Astrologie  
zu geben. Ein Pri. von Meyers offer-  
tiert wiederum in der „Übernatürlichen  
Welt“ astronomisch-astrologisch be-  
schreibende Horoskope deutsch und hebräisch  
für 20 Mk., in anderen Sprachen für  
Mk. mehr. Man könnte man bei einer

derartigen kulturpathologischen Erschei-  
nung sich mit der Gewißheit setzen,  
dass eben eine bestimmte Sparte des  
heute verpönten Okkultismus vorliegt,  
über das Überhandnehmen des astro-  
logischen Fantomas hat auch ganz be-  
denkliche sozialpolitische Schattenseiten.  
Nicht nur dadurch, dass über ein ständ-  
lich und politisch höchst einflussreiches Mit-  
glied der auch zu einer Art von Mystern-  
bündnis verfallen und dann auch ge-  
meinsam der phantastischen Ideen aus-  
zuweichen suchen. Ein nicht orthodoxer  
Beispiel hierfür liegt der Zentralist ge-  
wöhnlich, wo in der Zeit der höchsten Be-  
denken, während des russisch-japani-  
schen Krieges, Hypnotismus und Spiriti-  
sten alles die Situation beherrschten, —  
bis sie von zwei israelischen Astro-  
logen abgelöst wurden, deren unheil-  
voller Einfluss auf die Herrscherfamilie  
auch heute noch nicht verschwunden  
sein soll. Es ist dies auch eine Wieder-  
holung der Krassheiten, in der die  
Astrologie ihre Mächtigkeits erreicht hat und  
zur Mächtigkeits der Autokratie geworden  
ist. Man denke nur an Tyrus Brille  
oder Johannes Kepler, der einem  
Wahrzeichen die Versicherung gab, er  
würde erst im 70. Lebensjahre nach ster-  
blichen Früher sterben. Denn „die  
Sternen können nicht“. Freilich hat es  
dann zum Gelingen wider Stern-  
lauf und Schicksal.

Nicht nur die suggestiv stark ver-  
breitende Meinung zum okkultistischen  
Abengraben, zum Rückfall in einen  
kindglaubigen Götterdienst ist es,  
welche die Ausbreitung astrologischer  
Anerkennung so bedenklich erschweren  
kann. Vor allem ist es ein Sonderzug  
der Astrologie, der gegenwärtig ganz  
rapid um sich greift und einen sehr  
eigenartigen kulturpathologischen Reflex  
wirft. Es ist die astrologische Gemein-  
de. Auch sie ist alt, auch. Das  
astrologische Karpfischschiff „sticht sich  
unverwundbar“ auf die Chinesen  
Polenien untergeordnet haben 160 So-  
lennen, in denen je nach dem Stande  
des Planetenorgans Drogen und

Therapie eines Leidens angegeben werden. Auch der Arztkunde hat auf astrologische Berechnungen Rücksicht zu nehmen, weil die Zusammenrechnung ihrer Mischun wieder von «Planeten-egressen» geleitet und beeinflusst wird. Jedes wichtigere Körperglied hat einen der Mail aller Planeten und Sonne oder Mond als Regenten. Und wie die Planeten nach ihrer Natur oder Konstellation günstig, ungünstig oder «gemischt» sein können, so wird auch die Erkrankung auf das betreffende Körperglied ausgeübt werden, z. B. beherrscht der «günstige» Jupiter den Kopf, die Sonne die Augen usw. Schon in der Spät-Antike, denn wieder an den antiken Philosophen der Renaissance stand der astrologische Körpercharakter im hohen Ansehen. Wer hatte Einblick gewonnen will, der lese nur den zweiten Band von Jakob Buechwalds «Kultur der Renaissance»! Selbst Mikulasthon hält die Astrologie für den Teil der Physik, der bestimmt, «was für einen Einfluß die Gestirne auf die Bildung der Temperamente haben, sie wird auch im Leben bei der Heilkunde angewandt». Heute ist die Kunst der astrologischen Medicinerinner wieder bedenklich im Aufstiegen. Nicht nur, daß diese «Propheten» wieder größere Anhang zu gewinnen vermag finden, es gibt in der «Jesuiten» Gesellschaft vieler deutscher Gelehrte gerade Mystifizierungskünste, die sich in einer psychologisch sehr bedenklichen Art mit der Medizin und astrologischen Grundlagen beschäftigen. Wenn diese gewöhnlich von hysterischen Frauen oder Männern geleiteten Hindernisse wirklich nur im negativen Sinne den Ausbreitung ihrer «astrologische» «astrologische» Phantasie des Dasein verhindern würden! Sie sind aber gerade deshalb astrologisch so gefährlich, weil sie nach überlieferten Rezepten für die «Überzeugung» han-

schliche Propaganda treiben und dabei für das Schwannstadium ihrer Schritte-linge, nämlich der astrologischen Medizin, Tür und Tor öffnen, ganz abgesehen von der nicht so unerschütterlichen Polemik gegen die allgemeine Medizin.

Es scheint wirklich an der Zeit, auch gegen diese Sonderart einseitiger Körpercharakter mit strengem Maßregeln vorzugehen. Nur muß man sich dabei bilden, dessen zweifelhafte Elemente des Nihilismus des Körpercharakter zu greifen. Am besten wäre es, endlich mit vollständiger Aufklärung auch ihnen und ihren Anhängern zu begegnen. Nicht von vornherein mit schärfster Überzeugung! Dadurch wird nur Öl auf Feuer gegeben und dachstuhlbedenklichen der «Ausgewählten» gestiftet. Gerade aber der Falschheit der Astrologie beruht auf Ideologien, welche Tieren des Menschheitsgeistes, und dem dunklen Ödland eines Weltgeistes. Schreibt doch selbst Goethe am 8. Dezember 1798 an Schiller: «Diesen und ähnlichen Wahn möchte ich nicht einmal Aberglauben nennen; er liegt unserer Natur so nahe, ist so heilsam und nützlich als irgend ein Glauben».

**Verfahren für Freunde der Himmelsbeobachtung.** Aus den Leuten des «Bites» und für mehrere größere und kleinere sehr gut erhaltenen Fernrohre zum Verkauf angemeldet worden. Freunden der Himmelsbeobachtung, welche die Anschaffung eines solchen Instrumentes beabsichtigen, und sich darüber zu mich wenden, bei ich zu jeder gewünschten Auskunft gern bereit.

Prof. Dr. Klein.



# Astronomischer Kalender für den Monat April 1908.

Tag des Monats	Sonne				Mond				
	Mittlere Berliner Zeit				Mittlere Berliner Zeit				Mond im Meridian
	Zeitg. M. L. — W. L.	Rektascension	Declination		Rektascension	Declination			
1	+	4 47.54	1 03 34.75	+	4 58 34.1	1 11 33.7	+	1 11 33.7	1 35.1
2		4 48.00	1 03 35.40		4 59 0.7	1 11 34.5		1 11 34.5	1 35.0
3		4 48.03	1 03 36.00		4 59 3.1	1 11 35.70		1 11 35.70	1 34.9
4		4 48.05	1 03 36.56		4 59 3.6	1 11 36.81		1 11 36.81	1 34.8
5		4 48.04	1 03 37.55		4 59 3.7	1 11 37.70		1 11 37.70	1 34.6
6		4 48.04	1 03 38.58		4 59 3.7	1 11 38.70		1 11 38.70	1 34.4
7		4 48.03	1 03 39.53		4 59 3.7	1 11 39.70		1 11 39.70	1 34.1
8		4 48.00	1 03 40.50		4 59 3.6	1 11 40.70		1 11 40.70	1 33.8
9		4 47.55	1 03 41.50		4 59 3.4	1 11 41.70		1 11 41.70	1 33.4
10		4 47.49	1 03 42.50		4 59 3.1	1 11 42.70		1 11 42.70	1 32.9
11		4 47.41	1 03 43.50		4 58 58.7	1 11 43.70		1 11 43.70	1 32.3
12		4 47.31	1 03 44.50		4 58 58.0	1 11 44.70		1 11 44.70	1 31.6
13		4 47.19	1 03 45.50		4 58 56.9	1 11 45.70		1 11 45.70	1 30.8
14		4 47.05	1 03 46.50		4 58 55.4	1 11 46.70		1 11 46.70	1 30.0
15		4 46.89	1 03 47.50		4 58 53.5	1 11 47.70		1 11 47.70	1 29.1
16		4 46.71	1 03 48.50		4 58 51.2	1 11 48.70		1 11 48.70	1 28.1
17		4 46.51	1 03 49.50		4 58 48.5	1 11 49.70		1 11 49.70	1 27.0
18		4 46.29	1 03 50.50		4 58 45.4	1 11 50.70		1 11 50.70	1 25.8
19		4 46.05	1 03 51.50		4 58 41.9	1 11 51.70		1 11 51.70	1 24.5
20		4 45.79	1 03 52.50		4 58 38.0	1 11 52.70		1 11 52.70	1 23.1
21		4 45.51	1 03 53.50		4 58 33.7	1 11 53.70		1 11 53.70	1 21.6
22		4 45.11	1 03 54.50		4 58 29.0	1 11 54.70		1 11 54.70	1 20.0
23		4 44.29	1 03 55.50		4 58 23.9	1 11 55.70		1 11 55.70	1 18.3
24		4 43.45	1 03 56.50		4 58 18.4	1 11 56.70		1 11 56.70	1 16.4
25		4 42.59	1 03 57.50		4 58 12.5	1 11 57.70		1 11 57.70	1 14.4
26		4 41.71	1 03 58.50		4 58 6.1	1 11 58.70		1 11 58.70	1 12.3
27		4 40.33	1 03 59.50		4 57 59.3	1 11 59.70		1 11 59.70	1 10.0
28		4 38.85	1 04 00.50		4 57 52.0	1 12 00.70		1 12 00.70	1 7.4
29		4 37.27	1 04 01.50		4 57 44.2	1 12 01.70		1 12 01.70	1 4.9
30		4 35.59	1 04 02.50		4 57 36.0	1 12 02.70		1 12 02.70	1 2.2

## Planetenkongressionen 1908.

April	1	10	Venus in der Konjunktion
"	3	10	Neptun in Konjunktion mit der Sonne.
"	4	3	Venus in Konjunktion mit dem Monde.
"	4	5	Mars in Konjunktion mit dem Monde.
"	4	4	Venus in Konjunktion mit Mars. Venus 1° 11' nördl.
"	8	14	Uranus in Konjunktion mit der Sonne.
"	8	13	Jupiter in Konjunktion mit dem Monde.
"	10	10	Merkur in Konjunktion mit der Sonne. Merkur 2° 20' nördl.
"	10	6	Merkur in größter nördl. helio. Breite.
"	10	9	Venus in größter nördl. helio. Breite.
"	14	10	Jupiter in Konjunktion mit der Sonne.
"	20	10	Venus in Konjunktion mit J. Stern. Venus 1° 20' nördl.
"	20	3	Venus in größter hel. Elong. 42° 30'.
"	21	14	Saturn in Konjunktion mit dem Monde.
"	27	0	Merkur in neuer Konjunktion mit dem Monde.

**Planeten - Ephemeriden**

Mittlere Berliner Mittag.							Mittlere Berliner Mittag.									
Jahr 1900	Monat	Rektascension			Declination			Jahr 1900	Monat	Rektascension			Declination			
		h	m	s	°	'	"			h	m	s	°	'	"	
<b>Merkur</b>							<b>Saturn</b>									
April	4	25	18	58.95	—	4.41	55.3	22	28	4	25	18.55	—	5.52	34.5	
	9	23	44	58.95	—	4.32	4.8	23	28		23	44	58.95	—	5.52	34.5
	14	21	10	58.95	—	4.23	5.9	23	28		21	10	58.95	—	5.52	34.5
	19	18	40	58.94	—	4.14	6.9	23	28		18	40	58.94	—	5.52	34.5
	24	16	10	58.94	—	4.05	7.9	23	28		16	10	58.94	—	5.52	34.5
	29	13	41	7.95	+	3.56	8.9	23	28		13	41	7.95	+	3.56	8.9
<b>Venus</b>							<b>Uranus</b>									
April	4	6	45	58.95	—	22	1.03	0	45		6	45	58.95	—	22	1.03
	9	6	45	58.95	—	22	1.03	0	45		6	45	58.95	—	22	1.03
	14	6	45	58.95	—	22	1.03	0	45		6	45	58.95	—	22	1.03
	19	6	45	58.95	—	22	1.03	0	45		6	45	58.95	—	22	1.03
	24	6	45	58.95	—	22	1.03	0	45		6	45	58.95	—	22	1.03
	29	6	45	58.95	—	22	1.03	0	45		6	45	58.95	—	22	1.03
<b>Mars</b>							<b>Neptun</b>									
April	4	6	45	58.95	—	22	1.03	0	45		6	45	58.95	—	22	1.03
	9	6	45	58.95	—	22	1.03	0	45		6	45	58.95	—	22	1.03
	14	6	45	58.95	—	22	1.03	0	45		6	45	58.95	—	22	1.03
	19	6	45	58.95	—	22	1.03	0	45		6	45	58.95	—	22	1.03
	24	6	45	58.95	—	22	1.03	0	45		6	45	58.95	—	22	1.03
	29	6	45	58.95	—	22	1.03	0	45		6	45	58.95	—	22	1.03
<b>Jupiter</b>							<b>Mondphasen</b>									
April	4	6	45	58.95	—	22	1.03	0	45		6	45	58.95	—	22	1.03
	9	6	45	58.95	—	22	1.03	0	45		6	45	58.95	—	22	1.03
	14	6	45	58.95	—	22	1.03	0	45		6	45	58.95	—	22	1.03
	19	6	45	58.95	—	22	1.03	0	45		6	45	58.95	—	22	1.03
	24	6	45	58.95	—	22	1.03	0	45		6	45	58.95	—	22	1.03
	29	6	45	58.95	—	22	1.03	0	45		6	45	58.95	—	22	1.03





Mittlere Berliner Mittag.							Mittlere Berliner Mittag.									
Jahr 1900	Monat	Rektascension			Declination			Jahr 1900	Monat	Rektascension			Declination			
		h	m	s	°	'	"			h	m	s	°	'	"	
<b>Saturn</b>							<b>Uranus</b>									
April	4	25	18	58.95	—	4.41	55.3	22	28	4	25	18.55	—	5.52	34.5	
	9	23	44	58.95	—	4.32	4.8	23	28		23	44	58.95	—	5.52	34.5
	14	21	10	58.95	—	4.23	5.9	23	28		21	10	58.95	—	5.52	34.5
	19	18	40	58.94	—	4.14	6.9	23	28		18	40	58.94	—	5.52	34.5
	24	16	10	58.94	—	4.05	7.9	23	28		16	10	58.94	—	5.52	34.5
	29	13	41	7.95	+	3.56	8.9	23	28		13	41	7.95	+	3.56	8.9
<b>Venus</b>							<b>Neptun</b>									
April	4	6	45	58.95	—	22	1.03	0	45		6	45	58.95	—	22	1.03
	9	6	45	58.95	—	22	1.03	0	45		6	45	58.95	—	22	1.03
	14	6	45	58.95	—	22	1.03	0	45		6	45	58.95	—	22	1.03
	19	6	45	58.95	—	22	1.03	0	45		6	45	58.95	—	22	1.03
	24	6	45	58.95	—	22	1.03	0	45		6	45	58.95	—	22	1.03
	29	6	45	58.95	—	22	1.03	0	45		6	45	58.95	—	22	1.03
<b>Mars</b>							<b>Mondphasen</b>									
April	4	6	45	58.95	—	22	1.03	0	45		6	45	58.95	—	22	1.03
	9	6	45	58.95	—	22	1.03	0	45		6	45	58.95	—	22	1.03
	14	6	45	58.95	—	22	1.03	0	45		6	45	58.95	—	22	1.03
	19	6	45	58.95	—	22	1.03	0	45		6	45	58.95	—	22	1.03
	24	6	45	58.95	—	22	1.03	0	45		6	45	58.95	—	22	1.03
	29	6	45	58.95	—	22	1.03	0	45		6	45	58.95	—	22	1.03
<b>Jupiter</b>							<b>Mondphasen</b>									
April	4	6	45	58.95	—	22	1.03	0	45		6	45	58.95	—	22	1.03
	9	6	45	58.95	—	22	1.03	0	45		6	45	58.95	—	22	1.03
	14	6	45	58.95	—	22	1.03	0	45		6	45	58.95	—	22	1.03
	19	6	45	58.95	—	22	1.03	0	45		6	45	58.95	—	22	1.03
	24	6	45	58.95	—	22	1.03	0	45		6	45	58.95	—	22	1.03
	29	6	45	58.95	—	22	1.03	0	45		6	45	58.95	—	22	1.03

April 10 Mittlere Scheitel der Ekliptik  
 " " " " " " " "  
 Halbmesser der Sonne  
 " " " " " " " "

22° 27' 1.03"  
 22° 27' 1.03"  
 16° 54' 1"  
 0.16"

Saturn und seine Monde sind im April 1900 nicht zu beobachten

### Stellungen der Jupitermonde im April 1908.

I.		r r	III.		d r
II.		r r	IV.		d r

Stellungen 10h 10m 30s für den Merid. von astronomisches Observat.

Tag	West	Ort
1	Q 1- 1	Q 1- 2
2	1 2	1 Q 2-
3	Q 1- 2	Q 1- 2
4	1 2	Q 1- 2
5	1 2 3	Q 1- 2
6	1 2	Q 1- 2 3 4 5
7	1	Q 1- 2 3 4
8	1	Q 1- 2 3 4
9	1 2 3	Q 1- 2 3 4
10	1 2	Q 1- 2 3 4 5
11	1- 2	Q 1- 2 3 4 5
12	1 2	Q 1- 2
13	1- 2	Q 1- 2
14	1- 2	Q 1- 2 3
15	1	Q 1- 2 3 4
16	1 2 3 4	Q 1- 2 3
17	1 2	Q 1- 2
18	1- 2 3	Q 1- 2
19	1 2 3 4 5	Q 1- 2
20	1 2 3	Q 1- 2 3
21	1 2	Q 1- 2 3 4
22	1	Q 1- 2 3 4 5
23	1	Q 1- 2 3 4
24	1- 2	Q 1- 2 3 4
25	1- 2	Q 1- 2 3 4
26	1- 2	Q 1- 2 3 4
27	1- 2	Q 1- 2 3 4
28	1- 2 3	Q 1- 2 3
29	1 2 3 4 5	Q 1- 2 3
30	1 2 3 4	Q 1- 2 3 4
31	Q 1- 2	Q 1- 2 3
1	1 2 3	Q 1- 2 3
2	1 2 3	Q 1- 2 3 4
3	1 2 3	Q 1- 2 3 4
4	1 2 3	Q 1- 2 3 4
5	1 2 3	Q 1- 2 3 4
6	1 2 3	Q 1- 2 3 4
7	1 2 3	Q 1- 2 3 4
8	1 2 3	Q 1- 2 3 4
9	1 2 3	Q 1- 2 3 4
10	1 2 3	Q 1- 2 3 4
11	1 2 3	Q 1- 2 3 4
12	1 2 3	Q 1- 2 3 4
13	1 2 3	Q 1- 2 3 4
14	1 2 3	Q 1- 2 3 4
15	1 2 3	Q 1- 2 3 4
16	1 2 3	Q 1- 2 3 4
17	1 2 3	Q 1- 2 3 4
18	1 2 3	Q 1- 2 3 4
19	1 2 3	Q 1- 2 3 4
20	1 2 3	Q 1- 2 3 4
21	1 2 3	Q 1- 2 3 4
22	1 2 3	Q 1- 2 3 4
23	1 2 3	Q 1- 2 3 4
24	1 2 3	Q 1- 2 3 4
25	1 2 3	Q 1- 2 3 4
26	1 2 3	Q 1- 2 3 4
27	1 2 3	Q 1- 2 3 4
28	1 2 3	Q 1- 2 3 4
29	1 2 3	Q 1- 2 3 4
30	1 2 3	Q 1- 2 3 4
31	1 2 3	Q 1- 2 3 4

Ercheinungen der Jupitermonde. Die sämtlichen Angaben über die Ercheinungen der Jupitermonde beruhen sich auf mittleren Zeit von Greenwich. Die Trabanten sind der Reihenfolge ihrer Abstände vom Jupiter nach mit I bis IV bezeichnet. Die vier größten Figuren zeigen die Stellung jedes Mondes mit Bezug auf den Jupiter für den Augenblick der Verdeckung III oder des Wiedererscheinens (V) ist nicht angegeben, so kann der Ansicht aus dem Schatten nicht beobachtet werden. Ferner bedeutet bei den nachfolgenden Zusammenstellungen

- Er D das Verschwinden des Trabanten im Schatten des Jupiter
- Er E den Austritt des Trabanten aus dem Schatten des Jupiter
- Oc D das Verschwinden des Trabanten hinter der Jupiterschleife
- Oc E das Wiedererscheinen desselben neben der Jupiterschleife
- Tr I den Eintritt des Trabanten vor die Jupiterschleife
- Tr E den Austritt des Trabanten aus der Jupiterschleife
- Sh I den Eintritt des Trabanten in den Schatten auf die Jupiterschleife
- Sh E den Austritt des Trabanten aus dem Schatten auf der Jupiterschleife

Es sind nur diejenigen Ercheinungen der Jupitermonde aufgeführt, welche sich ereignen, wenn Jupiter zu Greenwich über und die Sonne unter dem Horizont steht. Um die Mängel dieser Ercheinungen nach astronomischer Zeit zu heben, ist man hier nötig, in den angegebenen Zeitpunkten zu addieren:

April 1. I. Tr. I. 11<sup>h</sup> 11<sup>m</sup> II. Sh. I. 11<sup>h</sup> 11<sup>m</sup> III. Tr. E. 11<sup>h</sup> 11<sup>m</sup> d. Sh. E. 11<sup>h</sup> 11<sup>m</sup> I. Tr. I. 11<sup>h</sup> 11<sup>m</sup> April 2. I. Oc. D. 11<sup>h</sup> 11<sup>m</sup> I. Er. E. 11<sup>h</sup> 11<sup>m</sup> April 3. II. Er. E. 11<sup>h</sup> 11<sup>m</sup> I. Tr. I. 11<sup>h</sup> 11<sup>m</sup> I. Sh. E. 11<sup>h</sup> 11<sup>m</sup> I. Tr. E. 11<sup>h</sup> 11<sup>m</sup> IV. Oc. D. 11<sup>h</sup> 11<sup>m</sup> I. Sh. E. 11<sup>h</sup> 11<sup>m</sup> April 4. I. Er. E. 11<sup>h</sup> 11<sup>m</sup> April 5. I. Sh. E. 11<sup>h</sup> 11<sup>m</sup> April 6. III. Oc. D. 11<sup>h</sup> 11<sup>m</sup> III. Oc. E. 11<sup>h</sup> 11<sup>m</sup> III. Er. D. 11<sup>h</sup> 11<sup>m</sup> April 7. II. Tr. I. 11<sup>h</sup> 11<sup>m</sup> III. Sh. I. 11<sup>h</sup> 11<sup>m</sup> II. Tr. E. 11<sup>h</sup> 11<sup>m</sup> April 8. I. Oc. D. 11<sup>h</sup> 11<sup>m</sup> April 9. I. Tr. I. 11<sup>h</sup> 11<sup>m</sup> II. Er. E. 11<sup>h</sup> 11<sup>m</sup> I. Sh. E. 11<sup>h</sup> 11<sup>m</sup> I. Tr. E. 11<sup>h</sup> 11<sup>m</sup> I. Sh. E. 11<sup>h</sup> 11<sup>m</sup> April 10. I. Oc. D. 11<sup>h</sup> 11<sup>m</sup> I. Er. E. 11<sup>h</sup> 11<sup>m</sup> April 11. IV. Sh. E. 11<sup>h</sup> 11<sup>m</sup> IV. Sh. E. 11<sup>h</sup> 11<sup>m</sup> April 12. III. Oc. D. 11<sup>h</sup> 11<sup>m</sup> III. Oc. E. 11<sup>h</sup> 11<sup>m</sup> April 13. II. Tr. I. 11<sup>h</sup> 11<sup>m</sup> April 14. II. Tr. E. 11<sup>h</sup> 11<sup>m</sup> III. Sh. E. 11<sup>h</sup> 11<sup>m</sup> I. Tr. I. 11<sup>h</sup> 11<sup>m</sup> I. Sh. E. 11<sup>h</sup> 11<sup>m</sup> April 15. I. Oc. D. 11<sup>h</sup> 11<sup>m</sup> April 16. I. Tr. I. 11<sup>h</sup> 11<sup>m</sup> I. Sh. E. 11<sup>h</sup> 11<sup>m</sup> I. Tr. E. 11<sup>h</sup> 11<sup>m</sup> I. Sh. E. 11<sup>h</sup> 11<sup>m</sup> April 17. I. Tr. E. 11<sup>h</sup> 11<sup>m</sup> IV. Oc. E. 11<sup>h</sup> 11<sup>m</sup> April 18. I. Oc. D. 11<sup>h</sup> 11<sup>m</sup> I. Er. E. 11<sup>h</sup> 11<sup>m</sup> April 19. I. Oc. D. 11<sup>h</sup> 11<sup>m</sup> I. Er. E. 11<sup>h</sup> 11<sup>m</sup> April 20. I. Tr. I. 11<sup>h</sup> 11<sup>m</sup> I. Sh. E. 11<sup>h</sup> 11<sup>m</sup> I. Tr. E. 11<sup>h</sup> 11<sup>m</sup> I. Sh. E. 11<sup>h</sup> 11<sup>m</sup> April 21. I. Tr. E. 11<sup>h</sup> 11<sup>m</sup> IV. Oc. E. 11<sup>h</sup> 11<sup>m</sup> April 22. III. Oc. D. 11<sup>h</sup> 11<sup>m</sup> III. Oc. E. 11<sup>h</sup> 11<sup>m</sup> April 23. II. Tr. I. 11<sup>h</sup> 11<sup>m</sup> April 24. II. Tr. E. 11<sup>h</sup> 11<sup>m</sup> III. Sh. E. 11<sup>h</sup> 11<sup>m</sup> I. Tr. I. 11<sup>h</sup> 11<sup>m</sup> I. Sh. E. 11<sup>h</sup> 11<sup>m</sup> April 25. I. Oc. D. 11<sup>h</sup> 11<sup>m</sup> April 26. I. Tr. I. 11<sup>h</sup> 11<sup>m</sup> I. Sh. E. 11<sup>h</sup> 11<sup>m</sup> I. Tr. E. 11<sup>h</sup> 11<sup>m</sup> I. Sh. E. 11<sup>h</sup> 11<sup>m</sup> April 27. I. Er. E. 11<sup>h</sup> 11<sup>m</sup> April 28. I. Sh. E. 11<sup>h</sup> 11<sup>m</sup>

Mehrere größere und kleinere

## *astronomische Fernrohre*

sind sehr preiswürdig zu verkaufen. Kollektoren wollen sich wegen seltener Mittheilungen zu nicht wenden.

**Prof. Dr. Hermann J. Klein in Kilia-Lindenthal.**

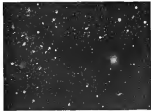


Fig. 1.

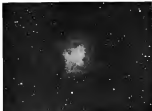


Fig. 2.

Table III.

Der Nebel im Orionen H. G. K. Nr. 1623  
nach der photographischen Aufnahme von Prof. Max Wolf.

# SIRIUS.

Zeitschrift für populäre Astronomie.

Centralorgan für alle Freunde und Förderer der Himmelskunde,  
Herausgegeben

unter Mitwirkung hervorragender Fachmänner und astronomischer Schriftsteller  
von Prof. Dr. Hermann J. Kirke in Köln.

März 1908.

„Wissen und Erleben“ und die Freunde und die  
Ehrenleitung des Monatsheftes. (Kontin.)

Jeden Monat 1 Heft. — Jährlich 12 Mk

Verlag von EDUARD HEINRICH MAYER in Leipzig.

**INHALT.** Der heutige Standpunkt der Himmelskunde. Von Carl Göt. (Schluß) S. 44. — Die heutigen Sternwarten. Mit Abbildungen und dem Verzeichn. (Fortsetzung) S. 55. — Beobachtungen am Perseus. (Heraus. Nachl. 15.) S. 66. — Beobachtungen des Sternhaufens 1907 auf der Licksternwarte. S. 69. — Beobachtungen des Planeten Saturn, von Th. Heber in Lüneburg. S. 74. — Beobachtungen über die Helligkeit der Milchstraßen. S. 82. — Das Entstehen gleichzeitiger Nebelstrahlen. S. 83. — Die Schwärze der Materie. S. 84. — Die Halbleuchendigkeit des Himmels von C. de la Rue. S. 86. — Venusulke Haidenfeld. S. 88. — Atmosphärischer Schimmer. S. 89. — Nebelungen der Jupiterwende. S. 91. — Erscheinungen der Saturnwende. S. 92. — Beobachtungen der Saturnwende. S. 93. —

## Der heutige Standpunkt der Himmelskunde.

Rede auf der Tagung der Vereinigung in Lüneburg, der deutschen Gesellschaft für den Fortschritt der Wissenschaft von ihrem Präsidenten Dr. Carl Göt,  
vormaligen Direktor der Kapteinsternwarte.<sup>1)</sup>  
(Schluß.)

**Die** erste weitere Annäherung wird sich die Untersuchung auf die Milchstraße besonders erstrecken müssen. Die Geschwindigkeit und Richtung der Sonnenbewegung im Raume dürfen als konstant für viele kommende Jahrhunderte angesehen werden, und diese Konstanten können bestimmt werden aus Gruppen von Sternen verschiedener Region, verschiedener Größen, verschiedener Eigenbewegungen und verschiedener Spektraltypen. Wenn diese gefunden bestimmten Konstanten verglichen sind, dann können die Unter-

schiede, soweit sie nicht Beobachtungsfehler zugeschrieben werden können, herkömlich von einer gemeinsamen Bewegung der Gruppe oder Klasse von Sternen, auf welche die Geschwindigkeit oder Richtung der Sonne bezogen ist. So scheint z. B. die Geschwindigkeit der Sonne, die durch spektroskopische Beobachtungen der Bewegung in der Orackstraße bestimmt wurden, merklich kleiner zu sein als die von schwachen Sternen abgeleitet. Die Erklärung dieser Erscheinung ist wahrscheinlich darin zu suchen, daß manche von den hellen Sternen zu einer Gruppe gehören, von der die Sonne ein Glied

<sup>1)</sup> Deutsche Übersetzung im Auszug  
Stern 1908, Heft 3.

bildet, und daß diese Sterne zusammen durch den Weltraum wandern. Für genaue Untersuchungen dieser Art ist das vorhandene Material, besonders über die Geschwindigkeiten in der Gesichtslinie, noch zu gering an Zahl.

Kapteyn hat gefunden, daß Sterne, deren Eigenbewegungen  $0.65''$  übersteigen, in der Milchstraße nicht zahlreicher sind als in anderen Teilen des Himmels, mit andern Worten, wenn nur die Sterne, welche Eigenbewegungen von  $0.65''$  und darüber haben, ausgeschlossen werden, so würden auch keine Sterne die Existenz einer Milchstraße erkennen lassen.

Der Eigenbewegungen der Sterne des zweiten Spectraltypus sind meist beträchtlich größer als die des ersten Typus, aber Kapteyn kommt zu dem Schluß, daß diese Differenz nicht einen wirklichen Unterschied der Geschwindigkeit bedeutet, sondern nur daß die Sterne des zweiten Typus ein geringeres Leuchtenvermögen besitzen.

Es erschien passend, späterer das Problem der Bewegung und Verteilung der Sterne im Raume zu erklären, da in dieser Richtung die überraschendsten Fortschritte unserer Kenntnisse gemacht worden sind. Fürsch haben seit 1891 sich unsere Kenntnisse von der Chemie der Sonne und der Sterne große Fortschritte gemacht. Die Methoden der Astrophysikologie sind bedeutend verbessert, die Genauigkeit der Bestimmung der Bewegung in der Gesichtslinie sehr verbessert und viele paar Doppelsterne sind entdeckt worden, die man spectroscopische Doppelsterne nennt, deren Studium bestrahlt zu uns selbst, Licht zu verbreiten über die Entwicklungsgeschichte von dem ursprünglichen Nebelzustand bis zu dem gegenwärtigen Zustand der Systeme.

Die Schwierigkeit der verfügbaren Zeit hindert mich aber auf dieses verlockende Gebiet ausführlicher einzugehen, besonders da es sehr schwer ist, sich im Lichte des Ausgeführten die richtigen Ansichten anzueignen, in denen einige von

den astronomischen Arbeiten der Zukunft am zweckmäßigsten in ein System gebracht werden können. Es sind zwei Gesichtspunkte von denen aus diese Frage betrachtet werden kann. Der erste ist der unmittelbare Erweiterung unserer Kenntnisse durch Entdeckungen, der zweite die Erfüllung unserer Aufgabe als Astronomen gegen die kommenden Generationen. Beide Gesichtspunkte sollten niemals ganz voneinander getrennt werden, aber der zweite ist für den Astronomen die höchste Pflicht, nämlich für die kommenden Generationen diejenigen Daten zu liefern, deren Bedeutung mit der Zeit wächst.

Als Ergebnis des Astronomengrößen von 1887 in Paris, sind etwa 16 von den Hauptkernern der Welt mit der mühsamen Arbeit beschäftigt, nicht nur den Himmel zu photographieren, sondern auch diese Photographien zusammenzusetzen und die relativen Positionen der Sterne bis zur ersten Größe auf dem Platten zu verifizieren. Nach Verlauf eines Jahrhunderts wird diese große Arbeit zu wiederholen sein, und dann werden, wenn wir unsere Pflicht vollständig erfüllt haben, unsere Nachkommen die Daten besitzen für eine vollständiger und gründlicher Diskussion der Bewegungen des Sternsystems als heute erreichbar ist. Notwendig sind hierzu gewisse Meridianbeobachtungen von einer Zeit oder einer Sternzeit auf jeder photographischen Platte, so daß die Umwandlung der relativen Sternörter auf dem Platten in absolute Sternörter im Himmel möglich wird. Einige Astronomen haben bereits diese Beobachtungen für die Vergleichsterne der Zonen, die sie beobachten haben, durchgeführt. Es ist sehr zu wünschen, daß dies für alle Vergleichsterne im Himmel unseres Sternsystems geschieht. Die Beobachtungen Klitzken in Bonn an gut verteilten Sternen sind ein hervorragendes Beispiel von der Art, wie diese Arbeit ausgeführt werden muß. Mehrere Sternwarten auf jeder Hemisphäre und eine

nach derselben wechsen und alles anordnen, systematische Fehlerquellen ausschließen.

Die ständige Erfüllung kann sich nicht des Errichtens an instrumenteller Ausstattung; und an Personal rühren mit der rührliche, und insbesondere ist der Vorschlag des Carnegie-Instituts mit Begründung zu begründen, eine Meridianstation in einem geeigneten Orte der Südhälfte der nördlichen Hemisphäre errichten. Ein solches Observatorium, an dem entsprechend gerichtet wird unter gezieltem Vorrichtungsaufbau gegen systematische Fehler, wird nicht als irgend etwas anderes dahin führen, in gewissen Grade das Gleichgewicht zwischen den astronomischen Arbeiten auf den beiden Hemisphären herzustellen. Aber beim Entwurf des Arbeitsprogramms wird zu bedenken sein, daß die eigentliche Pflicht des Meridianobservatoriums in der Gegenwart nicht mehr ist, die Positionen aller Sterne bis heute zu einer bestimmten Größenordnung zu bestimmen, sondern die Positionen von Sternen, die am besten geeignet, und von der geeigneten Größe sind für die Messung auf den photographischen Platten und um diese mit den Fundamentalarbeiten zu verbinden.

Eine solche vom Carnegie-Observatorium und vom Kap und von möglich von noch einem andere Observatorium auf der Südhälfte und von drei Sternwarten auf der nördlichen unternehmen Aufgabe wird für die Astronomen der Zukunft der wertvolle Beitrag sein, den die Astronomie der Gegenwart ihnen leisten kann. In Verbindung mit der jetzt so weit vorgeschrittenen astrophysikalischen Astronomie des Himmels ist dies eine Gelegenheit, deren Vorwissen nie wieder gut gemacht werden kann, eine Arbeit, deren Wert von Jahr zu Jahr wachsen wird.

Aber zur Lösung des Rätsels des Universums ist weit mehr erforderlich. Neben den Eigenbewegungen, welche aus den oben beschriebenen Arbeiten

abgeleitet werden können, müssen wir für eine ideale Lösung die Geschwindigkeit in der Geschwindigkeit kennen, lernen die Positionen, die Größe und den Spektraltypus eines jeden Sternes.

Der große Unterschied zwischen einem kleinen Daten und der Bestimmung der Eigenbewegung ist der, daß, während die Beobachtungen für die Eigenbewegung im Wert wachsen wie das Quadrat ihres Alters, die über die Geschwindigkeit in der Geschwindigkeit, Position, Größe und den Spektraltypus, die die ersten Zwecke der astronomischen Untersuchung zu jeder Zeit ohne Einbuße ihres Wertes gemacht werden können. Wir sollten daher sehr darauf bedacht sein, die Interessen der Zukunft nicht zu opfern durch unvernünftigen Vorausschlagung der ersten zugunsten der letzten Untersuchungen. Die Hauptsache ist, daß diejenigen Sternwarten, welche die Meridianarbeit übernehmen, an derselben konzentriert mit möglicher größtmöglicher Vorsehung und mit größtem Eifer das Programm zu Ende führen. Den Observatorien auf jeder Hemisphäre würden zuzuschauen sein, die Qualität der Arbeit müsse die beste sein und nicht zugunsten der Schnelligkeit der Arbeit geopfert werden.

Das beste Verlangen der handwerkswürdigen Arbeit, wie hoch auch das letzte Ziel derselben ist, würde aber kaum ein gewisser Zustand der Astronomie der nächsten Zukunft sein, ohne das Verlangen nach Wissen muß in gewissen Grade begünstigt werden.

Deshalb hat Kapteyn bei der Beratung mit seinen Kollegen in verschiedenen Weltteilen, einem Untersuchungsplan vorgeschlagen, der bekannt ist, mehrfach beschriebener Zeit eine große Vermehrung unserer positiven Kenntnisse zu liefern. Das Prinzip seines Programms beruht darauf, daß zuverlässige Daten über die Eigenbewegungen, Positionen, Größen und den Spektraltypus von Sternen, die zu beschreiben, aber symmetrisch verteilten Gebieten des Himmels liegen, zuverfügen, daß



weisen Tatsachen über den Bau des Universums zu ermitteln. In jeder Beziehung, wasgenommen tinter, sind seine Vorschläge praktisch und angemessen, die Annahme betrifft die Bestimmung der Bewegung in der Geschichte.

Unsere Erklärungen zeigen, daß bis jetzt keine befriedigende Methode bekannt ist, die radiale Geschwindigkeit der Sterne durch Massenerhebungen zu bestimmen, sondern diese Geschwindigkeiten müssen stils von Stern zu Stern bestimmt werden. Für die lichtschwachen Sterne sind riesige Teleskope und Spektroskope von verhältnismäßig geringer Dispersion erforderlich. In dieser Hinsicht kommt auf beiden Hemisphären ein großer Bedürfnis nach einem Kosmosreflektor — von sechs bis acht Fuß Öffnung — der fast ausschließlich dieser Untersuchung gewidmet würde. Ein solches Teleskop ist auf Mount Wilson, Amerika, in Vorbereitung. Wir hoffen, daß Prof. Pickering's Auftri für die Aufstellung eines großen Instrumentes auf der südlichen Hemisphäre von allgemeiner Aufnahme findet, und daß derselbe dort dieser hochwichtigen Arbeit gewidmet wird.

Die alten Philosophen hatten solles Vertrauen in die Zukunftsichkeit ihrer intellektuellen Fähigkeiten, die Ethel des Universums zu lesen. Jede Philosophenschule war darin ting, daß ein hoher Mittelpunkt des Universums existiere, und der Kampf wurde darüber geführt, wo dieses Zentrum sei. Der Mangel an Tatsachen und der vollständige Unkenntnis der Methoden echter Messung bei der nicht abgeschätzten, und die Frage bederte lange den Gegenstand fruchtloser Beschäftigung durch 15 Jahrhunderte hindurch.

Die Astronomen der Gegenwart aber wissen, daß Lindley Melville's Beobachtungen in Greenwich, die vor nur 150 Jahren angestellt wurden, mehr bezeugen können zum Fortschritt der Kosmographie als alle Spekulationen der vorhergehenden Jahr hundert zusammen genommen. Sie haben gelernt, daß wir

bei den langsam sich entwickelnden Entdeckungen der Sternastronomie zufrieden sein müssen, fortzuschreiten mittels der Arbeiten der aufeinander folgenden Generationen, daß der Fortschritt für die Zukunft durch die Menge beobachteter und systematisch diskutierter Beobachtungen mehr bestimmt wird als durch die glänzenden Spekulationen und daß spezialisiertes, auf ein besonderes mit Überlegung ausgewähltes Problem konzentriertes Arbeiten von größeren Nutzen sein wird als das glänzende, aber zusammenhanglose Arbeit.

Auf diese Weise werden wir mehr und mehr von den Wundern, die uns umgeben, lernen lernen und unsere Grenzen erweitern, von Messung und Tatsachen uns leiten.

Huggins' Spektroskop hat gezeigt, daß viele Nebelsterne überhaupt keine Sterne sind, daß viele stark verdeckte Nebel ebenso wie viele flache nebelförmigen Lichter am Himmel nur unzulängliche Massen leuchtenden Gases bilden. Beweise haben sich angehäuft, die zeigen, daß diese Nebel aus der Materie bestehen, aus der die Sterne sich entwickelt haben und auch entstehen. Die verschiedenen Typen der Sternspektren bilden eine so vollkommen und ähnliche Folge (von den einfachsten Spektren, die denen der Nebel ähnlich sind, durch Typen von allmählich wachsender Komplexität), daß sie auf die Vermutung führen in der Ueberschrift dieser Spektren ist die vollkommene Analogie der Entwicklung der Sonnen vom unzulänglichen Nebel aufwärts zu der glühenden Sonne und dann abwärts zu der bei niedrigeren und unruhigeren Kugel vor uns. Die Periode, während welcher Menschenleben auf unserer Erdezeit dauert, ist wahrscheinlich zu kurz — selbst wenn unsere ersten Ahnen die Arbeit begonnen hätten — um durch Beobachtungen einen Beweis für den Zyklus solcher Veränderungen zu einem einzelnen Sterne zu liefern, aber die

Tatsache einer solchen Entwicklung kann gegenüber den vorliegenden Befunden kaum bezweifelt werden. Ich glaube, daß, wenn die Modifikationen der irdischen Sphären unter genügend variablen Bedingungen der Temperatur, des Drucks und der Umgebung, wieder untersucht sein werden, dieser Schluß wohl bedeutend bekräftigt werden wird. Aber bei diesem Studium müßten wir auch Rücksicht nehmen auf die Sphäre der Sterne selbst. Die Sterne sind die Schmiedekessel des Schöpfers. Wir sehen dort die Materie unter Bedingungen der Temperatur, des Drucks und der Umgebung, deren Mannigfaltigkeit wir nicht hoffen können in unsern Laboratorien nachzuahmen, und in einem Maße, neben welchem das Verhalten unserer größten Experimente kleiner ist als das des Tropfens zum Ozean. Der spektroskopische Atomtest hat dem Physiker und Chemiker so danken für die Grundlage seiner Wissenschaft, aber die Zeit wird kommen (und wir sehen es bereits jetzt) wo der Astronom die Schuld zurückzahlen wird durch wesentliche Beiträge zu den wahren Grundlagen der chemischen Wissenschaft.

Durch geduldige, lang fortgesetzte Arbeit und durch das sorgfältige Studium

der theoretischen Probleme ist die wichtige Entdeckung gemacht worden, daß ein großer Teil des Raumes, soweit wir sichtbare Kosmos von ihm haben, zusammengesetzt wird von zwei majestätischen Sternstrahlen, die nach entgegengesetzten Richtungen wandern. Genaue und sorgfältige Messungen haben uns einige Kenntnisse gegeben über die Abstände der Sterne in einem beschränkten Teile des Raumes, und in dem Gebirgsrücken ihrer Sphären wurde die unheimliche Weite festgesetzt, daß die Sterne bei der Seltenheit doch im Entwerf, ähnlich in der chemischen Konstruktion und ähnlich im Prozeß der Entwicklung.

Aber woher sind diese beiden ausgebreiteten Ströme von Materie gekommen, warum haben sich diese Sterne entwickelt, die sich nun durch den Raum in solcher majestätischen Potenz bewegen? Sind die Hierarchie von Milliarden Sterne, welche diese Ströme umfassen, die einzigen potentiellen Bewohner des Raumes? So unheimlich das System uns ang, zu dem wir gehören, dieses System ist nur ein Stützchen im unerschöpfenden Raum. Könnte es nicht nur aus von Milliarden solcher Systeme sein, die die Unendlichkeit durchwandern? Wir wissen es nicht.

## Die heiligen Sternwarten, ihre Ausrüstungen und ihre Vorstöße.

(Fortsetzung)

**Pader (Jahres) Königl. Universitätssternwarte.**

Geographische Breite  $45^{\circ} 34' 1.0''$  N.,  
Länge  $8^{\circ} 47' 29.45''$  E.  
Seehöhe 30 m.

Direktor: Prof. G. Lohrmann, 2 Hilfsastronomen.

Das Observatorium wurde 1767 bis 1777 erbaut und sein erster Direktor war der Abt Toaldo. An Instrumenten sind vorhanden: Ein Meridiankreis, ein Meridianes Äquatorial von 137 mm Öff-

nung, ein dalytischer Refraktor von 110 mm Öffnung und kleinere Instrumente.

**Palermo (Sizilien). R. Osservatorio astronomico.**

Geographische Breite  $38^{\circ} 6' 44.55''$  N.,  
Länge  $8^{\circ} 12' 25.8''$  W.  
Seehöhe 22 m.

Direktor: Prof. F. Angeli, 3 Adjunkt-astronomen, 5 Assistenten.

Die Sternwarte wurde im Jahre 1790 auf dem Turm S. Sofia des Königs

Polen imagedrichet. Sie besitzt gegenwärtig einen Meridiankreis von Paris & Madrid mit 120 mm Objektiv, ein Nierisches Äquatorial von 250 mm Öffnung und 243 mm Brennweite, ein Zenithfernrohr von Wesselhoff und Messer-Instrumente.

**Perth.** Observatorio nacional de Peru. Geographische Breite  $45^{\circ} 54' 11.3''$  N., Länge  $7^{\circ} 29' 52''$  E. Seehöhe 607 m.

Direktor: H. Barlaud & Teleskopastronom, 10 Aufhängerastronom, 6 Hilfsastronom, 15 sonstige Hilfsbeamten, 1 Schüler.

Das Peruv. Observatorium wurde 1667 bis 1671 nach dem Plan von Perelli erbaut. Sein erster Direktor war Johann Dominicus Cassini. Nach und nach wurden Beobachtungsstationen und ein Observatorium östlich von dem alten Bau besetzt und auch diese mehrfach umgebaut. Im Jahre 1775 drohte dem Gebäude der Einsturz und es wurde deshalb 1758 bis 1763 gründlich restauriert. Fernere Umänderungen und Neubauten kamen 1853, 1876, und 1886 hinzu, im letzten Jahre die große Kuppel des Observatoriums. Von 1854 bis 1877, unter Leuten Cassinis, wurden neue Bauten errichtet und von 1878 bis 1892 unter Direktion des Admirals Marchese die Domäne des Observatoriums ebenfalls vergrößert. Sein Nachfolger im Direktionsamt, M. Loney, ist 1907 gestorben.

Von den Hauptinstrumenten sind zu nennen: Ein großer Meridiankreis mit 240 mm Objektiv, ein großer Teleskop von 13 m Spiegeldurchmesser, ein photographisches Äquatorial mit 340 mm Öffnung, ein großes Äquatorial circle mit 400 mm Öffnung, ein anderes Äquatorial mit 110 mm Öffnung, sowie ein solches mit 268 mm Objektiv, ein Subventil von Foucault mit Planquell von 300 mm Durchmesser.

**Perth (Italien).** Osservatorio astronomico e meteorologico della Reale Università.

Geographische Breite  $44^{\circ} 48' 2''$  N., Länge  $0^{\circ} 41' 18.3''$  E. Seehöhe 57 m.

Direktor: Prof. Corda, 1 Adjunkt. Dieses Observatorium war 1779 auf dem westlichen Turm der Universität eingerichtet und beschäftigte sich hauptsächlich mit meteorologischen Aufzeichnungen. Von 1841 bis 1853 war A. Cella (Direktor desselben). Es besitzt ein Meridianinstrument von Paris & Madrid und ein Äquatorial von Lechew & Severin mit 120 mm Öffnung.

**Perth (Schottland).** State Observatory.

Geographische Breite  $51^{\circ} 53' 7.4''$  S., Länge  $7^{\circ} 43' 28.74''$  E. Seehöhe 81 m.

Direktor: W. E. Cooke, Sonnenwundenstronom, 3 Assistenten.

Die Sternwarte wurde 1867 gegründet und befaßt sich hauptsächlich mit meteorologischen Aufzeichnungen. Deswegen hat sie den Zonen der photographischen Himmelskarte-Rechnungen.

**Philadelphia (Pennsylvania, N.-A.).** Flower Observatory, University of Pennsylvania.

Geographische Breite  $39^{\circ} 54' 2''$  N., Länge  $75^{\circ} 1' 10.3''$  W. Seehöhe 74 m.

Direktor: C. L. Doolittle, 1 Assistent. Diese Sternwarte wurde 1895 bei 1896 erbaut. Sie besitzt einen Meridiankreis mit 102 mm Objektiv, ein Äquatorial von 457 mm Öffnung und Messer-Instrumente.

**Philadelphia (Pennsylvania, N.-A.).** Philadelphia astronomical Observatory. Geographische Breite  $39^{\circ} 53' 7.5''$  N., Länge  $75^{\circ} 0' 38.46''$  W. Seehöhe —.

Direktor: H. B. Snyder.

Dieses Observatorium wurde 1836 errichtet. Es besitzt ein Fraunhoferisches Äquatorial, einen Ersten Meridiankreis und einen Meridian von Troughton & Simms.

**Pic du Midi de Nigros (Frankreich).** Observatoire national.

Geographische Breite  $42^{\circ} 50' 17''$  N.,  
Länge  $6^{\circ} 9' 33''$  E.,  
Seehöhe 2054 m.

Direktor: E. Marchand, 4 Assistenten,  
2 Gehilfen.

Dieses Observatorium wurde (zu meteorologischen Zwecken) durch den General Küssenty und den Ingenieur Vassanyi ins Leben gerufen. Wegen der Höhe war der Bau sehr schwierig, er wurde 1873 begonnen, aber erst 1881 vollendet. Im darauffolgenden Jahre wurden die Gräber des Observatoriums aus dem Staate zum Geschenk und 1904 wurde es der Universität zu Turin überstellt. Es besitzt ein Äquatorial von Eichens mit 220 mm Objektiv, einen Spiritalkatalographen, einen Thierokulum der als Fernrohr konstruiert ist, hauptsächlich werden Sonnenbeobachtungen vollzogen, daneben meteorologische, magnetische und astronomische Beobachtungen.

Potsdam (Preußen) Königl. Astrophysikalisches Observatorium seit dem Telegraphenberg.

Geographische Breite  $52^{\circ} 22' 56''$  N.,  
Länge  $9^{\circ} 52' 15''$  E.,  
Seehöhe 97 m.

Direktor: Vukel, 5 Beobachtungen,  
4 Observatoren, 1 wissenschaftlicher Assistent.

Das astrophysikalische Observatorium zu Potsdam wurde im Jahr 1814 bis 1819 erbaut und stand von 1862 unter Direktor von H. C. Vogel, der 1897 starb. Es beschäftigt sich ausschließlich mit astrophysikalischen Untersuchungen. An großen Instrumenten besitzt es: Einen großen Doppelrefraktor mit einem photographischen Objektiv von 160 mm und einem solches von 50 mm für Glasfaserbeobachtungen, einen kleinen Doppelrefraktor mit photographischen Objektiv von 325 mm Durchmesser, einen Spiegelteleskop Refraktor von 300 mm Öffnung, einen Größeren Refraktor von 110 mm, einen großen Heliographen mit 160 mm Objektiv, verschiedene Refraktoren, nichtische Spektroskopische und spektro-

graphische Apparate, ein großes Baumbergisches Spektroskop, einen Spektroheliographen usw.

Potsdam (Preußen) Königl. Preuß. Geodätisches Institut, Zentralbureau der Internationalen Erdmessung.

Geographische Breite  $52^{\circ} 22' 54.83''$  N.,  
Länge  $9^{\circ} 52' 16.115''$  E.,  
Seehöhe 96 m.

Direktor: Prof. F. K. Helmert, 3 Abteilungsleiter, 4 Observatoren, 2 Assistenten.

Das Königl. geodätische Institut ist 1818 entstanden unter Direktor des Generalleutnants Baryer. Mit ihm verbunden ist das Zentralbureau der internationalen Erdmessung. Seit 1882 befindet es sich in Potsdam nahe beim astrophysikalischen Observatorium.

Prag (Böhmen). K. K. Sternwarte der deutschen Universität.

Geographische Breite  $50^{\circ} 5' 16.02''$  N.,  
Länge  $9^{\circ} 57' 40.2''$  E.,  
Seehöhe 197 m.

Direktor: Prof. Dr. L. Wainak, 1 Adjunkt, 2 Assistenten.

Die alte Sternwarte wurde 1751 von dem Jesuiten gegründet, 1886 ist sie einer Meridiananstalt eingeweiht worden. An Instrumenten besitzt sie einen Spiegelteleskop Refraktor von 163 mm Öffnung, einen Meridiankreis, mehrere Meridiankreisläufer und kleine Apparate.

Princeton (New-York, N.-A.) Harvard Observatory, Princeton University.

Geographische Breite  $40^{\circ} 29' 56.8''$  N.,  
Länge  $4^{\circ} 56' 38.44''$  W.,  
Seehöhe 50 m.

Direktor: Prof. E. A. Lovett, 3 Observatoren, 1 Assistent.

Das Terrain auf dem sich die Sternwarte erhebt, wurde aus dem Mittel von Dr. Corliand Van Rensselaer angekauft, der ganz zu State auf Kosten des Generali North Plinckett ausgeführt. Der Beginn 1866 und war 1871 vollendet. Das durch öffentliche Subskription beschaffte Hauptinstrument ist ein Clarkischer Refraktor von 584 mm Öffnung und 9.14 m Brennweite, mit

Spektroskop, Photometer und Mikrometer.

**Providence** (Rhode-Island, N.-A.)  
Lick Observatory of Brown University  
Geographische Breite  $41^{\circ} 50' 18''$  N.,  
Länge  $71^{\circ} 45' 36.8''$  W.

Seehöhe 64 m.

**Direktor:** Prof. W. Upton, 2 Assistenten.  
Das Sternwerk stammt aus dem Jahre 1890. Es besitzt 3 Meridianstrahlente, ein Äquatorial von 305 mm Öffnung mit Heliosteg und Spektroskop, zwei photographische Linsen von 76 mm Öffnung und 1,36 m Brennweite.

**Pulkowa** (Russland). Observatoire astronomique central Méridien.  
Geographische Breite  $59^{\circ} 46' 18.54''$  N.,  
Länge  $24^{\circ} 1' 18.568''$  E.

Seehöhe 74 m.

**Direktor:** O. Becklund, 4 Assistenten, 1 Astrophysiker, 6 Adjunktassistenten, 1 wissenschaftlicher Sekretär, 2 Bediener, 4 sonstige astronomische Bedienstete.

Die Sternwarte wurde 1829 gegründet unter Direktor von W. Struve. Eine Sukzessede wurde 1890 in Odessa gegründet. Hauptinstrumente sind: Ein großer Vertikalkreis mit 346 mm Objektiv, ein großes Meridianstrahlente mit Objektiv von 146 mm Öffnung, ein Meridiankreis mit 345 mm Objektiv, ein großes Fraunhoferinstrument im ersten Vertikal, ferner 2 große Refraktoren von 762 und 375 mm Öffnung, ein photographisches Äquatorial von 204 mm Öffnung und ein anderes von 170 mm Öffnung.

**Quito** (Ecuador). Observatorio astronómico.

Geographische Breite  $0^{\circ} 12' 51''$  S.,  
Länge  $78^{\circ} 14' 22''$  W.

Seehöhe 2686 m.

**Direktor:** Prof. J. Lagrula, 1 Assistent, 2 Gehilfen, 1 Bediener, 1 Mechaniker.

Der Bau der Sternwarte wurde 1872 begonnen und 1895 vollendet. Unter Direktor war P. Mantec, ihm folgten O. Wichmann, A. Martinez und M. Ossesal (1900 bis 1905). Das Observatorium besitzt einen Meridiankreis von Repsold mit 152 mm Objektiv, ein

Äquatorial von Merz mit Objektiv von 228 mm, ein großes Universalinstrument, ferner astronomische, astrophysische und meteorologische Instrumente.

**Rio de Janeiro** (Brasilien).  
Geographische Breite  $22^{\circ} 54' 23.7''$  S.,  
Länge  $43^{\circ} 52' 41.4''$  W.

Seehöhe 64 m.

**Direktor:** Prof. L. Oude, 2 Assistenten, 5 Assistenten.

Die Sternwarte wurde gemäß kaiserlichem Dekret am 15. Oktober 1877 gegründet. Sie besitzt einen Meridiankreis von Gautier mit 300 mm Öffnung, ein Äquatorial von 300 mm Öffnung, einen Photoheliographen und kleine Instrumente.

**Rom.** Reale Osservatorio astronomico di Collegio Romano.

Geographische Breite  $41^{\circ} 53' 53.55''$  N.,  
Länge  $12^{\circ} 49' 56.36''$  E.

Seehöhe 50 m.

**Direktor:** Prof. E. Milne-Edwards, 2 Assistenten, 1 Assistent.

Das Observatorium des Collegio romanum wurde 1776 unter Pius VI gegründet und ist unter Direktor war G. Calandrelli. Im Jahre 1824 ging es an den Jesuitenorden über und wurde 1851 unter Direktor von P. A. Secchi nach der Kirche S. Agostino transferiert. Im Jahre 1879 ging es in den Besitz der italienischen Regierung über. Hauptinstrumente sind ein Äquatorial mit Steinheil'schem Objektiv von 340 mm Öffnung, ein anderes mit 160 mm Öffnung von Cassberg, ein Meridiankreis mit 200 mm Objektiv, 1 Zenithkreis.

**Rom.** Specola Vaticana.  
Geographische Breite  $41^{\circ} 54' 43''$  N.,  
Länge  $12^{\circ} 48' 47.5''$  E.

Seehöhe 100 m.

**Direktor:** P. Hagen, S. J., 1 Subdirektor.

Das Observatorium der Vatikan stammt aus der Zeit des Papst Gregor XIII. Heute besitzt es u. a. folgende Instrumente: Ein Meridian Äquatorial von 270 mm Öffnung, ein Meridiankreis, ein photographisches Refraktor von 336 mm Öffnung und 142 m

Stemwarte für die photographische Himmelskarte, das die Objektiv von 180 mm Öffnung und 3,6 m Brennweite für Beobachtungen.

Mit dem Observatorium des Valikam ist verbunden das Observatorium auf dem Clancicola, welches 1882 von P. Ferrari gegründet wurde und heute unter Direction von Prof. A. Maller, S. J. steht. Es besitzt u. a. ein Meridianes Äquatorial von 270 mm Öffnung.

**Reguinas (Spanien).** Observatorio del Ebro.

Geographische Breite  $40^{\circ} 49' 14.5''$  N., Länge  $0^{\circ} 1' 53.3''$  E.

Seehöhe 51 m.

Director: R. Carr, S. J., 3 Astronomen, 3 Assistenten, 3 Gehilfen.

Die Insurgenten dieser Sternwarte find im September 1904 vom Das Observatorium hat eine astrophysikalische, meteorologische und geophysikalische Section.

**St. Petersburg.** Sternwarte der Kaiser Universität.

Geographische Breite  $59^{\circ} 50' 32.6''$  N., Länge  $2^{\circ} 1' 11.4''$  E.

Seehöhe 4 m.

Director: Prof. v. Ostrowsky, 1 Observator, 1 Assistent.

Diese Sternwarte wurde 1825 gegründet unter Leitung des gegenwärtigen Directors. Sie besitzt als Hauptinstrument einen Refraktor von 240 mm Öffnung, San Fernando (bei Cadix, Spanien) Instituto y Observatorio de Marina.

Geographische Breite  $36^{\circ} 37' 42.0''$  N., Länge  $0^{\circ} 34' 49.34''$  W.

Seehöhe 35.5 m.

Director: T. de Azcárate, 1 Subdirector, 1 Chef der astronomischen Section, 1 Observator, 3 Adjunkten.

Die Sternwarte stammt aus dem Jahre 1793. Sie besitzt einen Refraktor von Troughton & Sons, ein Russisches Äquatorial von 264 mm Öffnung, ein photographisches Doppelteleskop für die photographische Himmelskarte, ein Cooke'sches Äquatorial von 152 mm, 2 Orion'sche Äquatoriale von 152 und 102 mm Öffnung, einen

Selenostatis von Gauder mit Spiegel von 400 mm Durchmesser, sowie zahlreiche andere Instrumente und Apparate.

**Santa Clara (California).** Santa Clara College Observatory.

Geographische Breite  $37^{\circ} 28' 36''$  N., Länge  $121^{\circ} 7' 50''$  W.

Seehöhe 37.5 m.

Director: J. S. Brand, 2 Volonteghilfen.

Diese Observatorium wurde 1880 begonnen, es besitzt ein Äquatorial von 228 mm Öffnung, sowie ein Kometen von 160 mm Durchmesser wird ein Photoheliograph von 160 mm Öffnung und ein photographisches Fernrohr mit 152 mm Objektiv aufgestellt.

**Santiago (Chile).** Observatorio astronómico nacional.

Geographische Breite  $33^{\circ} 28' 42''$  N., Länge  $71^{\circ} 43' 45.2''$  E.

Seehöhe 519 m.

Director: A. Oberst, 1 Astronom, 1 Assistent.

Diese Sternwarte stammt aus dem Jahre 1856. Sie besitzt ein photographisches Äquatorial von 320 mm Öffnung, für die photographische Himmelskarte, ein hohes Meridianinstrument von Repsold und kleinere Instrumente.

**Siedlitz (im Freig).** Sternwarte der tschechischen Universität.

Geographische Breite  $50^{\circ} 4.7''$  N., Länge  $0^{\circ} 57.6''$  E.

Seehöhe 180 m.

Director: Prof. Dr. G. Groll, 1 Assistent.

Die Sternwarte wurde 1890 zu Lehel südlich von Prag eingerichtet und im Jahre 1900 provisorisch nach dem jetzigen Orte verlegt. Über ihren Instrumentenbestand sind keine Nachrichten vorhanden.

**Sark Kentington (London, S W.).** Solar Physics Observatory.

Geographische Breite  $51^{\circ} 29' 48.0''$  N., Länge  $0^{\circ} 0' 2.77''$  W.

Seehöhe 12 m.

Director: Norman Lockyer, 3 Assistenten, 4 Bediener, 1 Photograph, 2 Gehilfen.

Bien 1908. Heft 3.

Dieses Observatorium wurde als Privat-observatorium 1875 von N. Lockyer gegründet und 1879 gelegentlich der Gründung des „Solar Physics Committee“ von der Regierung übernommen. Es besitzt ein Cooke'sches Aquatorial von 214 mm Öffnung mit 2 Objektivsystemen von Henry, 2 Reflektoren von Common mit Spiegel von 914 und 965 mm Durchmesser und Spektrograph mit 3 Präsen, eine Reflektor von 152 mm Öffnung mit Einrichtung zu photographischen Aufnahmen der ultravioletten Region der Sternspektren, einen Rammerschen Reflektor von 229 mm Öffnung mit 2 Objektivsystemen, einen Reflektor mit Spiegel von 457 mm Durchmesser und photographischem Objektiv von 305 mm Öffnung von Cooke, sowie Spektroheliographen zu Sonnenaufnahmen in monochromatischem Licht, einen Spektrographen mit Rowland'schem Gitter, einen Reflektor von Common mit Spiegel von 305 mm Durchmesser und zahlreiche kleinere Instrumente und Apparate.

Southport (Lancashire, England).  
Städtisches Observatorium.

Geographische Breite  $53^{\circ} 39' 25''$  N,  
Länge  $0^{\circ} 11' 50.5''$  W.

Seehöhe 12 m

Director: J. Besselville.

Dieses Sternwarte wurde 1891 von gegenwärtigen Direktor gegründet und der Stadt gestiftet. Sie besitzt ein kleines Meridiantransit und ein Cooke'sches Aquatorial von 192 mm Öffnung und 2.2 m Brennweite.

Starfield (Somerset, England) hat  
Roberts Observatorium.

Geographische Breite  $51^{\circ} 5' 7''$  N,  
Länge  $0^{\circ} 8' 37''$  E

Seehöhe 295 m

Das Privatobservatorium von Dr. Roberts, wo dieser seine zahlreichen und wichtigen photographischen Aufnahmen des Sternhemels gemacht hat. Sein photographisches Teleskop hat 510 mm Durchmesser des Spiegels und 2.5 m Brennweite, daneben ist noch ein Aquatorial mit 176 mm Öffnung vorhanden. Seit dem Tode von Roberts ist die Sternwarte nicht mehr tätig.

(Schluß folgt.)

## Mondzeichnungen am Fernrohre.

(Nimm Tafel IV.)

**74** Auf dieser Tafel sind 4 Zeichnungen von Monderscheinungen zusammengestellt, die Herr Senken in Wien zu seinen vorläufigen 5-jährigen Refraktor von Wien erhalten hat.

Fig. 1 zeigt die große Wallebene Ost- und westlich der Bergspitze Senken und Hain, wie sich diese Landschaft am 1. September 1906 zwischen 11 und 12 Uhr in Zi von Wien darstellte, 22 Stunden nach Vollmond. Die Luft war etwas trübend und die angewandte Vergrößerung 144-fach. Die Wallebene Gail ist ausgerichtet durch die lange Reihe von Zennbergen, wie sich solche nur noch in der Wallebene W. v. Hainbühl widerspiegelt. Gail liegt sehr nahe dem Mondrande, so daß sie perspektivisch zu einer schmalen

Ellipse verkleinert und das Innere nur geringfügig lebendiger abgemessen im Detail zu sehen. — Es müßte, sagt Müller, eine großartige Arbeit sein, in geeigneter Phase und Libration auf dem höchsten Gipfel der Zennberge zwischen, umgeben von einer Umgebung, von Nicht-berührenden Ebene, um immer Hainbühl empfinden erlebte Berg gipfel, über ihnen auf einer Seite die Sonne und auf der gegenüberliegenden liegen die noch fast volle Erde umgeben.

Fig. 2. Flammend und Umgebung, gemacht am 28. Oktober 1905, in 144-facher Vergrößerung. Der große schattensichere Krater nahe der Mitte ist Flammend, nahe im Süden einer großen, wirklich durchbrochenen Berg-

ringes, der im Vollstadium fast zusammenhängend erscheint. Das Innere dieses Ringes enthält mehrere Krater, von denen d der bei weitem größte ist. Südlich von Flamedon lagte im effluvia Mare (Oceanus procellarum) der Krater B und der sehr tiefe Krater A.

Fig. 3. Das Ringgebirge Reiser, gerichtet am 28. Oktober 1906, bei unvollender Luft, an 144facher Vergrößerung. Es liegt im Oceanus procellarum, mit breitem, leicht terrasierten Werten und wird von flachen Hügelzügen umgeben, die meist in nordöstlicher Richtung streichen. Auf einem dieser Hügelzüge erhebt sich das große Ringgebirge selbst.

Fig. 4. Landschaft westlich von Vindclinn, gerichtet am 2. November 1906, bei 144facher Vergrößerung und sehr unruhiger Luft. Vindclinn ist eine sehr große aber beträchtlich unregelmäßig geformte Wölfbasis. Im südlichen Teile der Zeichnung tritt ein mit mehreren ringartig vorspringende Formationen, die sich in die würdigen Fläche ausbreiten und fast im Profil erscheinen. Die beiden Krater Schum A und d sind ebenfalls fast im Profil zu sehen, so daß das ganze Bild mit dem des westlichen Horizonts abschließenden Bergrücken eine typische, schöne Nordlandschaft aufweist.

## Beobachtungen des Saturnrings 1907 auf der Lickstaernwarte.

**S**eit dem 23. Juli 1907 wurde der Ring des Saturn am 20-zölligen Refraktor der Lickstaernwarte in oft von R. G. Aitken beobachtet, als die Witterung und das Beobachtungsprogramm, welches für den großen Refraktor aufgestellt ist, gestörten. Frühere Beobachtung war infolge ungenügenden Wetters vollständig und seit Anfang November unterbroch die Abwesenheit des Beobachters dieses Unterbrechung.

Obgleich nach den Angaben der amerikanischen Ephemeride die Sonne in die Ebene des Ringes am 24. Juli 1907 Pacific Zeit eintrat, war am Juli 25 1907 das Ringsystem als sehr helle Linie sichtbar und wiesen dies wenn durch geschätzt wurde. Selbst am 12-zölligen Refraktor war diese Linie hell genug um deutlich wahrgenommen zu werden. In der Projektion auf der Scheibe des Saturn wurde am 23. und 24. Juli die Breite der Linie zu etwa  $0.2''$  geschätzt. Am 4. Oktober, dem Tage, an welchem der Rechnung nach die Erde in die Ringebene trat, erschien das Ringsystem als eine außerordentlich feine Lichtlinie im hellen Süden des Saturn und war bei den sehr schlechten Luftverhältnissen schwer zu verfolgen.

In den Momenten größter Nähe der Luft wurde der Mittelpunkt dieses Lichtfleckens, durch Vergleich mit der Dicke der Hirtenscheiben, zu kaum  $0.18''$  geschätzt und überschritt wahrscheinlich nicht  $0.21''$ . Nach dem Aussehen der Ringe an diesem Tage und später, schließt Aitken, daß die Sonne am 23. Juli bereits durch die Ebene des Ringsystems gegangen war, denn der Ringbau war damals schon breiter und heller als im Oktober.

Besondere Eigenfleckchen am dem Ring wurden nicht wahrgenommen, bis am 19. Oktober. In dieser Nacht wurde das große Teleskop für Beobachtung des Observatoriums bereit gehalten und Observator Wright konnte es ebenfalls auf den Saturn einrichten. Als Aitken in der Kuppel erschien wurde Wright ihm möglichst auf zwei helle Punkte oder Lichtflecken aufmerksam, die in der Ringebene rechts und links vom Saturn sichtbar waren. Die Messungen, welche Aitken darauf anstellte, zeigten, daß diese Lichtflecken mit Bezug auf die Planetenachse nahezu symmetrisch lagen. Das hellere Lichtflecken an der vorwiegendsten Seite des Ringbaus standen etwas entfernter als die auf der nachfolgenden Seite. Sie



waren so schwach, daß sie leicht entfallen. Die Saeflizen geblieben, werden konnten. Es ist nicht, daß diese Punkte am 12. Oktober nicht sichtbar waren, denn damals war die Luft gut und der Ring wurde sorgfältig untersucht, besonders mit Berücksichtigung der Wirkung, welche die Gegenwart der Monde Minos und Enkidus darauf ausüben können. Diese beiden Monde traten zum ersten mal in Berührung mit dem Ring, der nur am südlichen Rande sehr nahe beim vordringenden Ende der Ringlinie, der andere am südlichen Rande des nachfolgenden Teiles der Ringlinie und etwa 2" bis 1" von dem Endpunkt. Unglücklicherweise verbanderte schlechtes Wetter weitere Messungen, doch wurden die Lichtnoten am 24. Oktober durch eine Wolkenschicht, die sich vorübergehend gebildet hatte, teilweise wiedergraben. Messungen, die am 31. Oktober und später angestellt wurden konnten, ergaben den Ort der Lichtnoten viel näherem vom Planeten als am 19. Oktober. Am 1. November traten ein dritter Lichtnoten, besonders sehr nahe am Rande des Planeten, wovon in der vorhergehenden Nacht nichts wahrgenommen war. — Der Beobachter Aiken hatte wiederholt ausgezeichnete Gelegenheiten das Aussehen dieser Ringe mit dem Aussehen der inneren Satelliten, wenn diese nahe an den Endpunkten der Ringlinie standen, zu vergleichen. Nach den dabei gemachten Aufzeichnungen waren die Lichtnoten ebenso schwach als kleine Satelliten und äußert ähnlich dem Aussehen des Enkidus wenn dieser Traubel sich in der Stellung befand, daß er äußere die Ringlinie berührte. Am 5. Oktober wurde dieser Mond, als er aus einer Verfinsternung scheinlich von der Ringlinie herau kam, für einige Augenblicke beständig als ein neuer Lichtnoten angesehen. Die beiden inneren Lichtnoten auf der nachfolgenden Ringlinie waren beträchtlich heller als die anderen und noch heller als der Traubel Enkidus. Selbst die schwächsten Knoten waren

noch heller als der Traubel Minos, den Aiken mehrere Mal als fast so groß vom Rande der Saturnscheibe verfolgen konnte. —

Die Ringlinie erschien nicht überall von gleichem Helligkeit, der Unterschied den Lichtnoten 1 und 2 war immer da, bei weitem hellste, während die äußerste Ende 1" bis 1" von Knoten 3 entfernt sehr lichtschwach erschien. Dieses Verhalten stieg sich auf der Ringlinie rechts und links von der Saturnscheibe. Vor dieser erschien die Ringlinie in deutlicher Färbung und war leicht gekrümmt. Bei schwächer Luftschärfenstand erhielt die schwache Lichtlinie des Ringes oft in geringer Stärke, doch in besseren Momenten zeigte sie sich sehr ununterbrochen. Alle Lichtnoten bewegten sich dann auf dem südlichen Rande der Ringlinie, wovon man schließen kann, daß die Umlaufgeschwindigkeit auf der beobachteten Ringlinie vorsteige. Da man weiß, daß das Ringsystem mit großer Geschwindigkeit um den Saturn rotiert, während die Messungen Aikens zeigen, daß jene Lichtnoten keine merkliche Bewegung besitzen, so ist klar, daß sie durch Ursachen entstehen, die völlig außerhalb des Ringystems sind. Eine genauere Deutung ist sehr schwierig, um so mehr, als das ganze Paar der Lichtnoten durchaus innerhalb des dunklen (Circus) Ringes lagern mußte, das nördlich an den Endpunkten des inneren Randes desselben und das südlich auf dem inneren helien Ringe. Die einzige Ähnlichkeit mit diesen Wahrnehmungen aus früherer Zeit ist die Wahrnehmung Barwads am 26. Oktober 1691 über Knoten am südlichen Ringende, die er für zwei der inneren Trabanten hielt. Indessen hat sich Aiken aus den Ephemeriden überzeugt, daß keiner der bekannten Saturnmonds durchs ist jener Stellung war. Die Beobachtungen Aikens geschahen ein Jahr möglichen Vorjähres und unter Anwendung verschiedener Okulare sowie unter größtmöglicher Verdeckung des Saturn selbst

R. H. Tucker, der den Saturnring im November ebenfalls am 10-Zollor Beobachtete, bemerkt besonders, daß der Lichtbogen, der er ebenfalls sah, sehr ähnlich demjenigen war, den W. C. Bond aufnahm als die Erde im Jahre 1845 in der Ebene des Saturnrings war. Indessen scheinen die damaligen Licht-

beobacht. völlig sprechend gegen den Planeten auf der Ringfläche verteilt gewesen zu sein, während gemäß den jetzigen Messungen auf der Lichtbogenlinie, die helles Lichtkreuz des Planeten etwas höher stand. Bond beobachtete 1848 an einem Refraktor von 15 Zoll Öffnung

— 1888 —

## Beobachtungen des Planeten Saturn von Fr. Terby in Louvain.

**D**ieser Herrg. Beobachter hat der Königl. Belgischen Akademie der Wissenschaften über seine Beobachtungen des Saturn im Herbst 1907 einen Bericht übergeben, dem wir folgenden entnehmen:

Vor etwa 15 Jahren, gelegentlich des damaligen Vordurchganges des Saturnrings, gestiftet mir mein 5-zölliger Oriskany Refraktor die wahrscheinlichsten Erscheinungen des Saturn mit Interesse verfolgen zu können. Ich legte deshalb großes Gewicht darauf den Planeten unter denselben Bedingungen jetzt wieder zu beobachten. Ich konnte den Saturn am 24. 19. und 28. September sowie am 4. und 5. Oktober 1907 mit gutem Erfolge beobachten, ungeachtet der all zu geringen Höhe desselben über dem Horizont und der ziemlich häufigen Umwälze der Bilder.

Am 4. und 19. September zeigten 7-80m und 10m ebenfalls war der Ring noch sehr gut sichtbar, aber auf einen einfachen Lichtbogen reduziert, der sich rechts und links vom Planeten zeigte. Am 28. September im denselben Abendstunden, war der Ring noch sichtbar, aber von geringer Zartheit. Am 4. Oktober war dagegen jede Lichtspur des selben verschwunden und ebenso am 5. nicht davon zu sehen. Für mein Instrument ist daher das Verschwinden des Ringes auf die Zeit zwischen dem 28. September und 4. Oktober anzuweisen. Der Lichtbogen, der vorher mir die letzte Spur des Ringes erschien, war sehr von

mathematischer Gleichmäßigkeit, aber wie viele andere Beobachter, wege ich nicht zu behaupten, daß die Unregelmäßigkeiten desselben null wären.

In dem Momenten leuchtender Deutlichkeit zeigte die Kugel des Saturn von ihrer nördlichen Zone von grauer Farbe umgeben in der Verlängerung des Ringes. Zu beiden Seiten dieser grauen Bände erschien schießlich und schießlich eine helle westliche Zone, auf die in beiden Hemisphären ein ziemlich breiter grauer Streifen folgte, unmittelbar benachbart auf der nördlichen Hemisphäre. Die dunkle Bänder auf der nördlichen Hälfte schen sich stark erhöht in der Gegend der Polarkreise zu verengen.

Der schwache dunkle Streifen in der Verlängerung des Ringes erschien am 4. und 5. Oktober als der Ring selbst unsichtbar war, er schien dasjenige Teil desselben vorzustellen, der vor dem Planeten sich hing und von dunkel erscheinen mußte, weil der Erde um diese Zeit die unbelichtete Seite der schalen Ringfläche zugewandt war. Da diese erfolgt der perspektivischen Verkürzung überaus schnell sein mußte, so scheint mir die schwache gestaute Bänder ihre Deutung vielleicht besser durch den neuen dunklen Ring des Planeten zu finden und durch das Vordurchganges eines sehr feinen dunklen Strahles, den ich oft in der nördlichen Zone des Saturn wahrgenommen habe. Zu diesen verschiedenen Phänomenen, die bei Erklärung des äquatorialen dunklen

Querschnitt in Frage kommen, tritt schließlich ohne Zweifel noch als vierter Faktor der Schatten des Ringes hinzu.

Das Zusammenfallen der Ringebene mit der durch Sonne und Erde gebildeten Ebene bietet Gelegenheit auch die so wichtige Vorüberflüge der Schatten unserer Munde über die Schatten des Saturn zu beobachten. Ich habe hier bei vor allem den Schatten des Saturnmondens Titan im Auge, denn soweit ich weiß, sind von den übrigen Monden noch keine Schattenvorüberflüge beobachtet worden. Noch seltener gelang die Beobachtung des Titan selbst während seines Vorüberfluges über die Saturnscheibe. Das erste sichere Wahrnehmung dieser Art geschah beim Verschwinden des Saturnrings 1892. Die Leichtigkeit mit der ich damals den Titan von der Saturnscheibe sah, begleitet von seinem Schatten, ließ mich hoffen, dieselbe Erscheinung bei dem nächsten Vorüberfliegen des Ringes wiederzusehen, was sich wegen der geringen Höhe des Planets über dem Horizont und der infolgedessen schlechten Beobachtungsbedingungen nicht befehligen ließ.

Am 19. September ging Titan über die Saturnscheibe, der Trabant und sein Schatten machten gegen  $6^{\circ} 12''$  in  $21^{\circ}$  von Greenwich ausstrich. Zu dieser Epoche, nahe der Opposition, mußte Titan und sein Schatten auf der Saturnscheibe überall sehr bekannt sein, und dies erklärt vielleicht die Erfolglosigkeit meiner Bemühungen

Ich habe nur, aber sehr bestimmt, den Schatten des Titan als sehr schwachen Punkt auf dem Saturn erkennbar können, nicht weit vom westlichen Rande der Scheibe und etwas unterhalb der neutralen Zone, welche von der Projektion des Ringes gebildet wurde. Die Dunkelheit war in dem günstigsten Momenten auf Ausgrabung so groß, daß ich beim Austritt des Schattens des Saturns dadurch verursachten Erscheinen im Rande der Saturnscheibe wahrnehmen konnte. Aber nach diesem war während etwa 20 Minuten von Titan selbst, der ohne ausgetreten sein mußte, keine Spur zu entdecken. Als ich ihn erblickte war er schon nördlich vom Rande der Scheibe getrennt und bewegte sich längs dem nördlichen Rande des Lichtfeldes als welcher der Ring erschien und in dem besten Momenten der Sichtbarkeit von diesem getrennt. Ein neuer Vorüberflug des Titan fand am 5. Oktober statt unter noch ungünstigeren Umständen, denn der Trabant mußte schon  $5^{\circ} 40''$  sein Schatten gegen  $7^{\circ} 24''$  ausstrichen. Letzteres habe ich nur flüchtig als kleinen schwachen Punkt wahrnehmen können und Titan selbst erst als er außerhalb nördlich von der Scheibe gekommen war. Erwartungsvollerungen von 150 bis 600-fach angewendet, letztere waren keineswegs in Momenten größer Ruhe der Luft. Von den Trabanten des Saturn konnten außer Titan noch Enceladus, Tethys, Dione, Rhea und Iapetus identifiziert werden.

## Beobachtungen über die Helligkeit der Mondphasen.

om Neumond bis zum Vollmond und über diesen hinaus bis wieder zum Neumond durchläuft die Helligkeit des Mondlichtes alle Werte von dem fast völligen Fehlen desselben bis zu dem größten Werte im Vollmond, um dann wieder auf nahezu Null abzusinken. Es ist nun eine wissenschaftlich interessante Frage, festzustellen, wie

groß bei jeder Mondphase deren Helligkeit ist, etwa in Bruchteilen der Maximalhelligkeit des Vollmondes. Aber kann diese Frage unter gewissen d'orientierenden Bedingungen und unter Annahme eines bestimmten Reflektanzgesetzes zweifelsfrei beantwortet, allem es ist von Wichtigkeit die wechselnde Helligkeit der Mondphasen durch Beobachtung

zu bestimmen, um daraus Rückschlüsse auf das wirklich stattfindende Beobachtungsprofil machen zu können. Von früheren Messungen der Helligkeit der Mondphasen sind nur diejenigen von J. Herschel, Bond und Zöllner bekannt, allein sie stimmen wenig untereinander überein. Am besten schienen sich die Messungen Bond's zu sein, der eine verstellte Glaskugel benutzte, um auf denselben punktförmige Mondstrahlen zu streuen, die dann mit der Helligkeit einer künstlichen Lichtquelle verglichen wurden. Indessen blieb es höchst wahrscheinlich, diese Bestimmungen durch genaue zu ersetzen.

Nach dem Vorgehen von G. M. Adams und E. Rulmer haben jetzt J. J. Stebbins und P. C. Brown die Genauigkeit des Schiebens, durch Beobachtung eines elektrischen Widerstandes messbar zu finden, benutzt, um mit Hilfe eines Schwan-Photometers die Helligkeit des Mondstrahls in seinen verschiedenen Phasen zu bestimmen.<sup>2)</sup>

Zum Vergleich diente eine Kollische Anplacettirene, deren Leuchtkraft während der ununterbrochenen Beobachtungsdauer als unverändert angesehen werden kann. Die Beobachtungen wurden angestellt in den Monaten Juni, Juli und August 1902 mit Selbstschmelzen von Chrys und von Rulmer.

Die Berechnung der Beobachtungen ergab, daß der Mond heller erscheint zwischen dem ersten Viertel und Vollmond als zwischen diesem und dem letzten Viertel. Die Ursache liegt darin, daß auf der östlichen Hälfte der Mondschale mehr dunkle Flecke vorhanden sind als auf der westlichen und besonders der südwestliche Quadrant der Mondschale der hellste vor allen ist. Auch hat bereits Lord Rosse gefunden, daß die Wärmestrahlung des Mondes vor dem Vollmonde größer ist als in der gleichen Phase nach demselben. Ferner ergab sich, daß der Vollmond nahezu 9mal heller ist als der Mond in einem der Viertel.

## Das Eintreffen gleichartiger Meteoriten.

**A**ls der Kaiserl. Akademie der Wissenschaften in Wien Herr H. Heidal G. Tschermak einen Vortrag über das Eintreffen gleichartiger Meteoriten.<sup>3)</sup>

Bei der Durchmusterung der Falltage der Meteoriten kann man die Wahrscheinung machen, daß die Meteoriten, welche zur gleichen Zeit des Jahres zur Erde gelangen, dieselben auch von gleicher Beschaffenheit sind.

Als Beispiele solcher Meteoritenfälle können angeführt werden jene am 13. December 1803 bei Hising, 13. December 1803 Ludolfs, 5. December 1806 Frankfurt. Diese ganzen Meteoriten gehören zu den Feldspat-

Granitgeringen (Hawadite) Feuer: 13. Juni 1804 Jönköping, 15. Juni 1820 Javina. Diese sogenannten Steinchen Meteoriten sind kostbarste Aerolith-Ausgüsse (Eolithe). Erstlich 9 Mei 1827 Oriskany Creek, 3. Mai 1829 Forsyth, 9. Mai 1840 Karisak, 3. Mai 1848 Monte Aléon. Diese werden als weiße Chondrit bezeichnet. Ob dieselben gleichartig sind, wird aber nur durch die chemische Analyse zu entscheiden. Die Ungewißheit in diesen und vielen anderen Fällen läßt es wünschenswert erscheinen, daß die großen Sammlungen zum Zwecke der Vergleichung Proben aller Meteoritenfälle zu erlangen suchen und daß bei ausreichender Quantität die chemische Untersuchung von größtem Nutzen angeführt werde.

Das wiederholte Zusammenreffen

<sup>2)</sup> Astrophys. Journal Bd. 26 No. 5, S. 386.

<sup>3)</sup> Wiener Akad. Ber. 1902, S. 491.

gleichzeitiger Meteoriteneinschläge mit der Erde in ungefähr derselben Stelle der Erdoberfläche deuten auf das Wiedereintritt, welche durch Annahme einer geschlossenen, also elliptischen, Bahn dieser Schwärme erklärt werden könnte. Die bei mehreren Meteoriteneinfällen beobachtete Geschwindigkeit, welche die planetarische übersteigt und einer hyperbolischen Bahn entspricht, nötigt jedoch für die meisten, wenn auch nicht für alle Meteoriten, die Herkunft aus Klüften außerhalb des Sonnensystems anzunehmen.

Eine Analogie bieten jene Sternschwärmeeinschläge, die sich zu bestimmten Zeit des Jahres wiederholen. Schon vor langer Zeit hat E. Weiss erkannt, daß jeder derselben durchschnittlich gleichzeitig und von den übrigen verschieden ist, wenn die spekroskopische Prüfung (Sternschnur) Dessen Vergleich mit der Verfolgung des Zusammenstoßes der Beschaffenheit der Meteoriten und ihres Eintriffens auf die Erde liefern könnten.

Eine merkwürdige Reihe der Fallzeiten geben als jene Meteoriten an, die als Komete zusammengefaßt werden:

22. Mai 1808	Stassfurt.
11. Juni 1809	Jonas.
15. Juni 1821	Jonas.
5. August 1858	Prübenburg.
25. August 1865	Stargard.
24. October 1899	Pesando.

Diese Folge ist die so gesetzmäßige, daß Heikel Tschermak schon vor zehn Jahren vermutete, daß falls im Jahre 1899 ein Komet der Erde gelangte, dies gegen Ende October stattfinden werde. Der Fall von Pesando am 24. October 1899 hat es bestätigt.

Da hier gefunden Regelmäßigkeit nicht so wahrscheinlich, daß die störrischen Kometen eines gemeinsamen Ursprungs seien und einem Schwarm angehören, der jährlich mit einer Verspätung von 1 6 Tagen mit der Erde zusammenstößt.

Die fünf ständiger Umläufen Desynchronisierendes zeigen keine solche Verspätung des Eintreffens, jedoch ein periodisches Schwanken innerhalb eines Zeitraumes von 13 Tagen.

Die gemeinsame Herkunft solcher Meteoriten sollte sich aber dadurch ausdrücken, daß ihre Bahnen im Sonnensystem beständig gleiche wären. O. v. Nörl, der die Bahnen der ersten drei Fahren, für welche beständige Beobachtungen der Fallerscheinungen vorliegen, berechnet, fand aber keine Übereinstimmung derselben.

Es ist jedoch möglich, daß die gewöhnliche Zusammengehörigkeit durch Bestrahlung der von Tschermak früher erwähnten vulkanischen Thiere der Meteoriteneinfälle aufgeführt wird. Nach dieser Erklärung die Meteoriten außerhalb des Sonnensystems durch Auflösung kleiner Planetenkörper, welche fortwährend Bruchstücke ihrer Rinde abschleppen. Letztere können Schwärme bilden, von denen die innerhalb eines bestimmten Zeitraumes eintreffenden gleichzeitig sind und in ähnlichem oder auch verschiedenen Richtungen in das Sonnensystem eintreten.

Die vorgeworfene jährliche Verspätung des Zusammenstoßes mit der Erde könnte durch Störungen oder durch die Fortdauer der Meteoritenbildung während der Bewegung des entsprechenden Körpers gegen das Sonnensystem erklärt werden.

## Die Schwärme der Meteore

 Bei dem Fluge am Himmelge wölbe sehen viele Meteore — und die sehr hellen sind — einem leuchtenden Schweif hinter sich, der bisweilen

Minuten lang sichtbar bleibt. Einzelnen Beobachtern ist es gelungen, solche Schwärme auch am Fernrohr zu beobachten und es hat sich dabei ergeben,

dass diese Schwelle allmählich gradförmig entstehen, sich aber nach und nach krümmen, selbst Schleifen bilden und sich nach und nach in kurze Wölbchen auflösen. Eine systematische Untersuchung der Meteorischeiten hat aber bis jetzt noch nicht stattgefunden, offenbar deshalb, weil die Erscheinung stets unermesselt auftritt und eine solche exakter geordneter Beobachtung die nötigen Hilfsmittel angedacht zur Hand sind. Unter diesen Umständen ist eine Untersuchung von C. C. Trowbridge über die physikalischen Verhältnisse der Meteorischeiten von Interesse, die derselbe auf eine sorgfältige Sammlung aller seit 1866 bekannt gewordenen Beobachtungen englischer und amerikanischer Beobachter über Meteorischeiten begründet<sup>1)</sup>. Auf solche Weise hat er im ganzen 175 Einzelbeobachtungen zusammengestellt, darunter auch interessante Zeitangaben.

Trowbridge findet auf Grund dieser Materials, daß die Meteorischeiten zuerst in den centralen Teilen an Helligkeit abnehmen.

Die Meteorischeiten sind in mancher Beziehung dem phosphoreszenten Nachleuchten ähnlich, das in einer elektrodenlosen Entladungsröhre entsteht, nämlich insoweit die Diffusionsgeschwindigkeit beider von derselben Ordnung ist, das Nachleuchten bei den Temperaturen der flüssigen Luft besteht bleibt und unter geringen Bedingungen 20 Minuten lang schall endlich beide Linien- oder schalenförmig zu bestimmten schreien. Die Schwelle nehmen während der Schärferhaltung seltsame Gestalten an, wahrscheinlich hauptsächlich infolge der verschiedenen gerichteten Luftbewegungen in verschiedenen Höhen.

Die Zeit, während der ein Meteorischeit sichtbar bleibt, hängt zum großen Teile von der Entfernung des Meteors von dem Beobachter ab. Von 50-Schwe-

fen, die mehr als eine Minute sichtbar waren, hatten 9 eine Dauer von 40 bis 60 Minuten, 7 eine solche von 20 bis 40 Minuten, 12 von 20 bis 10 und 12 eine von 5 bis 10 Minuten. Es blieben also 37 von 5 Minuten bis zu einer Stunde sichtbar. Die mittlere Sichtbarkeitsdauer aller 55 Schwelle beträgt 14,8 Minuten.

Die Farbe der Schwelle ist sehr verschieden: rot, orangefarb, gelb, grün, blau, silberfarben und weiß; die Mehrzahl ist jedoch grün oder grünlichweiß. Die Farben von 25 in der Nacht gesehenen Schwelen waren: rot 1, gelb 1, grün 12, blau 1, silberfarben 4, weiß 2. In mehreren Fällen verwandelte sich das grüne Schweiß allmählich in eine andere, in einem Falle in einen dunkel rötlichschwarzen, und in einem anderen wurde ein roter Schweiß anfänglich blau. Von 11 am Tage gesehenen Schwelen waren 2 rot, 2 rosa, 3 weiß, 1 weißrot, 1 hellblau, 1 gelbrot.

Die Höhe der Meteorischeiten ist in einigen Fällen sehr genau und in vielen anderen annähernd bestimmt worden. Sehr genau gemessen ergaben eine durchschnittliche Höhe von 6½ englischen Meilen über der Erde. Selbst, wenn es, wie es unter 50 oder über 10 englischen Meilen. In dieser Zone über der Erde von 50—70 englischen Meilen müssen wir geringste Bewegungen für die Bildung und Erhaltung der Meteorischeiten annehmen. Vermutlich ist es der dort herrschende Druck, der hierfür bestimmend ist.

Durchschnittliche Ausdehnung der Schwelle beträgt etwa 1 englische Meile in 10 Meilen und röhren nach Trowbridges Meinung vorwiegend von der schalenförmigen Gestaltung in der Höhe von 60 Meilen her. Sechs Schwelle in dieser Höhe gaben eine mittlere Diffusionsgeschwindigkeit von 1,3 m in der Sekunde. Die Diffusion des Nachleuchtens der elektrodenlosen Entladung in einem Röhren, beträgt einige Meter in der Sekunde. Fürwahr ist die berechnete Diffusionsgeschwindigkeit der Luft bei

<sup>1)</sup> The Physical Review 1907, vol. XXIV, p. 594.

0,1 mm Druck und einer Temperatur von  $-150^{\circ}$  am 2. m in der Sekunde. Wenn also der Meteoroidswirl eine Nachglüh-Erscheinung ist, so wirkt nach

Breitelbrüge der Druck in 60 Sekunden Höhe etwa 0,1 mm und die Temperatur nicht weit von  $-150^{\circ}$  sein.

## Die Radialgeschwindigkeit des Begleiters von $\epsilon$ im großen Bären

 Der Stern  $\epsilon$  Ursa majoris ist einer der schönsten Doppelsysteme des Himmels, der Hauptstern ist 2,1, der Begleiter 4,2 Größe und beide sind gelblichweiß. Dieser Begleiter ist leicht zu sehen, auch wurde er schon am 1. September 1708 von G. Kirch mit einem nicht achromatischen Fernglas entdeckt. Er hat bis jetzt seine Stellung gegen den Hauptstern nicht merklich geändert, sein Winkelabstand von diesem beträgt  $14''$ . Beide Sterne haben die gleiche Eigenbewegung, ich den also ein physikalisches System. Im größeren Abstände steht der Stern  $\gamma$  oder Arktos, den man schon mit bloßem Auge sehen (wahrscheinlich und der mit diesem wahrscheinlich ebenfalls physikalisch zu einem System verbunden ist im Jahre 1848 erkannte Prof. Pickering, daß infolge der Photographie des Spektrums von  $\epsilon$ , welche in der Hauptsternweite verschiedlich aufgenommen wurden waren, die dunkle Linie K zu Zeiten einfach und scharf, zu anderen Zeiten verwischt und hinwieder doppelt erscheinend innerhalb einer Periode von 52 Tagen. Er gab die Erklärung dieser Wahrnehmung durch die seitdem allgemein gezeichnete Annahme, daß der Hauptstern von  $\epsilon$  aus um Fernster nicht direkt kreisförmig Doppelsystem mit 104 Tagen Umlaufzeit ist. Wenn eine der beiden Komponenten sich bei dem Umlauf gegen die Erde hin bewegt, werden gewisse Spektrallinien gegen die blaugrüne Ende des Spektrums verschoben, während durch die entgegengesetzt gerichtete Bewegung der anderen Komponente die Linien in dem Spektrum sehr etwas gegenüber verschoben. Dadurch wird jede Linie, die sonst ein-

fach erscheint, in zwei getrennt und diese Trennung muß sich periodisch wiederholen. Auf dem astronomischen Observatorium zu Potsdam sind Anfang der vorangegangenen Jahres des vorigen Jahres mehrere spektroskopische Aufnahmen von  $\epsilon$  unternommen worden, welche bestätigten, daß der Hauptstern ein spektroskopischer Doppelsystem ist und gleichzeitig ermittelte Prof. Vogel, daß auch der Schwarmstern dieses spektroskopischen Doppelsystems in der Richtung zur Erde hin sich bewegt in jeder Sekunde um  $14,2$  des Albert Michelsons diese Spaltbewegung des Hauptsterns von  $\epsilon$  ermittelt war, wurde es von großem Interesse, auch die Radialbewegung des Begleiters 4,2 Größe zu bestimmen. H. Lohndorff hat deshalb eine Anzahl von Spektrogrammen, die er mit Prof. Eberhard mit dem im photographischen 32,5 cm Refraktor des Potsdamer Observatoriums angeordneten Spektrographen IV hergestellt hat, verglichen und gibt jetzt die Resultate dieses Arbeit.)

Das Spektrum der schwächeren Komponente von  $\epsilon$  Minor sagt Lohndorff: „gehört der Vagabunden Spektralklasse 1,3 an. In dem Spektroblock, den der Spektrograph IV scharf abbildet, sind nur zwei kräftige Absorptionslinien sichtbar, nämlich die Fluorineen bei  $\lambda$  4481 und die Wasserstofflinie H $\gamma$ . Außerdem ist noch eine Anzahl von sehr schwachen Absorptionslinien vorhanden, die hauptsächlich dem Eisen, Titan, Calcium und Calcium angehören. Alle Linien auch  $\lambda$  4481 und H $\gamma$ , sind etwas verschmurt und daher körnig.“

sehr merkwürdig. Auf schwach beleuchteten Platten ist das Hy-Linse so breit, daß die überhaupt nicht gemessen werden kann. Die schwachen Linien verschwinden zum Teil auf nicht richtig beleuchteten oder unterbelichteten Platten. Daher ist die Zahl der gemessenen Linien für die einzelnen Platten sehr verschieden.

Im ganzen haben wir 14 brauchbare Spektrogramme des Stern erhalten, meist mit einer Belichtungszeit von 50<sup>m</sup> bis 90<sup>m</sup>. Die Resultate der Ausmessung

der Platten sind in der folgenden Tabelle gegeben. Der Kalkemern mit hatten der Reihe nach der Plattennummer, das Datum, die der Mitte der Belichtung entsprechende Heliographische Zeit, den Beobachter am Fernrohr (E = Überhard, L = Ludendorff, die auf die Sonne reduzierte Radialgeschwindigkeit  $v$  und die Anzahl  $n$  der gemessenen Linien. Die letzte Kolonne enthält etwaige Bemerkungen.

Platt. Nr.	Datum	M. E. Z.	Beob.	$v$	$n$	Bemerkungen
1000	1905 April 30	10.5	E, L	— 130	7	
1001	„ „ 16	10.6	E, L	— 150	5	etwas unterbelichtet
1002	1905 April 30	10.6	E, L	— 14.0	5	etwas unterbelichtet
1003	„ „ 4	10.1	L	— 96	6	
1004	„ „ 5	10.0	E	— 7.3	11	
1005	„ „ 6	9.9	L	— 75.2	12	
1006	„ „ 7	10.3	E, L	— 14.3	5	unterbelichtet
1007	„ „ 14	9.7	L	— 7.9	5	
1008	1905 April 30	9.2	L	— 100	11	
1009	„ „ 30	9.9	L	— 16.4	8	
1010	„ „ 30	9.3	L	— 11.7	10	
1011	„ „ 30	9.5	E, L	— 18.1	10	
1012	„ „ 30	9.7	L	— 17.5	10	etwas unterbelichtet
1013	„ „ 14	9.7	E, L	— 13.4	17	

Die Überbestimmung der einzelnen Werte von  $v$  ist nicht mangelhaft, und man könnte versucht sein, daraus auf eine Veränderlichkeit der Radialbewegung zu schließen. Die Messungen sind aber, wie schon oben hervorgehoben wurde, ziemlich unrichtig, und es ist wohl möglich, daß infolge dieses Umstandes sich der des Aufnehmens mit dem Spektrographen IV überhaupt bestehendes systematisches Fehler bis zu 5 km in den Werten der Radialgeschwindigkeit äußern, die gezogen würden, um die Abweichungen der Einzelwerte von  $v$  von ihrem Mittelwert zu ermitteln. Dieser Mittelwert aus den 14 beobachteten Werten der Radialgeschwindigkeit ist

$$v = -125 \text{ km.}$$

Als mittlerer Fehler dieses Mittelwert ergibt sich der Betrag  $\pm 0.66$  km, der m. F. des Einzelwertes von  $v$  ist dagegen  $\pm 3.0$  km.

Für die Radialgeschwindigkeit des Schwerpunktes des spektroskopischen Doppelsternsystems, welches die hellere Komponente von  $\mu$  Stern bildet, hat Vogel den Wert  $-14.3$  km gefunden, dessen m. Fehler  $\pm 0.61$  km beträgt. Dieser Wert stimmt also sehr gut mit dem der Radialgeschwindigkeit der schwächeren Komponente überein, und die Differenz von  $-1.3$  km kann infolge eines beträchtlichen mittleren Fehlers ( $\pm 1.0$  km) nicht verbißt werden.

Es war von vornherein zu erwarten, daß die Radialgeschwindigkeiten der beiden Komponenten nahezu gleich sein würden, da ihre relative Bewegung sehr gering ist. Nach Lewis<sup>1)</sup> ändert sich nämlich der Positionswinkel per ann 2.02° im Jahre, während die Änderungen der scheinbare 14.4" betragen.

<sup>1)</sup> Memoirs of the Royal Astronomical Society, 36, p. 224



den Details überhaupt wesentlich sind.

Nicht ohne Interesse ist der Umstand, daß das Spektrum der schwächeren Komponente von Wiatr nahezu identisch ist mit dem der hellere zu der Zeit, wenn die Absorptionenlinien dieses spektroskopischen Doppelsterns einfach erscheinen. Nur sind die Linien im Spektrum der schwächeren Komponente eine Spur kräftiger als die im Spektrum der hellere. Da der Komponenten von U Ursa majoris schon das nahezu auf denselben Entwicklungsstadium.

Von dem Spektrum von Alkor, der bekanntlich denselbe Eigenbewegung wie Mizar hat und daher jedenfalls in physischem Kosmos mit dem steht, haben wir nur das Aufnahmeverhalten, (1925 April 30). In dem ganzen hier in Betracht kommenden Spektralbereich ist aber nur eine Absorptionsebene, nämlich H $\gamma$ , sichtbar, und diese ist so breit und schwachen, daß nur Auswertung der Platte nicht angingig war. Wir haben daher keine weiteren Aufnahmen von dem Spektrum dieses Sterns hergeleitet.

## Vermischte Nachrichten.

**Cygnus in der Sonnensphäre und im interplanetarischen Raum.** Im Sonnenspektrum zeigt sich, wie längst bekannt ist, eine dem Cygn angehörige dunkle Absorptionsebene von der Wellenlänge  $\lambda = 3855$  H. F. Newell hat nun kürzlich Untersuchungen darüber angestellt, ob diese Cygnveränderungen lediglich auf die Sonnensphäre beschränkt ist oder auch in der zwischen Lufthölle oder im Raum zwischen Sonne und Erde auszuformen sei. Zu diesem Zwecke hat er zwei Sonnenspektre auf ein und denselben photographischen Platte untereinander aufgenommen, von denen das eine dem Lichte aus Äquatorialen Gegend der Sonne entstammt, das andere dem Lichte des gegenüber stehenden Weltraumes. Da zufolge der Sonnenrotation die Lichtstrahlen des Ost- und Westrandes der Sonne verschiedene Geschwindigkeiten in der Geschwindigkeit zur Erde besitzen, so können die Absorptionsebenen derselben Verschiebungen ihrer Lage zeigen. Es ergibt sich in der Tat, daß die Cygnischen Linien Verschiebungen zeigen wie die Linien der Calciumspektre in der Sonnensphäre, sie gehören also wie diese der Sonne zu. Indessen zeigen sich auch Abweichungen, daß die Cygnbanden aus überausstark gelagerten Al-

uminiumatomen zusammengeordnet sind und Newell schließt hieraus auf den Vorhandensein von Calciumdampf im Weltraum zwischen Erde und Sonne. Man weiß von den Arbeiten von Huggins, daß im Kometenspektrum der Cygnlinie 23883 hell auftritt, ebenso treten die spektroskopischen Aufnahmen der Kometen 1905 d durch Deslandres und Bernard ergeben, daß Cygnlinien dort auch nur im Kopfe des Kometen, sondern sogar in den benachbarten Schweifpartien vorhanden waren. Diese lautet Newell wiederum seiner Ansicht vom Vorhandensein des Cygn im Weltraum zwischen Sonne und Erde, doch gibt er selbst zu, daß diese Schlussfolgerung auch weiterer Studien bedürfte die man es abgewartet betrachten könnte. — Uns scheint die Wahrscheinlichkeit von Cygnatomen im Kosmos, die sich spektroskopisch wahrnehmen lassen, sehr wahrscheinlich.

**Fernrohr für Freunde der Himmelsbeobachtung.** Aus dem Locomobile des »Siles« sind eine mehrere größere und kleinere sehr gut erhaltene Fernrohre zum Verkauf angemeldet worden. Freunden der Himmelsbeobachtung, welche die Anschaffung eines solchen Instrumentes beabsichtigen, und sich diesbezüglich nach werden, hat ich zu jeder gewünschten Auskunft gerne bereit. Prof. Dr. Kiers.

# Astronomischer Kalender für den Monat Mai 1908.

Sonnen				Mond			
Mittwoch Donnerstag Freitag				Mittwoch Donnerstag Freitag			
Tag	Zeit M. E. — W. E.	Rektascension	Declination	Rektascension	Declination	Mond im Meridian	
1	5 57 51	5 39 10 31	+16 1 40 0	5 37 50 59	+16 37 50 1	5 42 1	
2	5 57 51	5 39 10 31	16 20 44 4	5 38 25 44	16 20 11 1	5 42 1	
3	5 57 51	5 39 10 31	16 27 32 0	5 39 11 17	16 3 11 5	5 42 7	
4	5 57 54	5 44 10 50	16 35 11 7	5 40 0 48	16 45 50 0	5 42 5	
5	5 58 10	5 49 10 55	16 43 55 0	5 40 51 44	16 55 5 0	5 42 5	
6	5 58 36	5 55 9 00	16 53 31 5	5 41 50 55	17 5 5 7	5 42 7	
7	5 59 01	5 59 8 55	16 59 23 4	5 50 0 10	17 10 10 0	5 42 5	
8	5 59 35	5 57 10 00	17 5 40 0	5 53 50 0	17 10 10 0	5 42 5	
9	5 59 50	5 5 10 00	17 10 55 0	5 58 20 10	17 10 10 0	5 42 5	
10	5 59 55	5 7 10 00	17 16 40 1	5 59 40 10	17 10 10 0	5 42 5	
11	5 59 45	5 11 10 04	17 22 25 0	5 59 50 00	17 10 10 0	5 42 5	
12	5 59 30	5 15 10 14	17 3 0 4	5 59 50 00	+ 5 30 10 0	5 42 5	
13	5 59 14	5 19 10 20	17 10 40 5	5 59 50 0	- 5 30 10 0	5 42 5	
14	5 58 58	5 23 10 25	17 16 31 7	5 59 50 0	5 40 10 0	5 42 5	
15	5 58 34	5 27 10 30	17 22 22 0	5 59 50 0	5 40 10 0	5 42 5	
16	5 58 01	5 31 10 35	17 3 0 0	5 59 50 0	5 40 10 0	5 42 5	
17	5 57 19	5 35 10 37	17 10 51 0	5 59 50 0	5 40 10 0	5 42 5	
18	5 56 38	5 39 10 38	17 16 40 0	5 59 50 0	5 40 10 0	5 42 5	
19	5 55 56	5 43 10 38	17 22 30 0	5 59 50 0	5 40 10 0	5 42 5	
20	5 55 14	5 47 10 38	17 28 20 0	5 59 50 0	5 40 10 0	5 42 5	
21	5 54 32	5 51 10 38	17 34 10 0	5 59 50 0	5 40 10 0	5 42 5	
22	5 53 50	5 55 10 38	17 40 0 0	5 59 50 0	5 40 10 0	5 42 5	
23	5 53 08	5 59 10 38	17 45 50 0	5 59 50 0	5 40 10 0	5 42 5	
24	5 52 26	6 3 10 38	17 51 40 0	5 59 50 0	5 40 10 0	5 42 5	
25	5 51 44	6 7 10 38	17 57 30 0	5 59 50 0	5 40 10 0	5 42 5	
26	5 51 02	6 11 10 38	18 3 20 0	5 59 50 0	5 40 10 0	5 42 5	
27	5 50 20	6 15 10 38	18 9 10 0	5 59 50 0	5 40 10 0	5 42 5	
28	5 49 38	6 19 10 38	18 15 0 0	5 59 50 0	5 40 10 0	5 42 5	
29	5 48 56	6 23 10 38	18 20 50 0	5 59 50 0	5 40 10 0	5 42 5	
30	5 48 14	6 27 10 38	18 26 40 0	5 59 50 0	5 40 10 0	5 42 5	





## Planetenstellungen (1908)

Mon	1	15	Tag in Konjunktion mit dem Monde
1	1	15	Venus in Konjunktion mit dem Monde
2	2	16	Jupiter in Konjunktion mit dem Monde
3	3	17	Merkur in seiner Konjunktion mit der Sonne
4	4	18	Merkur in seiner Konjunktion mit der Sonne
5	5	19	Merkur in seiner Konjunktion mit der Sonne
6	6	20	Merkur in seiner Konjunktion mit der Sonne
7	7	21	Merkur in seiner Konjunktion mit der Sonne
8	8	22	Merkur in seiner Konjunktion mit der Sonne
9	9	23	Merkur in seiner Konjunktion mit der Sonne
10	10	24	Merkur in seiner Konjunktion mit der Sonne
11	11	25	Merkur in seiner Konjunktion mit der Sonne
12	12	26	Merkur in seiner Konjunktion mit der Sonne
13	13	27	Merkur in seiner Konjunktion mit der Sonne
14	14	28	Merkur in seiner Konjunktion mit der Sonne
15	15	29	Merkur in seiner Konjunktion mit der Sonne
16	16	30	Merkur in seiner Konjunktion mit der Sonne
17	17	31	Merkur in seiner Konjunktion mit der Sonne
18	18	1	Merkur in seiner Konjunktion mit der Sonne
19	19	2	Merkur in seiner Konjunktion mit der Sonne
20	20	3	Merkur in seiner Konjunktion mit der Sonne
21	21	4	Merkur in seiner Konjunktion mit der Sonne
22	22	5	Merkur in seiner Konjunktion mit der Sonne
23	23	6	Merkur in seiner Konjunktion mit der Sonne
24	24	7	Merkur in seiner Konjunktion mit der Sonne
25	25	8	Merkur in seiner Konjunktion mit der Sonne
26	26	9	Merkur in seiner Konjunktion mit der Sonne
27	27	10	Merkur in seiner Konjunktion mit der Sonne
28	28	11	Merkur in seiner Konjunktion mit der Sonne
29	29	12	Merkur in seiner Konjunktion mit der Sonne
30	30	13	Merkur in seiner Konjunktion mit der Sonne
31	31	14	Merkur in seiner Konjunktion mit der Sonne

Planeten: September 1906.

Mittlere Berliner Mitzg.					Mittlere Berliner Mitzg.							
Zeit Tag u. N.	Rektascension			Declination	Größe scheinb. Durchm.	Zeit Tag u. N.	Rektascension			Declination	Größe scheinb. Durchm.	
	h	m	s	°	'		h	m	s	°	'	
Merkur												
1906												
Mal 4	5	55	50.47	+0.5	20.12	5	55	50.47	+0.5	20.12	5	55
7	5	55	49.50	—	19.12	5	55	49.50	—	19.12	5	55
10	5	55	48.50	—	18.12	5	55	48.50	—	18.12	5	55
13	5	55	47.50	—	17.12	5	55	47.50	—	17.12	5	55
16	5	55	46.50	—	16.12	5	55	46.50	—	16.12	5	55
19	5	55	45.50	—	15.12	5	55	45.50	—	15.12	5	55
22	5	55	44.50	—	14.12	5	55	44.50	—	14.12	5	55
25	5	55	43.50	—	13.12	5	55	43.50	—	13.12	5	55
28	5	55	42.50	—	12.12	5	55	42.50	—	12.12	5	55
31	5	55	41.50	—	11.12	5	55	41.50	—	11.12	5	55
Venus												
Mal 4	5	55	40.50	+0.5	10.12	5	55	40.50	+0.5	10.12	5	55
7	5	55	39.50	—	9.12	5	55	39.50	—	9.12	5	55
10	5	55	38.50	—	8.12	5	55	38.50	—	8.12	5	55
13	5	55	37.50	—	7.12	5	55	37.50	—	7.12	5	55
16	5	55	36.50	—	6.12	5	55	36.50	—	6.12	5	55
19	5	55	35.50	—	5.12	5	55	35.50	—	5.12	5	55
22	5	55	34.50	—	4.12	5	55	34.50	—	4.12	5	55
25	5	55	33.50	—	3.12	5	55	33.50	—	3.12	5	55
28	5	55	32.50	—	2.12	5	55	32.50	—	2.12	5	55
31	5	55	31.50	—	1.12	5	55	31.50	—	1.12	5	55
Mars												
Mal 4	5	55	30.50	+0.5	0.12	5	55	30.50	+0.5	0.12	5	55
7	5	55	29.50	—	0.12	5	55	29.50	—	0.12	5	55
10	5	55	28.50	—	0.12	5	55	28.50	—	0.12	5	55
13	5	55	27.50	—	0.12	5	55	27.50	—	0.12	5	55
16	5	55	26.50	—	0.12	5	55	26.50	—	0.12	5	55
19	5	55	25.50	—	0.12	5	55	25.50	—	0.12	5	55
22	5	55	24.50	—	0.12	5	55	24.50	—	0.12	5	55
25	5	55	23.50	—	0.12	5	55	23.50	—	0.12	5	55
28	5	55	22.50	—	0.12	5	55	22.50	—	0.12	5	55
31	5	55	21.50	—	0.12	5	55	21.50	—	0.12	5	55
Jupiter												
Mal 4	5	55	20.50	+0.5	0.12	5	55	20.50	+0.5	0.12	5	55
7	5	55	19.50	—	0.12	5	55	19.50	—	0.12	5	55
10	5	55	18.50	—	0.12	5	55	18.50	—	0.12	5	55
13	5	55	17.50	—	0.12	5	55	17.50	—	0.12	5	55
16	5	55	16.50	—	0.12	5	55	16.50	—	0.12	5	55
19	5	55	15.50	—	0.12	5	55	15.50	—	0.12	5	55
22	5	55	14.50	—	0.12	5	55	14.50	—	0.12	5	55
25	5	55	13.50	—	0.12	5	55	13.50	—	0.12	5	55
28	5	55	12.50	—	0.12	5	55	12.50	—	0.12	5	55
31	5	55	11.50	—	0.12	5	55	11.50	—	0.12	5	55
Saturnus												
Mal 4	5	55	10.50	+0.5	0.12	5	55	10.50	+0.5	0.12	5	55
7	5	55	9.50	—	0.12	5	55	9.50	—	0.12	5	55
10	5	55	8.50	—	0.12	5	55	8.50	—	0.12	5	55
13	5	55	7.50	—	0.12	5	55	7.50	—	0.12	5	55
16	5	55	6.50	—	0.12	5	55	6.50	—	0.12	5	55
19	5	55	5.50	—	0.12	5	55	5.50	—	0.12	5	55
22	5	55	4.50	—	0.12	5	55	4.50	—	0.12	5	55
25	5	55	3.50	—	0.12	5	55	3.50	—	0.12	5	55
28	5	55	2.50	—	0.12	5	55	2.50	—	0.12	5	55
31	5	55	1.50	—	0.12	5	55	1.50	—	0.12	5	55
Uranus												
Mal 4	5	55	0.50	+0.5	0.12	5	55	0.50	+0.5	0.12	5	55
7	5	55	0.50	—	0.12	5	55	0.50	—	0.12	5	55
10	5	55	0.50	—	0.12	5	55	0.50	—	0.12	5	55
13	5	55	0.50	—	0.12	5	55	0.50	—	0.12	5	55
16	5	55	0.50	—	0.12	5	55	0.50	—	0.12	5	55
19	5	55	0.50	—	0.12	5	55	0.50	—	0.12	5	55
22	5	55	0.50	—	0.12	5	55	0.50	—	0.12	5	55
25	5	55	0.50	—	0.12	5	55	0.50	—	0.12	5	55
28	5	55	0.50	—	0.12	5	55	0.50	—	0.12	5	55
31	5	55	0.50	—	0.12	5	55	0.50	—	0.12	5	55
Neptun												
Mal 4	5	55	0.50	+0.5	0.12	5	55	0.50	+0.5	0.12	5	55
7	5	55	0.50	—	0.12	5	55	0.50	—	0.12	5	55
10	5	55	0.50	—	0.12	5	55	0.50	—	0.12	5	55
13	5	55	0.50	—	0.12	5	55	0.50	—	0.12	5	55
16	5	55	0.50	—	0.12	5	55	0.50	—	0.12	5	55
19	5	55	0.50	—	0.12	5	55	0.50	—	0.12	5	55
22	5	55	0.50	—	0.12	5	55	0.50	—	0.12	5	55
25	5	55	0.50	—	0.12	5	55	0.50	—	0.12	5	55
28	5	55	0.50	—	0.12	5	55	0.50	—	0.12	5	55
31	5	55	0.50	—	0.12	5	55	0.50	—	0.12	5	55
Marsphasen 1906.												

# Stellungen der Jupitermonde im Mai 1908.

I.		I.	II.		d.	r.
II.		I.	IV.		d.	r.

Stellungen um 12<sup>h</sup> für den Anblick im astronomischen Fernrohr.

Tag	West	Ost
1	☉ 2 4	☉ 1
2	4	☉ 1
3	☉ 2 4	☉ 1
4	4	☉ 1
5	4	☉ 1
6	4	☉ 1
7	4	☉ 1
8	4	☉ 1
9	4	☉ 1
10	4	☉ 1
11	4	☉ 1
12	4	☉ 1
13	4	☉ 1
14	4	☉ 1
15	4	☉ 1
16	4	☉ 1
17	4	☉ 1
18	4	☉ 1
19	4	☉ 1
20	4	☉ 1
21	4	☉ 1
22	4	☉ 1
23	4	☉ 1
24	4	☉ 1
25	4	☉ 1
26	4	☉ 1
27	4	☉ 1
28	4	☉ 1
29	4	☉ 1
30	4	☉ 1
31	4	☉ 1





Blatt 1003.

Blatt 10.

Wandfächerchen  
am Femur gebildet von G. Strasser.

# SIRIUS.

Zeitschrift für populäre Astronomie.

Centralorgan für alle Freunde und Förderer der Himmelskunde.

Herausgegeben

unter Mitwirkung hervorragender Fachgelehrter und ehrenamtlicher Schriftleiter

von Prof. Dr. Hermann J. Klink in Köln.

April 1906.

„Wissen und Erkenntnis sind die Freude und die  
Zurechtlegung der Menschheit.“ Kierkegaard.

Jeden Monat 1 Heft. — Jährlich 12 Mk.

Verlag von EDUARD HEINRICH MEYER in Leipzig.

**INHALT:** Spektroskopische Untersuchung der Sonnenrotation. S. 73. — Der neue Planet 1903 A.M. (268) (Mit. im Teil.) S. 76. — Beobachtungen der Sonnenlage bei einem Sonnensturm 1907 und Versuch einer Erklärung der wolkenartigen Erscheinungen von Prof. S. E. Barnard. Oberre Teil. S. 77. — Der Lichtstrahl der Kometen 1907/8 und 1910/11. S. 78. — Ein interessantes Versehen bei der Messung von Fernrohrverhältnissen. S. 82. — Der kometische Sternschnur, ihre Ausstrahlung und ihre Verteilung (Schmidt.) S. 85. — Veränderte Neutronen. S. 87. — Astronomische Kometen. S. 90. — Seelungen der Jupitermonde. S. 95. — Erscheinungen der Jupitermonde. S. 96. — Seelungen der Jupitermonde. S. 96. —

## Spektroskopische Untersuchung der Sonnenrotation.

Von Walter S. Adams.)

**E**ine spektroskopische Untersuchung der Rotationsdauer der atmosphärischen Schicht der Sonnenatmosphäre ist bis jetzt beschränkt gewesen auf einzelne Messungen der Linien im weniger leuchtenden Teile des Spektrums. Im Jahr 1890 veröffentlichte Douer seine klassische Untersuchung über diesen Gegenstand, wobei er sich auf seine Messungen in den 3 Jahren 1887 bis 1890 stützte. Später ergänzte er seine Arbeit durch Beobachtungen in den Jahren 1890 bis 1901. In letztem Jahr begann Hale in Baltimore eine

ähnliche Arbeit, wobei er sich eines korrigierten, fast aufgestellten Spektrographen bediente und mittels eines Heliostats Bilder der entgegengesetzten Sonnenränder auf den Spalt des Instrumentes brachte. Er hat seitdem auch Untersuchungen, die sich bis 1903 ausdehnen, veröffentlicht, und seine Messungen ergaben Resultate von höchster Genauigkeit. In beiden Untersuchungen wurden die gleichen Spektrallinien benutzt und zwar die Paar Eisenlinien im roten Teile des Spektrums mit den Wellenlängen  $\lambda = 6851.72$  und  $\lambda = 6852.71$  der Kometischen Reihe. Der Wunsch von Prof. Hale, diese Unter-

<sup>1)</sup> Aus dem Astrophysical Journal 1907 November, S. 303, mit Erläuterungen versehen.

<sup>2)</sup> Astron. Nachrichten Band 150, Nr. 37, 1905. Astron. 1905, S. 20.

Siehe 1905, Heft 4.

<sup>3)</sup> Astron. Nachrichten 1905, Nr. 373 bis 386. Astron. 1905, S. 21.

suchungen auf andere Spektrallinien der Sonne ausdehnen und die Vorteile der photographischen Aufnahme dabei auszunutzen, war die Voraussetzung, daß auf dem Observatorium Mount Wilson diese Arbeit unternommen wurde. Das photographische Studium der Verheilung der Spektrallinien am Rande der Sonnenscheibe verlangt ein Sonnenbild von beträchtlicher Größe und gleichzeitig eines Spektrographen von hoher Dispersion und beträchtlicher Brennweite, um die volle Lösung der Aufgabe zu gewähren. Beide Erfordernisse fanden sich zusammen beim New-Telioskop. Der konkave Spiegel desselben erzeugt auf dem Spalte des Spektrographen ein Sonnenbild von 170 cm Durchmesser. Der Spektrograph ist nach dem Littrow'schen Typus (der Aufnahmestapel) gebaut, mit Linsen von 102 cm Durchmesser und 55 m Brennweite, und wird angewendet zusammen mit einem ausgewachsenen Rothenbach'schen Gitter von der gleichen Öffnung, welches 575 Linien pro Millimeter besitzt. Es wurden bei der Untersuchung ausschließlich Spektre der 2. Ordnung benutzt. Der Verfasser verfährt sich ausschließlich über die Verheilung, um die entgegengesetzten Ränder des Sonnenbildes gleichzeitig auf den Spalt des Spektrographen zu bringen. Die Methode ist mit der von Dawd angewendeten Überbrennungs- oder Schwingungsmethode die Auswahl des geeigneten Teiles des Spektrums, schließlich wurde der Teil zwischen den Wellenlängen  $\lambda = 4198$  und  $\lambda = 4306$  gewählt, der der  $\alpha$ -Linie (seltene Erden Reihe C) des Sonnenspektrums entspricht und auch sonstige Vorteile hat. Es wurden 20 Linsen ausgewählt, von denen die meisten Eisenlinien sind und einige dem Zirkonium angehören. Demnach war der Unterschied zwischen dem Spektrum der Mittelpunkte und des Randes der Sonne noch nicht bekannt.<sup>1)</sup> Dagegen

hatte sich ergeben, daß die Linien auf dem Rand meist erschienen und die Exposition länger dauerte als nach der Aufnahme ohne Hilfsapparate zu erwarten war. Diese Wirkung wurde zum Teil dem Umstand zugeschrieben, daß das Licht etwa 75 cm Glas durchlaufen mußte beim Durchgang durch die Diagonallinse, die wahre Ursache war unbekannt bis später durch die Untersuchungen von Prof. Hale und W. Adams der radiale Unterschied im Charakter und der Intensität der Spektre dieser beiden Teile des Sonnenbildes aufgeklart wurde.

Im ganzen wurden während der Zeit vom Mai 1903 bis Juni 1903 44 Platten erhalten und von denen nur diejenigen bei den Messungen berücksichtigt, welche an Tagen nicht herrschend klarer Luft aufgenommen worden waren und kein Tageslichtspektrum des Spektrums der beiden Sonnenscheiben beigemischt war. Die Berechnung der Abstände der beobachteten Punkte des Sonnenspektrums vom Äquator der Sonne, also die Bestimmung der heliographischen Breiten, geschah nach De la Rue's Reduktionsstufen. Die berechneten Geschwindigkeiten des Sonnenspektrums wurden zu Mittelwerten für 12 heliographische Breiten zusammengezogen. Es ergaben sich auf diese Weise die Geschwindigkeiten in Kilometern, welche in folgender Tabelle enthalten sind, denen die früher von Hale und Dawd getheilten beifügt wurden.

Heliographische Breite	Geschwindigkeit in der Sekunde in Kilometern		
	Adams	Hale	Dawd
92°	100	100	2.06
75	100	100	
58	100	100	
42	101	101	1.60
25	102	102	
9	103	103	
0	104	104	1.20
17	105	105	
34	106	106	
51	107	107	0.80
68	108	108	
85	109	109	
102	110	110	0.39
119	111	111	
136	112	112	

<sup>1)</sup> Hale u. Adams im Astrophysical Journal 1907, Bd. 25, p. 265—266. Sept. 1907, S. 52.



Ein Blick auf diese Tabelle lehrt, daß für die Angaben in der Nähe des Sonnenäquators die Ergebnisse der drei verschiedenen Beobachtungspunkte sehr gut übereinstimmen, daß dagegen über  $30^\circ$  heliographischer Breite hinaus die Ergebnisse, welche Halm gefunden, stark größer sind als die der beiden anderen Beobachter, über  $30^\circ$  Breite hinaus bleiben diejenigen Dandels hinter diejenigen von Adams zurück.

Im allgemeinen ergibt sich also, daß die aus photographischen Aufnahmen des Sonnenspektrums ermittelten Geschwindigkeiten in höheren Breiten der Sonne zwischen dem von Dandl und Halm gefundenen Werte liegen. Aus dem gefundenen Zahlenpaar für die Rotationsgeschwindigkeit in den verschiedenen Breiten und der Sonnenoberfläche ergaben sich folgende Werte der Rotationsdauer der Sonne in der heliographischen Breite

Heliogr. Breite	Rotationsdauer der Sonne
$0^\circ$	24.46 Tage
10	24.76 "
20	25.02 "
30	25.43 "
40	27.61 "
50	28.75 "

Heliogr. Breite	Rotationsdauer der Sonne
60	29.61 Tage
70	30.75 "
80	32.50 "

Die Verleiderung der Rotationsgeschwindigkeit mit der heliographischen Breite ist am größten in etwa  $30^\circ$  Breite, sie nimmt dann nach den Polen hin ab und ist am  $70^\circ$  Breite bereits gering.

Weiter zeigt die Untersuchung, daß einzelne Spektrallinien etwas verschiedene Werte für die Rotationsgeschwindigkeit ergeben. Die Kohlenstoff- und Lanthan-Linien, Elementzugehörig, die in einem niedrigen Niveau der Sonnenatmosphäre sich befinden, geben Werte für den täglichen Umdrehungswinkel der Sonne, die etwa  $61^\circ$  kleiner sind als die Mittelwerte aus allen Linien, demnach also entsprechend größeren Werte für die Rotationsdauer der Sonne.

Die Untersuchung ergibt schließlich, daß die aus photographischen Aufnahmen berechneten Ergebnisse genauer sind als die durch unmittelbare Beobachtung erhaltenen. Die Untersuchung soll auf kleinerem Wissen fortgesetzt werden und zwar mit Hilfe noch reichhaltiger Instrumente, so daß eine weitere Äußerung der Genauigkeit zu hoffen ist.

## Der neue Planet 1908 B.N.

(Mit 1 Abbildung im Text.)

Am 4. Januar ist auf dem astronomischen Observatorium auf dem Königstuhl bei Heidelberg ein kleiner Planet photographisch aufgefunden worden, dessen ungewöhnliche Helligkeit — 8.5 Größe — allgemeinen Aufsehen erregte, da die neuen Planeten meist nicht größer als 11. Größe sind, schwächer bei ihrer Entdeckung sind. Die ungewöhnliche Helligkeit veranlaßte nun eine sehr eilige Beobachtung des Planeten und bereits Ende Januar war es Herrn Dr. Neugebauer vom Königl. südpfälzischen Beobachtungsamt, südpfälzische Sternwarte bei dem Pla-

neten zu berechnen. Der zunächst unternehmene Versuch, eine Komete aus zwei Beobachtungen zu bestimmen, erwies sich als undurchführbar, da die ungewöhnlich große Bewegung des Planeten in Breite, die auf eine große Neigung schließen ließ, die von Tisserand bestimmte Grenze überschritt. Schon ehe er seine Elemente publicierte, war von verschiedenen Astronomen die Ansicht ausgesprochen, daß der neue Planet vielleicht mit dem am 13. Juni 1853 von Watson entdeckten Planeten (173), Aetna, identisch sein könnte. Leider ist dieser nur in der ersten Opposition kurz

Zeit beobachtet worden. Nach der Bahn von W. Luthy, die wegen der kurzen Beobachtungszeit noch sehr unsicher ist, mußte der Planet ungefähr Anfang 1966 in seiner sehr exzentrischen Bahn ( $e = 0,73$ ) seine Sonnennähe erreichen und dabei nicht hell werden. Ob man aber



Fig. 1.

wirklich der Planet 1966 BM mit Aethra identisch ist, läßt sich jetzt noch nicht entscheiden. Zum Vergleich stelle ich beide Elemente in abgekürzter Form nebeneinander. (Die mittlere Anomalie  $M$  gilt bei beiden für 1966 Jan. 6.).

	1966 B.M.	Aethra
$M_0$	241°	0°
$e$	0,73	0,61
$i$	2,6°	2,0°
$\Omega$	91°	24°

	1966 B.M.	Aethra
$\omega$	13°	10°
$\alpha$	180°	100°
$\log q$	0,362	0,366

Die Abweichungen sind ziemlich bedeutend, die werden aber zum Teil erklärt durch die bedeutenden Störungen, denen Aethra unterworfen ist. Besonders groß ist die Annäherung an die Marsbahn. Im Perihel ist Aethra von der Sonne 1,664 Erdbahnradien entfernt und Mars im Aphel 1,668. Das Perihel von Aethra hat eine Länge von 114° westlich des Aphels des Mars von 134°. Allerdings steht dem der kleine Planet merklich westlich der 2. Marsbahn, aber die Annäherung ist dennoch bedeutend. Um eine ungefähre Vorstellung von der Lage der Bahnen zu ermöglichen, habe ich im stehendenbildenden Diagramm Fig. 1 die Bahnen von Erde und Mars sowie die von 1966 BM und 1968 BM zur Darstellung gebracht, wobei die oberhalb der Fliehkraft gelegenen Teile der Bahnen nicht voll ausgezogen wurden. Im allgemeinen

merkt man über die Elemente, daß 1966 BM zur Marsgruppe b<sub>2</sub> gehört, deren Hauptmerkmal die Flucht ist. Neigung und Exzentrizität sind ziemlich bedeutend. Es ist zu hoffen, daß durch zahlreiche Beobachtungen eine genauere Bahnbestimmung ermöglicht wird, damit der merkwürdige Planet in der nächsten Opposition wieder gefunden wird.

H. H. K.

# Beobachtungen der Saturnerringe bei ihrem Verschwinden 1907 und Versuch einer Erklärung der wahrgenommenen Erscheinungen von Prof. E. E. Barnard

(Platte Tafel V)

Das Interesse an dem jährlichen Kringenspiel des Saturn, sagt Prof. E. E. Barnard in einer neuen, erschienenen größeren Abhandlung<sup>1)</sup> bezüglich<sup>2)</sup> ist niemals größer gewesen als 1907, als der Beobachter gemäß der Ring unsichtbar wurde. Bekanntlich wendet dieser nach Zwischenzeit von 15 Jahren der Erde seine schmale Kante zu und soll dann, wegen seiner außerordentlichen Dünne, unsichtbar sein. Zwei Umstände verursachen sein Verschwinden, nämlich diejenige Lage des Ringes in welcher die Ebene desselben durch die Erde geht und zweites dazugehörig, in welcher seine Distanz durch die Sonne geht. Während dieser kritischen Periode kann der Ring zweimal verschwinden und ebenso oft wieder sichtbar werden. Dies fand in den Jahren 1848—1849 statt. Vorher waren Sonne und Erde während 15 Jahren auf der Südseite des Ringes, am 22. November 1841 passierte die Erde die Ebene des Ringes und blieb nachher für das bis zum 31. Januar 1862. Erde und Sonne standen auf entgegengesetzten Seiten der Ringebene und der Ring mußte deshalb unsichtbar sein. Am 31. Januar 1862 passierte die Erde abgesehen die Ringebene und trat auf die Südseite derselben, weshalb der Ring sichtbar wurde, dann wiederum nach der Erde zugewandt war. Am 12. Mai passierte die Sonne die Ringebene nach Norden hin, während die Erde nördlich von dieser Ebene blieb und sofort wurde der Ring wieder unsichtbar bis zum 12. August, an welchem Tage die Erde nach nordwärts über die Ringebene trat, also auf die beträchtliche Seite des

Ringes kam und in hohem Grade und Erde bis zum Jahre 1878.

Eine schließliche Beobachtungsreihe über den Saturn wurde am 15. täglichen Beobachter der Harvard-Observatorien von G. P. und W. C. Bond gegenüber der Verschwinden der Ringe im Jahre 1848 angestellt. Eine Anzahl Zeichnungen desselben stellten den Ring und die Lichtverhältnisse auf demselben während dieser Zeit dar. Die Verhältnisse für die Verschwinden und Wieder sichtbarwerden des Ringes lagen 1848 fast genau so wie 1900. Bond vermerkte bei allen seinen damaligen Beobachtungen, daß der Ring, was er vom Ring wahrnahm, der von der Sonne beleuchtete Rand desselben gewesen sei. Es gelangt aber ein Blick durch den 24-zähligen Vertriebskristall in einer guten Nacht, um sich davon zu überzeugen, daß dazugehörig, was sichtbar ist, keineswegs der Rand des Ringes ist, sondern die Ringebene selbst, aber in außerordentlicher Schärfe. Dies war besonders der Fall in der ersten Hälfte des Juli, als die Meiste von dem Ringes 2° hoch erschien. Bonds Erklärung der hellen Lichtstellen während der Unsichtbarkeit des Ringes ist sehr einseitig und scheint durch seine Messungen Bestätigung zu finden, aber sie ist doch nicht völlig genügend. Die Erde der hellen Randstrahlen, selbst wenn man den Einfluß der Refraktion nicht, ist zu beträchtlich, um anzunehmen, daß sie lediglich dem Ringrande zugeordnet werden könnte, dessen Dicke weniger als 0.1" betragen muß.

In den Jahren 1861 und 1862 waren die Umstände des Verschwindens der Ringe für die Beobachtung sehr günstig und die Gelegenheit zu beständigen wurde von Carpenter am 12-zähligen

<sup>1)</sup> Astrophysical Journal 1908, XXVII, No. 4, p. 26 ff.

Beobachter der Sternwarte zu Göttingen und von Otto Struve am 15-Zollers zu Pulkowa benutzt. Zur Zeit wo der Ring der Venusdurchsicht nach unsichtbar sein sollte, war er damals mit Leichtigkeit sichtbar und als er nicht vom dicken Sonnenschleier getroffen wurde, zeigte sich helle Flecke oder Anklänge desselben. Seitdem, also während eines Zeitraumes von 45 Jahren, hat sich keine günstige Gelegenheit dargestellt die damals in Göttingen und Pulkowa wahrgenommenen Erscheinungen wiederzusehen, dass die Venuswenden des Ringes 1878 und 1881 geschah unter sehr ungünstigen Verhältnissen für die Beobachtung von der Erde aus. Im Jahre 1907 ereignete sich eine Wiederholung der Vorgänge des Venuswenden und Wiedererschensens des Ringes von 1881 und 1882. Nach 1881 befanden sich Sonne und Erde ebenfalls von der Ebene des Ringes. Die folgenden Angaben über die Verhältnisse des diesmaligen Venuswenden der Erde stammen von Prof. Hermann Struve.

1907 April 17. Die Erde passiert die Ringebene südwärts, während die Sonne über der südlichsten Seite der Ringebene läuft. Dieses Venuswenden ist von der Erde aus nicht zu beobachten, da Sonne zu nahe bei der Sonne steht. Von jenem Datum bis zum 26. Juli ist theoretisch der Ring unsichtbar, da kein dicker Sonnenschleier seine der Erde zugewandte Seite trifft. Juli 26 passiert die Sonne die Ringebene südwärts und der Ring wird sichtbar. Dieses Verhältniss dauert bis Oktober 4, wo die Erde die Ringebene gegen Norden passiert und wieder die dunkle Seite des Ringes der zugewandt wird bis 1908 Januar 7. Dann passiert die Erde die Ringebene gegen Süden und die von der Sonne beleuchtete Seite des Ringes wird jetzt sichtbar und bleibt so während der nächsten 15 Jahre.

Folgt der ziemlich günstigen Verhältnisse, unter denen sich 1907 das Venuswenden des Ringes vollzog, hat sich eine zweite Male Gelegenheit die

dann sichtbar werdenden Erscheinungen mit den großen Teleskopen zu verfolgen, die während der letzten 45 Jahre benützt worden sind.

Als Prof. Bernard am 2. Juli den Saturn untersuchte, war die ganze Oberfläche des Ringes am 40-zölligen Refraktor deutlich sichtbar, abgesehen der der Erde zugewandte Seite desselben ist ein dicker Sonnenschleier umgibt. An jedem Ringende zeigen sich zwei ausgeprägte, helle Stellen oder Kondensationsstellen symmetrisch zur Saturnkugel in ihrem Aussehen waren sie sehr schön und wie der Ring selbst von bläulich-grauer oder violetter Farbe. Wiederholte Messungen der Lage der leuchtenden Flecke zeigten keine Änderung desselben.

Am 26. Juli passiert die Sonne die Ringebene südwärts und bis Oktober 4 besteht die von mehreren Oberfläch der Ringes. Während dieser Zeit war der Ring hell und gerade und schmerzte Unregelmäßigkeiten auf derselben waren wahrnehmbar, auch nicht da wo früher die hellen Kondensationsstellen sich gezeigt hatten.

Am 4. Oktober passiert die Erde wiederum die Ringebene zurück nach der beleuchteten Seite des Ringes hin und mehrere Tage hindurch war der Ring vollkommen linear. Die schwarzen Kondensationsstellen verschwanden zu einer Zeit, als sie am deutlichsten sich zeigen mußten, falls sie in der Tat noch waren auf dem Ringstium gewesen wären. Am 13. Oktober hatten sie begonnen wieder sichtbar zu sein, aber war in sehr geringer hellere Verdichtungen auf dem Ringe. Nach diesem Tage wurden sie mehr und mehr sichtbar, während die Erde sich über die nordliche Seite des Ringes erhob und dieser linear wurde. Im letzten Teile des November erhob sich die Erde etwa 1° über die Ringebene, während die Sonne etwa 2° nördlich von dieser Ebene stand.

Prof. Bernard erklärt die hellen Kondensationsstellen des Ringes und deren Sichtbarkeit in folgenden Worten.

Was im Juli, Oktober und November, als die Sonne auf der entgegengesetzten Seite des Ringes stand wie die Erde, wirklich sichtbar gewesen, war die schwach leuchtende Oberfläche des Ringes selbst unter sehr schrägem Winkel, als der Ringdurchmesser auf 1" oder weniger verkleinert war. Da diese Fläche sichtbar war ohne direkt von der Sonne beschienen zu sein, so könnte man zunächst daran denken sie zu selbstleuchtend, allein dieser Schluß wird durch ihre physikalischen Konditionen ausgeschlossen. Man weiß nun, daß der innere oder Capring transparent ist, so daß in seinem Schatten ein Satellit sichtbar bliebe wie der Fall des Saturnmondes Iapetus am 1. November 1889 beweisen hat, der beim Durchgang durch den Schatten des Caprings seine Helligkeit nur um etwa 1 Größenklasse verminderte. Auch der Planet Saturn selbst kann leicht durch den Capring gesehen werden, wenn die Ringebene wohl geöffnet ist. Diese Transparenz und die Dunkelheit des Caprings überhaupt ist, wie Barnard betont, zweifellos eine Folge des größten Abstandes, in welchem die Teilchen, welche den Ring bilden, voneinander sind. Die äußeren Ringe erscheinen hell, weil sie aus einer wohl größeren Anzahl kleiner Körperchen bestehen, die näher bei einander sind und die Sonnenstrahl reflektieren. Diese Ringe lassen keinen bemerkbaren Betrag von Sonnenlicht durchschauen, denn sie lagerten in ihren Schatten ist vollständig er füllt, doch beweisen das heißt diese Ringe durchaus wohl völlig undurchsichtig zu sein. Dies führt zu einer wahrscheinlichen Erklärung der Kondensationen, die auf der dunklen Ringseite wahrzunehmen wurden. Da der Capring transparent ist, so werden wir, wenn wir seine nicht von der Sonne beschiente Seite in sehr schräger Richtung betrachten, das dort noch schwach erleuchtet sehen und zwar infolge der Reflexion des Sonnenlichtes in der Richtung auf uns, die von den

kleinen Körperchen stammt aus denen er besteht. Infolge der intensiven Dämmerung des hellen Ringes, der weniger als 50 und vielfach weniger als 30 im Durchmesser ist, können die Partikelchen desselben keinen für das Sonnenlicht undurchdringlichen Schirm bilden, sondern die dunkle Seite muß schwach erleuchtet erscheinen.

Jeder Beobachter des Saturn an einem genügend kräftigen Teleskop weiß, daß das äußere Viertel des inneren hellen Ringes bei weitem der hellste Teil des ganzen Ringsystems ist und daß der innere Teil dieses Ringes ebenso hell ist als der äußere Ring, der gleichmäßig hell erscheint. Seit Juli 1907 hat Prof. Barnard die Position der hellen Kondensationen wiederholt mehrmals beobachtet, und es ist wichtig, zu ermitteln, wie dieselben auf der Projektion der Ringe fallen. Den Angaben auf Seite 68 und die Messungen der Größenverhältnisse des Saturn und seines Ringsystems, wie sie Prof. Barnard 1884—1885 ausführte, vorzuziehen und auf die mittlere Entfernung Saturns von der Sonne reduziert!

Ein Blick auf diese Zahlen zeigt sogleich, daß die äußeren hellen Kondensationen auf den hellsten Teil des inneren hellen Ringes fallen, von dem das äußere Viertel, wie schon erwähnt, den hellsten Teil des ganzen Ringsystems darstellt. Die inneren Kondensationen fallen anschließend auf den Capring, der aber aus den eben angegebenen Gründen damit nichts zu tun hat. Die Projektion des hellen Teiles des inneren Ringes ist in dieselbe Richtung wie der Capring und man kann daher schließen, daß die hellen Regionen des Ringes in ist auf welche wegen der beiden Kondensationen zurückgeführt werden muß. Ganz genau so verhält es sich mit der äußeren Kondensation auf dem Ringe. Dagegen ist nicht klar weshalb der Ring zwischen den beiden hellen Stellen diskontinuierlich erscheint; vielleicht spielt die Kollimation des Ringes in diesem Stellen eine Rolle.



denkplötzlich für das Sonnenlicht sind, und ist in Übereinstimmung mit den Ergebnissen über die physikalischen Eigenschaften dieser Ringe gemäß der Theorie von Clerk Maxwell und den spektroskopischen Untersuchungen Kollers. Die Frage nach der Dichte des Ring-systems ist bei dieser Gelegenheit auch weiter eine Sprache gekommen, da zur Beantwortung derselben sich infolge der Funktion des Pisanes auf der Anwendung der wichtigsten Teleskope eine günstigere Gelegenheit als jemals bisher darbot. Am 4. Oktober von 14<sup>h</sup> 30<sup>m</sup> bis 16<sup>h</sup> war der Ring im 40-

zölligen Refraktor als feiner, schwer erkennbarer Lichtbogen zu sehen. Als die Luft später ungünstiger wurde konnte Prof. Barnard ihn aus diesem Grunde nicht mehr erkennen. In der Nacht des 5. Oktober 16<sup>h</sup> 0<sup>m</sup> u. 21. von Greenwich war der Ring fast nicht sichtbar. Ob er trotz von dem 4. Oktober auch sichtbar war muß durch zukünftige Beobachtungen festgestellt werden. Daß der Ring glänzend sichtbar wird wenn er uns genau seine scharfe Kante zuwendet, läßt Prof. Barnard auf Grund seiner Beobachtungen für wahrscheinlich<sup>1)</sup>.

## Die Identität der Kometen 1807 II und 1742.

**B**ekannt Prof. Dr. Weiß hat der Wiener Akademie eine Abhandlung vorgelegt, in welcher er die Überzeugung der Identität der Kometen 1807 II mit demjenigen des Kometen 1742 ausdrückt.<sup>2)</sup>

Er bemerkt in dieser Abhandlung folgendes.

Schon die ersten Elemente des von J. Gauss am 8. April zu Thaurus auf Neu-Seeland und unabhängig von ihm am 14. April von Bessel in Madras entdeckten Kometen, den Bessel dann noch auf neuer Beobachtung am 13. April aufgenommenen Platte auffand, zeigten das in bedeutende Ähnlichkeit mit dem Elementen des Kometen 1742, daß sie auf eine längere Beziehung zwischen beiden Cometen hinweisen schienen. Das spanische Acad. Weiß rüchete zu untersuchen, ob die Beobachtungen des Kometen 1807 II sich auch durch die Ellipse von 165 Jahren Umlaufzeit wiedergeben lassen (große Halbachse  $a$  der Bahn = 381, was sich nicht nur als zulässig erweist, sondern auch das Resultat ergibt, daß die Bahn in der

That wirklich von einer Parabel abweicht. Eine infolgedessen auf den Kometen 1742 ausgeführte gleiche Untersuchung führt wieder zu dem Ergebnisse, daß auch dessen Beobachtungen sich in eine Ellipse von 165 Jahren Umlaufzeit fügen. Diese Ellipse (bei welcher die von der Lage der Aquinodien abhängigen Größen auf 1800,0 reduziert auch finden.

<sup>1)</sup> Über Ganges mag noch hinzugefügt werden, daß die letzten Komensandente auf dem als fest Lichtbogen erkennbaren Sonnenringe zuerst von Schaefer im Jahre 1774 gesehen worden sind. Auch fand derselbe bereits, daß die dem sichtbaren Lage gegen die Sonnenmitte nicht ändern, wenn er vollständig sichtbar, daß die Sonnenring nicht zeigte. Hierüber werden dagegen auf seinen Beobachtungen 1778 veröffentlicht zu können, daß die letzten Lichtbogen ihre Lage veränderen und selbst auf dem Sonnenringe der Kometen von 1795, fanden diese Wahrscheinlichen Hindeutungen auf und ebenso eine Bestätigung der Bestimmung der Hauptachse, schärfere Wahrscheinlichkeit nach nachfolgend, aber seine Bestätigung ist gut. Eine Erklärung der letzten Komensandente gab später Debris, welche im wesentlichen auf die Angaben von Prof. Barnard übernahm.

[K.]

<sup>2)</sup> Wiener Akademie, Auszüge 1848, S. 31.





legungen. In der<sup>1)</sup> Fortsetzung wurde eine vom Foucault dargelegte sogenannte Messer schneidermethode. Bei derselben führt man eine Messerschneide von der Seite an das im Brennpunkte des Objektives entstehende Bild einer punktförmigen leuchtenden Lichtquelle heran und beobachtet die hierdurch bewirkte Abbildung des Strahlenbündels durch das die Lichtquelle beherbergende Brennpunkt gebildete Auge. Ist das Objektive schief, verzerrt es also alle von der Lichtquelle kommenden Strahlen wieder in einem punktförmigen Bilde, so erblickt das in geringer Entfernung hinter diese Bild gebildete Auge die ganze Fläche des Objektives in gleichmäßigem Lichte leuchtend, und dieses Licht verschwindet ebenso gleichmäßig über die ganze Fläche, sobald das punktförmige Bild durch die Schneide bedeckt wird. Sind in dem Objektive jedoch unregelmäßige Stellen von abweichender Strahlenbrechung vorhanden, so werden die von diesen Stellen kommenden Strahlen entweder schon vor der Bedeckung des Hauptbildes durch die Schneide abgeschnitten und werden dann als dem Auge als dunkle Stellen auf der leuchtenden Objektfläche erkennbar, oder aber es werden jene unregelmäßig gebrochenen Strahlenbündel erst nach der Bedeckung des Hauptbildes von der Schneide erreicht, und in diesem Falle werden auch die betreffenden Stellen des Objektives als helle Flecken in der bereits durch die Schneideverdeckung dunkel gefärbten Messerschneidefläche sichtbar. Diese Foucaultsche Messerschneidemethode ist in vielen optischen Werkstätten eingeführt und bildet das wichtigste Hilfsmittel zur Feinverprüfung von Objektiven und Spiegeln. Zur Prüfung eines fertig montierten astronomischen Refraktors am Himmel ist ebenfalls früher jedoch auch bereits verwendet worden, was, wie Prof. Hartmann betont, seinen Grund wohl darin

hat, daß auch bei einer solchen Anwendung derselben in der Tat verschiedene Schwachheiten auftreten.

„Diese Schwachheiten“, sagt er, „liegen einerseits in der Unmöglichkeit, bei der Beobachtung am Himmel eine monochromatische Lichtquelle zu verwenden, anderseits in der durch die Luftstöße verursachten fortwährenden Bewegung des Bildes. Beides bewirkt, daß bei der astronomischen Anwendung der Foucaultschen Methode von einer scharfen Beobachtung eines punktförmigen Brennpunktes keine Rede sein kann. Trotzdem kann man aber, wie Prof. Hartmann gefunden hat, wenigstens größere Zerstörer eines Objektives auf diese Art leicht und ohne weitere Hilfsvorrichtungen erkennen. Es genügt zu diesem Zwecke, wenn man statt Entfernung des Objektives einen schiefenartigen Papier- oder Stannionschiff über der Öffnung des Objektives befestigt, letzteres so verschiebt, daß die Kante in die Bildbox fällt und man mittels der Fortbewegungen das Bild eines hellen Sterns an der Kante heran führt. Solange dieses Bild noch recht von der Kante entfernt ist, erblickt das in der Strahlenkegel, recht nahe an der Kante gehaltenes Auge die ganze Objektive gleichmäßig hell leuchtend. Wird aber der Strahlenkegel von der Kante zum Teil abgeschnitten, so zeigen sich auf dem Objektive helle und dunkle Stellen, die demselben ein eigenartiges zerstücktes Aussehen verleihen.“

Eine Zone des Objektives wie zu keiner Brennweite ergibt derselben Anblick, den die nach dem Rande des Objektives, also nach außen hin liegende Bouschung einer auf dem Objektive liegenden kreisförmigen Erbohlung zeigen würde, wenn man sie von der Seite, von welcher die Schneide herangeführt wurde, ganz schief beobachtet. Eine Zone zu großer Brennweite zeigt sich als die innere Bouschung eines Ringes, oder allgemein als die innere Abtheilung einer Vertiefung.

<sup>1)</sup> Vgl. Klap. Führer am Sternwandel (Leipzig, Verlag von E. H. Meyer) S. 27—30.

Paul Hartmann gibt die Erklärung dieser Erscheinung und gleichzeitig beschreibt er in einer der Königl. Preuß. Akademie der Wissenschaften vorgelegten Abhandlung eine von ihm ausgeführte Verbesserung des Foucaultschen Messerschneidemaschines, die von großer Bedeutung für die Untersuchung der Objektiv ist.<sup>1)</sup>

Er sagt darüber in der angeführten Abhandlung:

«Der zentrale auf das ausgehene Art am 80 cm Objektiv des Foucaults Refraktors angestellte Versuch konnte ich überraschender Ringwall vor einem Durchmesser gleich einem Drittel des Objektivdurchmessers erkennen, und dies bildete eine vollständige Bestätigung dessen, was ich schon früher durch die einseitigen Messungen wahrscheinlich gemacht hatte, das Objektiv hat nämlich in der Zone  $r = 12$  cm eine um etwa 2 mm zu kurze, weiter nach hinten bei  $r = 14$  cm dagegen eine zu große Brennweite. Eine genauere Beschreibung über die Gestalt des Objektivs wurde jedoch durch die oben erwähnten Schweregeleiten vollständig, das Bild war infolge des schwachen Spektrums stark gefärbt und wegen der Luftströmung sehr veränderlich. Da jedoch noch eine feine Struktur in der Oberfläche des Objektivs vorhanden zu sein schien, die sich nur wegen der steten Bewegung nicht mit Sicherheit feststellen ließ, so kam ich auf den Gedanken, das erwähnte Objektbild durch eine photographische Kamera anzufassen, denn Objektiv ein scharfes Bild des zu untersuchenden Objekts auf der photographischen Platte erzeugt. In der Tat wird ja hierdurch die Bewegung des Sternbildchens vollkommen ausschließend gemacht, sie bewirkt nur eine wechselnde Intensität in der Beleuchtung der einzelnen Teile des Bildes und trägt gerade hinreichend zu einer gleichmäßigen

Durchleuchtung der Abbildung der ganzen Objektfläche bei; der Farbenfehler verliert seinen störenden Einfluß dadurch, daß die photographische Platte für die roten und gelben Strahlen nicht empfindlich ist, während die photographisch wirksamen Strahlen kürzerer Wellenlänge durch das Objektiv gut vereinigt werden. Die Schwere war hierbei nicht vor dem Objektiv der an dem Glanzen des Refraktors im geschlossenen Kasten befestigt. Ich will diese Aufnahmen, bei denen je durch die Struktur des Fokus photographisch gekennzeichnet wird, als photographische Aufnahmen bezeichnen.

Das Ergebnis einer auf diese Art gemachten Aufnahme war ganz überraschend, denn diese Aufnahmen zeigten zwar bis dahin gänzlich unbekannten Bauelementen von Exzentrizität in der Gestalt des Objektivs. Paul Hartmann teilt er auf diese Weise erhaltenen photographischen Bild des 80 cm-Objektivs mit. «Auf diesem erkennt man nämlich einen in der Mitte der Linse liegenden Ringwall, der dem Bilde ein Abblättern auf einem der Rumpfbügel des Würfels, wenn es von links her beleuchtet ist, verleiht. Dieser Ringwall ist das Abbild des oben erwähnten Zonenfehlers. Zudem erkennt man auf der ganzen Oberfläche eine Art Netzwerk von sich gegenseitig durchschneidenden Kristallen, in denen man wohl eine Wirkung der optischen Bewegungen der Polarisatoren zu erblicken hat. Unregelmäßig verteilte hellen und dunklen Flecken deuten wohl durch geringfügige Unregelmäßigkeiten in der Glasmaße verursacht sein. Das letztere gilt insbesondere auch von dem in der rechten unteren Hälfte des Bildes zahlreich vorkommenden hakenförmigen, gelingenen Streifen, es sind dies sogenannte Wülste oder Fäden in der Glasmaße. Endlich fallen sich auch die wenigen im Glase vorhandenen Luftbläschen und Störungen als scharf begrenzte weiße Punkte abgebildet. Man erkennt deutlich, daß die Fäden auf

<sup>1)</sup> Sitz-Bericht d. Königl. Preuss. Akademie d. Wissenschaften 1897, S. 825 ff.

Luftlinien, bringen also keinen Einfluß auf die Glasdicke in ihrer Umgebung ausüben, so daß die eine für die Gitter des Bildes unsichtbar und — Prof. Hartmann betont, daß das 80 cm-Objektiv zwar nicht ganz ideal ist, doch schon recht gut ist und ziemlich scharfe Bilder gibt. Würde es der Optiker, was an der Hand des Pologramms man sehr schlecht ist, so bearbeiten, daß alle auch deutlich abgebildeten Unregelmäßigkeiten erheblich vermindert würden, so würde damit zweifel-

los die höchste Verwirklichung des Instrumenten-richtwerdens zum Schluß kommen, so daß Untersuchungen, die er an anderen Objektiven angestellt hat, wieder andern, doch im allgemeinen ähnliche Erscheinungen ergeben haben. Auch zur Untersuchung eines Spektroskopes ist das fotografische Verfahren ganz vorteilhaft geeignet, indem es liefert die Streuung Bild von der Wirklichkeit des ganzen optischen Systems gibt, worüber Prof. Hartmann später eingehender berichtet wird.

## Die heutigen Sternwarten, ihre Ausrüstungen und ihre Vorsteher.

(Schluß.)

**Stockholm (Schweden).** Sternwarte der Akademie der Wissenschaften.  
Geographische Breite  $59^{\circ}28'33.6''$  N.,  
Länge  $18^{\circ}12'19.09''$  E.  
Seehöhe 44 m.

Direktor: K. Bäckström, 3 Assistenten.  
Die Sternwarte ist 1745 gegründet worden und ihr erster Direktor war P. Wargentin. Sie besitzt einen Ertel-Repsoldischen Meridiankreis als Fernrohr von 110 mm Öffnung, ein Repsoldisches Äquatorial mit 190 mm Objektiv, sowie ein astrophotographisches Fernrohr mit 108 mm Öffnung.

**Stonyhurst (Lancashire, England).**  
Stonyhurst College Observatory.  
Geographische Breite  $51^{\circ}59'48''$  N.,  
Länge  $0^{\circ}6'52.68''$  W.

Seehöhe 170 m.  
Direktor: W. Stargerson, 3 J., 4 Assistenten.

Diese Sternwarte stammt aus dem Jahre 1858. Sie besitzt ein Äquatorial von 361 mm Öffnung, ein anderes von 303 mm und ein Meridian von 182 mm Öffnung, ein großes Spektrimeter, Meridiankreis usw.

**Strasbourg (Elsaß).** Kaiser Universitätssternwarte.  
Geographische Breite  $48^{\circ}39'03''$  N.,  
Länge  $0^{\circ}31'49.29''$  E.  
Seehöhe 144 m.

Direktor: E. Becker, 1 Observator, 3 Assistenten.

Der Bau dieser Sternwarte ist 1881 vollendet worden. Ihr erster Direktor war A. Willebrand. Sie besitzt einen Mer-Repsoldischen Meridiankreis von 457 mm Öffnung und 692 m Brennweite, einen Meridiankreis derselben Größe von 180 mm Öffnung, sowie, ebenfalls von diesem, ein Äquatorial von 136 mm Öffnung, einen Repsoldischen Refraktor von 182 mm Objektivdurchmesser, ein Fraunhoferches Heliometer mit 75 mm Objektiv, einen Meridiankreis von Cassini, zwei Meridianischen Koordinatenkreuzer mit 162 mm Objektiv, sowie zahlreiche andere Instrumente.

**Sydney (Australien).** Government Observatory.  
Geographische Breite  $33^{\circ}51'41''$  S.,  
Länge  $151^{\circ}4'49.16''$  E.  
Seehöhe 44 m.

Direktor: H. A. Leachman, Regierungsastronom, 2 Assistenten, 2 Techniker, 1 Photograph.

Die Sternwarte wurde 1877 erbaut und zwar zu Parramatta, 14 miß Meilen westlich von Sydney durch den damaligen Gouverneur Thomas Brisbane. Die heutigen Sternwarte stammt aus dem Jahre 1858. Hauptinstrumente sind: Ein Mer-

diometer von Troughton & Simms mit 152 mm Objektiv, ein Scheibchenes Aquatorial von 285 mm Öffnung, ein Gröbliches von 330 mm Öffnung und Marzschers Sechser von 127 mm Objektiv.

**Torshavn (Mensch.)** Observatorium National Museum.

Geographische Breite  $59^{\circ} 34' 11.5''$  N., Länge  $6^{\circ} 36' 46.6''$  W.

Seehöhe 2260 m.

**Director:** F. Vilk, 1 Subdirector, 3 Astronomen, 7 Assistenten, 12 Gehilfen, 1 Schüler.

Das Observatorium war 1878 zu Chapeltown errichtet, wurde aber 1883 nach seinem heutigen Platz verlegt. Es beschäftigt sich mit astronomischen, meteorologischen, magnetischen und chemischen Beobachtungen. Ein Meridiankreis von Troughton & Simms mit 300 mm Objektiv, 2 Äquatorale von Grubb mit 180 und 150 mm Öffnung, sowie ein photographischer Refraktor von Grubb mit 330 mm Objektiv, ein Photeliograph von 120 mm Öffnung und 18.6 m Brennweite sind die Hauptinstrumente.

**Traneurvik (Mensch.)** Privatobservatorium der Jomter.

Geographische Breite  $18^{\circ} 15' 2''$  S., Länge  $38^{\circ} 18' 40''$  E.

Seehöhe 1462 m.

**Director:** E. Colla, 5 J., 2 Assistenten.

Gründet 1886, wurde die Sternwarte im Kriege 1895 zerstört, aber 1896 wieder aufgebaut. Sie besitzt ein Äquatorial von Lick mit 120 mm Objektiv, ein Meridiantraverse von Baus, einen Photeliographen und kleinere Instrumente.

**Trabakant (Russisch-Turken.)**

Geographische Breite  $41^{\circ} 19' 31.4''$  N., Länge  $48^{\circ} 37' 59.62''$  E.

Seehöhe 497 m.

**Director:** M. Ossipov, 2 Assistenten, 1 Astrophysiker.

Gründet wurde dass Observatorium 1875. Hauptinstrumente desselben sind: Ein Meridiankreis von Repsold mit Focallänge von 120 mm Öff-

nung, ein Gröbliches Refraktor von 162 mm Objektiv, ein photographisches Äquatorial von 330 mm Öffnung mit einem Objektiv für doppelte Beobachtungen von 290 mm Öffnung.

**Trieste (Italien.)**

Geographische Breite  $42^{\circ} 58' 27''$  N., Länge  $6^{\circ} 58' 56''$  E.

Seehöhe 386 m.

**Rektor und Director:** Dr. V. Cerulli, 1 Assistent und Mechaniker.

Der Bau dieser Privatsternwarte wurde 1883 beendet. Hauptinstrument ist ein Cookecher Refraktor von 394 mm Öffnung, ein großes Sonnenprojektor mit 5 Fresnen von Browning, zwölf kleine Fernrohre.

**Tokyo (Japan.)**

Geographische Breite  $35^{\circ} 36' 25.6''$  N., Länge  $69^{\circ} 15' 52.22''$  E.

Seehöhe —.

**Director:** Prof. H. Tama, 1 Astronom, 3 Assistenten.

Die Sternwarte gehört zur Universität Tokio. Hauptinstrument ist ein Repsoldischer Meridiankreis mit 135 mm Objektiv. Die Sternwarte beschäftigt sich hauptsächlich mit Beobachtung der Heliographenstellungen.

**Toulon (Frankreich)** Observatorium der Universität.

Geographische Breite  $43^{\circ} 39' 45''$  N., Länge  $6^{\circ} 1' 46.9''$  E.

Seehöhe 194 m.

**Director:** meist, 3 Adjunkten, 2 Assistenten, 4 Richter, 6 Beamte zur Ausmessung des photographischen Äquatorals, 5 Gehilfen, 1 Mechaniker.

Die aus 1839 stammende alte Sternwarte hat verschiedene Schicksale gehabt, sie wurde 1873 unter F. Thiersse reorganisiert und mit modernen Instrumenten ausgestattet. Sie besitzt ein Teleskop mit 630 mm Spiegel Durchmesser, ein photographisches Äquatorial von 300 mm Öffnung und ein Meridiankreis von Grubb.

**Triest (Österreich.)** K. K. Meteor-Observatorium.

Geographische Breite  $45^{\circ} 38' 35.5''$  N., Länge  $6^{\circ} 55' 5.4''$  E.

Sechste 87 m.

Direktor: E. Hurdle, 1 Adjunkt,  
1 Assistent

Dieses Observatorium ist seit 1888  
selbständig. Es besitzt einen Refraktor  
von Reichardt mit 258 mm Objektiv  
und 35 m Brennweite und ein kleines  
Reichardtsmerkel.

Turin (Italien). Oss. reale del  
Palazzo Madama.

Geographische Breite  $45^{\circ}4'19''$  N.,  
Länge  $6^{\circ}38'41.21''$  E.

Sechste 276 m.

Direktor: Prof. G. Boccardi, 1 Adjunkt,  
2 Assistenten, 4 Assistenten, 1 Rechner,  
2 Gehilfen.

Das Sternwarte wurde 1791 von  
F. Boccardi gegründet und 1821 nach  
dem Palazzo Madama verlegt. Ihr da-  
maliger Direktor war J. Piazzi. Im Jahre  
1906 wurde der Bau eines neuen Ob-  
servatoriums zu Piazzi Torinese, 6 km  
von Turin, in 602 m Seehöhe be-  
gonnen. Am Instrumentarium besitzt das  
Observatorium einen Meridiankreis von  
Reichenbach, ein Meridian-Aquatorial  
von 350 mm Öffnung, einen kleinen  
Reichardtschen Refraktor und ein ringförmiges  
Meridianmerkel von Repsold.

Brüssel (Belgien). Observatoire royal de Belgique, Service  
astronomique.

Geographische Breite  $50^{\circ}47'55.5''$  N.,  
Länge  $4^{\circ}17'36.9''$  E.

Sechste 180 m.

Wissenschaftlicher Direktor: O. Lo-  
comte, 3 Astronomen, 5 Adjunkten, 5 Assi-  
stenten.

Die 1834 eröffnete alte Sternwarte  
in Brüssel wurde 1891 nach Uccle ver-  
legt. Im Jahre 1898 wurden die Ar-  
beiten des Observatoriums in zwei  
Klassen geteilt, eine astronomische  
und eine meteorologische. Haupt-  
instrumente der ersten sind: Ein Rep-  
sold'scher Meridiankreis, ein altes  
Gambey'sches Meridianinstrument, ein  
altes Haiden'sches, ein Aquatorial von  
Coste mit 360 mm Objektiv, ein Götting-  
isches photographisches Aquatorial von  
225 mm Öffnung, ein ähnliches von

Coste mit 300 mm Öffnung, ein  
spektroskopisches Aquatorial von 150 mm  
Objektdurchmesser.

Uppsala (Schweden). Astronomiska  
Observatoriet.

Geographische Breite  $59^{\circ}31'29.4''$  N.,  
Länge  $18^{\circ}10'30.25''$  E.

Sechste 21 m.

Direktor: N. G. Dunér, 1 Observa-  
tor, 1 Assistent.

Die alte Sternwarte wurde 1784  
von Cronius gegründet und lag im  
Zentrum der Stadt. Die heutige liegt  
westlich von Uppsala und ist 1853 unter  
Severin's Leitung erbaut worden. Im Jahre  
1892 erhielt sie eine vergrößerte Dach-  
kuppel zur Aufnahme eines photo-  
graphischen Refraktors von 350 mm  
Öffnung, dessen Montierung gleich-  
zeitig einen Refraktor von 360 mm Öff-  
nung für visuelle Beobachtungen trägt.  
Außerdem besitzt die Sternwarte Photo-  
meter, Spektralköpfe und Spektrographen  
(Merkel (Niederlande), Sternwarte  
der Universität).

Geographische Breite  $52^{\circ}5'5.5''$  N.,  
Länge  $18^{\circ}39'30.95''$  E.

Sechste 13 m.

Direktor: Prof. Dr. A. A. Nijland,  
1 Observator, 1 Gehilfe.

Die Sternwarte stammt aus dem  
Jahre 1853. Sie besitzt ein Aquatorial  
von 350 mm und ein anderes von  
115 mm Öffnung.

Valkenburg (Niederlande). Stern-  
warte der Ignatius-Kolleg.

Geographische Breite  $54^{\circ}52'39.3''$  N.,  
Länge  $6^{\circ}21'30.25''$  E.

Sechste —

Direktor: M. Eick, 1 Assistent.

Die Sternwarte ist 1876 gegründet  
worden, und ihr erster Direktor war  
P. J. Hagen. Sie besitzt ein Instru-  
menten eines Refraktors von 250 mm  
Öffnung, einen Fraunhofer'schen Daliy's von  
132 mm Öffnung, ein photographisches  
Prismen von 80 mm Öffnung und  
andere Instrumente.

Washington (N. A.) United States  
naval Observatory.

Geographische Breite  $38^{\circ}55'14.9''$  N.,

Länge  $54^{\circ} 8' = 1578^{\circ} W$

Seehöhe 62 m.

Director: E. Wallen, 7 Gelehrte,  
100000, 6 Astronomen, 9 Beobachter.

Das Nival-Observatorium zu Washington wurde 1883 im 1884 eröffnet unter Meridionalinst. J. M. Gillis. Erster Direktor war F. M. Maury. Im Jahre 1895 wurde es nach seinem jetzigen Orte, auf die Höhen von Georgetown, verlegt. Hauptinstrumente sind: Ein Clark'scher Refraktor von 660 mm Öffnung mit Montierung von Warner & Swasey, ein Clark'sches Äquatorial von 300 mm Öffnung mit Montierung von Saganoffler, ein photographisches Äquatorial von 152 mm Öffnung, ein Meridionalinst. von Fodor & Hertel mit 228 mm Objektiv, ein Photoklinograph von 152 mm Öffnung, daneben zahlreiche andere Instrumente.

Washington (N. A.) Georgetown College Observatory.

Geographische Breite  $38^{\circ} 54' 35.7'' N$ ,  
Länge  $77^{\circ} 5' = 1520^{\circ} W$ .

Seehöhe —.

Director: J. T. Hadrik, S. J., 1 Astronom.

Das Observatorium stammte aus 1845 und diente nur zu Unterrichtszwecken, erst 1888 unter P. Hagen wurde es zu einer selbständig arbeitenden Sternwarte erhoben. Es besitzt ein Äquatorial von 305 mm Öffnung und 4.34 m Brennweite, ein anderes von 123 mm Öffnung, ein Meridionalinst. mit 115 mm Objektiv sowie mehrere photographische Apparate.

Warschau (Russland) Sternwarte der Kaiserlichen Universität.

Geographische Breite  $52^{\circ} 13' 57'' N$ ,  
Länge  $1^{\circ} 54' = 131^{\circ} E$ .

Seehöhe 110 m.

Director: Prof. Dr. A. W. Kresow, 1 Astronom, 1 Adjunkt, 1 Meteorologe.

Die Sternwarte wurde 1820 gegründet und 1873 der Universität angeschlossen. Ihr Hauptinstrument ist ein Meridionalinst. von Ersl mit 155 mm Objektiv.

Wien. K. K. Universitäts-Sternwarte.  
Geographische Breite  $48^{\circ} 13' 55.4'' N$ .

Länge  $1^{\circ} 5' = 21^{\circ} 0'' E$ .

Seehöhe 240 m.

Director: Prof. E. Wolf, 3 Adjunkt-astronomen, 2 Astronomen.

Im Jahre 1785 wurde in Wien eine Universitäts-Sternwarte gegründet, deren erster Direktor P. Max Hell war. Unter J. J. v. Littrow ist diese Sternwarte 1819 vergrößert worden. Auch diese Warte blieb bald hinter den Anforderungen der Zeit zurück, und nach langen Verhandlungen kam es Ende der sechziger Jahre des vorigen Jahrhunderts zur Errichtung einer modernen Sternwarte auf der sog. Tabaksmühle, 3 km von Wien. Hauptinstrumente sind: Ein Refraktor von Ersl mit 660 mm Objektiv und 18 m Brennweite, ein Clark'scher Refraktor von 300 mm Öffnung, ein Äquatorial erde mit Objektiv von 363 mm, ein photographisches Fernrohr von Reiss mit 120 mm Öffnung.

Williams Bay (Wisconsin, N. A.) Yerkes Observatory of the University of Chicago.

Geographische Breite  $42^{\circ} 04' 13.84'' N$ ,  
Länge  $7^{\circ} 54' = 1324^{\circ} W$ .

Seehöhe 335 m.

Director: E. B. Frost, Astronom: 3 W., Barstien, E. E. Sanford, 1 Adjunkt Astronom, 1 Schriftf., 4 Assistenten, 2 Beobachter, 5 Gehilfen.

Im Jahre 1882 wurde der Bau dieser Sternwarte begonnen und 1897 deren Fertigstellung. C. T. Yerkes machte sie der Universität in Chicago zum Geschenk. Hauptinstrument ist der große Clark'sche Refraktor von 102 mm Öffnung, daneben ist der Refraktor mit 305 mm Objektiv vorhanden, sowie ein Spiegelteleskop von 660 mm Durchmesser, ferner ein photographischer Doppelrefraktor von 254 mm Öffnung, ein großer Spiegelklinograph, Sonnen- und Stereoklinographen und andere Instrumente.

26-Si (bei Shanghai, China). Observatorium der Jesuiten.

Geographische Breite  $31^{\circ} 9' 47.7''$  N.,  
Länge  $14^{\circ} 4' 44.7''$  E.  
Seehöhe 180 m.

Direktor: 3 Chevenet, 8 J., 3 Assistenten, 6 chinesische Richter.

Die Sternwarte bildet die astronomische Station des Observatoriums von Zi-Kai-wei, sie wurde 1889 begonnen und 1901 vollendet. Hauptinstrument ist ein Doppelteleskop mit photographischen und direkten Beobachtungen mit Objektiven von 400 mm Öffnung und 4.9 m Brennweite, daneben ein kleines Meridiankreis und andere Instrumente.

Zürich. Sternwarte des eidgenössischen Polytechnikums.

Geographische Breite  $47^{\circ} 22' 36.1''$  N.,  
Länge  $9^{\circ} 34' 12.5''$  E.  
Seehöhe 578 m.

Direktor: A. Wölfer, 2 Assistenten.

Die Sternwarte wurde in den Jahren 1880 bis 1884 errichtet und ihr erster Direktor war R. Wolf (bis 1904). Sie besitzt im Instrumentenraum einen Refraktor von 160 mm Öffnung und 2.6 m Brennweite, mit 3 photographischen Fernrohren, die an der nördlichen Mauer angebracht sind, ferner einen Meridiankreis von Kewen, einen azimutalen von Ertel, einen kleinen Fraunhoferischen Refraktor von 80 mm Öffnung, ein Universalinstrument von Bauschings.

## Vermischte Nachrichten.

Die Veränderlichkeit der Wellenlänge der Spektrallinien.  
Die Frage, ob diese Wellenlängen unveränderlich sind, oder ob sie abhängen von der Art und Weise der Entstehung des Spektrums, oder ob die Dichte des Gases einen Einfluss darauf hat, ist für die astrophysikalische Forschung von hundertfacher Bedeutung. Prof. Kayser hat sich darüber im Astrophysikalischen Journal ausführlich geäußert. Er ist der Überzeugung, daß die Unterschiede in den Wellenlängen der natürlichen Linien, welche in den Bestimmungen verschiedener Beobachter zutage treten, in den Abweichungen der Annahmen über die Wellenlängen der Normallinien, von denen sie ausgehen, zu suchen sind. Nach den Mitteilungen von Prof. Aron hat De Pfund in seinem Laboratorium höchst genaue Untersuchungen angestellt, aus denen sich ergibt, daß die Wellenlängen der Spektrallinien unabhängig die nämlichen sind, mag es sich um die Spectra, die durch den elektrischen Funken erzeugt wird, handeln, oder um die solchen durch Licht des elektrischen Bogens, bei atmosphärischem Druck oder im luftleeren Raume, von reinen

Metallen oder von Metallgemischen. Prof. Fabry ist zu den gleichen Ergebnissen gekommen. Prof. Kayser stellt die Frage für erledigt im Sinne der Konstanz der Wellenlängen.

Das Fehlen von großen Gebirgs-erhebungen auf dem Mars wird von Prof. J. J. See (in den Astron. Nachrichten) in folgender Weise erklärt:

«Das Studium des Planeten Mars gibt uns hinreichende Beweise, daß der Planet keine Berge besitzt, die denen der Erde vergleichbar sind. Es entsteht daraus die natürliche Frage: warum sind auf dem Mars nicht Berge gekornet ebenso wie auf unserem eigenen Planeten? In den Abhandlungen, die neuerdings der American Philosophical Society in Philadelphia vorgelegt wurden sind, und von denen zwei in den «Proceedings» 1906 und besonders 1907 veröffentlicht worden sind, hat der Verfasser nachgewiesen, daß die Berge gekornet worden sind durch Ausstoßen von Lava unterhalb des Meeres, hervorgebracht durch die Anhäufung von Dampf unterhalb der Erdoberfläche infolge des hundertjährigen Lockens des Meeresbodens. Die Wirkung ist natür-

lich am größten in der Nähe der tiefen See wegen des großen Füllungsdruckes des Ozeans, und so ist rings um die Ränder solcher Ozeane, die die großen Kettenberge umfassen, vorhanden. Auf einem wüsten Planeten wie dem Mars, der weder große noch tiefe Meere besitzt, werden aus Gestein Gebirge vorzustülzen, welche ansonsten leichtwerden nicht Platz finden würde, wie auf der Erde. Und wenn die Gebirgsformationen nicht fortwährend würden, wäre der Planet umgeben von Bergeiden.

Es ist richtig, daß der Mars gegenwärtig Gebirge besitzt ohne irgendwelches Wasser, aber das hat seinen Grund in dem Umstande, daß das Wasser ehemals von dem Monde in den Raum verschwand ist, wenn die schwache Anziehungskraft unserer Sonne die Schuld trägt, die unfähig ist, die Moleküle des Wasserdampfes zurückzuhalten. Die Menge des Wassers, das einst auf dem Monde sehr reichlich vorhanden gewesen sein mag, und die Gebirgsbildung auf unserem Planeten daraus aus gleicher Ursache Entwicklung. Wie dem auch sei, bezügl. des Mars, der Planet ist wahrscheinlich klug, das größte Teil seines Wasserdampfes zurückzuhalten, aber die Mengen des Wassers sind so klein, daß die Wirkung auf die Gebirgsbildung ungenügend ist.

Da diese Deutung des Fehlens von hohen Gebirgen auf dem Mars selbst nur auf einer hypothetischen Voraussetzung (über die Ursache der Gebirgsbildung) beruht, so bleibt sie natürlich ebenfalls problematisch.

**Angestrichener neuer Ring des Saturns.** R. Jarry-Deklogie in Harvard (45° 41' n. Br. und 3° 28' 4" ö. L.) befragt im Bulletin der französischen Astronomischen Gesellschaft, unter sehr günstigen atmosphärischen Verhältnissen einen beobachtet nach anhaltenden Aufwinden durchdringenden und leuchtenden Ring des Saturns als Vorhangsring oder Umhüllung

des bekannten Ringes gesehen zu haben. Am 6. September soll dieser Ring nur vermisst aber am 7. September deutlich erkannt worden. Besonders auf der linken Seite sowie etwas unterhalb des bekannten Ringes und besonders an dessen äußerem Ende sei er sichtbar gewesen. Am 11. September, bei wenig guter Luft, konnte der neue Ring nicht erkannt werden. Über das beobachtete Instrument sagt der Beobachter nichts, obwohl doch vor allen Dingen wichtig wäre etwas über die Kraft des benutzten Teleskops zu wissen. Da der Saturnring mit dem letzten Herbst vielfach und besonders in America viel großen Teleskopen beobachtet worden ist, ist es sehr zu bedauern, daß von diesem Beobachter eine Spur des angeblichen Ringes bemerkt wurde, so scheint die Entdeckung von Jarry-Deklogie auf Täuschung zu beruhen.

Der Komat 1907 d ist von Mitte Juni bis gegen Ende August von Dr. C. W. Wirtz am 16-zelligen Refraktor der Straßburger Sternwarte beobachtet worden. Dieser Komat erreichte eine solche Helligkeit (für das bloße Auge gleich der eines Sterns 3-5 Größe), daß sich daraus ziemlich viel Detail herausbringen ließ. Nach dem Besuche des genannten Beobachters\*) läßt im Verlaufe der ganzen Beobachtungszeit die Komat des Komatens lebend verwunden und struktural, während die kleine Komatendecke zwei eine scharfe Grenz gegen die Komat aufwies, aber keinen eindeutigen Eindruck erweckte, sondern einem Komplemente dicht aneinander gesetzter Körner gleich, das auch in der Mitte keine Aufhellung voran. August 14 erlosch die sehr rindliche Komatendecke etwas goldgelb (Länge und Breite im Verhältnis 3:20 und August 28 und 29 fiel ihm dunkelgelbe Farbe auf. Der scheinbare Durchmesser der Komat betrug am 16 Juni 0", am 18 Juli 9" am 14 August 17". Der wahre Durchmesser des Komat war

\*) A. Auer, Nachrichten Nr. 428



am 18. Juli 1910 km, am 8. August 2180 km, am 28. August 2370 km. Der Schwanz, dem anfangs (Juni 10, 17) nur in der der Sonne abgewandten Richtung sich erstreckende Schweifhaare andeuteten, entwickelte sich später so bestimmt und hell, daß man die leicht mit bloßem Auge wahrnehmen konnte. Er war völlig gerade und schmal, hinter dem Kern traten die Linien gleicher Helligkeit zusammen und bildeten mit der Kernspitze eine charakteristische Figur: Eine kurze Ausbuchtung zur Sonne hin war an den Tagen erkennbar.

**Alkor.** Auf der Vorlesungswarte und mit dem vorigen Hefste spektroskopische Aufnahmen dieses Sterns veröffentlicht wurden, die zu einem sehr merkwürdigen Ergebnisse führten, über welches Prof. Edwin S. Frost eine vollständige Mitteilung macht.<sup>1)</sup> Es wurden im Anfang Februar 1908 25 Platten erhalten, von denen jede etwa 22 Minuten exponiert worden ist. Die Untersuchung derselben ergab, daß das Spektrum sehr merkwürdige Veränderungen zeigt, indem die Magnetfeldlinie von der Wellenlänge 7441 und ebenso die Wasserstofflinien überaus stark dupliert und einfach auftreten; wozu also kein Zweifel darüber bestehen kann, daß Alkor ein spektroskopischer Doppelstern ist. Die Veränderungen im Aussehen der Linien folgten einander so nach, daß Prof. Frost notwendig fand, während einiger Stunden Spektroskopieren in kontinuierlicher Reihenfolge aufzunehmen. Aus denselben ergibt sich, daß die Periode ganz unregelmäßig ist, aber es sind noch viele Spektrogramme aufzunehmen, ehe über die Dauer der Periode etwas Gewisses gesagt werden kann. Da Alkor ein Muster ein physisches Doppelsystem bildet, weiß er mit diesem die gleiche Eigenbewegung am Himmel zeigt, so hat man also in Alkor einen der merkwürdigsten Sterne des Himmels vor

sich, indem derselbe nicht nur ein spektroskopischer Doppelstern ist, sondern auch einen direkt am Fernrohr sichtbaren Begleiter zeigt und endlich mit Alkor physisch verbunden ist, der sich nun selbst als spektroskopischer Doppelstern erweist hat.

Das Kopernikus-Denkmal soll in Alkantara errichtet werden zur Erinnerung daran, daß der Begründer des Kopernikanischen Systems mehrere Jahre seines wechselvollen Lebens dort zugebracht hat. Von 1507 bis 1512 verweilte er des unregelmäßigen Landgutes des Domstiftes mit dem Schloß in Alkantara. Das Alkantaraer Denkmal wird Professor Johannes Güte-Friedman ausführen. Nach der Skizze erscheint die Säule des großen Fensters als Mittelpunkt einer Brunnenanlage. Das Ganze ist in Mauerwerk gefaßt, die Säule in Bronze. Thors, der Vaterstadt des Kopernikus, wo er 1473 geboren wurde, besitzt ein von Tisch geschaffenes Denkmal. In Warschau steht ein Monument von der Hand Thorwaldsens.

**„Aster“-Astronomie.** Von befreundeter Seite ist uns folgendes eingekandt worden: „Ein Herr in Berlin, der von Astronomie wenig versteht wie sich jeder Schandluder eines Gymnasiums in wenigen Wochen aneignet, und zufällig bei einem unheilbaren Verringer Reduktion geworden, legte Wert darauf, daß man ihn nicht als Redakteur, sondern — als Astronom bezeichne, weil er vorhin als Diner in einem astronomischen Observatorium präsent war, wie man die Frontiere einsteigt und einige Schrauben dreht. Es liegt ihm, daß dieser angebliche Herrsch, der nicht einmal die Wissenschaft der Volksschule beherrscht, einige von Universalienvorlesungen erhalte und dann sogar einen Lufthaus der Himmelskunde sei. Im Auftrage eines unheilbaren Verringer. In dieser Himmelskunde läßt der Herr Astronom öffentlich nach die Sonne um die Erde

<sup>1)</sup> A. N. Nachrichten Nr. 4295

dreien, wie es vor Kopernikus' Zeiten geglaubt wurde. Abschreiben kann jeder, aber an den stürmischen Ungehörlichkeiten und den Vorwürfen gegen die dienstversteht Mathematikkenman wenigstens feststellen, ob einer sich Astronomie nennen darf, der nicht im geringsten den Voraussetzungen entspricht, die man bei uns mit dem Begriff eines Astronomen verbindet.

Schweinfelder seien also darauf aufmerksam gemacht, daß Astronomie ein leicht betrügerischer Beruf ist, er gehört nicht viel dazu, in einigen Wochen schnell zusammenzulegen, um vor Unkundigen mit astronomischen Kenntnissen und Anhängen zu prahlen. Vor einigen Jahren habe ein mir bekannter Astronom einen Streit gegen einen solchen Astro-Astronomen und Astro-Betrüger, eine zweite Nummer zu der oben genannten, auszufechten. Der Mann war ebenfalls Diner an zwei Privatsternwerke gewesen und hatte nach dem Tode des Besitzers die Witwe geheiratet. Er veröffentlichte die populäre und schändliche Schriftleitung, wie hand es schwandeln, noch die ich von den nächsten Umständen weiß und war später gar nicht übermüde, als ich selbst, durch Frau zum Sternwartenbesitzer gewordene Mann crünte Aufbruch zu Sammlungen für seine eigene, aber den Namen des früheren Besitzers ungenau Sternwerke! Das spendende Publikum ohne nicht, daß dieser Herr Astronom in seine eigene Tasche sammelt! Die Spende großer Geldsummen für wissenschaftliche Zwecke werden sich ganz, wo es die Astronomie zu unterstützen gilt, und es gibt außer den hier vorgelagerten zwei Fällen von sehr selbstverpflichtenden Astronomen noch drei driten, der aber hier überzugehen soll mag, es genüge, wenn der Leser erfüllt, daß auch mit schweben nur den höchsten Klippen regelgerechten Gebieten

sich Leute eindringen und von Unkundigen Astronomen nennen lassen.

Jährlang haben naturwissenschaftliche Spezialwissenschaftler von einer heutigen Verringerung der Erde oder eines Zusammenstoß unserer Kugel mit einem anderen Weltkörper geredet und die Leute geglaubt. Aber die Entdeckung von Pol zu Pol ist nicht eine so große und so wahrscheinlich handgreifliche Gefahr wie der Schwendelstumpf, in welchem allmählich die ganze Kultur langsam, unmerklich, unauffällig zu versinken droht.

Beobachtung eines lichtschwachen, bewegten Objektes in der Nähe des Jupiters. Auf der Sternwarte zu Göttingen wurde am 26. Februar mit Hilfe beim Jupiter ein Objekt von auffallend planetarischer Natur photographiert, von dem sich ergab, daß es sich schon auf einer Reihe früher erhaltenen Platten, bis zum 27. Januar sichtbar ist. Deswegen hat vorläufig die Bezeichnung 1908-CJ erhalten, da es zunächst noch zweifelhaft bleibt, ob es sich um einen neuen Planeten oder einen aktiven Trabanten des Jupiter handelt. Am 5. März ist das Objekt auch auf der Licksternwarte photographisch gefunden, sowie ein Bild von großer Belichtung als Sternchen 15. Größe gesehen worden.<sup>1)</sup>

Fernrohr für Freunde der Himmelsbeobachtung. Aus dem Laboratorium des -Streu- und nur rechtens größten und können sehr gut erhalten Fernrohr zum Verkauf angeboten worden. Freunde der Himmelsbeobachtung, welche die Anschaffung eines solchen Instrumentes beabsichtigen, und sich derselben an mich wenden, die ich zu jeder gewünschten Auskunft gern bereit. Prof. Dr. Klein.

<sup>1)</sup> Astron. Nachr. Nr. 4298

Astronomischer Kalender für den Monat  
Juni 1908.

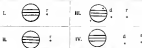
		Name		Maid	
		Maiden Earliest Mating		Maiden Earliest Mating	
Age	Sex	Range	Earliest	Earliest	Earliest
		M.E.—W.T.	Earliest	Earliest	Earliest
1	—	100 100	100 100	100 100	100 100
2	—	100 100	100 100	100 100	100 100
3	—	100 100	100 100	100 100	100 100
4	—	100 100	100 100	100 100	100 100
5	—	100 100	100 100	100 100	100 100
6	—	100 100	100 100	100 100	100 100
7	—	100 100	100 100	100 100	100 100
8	—	100 100	100 100	100 100	100 100
9	—	100 100	100 100	100 100	100 100
10	—	100 100	100 100	100 100	100 100
11	—	100 100	100 100	100 100	100 100
12	—	100 100	100 100	100 100	100 100
13	—	100 100	100 100	100 100	100 100
14	—	100 100	100 100	100 100	100 100
15	—	100 100	100 100	100 100	100 100
16	—	100 100	100 100	100 100	100 100
17	—	100 100	100 100	100 100	100 100
18	—	100 100	100 100	100 100	100 100
19	—	100 100	100 100	100 100	100 100
20	—	100 100	100 100	100 100	100 100
21	—	100 100	100 100	100 100	100 100
22	—	100 100	100 100	100 100	100 100
23	—	100 100	100 100	100 100	100 100
24	—	100 100	100 100	100 100	100 100
25	—	100 100	100 100	100 100	100 100
26	—	100 100	100 100	100 100	100 100
27	—	100 100	100 100	100 100	100 100
28	—	100 100	100 100	100 100	100 100
29	—	100 100	100 100	100 100	100 100
30	—	100 100	100 100	100 100	100 100
31	—	100 100	100 100	100 100	100 100
32	—	100 100	100 100	100 100	100 100
33	—	100 100	100 100	100 100	100 100
34	—	100 100	100 100	100 100	100 100
35	—	100 100	100 100	100 100	100 100
36	—	100 100	100 100	100 100	100 100
37	—	100 100	100 100	100 100	100 100
38	—	100 100	100 100	100 100	100 100
39	—	100 100	100 100	100 100	100 100
40	—	100 100	100 100	100 100	100 100
41	—	100 100	100 100	100 100	100 100
42	—	100 100	100 100	100 100	100 100
43	—	100 100	100 100	100 100	100 100
44	—	100 100	100 100	100 100	100 100
45	—	100 100	100 100	100 100	100 100

**Abstract**

[illegible]



Stellungen der Jupitermonde im Juni 1904.



Beobachtet am 17. Juni für die Zeit der mittleren Sonnenzeit.

Tag	West	Ost
1	3 3' 15" 0	
2	4 3' 15" 0	1
3	5 3' 15" 0	2
4	6 3' 15" 0	3
5	7 3' 15" 0	4
6	8 3' 15" 0	5
7	9 3' 15" 0	6
8	10 3' 15" 0	7
9	11 3' 15" 0	8
10	12 3' 15" 0	9
11	13 3' 15" 0	10
12	14 3' 15" 0	11
13	15 3' 15" 0	12
14	16 3' 15" 0	13
15	17 3' 15" 0	14
16	18 3' 15" 0	15
17	19 3' 15" 0	16
18	20 3' 15" 0	17
19	21 3' 15" 0	18
20	22 3' 15" 0	19
21	23 3' 15" 0	20
22	24 3' 15" 0	21
23	25 3' 15" 0	22
24	26 3' 15" 0	23
25	27 3' 15" 0	24
26	28 3' 15" 0	25
27	29 3' 15" 0	26
28	30 3' 15" 0	27
29	31 3' 15" 0	28
30	32 3' 15" 0	29

**Ercheinungen der Jupitermonde.** Die sündlichen Angaben über die Ercheinungen der Jupitermonde beschränken sich auf mehrere Zeit von Gesezwach. Die Teleskope sind der Rechenfolge ihres Abstandes vom Jupiter nach und i von IV beschränkt. Die von geteuten Figuren zeigen die Stellung jedes Mondes zum Ring und des Jupiter bei der Angabheit der Verleinerung (d) oder des Wiedererscheitens (v) bei r nicht angegeben, so kann der Ansicht aus dem Schalten nicht beobachtet werden. Ferner bedeutet bei den nachfolgenden Zeitangaben:

- Es D des Verschwindens des Teleskopes im Schatten des Jupiter
- Es R des Austritts des Teleskopes aus dem Schatten des Jupiter
- Co D des Verschwindens des Teleskopes hinter der Jupitersehne
- Co R des Wiedererscheitens sündlich neben der Jupitersehne
- Tr I des Eintritts des Teleskopes von der Jupitersehne
- Tr E des Austritts des Teleskopes aus der Jupitersehne
- St I des Eintritts des Teleskopverschaltens auf die Jupitersehne
- St E des Austritts des Teleskopverschaltens aus der Jupitersehne

Es sind nur diejenigen Ercheinungen der Jupitermonde aufgeführt, welche sich ereignen, wenn Jupiter im Gesezwach über und die Sonne unter dem Horizont steht. Um die Momente dieser Ercheinungen nach mitteleuropäischer Zeit zu finden, hat man nur nötig, 1<sup>h</sup> zu den angegebenen Zeitposition zu addieren

Juni 1. IV Tr E. 11<sup>h</sup> 41<sup>m</sup>. Juni 2. I Co. D. 10<sup>h</sup> 10<sup>m</sup>. Juni 3. II Tr. I 10<sup>h</sup> 10<sup>m</sup>. I St. I 10<sup>h</sup> 10<sup>m</sup>. I Tr E. 10<sup>h</sup> 12<sup>m</sup>. II St. I 10<sup>h</sup> 10<sup>m</sup>. I St. E. 11<sup>h</sup> 41<sup>m</sup>. Juni 4. I Co R. 11<sup>h</sup> 41<sup>m</sup>. Juni 5. II Es R. 11<sup>h</sup> 41<sup>m</sup>. II Tr E. 11<sup>h</sup> 41<sup>m</sup>. II St. I 10<sup>h</sup> 10<sup>m</sup>. Juni 6. I Tr. I 10<sup>h</sup> 10<sup>m</sup>. I St. I 10<sup>h</sup> 10<sup>m</sup>. Juni 7. I Co. R. 11<sup>h</sup> 41<sup>m</sup>. Juni 8. I Co. D. 10<sup>h</sup> 10<sup>m</sup>. Juni 9. I Tr E. 10<sup>h</sup> 12<sup>m</sup>. I St. I 10<sup>h</sup> 10<sup>m</sup>. Juni 10. I Tr. I 10<sup>h</sup> 10<sup>m</sup>. I St. I 10<sup>h</sup> 10<sup>m</sup>. Juni 11. I Co. R. 11<sup>h</sup> 41<sup>m</sup>. Juni 12. I Co. D. 10<sup>h</sup> 10<sup>m</sup>. Juni 13. I Tr E. 10<sup>h</sup> 12<sup>m</sup>. I St. I 10<sup>h</sup> 10<sup>m</sup>. Juni 14. I Tr. I 10<sup>h</sup> 10<sup>m</sup>. I St. I 10<sup>h</sup> 10<sup>m</sup>. Juni 15. I Co. R. 11<sup>h</sup> 41<sup>m</sup>. Juni 16. I Co. D. 10<sup>h</sup> 10<sup>m</sup>. Juni 17. I Tr E. 10<sup>h</sup> 12<sup>m</sup>. I St. I 10<sup>h</sup> 10<sup>m</sup>. Juni 18. I Tr. I 10<sup>h</sup> 10<sup>m</sup>. I St. I 10<sup>h</sup> 10<sup>m</sup>. Juni 19. I Co. R. 11<sup>h</sup> 41<sup>m</sup>. Juni 20. I Co. D. 10<sup>h</sup> 10<sup>m</sup>. Juni 21. I Tr E. 10<sup>h</sup> 12<sup>m</sup>. I St. I 10<sup>h</sup> 10<sup>m</sup>. Juni 22. I Tr. I 10<sup>h</sup> 10<sup>m</sup>. I St. I 10<sup>h</sup> 10<sup>m</sup>. Juni 23. I Co. R. 11<sup>h</sup> 41<sup>m</sup>. Juni 24. I Co. D. 10<sup>h</sup> 10<sup>m</sup>. Juni 25. I Tr E. 10<sup>h</sup> 12<sup>m</sup>. I St. I 10<sup>h</sup> 10<sup>m</sup>. Juni 26. I Tr. I 10<sup>h</sup> 10<sup>m</sup>. I St. I 10<sup>h</sup> 10<sup>m</sup>. Juni 27. I Co. R. 11<sup>h</sup> 41<sup>m</sup>. Juni 28. I Co. D. 10<sup>h</sup> 10<sup>m</sup>. Juni 29. I Tr E. 10<sup>h</sup> 12<sup>m</sup>. I St. I 10<sup>h</sup> 10<sup>m</sup>. Juni 30. I Tr. I 10<sup>h</sup> 10<sup>m</sup>. I St. I 10<sup>h</sup> 10<sup>m</sup>.

## Stellungen der Saturnmonde. (Zirkelung S 20)

Zeiten der sündlichen Elongationen im Juni 1900

**Tethys.** Juni 3. 11<sup>h</sup> 10<sup>m</sup>; Juni 4. 11<sup>h</sup> 10<sup>m</sup>; Juni 5. 11<sup>h</sup> 10<sup>m</sup>; Juni 6. 11<sup>h</sup> 10<sup>m</sup>; Juni 7. 11<sup>h</sup> 10<sup>m</sup>; Juni 8. 11<sup>h</sup> 10<sup>m</sup>; Juni 9. 11<sup>h</sup> 10<sup>m</sup>; Juni 10. 11<sup>h</sup> 10<sup>m</sup>; Juni 11. 11<sup>h</sup> 10<sup>m</sup>; Juni 12. 11<sup>h</sup> 10<sup>m</sup>; Juni 13. 11<sup>h</sup> 10<sup>m</sup>; Juni 14. 11<sup>h</sup> 10<sup>m</sup>; Juni 15. 11<sup>h</sup> 10<sup>m</sup>; Juni 16. 11<sup>h</sup> 10<sup>m</sup>; Juni 17. 11<sup>h</sup> 10<sup>m</sup>; Juni 18. 11<sup>h</sup> 10<sup>m</sup>; Juni 19. 11<sup>h</sup> 10<sup>m</sup>; Juni 20. 11<sup>h</sup> 10<sup>m</sup>; Juni 21. 11<sup>h</sup> 10<sup>m</sup>; Juni 22. 11<sup>h</sup> 10<sup>m</sup>; Juni 23. 11<sup>h</sup> 10<sup>m</sup>; Juni 24. 11<sup>h</sup> 10<sup>m</sup>; Juni 25. 11<sup>h</sup> 10<sup>m</sup>; Juni 26. 11<sup>h</sup> 10<sup>m</sup>; Juni 27. 11<sup>h</sup> 10<sup>m</sup>; Juni 28. 11<sup>h</sup> 10<sup>m</sup>; Juni 29. 11<sup>h</sup> 10<sup>m</sup>; Juni 30. 11<sup>h</sup> 10<sup>m</sup>.

**Mimas.** Juni 3. 11<sup>h</sup> 10<sup>m</sup>; Juni 4. 11<sup>h</sup> 10<sup>m</sup>; Juni 5. 11<sup>h</sup> 10<sup>m</sup>; Juni 6. 11<sup>h</sup> 10<sup>m</sup>; Juni 7. 11<sup>h</sup> 10<sup>m</sup>; Juni 8. 11<sup>h</sup> 10<sup>m</sup>; Juni 9. 11<sup>h</sup> 10<sup>m</sup>; Juni 10. 11<sup>h</sup> 10<sup>m</sup>; Juni 11. 11<sup>h</sup> 10<sup>m</sup>; Juni 12. 11<sup>h</sup> 10<sup>m</sup>; Juni 13. 11<sup>h</sup> 10<sup>m</sup>; Juni 14. 11<sup>h</sup> 10<sup>m</sup>; Juni 15. 11<sup>h</sup> 10<sup>m</sup>; Juni 16. 11<sup>h</sup> 10<sup>m</sup>; Juni 17. 11<sup>h</sup> 10<sup>m</sup>; Juni 18. 11<sup>h</sup> 10<sup>m</sup>; Juni 19. 11<sup>h</sup> 10<sup>m</sup>; Juni 20. 11<sup>h</sup> 10<sup>m</sup>; Juni 21. 11<sup>h</sup> 10<sup>m</sup>; Juni 22. 11<sup>h</sup> 10<sup>m</sup>; Juni 23. 11<sup>h</sup> 10<sup>m</sup>; Juni 24. 11<sup>h</sup> 10<sup>m</sup>; Juni 25. 11<sup>h</sup> 10<sup>m</sup>; Juni 26. 11<sup>h</sup> 10<sup>m</sup>; Juni 27. 11<sup>h</sup> 10<sup>m</sup>; Juni 28. 11<sup>h</sup> 10<sup>m</sup>; Juni 29. 11<sup>h</sup> 10<sup>m</sup>; Juni 30. 11<sup>h</sup> 10<sup>m</sup>.

**Encel.** Juni 3. 11<sup>h</sup> 10<sup>m</sup>; Juni 4. 11<sup>h</sup> 10<sup>m</sup>; Juni 5. 11<sup>h</sup> 10<sup>m</sup>; Juni 6. 11<sup>h</sup> 10<sup>m</sup>; Juni 7. 11<sup>h</sup> 10<sup>m</sup>; Juni 8. 11<sup>h</sup> 10<sup>m</sup>; Juni 9. 11<sup>h</sup> 10<sup>m</sup>; Juni 10. 11<sup>h</sup> 10<sup>m</sup>; Juni 11. 11<sup>h</sup> 10<sup>m</sup>; Juni 12. 11<sup>h</sup> 10<sup>m</sup>; Juni 13. 11<sup>h</sup> 10<sup>m</sup>; Juni 14. 11<sup>h</sup> 10<sup>m</sup>; Juni 15. 11<sup>h</sup> 10<sup>m</sup>; Juni 16. 11<sup>h</sup> 10<sup>m</sup>; Juni 17. 11<sup>h</sup> 10<sup>m</sup>; Juni 18. 11<sup>h</sup> 10<sup>m</sup>; Juni 19. 11<sup>h</sup> 10<sup>m</sup>; Juni 20. 11<sup>h</sup> 10<sup>m</sup>; Juni 21. 11<sup>h</sup> 10<sup>m</sup>; Juni 22. 11<sup>h</sup> 10<sup>m</sup>; Juni 23. 11<sup>h</sup> 10<sup>m</sup>; Juni 24. 11<sup>h</sup> 10<sup>m</sup>; Juni 25. 11<sup>h</sup> 10<sup>m</sup>; Juni 26. 11<sup>h</sup> 10<sup>m</sup>; Juni 27. 11<sup>h</sup> 10<sup>m</sup>; Juni 28. 11<sup>h</sup> 10<sup>m</sup>; Juni 29. 11<sup>h</sup> 10<sup>m</sup>; Juni 30. 11<sup>h</sup> 10<sup>m</sup>.

**Hyper.** Juni 3. 11<sup>h</sup> 10<sup>m</sup>; Juni 4. 11<sup>h</sup> 10<sup>m</sup>; Juni 5. 11<sup>h</sup> 10<sup>m</sup>; Juni 6. 11<sup>h</sup> 10<sup>m</sup>; Juni 7. 11<sup>h</sup> 10<sup>m</sup>; Juni 8. 11<sup>h</sup> 10<sup>m</sup>; Juni 9. 11<sup>h</sup> 10<sup>m</sup>; Juni 10. 11<sup>h</sup> 10<sup>m</sup>; Juni 11. 11<sup>h</sup> 10<sup>m</sup>; Juni 12. 11<sup>h</sup> 10<sup>m</sup>; Juni 13. 11<sup>h</sup> 10<sup>m</sup>; Juni 14. 11<sup>h</sup> 10<sup>m</sup>; Juni 15. 11<sup>h</sup> 10<sup>m</sup>; Juni 16. 11<sup>h</sup> 10<sup>m</sup>; Juni 17. 11<sup>h</sup> 10<sup>m</sup>; Juni 18. 11<sup>h</sup> 10<sup>m</sup>; Juni 19. 11<sup>h</sup> 10<sup>m</sup>; Juni 20. 11<sup>h</sup> 10<sup>m</sup>; Juni 21. 11<sup>h</sup> 10<sup>m</sup>; Juni 22. 11<sup>h</sup> 10<sup>m</sup>; Juni 23. 11<sup>h</sup> 10<sup>m</sup>; Juni 24. 11<sup>h</sup> 10<sup>m</sup>; Juni 25. 11<sup>h</sup> 10<sup>m</sup>; Juni 26. 11<sup>h</sup> 10<sup>m</sup>; Juni 27. 11<sup>h</sup> 10<sup>m</sup>; Juni 28. 11<sup>h</sup> 10<sup>m</sup>; Juni 29. 11<sup>h</sup> 10<sup>m</sup>; Juni 30. 11<sup>h</sup> 10<sup>m</sup>.

**Janet.** Juni 3. 11<sup>h</sup> 10<sup>m</sup>; Juni 4. 11<sup>h</sup> 10<sup>m</sup>; Juni 5. 11<sup>h</sup> 10<sup>m</sup>; Juni 6. 11<sup>h</sup> 10<sup>m</sup>; Juni 7. 11<sup>h</sup> 10<sup>m</sup>; Juni 8. 11<sup>h</sup> 10<sup>m</sup>; Juni 9. 11<sup>h</sup> 10<sup>m</sup>; Juni 10. 11<sup>h</sup> 10<sup>m</sup>; Juni 11. 11<sup>h</sup> 10<sup>m</sup>; Juni 12. 11<sup>h</sup> 10<sup>m</sup>; Juni 13. 11<sup>h</sup> 10<sup>m</sup>; Juni 14. 11<sup>h</sup> 10<sup>m</sup>; Juni 15. 11<sup>h</sup> 10<sup>m</sup>; Juni 16. 11<sup>h</sup> 10<sup>m</sup>; Juni 17. 11<sup>h</sup> 10<sup>m</sup>; Juni 18. 11<sup>h</sup> 10<sup>m</sup>; Juni 19. 11<sup>h</sup> 10<sup>m</sup>; Juni 20. 11<sup>h</sup> 10<sup>m</sup>; Juni 21. 11<sup>h</sup> 10<sup>m</sup>; Juni 22. 11<sup>h</sup> 10<sup>m</sup>; Juni 23. 11<sup>h</sup> 10<sup>m</sup>; Juni 24. 11<sup>h</sup> 10<sup>m</sup>; Juni 25. 11<sup>h</sup> 10<sup>m</sup>; Juni 26. 11<sup>h</sup> 10<sup>m</sup>; Juni 27. 11<sup>h</sup> 10<sup>m</sup>; Juni 28. 11<sup>h</sup> 10<sup>m</sup>; Juni 29. 11<sup>h</sup> 10<sup>m</sup>; Juni 30. 11<sup>h</sup> 10<sup>m</sup>.



Fig. 1. 1907 December 10, 19° 30' O, 36° E.



Fig. 2. Diagram of the ring system  
with Angabe der Zentren der Konzentrationen (AA, BB).

# SIRIUS.

Zeitschrift für populäre Astronomie.

Centralorgan für alle Freunde und Förderer der Himmelskunde.

Herausgegeben

unter Mitwirkung hervorragender Fachkennner und astronomischer Schriftsteller

von Prof. Dr. Hermann J. Klink in Köln

Mai 1905.

„Wissen und Lehren sind die Freude und die  
Befriedigung der Menschheit.“ — Klink.

Jeden Monat 1 Heft. — Jährlich 12 Mk.

Verlag von EDUARD HEINRICH MAYER in Leipzig.

INHALT: Geschichte der astronomischen Meßwerkzeuge. S. 117 — Sonnenphotogrammetrie. (Thiersch Tafel VI.) S. 122 — Feststellungen des Mars während der Opposition 1901. S. 125 — Die Nordstiele. S. 126 — Feststellungen der Saturnringe auf der Sternkarte zu Berlin. S. 128 — Untersuchungen über das Spektrum der Mars-Be 2 im Perseus in verschiedenen Zuständen. S. 129 — Die Entdeckung neuer Planeten im Jahre 1897. S. 132 — Versuche, Neutronen. S. 134 — Astronomische Notizen. S. 135 — Vollendung der Jupitermonde. S. 137 — Centralorgan der Jupitermonde. S. 138 — Notizen der Saturnmonde. S. 139 — Die englische Sonnenfleckendeckung am 24. Juni 1905. S. 140 —

## Geschichte der astronomischen Meßwerkzeuge.

In dem Fortschritt der astronomischen Wissenschaft steht der Fortschritt auf dem Gebiete der astronomischen Meßwerkzeuge in engster Beziehung, ja in gewissem Sinne ist der eine von dem andern abhängig. War die Erfindung des Fernrohrs nicht gemacht worden, so würde die beobachtende Astronomie wohl schätzenslos über den Standpunkt, den sie dieser Beziehung Tycho-Brahe erreicht hatte, herabgekommen sein und der Aufbau der mathematischen Theorie wäre in wichtigen Teilen nicht auf dem heutigen Standpunkt gelangt, da es an Vermittlung zu weiteren Verbindungen gefehlt hätte. Was der Astronomie am Himmel nicht zeigen konnte, hat für sie in den meisten Fällen keine oder nur

untergeordnete Bedeutung, denn das bloße Sehen reicht nicht zum Fortschritt der Wissenschaft bei. So wird begrifflich, daß die Ausbildung der astronomischen Meßwerkzeuge von höchster Wichtigkeit für die Ausbildung der wissenschaftlichen Himmelskunde war und zukünftig auch sein müssen wird. Die Leistungen der Entdeckung der Himmelskunde gehen deshalb auch auf die Entwicklungsrichtung der astronomischen Instrumente ein, läßt eine schließliche, eingehende Schilderung der letzteren nicht zu. Dieser Mangel ist jetzt abgehoben, indem die Mann, dessen Lebenszeit mit dem Bau astronomischer Meßwerkzeuge von höchster Verbindung gezeichnet war, die Werk veröffentlicht hat, die die Ent-



wicklung der astronomischen Meßwerkzeuge von der Mitte des 15. Jahrhunderts bis zum Jahre 1830, d. h. von Parbach bis auf Reichenbach und den Herrn Repsold, nebst einer von Standpunkt des technischen Künsten darstellend. Repsold ist ein Mann vom scharfsinnigen Kluge bei allen wackelnden Kenntnissen und Vorständen der letzten astronomischen Messungen der neuesten Zeit bestanden. Wenn daher ein Trug dieses in der Geschichte der astronomischen Meßapparate unvergleichlichen Mannes, in welchem die Darstellung dieser Werkzeuge historisch und kritisch darzustellen, so darf man einer solchen Darstellung-kritischen Wert zusprechen. Das oben erwähnte große Werk heißt dieser in der Tat, es wird sich am Quellwerk bleiben. Es ist wiederum mit der Geschichte der astronomischen Apparate beschäftigt. Dabei ist es allgemein, hier einen kurzen Überblick über dasselbe zu geben, wobei aber nur einige Punkte von allgemeinem Interesse, nämlich solche aus der Zeit Reichenbachs und seiner Mitarbeiter, etwas ausführlicher behandelt werden mögen.

Repsold gibt hier einige kurze Andeutungen über die Meßwerkzeuge der Alexandriner Schule und der Araber, um mit Parbach und Repsoldmann die gesamte Darstellung zu beginnen. Sehr ausführlich werden die verschiedenen Instrumente Tycho's besprochen und durch große, des Originals entsprechende Abbildungen erläutert. Daß Tycho bei seinen Instrumenten auch größeren Dimensionen strebte, findet Repsold für richtig, da die Villiers mit bloßem Auge durch Draper solche notwendig machte, um größere Genauigkeit zu erreichen. Dagegen hält er es für einen Fehlgreif,

daß die Werkstätten in so großen Maße angelegt und erhalten wurden. Man hat den Eindruck, daß Instrumente gebaut wurden nur um Arbeit zu schaffen, ähnlich wie, nach Weinritz, Tycho Gedächtnis, da er guten Freunden widmete, drucken ließ, um seine Papieren in die beschaffigen Dienstleistungen astronomische Art zu verschaffen, und dass diejenigen haben, daß Tycho in Ungnade fiel, und nach einiger Jahren war nicht die ganze Herrlichkeit Hecce's (Hecce, auf der Tycho's Observatorium stand) vergangen. Bei seinem Fortgang von Hecce 1597 hat Tycho die Instrumente bis auf die größten, die nicht gut zu transportieren waren, mitgenommen und teilweise während seines Aufenthalts in Wundtshof dort wieder aufgestellt. Als er 1600 in Kassel bei der Kaiserin verweilte, wurden die Instrumente in Schiff nach Prag gebracht, dort in den kaiserlichen Gärten aufgestellt, aber wohl kaum wieder trefflich benutzt. Kepler fand sie ebenfalls vor und scheint Anfangs zweifeln, daß beobachtet zu haben, dann wurde er durch Kieselstein und sein Zerwürf mit Tycho davon überzeugt. Im Jahre 1609 fand Kepler, daß ein leuchtender Gegenstand durch eine kleine, runde Öffnung in einer Wand auf einer dahinter stehenden Fläche in umgekehrter Lage abgebildet wird, nicht ohne darauf aufmerksam zu werden, daß schon Aristoteles das beobachtet hat. Kepler ist wieder diese Entdeckung zur Herstellung eines Apparates, um die Wirklichkeit des Mondes zu bestimmen. Man konnte hier einen interessanten Übergang zu dem wenige Jahre später entwickelten Gebrauch des Fernrohrs mit Gläsern. Kepler erhielt sich erste Fortschritt im Herbst 1640 vom Herzog Ernst von Bayern. Ein halbes Jahrhundert später erfolgte die Erfindung der Spiegelteleskope. Götting hat 1841 oder 42 Zeichnungen dazu entworfen, nach denen ein brauchbares Uebersichtsbild hergestellt werden können, allein weder er noch sein Sohn Vettermann kamen

\*) Zur Geschichte der astronomischen Meßwerkzeuge von Parbach bis Reichenbach 1830 bis 1830 von Joh. A. Repsold, mit 175 Abbildungen Leipzig 1866, Verlag von Wilhelm Engelmann, Preis 15 Mark.

den, vielmehr gelang erst 1656 Huygens die erste Fuchshohr.

Unter den Vorkämpfern guter Instrumente, die gleichzeitig auch Beobachter waren, nimmt auch Tycho, Høvel so Dänzig eine hervorragende Stellung ein. Als starker Mann konnte er seine Tätigkeit unbehindert durch Regen in Mitleide oder Kälte in der Vorgrasche und Gürtel, erreichen. Dabei nahm er Tycho zum Vorbild und wollte wenigstens aber gut befähigte und feste Instrumente haben. Die Teilungen aller seiner Instrumente hat er mit eigener Hand ausgeführt. Besonders gibt zahlreiche höchst interessante Abbildungen dieser Instrumente in großen Maßstäben. Høvel konnte natürlich das Fernrohr und sonst solche mit selbst geschliffenen Linsen, aber er konnte sich nicht dazu entschließen, seine Instrumente mit Fernrohren zu versehen, sondern blieb beim Visieren durch Diopern. Er besaß freilich ein scharfes Auge und hegte sich in seine Beobachtungswerte so einig, daß er ganz Ungewöhnliches leistete. Halley kam zum Vergleich der Beobachtungen 1670 nach Dänzig, konnte aber dort so wenig mit Teleskopen versehenen Instrumenten mehr Zurechnungsfähigkeit entgegen als Høvel mit seinen Diopern. Der erste, welcher Fäden in der Beobachtung des Fernrohrs anbrachte und dadurch das Einstellen auf einen Punkt ausreißend machte, scheint Cassini gewesen zu sein, wenigstens erwähnt er eine solche Einrichtung an seinem Sextanten in einem Briefe vom 24. Dezember 1642. Von hier war es nicht sehr weit zur Herleitung beweglicher Fäden im Gesichtsfelde des Fernrohrs, d. h. zur Erfindung des Scheitelmikrometers. Da nach Plamsted auch Quasigren zuzeichnen ist.

Einen großen Fortschritt veranlaßte der Fall der Sternwarte zu Greenwich, da Plamsted im August 1676 bezog, auf der er aber nur mit eigenen Instrumenten beobachten konnte. Auch das erste Meridianinstrument, ein bei auf-

gepflüht  $1\frac{1}{2}$  Quadrat von 79 Zoll Halbmesser, ließ Plamsted auf seine Kosten anfertigen. An ihm hat er 30 Jahre lang beobachtet und nach London soll es die vorzüglichste Meridianinstrument der damaligen Zeit gewesen sein. Sein Nachfolger Halley schiffte 1722 ein Fernrohr von 5 Fuß Brennweite und stellte es, Rømers Beispiel folgend, zwischen zwei Pfeilern, um eine horizontale Achse im Meridian drehbar, auf. Es ist das Muster der heutigen Passageninstrumente. Für Deklinationbeobachtungen blieben zunächst die Quadranten im Gebrauch. Noch zu Plamsteds Zeit wurden die Instrumente durchgängig unter persönlicher Wirkung des Astronomen von den zu diesem Zwecke hinzugezogenen Werkstätten hergestellt. Erst der 1725 für Halley angefertigte Quadrant ist selbständig von einem technisch ausgebildeten Fachmann gebaut worden, nämlich von dem nachmals so berühmten Graham. Die sogenannten fixierten Aufstellungen der Fernrohre, gehen bis auf 1735 zurück, in welchem Jahre Lalande ein solches Aquiloni auf, es wurden dann vorzugsweise von den englischen Künstlern hergestellt.

Um die Genauigkeit der Winkelmessungen zu erhöhen, schlug Tobias Mayer 1752 das sogenannte Repetitions- oder Multiplikationsverfahren vor und wurde in Frankfurt bei ihm 1755 ein dazu geeignetes Instrument von Le Noir in Paris erhalten. Dieses war das erste der nachmals so allgemein gewordenen Repetitionsmeridian, mit dem u. a. auch die Winkelmessungen der großen französischen Gradmessung zwischen Dünkirchen und Parisien ausgeführt worden sind. Von größter Wichtigkeit bei dieser Volkswirtschaft war natürlich die genaue Teilung und um solche herzustellen, wurden Kyan-Teilmaschinen erfunden. Die berühmteste darunter aus jener Zeit ist die Teilmaschine Klenckens. Sein erstes größeres Instrument mit gutem Kreise (ein Alterum)

heim 1789 nach Palermo und hat in der Hülfsen Praxis die herrlichsten Früchte getragen. Es hat die Fernrohr von 5 Fuß Länge, dessen Endes mit dem gleichgroßen Kreis abschließen, während der horizontale Kreis 3 Fuß im Durchmesser besitzt.

In Deutschland war um die damalige Zeit vom Bau besserer astronomischer Werkzeuge kaum die Rede, aber am 28. August 1772 wurde zu Durlach der Mann geboren, dem es beschieden war, Deutschland in die Spitzze der Fabrication astronomischer Apparate zu bringen, zunächst durch die eigene Initiative, dann durch die Verbindung mit geistlichen Kläsern, die er vereinnahmte. Georg Reichenbach besuchte 1784—90 die Militärschule in Mannheim und erregte durch seine außerordentliche Geschicklichkeit bei Anfertigung eines Seespiegels, der Aufmerksamkeiten einflussreicher Personen, durch die ihm Stipendien zu einer vierjährigen Reise nach England gewährt wurden. Dort war er in großen Ehrenhöfen und Maschinenbüros tätig und lernte auch englische Sternwarten kennen, aber keine Werkstätten für astronomische Instrumente. Nach seiner Rückkehr blieb er bis 1796 ausschließlich im öffentlichen Dienst, darauf aber kam er nach München und begann fortwährendlich auf Veranlassung des bayerischen Leutnants von Bogen, der an dem bayerischen Vermessungswesen Anteil nahm und die Föhrten einer astronomischen Werkstatt in München sehr empfand mit dem Bau einer kleinen Kreis-Teilmaschine. Dieser folgte das Projekt einer größeren und vollkommenen, deren Bau 1801 in Verbindung mit dem Uhrmacher Lehmert begonnen wurde. Spezielles über die Konstruktion dieses Instrumentes muß man bei Koppeid nachsehen, wo auch Zeichnungen derselben zu finden sind. Für die geschäftliche Sicherung der Werkstatt war nach Schilling von Bedenken, allein eine feste Grundlage wurde erst gewonnen, als Reichenbach gelang das aufnehmende Geschäftshaus Joseph v. Utzschneider

für die Unternehmen zu gewinnen, indem dieser das nötige Kapital gab und den geschäftlichen Teil übernahm. Reichenbach vortri die Konstruktion und die Vollendung der Instrumente und Lehmert wurde erster Meister. Das Reichenbachsche Kreis genommen durch die Genauigkeit ihrer Teilungen und ihre sorgfältigen konstruktiven Vorzüge mehr und mehr in Ruf und auch aus dem Auslande kamen Bestellungen. Nur eines hat unüberwindliche Schwierigkeiten, nämlich der optische Teil der Instrumente, die Objektive der Fernrohre. Derselben waren in brauchbarer Qualität nur aus England zu beschaffen und diese Quelle war infolge der Kontinentalsperre durch Napoleon, selbst völlig versiegt. Utzschneider hatte zwar 1805 in der Schweiz den Optiker Oudard kennen gelernt, der mit einigen Erfolge Glasbeschreibungen gemacht und dessen deshalb für die Münchner Werkstatt angeworben, um mit dem dort arbeitenden Optiker Myzel Objektive herzustellen. Als die Sache ging nicht voran, bei Schilling veranlaßt, daß 1807 Fraunhofer als Optiker angestellt wurde. Jetzt kam Zug in die Sache, Fraunhofers Gläser erweisen sich bald den englischen oder Vergleich überlegen. Im Jahre 1808 reisend durch Vortag die Firma Utzschneider, Reichenbach & Fraunhofer, deren mechanische Werkstatt in München verblieb, während Fraunhofer in Benediktshausen den optischen Teil betrieb. Im Jahre 1810 trennte sich Reichenbach von Utzschneider und im folgenden Jahre auch von Fraunhofer, der ihm jedoch auch immer bei die nötigen Objektive lieferte. Reichenbach nahm dagegen Friedl, der schon längere Zeit unter ihm gearbeitet hatte, als Leiter seiner Werkstatt an, doch wurde er bald statthalterhaft in Ansehung genommen, daß ihm wenig Zeit für die astronomische Mechanik übrig blieb. Am Basal schied Reichenbach am 14. Dec. 1870 u. a. „Wohl habe ich mich in der Hauptsache von den astronomischen Geschäften zurückge-

sagen, sollte Sie wissen, der alte Pol-  
mann läßt die Klatschen nicht und so  
werde ich für diese schöne Wissenschaft  
immer tätig bleiben. Wenn ich auch  
selbst keine Instrumente mehr mache,  
(was ich im eigentlichen Sinne schon  
sehr lange Jahre nicht mehr getan habe,  
da ich die dortige Verfertigung leitete,  
die Konstruktionen dazu schreibe und  
nur die Hand anlege, wo die andere  
nicht mehr funktionieren konnten, weil  
es ihnen vorher entweder noch nicht  
richtig gelangt oder noch nicht ganz an-  
gepaßt hatte), so werde ich die Sache  
doch nie aus den Augen verlieren und  
den Instrumentenmachern jederzeit den  
passenden Impuls zu geben wissen,  
wenn ich nur vor allen andere meinen  
ehemaligen Werkmeister, der sehr ge-  
schickt und aufmerksamer ist, anzuweisen  
habe. Der Herr Ertel hat zwar keine  
Theorie, aber aus die schon erfundenen  
und in allen Dingen geschickten von ihm  
wird vollständig ausgeführte Instrumente  
lernen auszuführen, bedarf (so) auch  
keiner Theorie, sondern nur der nötigen  
Anerkennung und körperlichen Ge-  
schicklichkeit. Meine Frau, welche ich  
mehrere Jahre als Instrumente, nach  
ihrem Kreise, eingestellt hat, wird herab-  
zu bis jetzt als meine tugendhafte  
Sohnen sich vorhat, einzelen, und so  
bleibt es genau genommen die Sache  
beyn alten. Die Astronomen sind also  
fürs Reichthum, Theorie, groß Ding  
(Jules-Alexandre Reichthum) für ihre  
Mittel in besonderen Dank ver-  
pflichtet. Übrigens hat Reichthum  
Einfluß auf die Weltzeit mehr und  
mehr nach, und Anfang 1822 hat nach  
einem Briefwechsel mit einem astron-  
omischen Freunde auf. Reichthum  
war damals erst 50 Jahre alt.

Nächste interessante Einzelheiten.  
Durch Abbildungen erläutert, über die  
von Reichthum angeführten Instru-  
mente muß man bei Kopie nicht stehen.  
Nur nur einige nur persönliche Cha-  
rakteristika des geistigen Mannes. «Es  
ist zu bewundern, sagt Bessel, welche  
Geschick der Konstruktion und Vertheilung

gibt Mann an seine Arbeiten und sagt  
an die ihm wenig symmetrische Brief-  
schreiben setzen konnte, wenn es eine  
maßgebenden prägnanten Symmetrie-  
merkmalen gibt es freilich nicht gut,  
und wenn er zu sehr gedrängt wird,  
läßt ihm auch wohl, was man zu sagen  
pflegt, die Galle über. So schreibt er  
24.6. 1819 an Schumacher: «Sehen  
erhalte ich Ihren Brief von Altona vom  
14 d. Mon und danke Ihnen, auf diesen  
eigentlich geschriebenen Brief zur Rück-  
richt, daß . . . nur die astronomische  
Instrumente, wenn sie gut sein sollen,  
nicht aus'm Ernst arbeiten, und nicht  
der erfordert. Zeit auch die prägnante  
Mann zu ihrer Verfertigung abzu-  
maß, wobei ein halbes Jahr auf oder  
ab immer zur Sprache kommt. now

Bessel erwähnt eine Vorrichtung  
zur Prüfung der Theilung eines Kreises  
zu haben, und nach langem Schreiben  
hatte Reichthum auch eine solche in  
Ansicht gestellt. Aber er konnte sich  
doch nicht entscheiden, diese zu geben,  
weil er die Notwendigkeit nicht durch-  
dringt. Er schreibt am 17.10. 1819 an Gauss:  
«Herr Bessel hat wohl einen Apparat  
gewünscht die Theilung zu prüfen.  
Aber was meine Erhaltungsmethode  
bezieht, denn weil es wohl überflüssig vor-  
kommen, Theilungs Fehler auf so un-  
vollkommenen Wege suchen zu wollen  
jeder auf solche Art sich zugehörte  
Fehler könnte nur als Fehler des zur  
Prüfung angewendeten Apparats, aber  
nicht der Theilung selbst, gelten. . . .  
Folglich habe ich auch Herrn Bessel  
keinen solchen Apparat gemacht. Und  
Bessel bekam auch keinen Apparat, ob-  
gleich der Briefwechsel noch fortliet.

Im Jahre 1811 übernahm Fraunhofer  
in Benediktswald die Schmelzungen  
zur Gewinnung optisch homogenen  
Glases für größere Objektive und schon  
1812 gelang ihm ein 7 Zolliger Refraktor,  
der nach Fraunhofer kam. Das im Laufe  
des Jahres 1813 von Gauss nach ihm  
Reichthum bestellte Refraktor der heute  
schon, nach dem inzwischen erfolgten  
Aussterben Reichthums aus dem optischen

Insulte, Frankenhofer mit Auslieferung, und darüber beginnt der Bruchwechsel zwischen Gauss und Fraunhofer. Es liegen leider nur die Briefe Fraunhofers vor, der erste ist vom 17. 5. 1814, er schildert die Vervollendung des Helikonmaterials und befragt über die Skizze der geometrischen Anordnung dazu. Über diese war zwischen Gauss und Fraunhofer noch nicht verhandelt worden, und Fraunhofer bezieht sich offenbar auf die Illuse, welche nach seiner Angabe für den Refraktor in Nagel ausgeführt, wenn er sagt, «da bei gewöhnlich geometrischer Anordnung größere Fernsicht, bei unverrücktem Fuß, immer ein großer Raum im Norden abgemessen bleiben muß, so bin ich von dieser etwas abgewichen». Er nennt in diesem Falle, wie Schuster, eine sehr trübe Lage des Fernrohrs am Ende der Deklinationsachse an und legt die Deklinationsböschung über das Ende der Stundenachse, die sich in einer geschlossenen Fläche deckt. Von einer der 1816 veröffentlichten nicht Reichenbach nachgezeichneten Zeichnungen Luftkerns unterscheidet sich Fraunhofers Skizze durch die Lage des Stundenkreises oben, durch Gleichlaufhaltung der Deklinationsachse, durch lange Schlüsselöffnung beider Fernstellungen und auch in der Form des Stativs.

Im Jahre 1815 wurde das Stativ in dem Helikon fertig. Fraunhofer hatte die größte Sorgfalt auf die Konstruktion verwendet, ist in Bezug auf Korrekturen- und Gegenstands-Vorrichtungen sogar zu weit gegangen und meinte, dies selbst, denn er will das Helikon für Objektiv, das in Arbeit ist, einfacher gestalten. In seinem Bestreben, alles möglichst gut zu machen, schickte er auch für Gauss ein neues Anzeigebild des neuen Objekts, weil das erste sich beim Durchschneiden verlor. Erst Ende 1817 geht der Kopf des Helikoners nach Göttingen zurück, während Objektiv sein Instrument Mitte 1815, Lindemann ein gleiches März 1817 erhalten hat.

Im Anfang 1820 hat Fraunhofer das Objektiv zum «großen Refraktor für Doppel (und noch zwei gleich) hergestellt, mit dem er das Journal de Paris in 700 Fuß Entfernung fand, da Solis ist noch in Arbeit, «es konnte aus Mangel an Arbeiten und wegen vieler Beschlüssen lange Zeit nicht fortgearbeitet werden». Es währte noch länger, bis alles fertig wurde, erst im August 1824 konnte das vierbewerkte Werk in München aufgestellt werden. Aber es war auch eine Arbeit, denn Schwierigkeit muß sein, an die mehrfache größere Refraktoren gestellt, heißt zu unterschätzen gewesen ist, und für Fraunhofer, dem freilich, nach Her auch hier, Liebhart eine wesentliche Stütze war, mußte sie ihm so schwierig erschienen, als beide nur wenig Erfahrung in größeren Konstruktionen hatten. Es finden sich in der Anstellung dieses Refraktors von 9 Zoll Öffnung und 137 $\frac{1}{2}$  Fuß Brennweite einige Anklänge an Reichenbach und Lichte, z. B. in der Form der 1. Haken Stativ, der Lagerung der Stundenachse, des Hakens am Fernrohr, aber es bleibt doch größtenteils ein selbständiges Werk Fraunhofers bei auf das Uhrwerk, das auf Liebhart zu rückzuführen sein wird.

Ende 1824 und Anfang 1825 verhandelt Fraunhofer mit Bessel wegen eines Helikoners von 70 Linien Öffnung bei 3 Fuß Brennweite. Bessel wünscht Scheitlung der Objektivhülse auf 2 $\frac{1}{2}$  Linienhöhen, Fraunhofer glaubt nicht, daß das «nicht mit Genauigkeit ausgeführt werden kann». Im übrigen läßt er ein Helikon dieser Größe für sehr wohl ausführbar, wenn aber, «wenn man nicht Wünsche nachgibt, so ist für Helikoners das nicht, welches ich möchte». Fraunhofer hatte von dem früheren Helikonern wahrscheinlich zu viel Höhe und Äger einkalkuliert mit Umrissänder wegen der Preisen gehabt.

Umgefahr um dasselbe Zeit hat Fraunhofer die Forderung, daß sein König einen Refraktor von 12 Zoll Öffnung bestelle, er schreibt im Juli 1825 an Struve,

er um mit der Konstruktion der mechanischen Teile fertig, er glaubte, wesentliche Verbesserungen erreicht zu haben, ohne das Instrument komplizierter zu machen, als das Dorypode.

Es war Frauenhofer nicht verglückt, diese beiden größten von ihm übernommenen Arbeiten zu vollenden. Am 15./1. 1826 schreibt er an Schumacher: „Vor 4 Monaten bin ich einer Brustkrankheit wegen in den Händen der Ärzte. Obgleich meine Krankheit einen Gehirnsays auf, so muß ich doch aus dem bisherigen Gange derselben schließen, daß ich vor dem Eintritt der kälteren Jahreszeit nicht los werde oder daß vielleicht dann erst die eigentliche Cur anlangt. Zwei Ärzte wollten, daß ich den Winter im südlichen Italien zubringe. Allein da ich niemand habe, der mein Geschick einigermaßen fortzuleiten könnte und dadurch so großer Schaden entstünde, daß ich den noch schmerzhaften Jahren um wieder separiert haben könnte; so konnte ich mich zu dieser kostspieligen Reise nicht entschließen. So wie ich in der nächsten Jahreszeit auch nicht ohne Gefahr gewesen, da mir z. B. schon das Corrigiren eines Fernrohrs an einem offenen Fenster allerdings ein Fieber zuzog. Ich muß nun die Zeit im Bett zubringen und nur hier aus meine Arbeiter beschäftigen, was um so schwerer ist, da ich mich auch des Sprechens soviel, wie möglich enthalten muß.“ Erst am 1. Jan. d. J. hatte der bedauerenswerte Krampf angefallen. Spätere Bruch: lagen nicht vor; aber dieser hat in traurig genug. Erst schreibt an Struve: „Er starb als ein wahrer Märtyrer.“

Vierzehn Tage früher war auch Kirchbach gestorben, nachdem er seit 1824 anhaltend vom Unstille allmählich zunehmenden Strehen erlitten war. Da er schon vor Jahren Erbl in die Leitung seiner Werkstatt mit gutem Erfolg eingeführt hatte, so war hier wohlmein für einen ungeübten Fortpflanz geordnet. Eine Erwähnung Frauenhofers in seiner praktischen Tätigkeit

heißt nicht in gleicher Weise ausgesprochen werden können; aber auch hier war der Wahl der Nachfolger eine glückliche. Die Leitung der optischen Arbeiten übernahm Georg Blas, der der mechanischen Meister; sie haben beiderseitig viele Jahre miteinander erfolgreich gearbeitet.

Es ist betriebsam zu sehen, wie Frauenhofer trotz der größten Anerkennung, die ihm von allen Seiten für seine Leistungen, und zwar nicht minder für seine großartigen Erfolge als für theoretische Forderung der Optik, zugebilligt wurde, sich in praktischer, wirtschaftlicher Lage befand. Bei Ungelegenheit der Untersuchung der Kupferplatten für Struve's Fernrohren (17./3. 1825), den Preis des Refraktors nicht, was Struve beabsichtigte, zu ersetzen, und das scheint ihm Anlaß zu geben zu lang verlaufener Klagen. Frauenhofer hatte den sehr genannten Preis nicht ultra sehr überschritten wollen. Aber obgleich Herr v. Utzschneider die eigenen Ausgaben nicht wissen konnte, so hatte ich doch mit ihm einen sehr großen Kampf zu bestehen, daß nicht, was er es wollte, ein höherer Preis für das Instrument angesetzt wurde. Daß dennoch er sich der Gerechtigkeit nicht und auch dabei noch die volle strom Beobachtungen spüren ließ, entspricht ganz seinem Charakter, und ist nicht neu. Wollte ich alle ähnlichen Ereignisse ablesen, so würde die optische Kunst bald in Trümmern gehen, und somit auch die Werkstatt von Erbl. Es verging bei keine Woche, wo ich nicht, zum Heile beider Ansichten Opfer dieser und anderer Art bringen mußte. So hatte z. B. ich unlängst mit einem ernstlichen Wortwechsel mit Kirchbach darüber, daß ich auf die Perspektive, die ich in den Instrumenten für Erbl machte, nach dem Sinne des optischen Institut noch, von entfernt, obgleich er an Erbl's Werkstatt keinen Antheil mehr hat, auf jede Art zu verfahren suchte. Die Absicht spricht (sich) sehr deutlich aus. Obgleich jede Last und Sorge ganz

als ein auf mir liegt, und mit dem Beglücken der apotheken kassette lag, und eingespielt keiner dem, was ich leide, auch nur seine Anteilnahme schenkt, so suchte doch der eine mir die Ehe zu schließen, der andere mir Ehre und Geld zu verschaffen. So lange Reichenbach seine mechanische Werkstatt hatte und seinen bedürfte, wurde ich wenigstens persönlich geschont, blieb frei, wo ihm diese Werkstatt lag, handelte immer ungehindert und selbst nicht so, wie ich, der gewiß auch Anteil an der Vollkommenheit seiner Instrumente hatte, es billig erwarten durfte. Da Reichenbach krank sei und noch lange Zeit als krank wird betrachtet werden müssen, so muß ich das möglichst schonen, und daher teilte auch die Naturgeschichte und anderer Widerwärtigkeiten, welche in ihnen Folgen weit wichtiger sind, wieder ganz ab. Wenn Sie in Zukunft wirklich einmal hören sollten, daß die Gelehrte mir zu Ende ging, so werden Sie aus den angeführten Klagen schon schließen können, daß es nicht ohne Grund geschah. Weiterhin sagt Fraunhofer, er habe sich mit der Idee beschäftigt, »der starken Widerwärtigkeiten wegen, die praktische Optik einzugrenzen und deshalb vor 1½ Jahren eine beschränkte Anstellung bei der Akademie angenommen; nach einer neuen Einrichtung werde ihm aber eine große Anzahl zum Teil unangenehmer Arbeiten aufgegeben, und er habe daraus seine Versuche über die Gitter des Lichtes aussetzen müssen. . . «Man hat hier für diese Versuche wenig oder keine Mittel bekommen. So hat z. B. Reichenbach, von dem man billig Anteil erwarten sollte, dasjenige, was ich seit 5 Jahren schrieb und bekannt machte, mir er nicht sagt, gegenwärtig noch nicht gekannt.«

Wie sehr ist es zu bedauern, daß jene drei Männer sich nicht besser verstanden, die sich so glücklich hätten ergötzen können? So aber stand der empfindliche, schwächliche Fraunhofer, in seinem Drange das Beste zu erreichen,

eine Schonung seiner körperlich beschränkten Kräfte und ohne Rücksicht auf Gelehrte zwischen dem künftigen, durch große Erfolge verdienstlichen und von Erfolge nicht ganz fern Reichthum, der dem Offizier aus ganz verlegenen konnte, und dem Gelehrten, der unter allen Umständen auf künftigen Erfolg sah und bei der Eignung seiner Gemüths nach wohl schon mußte — ein solcher Streit zwischen zwei künftigen Fraunhofer mag auch von wenig glücklicher Naturanlage gewesen sein, die in ihm andernfalls, auch in die ihm anfangs angewohnte glückliche Lebenslage mit ihrem ihm neuen Formen und Anforderungen umzuwandeln. Man glaubt aus allem Daraus einen Lebenswille, einen Menschen zu erkennen, dem es aber nicht vergünstigt gewesen ist, leben zu können.

Im vorhergehenden sind die Ausführungen Repolds über Reichenbach und Fraunhofer etwas unklarer wiedergegeben worden, nicht nur weil deren eigentümlichen Interessen, seinem Kaltebrecher auf dem Gebiete der astronomischen Instrumentenkonstruktion nach rein menschlich näher kommen zu lassen, sondern auch um zu zeigen, daß das Werk Repolds außerhalb der lediglich technisch-wissenschaftlichen Darlegungen für die weiteren Kreise der Freunde astronomischer Forschung und Gelehrte eine reiche Quelle bildet.

Neben Reichenbach und Fraunhofer arbeitete in gleicher Richtung aber so beachtenswerthe Maße seit Anfang des Jahrhunderts Johann Georg Repold, Sohn eines Predigers in Wremen an der Weerenlode und geboren 1770, der 1795 als städtischer Landmesser nach Hamburg kam. Er ist der Begründer der noch heute blühenden weltberühmten Werkstatt für astronomische Mechanik. Seine Messungsinstrumente und sonstige Apparate, die er für Quäl und Schmeichelei baute, brachten ihm viel Geld hohen Rates. Er starb am 14. Januar 1830 in Alsbach seiner städtischen Amts als Randmesser durch den Ein-

nicht durch Inzucht des Gebäudes. Die Werkstatt wurde von seinem Sohne Adolf und Georg fortgeführt und wesentlich erweitert. Mit Georg Regold

schloß der Verfasser sein Werk, doch behandelte er noch die Londoner und Pariser Werkstätten nach 1860.

## Sonnephographien.

(Hiers Teil VI.)

**V**on Sonnephographien und mit einem Salisbischen Heliographen von Herrn August Horst und der Mitin-Sternwarte in Charlottenburg, Dänemark, aufgenommen wurden. Der Heliograph von 31 mm Öffnung (Verhältnis 1:12), auf ein etwas (35 mm Rheinländisches Aquatoral) vermindert. Er hat das gewöhnliche Salisbischen Ausdrucks-Prinzip-Verschluss, das ein negatives Vergrößerungssystem, — und die Objektiv war mit einer Mittellinse versehen. Das größte Sonnenbild hat einen Durchmesser. Trotz Abblendung bei auf 49 mm Öffnung konnten doch nicht so gute Resultate erhalten werden wie gewünscht. Das Licht war zu stark und der Verschluss nicht schnell genug.

Zur Abhilfe wurde der Salisbisch-Verschluss entfernt und durch einen neuen von Herrn Horst selbst angefertigten vorerläuterten Spaltverschluss ersetzt. Damit wurden die ersten guten Resultate erhalten, insbesondere nachher das negative Vergrößerungssystem ein-

gesetzt und durch ein neues geöffneter von Salisbisch angefertigter, drehbarer achromatischer Apertur Vergrößerungssystem von nur 15 mm Brennweite ersetzt worden.

Die auf der Tafel wiedergegebenen Bilder zeigen, was mit einem solchen Instrument erreicht werden kann. Sie stellen vor 1. den großen Sonnenfleck am 11. 11. 1907, 2. den Sonnenfleck mit Faculae am 22. 7. 1907 7<sup>h</sup> 35<sup>m</sup> vormittags, 3. den Sonnenfleck am 14. 7. 1905 4<sup>h</sup> 45<sup>m</sup> nachmittags, 4. den Sonnenfleck am 17. 7. 1905 7<sup>h</sup> 10<sup>m</sup> vormittags.

Die Bilder zeigen die Sonnenmaulbraten, die Faculae und die leeren Zeichnungen in der Penumbra, sowie Lichtbrücke im Kondensator.

Die beiden Sonnephographen, Quantel in Frankfurt und W. Hauser von der Giesener Sternwarte haben sich beide sehr lebhaft über die Arbeiten des Herrn August Horst ausgesprochen.

Victor Nielsen.

## Beobachtungen des Mars während der Opposition 1907.

**A**uf dem Observatorium Fabra zu Barcelona hat J. Comas Solà den Mars in dieser Opposition sehr lebhaft beobachtet. Er benutzte dabei den dortigen 14-zölligen Refraktor und konnte bei günstiger Luft Vergrößerungen von 450- und 480-fach anwenden, trotz der geringen Höhe, in welcher der Planet über dem Horizont stand. Im Vergleich zu dem früheren

Aussehen hat der Beobachter merkliche Veränderungen im Aussehen des Details der Marscheibe konstatiert. Besonders in der großen Spitz und ihrer Umgebung, also in dem am besten bekannten Teile der Marscheibe, wurden solche Veränderungen erkannt. Der Locus Martis ist im Vergleich zu 1903 dunkler geworden; Lichts unge in dem Locus Martis kann noch eine Ähnlichkeit



nist den älteren Kasten Schlagschiff, Helios dagegen ließ auch die beiden einander in Gestalt eines Kreuzes durchgehenden dunklen Kanäle erkennen. Der Doppelstern an der Mündung des Kanals Typhonius erschien sehr deutlich, während Neptunus und der große See der ebenfalls an der Durchbruchstelle dieses Kanals und des Asclepius vorhanden war, nicht gesehen wurde. Eine der wichtigsten Wahrnehmungen wurde beim Gange gemacht, der doppelt und streichen erschien, und obgleich die Wahrnehmung nicht neu ist, so bemerkt Cornus Soli, es sei selten, daß die Verknüpfung sich bis in der Stau Aurora bereits ausdrückte. Ferner wurde, welcher der Astronom zu Barcelona früher niemals gesehen hat, zeigte sich bei dem Schluß der Beobachtungen äußerst deutlich, sie erschienen wie ein Trichter Trichter auf der Scheibe des Planeten. Ein kleiner, hellster innerer Kanal verband diesen Fleck mit der bei des Ganges. Unter den großen Veränderungen erwähnt Cornus Soli zunächst die Verdopplung des Lammstein. Thymus und Ursprung reichten sich sehr verschieden von der Gestalt, die sie auf den früheren Zeichnungen besitzen. Laron Thymus zeigte sich gepulst, im Innern der hohen Spitze mit der Beobachter einige helle Details, die

aber zu unbestimmt erschienen, um sie zeichnen zu können.

Gegen den Nordpol des Mars ließen sich oft hellere Flächen, die aber nicht den Charakter von Schneeflecken darboten, die südliche Polegion zeigte Abnahme Mars Schneebedeckung war in der Jahreszeit dort entspricht. Von etwa 60° im Durchmesser während des Mai und Juni ging sie auf 35° im Juli zurück. Um die Mitte des August fand starke Schneefälle der Schnee still, die weiße Kälte zeigte sich halbkugelförmig, indem der untere Teil erheblich weniger hell erschien als der obere. Von da ab vermehrte sich der Durchmesser der heißen Kälte auch bis auf 35°, in den letzten Tagen des Dezember betrug er nur noch 1° bis 10°. Zur nördlichen Zeit wurde Helios glänzend weiß. Simon Aorta und Max Strömung zeigten sich sehr stark blass, in einer Periode, die der Beobachter vorher auf dem Mars niemals gesehen hat. Aus der Gesamtzeit unserer Wahrnehmungen glaubt Cornus Soli schreiben zu dürfen, daß große Veränderungen in der Topographie des Mars vollständig oder nachgewiesen sind und daß es, wenigstens in der Mehrzahl, wahrscheinlich nicht periodisch sind.

## Die Marskanäle

**E**ber die Kanäle des Mars verhandelte auch Prof. Dr. Karl Schmidt<sup>1)</sup>. Er sagt dabei u. a.:

Nehmen wir einmal an, die Kanäle seien echt, so fragt es sich immer noch, ob auch die Seen, in denen sie sich lossen, echt sind. Ich vermag es nur — besonders bei unvollständiger Sehen — vorläufigen Schluß auf die Erscheinung des schwarzen Tropfens kurz nach der ersten oder vor der letzten

Berührung beim Vordurchgang. Man habe zwei auch in hiesiger Richtung kreuzende Wasserleitungen gegen das Licht aus. Ich glaube diese Wasserbänne „Kapseln“ sind ganz besonders verlässig.

**Verdopplung der Kanäle.** Wenn bei Sonnenbeobachtung die Kanäle nach halbkugelförmigen Formen auf einer gegenüberliegenden weißen Tüte oder Wand Schatten werfen, dann geht nicht — wie es in den Lichtbüchern steht — der Kanalschatten durch einen Halbschatten

<sup>1)</sup> Central-Beilage f. Optik 1888, S. 95.

in die vollenbreitbare Fläche über, sondern am Rande des Halbkreisförmigen Mark die intensiver hellen Strahlen (sowohl die doppelt so hell wie das volle Licht), welcher vordenselben schließlichen Brech wie des Strahles ist und durch einen schwachen dunklen Strahlen von der vollen brechstrahlen Fläche getrennt wird. Wegen der normalen Intensität des hellen Strahles vermute ich, daß eine Art Spannung an der Faserkante existiert. Dieses Wissen hat Dr. Bredt-Wien, zuerst auf diese Erscheinung — und viele andere noch zugleich untersuchend — aufmerksam gemacht. Ich fragte keine ich die gleiche Erscheinung an Kanten, Bücksteinungen vor helles Fluoreszenzgrund usw., ja selbst an Photographien von solchen sehr schön. Mühen vermögen wir nicht einmal bei schwachem Sonnen Lichte, Deutlich usw. richtig zu sehen.

Daß der strahlige Bau der Kristalline oder ringförmige Zonenstruktur des Auges den Aussehen von Linsen stark beeinflussen, wird uns nicht weiter wundernehmen. Wenn wir eine mehr oder minder stark schwache eingestrichene Linse aus größerer Entfernung durch eine feste Öffnung betrachten und die Öffnung dicht vor dem Auge lagern von unten nach oben verschieben, dann vermehrt sich scheinbar die dunkle Linse, sie scheint zu rollen wie die Ringe eines gegessenen rollenden Streifen. Möglicherweise vermögen die Linse oder ringförmige Luftschichten (Luftausgang) bei Fernsichtbetrachtungen die gleiche Wirkung hervorzuheben. Daß es selbst Objektiv oder Spiegel geben kann, welche infolge ungenauer Fokussierung jedes Stern und jede Linse doppelt zeigen, ist nach uns von anderer Seite gewissen Beobachtungen sicher.

Was einfacher liegt die Sache, falls wir eine dunkle Linse mit falscher Akkommodation betrachten. Jedermann kann schon mit bloßem Auge oder auch mit einem Fernrohr ein schwarzes Linse auf Papier oder Telegraphen-

oder Telegraphenblättern die Wahrnehmung machen, daß sie bei falscher Einstellung doppelt erscheinen. Nichts, wenn man, so einfacher als ein Fernrohr richtig einzustellen. Allein bei der starken linearen normalen schwachen Farbabweichung unserer mittleren und großen Refraktoren muß man die Einstellung bis um einige Millimeter ändern, falls man von der Betrachtung eines blauen weißen Fokusses zu der des gelben Mars übergeht, zur falschen Einstellung reicht jedoch außer Umständen bereits 1 mm aus. Hierzu kommt, daß unsere mittleren und großen Refraktoren selbst bei scharfer Einstellung vorwiegend von selbst falsch eingestellt sind; denn bei scharfer Einstellung auf die gelbgrünen Strahlen sind notwendigerweise die violettenden falsch eingestellt. Ich merke dies deutlich, als ich die Wirkung der Einstellung beim Beobachter 1828er von Hugo Schröder an Telegraphenblättern studierte. Erstlich fällt auch bei längerem scharfen Beobachten die Akkommodation selbst Einstellung nach oder mit ein Akkommodationsanstrengung die. Nun sahen allerdings die Beobachter die bei der ausgesprochenen gelben Farbe des Fokusses schon geschwächte chromatische Aberration durch Zwischensetzen eines gelben Ausgangslins in ihrer Wirkung völlig verschieden zu machen, allein bei meinen Versuchen wurden die Erscheinungen durch Vorsetzen eines gelben Glases deutlicher — wie es auch der Theorie nach sein muß, falls die Lichtstreuung nicht zu groß wird.

Unterschied wird den Doppelstrahlen von Linsen durch Ausgucken aus dem Auge, nur müssen dann die Linsen eine gewisse Neigung haben. Und so ist es mit dem wiederholt geprüften — besonders aber Zylinderlinsen in bestimmten Richtungen — dunkle Linien u. U. ganz groß doppelt zu sehen, ohne daß ich es bei Seiten durch keine Öffnung aus großen Abstände wirklich hervorzuheben kann. Leichter geht es bei einem deutlich kurz-sichtigen Auge mit Teufelstrahlen auf

Papier in dem gewöhnlichen Lesestand. Daß selbst der einfachste Kapsel-Bildner angewendet wird, sollte man kaum für möglich halten. Und doch hat der englische Astronom Nauder beim Aggregieren einer künstlichen Marsoberbe, auf der sich nur die gewöhnlichen Linien und Maere in grobem Umriss befanden, durch Schlieren aus mehr oder minder großen Abstände nicht nur Kapseln erhalten — von denen natürlich kein starker wirklich auf der Schärfe war —, sondern sogar eine ganze Anzahl angeblich mit wirklichen Merkmalen identifizieren können. Dessen Nachtheile wirken selbst auf mich verblüffend.

Tatsache ist, daß auch ein schwaches Auge eher zu eng gedrängte Reihen dunkler (oder heller) Punkte mehr oder leichter zu unterscheiden vermag, sondern zu einer schwachen Linse vorbedr. Ist es ursprünglich, wie z. B. die meiste, dann selbst zu einer Reihe feiner eingedrückter Punktepunkte, bei verschiedener Lage noch gebogen, bei verschiedener schon vorhanden, aus wenig größeren Abstände jedoch wieder als Guppelreihen von Punkten. So habe ich denn auch auf der künstlichen Marsoberbe — sobald die neuen dunklen Punkte nicht mehr einzeln wahrnehmbar waren — wiederholt geküßt, keine Kapseln zu sehen. Ob das, was man auf Mars sieht, wirklich Kapseln oder Vegetationsgrößen oder Reihen eingedrückter Sämpfe oder Oasen sind, wie soll man das nach dem bloßen Ansehen jemals entscheiden können? Selbst hat Lowell den richtigen Weg eingeschlagen, die photographischen Vergrößerungen des Marsbildes zu studieren.

Man hat geglaubt, die Resultate des Marsbildes durch photographische Aufnahmen, deren Güte bis jetzt noch verhältnißmäßig beurteilt wird, feststellen

zu können. Von den Fehlern des Auges sowie dem momentanen Einfluß von Lichtverhältnissen ist natürlich die Rede. Was jedoch die vom Objektiv bewirkten Vergrößerungen und die Zersplitterung des Objectives betrifft, so ist es gleichgültig, ob sie vom Auge oder von der Linse selbst werden, da ja doch beide die gleiche Maserstruktur haben. Es hat denn auch z. B. in der Konstruktion der Diagonalkonstruktion die photographische Linse eine nicht wesentlich weiter gebrachte als die Beobachtung mit dem bloßen Auge. Warum wir mithin auch in diesen Punkten richtig sind.

Ich bin already öfter bemerkt gewesen, zu behaupten, daß überhaupt alles Marsbild Einbildung sei. Ich glaube gern, daß einige Marsbilder nicht sind. Wenn Lowell behauptet, daß man in Flugsicht auf dem Mars noch Kapseln sehen könnte, welche nur 11, das heißt zwei, dann kann ich auf Grund beugungstheoretischer Rechnung behaupten, daß seine Angabe wenigstens der Größenordnung nach nicht unglauwürdig ist. Die Frage ist nun, was und warum ist real oder Täuschung? Und hier bin ich völlig unentschieden, wenn meine Versuche zeigen, wie schwierig die Kunst des Beobachtens ist oder besser gesagt, wie viel großer Schritt vom richtigen Sehen (das selbst schon schwer genug, nicht unrichtig ist) zum richtigen Denken (das ohne Kenntnis der Beugungstheorie gar nicht in Angriff genommen werden sollte) ist. Beugungstheoretisch kann man sich eine merkwürdige Ansicht in folgender Form bilden:

1. Das Marsbild ist die Gewebe aus Wahrheit und Dichtung.
2. Es scheint mir zuerst unmöglich, zu sagen, wo die Täuschung anfängt und die Wirklichkeit aufhört.

## Beobachtungen des Saturnusringes auf der Sternwarte zu Straßburg.

**7** Im 18-zölligen und 6-zölligen Refraktor der Sternwarte zu Straßburg hat deren Direktor E. Seidel das Aussehen des Saturnusringes um die Zeit des Durchganges der Erde durch die Ringebene im Oktober 1907 zu rasigen Abenden beobachtet. Er macht darüber folgende Mittheilungen:

Oktober 1. 9<sup>h</sup> u. 21<sup>h</sup> von Straßburg: 6-Zöller. Keine Aufführung. Ring-Annen als Linie, etwas bläulich gelbliche Linie gut zu verfolgen. Die vorausgehende Anne erschien nur leicht heller als die nachfolgende (Vorg. 130).

18-Zöller. Ring noch sehr hell. Vorausgehende Anne von violetter Färbung, nachfolgende mehr rötlich (Vorg. 207). Hingehende sehr scharf, Sogleich wieder bedeckt.

Oktober 2. Gegen 9<sup>h</sup> verliefen sich 28 Wolken.

6-Zöller. 6.5<sup>h</sup>. Mit schwächerer Vergrößerung (130) Anneu nichtig gel — die folgende jedoch sichtbar — sichtbar.

18-Zöller. Himmel abwechselnd heiter und dunstig, so daß der Planet teilweise völlig verschwand. Am Ende der folgenden Anne steht Trabant Dione und in der Verfolgung, etwas niedriger, Rhea. In den besseren Momenten Schattenlinie sehr deutlich. 9.3<sup>h</sup> (Vorg. 607). Um 10<sup>h</sup> 1<sup>h</sup> vollständig klar, Anneu nacheinander sehr scharf und hell. Auffällig ist auch hier (wie nachher noch mehr am 6 Zöller bestätigt wurde) der gelbliche Helligkeit der nachfolgenden Anne.

Oktober 3. Um 11<sup>h</sup> bedeckte sich die Aufführung von.

Am 6-Zöller vorrang ich in den besten Momenten Anneu die Anneu nicht mehr zu erkennen.

18-Zöller. Zuerst ist der Himmel ganz dunstig, nach Mitternacht teilweise besser; in günstigen Momenten (13<sup>h</sup>)

erkenne ich die nachfolgende Anne, so deren Ende von. Seidel (Teilpe) stellt, wasfalls wird im denselben Anne auch ein zweites Streichen (wohl Dione) bemerkt. Die vorausgehende Anne glaube ich nur ab und zu wahrzunehmen.

Oktober 4. 18-Zöller 11<sup>h</sup> — 10<sup>h</sup>. Von den Anneu nicht mehr für mein Auge zu erkennen. Zweifellos will es mir scheinen, daß ich die vorausgehende Anne noch äußerst schwach sehe, ich konnte aber abschließende Überzeugung, daß dies nur Täuschung ist. Schatten auf der Kugel sehr scharf, überhaupt sehr gute Luft, Einzelnes ganz deutlich, auch Wolken sichtbar.

Nach Vergleichung der heutigen Beobachtung mit der früheren bin ich geneigt den Durchgang der Erde durch die Ringebene im frühesten Oktober 98 anzunehmen.

Die Beobachtung des Wiedereintrittens des Ringes im Januar ist durch die Witterung vereitelt worden. Am 6. Januar versuchte ich (im 6-zölligen Refraktor) außerhalb der Photographie noch keine Spur des Ringes zu erkennen. Am 10. Januar war die Anneu etwas sofortzeitige Erscheinung, in der Zwischenzeit war der Himmel bedeckt.

Die weiteren den Ring betreffenden Beobachtungen, die von dem Observator der Sternwarte am hiesigen Refraktor gemacht sind, werden demnächst mitgeteilt; hier folgen noch die Bemerkungen, die Herr Dr. Just aufgeschrieben hat, den ich wegen damaliger Abwesenheit des Observators von Straßburg gebeten hatte, in den Beobachtungen des Wiedereintrittens des Ringes im Oktober teilzunehmen.

1907 Oktober 2. 10<sup>h</sup> 0<sup>m</sup> u. 21<sup>h</sup> von Straßburg.

Großer Refraktor. Der Ring ist noch gut sichtbar, die folgende Anne ist besonders auffallender, auch nach-

dem ein Trübsal, welcher anfangs auf der Aene eine helle Verdichtung bildet, von demselben getrennt erscheint. Auf dem Planeten folgt sich der Ring, rings um Schäften, als starke dunkle Linie ab, nach außen nur weißige Gebilde schwierig sehr schwach. Farbe der Aene bläulich-blau, die folgende Aene etwas violet. Angewandte Vergrößerungen 200, 400, 700, alles am besten bei Vergrößerung 300 sichtbar.

11<sup>a</sup> 9<sup>m</sup>, kleiner Refraktor. Auch hier ist die folgende Aene des aufblühenden Objekts; Farbe der Aene mehr rötlich. Vergrößerung 150—300.

Objektor 3 10<sup>a</sup> 30<sup>m</sup>, kleiner Refraktor. Ich glaube momentan die Aene zu sehen.

12<sup>a</sup> 0<sup>m</sup>, großer Refraktor. Beide Aene deutlich sichtbar, besonders die folgende.

13<sup>a</sup> 14<sup>m</sup>. Nur noch die folgende Aene sichtbar, der Planet ist der nicht mehr ganz rötlich. Farbe der Aene wie gewöhnlich.

Objektor 4 14<sup>a</sup> 0<sup>m</sup>, großer Refraktor. Von dem Aene ist jetzt fast nichts zu sehen, der Schatten des Rings auf Saturn ist als scharfe Linie von  $\alpha$  0,5° Dicke sichtbar. Luft manchmal sehr durchsichtig, man sieht schon vier hellere Satelliten auch Phoebe (12,5<sup>m</sup>).

## Untersuchungen über das Spektrum der Nova Nr. 2 im Perseus in ihrem späteren Zustande.

**E**s ist allgemein bekannt, dass Nova Perseus Nr. 2 im Perseus größtes Helligkeit im Spektrum, welches aus vielen (Emission-) und dunklen (Absorption-) Linien besteht und es hat sich ergeben, daß vor dem Verschwinden dieser Sterne der Spektrum sich sehr vereinfacht, indem es aus einer oder mehreren hellen Linien besteht und dadurch große Ähnlichkeit mit dem Spektrum der kommetarischen Gasebel gewinnt. Diese Tatsache hat für die Erklärung der Vorgänge, der sich in dem Aufwachen und Wiederverschwinden der neuen Sterne abspielt, der große Wichtigkeit und eine zureichende Erklärung ist für die Erläuterung der Entwicklungsstadien der Prozesse von grundlegender Bedeutung. Von diesem Gesichtspunkte aus hat Prof. J. Hartmann eine astrophysikalischen Observatorium in Potsdam den neuen Stern, welcher im Perseus aufblühte, möglichst lange spektroskopisch verfolgt und ist dadurch

zu wichtigen Ergebnissen gelangt, die er jetzt mitteilt.<sup>1)</sup>

Zu der Aufnahme wurde Anfangs der am großen Refraktor von 800 mm Öffnung angeschlossene Spektrograph benutzt, welcher gestaltet, einen Stern zu verfolgen so lange er noch heller als 16 Größe ist. Allerdings wurde die Aufnahme des Sterns nur immer schlechter und im November 1902 konnte Prof. Hartmann von dem Stern, der damals 17 Größe war, selbst bei einer Belichtung von 55 Stunden nur noch ein schwaches Spektrum erhalten. Um weitere Aufnahmen zu ermöglichen, konstruierte Prof. Hartmann einen neuen Spektrographen, der in Verbindung mit dem großen Refraktor mögliches Licht stark bündelt. Auf die Beschreibung dieses Apparats kann hier nicht eingegangen werden, es mag genügen hervorzuheben, daß es mittels dieses Gänge, von dem Stern noch im Ok-

<sup>1)</sup> Astron. Nachrichten Nr. 4222.

tober 1903, als er bei nur Größe 11-4 beobachtet werden war, mit 8%, Stunden Belichtung ein gutes Spektrum zu erhalten. Im Herbst 1901 zeigte das sich dem Sonnen stark verändernde Spektrum der Nova außer den Wasserstofflinien  $\lambda$ ,  $\gamma$  und  $\beta$  noch 9 andere Linien, die mit solchen im Spektrum der Nebel-Flecke identisch sind, dann noch zwei Linien, welche in letzteren nicht gefunden werden.

„Es unterliegt keinem Zweifel“, sagt Prof. Hartmann, „dass kein Zweifel, daß während eines gewissen Zeitraumes der Entwicklung der neuen Sterne auf deren Himmelskörpern dieselben Gas herrschen, wie in den Nebelflecken.“

Man hat nun bereits einfach den Schluß gezogen, daß die scheinbare Entwicklung der neuen Sterne identisch mit einer Auflösung der betreffenden Himmelskörper in kosmische Materie andeute, ja, kürzlich wurde auf diesem Gedanken der Zurückverwandlung von Fixsternen in Nebelflecken sogar eine kosmogonische Theorie begründet.

Schon bei Gelegenheit einer Beobachtung der Nova Aurigae vom Huggins<sup>1)</sup> kommt hin, daß die große Breite der Neowellen ganz eine völlige Identifizierung des neuen Sterns mit einem Nebel spricht, und auch wenn ein Spektrum der Nova Persei gemachten Beobachtungen lassen die erwähnte Schlußfolgerung einer schließlichen Verwandlung des Sterns in einen Nebel durchaus nicht zu. Schon während des oben beschriebenen Zustandes, in welchem die im Neowellen-Spektrum beobachteten Linien mit solchen des Nebelspektrums identifiziert werden konnten, zeigte sich wieder der wesentliche Unterschied zwischen beiden Spektren: die Linien der Nova waren stets stark verbreitert, während die Linien der Nebel ähnlich denen stark verbreiteter Gas gas schnell und sehr sind.

Wir sehen hierdurch eine physikalische Verschiedenheit der beiden Arten

von Himmelskörpern angedeutet, so wurde diese durch meine späteren Aufnahmen des Neowellen-Spektrums noch deutlicher bewiesen. Die relative Intensitäten der Neowellen blieben in der Zeit vom September bis November 1901 im allgemeinen unverändert. Auch bis zum Februar 1902 waren noch die Linien  $\lambda$  3808 und  $\lambda$  3968 das bei weitem auffälligsten Erscheinungen, während die übrigen Linien etwas mehr als das darunter liegende kontinuierliche Spektrum abgenommen hatten. Im Herbst 1902 zeigte das Spektrum eine scheinbare Veränderung, ich machte mit dem Spektrophotographen 1 zwei Aufnahmen, die eine am 23. Oktober mit 200", die zweite in der Zeit vom 10 bis 14 November mit Unterbrechung durch Herrn Dr. Luchendorf mit 365" Belichtungszeit. Die Helligkeit des Sterns hatte bei 9.1 Größe abgenommen. Im Spektrum waren die früher stärksten Linien  $\lambda$  3808 und  $\lambda$  3968 ganz zurückgetreten, die intensivste Linie war nunmehr die bekannte Hauptlinie der Nebelspektren bei  $\lambda$  5007, darauf folgte  $\lambda$  4486, dann  $\lambda$  4959 und die beiden Wasserstofflinien  $H\beta$  und  $H\gamma$ , von denen nur noch Spuren zu erkennen waren; das kontinuierliche Spektrum trat mehr und mehr in den Vordergrund, während die allgemeine Form der breiten Linien unbedeutend geblieben war. Auch in diesem Stadium ihrer Entwicklung hatte also die Nova, wenn man lediglich auf die Wellenlängen der beobachteten Linien Rücksicht nahm, noch Ähnlichkeit mit einem planetarischen Nebel, jedoch sprachen sich hier wieder die Breite der Linien, sowie auch das starke kontinuierliche Spektrum gegen die völlige Identifizierung mit einem solchen Himmelskörper.

Meine weiteren Beobachtungen des Sterns konnte ich erst im Herbst 1903, als der erste meteorologische Spektrophotograph vollendet und das 80 cm Objektiv nach der im München vorgeschriebenen Kalibrierung nach Potsdam zurückgekommen war, wieder aufnehmen. Sie wurden durch das ungünstige Novemberwetter

<sup>1)</sup> Astr. und Astrophys. 12, S. 344, 1903.

sehr erschwert. Im Jahre 1935 erhielt ich mit Unterstützung durch Herrn Dr. Münch eine Aufnahme von 204<sup>m</sup> Belichtungszeit. Außer einem kontinuierlichen Spektrum zeigte sich jetzt nur noch eine Erleuchtungsstelle bei  $\lambda 4448$ . Im November 1936 ergab eine Aufnahme von 4 Stunden Belichtung das gleiche Aussehen des Spektrums.

Die beide Aufnahmen des Spektrums erhielt ich am 15. und 16. Oktober 1937 wieder mit Unterstützung durch Dr. Münch in einer Belichtungszeit von 8<sup>m</sup> 1/2 Stunden. Das Platte zeigt ein schwaches kontinuierliches Spektrum mit einer Anzahl Emissionlinien. Eine mit Hilfe des Spektralkomparators vorgenommene Vergleichung ergab nun, daß das Novenspektrum fast vollkommen identisch ist mit dem Spektrum des Wolf-Rayet-Sterns HD 37<sup>h</sup> 4001, bei besonderer Abschwächung der Gesamthelligkeit würde das Spektrum des W.-R.-Sterns fast genau in das der Nova übergehen. Die Hauptlinie beider Spektren liegt bei  $\lambda 4448$ , ferner sind, erheblich schwächer, die Wasserstofflinien H $\beta$ , H $\gamma$  und H $\delta$  vorhanden. Das im W.-R.-Stern sehr intensive Linie  $\lambda 4454$  ist in der Nova verhältnismäßig schwach, wegen dessen bei  $\lambda 3446$  eine Spur eines im W.-R.-Stern nicht sichtbaren Linie zeigt. Auch die relative Intensität des kontinuierlichen Spektrums und die Breite und Form der Emissionlinien stimmt in beiden Spektren, soweit eine Vergleichung möglich ist, überein. Besonders ist zu beachten, daß gerade bei den W.-R.-Sternen auch die für die Novastern ganz charakteristische Form der breiten Emissionlinie vorhanden ist. Von den Haupt-Nebulalinen  $\lambda 5007$  und  $\lambda 4449$  ist weder in dem jetzigen Spektrum der Nova Ponsel noch auch in dem des W.-R.-Sterns eine Spur zu erkennen. Campbell hat bei seinen sorgfältigen Untersuchungen aller Stern dieses Spektraltypus bei keinem einzigen die Nebulalinen aufweisen können.

Hieraus steht also fest, daß die Nova Ponsel durch ihren Zustand, in

welchem die äußere Atmosphäre kollabiert, fast mit dem Hauptbestandteil der Nebelflecken identisch waren, herdurchgungen und zu einem des W.-R.-Typus angehörenden Stern geworden ist.

Dieser auch früher schon von anderer Seite wiederholt vorgetragte Zusammenhang zwischen dem jetzt und den W.-R.-Sternen, besonders des Antares und Waderverschanden der Nebelflecken bei der zeitlichen Entwicklung der Nova ist nicht nur für die Erklärung der neuen Sterne, sondern, wie ich anderen stelle, auch für die allgemeine kosmogonische Auffassung von Bedeutung. Bei den kosmogonischen Theorien, die die Entstehung der Weltkörper aus den Nebelflecken ansehen, bestand eine die Schwachheit, daß man das vollständige Fehlen des in allen Nebeln weit verbreiteten Elements, dessen Spektrum unter anderem die beiden Haupt-Nebulalinen  $\lambda 5007$  und  $\lambda 4449$  enthält, in den Sternenspektren nicht erklären konnte, auch im Laboratorium ist die diese Linien entsprechenden Element noch nicht aufgefunden worden. Das Auftreten der Nebulalinen nur während eines begrenzten Zeitraums der Novaentwicklung scheint nun darauf hinzuweisen, daß diese Linien nicht einem besonderen, nur in den Nebeln vorkommenden Element angehören, sondern daß sie nur einer besonderen Art des Leuchtens eines anderen, auch auf den übrigen Weltkörpern vorkommenden Elements entsprechen. Beachtet man nun, daß sowohl während des ersten, sehr heißen Zustandes der Nova der Wasserstoff in ihrer Atmosphäre die Hauptrolle spielt, als auch, daß die jüngste Hauptlinie ihres Spektrums  $\lambda 4449$  nach Spektralanalyse die erste und stärkste Linie der Hauptreihe des Wasserstoffs ist, die sich nach J. Steins Untersuchungen auch im Spektrum der Kometen im Wasserstoff wiederfindet, so dürfte sich der Gedanke erheben, daß auch jene Haupt-Nebulalinen in

naber Beziehung zum Wasserstoff nicht  
daß es wirklich nur der Wasserstoff,  
sondern in einem besonderen physikali-  
schen Zustande oder ein Umwandlungs-  
produkt derselben besteht. Es ist das  
eine Voraussetzung, die ich nur deshalb  
hier ausspreche, um dadurch zu zeigen,  
welchen Erwartungen man entgegen-

Was die Helligkeit der Neve anbe-  
langt, so war dieselbe nach Schätzungen  
von Prof. Hartmann, 1905 Nov. 1, 11.2  
Größe, 1906 Nov. 24, 11.3 Größe und  
1907 Oktober 13, 11.44 Größe, hat sich  
also im Laufe der beiden letzten Jahre  
nur sehr wenig verändert.

## Die Entdeckungen kleiner Planeten im Jahre 1907.

 Während des vergangenen Jahres  
sind folgende 95 Planeten ent-  
deckt oder zuerst angekündigt worden:

Die Anfangsbuchstaben bezeichnen  
wie folgt die Namen der Entdecker:  
K. Kopp, Hindelberg, L. Lohrert,

Vorläufige Rechtschrei- bung	Datum der Ent- deckung	Ent- decker	Vorläufige Be- zeichnung	Datum der Ent- deckung	Ent- decker	Vorläufige Rechtschrei- bung	Datum der Ent- deckung	Ent- decker
91 629	Jan. 22	L.	919 06	Sept. 22	L.	AD	Sept. 11	K
92 634	Febr. 12	K	919 06	22	L.	AE	11	K
93 638	11	K	919 06	22	L.	AF	11	K
94 638	11	K	919 06	22	L.	AG	11	K
95 638	11	K	919 06	22	L.	AH	11	K
96 638	11	K	919 06	22	L.	AI	11	K
97 638	11	K	919 06	22	L.	AK	11	K
98 638	11	K	919 06	22	L.	AL	11	K
99 638	11	K	919 06	22	L.	AM	11	K
100 638	11	K	919 06	22	L.	AN	11	K
101 638	11	K	919 06	22	L.	AO	11	K
102 638	11	K	919 06	22	L.	AP	11	K
103 638	11	K	919 06	22	L.	AR	11	K
104 638	11	K	919 06	22	L.	AS	11	K
105 638	11	K	919 06	22	L.	AT	11	K
106 638	11	K	919 06	22	L.	AV	11	K
107 638	11	K	919 06	22	L.	AW	11	K
108 638	11	K	919 06	22	L.	AX	11	K
109 638	11	K	919 06	22	L.	AY	11	K
110 638	11	K	919 06	22	L.	AZ	11	K
111 638	11	K	919 06	22	L.	BA	11	K
112 638	11	K	919 06	22	L.	BB	11	K
113 638	11	K	919 06	22	L.	BC	11	K
114 638	11	K	919 06	22	L.	BD	11	K
115 638	11	K	919 06	22	L.	BE	11	K
116 638	11	K	919 06	22	L.	BF	11	K
117 638	11	K	919 06	22	L.	BG	11	K
118 638	11	K	919 06	22	L.	BH	11	K
119 638	11	K	919 06	22	L.	BI	11	K
120 638	11	K	919 06	22	L.	BJ	11	K
121 638	11	K	919 06	22	L.	BK	11	K
122 638	11	K	919 06	22	L.	BL	11	K
123 638	11	K	919 06	22	L.	BM	11	K
124 638	11	K	919 06	22	L.	BN	11	K
125 638	11	K	919 06	22	L.	BO	11	K
126 638	11	K	919 06	22	L.	BP	11	K
127 638	11	K	919 06	22	L.	BQ	11	K
128 638	11	K	919 06	22	L.	BR	11	K
129 638	11	K	919 06	22	L.	BS	11	K
130 638	11	K	919 06	22	L.	BT	11	K
131 638	11	K	919 06	22	L.	BV	11	K
132 638	11	K	919 06	22	L.	BW	11	K
133 638	11	K	919 06	22	L.	BX	11	K
134 638	11	K	919 06	22	L.	BY	11	K
135 638	11	K	919 06	22	L.	BZ	11	K
136 638	11	K	919 06	22	L.	CA	11	K
137 638	11	K	919 06	22	L.	CB	11	K
138 638	11	K	919 06	22	L.	CC	11	K
139 638	11	K	919 06	22	L.	CD	11	K
140 638	11	K	919 06	22	L.	CE	11	K
141 638	11	K	919 06	22	L.	CF	11	K
142 638	11	K	919 06	22	L.	CG	11	K
143 638	11	K	919 06	22	L.	CH	11	K
144 638	11	K	919 06	22	L.	CI	11	K
145 638	11	K	919 06	22	L.	CJ	11	K
146 638	11	K	919 06	22	L.	CK	11	K
147 638	11	K	919 06	22	L.	CL	11	K
148 638	11	K	919 06	22	L.	CM	11	K
149 638	11	K	919 06	22	L.	CN	11	K
150 638	11	K	919 06	22	L.	CO	11	K
151 638	11	K	919 06	22	L.	CP	11	K
152 638	11	K	919 06	22	L.	CQ	11	K
153 638	11	K	919 06	22	L.	CR	11	K
154 638	11	K	919 06	22	L.	CS	11	K
155 638	11	K	919 06	22	L.	CT	11	K
156 638	11	K	919 06	22	L.	CU	11	K
157 638	11	K	919 06	22	L.	CV	11	K
158 638	11	K	919 06	22	L.	CW	11	K
159 638	11	K	919 06	22	L.	CX	11	K
160 638	11	K	919 06	22	L.	CY	11	K
161 638	11	K	919 06	22	L.	CZ	11	K
162 638	11	K	919 06	22	L.	DA	11	K
163 638	11	K	919 06	22	L.	DB	11	K
164 638	11	K	919 06	22	L.	DC	11	K
165 638	11	K	919 06	22	L.	DD	11	K
166 638	11	K	919 06	22	L.	DE	11	K
167 638	11	K	919 06	22	L.	DF	11	K
168 638	11	K	919 06	22	L.	DG	11	K
169 638	11	K	919 06	22	L.	DH	11	K
170 638	11	K	919 06	22	L.	DI	11	K
171 638	11	K	919 06	22	L.	DJ	11	K
172 638	11	K	919 06	22	L.	DK	11	K
173 638	11	K	919 06	22	L.	DL	11	K
174 638	11	K	919 06	22	L.	DM	11	K
175 638	11	K	919 06	22	L.	DN	11	K
176 638	11	K	919 06	22	L.	DO	11	K
177 638	11	K	919 06	22	L.	DP	11	K
178 638	11	K	919 06	22	L.	DQ	11	K
179 638	11	K	919 06	22	L.	DR	11	K
180 638	11	K	919 06	22	L.	DS	11	K
181 638	11	K	919 06	22	L.	DT	11	K
182 638	11	K	919 06	22	L.	DV	11	K
183 638	11	K	919 06	22	L.	DW	11	K
184 638	11	K	919 06	22	L.	DX	11	K
185 638	11	K	919 06	22	L.	DY	11	K
186 638	11	K	919 06	22	L.	DZ	11	K
187 638	11	K	919 06	22	L.	EA	11	K
188 638	11	K	919 06	22	L.	EB	11	K
189 638	11	K	919 06	22	L.	EC	11	K
190 638	11	K	919 06	22	L.	ED	11	K
191 638	11	K	919 06	22	L.	EE	11	K
192 638	11	K	919 06	22	L.	EF	11	K
193 638	11	K	919 06	22	L.	EG	11	K
194 638	11	K	919 06	22	L.	EH	11	K
195 638	11	K	919 06	22	L.	EI	11	K
196 638	11	K	919 06	22	L.	EJ	11	K
197 638	11	K	919 06	22	L.	EK	11	K
198 638	11	K	919 06	22	L.	EL	11	K
199 638	11	K	919 06	22	L.	EM	11	K
200 638	11	K	919 06	22	L.	EN	11	K
201 638	11	K	919 06	22	L.	EO	11	K
202 638	11	K	919 06	22	L.	EP	11	K
203 638	11	K	919 06	22	L.	EQ	11	K
204 638	11	K	919 06	22	L.	ER	11	K
205 638	11	K	919 06	22	L.	ES	11	K
206 638	11	K	919 06	22	L.	ET	11	K
207 638	11	K	919 06	22	L.	EU	11	K
208 638	11	K	919 06	22	L.	EV	11	K
209 638	11	K	919 06	22	L.	EW	11	K
210 638	11	K	919 06	22	L.	EX	11	K
211 638	11	K	919 06	22	L.	EY	11	K
212 638	11	K	919 06	22	L.	EZ	11	K
213 638	11	K	919 06	22	L.	FA	11	K
214 638	11	K	919 06	22	L.	FB	11	K
215 638	11	K	919 06	22	L.	FC	11	K
216 638	11	K	919 06	22	L.	FD	11	K
217 638	11	K	919 06	22	L.	FE	11	K
218 638	11	K	919 06	22	L.	FF	11	K
219 638	11	K	919 06	22	L.	FG	11	K
220 638	11	K	919 06	22	L.	FH	11	K
221 638	11	K	919 06	22	L.	FI	11	K
222 638	11	K	919 06	22	L.	FJ	11	K
223 638	11	K	919 06	22	L.	FK	11	K
224 638	11	K	919 06	22	L.	FL	11	K
225 638	11	K	919 06	22	L.	FM	11	K
226 638	11	K	919 06	22	L.	FN	11	K
227 638	11	K	919 06	22	L.	FO	11	K
228 638	11	K	919 06	22	L.	FP	11	K
229 638	11	K	919 06	22	L.	FQ	11	K
230 638	11	K	919 06	22	L.	FR	11	K
231 638	11	K	919 06	22	L.	FS	11	K
232 638	11	K	919 06	22	L.	FT	11	K
233 638	11	K	919 06	22	L.	FU	11	K
234 638	11	K	919 06	22	L.	FV	11	K
235 638	11	K	919 06	22	L.	FW	11	K
236 638	11	K	919 06	22	L.	FX	11	K
237 638	11	K	919 06	22	L.	FY	11	K
238 638	11	K	919 06	22	L.	FZ	11	K
239 638	11	K	919 06	22	L.	GA	11	K
240 638	11	K	919 06	22	L.	GB	11	K
241 638	11	K	919 06	22	L.	GC	11	K
242 638	11	K	919 06	22	L.	GD	11	K
243 638	11	K	919 06	22	L.	GE	11	K
244 638	11	K	919 06	22	L.	GF	11	K
245 638	11	K	919 06	22	L.	GG	11	K
246 638	11	K	919 06	22	L.	GH	11	K
247 638	11	K	919 06	22	L.	GI	11	K
248 638	11	K	919 06	22	L.	GJ	11	K
249 638	11	K	919 06	22	L.	GK	11	K
250 638	11	K	919 06	22	L.	GL	11	K
251 638	11	K	919 06	22	L.	GM	11	K
252 638	11	K	919 06	22	L.	GN	11	K
253 638	11	K	919 06	22	L.	GO	11	K
254 638	11	K	919 06	22	L.	GP	11	K
255 638	11	K	919 06	22	L.	GQ	11	K
256 638	11	K	919 06	22	L.	GR	11	K
257 638	11	K	919 06	22	L.	GS	11	K
258 638	11	K	919 06	22	L.	GT	11	K
259 638	11	K	919 06	22	L.	GU	11	K
260 638	11	K	919 06	22	L.	GV	11	K
261 638	11	K	919 06	22	L.	GW	11	K
262 638	11	K	919 06	22	L.	GX	11	K
26								



Heidelberg, L<sub>2</sub> Lowell, Flagstaff, L<sub>2</sub>,  
Laguna, Palomar, H. Matzill, Trans-  
ion (Mass.), P. Palisa, Wien, S. Schneide,  
Heidelberg, W. Wolf, Heidelberg.

Ein Planet, entdeckt auf zu Gegen-  
wärt 1903 August 6 und 11 sowie  
September 1 exponierten Platten, wurde  
mit LXa bezeichnet, UWF ist identisch  
mit Planet Nr. 68, UZ mit 608, WQ  
mit 360, WQ mit 347, XK mit 129.

360	Admetos	436
436	Chloris	440
440	Aspasia	452
452	Leukopo	462
462	Hippo	506
477	Galene	508
479	Leda	517
508	Hybris	518
517	Alphede	519
519	Klithia	525

Die Planeten Patroclus (447) und  
Hektor (434) haben ähnlich wie der  
Planet Achilles (585) Bahnen mit  
naherungswiese oder ganz gleicher  
Umlaufdauer wie Jupiter. Sie bieten  
mehr oder weniger ein Beispiel zu dem  
Lagrange'schen Satze der Bahnstabilität  
drosser Weltkörper, die die Spüren eines  
gleichzeitigen Durchganges durchgehen. Die  
Länge des Planetoiden Patroclus in  
seiner Bahn ist kleiner als die des Ju-

XL mit 462, XZ mit 469, YH mit 708,  
YK mit 411, VL mit 628, YP mit 42,  
YQ mit 458, ZA mit 534, ZB mit 31,  
615 mit KR und KV, WK wahrschein-  
lich mit 34, 635 mit TU, UT unter-  
schätzlich mit OX, VA mit YP, 4Q  
mit 538, AX wahrscheinlich mit 518,  
BA wahrscheinlich mit 568.

Die folgenden Planeten haben Namen  
erhalten:

Janus	571	Sora
Fortuna	574	Marcon
Tra	586	Montague
Ira	587	Pauly
Marcon	594	Cleopatra
Pygmalion	595	Achilles
Leda	600	Martina
Hektor	617	Patroclus
Sydney	620	Demost
Ada	626	Hektor

piter, die der beiden anderen Planeten  
ist größer. Achilles und Patroclus sind  
in ihrer zweiten Opposition gut beob-  
achtet worden, so daß Material zu einer  
genauen Bahnbestimmung jetzt vorliegt.  
Die Frage der Stabilität dieser Bahnen  
mit Rücksicht auf die Störungen, welche  
sie von Jupiter und den anderen  
Planeten erfahren, ist interessant, aber bis  
jetzt noch nicht vollständig gelöst.

## Vermischte Nachrichten

Der neue kleine Planet (1935 CT)  
ist von Melotte in Gwentwich am  
21. Januar aufgefunden worden. Er  
wurde vor der ersten Meldung der  
Entdeckung 6 Tage lang beobachtet und  
ist seitdem auch von Wolf in Heidel-  
berg photographiert worden. Am Hel-  
figkeit gleiche er einem Stern 16 Größe.  
Da er ziemlich parallel mit dem 6 Ju-  
pitersmonde sich fortbewegt, so wird  
wahrscheinlich, daß das neue Objekt  
ein noch unbekannter Trabant des Ju-  
piter ist.

Beobachtung eines sehr licht-  
schwachen kleinen Planeten nahe

bei dem Saturnmonde Phoebe am 12.  
September 1904. Prof. Barnard's) fand  
an jenen Tage, als er Phoebe am 40-  
Zoll der Yorkstrawerke aufsuchte,  
nahe dem Orte derselben ein sehr licht-  
schwaches Sternchen, das sich sehr  
langsam aber unerschütterlich gegen West  
bewegte. Er hielt es für den Trabanten  
Phoebe, bis später Prof. William H.  
Pickering durch Vergleichung aller  
vorstehenden Beobachtungen ango, daß  
dieselbe dieser Trabant des J' von dem  
beobachteten Objekt entfernt stand.

Unter diesen Umständen hält Prof. Barnard daran fest, daß das von ihm beobachtete Sternchen ein noch unbekannter kleiner Planet gewesen ist und bezeichnet ihn als Placidus 1904 CVI. Eine am 28. September 1904 mit dem Krasnodar aufgenommenen Photographie der Region des Placidus, in der sich das Objekt befand, zeigt einen kleinen Stern südlich von dem beobachteten, den auch Prof. Barnard in einer am 12. September gemachten Skizze aufzeichnete, aber von dem unbekannten Stern, der damals von ihm für Phoebe gehalten wurde, keine Spur. Es kann daher kein Zweifel sein, daß es sich um einen beweglichen Stern handelt und da dessen Bewegung so groß ist, wie eine als Saturnsatellite gelten zu können, so muß man eben annehmen, daß es ein unbekannter kleiner Planet war.

Beobachtungen des Saturnsatelliten Phoebe hat Prof. Barnard am 18. Zoller der Vorlesungsvorlesung ausgeführt. Er berichtet<sup>1)</sup> über seine Mikrometermessungen desselben im Juli bis Oktober 1906, durch welche die Position dieses Trabanten sehr genau bestimmt wurde. Der Trabant war zeitweilig sehr schwach, 18 oder 19 GröÙe, im Oktober dagegen heller, 16 GröÙe. Merkwürdig ist, daß dieser Satellit auch etwas zeitweilig demittiert, in den besten Momenten als sternenförmiger Punkt, der ausserhalb von einer schwachen, kleinen Nebelhülle umgeben war. Doch macht Prof. Barnard darauf aufmerksam, daß es bei einem so lichtschwachen Objekt sehr schwierig ist, mit einiger Sicherheit über diese abgäbe Aussagen darüber zu entscheiden.

Die Bestimmung zeitlichen Periode und Periodendauer der veränderlichen Sterne, welche vor vielen Jahren von J. Schaeßle (Athen) zuerst erkannt und worden vollständig bestätigt wurde, ist zeitweilig von S. Botjanek (Göttingen), hauptsächlich auf Grund

des zweiten Pickeringischen Katalogs der Veränderlichen, einer neuen Untersuchung unterzogen worden.<sup>2)</sup> Es handelt sich dabei natürlich nur um rote Sterne und es werden zwischen Weiß (8) und von Rot (10) 11 Klassen unterschieden.

Der erste Schritt der Untersuchung war eine rote Ableitung der geschätzten Beziehung zwischen der Farbe und der Periode. Nachdem die sogenannten neuen Sterne vollständig ausgeschlossen worden waren, wurden die vier hingen Pickeringischen Typen einzeln betrachtet. Ohne irgend eine Korrelation an die Farbe der Sterne anzuzeigen, hat Verf. für die geschätzte Beziehung folgende provisorische Tabelle erstellt:

Klasse	Periode	Mittl. Periode- dauer in Tagen	Mittl. Farbe	Anzahl der Sterne
V	Alger Typen	—	2.03	13
IV	Kepleroiden	70	2.44	26
II	Wien als 120	60	2.4	4
•	100—200	150	2.21	24
•	200—300	250	1.97	34
•	300—400	350	1.46	35
•	400—500	450	1.60	46
•	500—600	550	0.30	30
•	600—1000	410	1.30	31
•	1000—5000	470	1.5	7
III	Irregulär	—	2.26	44

Wurde ein Vergleich der Farbe mit der größten Helligkeit durchgeführt, so ergab sich, daß bei schwächeren Sternen ein Zusammenhang (ausnahmslos) besteht. Bei Sternen, die im Maximum heller als 5 GröÙe sind, ist die Farbe im Mittel 2.5 und nimmt mit abnehmender Maximalhelligkeit ab, so daß bei den Sternen, die 9.5—12.5 GröÙe erreichen übersteigen bis auf 3.1 herabsinkt. Deshalb wurden die Sterne, welche heller als 5 GröÙe werden und ebenso diejenigen, die schwächer als 9.5 GröÙe bleiben, ausgeschlossen. Die übrigen ergaben dann folgende definitive Tabelle, welche die Beziehung zwischen der Periodendauer und des Grad der Färbung anzeigt:

<sup>1)</sup> Astron. Nachr. Nr. 4226

<sup>2)</sup> Astron. Nachr. Nr. 4226.

Zeit-Perioden- dauer in Tagen	Mitt. Parallax	Anzahl der Sterne
13	33	13
40	34	4
163	5.54	22
226	4.44	32
254	5.52	38
326	5.79	47
574	6.51	15
618	7.33	13
674	7.8	7
Insgesamt	7.45	26

**Neue Bestimmungen von Fixsternparallaxen.** Dr. Karl Böhlen in Stettin hat durch Ausmessung von photographischen Sternaufnahmen, die zu diesem Zweck gemacht worden sind, die Parallaxen einiger Fixsterne untersucht.<sup>7)</sup> Der Doppelstern 7.5-Ursula No. 16115 im Lalandischen Sternverzeichnis, dessen Ort am Himmel für 1900.00 ist  $AR = 6^h 1^m 34.75^s$   $Dec = +53^{\circ} 6' 58.2''$  ergab durch Ausmessung von 26 Platten eine Parallaxe von 0.065. Dieser Stern, der hinsichtlich der Eigenbewegung ruht, ist schon früher auf Parallaxe untersucht worden und zwar von Prof. Peter in Leipzig durch Heliometermessungen und von Prof. Kapteyn durch Heliometerbeobachtungen am Meridiankreuz. Erstere fand für die Parallaxe den Wert 0.050<sup>8)</sup>, letzterer 0.034<sup>8)</sup>. Es scheint demnach, daß dieser Doppelstern tatsächlich eine für unsere Meßinstrumente merkliche Parallaxe von nahezu 0.1" besitzt.

Von dem Stern  $\epsilon$  Cygni, der bekanntlich zuerst von Bessel mit erfolgreichem Erfolge auf Parallaxe untersucht worden ist, wurde unlängst eine durch große Genauigkeit ausgezeichnete Beobachtungsergebnisse von Dr. Bergström, Observator der Sternwarte in Uppsala, veröffentlicht. Diese Beobachtungen hat Dr. Böhlen ebenfalls mit größter Sorgfalt beobachtet und daraus für die Para-

llaxe den Wert von 0.050<sup>8)</sup> erhalten. Dieser Stern ist in unserer Zeit auch von Perichard, Whiting, Davis, Kapteyn, de Sitter und Pease auf seine Parallaxe untersucht worden. Der Mittelwert aus diesen Bestimmungen ist 0.345<sup>8)</sup> und also in guter Übereinstimmung mit der neuen Untersuchung von Dr. Böhlen und mit der alten von Bessel. Es scheint demnach sicher zu sein, daß der Doppelstern  $\epsilon$  im Schwanz des Fenchens von 0.3" bis 0.4" besitzt, wie schon Bessel gefunden hatte.

**Angestrebter Meteoritenfall.** Der holländische Dampfer „Ocean“, der von Rotterdam nach Philadelphia fuhr, berichtet, daß etwa 200 Meilen von dem amerikanischen Hafen entfernt dicht neben dem Schiffe ein Meteor in die See fiel, dessen Gewicht viele Tausende gewöhnliche Wagen, die über den Dampfer hinweggingen. Gleichzeitig schoss aus dem Wasser Wolken von Gas auf, die so dicht waren, daß sich die Mannschaft vor ihnen unter Deck hielten mußte. Kapitan Benkert konnte sich mit der Mannschaft erst nach Verlauf einer Viertelstunde wieder an Deck wagen. Er fand diesen mit einem eigensartigen, braunen Staube bedeckt. Die Mannschaft war immer wieder an Deck gegangen, als ein schließlicher Regen von glühenden Meteoriten aus der Schiffsrückwand in die See einschlug. Dieser Meteoritenregen bildete mehrere Meilen an und die See wurde, soweit man sehen konnte, phosphoreszierend. Die Matrosen erzählten, daß die glühenden Meteoriten in allen nur denkbaren Farben glänzt hätten.

Diese Erzählung trägt ganz das Gepräge der Fabelhaftigkeit an sich, da Meteoritenfälle niemals unter solchen Begleiterscheinungen auftreten.

<sup>7)</sup> Astron. Nachr. Nr. 4140

# Astronomischer Kalender für den Monat Juli 1908.

Sonnen				Mond			
Mittlere Sonnen Zeit				Fiktive Sonnen Zeit			
Tag	h. m. s.	Rektascension	Declination	Tag	h. m. s.	Rektascension	Declination
1	4 59 57	8 58 58 78	+10 5 15	1	4 59 57	8 58 58 78	+10 5 15
2	4 59 59	8 59 5 58	10 5 15 1	2	4 59 59	8 59 5 58	+10 5 15 1
3	4 59 59	8 59 11 78	10 5 15 1	3	4 59 59	8 59 11 78	+10 5 15 1
4	4 59 59	8 59 17 58	10 5 15 1	4	4 59 59	8 59 17 58	+10 5 15 1
5	4 59 59	8 59 24 38	10 5 15 1	5	4 59 59	8 59 24 38	+10 5 15 1
6	4 59 59	8 59 31 18	10 5 15 1	6	4 59 59	8 59 31 18	+10 5 15 1
7	4 59 59	8 59 37 98	10 5 15 1	7	4 59 59	8 59 37 98	+10 5 15 1
8	4 59 59	8 59 43 78	10 5 15 1	8	4 59 59	8 59 43 78	+10 5 15 1
9	4 59 59	8 59 49 58	10 5 15 1	9	4 59 59	8 59 49 58	+10 5 15 1
10	4 59 59	8 59 55 78	10 5 15 1	10	4 59 59	8 59 55 78	+10 5 15 1
11	4 59 59	8 59 61 58	10 5 15 1	11	4 59 59	8 59 61 58	+10 5 15 1
12	4 59 59	8 59 67 78	10 5 15 1	12	4 59 59	8 59 67 78	+10 5 15 1
13	4 59 59	8 59 73 58	10 5 15 1	13	4 59 59	8 59 73 58	+10 5 15 1
14	4 59 59	8 59 79 78	10 5 15 1	14	4 59 59	8 59 79 78	+10 5 15 1
15	4 59 59	8 59 85 58	10 5 15 1	15	4 59 59	8 59 85 58	+10 5 15 1
16	4 59 59	8 59 91 78	10 5 15 1	16	4 59 59	8 59 91 78	+10 5 15 1
17	4 59 59	8 59 97 58	10 5 15 1	17	4 59 59	8 59 97 58	+10 5 15 1
18	4 59 59	8 59 103 78	10 5 15 1	18	4 59 59	8 59 103 78	+10 5 15 1
19	4 59 59	8 59 109 58	10 5 15 1	19	4 59 59	8 59 109 58	+10 5 15 1
20	4 59 59	8 59 115 78	10 5 15 1	20	4 59 59	8 59 115 78	+10 5 15 1
21	4 59 59	8 59 121 58	10 5 15 1	21	4 59 59	8 59 121 58	+10 5 15 1
22	4 59 59	8 59 127 78	10 5 15 1	22	4 59 59	8 59 127 78	+10 5 15 1
23	4 59 59	8 59 133 58	10 5 15 1	23	4 59 59	8 59 133 58	+10 5 15 1
24	4 59 59	8 59 139 78	10 5 15 1	24	4 59 59	8 59 139 78	+10 5 15 1
25	4 59 59	8 59 145 58	10 5 15 1	25	4 59 59	8 59 145 58	+10 5 15 1
26	4 59 59	8 59 151 78	10 5 15 1	26	4 59 59	8 59 151 78	+10 5 15 1
27	4 59 59	8 59 157 58	10 5 15 1	27	4 59 59	8 59 157 58	+10 5 15 1
28	4 59 59	8 59 163 78	10 5 15 1	28	4 59 59	8 59 163 78	+10 5 15 1
29	4 59 59	8 59 169 58	10 5 15 1	29	4 59 59	8 59 169 58	+10 5 15 1
30	4 59 59	8 59 175 78	10 5 15 1	30	4 59 59	8 59 175 78	+10 5 15 1
31	4 59 59	8 59 181 58	10 5 15 1	31	4 59 59	8 59 181 58	+10 5 15 1

## Planetenkonstellationen 1908

Tag	h. m. s.	Rektascension	Declination
1	4 59 57	8 58 58 78	+10 5 15
2	4 59 59	8 59 5 58	10 5 15 1
3	4 59 59	8 59 11 78	10 5 15 1
4	4 59 59	8 59 17 58	10 5 15 1
5	4 59 59	8 59 24 38	10 5 15 1
6	4 59 59	8 59 31 18	10 5 15 1
7	4 59 59	8 59 37 98	10 5 15 1
8	4 59 59	8 59 43 78	10 5 15 1
9	4 59 59	8 59 49 58	10 5 15 1
10	4 59 59	8 59 55 78	10 5 15 1
11	4 59 59	8 59 61 58	10 5 15 1
12	4 59 59	8 59 67 78	10 5 15 1
13	4 59 59	8 59 73 58	10 5 15 1
14	4 59 59	8 59 79 78	10 5 15 1
15	4 59 59	8 59 85 58	10 5 15 1
16	4 59 59	8 59 91 78	10 5 15 1
17	4 59 59	8 59 97 58	10 5 15 1
18	4 59 59	8 59 103 78	10 5 15 1
19	4 59 59	8 59 109 58	10 5 15 1
20	4 59 59	8 59 115 78	10 5 15 1
21	4 59 59	8 59 121 58	10 5 15 1
22	4 59 59	8 59 127 78	10 5 15 1
23	4 59 59	8 59 133 58	10 5 15 1
24	4 59 59	8 59 139 78	10 5 15 1
25	4 59 59	8 59 145 58	10 5 15 1
26	4 59 59	8 59 151 78	10 5 15 1
27	4 59 59	8 59 157 58	10 5 15 1
28	4 59 59	8 59 163 78	10 5 15 1
29	4 59 59	8 59 169 58	10 5 15 1
30	4 59 59	8 59 175 78	10 5 15 1
31	4 59 59	8 59 181 58	10 5 15 1

Planeten-Ephemeriden.

Nördlicher Berliner Mittag.				Nördlicher Berliner Mittag.			
Monat- tag	Rechnungen			Zeit in m	Rechnungen		
	h	m	s		h	m	s
Merkur				Saturn			
Juli 0	0 46	15.37	+14.30 30.4	0 35	0 42	27.03	+1 46 27.5
10	0 46	15.37	38 42 40.4	10 35	0 42	26.57	1 46 27.5
20	0 46	15.37	46 50 49.4	20 35	0 42	16.53	+1 46 27.5
30	0 46	15.37	55 00 58.4				
Juli 0	0 46	15.37	63 11 07.4				
10	0 46	15.37	+01 4 30.7				
Venus				Uranus			
Juli 0	0 7	4 47.33	+00 55 1.7	0 35	0 35	4 38.03	—00 5 40.4
10	0 7	4 47.33	00 55 1.7	10 35	0 35	3 50.55	—00 5 40.4
20	0 7	4 47.33	00 55 1.7	20 35	0 35	3 3 50.55	—00 5 40.4
30	0 7	4 47.33	00 55 1.7				
Mars				Neptun			
Juli 0	0 7	47 33.83	+01 45 37.0	0 35	0 7	4 38.03	+01 45 37.0
10	0 7	47 33.83	01 45 37.0	10 35	0 7	4 38.03	01 45 37.0
20	0 7	47 33.83	01 45 37.0	20 35	0 7	4 38.03	+01 45 37.0
30	0 7	47 33.83	+01 45 37.0				
Jupiter				Mondphasen 1899			
Juli 0	0 35	7.54	+00 44 30.4	h m s			
10	0 35	7.54	00 44 30.4	Juli 0	0 7	10.4	Erste Viertel
20	0 35	7.54	00 44 30.4	10	10	44.1	Vollmond
30	0 35	7.54	+01 37 30.4	20	0	56.5	Letztes Viertel
				30	20	10.4	Neumond
				1	0	—	Monat in Erdkreis
				14	14	—	Monat in Erdkreis
				25	12	—	Monat in Erdkreis

Berechnungen durch den Mond für Berlin 1900

Montag	Sterne	Größe	Zeit mittler. Zeit		Azimut mittler. Zeit	
			h	m	h	m
Juli 20	α Cygnus	2.0	1	39.9	0	30.5
11	α Aquila	2.0	23	39.9	17	22.8

Lage und Größe des Saturnrings

Juli 25 Große Achse des Ringes: 41.00" kleine Achse: 1.00" abd.  
Erleuchtungsweite der Sonne über der Ringebene: 0° 22' abd.

Juli 25	Mittlere Scheitel des Falzes	22° 27' 420"
	Waben	22° 27' 140"
	Mittelpunkt des Spinn	11° 48' 51"
	Perihelion	240"

Stellungen der Jupitermonde im Juli 1933.

I.		II.	
III.		IV.	

Stellungen am 6. für den Anblick im astronomischen Fernrohr.

Tag	West.	Ost.
1		1 2 3 4 5 6
2		1 2 3 4 5 6
3	1 2 3 4 5 6	
4	1 2 3 4 5 6	
5	1 2 3 4 5 6	
6	1 2 3 4 5 6	
7	1 2 3 4 5 6	
8	1 2 3 4 5 6	
9	1 2 3 4 5 6	
10	1 2 3 4 5 6	
11	1 2 3 4 5 6	
12	1 2 3 4 5 6	
13	1 2 3 4 5 6	
14	1 2 3 4 5 6	
15	1 2 3 4 5 6	
16	1 2 3 4 5 6	
17	1 2 3 4 5 6	
18	1 2 3 4 5 6	
19	1 2 3 4 5 6	
20	1 2 3 4 5 6	
21	1 2 3 4 5 6	
22	1 2 3 4 5 6	
23	1 2 3 4 5 6	
24	1 2 3 4 5 6	
25	1 2 3 4 5 6	
26	1 2 3 4 5 6	
27	1 2 3 4 5 6	
28	1 2 3 4 5 6	
29	1 2 3 4 5 6	
30	1 2 3 4 5 6	
31	1 2 3 4 5 6	

Wegen der Nähe des Jupiter bei der Sonne sind die Beobachtungen zwischen vom 10. Juli bis 12. September nicht zu beobachten.

**Berechnungen der Jupitermonde.** Die ältesten Angaben über die Erscheinungen der Jupitermonde beziehen sich auf mittlere Zeit vom Opposition. Die Tabellen sind der Rechenfolge ihres Abstandes vom Jupiter nach III bis IV geordnet. Die vier größten Figuren zeigen die Stellung jedes Mondes zum Haupt- und zum Jupiter für den Augenblick der Verfinsternung III oder des Wiederauftretens IV ist nicht angegeben, so kann der Ausbruch aus dem Schatten nicht beobachtet werden. Folgt jedoch bei dem nachfolgenden Zeilenpaar:

- Ha D das Verschwinden des Triebsterns im Schatten des Jupiter.  
 Ha E den Austritt des Triebsterns aus dem Schatten des Jupiter.  
 Ge D das Verschwinden des Triebsterns hinter der Jupitersehne.  
 Ge E das Wiederauftreten schließ selbst der Jupitersehne.  
 Ti D den Eintritt des Triebsterns vor der Jupitersehne.  
 Ti E den Austritt des Triebsterns aus der Jupitersehne.  
 Sb D den Eintritt des Triebsternstrahls auf der Jupitersehne.  
 Sb E den Austritt des Triebsternstrahls aus der Jupitersehne.

Es sind nur diejenigen Erscheinungen der Jupitermonde aufgeführt, welche sich so eignen, wenn Jupiter im Conjunction über und die Sonne unter dem Horizont steht. Um die Merkmale dieser Erscheinungen nach witterungsabhängiger Zeit zu finden, ist man nur nötig, in zu den nachstehenden Tabellen zu schreiten.

**JUNE 1** The first day = **JUNE 2** The second day = **JUNE 3** The third day

Befragungen der Schwangerschaft. *Feldmann S. 381*

Zusatz der Reflections-Fluoreszenz am 1. Juli 1994

[illegible]

Income, Jan 1 1974	Jan 1 1974	Jan 1 1974	Jan 1 1974	Jan 1 1974	Jan 1 1974
Jan 1 1974	Jan 1 1974	Jan 1 1974	Jan 1 1974	Jan 1 1974	Jan 1 1974

Known: July 4, 1834; July 6, 1840; July 14, 1847; July 26, 1854; July 22, 1861; Jan. 18, 1868.







Thurs. July 11 1941, Jan 8 1942, Jan 10, 1943, Jan 14, 1944, Jan 15, 1945, Jan 16, 1946, Jan 17, 1947, Jan 18, 1948, Jan 19, 1949, Jan 20, 1950, Jan 21, 1951, Jan 22, 1952, Jan 23, 1953, Jan 24, 1954, Jan 25, 1955, Jan 26, 1956, Jan 27, 1957, Jan 28, 1958, Jan 29, 1959, Jan 30, 1960, Jan 31, 1961, Jan 32, 1962, Jan 33, 1963, Jan 34, 1964, Jan 35, 1965, Jan 36, 1966, Jan 37, 1967, Jan 38, 1968, Jan 39, 1969, Jan 40, 1970, Jan 41, 1971, Jan 42, 1972, Jan 43, 1973, Jan 44, 1974, Jan 45, 1975, Jan 46, 1976, Jan 47, 1977, Jan 48, 1978, Jan 49, 1979, Jan 50, 1980, Jan 51, 1981, Jan 52, 1982, Jan 53, 1983, Jan 54, 1984, Jan 55, 1985, Jan 56, 1986, Jan 57, 1987, Jan 58, 1988, Jan 59, 1989, Jan 60, 1990, Jan 61, 1991, Jan 62, 1992, Jan 63, 1993, Jan 64, 1994, Jan 65, 1995, Jan 66, 1996, Jan 67, 1997, Jan 68, 1998, Jan 69, 1999, Jan 70, 2000, Jan 71, 2001, Jan 72, 2002, Jan 73, 2003, Jan 74, 2004, Jan 75, 2005, Jan 76, 2006, Jan 77, 2007, Jan 78, 2008, Jan 79, 2009, Jan 80, 2010, Jan 81, 2011, Jan 82, 2012, Jan 83, 2013, Jan 84, 2014, Jan 85, 2015, Jan 86, 2016, Jan 87, 2017, Jan 88, 2018, Jan 89, 2019, Jan 90, 2020, Jan 91, 2021, Jan 92, 2022, Jan 93, 2023, Jan 94, 2024, Jan 95, 2025, Jan 96, 2026, Jan 97, 2027, Jan 98, 2028, Jan 99, 2029, Jan 100, 2030, Jan 101, 2031, Jan 102, 2032, Jan 103, 2033, Jan 104, 2034, Jan 105, 2035, Jan 106, 2036, Jan 107, 2037, Jan 108, 2038, Jan 109, 2039, Jan 110, 2040, Jan 111, 2041, Jan 112, 2042, Jan 113, 2043, Jan 114, 2044, Jan 115, 2045, Jan 116, 2046, Jan 117, 2047, Jan 118, 2048, Jan 119, 2049, Jan 120, 2050, Jan 121, 2051, Jan 122, 2052, Jan 123, 2053, Jan 124, 2054, Jan 125, 2055, Jan 126, 2056, Jan 127, 2057, Jan 128, 2058, Jan 129, 2059, Jan 130, 2060, Jan 131, 2061, Jan 132, 2062, Jan 133, 2063, Jan 134, 2064, Jan 135, 2065, Jan 136, 2066, Jan 137, 2067, Jan 138, 2068, Jan 139, 2069, Jan 140, 2070, Jan 141, 2071, Jan 142, 2072, Jan 143, 2073, Jan 144, 2074, Jan 145, 2075, Jan 146, 2076, Jan 147, 2077, Jan 148, 2078, Jan 149, 2079, Jan 150, 2080, Jan 151, 2081, Jan 152, 2082, Jan 153, 2083, Jan 154, 2084, Jan 155, 2085, Jan 156, 2086, Jan 157, 2087, Jan 158, 2088, Jan 159, 2089, Jan 160, 2090, Jan 161, 2091, Jan 162, 2092, Jan 163, 2093, Jan 164, 2094, Jan 165, 2095, Jan 166, 2096, Jan 167, 2097, Jan 168, 2098, Jan 169, 2099, Jan 170, 2100, Jan 171, 2101, Jan 172, 2102, Jan 173, 2103, Jan 174, 2104, Jan 175, 2105, Jan 176, 2106, Jan 177, 2107, Jan 178, 2108, Jan 179, 2109, Jan 180, 2110, Jan 181, 2111, Jan 182, 2112, Jan 183, 2113, Jan 184, 2114, Jan 185, 2115, Jan 186, 2116, Jan 187, 2117, Jan 188, 2118, Jan 189, 2119, Jan 190, 2120, Jan 191, 2121, Jan 192, 2122, Jan 193, 2123, Jan 194, 2124, Jan 195, 2125, Jan 196, 2126, Jan 197, 2127, Jan 198, 2128, Jan 199, 2129, Jan 200, 2130, Jan 201, 2131, Jan 202, 2132, Jan 203, 2133, Jan 204, 2134, Jan 205, 2135, Jan 206, 2136, Jan 207, 2137, Jan 208, 2138, Jan 209, 2139, Jan 210, 2140, Jan 211, 2141, Jan 212, 2142, Jan 213, 2143, Jan 214, 2144, Jan 215, 2145, Jan 216, 2146, Jan 217, 2147, Jan 218, 2148, Jan 219, 2149, Jan 220, 2150, Jan 221, 2151, Jan 222, 2152, Jan 223, 2153, Jan 224, 2154, Jan 225, 2155, Jan 226, 2156, Jan 227, 2157, Jan 228, 2158, Jan 229, 2159, Jan 230, 2160, Jan 231, 2161, Jan 232, 2162, Jan 233, 2163, Jan 234, 2164, Jan 235, 2165, Jan 236, 2166, Jan 237, 2167, Jan 238, 2168, Jan 239, 2169, Jan 240, 2170, Jan 241, 2171, Jan 242, 2172, Jan 243, 2173, Jan 244, 2174, Jan 245, 2175, Jan 246, 2176, Jan 247, 2177, Jan 248, 2178, Jan 249, 2179, Jan 250, 2180, Jan 251, 2181, Jan 252, 2182, Jan 253, 2183, Jan 254, 2184, Jan 255, 2185, Jan 256, 2186, Jan 257, 2187, Jan 258, 2188, Jan 259, 2189, Jan 260, 2190, Jan 261, 2191, Jan 262, 2192, Jan 263, 2193, Jan 264, 2194, Jan 265, 2195, Jan 266, 2196, Jan 267, 2197, Jan 268, 2198, Jan 269, 2199, Jan 270, 2200, Jan 271, 2201, Jan 272, 2202, Jan 273, 2203, Jan 274, 2204, Jan 275, 2205, Jan 276, 2206, Jan 277, 2207, Jan 278, 2208, Jan 279, 2209, Jan 280, 2210, Jan 281, 2211, Jan 282, 2212, Jan 283, 2213, Jan 284, 2214, Jan 285, 2215, Jan 286, 2216, Jan 287, 2217, Jan 288, 2218, Jan 289, 2219, Jan 290, 2220, Jan 291, 2221, Jan 292, 2222, Jan 293, 2223, Jan 294, 2224, Jan 295, 2225, Jan 296, 2226, Jan 297, 2227, Jan 298, 2228, Jan 299, 2229, Jan 300, 2230, Jan 301, 2231, Jan 302, 2232, Jan 303, 2233, Jan 304, 2234, Jan 305, 2235, Jan 306, 2236, Jan 307, 2237, Jan 308, 2238, Jan 309, 2239, Jan 310, 2240, Jan 311, 2241, Jan 312, 2242, Jan 313, 2243, Jan 314, 2244, Jan 315, 2245, Jan 316, 2246, Jan 317, 2247, Jan 318, 2248, Jan 319, 2249, Jan 320, 2250, Jan 321, 2251, Jan 322, 2252, Jan 323, 2253, Jan 324, 2254, Jan 325, 2255, Jan 326, 2256, Jan 327, 2257, Jan 328, 2258, Jan 329, 2259, Jan 330, 2260, Jan 331, 2261, Jan 332, 2262, Jan 333, 2263, Jan 334, 2264, Jan 335, 2265, Jan 336, 2266, Jan 337, 2267, Jan 338, 2268, Jan 339, 2269, Jan 340, 2270, Jan 341, 2271, Jan 342, 2272, Jan 343, 2273, Jan 344, 2274, Jan 345, 2275, Jan 346, 2276, Jan 347, 2277, Jan 348, 2278, Jan 349, 2279, Jan 350, 2280, Jan 351, 2281, Jan 352, 2282, Jan 353, 2283, Jan 354, 2284, Jan 355, 2285, Jan 356, 2286, Jan 357, 2287, Jan 358, 2288, Jan 359,

Figure 1 consists of five bar charts, labeled (a) through (e), each showing the percentage of respondents for different age groups across various demographic categories. The age groups are 18-24, 25-34, 35-44, 45-54, 55-64, and 65+. The categories are: (a) Gender, (b) Education, (c) Income, (d) Employment, and (e) Marital Status. In all categories, the 18-24 age group is the largest, followed by 25-34, and then 35-44. The 65+ age group is the smallest in all categories.

Category	18-24	25-34	35-44	45-54	55-64	65+
(a) Gender	35%	25%	20%	10%	5%	5%
(b) Education	30%	25%	20%	15%	10%	10%
(c) Income	30%	25%	20%	15%	10%	10%
(d) Employment	30%	25%	20%	15%	10%	10%
(e) Marital Status	30%	25%	20%	15%	10%	10%

**Die Hauptwerke Rosenfelds aus 24. Juni 1934**

An diesem Tage findet eine wichtige Sommerüberfahrt statt, die zum Teil in Antarktika gänzlich neu war. Sie beginnt auf der Erde (Schiffahrt) zum 2. 12-20 km in 21 m. Gewässer, in 117° 28' n. Länge von Österreich und 2° 1' nördl. Breite. Sie endet auf der Erde (Hauptstadt) zum 2. 74-30 km, in 10° 30' nördl. Länge von Österreich, und 2° 25' nördl. Breite. In Österreich ist vor der Meerespartie (Finsternis) sichtbar, beginnt 14 km und endet 14 km in 21 m. Gewässer. Deutschland und Österreich werden nur diejenigen Orte von der Finsternis (Finsternis) die südlich von einer Linie liegen, welche von Münster über Marburg, Bielefeld, den südlichen Rheingebiet und das Sommergebirge verläuft. Bei der (Finsternis) in die Finsternis im südlichen Teile der Ostsee, in Nordamerika mit Ausnahme der Polargebiete, in Norwest-Afrika und in der südwestlichen Hälfte Asiens.

<p>62.8. 1907, März 8 T<sub>1</sub> 100-100, 2=200 1-1=200.</p> 	<p>62.8. 1907, März 8 T<sub>1</sub> 100-100, 2=200 1-1=200.</p> 
<p>62.8. 1907, März 4 T<sub>1</sub> 100-100, 2=200.</p> 	<p>62.8. 1907, März 4. T<sub>1</sub> 100-100, 2=200.</p> 
<p>62.8. 1907, April 2 T<sub>1</sub> 100-100, 2=200.</p> 	<p>62.8. 1907, April 2 T<sub>1</sub> 100-100, 2=200.</p> 

Seite 100.

Seite 1.

Photographische Aufnahmen des Planeten Jupiter aus großer Entfernung der Wiener Sternwarte.  
Von Dr. Jos. Rueden.





Figure 1. The effect of the concentration of the inhibitor on the rate of polymerization of  $\alpha$ -methylstyrene in the presence of  $\text{SnCl}_4$  at  $25^\circ\text{C}$ .

[illegible]

**2023**      **FEBRUARY 28**



2010年10月10日





Fig. 4

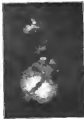


Fig. 5



Fig. 6

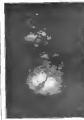


Fig. 7

# SIRIUS.

Zeitschrift für populäre Astronomie.

Centralorgan für alle Freunde und Förderer der Himmelskunde.

Herausgegeben

unter Mitwirkung hervorragender Fachlehrer und astronomischer Schriftsteller

von Prof. Dr. Hermann J. Klein in Köln

Juni 1908.

(Wissen und Erreichte und die Pläne und die  
Entwicklung der Wissenschaft.)

Jeden Monat 1 Heft. — Jährlich 12 Hft.

Verlag von EDUARD HEINRICH MAYER in Leipzig.

**INHALT:** Die Osterfestberechnung in alter und neuer Zeit. S. 121. — Aussehen des Saturn im nächsten Juliaber der Teleskopseher. (Phases Tafel VII.) S. 125. — Frühere Entdeckungen des Saturn 1607. S. 126. — Der Internationale Komet. S. 128. — Der Ursprung der Meteoriten. S. 132. — Die Rotationsverhältnisse des optischen und spektroskopischen Doppelsterns. S. 134. — Spektroskopische Doppelsterne der in verschiedenen Orientierungen unter Beobachtung stehen. S. 137. — Verschiedene Nachrichten. S. 138. — Astronomischer Kalender. S. 142. — Briefe aus der Sternwarte. S. 144. —

## Die Osterfest-Berechnung in alter und neuer Zeit.

**I**n heutigen Kalender und kalenderischen Tabellen haben die Berechnungsweise des Osterfestes den Gewichtsvorzug der Einfachheit und auch vieler Gebirgen fast völlig entbehrt, höchstens nur trifft man hier und da das Kennzeichen der heiligen Osterkerze, welche Ostern im Jahre 1808 veröffentlichte, ohne jedoch den Zweck derselben beizubehalten. So groß ist sogar die Unwissenheit in dieser Beziehung, daß im Jahre 1903 mehrere Zeitungen behaupteten, Ostern fiele demals in Amerika am 15., in Europa am 22. April gefeiert werden müssen. Man gibt es zwar mehrere Schriften über den Kalender und dessen Errechnung, die sich natürlich auch über die Berechnungsweise des Datums des Osterfestes verbreiten,

aber eine eingehende Erklärung der Gegenstände, besonders auch unter dem Gesichtspunkte eines Beitrags zur christlichen Chronologie, fehlte unserer Zeit vollständig. Dem ist jetzt durch eine umfassende Arbeit abgeholfen, welche Dr. Josef Bach in der wissenschaftlichen Zeitschrift des katholischen Gymnasiums zu Simsbürg i. E. veröffentlicht hat und auf welche an dieser Stelle besonders hingewiesen werden soll. Derselbe Bach behandelt im ersten Teil dieser Schrift die Geschichte der Osterrechnung und des Osterfestes, im zweiten die Festen der Bestimmung des Osterfestes und gibt schließlich in einem Anhang Tabellen zur Osterberechnung, eine Tabelle der beweglichen Feste und die Osterfesten

bis zum 16. Jahrhundert unserer Zeitrechnung, gerichtet nach den Monats-  
tagen auf die sie laßen. Hier soll aus  
der genannten Schrift nur einiges bezüglich  
der Geschichte der Osterberechnung  
hervorgehoben werden.

Das Osterfest bildet das Zentrum  
der christlichen Festordnung und es  
ist nicht nur von dem wechselnden  
Frühlingsevolutionsorte abhängig, sondern  
auch an dem stündlich sich wandelnden  
Sonntag gebunden. Daraus ergibt  
sich, wie wichtig die richtige Be-  
stimmung des Osterfestes für das  
kirchliche und bürgerliche Leben  
sowie für die chronologische Festlegung  
historischer Vorgänge ist. „Wegen  
dieser außeralltäglichen Bedeutung  
des Osterfestes“, sagt Dr. Bach, „be-  
schäftigte man sich in früherer Zeit,  
wo unsere heutigen Kalender noch  
unbekannt waren, viel und eifrig mit  
der Bestimmung seines jährlich wech-  
selnden Termins und des Datums der  
von ihm abhängenden Feste. Eine der-  
artigst Osterberechnung nannte man „Com-  
putus“ (Berechnung) und die Leute, die  
sich dieser Arbeit widmeten, „Computa-  
tisten“. Den Geistlichen des Mittelalters,  
denen vorzugsweise die Pflege der  
Wissenschaft oblag und die ja schon  
durch ihren Beruf an einer festen Gottes-  
dienstordnung am meisten interessiert  
waren, wurde eine derartige Beschäfti-  
gung nachdrücklich empfohlen oder  
gar zur Pflicht gemacht. So wird uns  
berichtet, daß von den Bischöfen unter  
Karl dem Großen, der nach dem Zeug-  
nis seines Biographen Einhard selbst  
die Osterrechnung lernte, die genau  
Kenntnis des Computus verlangt wurde.  
Und der römische Kanonist Gratianus  
(1137—1190) sagt in dieser Beziehung:  
„Nach einer Botschaft des heiligen  
Augustinus und die Priester verpflichtet,  
den Computus zu kennen; sonst ver-  
dienen sie nicht, Priester zu heißen.  
Daher verstehen wir die Kanones  
des Verlaufs des Sonntags und Mond-

jahres und der Einrichtung des Kalen-  
ders; der Computus besteht nämlich  
daraus, die Zeit nach dem stündlichen  
Vorwärtsschreiten der Sonne und des  
Mondes richtig zu ordnen.“ Für alle  
mittelalterlichen liturgischen Werke und  
daher mit Kalendern und mit einer mehr  
oder weniger ausführlichen Belehrung  
über den Computus versehen. Auch  
die gelehrte Äbtissin Hildegard von Bingen  
(12. Jahrhundert) gibt in ihrem  
berühmten eschatologischen Werke  
„Scivias divinae“ eine stürzende An-  
leitung.“

Berüglich der Osterberechnung ist  
folgendes der genannten Schrift zu  
entnehmen:

„Da das Christentum in der Urzeit  
mit der Synagoge noch in der engsten  
Führung stand und der Erlösungstod des  
Herrn und die Ausgewählung des Heiligen  
Geistes auf die beiden jüdischen Haupt-  
feste, Pessach und Pentecoste, beruht, so  
war es sehr natürlich, daß Ostern und  
Pfingsten, wenn auch die Feste in  
den Christen eine höhere geworden war,  
hauptsächlich der Zeit in Abhängigkeit  
von der jüdischen Festordnung geriet.  
Da nun das Pessach und mit ihm Ostern  
im Sommerfeste ein bewegliches Fest  
ist, so brachen bezüglich der Zeit der  
Fest in der Christenheit bald Streit-  
fragen aus, die mehrere Jahrhunderte  
dauerten und oft einen leidenschaftlich  
erregten Charakter annahmen. An den  
jedenmal kamte sich die gesamte chris-  
tliche Kirche für die Bestimmung der  
Osterfestzeit insoweit an, als sie davon  
Pessachbetonen, nämlich den 14. März  
jeder Monat im Hebräischen Jahre (in  
jeden), maßgebend machte für die  
Festlegung der christlichen Leiden-  
woche. Hinsichtlich des Wochentages  
aber befolgten die Völker jüdisch-  
orientalischer Zunge und die hellesch-  
okzidentalischer Zunge ihre eigene  
Praxis: für jene war das Datum des  
Leidenstages maßgebend, für diese der  
Wochentag. Infolgedessen mußte es  
notwendig werden in der hochkultu-  
rlichen Kirche, welche ewige Gebote

\*) Refensio divus, alic. VII c. 1.

ebenmäßig hinein, bald an heftigen Differenzen kommend; diese drohten sich schließlich um zwei Hauptpunkte um den Wochentag des Osterfestes und um die Datum desselben, bzw. um die Datum des Ostervollmondes.

Der Streit um den Wochentag brach zuerst aus. Die aus dem Judentum hervorgehenden Christen, die Judenchristen, befolgten den Osterfest zu derselben Zeit, in welcher die Synagoge Passah feierte. Das geschah aber ohne Rücksicht auf den Wochentag am 14. Nisan (Jahr XV), so dessen Abend die Festfeier bei den Juden ihren Anfang nahm, so daß der Hauptteil des Festes dem 15. Nisan (Jahr XV) zufiel. Der Nisan ist der erste Monat im liturgischen jüdischen Monatsjahr, fällt ganz oder seinem Hauptteil nach im Frühjahr zu, daß der Vollmond nach dem Frühlingsgleichniskreis oder am Tage desselben eintritt, er beginnt mit einem Neumondstag, d. h. mit dem Tage, an dem die Monatszeit zuerst gegen Abend am Himmel sichtbar wird<sup>1)</sup>, so daß am 14. Nisan der Vollmond eintritt. Daher ist das Passah und die christliche Osterfest mit dem dem Frühlingsgleichniskreis nachfolgendem Vollmond zeitlich verknüpft. Am 14. Nisan stände nach den jüdischen Quellen das Osterfest, die beiden folgenden Tage waren ihnen Buß- und Vorbereitungsstage, der 17. Nisan das von Freude stammende Fest der Auferstehung. Hierbei wird auf den Wochentag keinerlei Rücksicht genommen, der Sonntag allein ist ausschlaggebend. Da nun der Verschiedenheit von

Monats historisch - luna quere dokumentiert, so werden die Anhänger dieser Partei Quartiduaner genannt.

Anderer verhielten sich die Heidenchristen, die an Zahl und weltgeschichtlicher Bedeutung des christlich gewordenen Bruchteil des Judentums weit übertraten. Im Apostolischen war die Forderung der Judenchristen, die Heiden sollten nur durch die Synagoge einzuweisen dieses, verhängswort worden. Deshalb hatten die aus dem Heidentum kommenden Christen keine Vorstellung, die Feste der Juden mitzufeiern, wie es ja auch die Bekehrung voraussetzte. Zum Vorwurf des jüdischen Passahkommens mag die Christen auch die Schwierigkeit geführt haben, die Datum der sehr komplizierten jüdischen Kalender, somit auch das Datum des Todesjahren des Heilandes in die richtigen Datum der vielen anderen Kalender, die damals neben dem noch jungen jüdischen Kalender in den verschiedenen Teilen des römischen Reiches in Gebrauch waren, umzusetzen. Infolge dieser Umstände kamen denn Christen schon sehr früh dazu, einer Festgabe des jüdisch-orientalischen Monatskalküls im Anschluß an den liturgischen Passahbereich die Zeit der Leidensgeschichte nach Wochentagen zu bestimmen. An einem Donnerstag hatte der Heiland das Osterfest mit einem jüngern gegessen; am Freitag war er gekreuzigt, am Samstag hatte er im Grab geruht und am Sonntag war er von den Toten auferstanden. Daher feierten sie in jeder Woche des Jahres am Donnerstag die Erinnerung an die Einsetzung des Abendmahls, am Freitag die Erinnerung an den Kreuztod, am Samstag an die Grabruhe und am Sonntag die Erinnerung an die Auferstehung Christi.

Allmählich aber — die ganze Zeit ist nicht mehr bestimmbar — entschlossen sich die Christen, ein einmaliges Fest als offiziellen Erinnerungstag der Auferstehung zu begeben. Es erfolgte natürlich unter dem noch immer starken

<sup>1)</sup> Unter dem Neumond versteht man im Kalender und in der Chronologie nicht, wie die Astronomen, die wahre Konjunktion der Sonne und des Mondes, die nur zur Zeit einer Sonnenfinsternis mit bloßem Auge festzustellen werden kann, sondern das erste Hellwerden des Mondes; 15 Tage danach tritt Vollmond ein, während zwischen der wirklichen Konjunktion und dem Eintreten des Vollmondes im Durchschnitt 15 Tage liegen. Berechnungen der Neumondtag ist Jahr 1, der Vollmondtag Jahr XV, der erste Tag danach Jahr XV, der zweite Tag danach Jahr XVI usw. —

Einfluß der Synagoge jener Sonntag, der dem Frühlingsvollmond unmittelbar folgt, einen Vorrang vor allen andern, weil er den Leidenstagen des Herrn am nächsten kommt und in die zu neuen Leben erwachende Frühlingszeit fällt. Hiermit erklärt sich die sonst unbegreifliche Bitte, in der Gesamtkirche Ostern mit dem Frühlingsvollmond zugleich zu feiern oder, mit andern Worten, für die Zeitbestimmung der ersten christlichen Feiertage des jüdischen Mondjahr statt des jünger jüdischen Kalenders, der sich im Osten noch nicht genügend eingebürgert hatte und daher für die Deklaration öffentlich-rechtlicher Feiertage nicht gut geeignet, zu akzeptieren. Von wenigen schwachen und erfolglosen Versuchen späterer Zeit, unter Verdrängung des Mondjahres Ostern einem möglichst bestimmten Tage des jülianiſchen Sonnenjahres zuzurechnen, abgesehen, wagt man es leider nicht, von dem aus der apostolischen Zeit herrührenden Gebrauch abzuweichen. Der Frühlingsvollmond blieb demnach stehendes die Grundlage für die Fixierung des Osterfestes. Dadurch wurde der Ostertermin stark beweglich. Diese Eigenschaft ist wieder in dem Charakter des Festes an sich nicht in einem christlichen Dagegen begründet, sondern verdankt ihrem Ursprung einzig und allein dem Umstand, daß die Juden, in ihrem Kalender Pascha an ein ganz bestimmtes Datum, den 14. Nisan, gebunden ist, ein Mondjahr haben. Da aber das jüdische Gesetz ihnen vorschreibt, ein Paschafest nach Ähren zu opfern, so drängt sich ihnen dadurch die Notwendigkeit auf, wenn der Termin des Osterfestes im Sonnenjahr, dem das Mondjahr um 11 Tage nachsteht, so weit östwärts gewichen war, daß reife Ähren noch nicht geerntet wurden, vor Beginn des betreffenden Mondjahres noch einen Monat von 30 Tagen auszusetzen; es soll diese Woche mit dem (achtzehnten) Sonnenlauf in möglichster Übereinstimmung gehaltenes Mondjahr heißt bei den Chronologen

gebundenen Mondjahr im Gegensatz zu dem freien Mondjahr, wie es heute noch die Türken haben. Erst später, als man diesen historisch realen Zusammenhang des christlichen Osterfestes mit dem jüdischen Pascha mehr oder weniger vergessen hatte, empfand man auf christlicher Seite das Bedürfnis, die mit Recht auffällige und daher von vielen bekämpfte Beweglichkeit aus dem Wesen des Festes heraus oder symbolisch zu deuten, aber ohne Erfolg.

Somit unterscheiden sich Juden- und Heidenchristen in Bezug auf die Osterfeier prinzipiell nur durch den Wochentag des Festes. Lange bestanden beide Annen heftlich ausschließung der Christen nebeneinander, Später eines Streites traten erst auf in der Zeit, wo Bischof Polykarpus von Smyrna um das Jahr 155 nach Rom kam und von Papst Anicetus (155—160) zur Beilegung des christlichen Gebrauchs aufgefordert wurde. Doch er hielt die jüdisch-christliche Gewohnheit fest, ohne daß durch diese Weigerung der Friede zwischen beiden Parteien gestört wurde. Melito, Bischof von Sardes (etwa Hälfte des 2. und Anfang des 3. Jahrhunderts), verfaßte eine besondere Schrift über die Osterfeier, die in Laodizea infolge des Christenbesatzes eine Aufsehen erregende Spaltung angeregt war; er steht auf Seiten der Quartodezimaner. Gegen ihn schrieb Clemens von Alexandria († um 217).

Das Differenzieren nahmen dann bedeutendere Chöre an unter Papst Viktor I. (189—199), dem gegenüber Bischof Polycrates von Ephesus die Praxis der Quartodezimaner als uralte Tradition einlegte. Doch auch jetzt kam es zu keinem offenen Bruch, dank dem Einfluß hochangesehener galiläischer Bischöfe, namentlich des heil. Irenäus von Lyon, der eine Abhandlung De paschale celebratione verfaßte. Die jüdisch-christliche Praxis wurde indes durch die andere der Heidenchristen allmählich in dem Maße verdrängt, als die Zeit dieser dritter jüdisch-christlicher Osterfeier im Schat-

lichen Jahrtausend wurde sie verfallen und im 4. Jahrhundert mit Strafen belegt, z. B. von der Synode zu Antiochia (341). Ein Teil der Quasidormanten legte sich der Anordnung der kirchlichen Behörde nicht und wurde schliesslich, Das Schisma erlosch im 5. bis 6. Jahrhundert.

Es wäre ein Irrtum, zu glauben, daß bei den Anhängern der vorzeitigen Osterfeier Einmütigkeit bezüglich des Festtermins herrschte. Vielmehr traten auch bei ihnen massenhaft Differenzpunkte zutage, da die Bestimmung des beweglichen Ostertermins noch nicht an so feste Regeln wie in späteren Jahrhunderten gebunden war. Zwar herrschte im wesentlichen Übereinstimmung bezüglich dieser drei Gesichtspunkte, daß das Fest zu feiern sei 1. im Frühling (oder kurz vor Frühling), 2. an oder zwischen zwei dem Tage, an dem der Vollmond zuerst im Frühling (oder zuletzt davor) erscheint, 3. an einem Sonntag. Aber da die beiden ersten Punkte nicht fest bestimmt waren, so traten schon von Anfang an große Meinungsverschiedenheiten bei den Christen ein; dieselben betreffen a) den Zeitpunkt des Frühlingserntes, das sogenannte Frühlingserntefest, b) den Zeitraum, innerhalb dessen sich das Osterfest bewegt, c) die Bestimmung des Tages des Frühlingervollmonds.

Den Tag des ersten Frühlingervollmonds konnte man damals nicht für eine Reihe von Jahren genau vorseberechnen. Man suchte daher durch eine die Zeit des Monatsanfangs möglichst bestmögliche Berechnung für eine bestimmte Zahl von gewöhnlich in Form eines Kreises niedergeschriebenen Jahren, nach deren Verlauf die alte Reihenfolge der Daten wiederkehrte, den Frühlingervollmond zu finden. Diese Berechnungsmethode nennt man daher die zyklische.

Wiewohl die Mehrheit der Christen schon sehr früh begonnen, hatte durch dauernde Verlegung des Osterfestes auf den Sonntag des Gegenseits der Kirche zur Synagoge offen zu bekennen, so

schloßen sich in der Zeitbestimmung des Vollmonds anfanglich doch viele auch der Praxis der Juden, um an dem dem jüdischen Pessah folgenden Sonntag Ostern zu feiern. Der sagt Anselm an die Berechnung der Synagoge geschah sogar dann noch, als der Juden, besonders im 2. und 3. Jahrhundert, Pessah nicht selten an dem der Frühlingserntefeste nicht-verstehenden Vollmond feierten.

Erst im 3. Jahrhundert schritten die Christen dazu, auch bei der Berechnung des Ostervollmonds sich von der jüdischen Praxis fernzusetzen. Infolge des Fehlens einer festen und allgemein anerkannten Norm trat nun eine große Mannigfaltigkeit der Osterberechnungsmethode zutage, die bis zur Zeit Karls des Großen sich fortplante. Bei der Unmöglichkeit der damaligen astronomischen Bestimmung der Monatsberechnungen drängte sich von selbst die zyklische Feststellung der Ostervollmondszeiten auf. Es wurden Zyklen von 8, 16, 19, 72, 84 und 112 Jahren aufgestellt, die teils sich überschneiden, teils nacheinander in Geltung waren. Die Zyklen von 8, 16, 72 und 112 Jahren haben es als zu ihrer Bestimmung geeignet, wichtig dagegen wurde der 19-jährige und der 15-jährige Zyklen. Zur Zeit des unsicheren Schwankens wurde ersterer hauptsächlich im Abendlande, der zweite im Morgenlande befolgt. Dieser vorläufige müht alle anderen Bestimmungsmethoden.

Die vielen kaiserlichen, den Spott der Nichtkristen hervorhebenden Streitigkeiten riefen viele Synoden, insbesondere die Kanonen zu Arles (341) und Nicaea (325), zu bewirken. Bei diesen Einheitsbestrebungen waren es das, was allen Parteien gemeinsam war, nämlich das Fest als Anfangspunkt vom Frühlingervollmond, nicht an, um durch diese gleichzeitige Nachgiebigkeit desto sicherer die so schwer herzustellende Einigkeit der Christen in der Feier der höchsten Feiertage zu erreichen. Hierdurch ist es gekommen, daß sich

der Beweglichkeit des Ostroroms sei jener Zeit bei weitem dem heutigen Tag erloschen sei.

Was speziell das Konzil von Nicäa betrifft, die geschichtlichen Zusammenfassungen erglänzte und zu einem gewissen Abschluß brachte, so sind wir über seine Tätigkeit in dieser Frage nur mangelhaft unterrichtet, da die alexandrinischen Konzilien gerade hierfür nicht eintrafen. Sowie aber sehr zu sicher ist, daß dort der Bischof von Alexandria beauftragt wurde, das Ostrorom zu berechnen und so frühzeitig dem Papst nach Rom zu melden, daß er von hier aus allen andern Kirchen angezeigt werden könnte, schon 17 Jahre vorher hätte in Betreffung einer alten Gewohnheit die Synode von Arles dem Papst eine solche Mitteilung des Ostroroms zur Pflicht gemacht. Der Aulung der nicäischen Väter beweist, daß nicht irgend eine Berechnungsweise — etwa die alexandrinische — vom Konzil auf Grund einer eingehenden Prüfung anerkannt und damit Anwendung allgemein vorgeschrieben wurde. Denn dann wäre ein solcher Aulung höchst überflüssig gewesen, da jede Kirche ohne Mitleid den richtigen Termin selbst hätte finden können. Andererseits liegt aber darin eine hohe Achtungserklärung der Väter vor der alexandrinischen Wissenschaft. Offenbar hielten sie auf Grund der von ihnen hier in Ägypten blühenden Studien die Alexandriner für am besten zu denartigen mathematischen Berechnungen befähigt. Als man später allmählich die alexandrinische Praxis überall vorgezogen wie, da derselbe infolge dessen ouschischen Beschlüssen Minder wie der bei Ambrosius zu Mailand, Athanasius in Epusa, Papst Hadrian II und die meisten Chronologen bis auf unsere Zeit hin schließlich der Überzeugung haben, das Konzil habe die zur astronomie verpflichtenden Norm gemacht. Aber gerade der weitere Wunsch der Väter, daß die Alexandriner das Konzil ihrer Berechnungen dem Papste übergeben

mitteilen sollten, spricht klar dafür, daß mit der alexandrinischen auch noch andere Berechnungsarten in dieser Konkurrenz blieben. In solchen Fällen nun, wo durch die verschiedenen Methoden differierende Ostroromien heraustraten, sollte nach dem Willen des Konzils der Papst entscheiden oder eine Einigung durch Verhandlungen herbeiführen. Daß dies so ist, zeigt mit der wahrscheinlichsten Deutlichkeit die Geschichte des Ostroroms während des vierten Jahrhunderts. Denn in Constantin wurde als eine Veranstaltung erwagt, indem bald die eine, bald die andere Partei nachgab. So spielte Rom vier Ostrorome im Jahre 330 (Ostern am 18. April statt 22. März), 343, 344; Alexandria war nachfolgend z. B. im Jahre 333 (am 15. statt 22. April). Aber schon im Jahre 343 sagten sich beide Parteien ab, indem Ostern im Abendlande am 3. April, im Morgenlande am 22. März gefeiert wurde. Gibt Zweifel, daß gerade diese Differenz der Synode zu Sardis (März 343) Veranlassung, eine Verständigung für die nächsten 50 Jahre (344—393) zu vereinbaren. Infolgedessen nahmen die Alexandriner die römischen Ostrorome an im den Jahren 345 und 348, die Römer die alexandrinischen in den Jahren 362, 366, 371 usw. Aber nach dem Eingange Heli nach lange stand, Ostern wurde im verschiedenen Tagen gefeiert in den Jahren 398, 399, 400, 402 usw. Allmählich traten nämlich Selbständigkeitsgefühle der alexandrinischen Patriarchen stark genug und machten eine weitere Verständigung unmöglich, besonders nachdem die Teilung des römischen Reiches (395) das die abend- und morgenländische Kirche zusammenhaltende Band stark gelockert hatte.

Der Alexandriner Isidoros unter vermittelnder Darstellung auf das nicäische Konzil, daß ihre Ostrorome für die ganze Christenheit maßgebend seien, während Rom sich seiner eigenen Nachgebildeten das menschliche anerkannte. Es war endlich in jenen Zeiten der



Unbestimmtheit und des Entstehens des koptischen Kites in den Augen der großen Christengemeinde die Ansetzung der Ostertermini ein Symbol der obersten Kirchengewalt. War das Osterfestum vornehmlich, der galt dem Osterkalender als Inhaber dieser Gewalt, als das Haupt der Kirche. Demnach war diese Osterfrage nicht bloß ein chronologisches Problem, sondern zum Teil auch eine hierarchische Machtfreg. To welch erfüllt sich interna die lange Dauer dieser Art des Osterfestes, das die Christenheit für lange Zeit in zwei Heralager teilte.

In Alexandria teilte man schon früh, ohne Zweifel mit Aufklärung an die jüdische Art, eine Berechnungsweise kennen, die einen auf der Beobachtung des Äthiops Weten (432 v. Chr.) beruhenden 19-jährigen Mondzyklus, wozu 19 Sonnenjahre = 235 Mondmonate sind, zur Grundlage machte. Für die christliche Osterkalkulation wurde sie hauptsächlich zuerst in die bestimten System gebracht vom heil. Anselmus, Bischof von Laodize (um 260—262), der ein geborener Alexandriner und angesehener Mathematiker war. Weitergeführt wurde sie zunächst von Eusebios von Caesarea in Palästina († 339), der als erstes Jahr des Zyklus das erste Jahr des aus sechs Regierungsjahren des Kaisers Diokletian (284 August 284 bis 288 August 288), also für die Osterberechnung das Jahr 285 zu Grunde legte. Wrag man von diesem Jahr rückwärts zählt, so ergibt sich, daß noch das Jahr 9 (= 1 v. Chr.) das erste Jahr eines solchen Zyklus ist, ein sehr günstiger Umstand, der im anstehen zur allgemeinen Annahme dieser Meth-

ode beitrug. Noch weiter ausgereit wurde diese Berechnungsweise von Theophilus, Patriarch von Alexandria (386—412), er verfertigte das Osterkal für 410 Jahre (= 32 sonnenjährige Zyklen), veröffentlichte aber nur der Osterkal für 100 Jahre in einem dem Kaiser Theodosius gewidmeten Werke.

Eine weitere Ausbildung erhielt die durch den ägyptischen Mönch namens Antonius, der kurz nach Theophilus lebte. Er verband den 19-jährigen Mondzyklus mit dem 28-jährigen Sonnenzyklus zu der großen Osterperiode von 19·28 = 532 Jahren. In diesem Zyklus lebten nach p. 532 Jahren die Vollmonde nicht bloß auf denselben Wochentag, sondern auch auf denselben Wochentag zurück, so daß dieselbe Reihenfolge der Osterdaten sich wiederholt, so ist das noch heute im jüdischen Berechnungskal der Fall.

Am meisten für die unveränderte Annahme der alexandrischen Methode im Abendlande arbeitete der gelehrte römische Abt Dionysius Exiguus. Seit Beginn des 8. Jahrhunderts herrscht, abgesehen von einigen sehr kleinen Gebieten Britanniens, ausschließl die alexandrische Berechnungsweise. Sie besteht heute noch ungeändert in den Ländern mit byzantinischer Unterwerfung, bei den Russen und in den Staaten der Balkanhalbinsel, und ist im gewissen durch die genaue Beobachtung der Dauer des Mondlaufes und Sonnenjahres verbesserten Verbesserungen auch bei den übrigen christlichen Völkern, die des gregorianischen Kalenders (seit 1582) angenommen haben, in Gebrauch.

## Aussehen des Saturn im 40zölligen Refraktor der Verkeesserswarte.

(S. oben Tafel VII)

**19** Prof. E. E. Barnard veröffentlicht eine Abbildung des Saturn, die er am 7. Juli 1908 am großen Refraktor der Verkeesserswarte gezeichnet hat. Sie ist auf Tafel VII in Lichtdruck reproduziert. Am jenen Abend war die Luft so ungetrübt, daß Prof. Barnard bemerkt, er habe niemals den Saturn besser gesehen oder mehr Detail an ihm wahrgenommen. Man kann daraus abnehmen was unter den gegenwärtigen Verhältnissen überhaupt an diesem Planeten gesehen werden kann und wie sehr die Darstellungen mancher Amateure übertrieben sind, die mit kleinen Instrumenten allerlei Detail am Saturn und seinen Ringen gesehen haben wollen. Die Seiten der Saturnkugel, bemerkt Prof. Barnard, waren an jenen 7. Juli deutlich sichtbar und die Kugel des Planeten durch den Cusping hindurch zu sehen. Der Cusping war vor dem Saturn schwach zu sehen und an seinen Rändern verschwommen oder vielmehr dornenartiger Rand des hellen Rings erschien schlecht begrenzt auf der Stelle, wo er die Saturnscheibe berührt. Der

innere Ring erschien am hellsten gegen die Cassinische Trennung hin, auf dem äußeren Ringe war mit Sicherheit keine Trennung zu erkennen, doch erschien eine dunkle Schwärzung an der Stelle, welche die Endische Trennungslinie gewöhnlich einnimmt. Die Polarlichter bildeten den dunkelsten Teil der Saturnkugel — Vergleiche man diese Zeichnung des Saturn mit andern früherer Beobachter, so ist nicht daran zu zweifeln, daß auf der Kugel des Saturn oder vielmehr in deren äußerer Umhüllung im Laufe der Zeit und vielleicht periodisch, große Veränderungen vor sich gehen. Seit W. Herschels Tagen hat man zu Zeiten des dunklen Grades, welche auch Prof. Barnards Zeichnung enthält, gesehen, zu anderen Zeiten beobachtet nicht, sondern nur ein helles dunkles Band oder wenigstens Streifen. Es dürfte sich verlohnen, die vorhandenen schönen Beobachtungen und Zeichnungen des Saturn miteinander zu vergleichen, um zu prüfen, ob die Veränderungen auf dem Planeten in Beziehung zu seinen Jahreszeiten stehen

## Fernere Beobachtungen des Saturn 1907.

**1** Auf dem Flagstaffobservatorium sah P. Lowell mit dem 24zölligen Refraktor am 19. Juni den Ring als höchst feinen Lichtfaden an beiden Seiten der Saturnscheibe. Die Sonne stand damals 22° über der nördlichen Seite des Ringystems, die Erde 2° nördlich derselben, woraus Lowell schloß, daß in seinem Perigäum der Ring nicht völlig unsichtbar wird. Die hellen Lichtknoten auf der westlichen Ringseite wurden seit Ende Oktober im Flagstaff ebenso gesehen wie auf dem Verkeesserswa-

rium, auch schienen sie ihre Lage nicht zu ändern.

Auf der Sternwarte zu Berlin sah Dr. C. W. Wirtz Messungen des Positionswinkels des Saturnrings und Beobachtungen über das Aussehen statt Projektion auf der Saturnscheibe, ohne Farbe ausgestellt. Die Färbung der Ringmittel zeigte die bekannte Erscheinung, daß sie mit der fortschreitenden Zusammenziehung des Ringes immer höher rote Töne annimmt. Die Messungen der Rota trat Ende Novem-

bei uns, zu einer Zeit, als sich aus der nicht direkt beobachteten Ringseite zu-letzte. Das gleich darauf, Anfang Dezember, wahrgenommene Aufleuchten des Tröms möchte die Wirt als noch separaten, da noch unter dem unmittel-lich vorliegenden Eindruck am Fern-rohr wahrlich dahin zehende Notizen in den Beobachtungsbüchern verzeichnen.

«Die strahlereiche Konstitution der Ringe,» sagt er, «erfüllt denen genau Farbwechsel vollständig, insbesondere gilt dies von der Fortführung der Ring- vom des Ringes. Denn bei runden, driten reflektierenden Substanzen wird das Licht bei sehr einfallendem Strahl spiegelnd zurückgeworfen, wenn der Linsenwinkel ebenfalls groß ist, und es scheint hierbei auch Messer schneidet zuerst die roten Töne, dann die blauen Farben, Gelb, Grün, Blau, an Lichtstärke zu, in dem reflektierten Licht muß also das Rot vorherrschen.

Schwächer als die Farberhellung der Aeren gestaltet sich die Beobach- tung von Einzelheiten in Projektion und Schatten des Ringes auf der Kugel. Das Bild zeigt Schwankungen im Aussehen, die man wohl nur zum kleineren Teil auf atmosphärische Ein- flüsse zurückführen darf. In Momenten besser Luft verlor der Schattenrind eine Neigung zur Bildung von Keulen, die trotzlich an der Grenze der sicheren Wahrnehmbarkeit liegen.»

«Während bis 1907 Sept. 7 die Aeren keine merklichen Ungleichmäßig- keiten zeigten, begannen Okt. 31 mit diesen Knötchen, Verdichtungen und Lücken aufzutreten, die bis Dez. 20 verfolgt wurden, es war der Erde also unbekannt, wieder die nicht bekannten Merkmale des Ringes zugeordnet.

Am schärfsten ließen sich die wohl mitunter verbliebenen Mauer erfüllen gemessenen «Lücken» besser Aeren wahrnehmen, denn Lage um 3 Tagen bestimmt wurden konnte gesehen wurden in außerdem nach Nov. 20 und Dez. 18.»

«Bei den von Arken am Lück- Rührer gesehene scharfen Knötchen

spieß die in Strahlung beobachteten nicht ohne weiteres zu identifizieren. Allenfalls ließ sich das von mir denn hier Dez. 4 und der westlichen Aeren bestimmten Knötchen.»

Schließlich ließ Dr. Wirt noch Wahrnehmungen mit, die er über die enorme Krümmung des Schattens der Saturnkugel auf dem Ring gemacht hat. Das Phänomen fiel ihm zuerst 1905 Okt. 17 auf und von da an sah er es bis Nov. 26 immer, wenn er den Saturn verfolgte.

In Utrecht hat A. A. Nijland den Saturnring am 14. nördlichen Polarkreis beobachtet.

«Der Ring,» sagt er, «war am 26. Juli um 12<sup>h</sup> 1<sup>m</sup> (M. Z. Utrecht) bei guter Luft sichtbar, wurde aber am 28. Juli um 12<sup>h</sup> bestimmt gesehen. Eine Stunde vorher war er noch an- scheinbar, doch ist es schwer zu ent- scheiden, ob dies der geringsten Höhe des Planeten über dem Horizont zu- zuschreiben ist. Leider war es in den beiden vorhergehenden Abenden fort- während trüb.» Am 30. Juli lag er eine Reihe von Messungen des Positionswinkels zu, deren Ergebnisse ungenügend wurden. Der Ring war jetzt schon so hell, daß der Beobachter glaubte die Wieder- schattung für sein Instrument nicht früher als Juli 28 bestimme zu können.

Der Ring blieb bis zum 2. Oktober sichtbar und wurde sehr wahrscheinlich auch am 4. Oktober noch um 9<sup>h</sup> 30<sup>m</sup> gesehen, dann verschwand er bis No- vember. Nachher wurde auch der «dunkle» Ringpaß öfters (Nov. 22, 23, 24, Dez. 3, 10, 16) beobachtet. Am 4. und 5. Januar 1906 war der Ring wieder sichtbar; leider war es vom 6. bis zum 9. Januar fortwährend be- trübt. Am 10. Januar sah der Beob- achter den Ring so hell und breit, daß der Durchgang der Erde durch seine Ebene nicht später als Jan. 6 gescheit werden dürfte.

Auf der Sternwarte zu Krasn wurde der Ring von D. Dobzhycki am 12- stelligen Refraktor beobachtet. Am 28.

Juli konnte der Ring als halbe Linie deutlich gesehen werden. Am 4. Oktober war er unsichtbar, doch teil dem

7. November wieder schrieb: Nicht war die Witterung den Beobachtungen nicht günstig.

## Der Endische Komet.

**E**nter den 18 Kometen, deren wiederholte Rückkehr beobachtet worden ist, spielt der nach seinem vielfältigen Vorkommen genannte Endische Komet noch immer die hervorragende Rolle. Dessen häufige Erscheinungen haben Forschern wegen, die sehrwichtig sind, sondern infolge der Tatsache, daß sich in seiner unregelmäßigen Bewegung Anomalien zeigen, deren Ursache noch keineswegs hinreichend aufklärt ist.

Unter allen periodischen Kometen hat der Endische die kürzeste Umlaufdauer (von 1265 Tagen) und infolgedessen kommt er bis jetzt nicht weniger als 30 mal bei seiner Rückkehr zur Sonne

beobachtet worden. Gesehen wurde er zuerst im Jahre 1265, dann 1275, 1405 und 1818, beim letzten Erscheinen zuerst erkannte Encke, daß es sich um einen periodischen Kometen mit der kurzen Umlaufdauer von etwas über 1265 Tagen handle. Er berechnete die nächste Rückkehr auf 1822 und bemerkte, daß der Komet schon vor auf der südlichen Erdhälfte gesehen werden könne, was auch eintraf. Die nachfolgende Tabelle enthält für sämtliche bekannte Wiederkehrfälle dieses Kometen Zeit und Ort der ersten Auffindung und des Entdeckers, sowie die Zeit des Periheldurchgangs.

Datum	Ort der Auffindung	Entdecker	Zeit des Periheldurchgangs
2. Juli 1265	Parasatis	Durley	25. Mai 1872
12. Juli 1275	Nizza	Walt	30. September 1885
7. Oktober 1405	Beita	Encke	30. Januar 1829
1. Juni 1612	Saguenay-Apenn	Messier	4. Mai 1832
22. Juli 1675	Milan	Kerll	26. August 1875
15. September 1736	Paris	Encke	25. Dezember 1836
8. Februar 1842	Beita	Encke	22. April 1842
4. Juli 1845	Washington	—	4. August 1845
27. August 1848	Cambridge (M. S. A.)	Ross	26. November 1848
9. Januar 1852	London	Vogel	25. März 1852
18. Juli 1855	La Cap	Maehar	1. Juli 1855
7. August 1856	Berlin	Pörsch	26. Oktober 1856
4. Oktober 1864	Beita	Forster	6. Februar 1862
12. Februar 1866	Leipzig	Braken u. Engelmann	28. Mai 1866
12. Juli 1867	Karlsruhe	Wimmer	14. September 1864
18. September 1871	Marseille	Geyser	26. Dezember 1871
7. Januar 1875	Washington	Holmes und Twiss	12. April 1875
1. August 1878	Windsor (Auss.)	Tobias	20. Mai 1878
28. August 1881	Stallburg	Wimmer	15. November 1881
12. Dezember 1884	Amst.	Tobias	7. März 1885
8. Juli 1888	Windsor (Auss.)	Tobias	17. Juni 1888
1. August 1890	Alger-Hammam	Nassau	10. Oktober 1891
21. Oktober 1895	Hamburg	Walt	14. Februar 1895
12. Juni 1898	Mosk.	Peratt	1. Mai 1898
2. August 1901	Windsor (Auss.)	Tobias	27. September 1901
1. September 1904	Nürnberg (O. S. A.)	Walt	10. Januar 1905
11. September 1904	Hamburg	Kopf	30. April 1905
2. Januar 1908	Hamburg	Walt	

Der Encke'sche Komet ist demnach seit 1823 bei jeder Rückkehr zur Sonne aufgefunden worden, trotzdem er sehr schwach ist und bei wenigen Erscheinungen eine für die Auffindung nicht günstige Stellung am Himmel hatte. Zum sehr großen Teil ist dem die Vorausberechnungen zuzuschreiben, welche den sichtbaren Lauf des Kometen sehr genau darstellten.

Von besonderem Interesse ist der Umstand, daß dieser Komet bei jeder Rückkehr an Größe abgenommen hat. Er ist im ganzen schwächer geworden und es erschien keineswegs ausgeschlossen, daß er in nicht allzu langer Zeit ganz unsichtbar werden wird. Außerdem stellt er sich dar als rechtliche Nebelmasse, die bewiesen vom etwas hellern Kern und einen etwas kleinen Schweif zeigt.

Die größte Merkwürdigkeit des Kometen besteht, wie Encke zuerst nachwies, in der Verkürzung seiner Umlaufzeit um etwa 3 Stunden bei jeder folgenden Rückkehr.

Die Ursache dieser Erscheinung suchte Encke in dem Widerstand, den an die Himmelskugel in der Nähe der Sonne wirkenden kleinen Medium, der sogenannte Äther, der Bewegung des Kometen entgegenstellt. Diese Hypothese fand vielen Beifall, aber auch Gegner, unter denen der berühmte Franzose nicht der Geringste war. In Frankreich vertrat Faye eine Hypothese, gemäß der die Sonnenstrahlen die Ursache der Bahnverkürzung des Kometen sei. Bis zu seinem Tode hat Encke die Vorausberechnung der Wiederkehr des Kometen fortgeführt und hat sich die jedesmalige Verkürzung der Umlaufzeit, also die Vergrößerung der mittleren täglichen Bewegung, bestätigt. Später hat von Asten die Weiterführung der Vorausberechnungen, unter Beirath und nach Rücksicht, die frühere Erscheinungen des Kometen, Bahnbestimmungen dergleichen ausgeführt. Es ergab sich dabei als überraschendes Resultat, daß in den Jahren 1866 bis 1871 eine merk-

liche Störung der mittleren Bewegung des Kometen stattgefunden haben müsse, die er der Einwirkung eines der kleinen Planeten zuschrieb. Die Bahn des Encke'schen Kometen ist vollständig von der Jupiterbahn umschlossen und in seiner Sonnentnähe gelangt derselbe bis innerhalb der Merkurbahn, so daß er also den Ring der kleinen Planeten vollständig durchschneidet. Allen Rückwand, welcher nach von Asten's Tode die Berechnungen für den Encke'schen Kometen übernahm, fand, daß von 1871 bis 1881 wiederum eine Vergrößerung der mittleren täglichen Bewegung desselben stattgefunden habe, doch sei dieselbe nur halb so groß als die früher durch Encke ermittelte. Als er dann die Rechnung auch auf die Zeit von 1886 bis 1891 rückwärts ausdehnte, fand sich, daß für diese Periode die erwähnte Beschleunigung durchgängig auch bestanden habe, aber etwas kleiner gewesen sei als der von Encke berechnete Werth. Rückwand kam zu dem Ergebnisse, daß die Annahme eines Widerstandes des Äthers ungegeben werden müsse, daß vielmehr die Beschleunigung der Bewegung des Kometen auf einen Meteorstrom zurückzuführen sei, der sich an einem nicht allzu bekannten Punkte der Kometenbahn befinde. Ferner ermittelte Rückwand, daß die Beschleunigung der mittleren Bewegung in den Jahren 1819 bis 1838 fast unverändert die gleiche geblieben sei, daß sie aber von 1838 bis 1871 sich verminderte und von da ab bis zur Gegenwart unmerklich blieb und etwa  $\frac{1}{2}$  so groß als zu Encke's Zeiten. Auch eine neue Bestimmung der Masse des Meteor geb Rückwand auf Grund der Störungen, welche der Komet durch dessen Planeten erfährt hat.

Bei seiner letzten Rückkehr ist der Komet von Wolf in Heidelberg auf photographischem Wege wieder gefunden worden. Er war so schwach, daß er auch in großen Teleskopen unsichtbar blieb, gleichwohl gelangte eine

Exposition der photographischen Platte von nur 5 Minuten Dauer, um den Kometen zu erkennen. Dies war am 3. Januar 1908 und das Gelingen erschien in der Hefigkeit eines Sterns 13. Größe. Beim Nachhinein auf früheren Platten fand Wolf, daß der Komet auch schon am 25. December 1907 auf einer solchen sichtbar ist, doch befindet er sich auf dieser nahe am Rande der Platte, ist sehr undeutlich schwach und wurde durch nicht erkannt. Seltener hat Prof. Wolf den Kometen noch wieder als photographisch beobachtet und es hat sich ergeben, daß dessen Position am Himmel von der vorausberechneten bei  $1^h$  in Rektaszension und  $44^{\circ}$  in Declination abweicht. Er näherte sich der Sonne kürzesten mehr und mehr und stand am 30. April im Perihel, im Laufe des Sommers wird

er vor Aufgang der Sonne am Morgenhimmel zu beobachten sein. Übergangs hat kein Teleskop den Kometen diesmal direkt gezeigt, ohne die Hilfe der Photographie würde er ungenau nachgegangen sein. Die Abweichung der Beobachtungen von der vorausberechneten Position des Kometen am Himmel ist wirklich größer als man zunächst war berechtigt war. Bedauernd kommt auf Grund aus ungetrübter Berechnungen sogar zu der Meinung, daß das von Wolf photographierte Objekt möglicherweise gar nicht der alte Endische Komet sei, oder daß sich derselbe in zwei Teile geteilt habe und es sich um einen von diesem handle. Eine Entscheidung darüber wird sich wohl erst vom Monat Juni an stellen lassen, wenn der Komet wieder erscheint und auf der südlichen Erde beobachtet wird.

## Der Ursprung der Meteoriten.

**P**rof. E. Seel hat der Wiener Akademie der Wissenschaften eine Abhandlung: „Über Meteoriten in der Beschaffenheit der Himmelskörper“ vorgelegt, in welcher er vom Standpunkte des Geologen aus die Beschaffenheit der Erde mit derjenigen der Himmelskörper vergleicht.

„Die festen Himmelskörper“, sagt er, „bestehen aus dem früheren Beobachtet in drei Formen dar. in den Meteoriten als greifbare, dem Mikroskop und der chemischen Analyse zugängliche Körper, ferner im Monde, dessen Oberfläche hinsichtlich auch im Fernrohr liegt, endlich in der glühenden Sonne und in den entfernten Gestirnen, von welchen das Spektroskop die wichtigsten Nachrichten bringt.“

Man vermag schon heute, am Beginn dieser neugestarteten Studien die Erläuterung zu entnehmen, daß die unsere

Gestirne, wie Mond, Sonne usw. in ihrer Bedeutung für die Gesamtheit des Erdkörpers überschätzt werden. Gewissen, die Oberfläche des Planeten zu betrachten, sehen wir gar wenig oder nichts von den schweren Stoffen, deren der Erdteil vom Gewicht verläßt. Wie rühmt am besten in den basischen Magnesium Gesteinen und bald zeigt sich, daß dieses letztere in der Beurteilung der vulkanischen Phänomene eine grundsätzliche von den sauren Phaszen verschiedene Rolle spielt. Vielmehr würde man sich der Wahrheit mehr nähern, wenn man die Mg-Gesteine nicht als primäre vulkanische Produkte ansehen wollte, neben welchen alle sauren Feldspatgesteine als ursprüngliches Differenzierungsprodukt des Planeten, oder als Aufschmelzungen, folglich sekundäre betrachtet, oder als Differenziate aus geringeren Basen, oder als einen Reichtum, erzeugt unter Bewußt teiler juveniler Gase, fast als ein Erzeugnis zweiter Hand ansehen wollte. So würde auch das Aufsteigen z. B. des granitischen M. Capane

<sup>1</sup> Vorgelesen d. Kais. Akademie d. Wissenschaften in Wien, Mathem.-naturw. Klasse, 30. CXVI, Am. 1. October 1908.

auf Elba bestanden der ersten Mg-Oxidsteine und rötlicher stinkender und wohlbekannter Fäls vorzüglich.

Nicht mit Unrecht hat Dandere Peridot die »Säule universelle« genannt. Selbst ohne diese Wirkung und das Übergewicht der Mg-Oxidsteine anerkannt wird, bedarf sich so manches.

Der für Korne vulkanischen Basen, wohl auch für Basaltiten in Oriskany stehende Ausdruck »Tiefengestein« erhält eine streichende Bedeutung. Selbst die von hervorragenden amerikanischen Forschern gewählten Ausdrücke »Sil-(Si-Al)« und »Fen« (Fe-Mg) entsprechen nicht völlig den Ansprüchen einer Nomenklatur, die dem Vergleich mit dem Ergussgestein der Spätkamäen dienen soll. Der Name Fen würde besser einem höheren Horizont als der großen Masse basaltischer Mg-Silikatvorläufer bis hin zum Kiesel des höchsten für eine Zone ähnlich Röngrön in Anwendung bringen, obwohl auch hier Mg als Silikat existiert und es wünschenswert ist, den metallischen Kern von den Silikaten zu sondern. Derselben Forscher haben, von Sil und Fen ausgehend, mit besonderer Gründlichkeit Andauer und Sachkenntnis eine Nomenklatur geschaffen gesucht, welche alle Mannigfaltigkeit der Natur und alle Erfahrungen der letzten Jahrzehnte zu umfassen bestimmt sein soll. Der größte Teil dieser Mannigfaltigkeit fällt aber dem Sil und seinen Gesteinsarten zu und kommt daher in der hier vorliegenden Aufgabe bei dem heutigen Stande der Erfahrungen kaum in Betracht.

Allgemein, umfassende Ausdrücke sind aber nötig, denn wo große Flächen gebaut werden sollen, sucht man nach den größeren Steinen. Aus diesem Grunde habe ich es vor, im nachfolgenden bei Ausdrücken zu beharren, welche bei Behandlung derselben Gegenstände vor Jahren in den Vorlesungen an der Wiener Universität verwendet worden sind.

Der erste, »Sil«, fällt mit dem von dem amerikanischen Fachgelehrten ge-

bräuchten Worte und Begriffe zusammen; der zweite ist »Sima«, der dritte »Fäls«.

Diese Gliederung erlangt sofort für historische Studien Bedeutung. Wir kennen die charakterisierenden amerikanischen Gesteine Gabbro, sie wissen auf hohen Ursprung, die unschätzbare auch die wichtigsten Lagerstätten des Platin und sind hat immer von einer Spur von Metall begleitet. Das häufige Erscheinen von Metallen so hoher Herkunft auf den Bewegungsfeldern junger Kollisionsberge wird zu einem entscheidenden Umstand in der Beurteilung der tektonischen Vorgänge. Dasselbe gilt in ebenso hohem Grade von dem aufmerksamen Zuge von Irtis, wie in anderer Stelle bemerkt werden soll<sup>5)</sup>.

J. H. L. Vogt hat gezeigt, daß als das Gefolge vorwiegend metallischer Magmatite in Noribontait eine Reihe von Metallen auftritt, die verschieden ist von dem Gefolge des Kollisions unter Gestein. Das will sagen, daß das silurische (oder effusiv-magmatische) Gefolge von anderen ist als das silurische. Diese merkwürdige Beobachtung hat mich veranlaßt, in einem Briefe an Hermann Lachner auf die besondere Ähnlichkeit des jenseitigen Gefolges mit dem Fraunhoferischen Spektrum und jenseit von »Cygnus« aufmerksam zu machen<sup>6)</sup>.

Sie Lachner hat sich bemüht gesehen, diese Angabe durch neue Beobachtungen zu prüfen. Auch andere unsere Beobachtungen wurden in Vergleich gezogen. Das Ergebnis ist, daß die neuen Untersuchungen in Konjungen die (jüngsten) Angaben bestätigen und daß »die Metalle, welche in den Spektron der Sonne, der Chromosphäre und von »Cygnus« in auffälliger Weise vertreten sind im großen derselben sind, welche die basaltischen Felder betreffen, obwohl, daß der möglichen Ausdehnung von Platin und Lithium, die

<sup>5)</sup> Comptes rend., 3. Nov. 1904, p. 716.

<sup>6)</sup> Nature 26. Oktober 1905, p. 625.

typischen Metalle des sauren Feinspektrums in «Cygn» nicht erschienen. Mehrere der Metalle der sauren Feinspektrums, wie Kalium, Barium, Cäs., Vanadium, Zinn und Zink sind allerdings im Fraunhofer'schen Spektrum nachweisbar, aber die solaren Linien sind in jedem dieser Fälle wenig hervorstechend (compensated?).

Diese schwächere Verankerung des sauren Gelspektrums im Sonnenspektrum und der Mangel seiner Nachverankerung in «Cygn» besagen, daß, wenn der Erdkörper nicht nur qualitativ, sondern auch quantitativ eine der Sonne ähnliche Beschaffenheit hätte und er in einer glühenden Gasmenge von sehr viel größerer Dichte eingebettet wäre, in diesem gleichfalls das saure Gelspektrum sich in weit höherem, das saure dagegen in geringeren Grade bemerkbar machen würde.

Für diese Voraussetzung spricht aber auch das nicht saure Himmelspektrum der vielen sauren Feinspektrums auf der Erdoberfläche.

Lassen wir das Mond außer Betracht, dessen Oberfläche bekanntlich sehr nahe mit jener der schwachen sauren Feinspektrums übereinstimmt, so kann Vorgang zu betrachten, der innerhalb des sauren Gelspektrums bemerkbar wird. Es ist das intensive Verbleichen von Titan über Nickel, welches fast bei zum gleichschen Zurücktreten des letzteren gehen kann. In «Cygn» tritt, im Gegensatz zu «Cygn», Titan mit Scandium und Strontium hervor, während Eisen, Chrom und Magnesium zurücktreten.<sup>1)</sup>

Bemerkend auffallend und bemerkenswert ist das starke Hervortreten von Titan in den Sonnenflecken, im Gegensatz

zur Sonnenoberfläche. Hale und Adams haben diesen Umstand eingehende Studien gewidmet und nach der Art der Aufeinanderfolgenden auf die Temperatur der Flecken gezogen.<sup>2)</sup> Lockyer hat dieselbe Erscheinung untersucht und sagt, daß von den Metallen dieses Eisen (Fe) in den Flecken sich am meisten Titan bemerkbar macht.

Auf der Erde kennt man keine mächtigeren Ausfaltungen von gelfarbenen Eruptionen als die ausstrahlenden Schiffe des südlichen Afrika. Diese Eruptionen sind von typischen Sonn hervorgehoben, aber Nickel tritt hier fast ganz zurück und Titan (Eisen) ist hervorragend wie in den Sonnenflecken. Auch die Tricorona liefern Zeugnis von der Verankerung von Ti und Fe. Vogt hat für vorzügliche Titanzuge eine Reihe der wertvollsten Beobachtungen über die Art ihrer Abkühlung geliefert, ebenso Kopp für jene der Achroocidie. Dabei ist bemerkenswert, wie Kopp bei Betrachtung dieser Eruptionen und Lockyer bei Betrachtung der Sonne zu der Erfahrung gelangte, daß die ihnen vorliegenden Stoffe fast ausschließlich den Gruppen 3 und 4 der Mendelejew'schen Tabelle zuzählen.<sup>3)</sup>

Ein anderes Beispiel von einem anderen Art ist der typische Ausbruch von Titan in einer Reihe von Gasen des südlichen Mittelmeeres.<sup>4)</sup> Es ist offensichtlich, diese Beispiele zu verbinden. Nach Huxton verdampft Nickel leichter, dass Chrom, bei Eisen größte Entwicklung von Gasen dar. für Titan scheint nach den mir vorliegenden Berichten, daß es

<sup>1)</sup> G. Hale and W. S. Adams, Second Paper on the cause of the chromospheric spectrum of Sandeggen, Carnegie, Imp. Contrib. to Solar Observatory, Mt. Wilson No. 15, 1900.

<sup>2)</sup> Vogt, Zeitschr. physik. Chem., 1886, p. 379; 1890, p. 111, 1901, p. 10, 1902, 1903, Kopp, M. S. Ges. Chem., 1896, X, 2, p. 303, für das periodische Gelspektrum, p. 306 und Lockyer u. a. G., p. 11, 12. Von den Angaben über diese Gruppe von Eisen.

<sup>3)</sup> Washington, Quart. Journ. phys. Sci., 1907, LXXII, p. 50.

<sup>4)</sup> Paddy of the Solar Physics Committee, 1900, Spectroscopic Comparison of Metals present in our system and other light sources with spec. Reference to Venus and Titan, p. 18. — Platen, das in Vogt'sche Analyse, wurde nicht gefunden.

<sup>5)</sup> Lockyer and Bunsen, Spectrum of «Cygn», Phil. Trans., 1903, vol. 204, p. 308.



einer noch höheren Temperatur bedarf, inwieweit dieser Umstand Einfluß ausübt, mag künftige Forschung entscheiden.

Wir können nun, was Prof. Seel nach Lockyer über die Beschlingung unserer Ansichten von dem Zustande der inneren Schmelze aus dem Aussehen der Spalten der Sonne und einiger Planeten sagt, auf sich beruhen lassen, dem Mond läßt Prof. Seel selbst außer Betracht. Dagegen beschäftigt er sich eingehender mit den Meteoriten.

„Wenn“, sagt er, „ein Schwarm von Meteoriten niederfällt, bewirkt niemand unsern gemeinsamen Ursprung in den Tektiten oder meteorischen Olfen. In diesen Vorlesungen, die Haldane, Hildebrand und Austerlitz unterschieden und ebenso vielen großen Schwärmen zugeschrieben. Es muß angenommen werden, daß jeder dieser Schwärme einem gemeinschaftlichen, einheitlichen Körper entstammt und es muß behauptet werden, daß diese drei Körper, obwohl einander nicht völlig gleich, dennoch unter sich weit ähnlicher und verwandter sind, als irgend einem anderen Körper.“

Die Meteoriten und Meteoriten sind von solchem Vorkommen unterschieden, obwohl sie aus denselben Elementen bestehen. Sie lassen sich in Gruppen teilen. So ist ein Meteorit vor Erde 100, will man ihn in der Regel sofort in die Gruppe A, B oder C einstellen, was doch bei kosmischem Ursprunge kaum denkbar wäre. Die Gruppen, die durch Zusammenhänge verbunden, lassen sich zu einer natürlichen Reihe ordnen, die, was Darwin gezeigt hat, der natürlichen inneren Beschaffenheit unserer Erde entspricht.

Tschermak hat in seiner Abhandlung über die Bildung der Meteoriten und des Vulkanismus im Jahre 1875 nicht von kosmischen, sondern von kleineren planetarischen Körpern gesprochen und erwähnt, daß die Meteoritenfälle nicht mit den Perioden der Sternschümpen zusammenfallen. Dagegen meinte, daß

die Sternschümpen an der Beschaffenheit der Kerne teilnehmen, während ihm die Meteoriten Verwandtschaft mit den Planeten zu haben scheinen.<sup>1)</sup>

Paul Parich erzählt im Gespräch bereits vor mehr als 50 Jahren, das Essen von Agam wegen seiner plötzlichen Gesteine mit Entschiedenheit für die Bruchstücke eines Ganzen. Es herrscht kein Zweifel darüber, daß alle vor uns stehenden Meteoriten Bruchstücke sind. Alle die angeführten Umstände, die Widerlegung von Vorlesern derselben Gruppe, die Verwandtschaft der Gruppen und ihre Stellung weisen aber darauf, daß es nicht Bruchstücke vieler Körper, sondern eines einheitlichen Körpers sind.

Der plötzliche Beschlingungswechsel, welcher bei unseren Planeten eintritt, hat Seeliger und Wolf in der Meinung gelehrt, daß diese Himmelskörper einige Bruchstücke seien.<sup>2)</sup> Huxley von Bonn und Bennett und die weitere Vermehrung ihrer Zahl scheint mir Ableitung von den angewandten Planeten. Seitdem nach Kluge entdeckt sind, deren Bahn außerhalb Jupiter und anders, deren Bahn innerhalb Mars liegt und welche wohl die allmähliche Zerkleinerung anzeigen, schwindet jede Grenze zwischen Meteoriten und Planeten.

Das Verschwinden dieser Grenze bedeutet nicht anderes, als das Dazwischen hypothetischen Gebilde von Wirklichkeit wird und daß es der Tat zwischen Mars und Jupiter einst eine heute noch mögliche, aber natürliche planetarische Masse bestanden hat. Dieser Asymmetrie war der äußere, von der Sonne entfernte unter den schweren Planeten, in seinen Tiefen berg er Nickelmasse, wie Agam oder Elbogen. Gegen außen stehende Chalkidienhagewissen verbindet sich Übergänge, welche vielleicht auf der Erde in ähnlicher Weise vorhanden

<sup>1)</sup> Les Méteores et la Comète de Cécile 1871, 12, Paris, 1876, p. 12.

<sup>2)</sup> Annuaire, 1871, 1872, 1873, 1874, 1875.

samt, diese bleiben aber unterem Auge sichtbar. Durch die große Gruppe der chondritischen Massen und die vorwiegend aus siliciumreichen Felsapat und Augit bestehenden Eklirite (Jovian, Sauerer usw.) und bis Angas das Rauschen die petrographischen Merkmale hervor, durch welche der Anonymus sich von der Erde unterscheidet.

Meteoriten und Planetoiden sind daher die vorübergehenden Zeugen einer vorübergegangenen Epoche in der Geschichte unseres Planetensystems.

Dieses Ergebnis macht durchaus nicht den Anspruch darauf, es seien zu sein, aber da die neuen Erfahrungen so sehr dazu beitragen, es zu festigen, wird es hier ausgesprochen am. Anstalt der noch immer vorhandenen Ungewissheit, Theorien auf den kosmischen Ursprung der Meteoriten zu begründen.

Diese Ausführungen des berühmten Wiener Geologen zeigen recht deutlich den Unterschied zwischen astronomischer und geologischer Beweisführung. Die Schlüsse von Prof. Sacl stützen sich auf eine geschickte Zusammenfassung und Originalbeobachtung von verschiedenen Wahrnehmungen, Hypo-

thesen und Ansichten, die jede für sich nur beschränkte Richtigkeit haben und in ihrer Verbindung aber keineswegs zu wahrscheinlichem Schlüsse führen.

Nichtablenowitzer verdichtet Prof. Sacl um zu dem Schlussgebäude, Meteoriten und Planetoiden seien die vorübergehenden Zeichen einer Epoche in der Geschichte unseres Planetensystems. Die diesem Schlüsse entgegenstehende fundamentale Tatsache, daß die Meteoriten sich in hyperbolischen Bahnen bewegen, also eine strenge Grenze zwischen ihnen und den Planetoiden bezeichnet ist, wird dabei nicht einmal erwähnt, geschweige denn berücksichtigt. Ob die kleinen Planeten durch Explosion oder Zersplitterung eines einzigen größeren Planeten, des „Anonymus“, entstanden sind, ist noch keineswegs bewiesen, und wenn Prof. Sacl die den Planeten unter dem schwachen Planeten sein will, so ist dies ein unrichtiger, mindestens aber sehr ungenauer Ausdruck, es müßte heißen unter den Planeten von größerer mittlerer Dichte.

## Die Bahnexzentrizitäten der optischen und spektroskopischen Doppelsterne.

**B**erliner hat J. J. See eine Untersuchung angestellt, die zu einem verhältnismäßig interessanten Ergebnisse führt.<sup>1)</sup>

Die Bahnen von 30 durchaus spektroskopischen Doppelsternen, bei denen also der Begehrte am Fernrohr durch nicht gesehen werden kann, haben im Durchschnitt eine Exzentrizität von 0.22. Bei spektroskopischen Doppelsternen, deren Umlaufdauer ungefähr 1 Tag oder noch weniger beträgt, sind die Bahnen praktisch kreisförmig. Die

Untersuchung von 80 teleskopischen Doppelsternen, deren Bahnen vulgarmäßig genau bestimmt sind, ergibt, daß deren Exzentrizität im Durchschnitt mehr als zweimal so groß ist als die bei den spektroskopischen Doppelsternen. Diese letzteren bilden Systeme, deren Komponenten von uns nicht mehr am Fernrohr getrennt werden können, entweder wegen der Kleinheit ihrer Bahnen oder wegen der großen Entfernung von der Erde. In einigen Fällen haben sie Unkrynson bereits bekannter Doppelsterne, die am Fernrohr gesehen werden können, wie z. B.  $\epsilon$  Ursae majoris,  $\alpha$  Pegasi,  $\alpha$  Geminorum.

<sup>1)</sup> Monthly Notices, RAS, Januar, Vol. LXVIII, No. 1, p. 338.

Bei einer Anzahl von Doppelsternen sind wir berechtigt anzunehmen, daß die Masse derselben durchschnittlich nahe die gleiche ist für die beiden wie für die spektroskopischen Systeme. Da aber die Umlaufzeiten der spektroskopischen Doppelsterne beträchtlich kürzer sind als die der teleskopischen, so folgt, daß bei jenen die Lebensdauer der beiden Komponenten

von einander kleiner, die Bahnbewegungen aber rasger sind. Demgemäß finden wir, daß im Interesse im allgemeinen Meist Existenzzeiten der Doppelsternsysteme zusammen auftreten mit raschen Bahnen und umgekehrt, eine Tatsache, die von hohem kosmologischen Interesse ist und bei Spekulationen über die Entstehung der Doppelsterne nicht außer acht gelassen werden darf.

## Spektroskopische Doppelsterne die an verschiedenen Observatorien unter Beobachtung stehen.

 Am 10. September 1907 hat Prof. Edwin S. Frost, Direktor der Licksternwarte, an diejenigen Observatorien, welche sich mit spektroskopischen Aufnahmen zum Zweck der Ermittlung von Radialbewegungen der Fixsterne beschäftigen, ein Schreiben gerichtet, in welchem er um Mitteilung ersucht über die Sterne, welche an den betreffenden Observatorien unter Beobachtung stehen. Der Zweck dieser Aufzählung geht dahin, zu verhindern, daß dieselbe Stelle gleichzeitig an mehreren Observatorien beobachtet und andere vermieden werden. Dem Ersuchen des Direktors der Licksternwarte haben die Vorsteher und Astronomen der betreffenden Observatorien gern entsprochen und Prof. Frost gut nun an Astrophysical Journal eine nach dem Inhalt der eingehenden Antworten geordnete Übersicht der spektroskopischen Doppelsterne, die derzeit unter Beobachtung stehen. Dieser Übersicht ist das Nachstehende entnommen.

Harvard-College-Observatorium in Cambridge M.-A. Prof. Edward C. Pickering schreibt, daß dort nur spektroskopische Doppelsterne beobachtet werden, deren beide Komponenten hell sind, während diejenigen, in denen nur ein Stern hell ist, gegenwärtig dort ausgeschlossen sind. Die Sterne der ungenannten Klasse sind an der Harvardsternwarte seit

mehreren Jahren photographisch aufgenommen worden und die erhaltenen Platten werden dem gütigen Schicksal ihrer Fundamente preisgegeben.

Licksternwarte. Nach der Mitteilung von Prof. W. W. Campbell stehen dort die folgenden spektroskopischen Doppelsterne unter Beobachtung:

- |                          |            |
|--------------------------|------------|
| • Ursa Majoris (Polaris) | 30 Cygni   |
| • Capri                  | 12 Aquilae |
| • Spica                  | 8 Aquilae  |
| • Capricorn              | 11 Jovis   |
| • Minerva                | 1 Corona   |
| • Procyon                |            |

Es wird auf der Licksternwarte nicht beabsichtigt Beobachtungen von spektroskopischen Doppelsternen, die an anderen Observatorien entdeckt wurden, anzustellen, außer in ganz besonderen Fällen.

Dominion-Observatorium in Ottawa. J. S. Plagett berichtet folgende Sterne als solche, von denen dort Aufnahmen erhalten wurden.

- |           |                   |
|-----------|-------------------|
| • Antares | • Aquila          |
| • Vega    | • Corona Borealis |
| • Rigel   | • Cassiopeia      |
| • Orion   | • Deneb           |
| • Sirius  | • Deneb           |
| • Altair  | • Procyon         |
| • Vega    | • Vega            |

Nur einige Aufnahmen von Doppelsternen sind dort gemacht worden. Für 1908 in Aussicht genommen: 1. Deneb, 2. Vega, 3. Procyon, 4. Vega, 5. Vega, 6. Vega, 7. Vega, 8. Vega, 9. Vega, 10. Vega, 11. Vega, 12. Vega, 13. Vega, 14. Vega, 15. Vega, 16. Vega, 17. Vega, 18. Vega, 19. Vega, 20. Vega, 21. Vega, 22. Vega, 23. Vega, 24. Vega, 25. Vega, 26. Vega, 27. Vega, 28. Vega, 29. Vega, 30. Vega, 31. Vega, 32. Vega, 33. Vega, 34. Vega, 35. Vega, 36. Vega, 37. Vega, 38. Vega, 39. Vega, 40. Vega, 41. Vega, 42. Vega, 43. Vega, 44. Vega, 45. Vega, 46. Vega, 47. Vega, 48. Vega, 49. Vega, 50. Vega, 51. Vega, 52. Vega, 53. Vega, 54. Vega, 55. Vega, 56. Vega, 57. Vega, 58. Vega, 59. Vega, 60. Vega, 61. Vega, 62. Vega, 63. Vega, 64. Vega, 65. Vega, 66. Vega, 67. Vega, 68. Vega, 69. Vega, 70. Vega, 71. Vega, 72. Vega, 73. Vega, 74. Vega, 75. Vega, 76. Vega, 77. Vega, 78. Vega, 79. Vega, 80. Vega, 81. Vega, 82. Vega, 83. Vega, 84. Vega, 85. Vega, 86. Vega, 87. Vega, 88. Vega, 89. Vega, 90. Vega, 91. Vega, 92. Vega, 93. Vega, 94. Vega, 95. Vega, 96. Vega, 97. Vega, 98. Vega, 99. Vega, 100. Vega, 101. Vega, 102. Vega, 103. Vega, 104. Vega, 105. Vega, 106. Vega, 107. Vega, 108. Vega, 109. Vega, 110. Vega, 111. Vega, 112. Vega, 113. Vega, 114. Vega, 115. Vega, 116. Vega, 117. Vega, 118. Vega, 119. Vega, 120. Vega, 121. Vega, 122. Vega, 123. Vega, 124. Vega, 125. Vega, 126. Vega, 127. Vega, 128. Vega, 129. Vega, 130. Vega, 131. Vega, 132. Vega, 133. Vega, 134. Vega, 135. Vega, 136. Vega, 137. Vega, 138. Vega, 139. Vega, 140. Vega, 141. Vega, 142. Vega, 143. Vega, 144. Vega, 145. Vega, 146. Vega, 147. Vega, 148. Vega, 149. Vega, 150. Vega, 151. Vega, 152. Vega, 153. Vega, 154. Vega, 155. Vega, 156. Vega, 157. Vega, 158. Vega, 159. Vega, 160. Vega, 161. Vega, 162. Vega, 163. Vega, 164. Vega, 165. Vega, 166. Vega, 167. Vega, 168. Vega, 169. Vega, 170. Vega, 171. Vega, 172. Vega, 173. Vega, 174. Vega, 175. Vega, 176. Vega, 177. Vega, 178. Vega, 179. Vega, 180. Vega, 181. Vega, 182. Vega, 183. Vega, 184. Vega, 185. Vega, 186. Vega, 187. Vega, 188. Vega, 189. Vega, 190. Vega, 191. Vega, 192. Vega, 193. Vega, 194. Vega, 195. Vega, 196. Vega, 197. Vega, 198. Vega, 199. Vega, 200. Vega, 201. Vega, 202. Vega, 203. Vega, 204. Vega, 205. Vega, 206. Vega, 207. Vega, 208. Vega, 209. Vega, 210. Vega, 211. Vega, 212. Vega, 213. Vega, 214. Vega, 215. Vega, 216. Vega, 217. Vega, 218. Vega, 219. Vega, 220. Vega, 221. Vega, 222. Vega, 223. Vega, 224. Vega, 225. Vega, 226. Vega, 227. Vega, 228. Vega, 229. Vega, 230. Vega, 231. Vega, 232. Vega, 233. Vega, 234. Vega, 235. Vega, 236. Vega, 237. Vega, 238. Vega, 239. Vega, 240. Vega, 241. Vega, 242. Vega, 243. Vega, 244. Vega, 245. Vega, 246. Vega, 247. Vega, 248. Vega, 249. Vega, 250. Vega, 251. Vega, 252. Vega, 253. Vega, 254. Vega, 255. Vega, 256. Vega, 257. Vega, 258. Vega, 259. Vega, 260. Vega, 261. Vega, 262. Vega, 263. Vega, 264. Vega, 265. Vega, 266. Vega, 267. Vega, 268. Vega, 269. Vega, 270. Vega, 271. Vega, 272. Vega, 273. Vega, 274. Vega, 275. Vega, 276. Vega, 277. Vega, 278. Vega, 279. Vega, 280. Vega, 281. Vega, 282. Vega, 283. Vega, 284. Vega, 285. Vega, 286. Vega, 287. Vega, 288. Vega, 289. Vega, 290. Vega, 291. Vega, 292. Vega, 293. Vega, 294. Vega, 295. Vega, 296. Vega, 297. Vega, 298. Vega, 299. Vega, 300. Vega, 301. Vega, 302. Vega, 303. Vega, 304. Vega, 305. Vega, 306. Vega, 307. Vega, 308. Vega, 309. Vega, 310. Vega, 311. Vega, 312. Vega, 313. Vega, 314. Vega, 315. Vega, 316. Vega, 317. Vega, 318. Vega, 319. Vega, 320. Vega, 321. Vega, 322. Vega, 323. Vega, 324. Vega, 325. Vega, 326. Vega, 327. Vega, 328. Vega, 329. Vega, 330. Vega, 331. Vega, 332. Vega, 333. Vega, 334. Vega, 335. Vega, 336. Vega, 337. Vega, 338. Vega, 339. Vega, 340. Vega, 341. Vega, 342. Vega, 343. Vega, 344. Vega, 345. Vega, 346. Vega, 347. Vega, 348. Vega, 349. Vega, 350. Vega, 351. Vega, 352. Vega, 353. Vega, 354. Vega, 355. Vega, 356. Vega, 357. Vega, 358. Vega, 359. Vega, 360. Vega, 361. Vega, 362. Vega, 363. Vega, 364. Vega, 365. Vega, 366. Vega, 367. Vega, 368. Vega, 369. Vega, 370. Vega, 371. Vega, 372. Vega, 373. Vega, 374. Vega, 375. Vega, 376. Vega, 377. Vega, 378. Vega, 379. Vega, 380. Vega, 381. Vega, 382. Vega, 383. Vega, 384. Vega, 385. Vega, 386. Vega, 387. Vega, 388. Vega, 389. Vega, 390. Vega, 391. Vega, 392. Vega, 393. Vega, 394. Vega, 395. Vega, 396. Vega, 397. Vega, 398. Vega, 399. Vega, 400. Vega, 401. Vega, 402. Vega, 403. Vega, 404. Vega, 405. Vega, 406. Vega, 407. Vega, 408. Vega, 409. Vega, 410. Vega, 411. Vega, 412. Vega, 413. Vega, 414. Vega, 415. Vega, 416. Vega, 417. Vega, 418. Vega, 419. Vega, 420. Vega, 421. Vega, 422. Vega, 423. Vega, 424. Vega, 425. Vega, 426. Vega, 427. Vega, 428. Vega, 429. Vega, 430. Vega, 431. Vega, 432. Vega, 433. Vega, 434. Vega, 435. Vega, 436. Vega, 437. Vega, 438. Vega, 439. Vega, 440. Vega, 441. Vega, 442. Vega, 443. Vega, 444. Vega, 445. Vega, 446. Vega, 447. Vega, 448. Vega, 449. Vega, 450. Vega, 451. Vega, 452. Vega, 453. Vega, 454. Vega, 455. Vega, 456. Vega, 457. Vega, 458. Vega, 459. Vega, 460. Vega, 461. Vega, 462. Vega, 463. Vega, 464. Vega, 465. Vega, 466. Vega, 467. Vega, 468. Vega, 469. Vega, 470. Vega, 471. Vega, 472. Vega, 473. Vega, 474. Vega, 475. Vega, 476. Vega, 477. Vega, 478. Vega, 479. Vega, 480. Vega, 481. Vega, 482. Vega, 483. Vega, 484. Vega, 485. Vega, 486. Vega, 487. Vega, 488. Vega, 489. Vega, 490. Vega, 491. Vega, 492. Vega, 493. Vega, 494. Vega, 495. Vega, 496. Vega, 497. Vega, 498. Vega, 499. Vega, 500. Vega, 501. Vega, 502. Vega, 503. Vega, 504. Vega, 505. Vega, 506. Vega, 507. Vega, 508. Vega, 509. Vega, 510. Vega, 511. Vega, 512. Vega, 513. Vega, 514. Vega, 515. Vega, 516. Vega, 517. Vega, 518. Vega, 519. Vega, 520. Vega, 521. Vega, 522. Vega, 523. Vega, 524. Vega, 525. Vega, 526. Vega, 527. Vega, 528. Vega, 529. Vega, 530. Vega, 531. Vega, 532. Vega, 533. Vega, 534. Vega, 535. Vega, 536. Vega, 537. Vega, 538. Vega, 539. Vega, 540. Vega, 541. Vega, 542. Vega, 543. Vega, 544. Vega, 545. Vega, 546. Vega, 547. Vega, 548. Vega, 549. Vega, 550. Vega, 551. Vega, 552. Vega, 553. Vega, 554. Vega, 555. Vega, 556. Vega, 557. Vega, 558. Vega, 559. Vega, 560. Vega, 561. Vega, 562. Vega, 563. Vega, 564. Vega, 565. Vega, 566. Vega, 567. Vega, 568. Vega, 569. Vega, 570. Vega, 571. Vega, 572. Vega, 573. Vega, 574. Vega, 575. Vega, 576. Vega, 577. Vega, 578. Vega, 579. Vega, 580. Vega, 581. Vega, 582. Vega, 583. Vega, 584. Vega, 585. Vega, 586. Vega, 587. Vega, 588. Vega, 589. Vega, 590. Vega, 591. Vega, 592. Vega, 593. Vega, 594. Vega, 595. Vega, 596. Vega, 597. Vega, 598. Vega, 599. Vega, 600. Vega, 601. Vega, 602. Vega, 603. Vega, 604. Vega, 605. Vega, 606. Vega, 607. Vega, 608. Vega, 609. Vega, 610. Vega, 611. Vega, 612. Vega, 613. Vega, 614. Vega, 615. Vega, 616. Vega, 617. Vega, 618. Vega, 619. Vega, 620. Vega, 621. Vega, 622. Vega, 623. Vega, 624. Vega, 625. Vega, 626. Vega, 627. Vega, 628. Vega, 629. Vega, 630. Vega, 631. Vega, 632. Vega, 633. Vega, 634. Vega, 635. Vega, 636. Vega, 637. Vega, 638. Vega, 639. Vega, 640. Vega, 641. Vega, 642. Vega, 643. Vega, 644. Vega, 645. Vega, 646. Vega, 647. Vega, 648. Vega, 649. Vega, 650. Vega, 651. Vega, 652. Vega, 653. Vega, 654. Vega, 655. Vega, 656. Vega, 657. Vega, 658. Vega, 659. Vega, 660. Vega, 661. Vega, 662. Vega, 663. Vega, 664. Vega, 665. Vega, 666. Vega, 667. Vega, 668. Vega, 669. Vega, 670. Vega, 671. Vega, 672. Vega, 673. Vega, 674. Vega, 675. Vega, 676. Vega, 677. Vega, 678. Vega, 679. Vega, 680. Vega, 681. Vega, 682. Vega, 683. Vega, 684. Vega, 685. Vega, 686. Vega, 687. Vega, 688. Vega, 689. Vega, 690. Vega, 691. Vega, 692. Vega, 693. Vega, 694. Vega, 695. Vega, 696. Vega, 697. Vega, 698. Vega, 699. Vega, 700. Vega, 701. Vega, 702. Vega, 703. Vega, 704. Vega, 705. Vega, 706. Vega, 707. Vega, 708. Vega, 709. Vega, 710. Vega, 711. Vega, 712. Vega, 713. Vega, 714. Vega, 715. Vega, 716. Vega, 717. Vega, 718. Vega, 719. Vega, 720. Vega, 721. Vega, 722. Vega, 723. Vega, 724. Vega, 725. Vega, 726. Vega, 727. Vega, 728. Vega, 729. Vega, 730. Vega, 731. Vega, 732. Vega, 733. Vega, 734. Vega, 735. Vega, 736. Vega, 737. Vega, 738. Vega, 739. Vega, 740. Vega, 741. Vega, 742. Vega, 743. Vega, 744. Vega, 745. Vega, 746. Vega, 747. Vega, 748. Vega, 749. Vega, 750. Vega, 751. Vega, 752. Vega, 753. Vega, 754. Vega, 755. Vega, 756. Vega, 757. Vega, 758. Vega, 759. Vega, 760. Vega, 761. Vega, 762. Vega, 763. Vega, 764. Vega, 765. Vega, 766. Vega, 767. Vega, 768. Vega, 769. Vega, 770. Vega, 771. Vega, 772. Vega, 773. Vega, 774. Vega, 775. Vega, 776. Vega, 777. Vega, 778. Vega, 779. Vega, 780. Vega, 781. Vega, 782. Vega, 783. Vega, 784. Vega, 785. Vega, 786. Vega, 787. Vega, 788. Vega, 789. Vega, 790. Vega, 791. Vega, 792. Vega, 793. Vega, 794. Vega, 795. Vega, 796. Vega, 797. Vega, 798. Vega, 799. Vega, 800. Vega, 801. Vega, 802. Vega, 803. Vega, 804. Vega, 805. Vega, 806. Vega, 807. Vega, 808. Vega, 809. Vega, 810. Vega, 811. Vega, 812. Vega, 813. Vega, 814. Vega, 815. Vega, 816. Vega, 817. Vega, 818. Vega, 819. Vega, 820. Vega, 821. Vega, 822. Vega, 823. Vega, 824. Vega, 825. Vega, 826. Vega, 827. Vega, 828. Vega, 829. Vega, 830. Vega, 831. Vega, 832. Vega, 833. Vega, 834. Vega, 835. Vega, 836. Vega, 837. Vega, 838. Vega, 839. Vega, 840. Vega, 841. Vega, 842. Vega, 843. Vega, 844. Vega, 845. Vega, 846. Vega, 847. Vega, 848. Vega, 849. Vega, 850. Vega, 851. Vega, 852. Vega, 853. Vega, 854. Vega, 855. Vega, 856. Vega, 857. Vega, 858. Vega, 859. Vega, 860. Vega, 861. Vega, 862. Vega, 863. Vega, 864. Vega, 865. Vega, 866. Vega, 867. Vega, 868. Vega, 869. Vega, 870. Vega, 871. Vega, 872. Vega, 873. Vega, 874. Vega, 875. Vega, 876. Vega, 877. Vega, 878. Vega, 879. Vega, 880. Vega, 881. Vega, 882. Vega, 883. Vega, 884. Vega, 885. Vega, 886. Vega, 887. Vega, 888. Vega, 889. Vega, 890. Vega, 891. Vega, 892. Vega, 893. Vega, 894. Vega, 895. Vega, 896. Vega, 897. Vega, 898. Vega, 899. Vega, 900. Vega, 901. Vega, 902. Vega, 903. Vega, 904. Vega, 905. Vega, 906. Vega, 907. Vega, 908. Vega, 909. Vega, 910. Vega, 911. Vega, 912. Vega, 913. Vega, 914. Vega, 915. Vega, 916. Vega, 917. Vega, 918. Vega, 919. Vega, 920. Vega, 921. Vega, 922. Vega, 923. Vega, 924. Vega, 925. Vega, 926. Vega, 927. Vega, 928. Vega, 929. Vega, 930. Vega, 931. Vega, 932. Vega, 933. Vega, 934. Vega, 935. Vega, 936. Vega, 937. Vega, 938. Vega, 939. Vega, 940. Vega, 941. Vega, 942. Vega, 943. Vega, 944. Vega, 945. Vega, 946. Vega, 947. Vega, 948. Vega, 949. Vega, 950. Vega, 951. Vega, 952. Vega, 953. Vega, 954. Vega, 955. Vega, 956. Vega, 957. Vega, 958. Vega, 959. Vega, 960. Vega, 961. Vega, 962. Vega, 963. Vega, 964. Vega, 965. Vega, 966. Vega, 967. Vega, 968. Vega, 969. Vega, 970. Vega, 971. Vega, 972. Vega, 973. Vega, 974. Vega, 975. Vega, 976. Vega, 977. Vega, 978. Vega, 979. Vega, 980. Vega, 981. Vega, 982. Vega, 983. Vega, 984. Vega, 985. Vega, 986. Vega, 987. Vega, 988. Vega, 989. Vega, 990. Vega, 991. Vega, 992. Vega, 993. Vega, 994. Vega, 995. Vega, 996. Vega, 997. Vega, 998. Vega, 999. Vega, 1000. Vega, 1001. Vega, 1002. Vega, 1003. Vega, 1004. Vega, 1005. Vega, 1006. Vega, 1007. Vega, 1008. Vega, 1009. Vega, 1010. Vega, 1011. Vega, 1012. Vega, 1013. Vega, 1014. Vega, 1015. Vega, 1016. Vega, 1017. Vega, 1018. Vega, 1019. Vega, 1020. Vega, 1021. Vega, 1022. Vega, 1023. Vega, 1024. Vega, 1025. Vega, 1026. Vega, 1027. Vega, 1028. Vega, 1029. Vega, 1030. Vega, 1031. Vega, 1032. Vega, 1033. Vega, 1034. Vega, 1035. Vega, 1036. Vega, 1037. Vega, 1038. Vega, 1039. Vega, 1040. Vega, 1041. Vega, 1042. Vega, 1043. Vega, 1044. Vega, 1045. Vega, 1046. Vega, 1047. Vega, 1048. Vega, 1049. Vega, 1050. Vega, 1051. Vega, 1052. Vega, 1053. Vega, 1054. Vega, 1055. Vega, 1056. Vega, 1057. Vega, 1058. Vega, 1059. Vega, 1060. Vega, 1061. Vega, 1062. Vega, 1063. Vega, 1064. Vega, 1065. Vega, 1066. Vega, 1067. Vega, 1068. Vega, 1069. Vega, 1070. Vega, 1071. Vega, 1072. Vega, 1073. Vega, 1074. Vega, 1075. Vega, 1076. Vega, 1077. Vega, 1078. Vega, 1079. Vega, 1080. Vega, 1081. Vega, 1082. Vega, 1083. Vega, 1084. Vega, 1085. Vega, 1086. Vega, 1087. Vega, 1088. Vega, 1089. Vega, 1090. Vega, 1091. Vega, 1092. Vega, 1093. Vega, 1094. Vega, 1095. Vega, 1096. Vega, 1097. Vega, 1098. Vega, 1099. Vega, 1100. Vega, 1101. Vega, 1102. Vega, 1103. Vega, 1104. Vega, 1105. Vega, 1106. Vega, 1107. Vega, 1108. Vega, 1109. Vega, 1110. Vega, 1111. Vega, 1112. Vega, 1113. Vega, 1114. Vega, 1115. Vega, 1116. Vega, 1117. Vega, 1118. Vega, 1119. Vega, 1120. Vega, 1121. Vega, 1122. Vega, 1123. Vega, 1124. Vega, 1125. Vega, 1126. Vega, 1127. Vega, 1128. Vega, 1129. Vega, 1130. Vega, 1131. Vega, 1132. Vega, 1133. Vega, 1134. Vega, 1135. Vega, 1136. Vega, 1137. Vega, 1138. Vega, 1139. Vega, 1140. Vega, 1141. Vega, 1142. Vega, 1143. Vega, 1144. Vega, 1145. Vega, 1146. Vega, 1147. Vega, 1148. Vega, 1149. Vega, 1150. Vega, 1151. Vega, 1152. Vega, 1153. Vega, 1154. Vega, 1155. Vega, 1156. Vega, 1157. Vega, 1158. Vega, 1159. Vega, 1160. Vega, 1161. Vega, 1162. Vega, 1163. Vega, 1164. Vega, 1165. Vega, 1166. Vega, 1167. Vega, 1168. Vega, 1169. Vega, 1170. Vega, 1171. Vega, 1172. Vega, 1173. Vega, 1174. Vega, 1175. Vega, 1176. Vega, 1177. Vega, 1178. Vega, 1179. Vega, 1180. Vega, 1181. Vega, 1182. Vega, 1183. Vega, 1184. Vega, 1185. Vega, 1186. Vega, 1187. Vega, 1188. Vega, 1189. Vega, 1190. Vega, 1191. Vega, 1192. Vega, 1193. Vega, 1194. Vega, 1195. Vega, 1196. Vega, 1197. Vega, 1198. Vega, 1199. Vega, 1200. Vega, 1201. Vega, 1202. Vega, 1203. Vega, 1204. Vega, 1205. Vega, 1206. Vega, 1207. Vega, 1208. Vega, 1209. Vega, 1210. Vega, 1211. Vega, 1212. Vega, 1213. Vega, 1214. Vega, 1215. Vega, 1216. Vega, 1217. Vega, 1218. Vega, 1219. Vega, 1220. Vega, 1221. Vega, 1222. Vega, 1223. Vega, 1224. Vega, 1225. Vega, 1226. Vega, 1227. Vega, 1228. Vega, 1229. Vega, 1230. Vega, 1231. Vega, 1232. Vega, 1233. Vega, 1234. Vega, 1235. Vega, 1236. Vega, 1237. Vega, 1238. Vega, 1239. Vega, 1240. Vega, 1241. Vega, 1242. Vega, 1243. Vega, 1244. Vega, 1245. Vega, 1246. Vega, 1247. Vega, 1248. Vega, 1249. Vega, 1250. Vega, 1251. Vega, 1252. Vega, 1253. Vega, 1254. Vega, 1255. Vega, 1256. Vega, 1257. Vega, 1258. Vega, 1259. Vega, 1260. Vega, 1261. Vega, 1262. Vega, 1263. Vega, 1264. Vega, 1265. Vega, 1266. Vega, 1267. Vega, 1268. Vega, 1269. Vega, 1270. Vega, 1271. Vega, 1272. Vega, 1273. Vega, 1274. Vega, 1275. Vega, 1276. Vega, 1277. Vega, 1278. Vega, 1279. Vega, 1280. Vega, 1281. Vega, 1282. Vega, 1283. Vega, 1284. Vega, 1285. Vega, 1286. Vega, 1287. Vega, 1288. Vega, 1289. Vega, 1290. Vega, 1291. Vega, 1292. Vega, 1293. Vega, 1294. Vega, 1295. Vega, 1296. Vega, 1297. Vega, 1298. Vega, 1299. Vega, 1300. Vega, 1301. Vega, 1302. Vega, 1303. Vega, 1304. Vega, 1305. Vega, 1306. Vega, 1307. Vega, 1308. Vega, 1309. Vega, 1310. Vega, 1311. Vega, 1312. Vega, 1313. Vega, 1314. Vega, 1315. Vega, 1316. Vega, 1317. Vega, 1318. Vega, 1319. Vega, 1320. Vega, 1321. Vega, 1322. Vega, 1323. Vega, 1324. Vega, 1325. Vega, 1326. Vega, 1327. Vega, 1328. Vega, 1329. Vega, 1330. Vega, 1331. Vega, 1332. Vega, 1333. Vega, 1334. Vega, 1335. Vega, 1336. Vega, 1337. Vega, 1338. Vega, 1339. Vega, 1340. Vega, 1341. Vega, 1342. Vega, 1343. Vega, 1344. Vega, 1345. Vega, 1346. Vega, 1347. Vega, 1348. Vega, 1349. Vega, 1350. Vega, 1351. Vega, 1352. Vega, 1353. Vega, 1354. Vega, 1355. Vega, 1356. Vega, 1357. Vega, 1358. Vega, 1359. Vega, 1360. Vega, 1361. Vega, 1362. Vega, 1363. Vega, 1364. Vega, 1365. Vega, 1366. Vega, 1367. Vega, 1368. Vega, 1369. Vega, 1370. Vega, 1371. Vega, 1372. Vega, 1373. Vega, 1374. Vega, 1375. Vega, 1376. Vega, 1377. Vega, 1378. Vega, 1379. Vega, 1380. Vega, 1381. Vega, 1382. Vega, 1383. Vega, 1384. Vega, 1385. Vega, 1386. Vega, 1387. Vega, 1388. Vega, 1389. Vega, 1390. Vega, 1391. Vega, 1392. Vega, 1393. Vega, 1394. Vega, 1395. Vega, 1396. Vega, 1397. Vega, 1398. Vega, 1399. Vega, 1400. Vega, 1401. Vega, 1402. Vega, 1403. Vega, 1404. Vega, 1405. Vega, 1406. Vega, 1407. Vega, 1408. Vega, 1409. Vega, 1410. Vega, 1411. Vega, 1412. Vega, 1413. Vega, 1414. Vega, 1415. Vega, 1416. Vega, 1417. Vega, 1418. Vega, 1419. Vega, 1420. Vega, 1421. Vega, 1422. Vega, 1423. Vega, 1424. Vega, 1425. Vega, 1426. Vega, 1427. Vega, 1428. Vega, 1429. Vega, 1430. Vega, 1431. Vega, 1432. Vega, 1433. Vega, 1434. Vega, 1435. Vega, 1436. Vega, 1437. Vega, 1438. Vega, 1439. Vega, 1440. Vega, 1441. Vega, 1442. Vega, 1443. Vega, 1444. Vega, 1445. Vega, 1446. Vega, 1447. Vega, 1448. Vega, 1449. Vega, 1450. Vega, 1451. Vega, 1452. Vega, 1453. Vega, 1454. Vega, 1455. Vega, 1456. Vega, 1457. Vega, 1458. Vega, 1459. Vega, 1460. Vega, 1461. Vega, 1462. Vega, 1463. Vega, 1464. Vega, 1465. Vega, 1466. Vega, 1467. Vega, 1468. Vega, 1469. Vega, 1470. Vega, 1471. Vega, 1472. Vega, 1473. Vega, 1474. Vega, 1475. Vega, 1476. Vega, 1477. Vega, 1478. Vega, 1479. Vega, 1480. Vega, 1481. Vega, 1482. Vega, 1483. Vega, 1484. Vega, 1485. Vega, 1486. Vega, 1487. Vega, 1488. Vega, 1489. Vega, 1490. Vega, 1491. Vega, 1492. Vega, 1493. Vega, 1494. Vega, 1495. Vega, 1496. Vega, 1497. Vega, 1498. Vega, 1499. Vega, 1500. Vega, 1501. Vega, 1502. Vega, 1503

Reihe stehenden Geleise ausgeführt werden können. Folgende Sterne, die nicht schwerer als 5. Größe sind, können wohl dort berücksichtigt werden:

• Capell	• Deneb
• Gamma Cassiopeiae	• Pegus
• Tau	• Pegasus
• Alpha Centauri	• etc.

Polstern Prof. J. Hartmann schreibt, daß dort beobachtet wurden: Polaris,  $\beta$  Perseus,  $\alpha$  Cassiopeiae,  $\delta$  Orion und noch einige andere. Er läßt es nicht für ein Unglück, wenn gegenwärtig, wo die spektroskopischen Messungen noch im Stadium der Ausbildung sind, die gleichen Arbeiten auch von verschiedenen Beobachtern ausgeführt werden, da dadurch ein gutes Mittel zur Prüfung der absoluten Korrektheit der Resultate gegeben ist.

Königl. Sternwarte am Cap. Direktor S. S. Hough schreibt, daß das Studium der spektroskopischen Doppelsterne bis jetzt dort noch nicht in das regelmäßige Beobachtungsprogramm aufgenommen worden, daß dasselbe jedoch für das kommende Jahr berücksichtigt werde. Von einer Anzahl Sterne sind gleichwohl Spektrogramme erhalten worden und die Spektren sind geeignet zu scharfen Messungen, nämlich diejenigen von:

• Argus	• Gamma Orion
• Argus	• Gamma Orion
• Alpha Centauri	• Delta
• Beta Centauri	• Eta
• Gamma Centauri	• Iota
• Delta Centauri	• Kappa
• Epsilon Centauri	• Lambda
• Zosma	• Theta
• Zosma	• Triangulum Australe

Die folgenden Sterne eignen in ihren Spektren zu sehr verwaschenen Linien oder sind aus anderen Gründen für genaue Messungen nicht geeignet:

• Argus	• Sigma
• Gamma Centauri	• Delta
• Epsilon Centauri	• Epsilon
• Zosma	• Zosma
• Zosma	• Zosma
• Zosma	• Zosma

Allegheny-Observatorium. Direktor Frank Schlesinger. Die Beob-

achtungsliste enthält zunächst alle Sterne des Algoltypus, welche den Mittelteil der Sternreihe zugehörig sind, nämlich:

• Perseus	• Alpha Centauri
• Tau	• Beta Centauri
• Cassiopeiae	• Gamma Centauri
• Delta	• Delta

Folgende Sterne, deren Spektrum der Art sind, daß sie am besten mit geringer Dispersion des Spektrographen beobachtet werden, nämlich:

• Alpha Centauri	• Delta
• Alpha Centauri	• Epsilon
• Gamma Centauri	• Gamma
• Zosma	• Zosma
• Zosma	• Zosma

Lowell-Observatorium. Nach den Mitteilungen von M. M. Shapley werden dort folgende Sterne beobachtet: Bestimmung spektroskopisch erfolgt:

• Delta	• Sigma
• Gamma	• Gamma
• Gamma	• Gamma

Yerkes-Observatorium. Prof. Edwin H. Barnard gibt folgenden Verzeichnis der derzeit unter spektroskopischer Beobachtung gehaltenen Sterne:

• Delta	• Gamma
• Gamma	• Gamma
• Gamma	• Gamma
• Gamma	• Gamma
• Gamma	• Gamma
• Gamma	• Gamma

Sternwarte zu Cambridge (England). M. F. Newall bemerkt, daß der Vorproben-Sternspektrograph nicht abgelesen ist, die folgenden Sterne seien jedoch beobachtet worden:

• Gamma Centauri	• Gamma
• Gamma Centauri	• Gamma

Bonn. Direktor Prof. F. Krieger schreibt, daß den ausgedehnten Reihen spektroskopischer Aufnahmen jetzt nur von  $\alpha$  Argus und  $\gamma$  Pegus vorzuziehen, doch über von einer großen Anzahl spektroskopischer Doppelsterne einzelne Aufnahmen gemacht worden, so von den nachstehenden mit Angabe der Zahl der erhaltenen Platten:

• Delta Centauri	• Delta
• Delta	• Delta
• Delta	• Delta
• Delta	• Delta

$\gamma$ Herkules	3	$\epsilon$ Capricorn	4
$\epsilon$ Herkules	3	$\gamma$ Pegasus	4
$\delta$ Andromedae	4		

Diese Platten sind bereits sämtlich gemessen und reduziert und die Ergebnisse werden in nicht zu langer Zeit veröffentlicht.

Harvard-Collings-Observatorium. Prof. Edward C. Pickering bemerkt in einem Schreiben vom 31. Januar 1905 mit Rücksicht auf den Vorschlag von Prof. Frost: Von den veränderlichen Sternen, besonders denjenigen mit kleiner Periode des Lichtwechsels, sollten so bald als möglich gleichzeitig mit der Photographie ihre Spektra auch photometrische Messungen ausgeführt werden. Die Harvard-Commission ist bereit solche photometrische Messungen zu machen. Veränderliche Sterne, wie  $\delta$  Monocerotis und  $\gamma$  Aquilae, deren Veränderlichkeit genügend erwiesen ist, die aber gegenwärtig keinen Lichtwechsel zeigen, sind möglicherweise Veränderliche des Algol-Typus, aber von langer Periode, oder kleinen Perioden wie bei genau einem oder mehreren Tagen haben. Spektrographische Aufnahmen können anzeigen, wann die relative Bewegung Null ist und eine Verfinstörung oder Lichtvermehrung wahrscheinlich ist.

Die spektroskopischen Doppelsterne  $\gamma$  Puppis und  $\mu$ , Scorpii zeigen einen Umlauf der Bewegungen von mehreren hundert Kilometern. Deshalb ist die Bestimmung ihrer Bahnen mit einem

hohen Grade von Genauigkeit möglich. Der Stern  $\epsilon$  Ursa majoris (Mizar) ist sehr genau, um auch auf kleinen Instrumenten photographiert zu werden. Den Studien seiner Veränderungen mit einem Spektroskop würde von großem Werte sein. Eine Anzahl toller Photographien seines Spektrums, die zu Harvard mit einem Objektiv-Prisma erhalten wurden, zeigen deutliche Unregelmäßigkeiten. Keine ähnliche zeigen dagegen die Aufnahmen von  $\beta$  Aurigae, dem einzigen noch bekannten Stern dieser Klasse.

Nach einer Mitteilung von H. Ludendorff ist dieser in Gemeinschaft mit Prof. Zverker rassist am astronomischen Observatorium zu Potsdam mit Spektraufnahmen am 22.5. am Refraktor von folgendem Namen beschäftigt:

$\alpha$ Andromedae	$\beta$ Ursa Majoris
$\beta$ Andris	$\alpha$ Ursa Majoris
$\alpha$ Aurigae	$\gamma$ Ursa Majoris
$\gamma$ Orionis	$\delta$ Aquilae

Mit wenigen Ausnahmen hat Dr. Ludendorff alle erhaltenen Platten ausgemessen und die von ihm berechneten Bahnkonstante von  $\beta$  Andris publiziert, auch wird er wahrscheinlich demnächst vollständige Bahnkonstanten von  $\gamma$  Orionis veröffentlicht können. Von  $\gamma$  Aurigae sind 40 Platten erhalten worden, doch muß der Stern noch länger verfolgt werden, nachdem gilt von den Sternen  $\beta$  Ursa Majoris,  $\alpha$  Ursa Majoris und  $\delta$  Aquilae.

## Vermischte Nachrichten.

Über die Rotationsdauer der Sonne hat der Adjunkt der Preuss. Sternwarte Dr. A. Schaller eine Abhandlung verfaßt, die von Hofrat Prof. E. Weiß der Wiener Akademie der Wissenschaften vorgelegt wurde<sup>1)</sup>. Der Hauptinhalt derselben ist folgender:

In den letzten Jahren haben die spektroskopisch durchgeführten Be-

stimmungen der Rotationszeit der Sonne von Dunst, Adams u. a., insbesondere aber die von Helm Andeutungen einer Veränderlichkeit der Dauer der Sonnenrotation erkennen lassen. Da nun die Variationen der erdmagnetischen Elemente hauptsächlich in engen Zusammenhänge mit den Vorgängen auf der Sonne stehen und bereits zweifelsfrei ermittelt wurde, die Rotationsdauer der Sonne aus deren Variationen zu bestimmen,

<sup>1)</sup> Wiener Akademie, Bericht 1904 S. 340.

leitete Dr. Scheller eine ähnliche Untersuchung an den Deichlinsensbeobachtungen in Potsdam zwischen 1893 und 1902, die eine vollständige Sonnenfleckenperiode umfassen, durch. Er wendet dabei die schon von Herschel zu dem gleichen Zwecke benutzte Methode der Brechung in und erhält dadurch für die einzelnen Jahre die nachfolgenden Werte für die scheinbare Konstante  $\gamma$  des Sonnenlages.

Jahr	$\gamma$
1893	26158 Tage
1894	26165
1895	26169
1896	26175
1897	26182
1898	26187
1899	26193
1900	26194
1901	26197

Die Rotationszeiten zeigen eine deutlich ausgesprochene dreijährige Periode, bei welcher der Maximum auf 1894, 1896, 1897 und 1900, die Minima auf 1893, 1895 und 1898 fielen. In Übereinstimmung damit hatte schon Hale auf eine ähnliche dreijährige Periode mit Maxima in 1893,5 und 1894,5 und Minima in 1892,5 und 1896 mit seinen und Dunst Beobachtungen zwischen 1890 und 1896 geschlossen. —

Natürlich ist nicht anzunehmen, daß der Sonnenschub als Ganzes um Rotationsdauer in dreijähriger Periode um mehr als 20 Stunden ändere, sondern diese Schwankungen sind auf die äußeren atmosphärischen Schichten der Sonne beschränkt.

Eine vergleichende Untersuchung der Spektre des Randes und der Mitte der Sonnenscheibe haben O. E. Hale und W. S. Adams auf dem Mount Wilson Observatorium angestellt. Sie photographierten die Spektre von Punkten nahe am Sonnenrande mit dem des Sonnenzentrums direkt übereinander und verglichen beide sorgfältig. Die dunklen Linien traten am Rand Photographen ziemlich scharf und die Mischungen konnten in dem Gebiete zwischen den

Wellenlängen 4340 bis 4500 sehr gut ausgeführt werden. Beide Beobachter lassen die Ergebnisse in folgenden vorläufigen Sätzen zusammen, die jedoch möglicherweise für die Spektralregion zwischen D oder im Ultraviolett keine Gültigkeit haben.

1. Die meisten Linien, die auf der Photographen der Sonnenflecke verstärkt oder geschwächt erscheinen, sind in der Mitte des Randes in gleicher Weise verändert. 2. Aber auch viele in den Flecken nicht veränderte Linien sind am Rande stärker oder schwächer. 3. Linien von Substanz und hohem Magnetisch sind im allgemeinen am Rande schwächer. 4. Oxydierter Linien erleiden deutliche Änderungen beim Ansehen, indem die Finern am Rande stark reduziert sind. 5. Unter den im Rande beträchtlich verstärkten Linien nimmt die wichtigsten von Eisen ein mit verhältnismäßig niedrigem Atomgewicht hin. Sie enthalten die D-Linien des Natriums, die sechs Linien des Magnesiums und die blaue Calciumlinie bei 4325. 6. Die meisten Linien des Spektrums sind am Rande ein wenig verbreitert. 7. Die meisten Linien sind nach Rot verschoben im Vergleich mit ihrer Lage im Zentrum der Sonne. 8. Diese Verschiebungen rühren wohl her von aufsteigenden Strömen im Sonneninnern (diese würden negative Verschiebungen der Linien, nach dem Violé, erzeugen), denn sie wurden auch gefunden auf Hilfe eines Vergleichs-Spektroscopiums. 9. Die Größe der Verschiebung variirt für verschiedene Linien derselben Elemente. 10. Die verstärkten Linien scheinen in der Regel geringere Verschiebungen zu zeigen als die anderen Linien. 11. Die Finestellen dieser bestimmten Elemente zeigen in der Regel größere Verschiebungen als die anderen Linien. 12. In manchen Fällen stimmen die relativen Verschiebungen der Linien ziemlich gut mit den von Humphreys in seinen Laboratoriumversuchen über die Wirkung des Drucks auf die Wellenlänge erhaltenen Zahlen.

13. Die Linien der Cyan-Konzentranten (2 1843-5 und 1 4216-14) werden von ihren normalen Stellungen nicht verschoben. 14. Die Verschiebungen von Gruppen der Wasserlinien bei 1 3800, 1 4500 und 1 5300, sowie von Gruppen der Eisenlinien bei 1 3600, 1 4400, 1 4900 und 1 5500 zeigen fortschreitende Zunahme nach dem Rot und scheinen anzuzeigen, daß die mittlere Druckverschiebung für ähnliche Linien eine Funktion der Wellenlänge ist. 15. Photographien von Punkten zwischen Zentrum und Rand zeigen darauf hin, daß die Verschiebungen schnell abnehmen und schon in einem kurzen Abstande vom Rande sehr klein werden.<sup>1)</sup>

**Photometrische Beobachtungen des Planeten Mars während der Opposition** desselben im Jahre 1887 hat Dr. R. Grünbeck auf der Berliner Sternwarte mit einem Zöllnerschen Photometer angestellt. Es ergab sich, daß Helligkeitsänderungen von kurzer Periode, die also auf eine Rotation deuten würden, nicht sicher erkennbar waren.

Die Bahn des spektroskopischen Doppelsternes  $\alpha$  Andromeden ist von H. Linderhoff genauer berechnet worden<sup>2)</sup>, hauptsächlich auf Grund von spektroskopischen Aufzeichnungen, die dieser Astronom zusammen mit Prof. Eberhard von photographischen Reliquaten des Astrophysikalischen Observatoriums zu Potsdam seit 1901 bis Ende Februar 1908 erhalten hat. Da für die Bahnbestimmung beschränkt Werte der Radialbewegung des Sterns benutzt ausschließlich auf Messungen der Verschiebungen, welche die Linien H $\gamma$  und 14481 auf dem Platten zeigen und, da diese Linien nur schlecht meßbar sind, auch Linderhoffs Urteil ziemlich geringes. Im ganzen wurden 41 Werte der Radialbewegung benutzt und außer dazu noch 13 Aufnahmen von Eipher und 7 der Lichtsternwarte. Es

ergaben sich zunächst für die Umlaufperiode 96,7 Tage, ein Wert, der um nicht viel mehr als 0,1 Tag ungenauer sein dürfte. Die Bewegung des Schwerpunktes der Bahn fand sich zu 14,4 km pro Sekunde, in der Richtung auf die Erde zu. Die Excentricität der Bahn beträgt 0,93, die halbe große Achse derselben muß mindestens 21 408 080 km betragen und die Gesamtmasse mindestens 0,15 der Sonnenmasse sein. Die Aufnahmen zeigen Andeutungen von kleinen Veränderungen in der relativen Intensität und Dehnung mehrerer Spektrallinien. Es scheint Dr. Linderhoff, daß die Hagenstrahlens  $\lambda=4481$  auf einigen Platten doppelt sei, nach der Wasserstofflinie H $\gamma$  zeigen hinwieder ähnliche Andeutungen. Eine Beziehung dieser Verdoppelungen zur Bahnbewegung ließ sich nicht mit Sicherheit erkennen und Dr. Linderhoff möchte bei dieser Stelle, ähnlich wie bei  $\beta$  Arietis glauben, daß es Vorgänge in der Atmosphäre des Sterns sind, die diese Verdoppelungen verursachen.

**Periodische Kometen.** deren Rückkehr 1898 zu erwarten ist. Außer dem Enckeschen Kometen werden im Laufe des gegenwärtigen Jahres noch folgende periodische Kometen in die Sonnennähe zurückkehren:

Komet Quowien 1909 III, dessen Umlaufdauer etwa 7 Jahre beträgt, kommt Dienstag 1281 V mit 8,6 Jahren Umlaufdauer, Komet 1899 III mit 5 1/2 Jahren Umlaufzeit. Derselbe ist zuletzt 1891 gesehen worden.

**Freunde der Himmelsbeobachtung.** Am 6ten Loschkeins des -Stern- und mit mehrere größten und kleinere sehr gut erhaltenen Fernrohre zum Verkauf angeboten werden. Freunden der Himmelsbeobachtung, welche die Anschaffung eines solchen Instrumentes beabsichtigen, und sich darüberhinaus noch weitere, bis ich zu jeder gewünschten Auskunft gern bereit. Prof. Dr. Klein.

<sup>1)</sup> Naturwissenschaftliche Wochenschrift 1888 No. 15, S. 181.

<sup>2)</sup> Astron. Nachr. No. 4230.

# Astronomischer Kalender für den Monat August 1908.

Tag	Sonnen					Mond				
	Phöbicus Berliner Mithg.					Mithg. Berliner Phöbicus.				
	Zeitp. in L. - W. T.	Rektascension	Declination	Rektascension	Declination	Rektascension	Declination	Rektascension	Declination	Rektascension
	h. m. s.	h. m. s.	° ' "	h. m. s.	° ' "	h. m. s.	° ' "	h. m. s.	° ' "	h. m. s.
1	+ 6 59.1	8 44. 47.42	+ 09 4 48.7	11 48. 17.48	+ 7 1 44.4	8 43.4				
2	6 59.1	8 45. 28.41	27 48. 53.8	21 58. 18.47	+ 6 58. 5.8	8 44.7				
3	6 59.4	8 46. 10.42	27 54. 54. 2	21 58. 18.47	+ 6 58. 10.4	8 45.1				
4	6 59.6	8 47. 52.43	27 58. 18.4	21 58. 18.4	7 58. 7.8	8 45.7				
5	6 59.6	8 48. 54. 4	27 5 17.7	21 48. 17.47	11 48. 47.4	8 46.1				
6	6 58.42	8 4 4 48.8	27 48. 17.4	21 58. 17.4	18 17. 1.8	8 46.7				
7	6 57.48	8 7 58.48	27 38. 17.4	21 58. 17.4	7 48. 1.8	8 47.3				
8	6 56.56	8 11 48. 58	27 38. 17.4	21 58. 17.4	48 18. 17.4	8 47.9				
9	6 55.54	8 15 27.58	27 38. 17.4	21 58. 17.4	28 31. 16.7	8 48.5				
10	6 54.60	8 19 17.12	27 38. 17.4	21 58. 17.4	58 3 32.8	18 48.4				
11	6 49.7	8 23 7.08	27 38. 17.4	21 48. 16.4	9 4 18.4	18 58.1				
12	6 54.56	8 26 56.12	27 3 18.4	21 48. 17.4	17 58. 18.1	18 58.1				
13	6 53.54	8 30 45.12	24 48. 18.4	21 48. 17.4	18 48. 18.1	18 51.7				
14	6 52.54	8 34 34.17	24 48. 17.4	21 48. 17.4	7 48. 18.1	18 48.1				
15	6 51.56	8 38 23.18	24 7 18.4	21 38. 18.1	+ 1 58. 18.1	18 58.7				
16	6 50.58	8 42 12.22	24 48. 18.1	21 38. 17.4	+ 6 14. 44.7	18 58.1				
17	6 49.60	8 46 1.22	23 38. 18.1	21 38. 17.4	8 14. 18.1	18 58.1				
18	6 48.61	8 49 50.22	23 38. 18.1	21 38. 18.1	18 48. 18.1	18 58.1				
19	6 47.63	8 53 7.08	23 38. 18.1	21 38. 18.1	18 4 18.1	18 48.1				
20	6 46.65	8 56 56.12	23 38. 18.1	21 38. 18.1	18 4 18.1	18 48.1				
21	6 45.67	8 60 45.12	23 38. 18.1	21 38. 18.1	18 4 18.1	18 48.1				
22	6 44.69	8 64 34.17	23 38. 18.1	21 38. 18.1	18 4 18.1	18 48.1				
23	6 43.71	8 68 23.18	23 38. 18.1	21 38. 18.1	18 4 18.1	18 48.1				
24	6 42.73	8 72 12.22	23 38. 18.1	21 38. 18.1	18 4 18.1	18 48.1				
25	6 41.75	8 76 1.22	23 38. 18.1	21 38. 18.1	18 4 18.1	18 48.1				
26	6 40.77	8 79 50.22	23 38. 18.1	21 38. 18.1	18 4 18.1	18 48.1				
27	6 39.79	8 83 39.22	23 38. 18.1	21 38. 18.1	18 4 18.1	18 48.1				
28	6 38.81	8 87 28.22	23 38. 18.1	21 38. 18.1	18 4 18.1	18 48.1				
29	6 37.83	8 91 17.22	23 38. 18.1	21 38. 18.1	18 4 18.1	18 48.1				
30	6 36.85	8 95 6.22	23 38. 18.1	21 38. 18.1	18 4 18.1	18 48.1				
31	6 35.87	8 98 55.22	23 38. 18.1	21 38. 18.1	18 4 18.1	18 48.1				

## Planetenkonstellationen 1908.

August	3	h. b.	Merkur im aufsteigenden Kometen.
"	7	53	Merkur in der Skorpionen.
"	21	7	Venus im größten Glanz.
"	22	54	Mars in Konjunktion mit Jupiter. Mars 2° 24' nördl.
"	24	8	Venus in größter süd. helio. Breite.
"	26	3	Merkur in Konjunktion mit dem Monde.
"	27	8	Jupiter in Konjunktion mit der Sonne.
"	28	8	Merkur in größter süd. helio. Breite.
"	29	18	Merkur in Konjunktion mit Jupiter. Merkur 1° 2' nördl.
"	30	4	Merkur in oberer Konjunktion mit der Sonne.
"	30	8	Merkur in Konjunktion mit Mars. Merkur 2° 40' nördl.
"	30	12	Merkur letzter Konjunktion mit Venus. Merkur 1° 20' nördl.
"	31	8	Mars in oberer Konjunktion mit Venus. Mars 2° 44' nördl.
"	32	18	Merkur in Konjunktion mit der Sonne.
"	33	12	Venus in Konjunktion mit dem Monde.
"	35	58	Jupiter in Konjunktion mit dem Monde.
"	36	8	Mars in Konjunktion mit dem Monde.
"	37	8	Merkur in Konjunktion mit dem Monde.



**Planeten: Ephemeriden.**

Mittlere Berliner Zeit.					Petersburger Berliner Zeit.							
Monat Tag	Rektascension			Declination	Ostere- Meridian- distanz	Monat Tag	Rektascension			Declination	Ostere- Meridian- distanz	
	h	m	s				h	m	s			
Merkur.												
Aug. 5	7	34	0 10	— 0° 12' 15" N	0° 12'	Aug. 5	0	42	23 55	+ 1° 02' 17" N	1° 02'	
7	8	35	4 00	— 0° 30' 30" N	0° 30'	10	0	38	10 43	+ 1° 25' 30" N	1° 25'	
10	9	34	8 30	— 0° 54' 10" N	0° 54'	15	0	47	57 03	+ 1° 11' 55" N	1° 12'	
17	9	34	15 51	— 0° 31' 10" N	0° 31'	Uranus.						
20	10	13	52 30	— 0° 43' 10" N	0° 43'	Aug. 8	9	25	15	47 01	— 0° 19' 0" N	0° 19'
27	10	46	47 00	+ 0° 4' 40" N	0° 50'	14	14	14	48 57	— 0° 19' 50" N	0° 20'	
Venus.						19	24	17	50 54	— 0° 19' 50" N	0° 20'	
Aug. 3	8	34	43 00	+ 17° 30' 0" N	0° 40'	Neptun.						
7	8	38	44 71	+ 17° 37' 20" N	0° 30'	Aug. 6	7	0	0 54	+ 0° 43' 40" N	0° 43'	
10	8	38	45 30	+ 17° 40' 30" N	0° 30'	10	7	0	30 71	+ 0° 43' 40" N	0° 34'	
15	8	38	46 00	+ 17° 41' 30" N	0° 30'	15	7	10	30 54	+ 0° 43' 40" N	0° 40'	
22	7	0	33 40	+ 17° 38' 30" N	0° 4'	Mars.						
27	7	51	17 57	+ 17° 35' 40" N	0° 5'	Aug. 7	0	35	45 00	+ 17° 3' 11" N	0° 13'	
Jupiter.						7	0	34	30 10	+ 17° 3' 40" N	0° 10'	
Aug. 7	0	35	45 00	+ 17° 3' 11" N	0° 13'	10	0	40	33 14	+ 17° 3' 10" N	0° 10'	
10	0	40	33 14	+ 17° 3' 10" N	0° 10'	17	0	41	35 40	+ 17° 3' 10" N	0° 10'	
17	0	41	35 40	+ 17° 3' 10" N	0° 10'	24	14	0	55 40	+ 17° 34' 25" N	0° 4'	
24	14	0	55 40	+ 17° 34' 25" N	0° 4'	27	15	21	47 20	+ 17° 47' 50" N	0° 27'	
31	15	21	47 20	+ 17° 47' 50" N	0° 27'	Mercurius.						
						Aug. 4	0	46	54 8	—	0° 46'	
						10	0	47	57 0	—	0° 46'	
						15	0	47	57 0	—	0° 46'	
						21	0	47	57 0	—	0° 46'	
						26	21	—	—	—	0° 46'	
						31	21	—	—	—	0° 46'	

**Sonneneindeckungen durch den Mond für Berlin 1906.**

Montagstag	Sonnen- Größe	Mond- Größe	Sonnen- mittlere Zeit		Mond- mittlere Zeit	
			h	m	h	m
Aug. 7	4	3	7	14.7	0	0.0

**Lage und Größe des Sonnenringes.**

Aug. 10. Große Achse der Ringellipse 48' 10", kleine Achse 1' 33" stark.  
 Einheitsverhältnis der Seiten über der Ringellipse 17' 41" stark.

Aug. 11	Mittlere Scheitel der Ellipse	14° 15' 40"
	Wahre " "	12° 37' 41"
	Halbmesser der Sonne	16' 40"
	Parallaxe " "	0' 10"

**Berechnungen der Jupitermonde.** Die sämtlichen Angaben über die Erscheinungen der Jupitermonde beschränken sich auf mittlere Zeit von Greenwich. Die Trabanten sind der Reihenfolge ihrer Abstände vom Jupiter nach mit I bis IV bezeichnet. Die vier größten Figuren zeigen die Stellung jedes Mondes mit Bezug auf den Jupiter für den Augenblick der Verfinstörung (2) oder des Wiederaufgehens (3), bei  $r$  nicht angegeben, so kann der Anstieg aus dem Schatten nicht beobachtet werden. Ferner bedeutet bei den nachfolgenden Zeitangaben:

- Er D das Verschwinden des Trabanten im Schatten des Jupiter.
- Er B den Eintritt des Trabanten aus dem Schatten des Jupiter.
- On D das Verschwinden des Trabanten hinter der Jupiterschibe.
- On K das Wiederaufgehens nördlich neben der Jupiterschibe.
- Tr I den Eintritt des Trabanten vor die Jupiterschibe.
- Tr E den Austritt des Trabanten aus der Jupiterschibe.
- St I den Eintritt des Trabantenschattens auf die Jupiterschibe.
- St E den Austritt des Trabantenschattens aus der Jupiterschibe.

Es sind nur diejenigen Erscheinungen der Jupitermonde aufgeführt, welche sich erwarten, wenn Jupiter in Opposition über und der Sonne unter dem Meridian steht. Um die Momente dieser Erscheinungen nach mittelmässiger Zeit zu finden, hat man nur nötig,  $t$  zu den angegebenen Zeitpunkten zu addieren:

Wegen der Nähe des Jupiter bei der Sonne sind die Satelliten derselben vom 28. Juli bis 27. September nicht zu beobachten.

## Stellungen der Saturnmonde. (Erklärung S. 20)

Zeiten der südlichen elongation im August 1902

**Tithys.** August 3. 5.47, August 4. 8.17, August 5. 8.47, August 7. 8.17, August 8. 10.07, August 11. 10.07, August 12. 12.07, August 13. 12.07, August 15. 8.07, August 16. 8.17, August 17. 10.17, August 18. 10.07, August 19. 12.07, August 20. 12.07, August 21. 12.07, August 22. 12.07, August 23. 12.07, August 24. 12.07, August 25. 12.07, August 26. 12.07.

**Dione.** August 1. 9.07, August 2. 10.07, August 3. 10.07, August 10. 10.07, August 11. 12.07, August 12. 12.07, August 13. 12.07, August 14. 12.07, August 15. 12.07, August 16. 12.07, August 17. 12.07, August 18. 12.07, August 19. 12.07, August 20. 12.07, August 21. 12.07, August 22. 12.07, August 23. 12.07, August 24. 12.07, August 25. 12.07, August 26. 12.07.

**Rhea.** August 1. 8.07, August 2. 10.07, August 10. 10.07, August 11. 12.07, August 12. 12.07, August 13. 12.07, August 14. 12.07, August 15. 12.07, August 16. 12.07, August 17. 12.07, August 18. 12.07, August 19. 12.07, August 20. 12.07, August 21. 12.07, August 22. 12.07, August 23. 12.07, August 24. 12.07, August 25. 12.07, August 26. 12.07.

**Thetis.** August 1. 10.07, August 2. 12.07, August 11. 12.07, August 12. 12.07, August 13. 12.07, August 14. 12.07, August 15. 12.07, August 16. 12.07, August 17. 12.07, August 18. 12.07, August 19. 12.07, August 20. 12.07, August 21. 12.07, August 22. 12.07, August 23. 12.07, August 24. 12.07, August 25. 12.07, August 26. 12.07.



Das vollständige Sortiment der Vektor-Gemeinschaft (VGG) ist erhältlich von E. G. Schmid

# SIRIUS.

Zeitschrift für populäre Astronomie.

Centralorgan für alle Freunde und Förderer der Himmelskunde.

Herausgegeben

unter Mitwirkung hervorragender Fachkenner und wissenschaftlicher Schriftsteller

von Prof. Dr. Hermann J. Klein in Köln.

Juli 1906.

«Wissen und Können sind die Freunde und die  
Errettung der Menschheit.» Kierkegaard.

Jeden Monat 1 Heft. — Jährlich 12 Hft.

Verlag von EDUARD HEINRICH MAYER in Leipzig.

INHALT: Neue Hypothese über das Wesen des Zodiakallichtes. S. 144. — Historisch-geographische Aufnahmen des Komars (Dankó). (Hörner Tab. VII.) S. 146. — Ein Katalog der hellen Sternhaufen und Nebelhaufen. S. 147. — Annahmen der archaischen Weltanschauung auf kosmologische und meteorologische Fragen. S. 148. — Barometrische Nachrichten. S. 149. — Astronomischer Kalender. S. 150. — Notizen der japanischen. S. 151. — Erdbeben der japanischen. S. 152. — Notizen der russischen. S. 153.

## Neue Hypothese über das Wesen des Zodiakallichtes.

**F**ür das Zodiakallicht bildet ziemlich das unschärfste Objekt am Himmel; in Bezug auf gezeichnetes Wissen über sein Wesen und seine Rolle im Weltbaue sind wir heute noch nicht viel weiter als zur Zeit da Hebr. Weber und Schmidt ihre wertigen Beobachtungen über die Ausdehnung und Lage des Zodiakallichtes anstellten. Die Hypothese endlich über die kosmische Stellung desselben, bewegen sich zwischen der Annahme, daß das Zodiakallicht ein zwischen der Venus- und Merkurbahn kreisender Ring aus sehr feinen Materie sei oder daß es ein kometeähnliches Häufchen sei, das mit der Erde verbunden ist. Das Wichtigste was die neueste Zeit über das Zodiakallicht am den Tag gebracht

hat, scheint der Tatsache zu sein, daß die Ebene, in welcher es sich befindet, durch den Sonnenäquator geht, während man früher glaubte, es liege in der Ebene der Ekliptik. Unter diesen Umständen darf jeder wissenschaftliche Versuch die Zodiakallichtfrage zu lösen auf Interesse rechnen. Ein neuer Versuch dieser Art liegt jetzt vor in einer Abhandlung von Friedrich Schind<sup>1)</sup>. Derselbe geht von folgenden Betrachtungen aus.

«Bekanntlich gleitete sich unsere Erde in ihrem kreisförmigen Umlaufe infolge ihrer Rotation ab. Nach dem Gesetze der Schwerkraft Wöl sich

<sup>1)</sup> Central. Beobacht. zur Geophysik, 1906, IX. Band, 2. Heft.

man auch auf eine Abplattung unserer Atmosphäre schließen, denn eine überall gleichmäßige Luftvertheilung wäre nur denkbar, wenn unsere Erde keine Achsneigung hätte. So wie aber eine solche vorhanden ist, so wird durch den Einfluß der Zentrifugalkraft, der Luftdruck einer kugelförmigen Atmosphäre notwendig gegen den Äquator zu reduziert werden. Es muß daher zwischen den Luftschichten des Äquators und desjenigen der Pole, wo die Zentrifugalkraft auf Null reduziert ist, eine Ausgleichung stattfinden, d. h. es wird so viel Luft dem Äquator zuströmen, bis dort der Luftdruck demjenigen der Pole gleichkommt. Durch diese vermehrte Luftmenge und die steigende Zentrifugalkraft erweitert sich der atmosphärische Äquator, woraus mit Sicherheit folgt, daß die Luftfläche unserer Erde abgeplattet sein muß. Die Stärke dieser Abplattung wird sich nun natürlich ganz nach der Zentrifugalkraft richten und hat, insofern diese die Schwerkraft nicht übertrifft, ihre Grenzen von der senkrechten Kugelgestalt bis zur Lemniscata. Soweit aber die Zentrifugalkraft der Anziehungskraft unserer Erde überlegen würde, müßte eine Abwanderung der äußeren Luftmassen folgen, welche einen freischwebenden, unumwundenen Ring bilden würden.

Diese letzte Schlussfolgerung ist doch wohl nicht ohne weiteres als zwingend anzusehen. Statt der Bildung eines mit der Erde rotirenden Ringes dürfte vielmehr die Abschleudern der betreffenden Luftmassen während der Umdrehung der Erde, in welcher über dem Äquator Schweregrad und Schwerkraft der Erde im Gleichgewicht sind, ergeben sich verschiedene Werte je nach der Annahme über das Verhalten der Geschwindigkeiten der äußeren Schichten der Atmosphäre, insofern als sie größer als 5600 geographische Meilen und können nach Herab nach wohl erst in einer Entfernung von 16 Erdhalbmessern vorhanden sein. Immerhin darf man annehmen, daß die Dichte der Luft

hätte unter dem Einfluß der Zentrifugalkraft dazwischen einer sehr abgeplatteten Kugel ist, d. h. sich in gewissem Grade der Form einer Linse nähert. Nach Schmidt verdrängt das Zodiakallicht seine Entstehung allem der vollständig abgeplatteten Luftfläche der Erde, deren äußere Regionen nach Sonnenlicht reflektiert wenn am Abendhimmel bereits die letzten Spuren des Abendrothes verschwinden sind. Es fragt sich aber, ob diese sehr weitläufige Dichtung auch den besonders Erscheinungen, welche das Zodiakallicht gelegentlich bietet, gerecht wird.

Schmidt bemerkt in dieser Beziehung: „Schon wiederholt wurde zugleich mit dem Zodiakallicht bei ganz klarer Luft im Osten eine in Gestalt einer Linie, jedoch schwache Lichterscheinung gesehen. Nach Kler hat diese Licht zuerst P. Perrenet im Jahre 1710 beobachtet. Später erblickte es in den Jahren 1789—1805 auch Humboldt in Südamerika und hielt dies Gegenstand, wie diese Lichterscheinung gedeutet wird, für eine reflektirte Erscheinung des Zodiakallichts. In seinen Filken sah man bei vorzüglich durchsichtiger Atmosphäre das Zodiakallicht und den Gegenstand durch eine von Osten nach Westen reichende schwache Lichtzone verbunden. Bremen bemerkt diese Verbindung zuerst und nannte sie Lichtbrücke. Zugleich erklärte er, entgegen der Auffassung Humboldts, den Gegenstand als eine mit dem Zodiakallicht in Verbindung stehende, jedoch selbstständige Lichterscheinung, was mit unserm weitem Darlegungen im Einklange steht. War bis jetzt der Gegenstand und namentlich die Lichtbrücke bei dem meisten Hypothesen über das Entstehen des Zodiakallichts ein Stein des Anstoßes gewesen, so erklären sich nach unserer neuen Auffassung beide namentlich damit leicht, wenn wir auch den Regioner unserer Planeten, den Mond, als weitere Lichtquelle bezeichnen.“

Wie das Zodiakallicht, so lassen sich auch Gegenstände und Lichtbrücke auf

reflektiertes Licht zurückzuführen, obwohl wahrscheinlich beide, jedenfalls aber die Lichtbrücke, in Opposition zur Sonne stehen und also im Schattenkugel der Erde liegen. Die Lichtbrücke kann nun der Gedankensatz abgelehnt, daß infolge der Zentralagilität eine atmosphärische Ringbildung stattgefunden habe.

Nach allem die Lösung eines atmosphärischen Ringes dürfte sich durch die Wirkung der Zentralagilität in atmosphärischem Aquator wieder vermindert Gasmassen finden. Namentlich wird bei stauchförmiger Höhenleht durch den Einfluß der Zentralagilität größere Störbewegungen in der äquatorialen Ebene der Atmosphäre ganz gut denkbar. Solche Störbewegungen werden sich frei schwebend für längere Zeit in den oberen atmosphärischen Ringen erhalten können, vielleicht an ihnen sie zuweilen sogar die Grenze der Atmosphäre und werden endlich die Behaltbarkeit der äußeren Zonen mit damit die Bildung einer Lichtbrücke erheblich beeinflussen.

«Eine weitere Erklärung», bemerkt Schmidt, «für die Bildung eines Orogen schen finden wir, wenn wir unsere Lichtbrücke über dem Äquator vom Höhe aussetzen, die mindestens der Länge von zwei Dritteln des Erddurchmessers entspricht. Es wäre in diesem Falle die Gegenstrahlung durch reflektiertes Sonnenlicht gebildet und für den Beobachter nicht anders als das im Osten stehende Zodiakallicht. Es mag nun die Annahme dieser gewöhnlichen Divergenz und Abplattung unserer Atmosphäre reden als sehr gewagt erscheinen, und es würde überhaupt mit an Wahrscheinlichkeit gewinnen, wenn die Gegenstrahlung zu einer Zeit eintreffe würde, welche sich nicht auf die Ursache des Mondes zurückführen ließe. Daß sich auch ohne die Notwendigkeit solcher Höhenannahmen, am Morgen und am Abend Zodiakallicht vor Beginn der Morgendämmerung bilden muß, und zwar auf dieselbe Art wie am Abendhimmel, braucht kaum mehr in ausführ-

licher Weise nachgewiesen zu werden. Aus allen den angeführten Fällen geht hervor, daß die Bildung des Orogen schen und der Lichtbrücke aus verschiedenen Reihenwirkungen möglich ist, und ich halte es für wahrscheinlich, daß ihre Entstehung oft dem Zusammenwirken verschiedener Faktoren zuzuschreiben ist.

Schmidt behandelt auch die Aussagen des Spektroskops über das Zodiakallicht. Nach Angström und Vogel ist im Spektrum desselben die grüne Nordlichtlinie auf, welche auch unsere Untersuchungen von Ramsay, dem Entdecker der in unserer Atmosphäre vorhandenen Elemente Argon, Helium, Natrium und Xenon, durch ein weiteres atmosphärisches Element, das Krypton, verursacht wird. Dieses neue Element soll bei den grünen Luftveränderungen im Spektrum als eine grüne Linie hell sichtbar bleiben und in seiner Wellenlänge mit der Hauptlinie des Nordlichtspektrums übereinstimmen. Nach den Untersuchungen von Angström und Vogel werden nicht allein im Zodiakallicht deutliche Spuren der Nordlichtlinie gefunden, sondern sie wurde auch in anderen Teilen des Himmels nachgewiesen. Ähnliches bestätigte 1874 auch A. W. Wright, der die Nordlichtlinie nur dann im Zodiakallicht gefunden hat, wenn dasselbe auch außerhalb desselben auftrat. Im Gegensatz zu diesen Resultaten haben Paschi, Geryt, Cassini, Teichel und Herze nach übereinstimmenden Resultaten im Zodiakallichtspektrum die grüne Nordlichtlinie nicht gefunden. Aus dem Ergebnis dieser verschiedenen Untersuchungen geht hervor, daß das Zodiakallicht mit der Nordlichtlinie in keinem direkten Zusammenhang steht. Die Ergebnisse aus den spektroskopischen Untersuchungen des Zodiakallichts zeigen, wie Schmidt betont, unzulängliche, auch heute noch einen Widerspruch, indem die eben beobachteten einen Lichtreflex hinter Wolken abgeben w. offen, während andere das gefundene Beispi-

mit reflektierende Gasmassen zurück-  
fahren. So viel dürfte aber heute mit  
Sicherheit angenommen werden, daß  
das Zodiakallichtphänomen in Wirklich-  
keit ein aus höchst einfachen, d. h.  
ein reflektierter Sonnenstrahlung, dessen  
grobe Detaillierung durch die Licht-  
schwäche des Spektralanalysen sehr er-  
schwert wird.

Die größte Schwierigkeit, welche  
der Hypothese Schenke entgegensteht  
und die auch wahrscheinlich Ursache  
ist, daß diese Hypothese nicht schon  
früher von anderen aufgestellt wurde,  
liegt darin, daß auch für das Zodiakal-  
licht mit seiner Axe in der Ebene des  
Äquators liegen müßte, was ganz und  
gar nicht der Fall ist. Schenke sucht  
diese Abweichung dadurch zu erklären,  
daß er annimmt die Oberflächenebene  
der stöckchen und der stielchen

Halbkugel laufe nicht mit dem Er-  
dgangter zusammen, und die ungleiche  
Schwerkraft der beiden Halbkugeln  
dränge den zirkumpolischen Äquator  
aus der Ebene der Ekliptik. Das  
ist aber eine populäre Erklärung, die  
offenbar vor einer mathematischen Be-  
trachtung des Problems nicht Stand  
hält. Die Schließfolgerung Schenke:  
„Das Zodiakallicht ist eine reflektive  
Erscheinung unserer bedeckend abge-  
planteten Atmosphäre. Zodiakallicht,  
Olympus und Lichtbecken sind also  
nicht kosmische, sondern irdische  
Erscheinungen und gehören nicht zu  
den Gebieten der Astronomie, sondern  
zu dem Bereich der Meteorologie“ kann  
daher kaum nicht als erwiesen ange-  
sehen werden.

## Photographische Aufnahmen des Kometen d1907 (Daniel)

von Prof. Max Wolf.

(siehe Teil VII.)

 Der Komet wurde auf dem astro-  
physikalischen Observatorium zu  
Heidelberg mit verschiedenen Instru-  
menten am 18. Abend zwischen dem  
21. Juli und 23. August 1907 photogra-  
phiert, außerdem wurde er von Dr. Wolf  
am 8. Abend am 20. vollen Refektor  
gesehen. Prof. Wolf bemerkt<sup>1)</sup> daß  
zwischen dem Aussehen des Kometen  
am Fernrohr und den photographischen  
Darstellungen derselben ein auffälliger  
Unterschied besteht. Alle Zeichnungen  
zeigen ein Minimum der leuchtenden  
Ausdehnung in der oder um die Achse  
des Schwanzes auf der von der Sonne

abgewendten Seite, die photographischen  
Aufnahmen zeigen dagegen das heftigste  
End des Schwanzes gerade in dieser  
Seite. Diese markante Eigenschaft  
heißt, die schon mehrere Jahre vorher  
bei photographischen Aufnahmen an-  
derer Kometen zu Heidelberg bemerkt  
wurde, ist nunmehr durch die Aufnahmen  
mit dem Refektor außer allen Zweifel  
gesetzt. Teil VII gibt eine Repro-  
duktion der wirklichen Aufnahmen des  
Kometen, und zwar die erste Abbildung  
eine solche der Aufnahme mit dem  
20. vollen Refektor, August 18. 19<sup>h</sup>  
53<sup>m</sup>, die zweite stellt die Aufnahme  
mit dem 1<sup>h</sup> vollen Linsen 8 Minuten  
früher dar.

<sup>1)</sup> Monthly Notices, Vol. LXVIII, Ja-  
nuar 1908, No. 3 p. 190.

## Ein Katalog der hellen Sternhaufen und Nebelflecke.

**D**er Wunsch nach einem Verzeichniß derjenigen Sternhaufen und Nebelflecke, welche in Katalogen oder mittleren Instrumenten geseht werden können, ist schon seit mehr als 60 Jahren öffentlich ausgesprochen worden. Auch hat es nicht an Versuchen gefehlt denselben zu genügen. Indessen mußten alle diese Versuche unvollkommen bleiben, weil sie nicht auf eigenen und untereinander vergleichbaren Beobachtungen ständlicher Objekte beruhten, sondern vielfach die Wahrnehmungen und Beobachtungen der frühen Entdecker oder späterer mehr oder weniger gelegentlicher Beobachter benutzten. Erst Dr. Heintschek hat vor 4 Jahren eine zweifelhafte Arbeit auf diesem Gebiete veröffentlicht<sup>1)</sup>. Sie beruht auf hauptsächlich auf diejenigen Nebelflecke, welche in dem Katalog von Messier angeführt sind, sowie auf solchen, die in der Bonner Durchmusterung vorkommen.

Die nördliche Himmelhälfte ist dabei möglichst vollständig berücksichtigt, die Objekte des nördlichen Himmels sind dagegen von 15° nördlicher Deklination ab weniger vollständig, weil die für Meridiankreise sich in zu geringer Höhe befinden. Die Beobachtungen wurden von Dr. Heintschek an einem dreifüßigen Refraktor und dessen 11 $\frac{1}{2}$ -zölligen Sucher angestellt. Die Genauigkeit der Objekte wurde dabei in Sterngrößen geschätzt, was naturgemäß in manchen Fällen eine gewisse Willkür nicht ganz ausschließt. Das ganze Verzeichniß umfaßt 193 Objekte, wovon eine Anzahl Doppelsterne, die als einfach gezählt sind. So überaus dankenswert diese Arbeit ist, so kann es doch nur erwünscht sein, dieselbe von anderer Seite in völlig unabhängiger Weise wiederholt zu sehen und diese hat Prof. John J. Bailey in der Harvard-

Sternwarte ausgeführt<sup>2)</sup> und dabei die größtmögliche Vollständigkeit und Genauigkeit angestrebt und wahrscheinlich auch erreicht. Er befolgte sich nämlich der Photographie, indem er Aufnahmen, die den ganzen Himmel überdecken, benutzte. Dieselben sind mit Cooke'schen unalgebraischen Linien von 1 Zoll Öffnung bei einer Expositionsdauer von 1 Stunde erhalten worden und zeigen Sterne bis zur 13. Größe. Die einzelnen Platten sind systematisch mit entsprechender Vergrößerung abgesteckt worden und jeder Sternhaufen oder Nebelfleck, der sich deutlich als solcher zeigte, wurde aufgeschrieben. Sternhaufen, die aus Sternen der 13. Größe oder noch schwächeren bestehen, sind also ausgeschlossen, mit Ausnahme solcher Objekte, die so gedehnte Sterne zeigen, daß sich deren Bilder auf der Photographie überdecken und den Eindruck eines ruhigen Sternes machen. Daraus resultiert bei vielen kugelförmigen Sternhaufen mit, deren einzelner Sterne schwächer als 13. Größe sind. In dem Verzeichniß erscheinen vollständig wenig Nebelflecke, da nur ausnahmsweise derselben eine photographische Helligkeit beizulegen, der derjenigen eines Sterns 11. Größe gleichkommt. Auch ist keine Objekt irgendwelcher Art in das Verzeichniß aufgenommen, das sich auf den Platten nicht von dem Grunde eines gewöhnlichen Sterns unterscheiden ließ. Da die Brennweite der photographischen Linien nur 12 Zoll betrug so ist die verbleibende Kraft derselben gering, weshalb sehr kleine aber helle Sternhaufen auf denen nur als Sterne erschienen und deshalb nicht aufgenommen wurden. Der Katalog umfaßt also nur colossale Objekte, welche eine gewisse Größe und Helligkeit überstehen.

Die harten Beobachtungen der in

<sup>1)</sup> Über denselben vergl. die Revue P. 90, S. 375 bis 381.

<sup>2)</sup> Journal of Harvard Observatory, Vol. LX, No. 918.



den Katalog aufgenommenen Objekten sind auf Aufnahmen begründet, welche mit dem 24 zölligen Brucknerokulap bei einwandiger Exposition erhalten wurden, die genau natürlich eine beschränkte Schärferung des Aussehens der Objekte als durch Unterschätzung der Cooke-Platten zu erhalten wäre. Nur für einige Regionen, für welche keine Aufnahmen von 1 Stunde Dauer mit dem großen Brucknerokulap vorhanden waren, wurden andere mit kürzerer Exposition oder mit anderen Instrumenten erhalten, für die Beschreibung der Objekte benutzt, schließlich noch in gewissen Fällen andere Platten von längerer Exposition. Wo möglich wurde auch die genaue Helligkeit der Objekte, wie solche aus den Cooke-Platten sich ergibt, in Strichstichen gezeichnet.

Prof. Bailey hat für seinen Katalog eine Klassifikation der Sternhaufen und Nebel angewandt, die er auch für andere ähnliche Objekte als geeignet empfiehlt. Derselbe unterscheidet die Klassen und Unterabteilungen durch folgende Buchstaben und Ziffern:

- A. Große, schwache, unregelmäßige Nebel, die sich auf Photographien von langer Expositionsdauer zeigen. Beispiel: Der Nebel am Schwanz, die große Spirale beim Orionnebel.
- B. Gansel, Objekte welche ein Ganselspektrum zeigen.
  - B<sub>1</sub> groß, verworren, unregelmäßig. Beispiel: Der Ganselnebel, der Nebel  $\gamma$  Cassio.
  - B<sub>2</sub> planetarische, ringförmige und andere kleine gut definierte Ganselnebel. Beispiel: Der planetarische Nebel N. G. K. 3687, der Ringnebel N. G. K. 8739 und der Nebel N. G. K. 5618.
  - B<sub>3</sub> Nebelsterne. Beispiel: N. G. K. 1514 und 2003.
- C. Weiße Nebel und kegelförmige Sternhaufen, Objekte mit kontinuierlichem Spektrum.
  - C<sub>1</sub> kleine, runde, schalenförmige, von ziemlich scharfer Gestalt, im allgemeinen rund oder elliptisch. Zu dieser

Gruppe gehören wahrscheinlich die meisten kleinen Nebel, mehrere Tausend an der Zahl.

C<sub>2</sub> Spiralnebel. Beispiel: Der große Nebel in der Andromeda, der Spiralnebel in den Jagdhunden.

C<sub>3</sub> kegelförmige Sternhaufen. Beispiel:  $\omega$  Cassio, 47 Tucanae, der große Sternhaufen im Herkules.

D. Unregelmäßige Sternhaufen.

D<sub>1</sub> ziemlich kondensiert, ziemlich regulär, die Sterne von ziemlich gleicher Helligkeit. Beispiel: N. G. K. 2437 und 6484.

D<sub>2</sub> ziemlich kondensiert, unregelmäßig, die Sterne von ungleicher Helligkeit. Beispiel: N. G. K. 859 und 684 (klappeter Sternhaufen im Perseus), N. G. K. 4335 ( $\alpha$  Cassio).

D<sub>3</sub> kondensiert, unregelmäßig, die Sterne von sehr verschiedener Größe. Beispiel: Die Plejaden und Hyaden.

Die weitestgehenden Nebel, welche die meisten photographischen Aufnahmen in verschiedenen Teilen des Himmels am Lichte gezeigt haben, wurden der Klasse A zugezählt, obwohl sie wahrscheinlich ihrer Natur nach zu den Nebeln in Klasse B, gehören. Ungenau erscheint in dem Verzeichnisse kein anderer Nebel der Klasse A.

Die Ganselnebel zeichnen sich eigentümlich in einer Klasse für sich ausgerechnet werden. In der Klasse B besteht für die Gruppe B<sub>2</sub> der sogenannten Nebelsterne als gewisser Zweig, die Photographien von langer Expositionsdauer, besonders in Gegenständen fern von der Milchstraße, eine große Zahl von ähnlichen, stellförmigen Objekten zeigen, welche in einigen Fällen als Nebelsterne aufgeführt worden sind. In den meisten Fällen scheinen diese Objekte indessen sehr kleine Nebel mit hellem Zentrum zu sein, deren Helligkeit gegen den Rand hin allmählich abfällt, nur selten sind sie Nebelsterne in dem Sinne, welchen W. Herschel mit dieser Bezeichnung verband und die er meist an dem Objekte N. G. K. 1514 beobachtete. Die Klasse C um-

schon sowohl Sternhaufen als Nebelflecke bevor das Spektroskop erfunden war, glaubte man, daß die Nebelflecke im allgemeinen nur für das Teleskop unsichtbare Sternhaufen seien, später ergab aber das Spektroskop, daß gewisse Nebel aus Gaswolken bestehen und diese Tatsache hat zu neuer übertriebenen Meinung bezüglich der Anzahl dieser Gaswolken geführt. Bis jetzt sind unter mehr als 10000 Nebeln nur 150 Gasnebel bekannt, von den übrigen weiß man in dieser Beziehung nichts, man darf aber annehmen, daß ein großer Teil derselben ein kontinuierliches Spektrum zeigen wird und also in Wirklichkeit aus Sternhaufen besteht. Der verstorbene Professor Koster fand auf Platten, die mit langer Exposition zu dem großen Gulliverteleskop erhalten worden waren, daß mehr als die Hälfte dieser Objekte, welche in Messen Instrumenten als wichtige Flecke sich darstellen, in Wirklichkeit Spindelnebel sind. Diese letzteren aber zeigen ein kontinuierliches Spektrum und bestehen also wenigstens zum Teil aus Sternen. Außerdem haben mehrere helle Nebel, welche Anfangs unsichtbar erschienen, sich an sehr großen Teleskopen als Teil der Sternhaufen ausgewiesen. Die Unterklasse C<sub>1</sub> enthält also wahrscheinlich eine große Gruppe verschiedener Objekte, von denen manche in Klasse C<sub>2</sub> oder C<sub>3</sub> gehören. Die kugelförmigen Sternhaufen zeigen eine Verteilung über den Himmels, die von derjenigen der andern verschieden ist und scheint zu einem ganz andern Bauhinis zu haben. Der unregelmäßige Sternhaufen der Klasse D folgen ohne wesentlichen Ausnahmen dem Zuge der Milchstraße, was bei den kugelförmigen Sternhaufen nicht der Fall ist.

In der Klasse D bestehen die Unterschiede der Subklassen 1, 2 und 3 hauptsächlich in der Art der Konden-

sation und der Unterbrechung der Helligkeit der Sterne. Zu einem großen Teile sind die hauptsächlichsten Sternhaufen in der Milchstraße, manche sind von Nebel umgeben.

In dem nun folgenden Verzeichnisse bezeichnet die erste Kolonne die Nummer des Objektes im neuen Generalkatalog (N. G. K.) von Draper. Einige Objekte, wie die Plejaden und Hyaden, sind jedoch in diesem Katalog nicht aufgenommen worden, sie tragen daher keine Nummer in dem folgenden Verzeichnisse. Die Kolonne 2 enthält die Bezeichnung der Objekte im den Katalogen von Messier und Denigès, die Kolonne 3 gibt die Rektasension, 4 die Deklination des Objektes für 1900. Kolonne 5 enthält die Durchmesser der Sternhaufen oder Nebel nach den Messungen auf Platten von einseitiger Exposition; am großen Breitenteleskop. Diese Durchmesser sind in Bogensekunden gegeben und die Zahl der Sterne bei Messen und gut definierten Objekten beiläufig, bei den übrigen nur mit grobem Hinsehen auf runder Zahl. In manchen Fällen ist eine genauere Bestimmung der Ausdehnung überhaupt nicht möglich, da sie zu unregelmäßig sind. Kolonne 6 enthält die näherungsweise Anzahl der Sterne in dem betreffenden Sternhaufen nach vorläufiger Überschätzung. Die folgende Kolonne 7 gibt die geschätzte Größe der Sterne in den Haufen an, nach hier nur einschätzungsweise ohne Gewähr im Einzelnen. Dann folgt in Kolonne 8 die Klasse zu welcher das Objekt gehört, gemäß der oben gegebenen Einteilung. Die Anmerkungen geben verschiedene Einzelheiten an. Ein Anmerkungszeichen besagt, daß es sich um ein Objekt von Interesse handelt, von Ausdehnungssehen dessen das Objekt von großem Interesse, dem ein solches von ganz besonderem Interesse an.



8.  
© K.

Beschreibung des Objekts

- 101 [1 Nebel, Helligk. 10' und 11, ungeschlossenes Sternchen in dem Kern.  
104 [1 Kapellenförmiger Sternhaufen, kondensiert  
105 Nebel, elliptisch.  
106 [1 Nebel, spindlig, 40' bis 51'. Der große Nebel in der Andromeda  
107 [1 Nebel, elliptisch, 10' bis 4', ungeschlüssig. Stern darin.  
108 Kapellenförmiger Sternhaufen.  
109 Sternhaufen in der kleinen magellanischen Wolke.  
110 [1 Kapellenförmiger Sternhaufen.  
111 Sternhaufen in der kleinen magellanischen Wolke.  
112 Sternhaufen in der kleinen magellanischen Wolke.  
113 Sternhaufen in der kleinen magellanischen Wolke.  
114 Kapellenförmiger Sternhaufen (2) in der kleinen magellanischen Wolke.  
115 Sternhaufen, ziemlich kondensiert, in der kleinen magellanischen Wolke.  
116 Sternhaufen, ziemlich kondensiert, in der kleinen magellanischen Wolke.  
117 Sternhaufen, zerstreut.  
118 ziemlich kondensierter Sternhaufen in der kleinen magellanischen Wolke.  
119 Sternhaufen zerstreut.  
120 Cluster Nebel, spindelförmig?  
121 Groß zerstreuter Sternhaufen.  
122 Groß zerstreuter Sternhaufen.  
123 Groß zerstreuter Sternhaufen.  
124 Groß zerstreuter Sternhaufen.  
125 [1 Sternhaufen, ziemlich kondensiert.  
126 [1 Sternhaufen, ziemlich kondensiert.  
127 Groß zerstreuter Sternhaufen.  
128 [1 Kapellenförmiger Sternhaufen, außerordentlich gedrängt.  
129 Kapellenförmiger Sternhaufen (?), außerordentlich gedrängt, auf der Platte nicht sichtbar.  
130 Nebel, 10' bis 10, heller im Zentrum.  
131 Nebel, rund, hell im Zentrum (Kapellenförmiger Sternhaufen?).  
132 Kapellenförmiger Sternhaufen (?), außerst gedrängt, nicht aufgelöst.  
— [1 Haufen heller Sterne.  
133 Groß zerstreuter Sternhaufen.  
— Groß zerstreuter Haufen heller Sterne.  
134 Groß zerstreuter Haufen.  
135 Groß zerstreuter Haufen in der großen magellanischen Wolke.  
136 Sternhaufen, wenige Sterne, in der großen magellanischen Wolke.  
137 Sternhaufen, wenige Sterne, in der großen magellanischen Wolke.  
138 Nebel, ungeschlüssig, in der großen magellanischen Wolke.  
139 Sternhaufen in der großen magellanischen Wolke.  
140 Sternhaufen in der großen magellanischen Wolke.  
141 Sternhaufen in der großen magellanischen Wolke.  
142 Sternhaufen in der großen magellanischen Wolke.  
143 Sternhaufen in der großen magellanischen Wolke.  
144 Groß zerstreuter ungeschlüssiger Sternhaufen.  
145 Spindelförmiger Nebel, hell in der Mitte.  
146 Sternhaufen, wenige Sterne, in der großen magellanischen Wolke.  
147 Nebel, rund, hell in der großen magellanischen Wolke.  
148 Kapellenförmiger Sternhaufen in der großen magellanischen Wolke.  
149 Haufen weniger Sterne und Cluster Nebel, in der großen magellanischen Wolke.  
150 Kapellenförmiger Sternhaufen in der großen magellanischen Wolke.  
151 Spindelförmig, ungeschlüssig, etwas zerlegt. Große magellanische Wolke.  
152 [1 Kapellenförmiger Sternhaufen, ziemlich kondensiert.

N. O. Z.	Bezeichnung des Objekts	A.B. 1900	B. 1900	Durch- messer des Objekts	Zahl der Sterne	Möglichkeit u. Ausgangspunkt	Namen, in die das Objekt gehört
1001	Dunlop 3071 1800	10.9	— 04.35	0.5	—	—	Or
1002	—	11.1	— 03.38	0	—	—	Or
1003	Dunlop 308	10.0	— 03.15	0	10	10—15	Or
1004	Messier 79	10.1	— 04.37	4	100	15	Or
1005	Lagrange	11.4	— 04.14	0	10	10—12	Or
1006	Messier 30	10.0	— 04.45	10	10	10—15	Or
1007	—	10.0	— 04.0	0	10	10—15	Or, Or
1008	—	10.4	— 03.0	4	10	10—15	Or, Or, Or
1009	Dunlop 311	10.4	— 03.00	0	10	10—15	Or, Or, Or
1010	Dunlop 307	11.0	— 03.04	0	10	10—15	Or, Or, Or
1011	—	11.0	— 03.00	4	10	10—15	Or, Or
1012	Dunlop 310	10.5	— 03.11	0	10	10—15	Or, Or
1013	Messier 1	10.0	— 04.07	—	—	—	Or
1014	—	10.0	— 04.0	0	—	—	Or
1015	Messier 30	11.0	— 04.4	10	10	10—15	Or
1016	Dunlop 310?	10.0	— 04.49	0	10	10—15	Or, Or
1017	Messier 40	10.4	— 03.07	10	—	—	Or
1018	—	10.4	— 04.4	10	—	—	Or, Or
1019	Dunlop 304?	10.4	— 03.04	0	—	—	Or, Or, Or
1020	—	10.5	— 03.0	10	—	—	Or, Or
1021	—	10.6	— 03.0	10	—	—	Or
1022	—	10.6	— 03.00	0	—	—	Or
1023	Dunlop 301	10.0	— 03.04	0	10	10—15	Or
1024	—	11.4	— 03.0	0.5	—	—	Or
1025	—	10.0	— 03.0	0.5	—	—	Or, Or
1026	Dunlop 300	11.4	— 03.07	0	10	10—15	Or, Or
1027	—	11.0	— 03.4	0	10	15	Or
1028	Dunlop 307	10.0	— 03.30	0	10	—	Or, Or
1029	—	10.4	— 03.0	0	10	10—15	Or, Or
1030	—	10.4	— 03.30	0	10	10—15	Or
1031	—	10.0	— 03.00	—	—	—	Or
1032	—	11.0	— 03.07	10	100	10—15	Or
1033	Dunlop 304	10.0	— 03.10	0.5	—	—	Or
1034	Dunlop 304?	10.0	— 03.17	0.5	—	—	Or
1035	Dunlop 307	10.4	— 03.0	10	10	10—15	Or, Or
1036	—	10.0	— 03.00	0	10	10—15	Or, Or
1037	—	10.0	— 03.40	1.0	0	10—15	Or, Or
1038	—	10.0	— 03.40	0.0	10	10—15	Or, Or
1039	—	10.5	— 03.47	—	—	—	Or
1040	—	10.0	— 03.40	—	—	—	Or
1041	D'Arrest	11.0	— 03.0	4	—	—	Or
1042	—	11.0	— 03.40	0.5	—	—	Or
1043	Dunlop 310? 1807 1847	10.0	— 03.10	0.5	10	10—15	Or
1044	—	10.0	— 03.00	0	10	10—15	Or, Or
1045	Messier 81	10.0	— 04.04	10	100	10—15	Or
1046	Dunlop 300	10.0	— 03.0	0	10	10—15	Or, Or
1047	—	11.0	— 03.0	0	100	10	Or
1048	Dunlop 300	10.0	— 03.10	0.5	10	10	Or
1049	Dunlop 307	10.0	— 03.10	0	—	—	Or
1050	Dunlop 300	10.4	— 04.10	4.0	0	—	Or
1051	Messier 30	11.0	— 04.10	10	100	10—15	Or

H.  
G. K.

## Beschreibung des Objektes

- 1440 Kapellförmiger Sternhaufen, sehr leuchtend, Große magellansche Wolke  
 1476 Sternhaufen und kleiner Nebel, Große magellansche Wolke  
 1478 Sternhaufen, unregelmäßig, in der großen magellanschen Wolke  
 1496 Kapellförmig, 17 Sternhaufen, ziemlich leuchtend  
 1507 Sternhaufen, groß zerstreut  
 1516 Sternhaufen, groß zerstreut  
 1528 Sternhaufen und kleiner Nebel in der großen magellanschen Wolke  
 — Sternhaufen und kleiner Nebel in der großen magellanschen Wolke  
 1611 Sternhaufen und kleiner Nebel in der großen magellanschen Wolke  
 1616 Sternhaufen und kleiner Nebel in der großen magellanschen Wolke  
 1646 Sternhaufen und kleiner Nebel in der großen magellanschen Wolke  
 1671 Sternhaufen und kleiner Nebel in der großen magellanschen Wolke  
 1683 Nebel, elliptisch, 7 bis 17 Der „Größe-Nebel“  
 1696 Kapellförmiger Sternhaufen und Nebel in der großen magellanschen Wolke  
 1699 Sternhaufen, ziemlich gedrängt, kleine  
 1801 Sternhaufen und Nebel in der großen magellanschen Wolke  
 1878 1) Der große Nebel im Orion  
 1877 Nordlicher Teil des großen Orionnebel.  
 1906 Sternhaufen und Nebel in der großen magellanschen Wolke  
 1940 Nebel, hell und verstreut, kleiner Stern im Nebel gefüllt  
 1941 Sternhaufen, 4 ziemlich hell und verstreut, kleiner Stern  
 1952 Ausstrahlung im Nebelraum in der großen magellanschen Wolke  
 1964 Kapellförmiger Sternhaufen (C) in der großen magellanschen Wolke  
 1966 Sternhaufen von wenigen Sternen und schwacher Nebel, in der großen magellanschen Wolke  
 1979 Sternhaufen, unregelmäßig und Nebel in der großen magellanschen Wolke  
 1980 Sternhaufen, unregelmäßig und Nebel in der großen magellanschen Wolke  
 1981 Kapellförmiger Sternhaufen, etwas unregelmäßig, in der großen magellanschen Wolke  
 1979 Sternhaufen in der großen magellanschen Wolke  
 1980 Sternhaufen in der großen magellanschen Wolke  
 1982 Sternhaufen, groß zerstreut in der großen magellanschen Wolke.  
 1984 2 Nebel, polar 10° bis 14° lang.  
 1986 Sternhaufen und kleiner Nebel in der großen magellanschen Wolke  
 1988 Kapellförmiger Sternhaufen in der großen magellanschen Wolke  
 1989 Kapellförmiger Sternhaufen in der großen magellanschen Wolke.  
 1979 Nebel und Sternhaufen in der großen magellanschen Wolke  
 1979 Sternhaufen und Nebel in der großen magellanschen Wolke  
 1977 Nebel und Sternhaufen in der großen magellanschen Wolke  
 1977 Kleiner Sternhaufen in der großen magellanschen Wolke  
 1980 Nebel mit einigen Sternen in der großen magellanschen Wolke.  
 1984 Nebel mit einigen Sternen in der großen magellanschen Wolke.  
 1984 Nebel mit einem Doppelstern  
 1987 Nebel der unteren Seite enthält, in der großen magellanschen Wolke  
 1989 Kapellförmiger Sternhaufen in der großen magellanschen Wolke  
 1989 Sternhaufen in der großen magellanschen Wolke.  
 1989 Sternhaufen, ziemlich gedrängt, ziemlich kapellförmig.  
 1977 Sternhaufen, wahrscheinlich in Nebel in der großen magellanschen Wolke  
 1979 Kapellförmiger Sternhaufen in der großen magellanschen Wolke  
 1978 Kapellförmiger Sternhaufen, gedrängt in der großen magellanschen Wolke  
 1987 Kapellförmiger Sternhaufen (C), sehr gedrängt, in der großen magellanschen Wolke  
 1984 Kapellförmiger Sternhaufen (C), in der großen magellanschen Wolke.  
 1984 Sternhaufen, ziemlich gedrängt.

N. O. R.	Bezeichnung des Objekts	A R. 1900	D 1900	Rechts- anmer- kung des Ob- servat.	Zeit der Beob.	Merkmale u. Bemerkungen	Rechts, in der des Objekt geht
1281	—	5 37.8	+ 4.50	12	12	4—12	12
1282	—	55.1	+ 4.50	20	20	4—12	20
1283	—	55.3	+41.18	11	10	4—12	10
1284	Merker 44	55.7	+40.50	50	10	4—12	10
1285	—	55.8	+ 4.50	12	10	4—12	10
1286	Merker 45	55.9	— 4.12	10	40	4—12	10
1287	Caroline Herschel	5 12.3	—40.27	10	10	10—12	10
1288	—	12.8	—30.00	7	10	4—12	10
1289	—	15.0	+40.40	—	—	—	10
1290	—	20.8	—30.30	40	10	4—12	10
1291	—	22.3	+30.40	3	12	10—12	10
1292	Merker 46	27.1	—24.20	10	100	10—12	10
1293	Merker 46	28.4	—20.30	10	10	10—12	10
1294	—	29.8	—20.40	40	10	4—12	10
1295	Dunlop 100	29.7	—20.27	20	100	11—12	10
1296	Laurel II 1	29.7	—20.20	10	10	4—12	10
1297	—	3 3.9	+32.32	20	10	10—12	10
1298	Dunlop 101	3.9	+30.30	10	10	4—12	10
1299	Dunlop 101	5.0	—27.4	50	10	7—12	10
1300	Caroline Herschel	5.4	+ 3.00	20	10	4—12	10
1301	Forsey, Merker 47	54.3	+30.00	10	10	7—12	10
—	—	55.3	+10.24	10	10	4—12	10
—	—	58.9	+27.40	10	10	4—12	10
1302	Dunlop 101 4907	57.9	+40.31	10	10	4—12	10
1303	Merker 47	58.9	+30.31	10	10	4—12	10
1304	Dunlop 101	5 18.4	+40.31	0	100	12	10
—	—	10.4	+30.20	0	10	10—12	10
1305	—	10.4	+30.30	—	—	—	10
1306	Merker 48	57.3	+40.30	2	—	—	10
1307	Merker 48	57.3	+70.00	—	—	—	10
1308	Dunlop 101	58.4	+ 30.30	10	100	4—12	10
1309	Dunlop 101	10 10.4	+30.30	0	100	10—12	10
1310	—	10.4	+27.40	0	100	7—12	10
1311	Dunlop 101	10.4	—20.2	0	—	—	10
—	—	10.4	—20.2	0	—	—	10
—	—	10.4	+30.30	10	10	4—12	10
1312	Dunlop 101	11.4	—30.4	10	100	10—12	10
1313	Dunlop 101	11.4	—30.40	10	100	7—12	10
1314	—	12.4	+70.00	10	10	10—12	10
1315	Dunlop 101	12.4	+70.00	10	10	10—12	10
1316	Dunlop 101	12.4	+70.00	10	10	10—12	10
1317	Dunlop 101	12.4	+70.00	10	10	10—12	10
1318	Dunlop 101	12.4	+70.00	10	10	10—12	10
1319	Dunlop 101	12.4	+70.00	10	10	10—12	10
1320	Dunlop 101	12.4	+70.00	10	10	10—12	10
1321	Dunlop 101	12.4	+70.00	10	10	10—12	10
1322	Dunlop 101	12.4	+70.00	10	10	10—12	10
1323	Dunlop 101	12.4	+70.00	10	10	10—12	10
1324	Dunlop 101	12.4	+70.00	10	10	10—12	10
1325	Dunlop 101	12.4	+70.00	10	10	10—12	10
1326	Dunlop 101	12.4	+70.00	10	10	10—12	10
1327	Dunlop 101	12.4	+70.00	10	10	10—12	10
1328	Dunlop 101	12.4	+70.00	10	10	10—12	10
1329	Dunlop 101	12.4	+70.00	10	10	10—12	10
1330	Dunlop 101	12.4	+70.00	10	10	10—12	10
1331	Dunlop 101	12.4	+70.00	10	10	10—12	10
1332	Dunlop 101	12.4	+70.00	10	10	10—12	10
1333	Dunlop 101	12.4	+70.00	10	10	10—12	10
1334	Dunlop 101	12.4	+70.00	10	10	10—12	10
1335	Dunlop 101	12.4	+70.00	10	10	10—12	10
1336	Dunlop 101	12.4	+70.00	10	10	10—12	10
1337	Dunlop 101	12.4	+70.00	10	10	10—12	10
1338	Dunlop 101	12.4	+70.00	10	10	10—12	10
1339	Dunlop 101	12.4	+70.00	10	10	10—12	10
1340	Dunlop 101	12.4	+70.00	10	10	10—12	10
1341	Dunlop 101	12.4	+70.00	10	10	10—12	10
1342	Dunlop 101	12.4	+70.00	10	10	10—12	10
1343	Dunlop 101	12.4	+70.00	10	10	10—12	10
1344	Dunlop 101	12.4	+70.00	10	10	10—12	10
1345	Dunlop 101	12.4	+70.00	10	10	10—12	10
1346	Dunlop 101	12.4	+70.00	10	10	10—12	10
1347	Dunlop 101	12.4	+70.00	10	10	10—12	10
1348	Dunlop 101	12.4	+70.00	10	10	10—12	10
1349	Dunlop 101	12.4	+70.00	10	10	10—12	10
1350	Dunlop 101	12.4	+70.00	10	10	10—12	10
1351	Dunlop 101	12.4	+70.00	10	10	10—12	10
1352	Dunlop 101	12.4	+70.00	10	10	10—12	10
1353	Dunlop 101	12.4	+70.00	10	10	10—12	10
1354	Dunlop 101	12.4	+70.00	10	10	10—12	10
1355	Dunlop 101	12.4	+70.00	10	10	10—12	10
1356	Dunlop 101	12.4	+70.00	10	10	10—12	10
1357	Dunlop 101	12.4	+70.00	10	10	10—12	10
1358	Dunlop 101	12.4	+70.00	10	10	10—12	10
1359	Dunlop 101	12.4	+70.00	10	10	10—12	10
1360	Dunlop 101	12.4	+70.00	10	10	10—12	10
1361	Dunlop 101	12.4	+70.00	10	10	10—12	10
1362	Dunlop 101	12.4	+70.00	10	10	10—12	10
1363	Dunlop 101	12.4	+70.00	10	10	10—12	10
1364	Dunlop 101	12.4	+70.00	10	10	10—12	10
1365	Dunlop 101	12.4	+70.00	10	10	10—12	10
1366	Dunlop 101	12.4	+70.00	10	10	10—12	10
1367	Dunlop 101	12.4	+70.00	10	10	10—12	10
1368	Dunlop 101	12.4	+70.00	10	10	10—12	10
1369	Dunlop 101	12.4	+70.00	10	10	10—12	10
1370	Dunlop 101	12.4	+70.00	10	10	10—12	10
1371	Dunlop 101	12.4	+70.00	10	10	10—12	10
1372	Dunlop 101	12.4	+70.00	10	10	10—12	10
1373	Dunlop 101	12.4	+70.00	10	10	10—12	10
1374	Dunlop 101	12.4	+70.00	10	10	10—12	10
1375	Dunlop 101	12.4	+70.00	10	10	10—12	10
1376	Dunlop 101	12.4	+70.00	10	10	10—12	10
1377	Dunlop 101	12.4	+70.00	10	10	10—12	10
1378	Dunlop 101	12.4	+70.00	10	10	10—12	10
1379	Dunlop 101	12.4	+70.00	10	10	10—12	10
1380	Dunlop 101	12.4	+70.00	10	10	10—12	10
1381	Dunlop 101	12.4	+70.00	10	10	10—12	10
1382	Dunlop 101	12.4	+70.00	10	10	10—12	10
1383	Dunlop 101	12.4	+70.00	10	10	10—12	10
1384	Dunlop 101	12.4	+70.00	10	10	10—12	10
1385	Dunlop 101	12.4	+70.00	10	10	10—12	10
1386	Dunlop 101	12.4	+70.00	10	10	10—12	10
1387	Dunlop 101	12.4	+70.00	10	10	10—12	10
1388	Dunlop 101	12.4	+70.00	10	10	10—12	10
1389	Dunlop 101	12.4	+70.00	10	10	10—12	10
1390	Dunlop 101	12.4	+70.00	10	10	10—12	10
1391	Dunlop 101	12.4	+70.00	10	10	10—12	10
1392	Dunlop 101	12.4	+70.00	10	10	10—12	10
1393	Dunlop 101	12.4	+70.00	10	10	10—12	10
1394	Dunlop 101	12.4	+70.00	10	10	10—12	10
1395	Dunlop 101	12.4	+70.00	10	10	10—12	10
1396	Dunlop 101	12.4	+70.00	10	10	10—12	10
1397	Dunlop 101	12.4	+70.00	10	10	10—12	10
1398	Dunlop 101	12.4	+70.00	10	10	10—12	10
1399	Dunlop 101	12.4	+70.00	10	10	10—12	10
1400	Dunlop 101	12.4	+70.00	10	10	10—12	10

1281 1282 1283 1284 1285 1286 1287 1288 1289 1290 1291 1292 1293 1294 1295 1296 1297 1298 1299 1300 1301 1302 1303 1304 1305 1306 1307 1308 1309 1310 1311 1312 1313 1314 1315 1316 1317 1318 1319 1320 1321 1322 1323 1324 1325 1326 1327 1328 1329 1330 1331 1332 1333 1334 1335 1336 1337 1338 1339 1340 1341 1342 1343 1344 1345 1346 1347 1348 1349 1350 1351 1352 1353 1354 1355 1356 1357 1358 1359 1360 1361 1362 1363 1364 1365 1366 1367 1368 1369 1370 1371 1372 1373 1374 1375 1376 1377 1378 1379 1380 1381 1382 1383 1384 1385 1386 1387 1388 1389 1390 1391 1392 1393 1394 1395 1396 1397 1398 1399 1400

N. Q. E.	Bedeutung des Objektes
3444	Sandstein, grob zerstreut
3445	Sandstein, grob zerstreut
3446	Sandstein, grob zerstreut
3447	Sandstein, grob zerstreut.
3448	Sandstein, locker unregelmäßig stehende Steine
3449	Sandstein, grob zerstreut.
3450	Sandstein, ziemlich gelblich.
3451	Sandstein, gelblich.
3452	Nebel, schwach, schlecht begrenzt.
3453	! Sandstein, ziemlich gelblich.
3454	Sandstein, grob zerstreut, wenig einheitlich.
3455	! Sandstein, ziemlich gelblich.
3456	Sandstein, häufig gelblich.
3457	Sandstein, grob zerstreut
3458	! Sandstein, ziemlich gelblich.
3459	! Sandstein, ziemlich gelblich.
3460	Sandstein, grob zerstreut
3461	Sandstein, grob zerstreut, unregelmäßig.
3462	Sandstein, grob zerstreut, unregelmäßig.
3463	Sandstein, grob zerstreut
3464	Sandstein, grob zerstreut, schwarze Gruppe ziemlich heller Steine.
3465	Sandstein, grob zerstreut.
3466	Sandstein, grob zerstreut.
3467	Sandstein, grob zerstreut.
3468	Sandstein, ziemlich gelblich.
3469	! Kugelförmiger Sandstein, gelblich.
3470	Sandstein, grob zerstreut
3471	Sandstein mit hellem Kern
3472	Nebel, elliptisch, 2 bis 3, heller Kern, spärlich (?)
3473	Nebel, 2 bis 3, hell und verschobene schwarze Kerne
3474	Sandstein, ziemlich gelblich, viele Kerne der Mischsteine.
3475	! Kugelförmiger Sandstein
3476	! Sandstein, ziemlich gelblich, in der Mischsteine
3477	Nebel, ziemlich schwarz
3478	Nebel, schwach mit Steinen.
3479	Sandstein, grob zerstreut
3480	(?) Nebel, hell, unregelmäßig, hell e. Camme
3481	! Sandstein, ziemlich gelblich, in der Mischsteine.
3482	Sandstein, hell, hell in der Mischsteine
3483	Sandstein, ziemlich gelblich
3484	! Sandstein, Steine dunkel gelblich.
3485	Nebel, häufig, spärlich (?)
3486	Sandstein, grob zerstreut
3487	Nebel, 2 bis 3, hell und Kern, spärlich?
3488	Nebel mit spärlichem Kern (?)
3489	Kleiner Nebel mit hellem Kern
3490	Nebel, heller Kern, spärlich
3491	Nebel, hell, mit Kern, spärlich (?)
3492	Sandstein, ziemlich gelblich, in der Mischsteine.
3493	Nebel, etwas heller im Zentrum, häufig, spärlich?
3494	Nebel, heller im Zentrum, spärlich?
3495	Nebel, häufig, heller im Zentrum, spärlich?
3496	Nebel, häufig, 2 bis 3, heller im Zentrum, spärlich?
3497	Nebel mit Kern, häufig, 2 bis 3, spärlich?





H  
G. R.

## Beschreibung der Objekte

- 4472 Nebel, viel heller im Zentrum, spärlich oder kugelförmiger Sternhaufen.  
 4491 Nebel, viel heller im Zentrum, spärlich oder kugelförmiger Sternhaufen.  
 4490 Nebel, 1° bis 2° Durchmesser, heller im Zentrum.  
 4491 Nebel, spärlicher, 1° bis 1½° groß, heller Kern.  
 4492 Nebel, länglich, 2° bis 1°, heller Kern. Spärlich?  
 4493 Nebel, länglich, 2° bis 1½°, heller Kern. Spärlich?  
 4494 1 kugelförmiger Sternhaufen, ziemlich gedrängt.  
 4494 Nebel, länglich, 4° bis 5½° groß. Spärlich?  
 4495 Sternhaufen, groß, unregelmäßig, mit einem Stern = Größe.  
 4496 Nebel, 2° bis 1½° groß, spärlicher Kern, mit einem Stern am Nordrand.  
 4497 Nebel, 2° bis 1½° groß. Spärlich?  
 4498 Nebel, länglich, unregelmäßig, mehrere Kerne.  
 4499 Nebel, rund mit hellem Zentrum, spärlich oder kugelförmiger Sternhaufen?  
 4500 1 Sternhaufen, gedrängt. = Crad.  
 4501 Nebel, 2° bis 1½° lang, hell im Kern. Spärlich?  
 4502 1 kugelförmiger Sternhaufen, ziemlich gedrängt.  
 4503 Länglicher Nebel mit Kern.  
 4504 1 kugelförmiger Sternhaufen, Sterne ziemlich gedrängt.  
 4505 Nebel, etwas länglich mit Kern. Spärlich?  
 4506 Nebel, 5° bis 6° Durchmesser, von gegenständlicher Gestalt.  
 4507 1 kugelförmiger Sternhaufen, Sterne ziemlich gedrängt.  
 4508 1 Sternhaufen mit Kern.  
 4509 1 Sternhaufen mit Kern und spärlicher Kern.  
 4510 1 kugelförmiger Sternhaufen, Sterne etwas gedrängt.  
 4511 Sternhaufen, ziemlich gedrängt stehende Sterne.  
 4512 1 kugelförmiger Sternhaufen, gedrängt stehende Sterne.  
 4513 Groß strukturer Sternhaufen.  
 4514 Groß strukturer Sternhaufen.  
 4515 Sternhaufen, ziemlich gedrängt.  
 4516 Groß strukturer Sternhaufen.  
 4517 Nebel, 4° bis 5½° groß. Spärlich?  
 4518 1 kugelförmiger Sternhaufen, gedrängt stehende Sterne.  
 4519 kugelförmiger Sternhaufen, ziemlich gedrängt stehende Sterne.  
 4520 Groß strukturer Sternhaufen.  
 4521 1 Sternhaufen, ziemlich gedrängt Sterne.  
 4522 Groß strukturer Sternhaufen.  
 4523 1 kugelförmiger Sternhaufen, Sterne etwas gedrängt.  
 4524 kugelförmiger Sternhaufen, unregelmäßig, ziemlich gedrängt.  
 4525 Sternhaufen, ziemlich gedrängt stehende Sterne.  
 4526 Sternhaufen, ziemlich gedrängt stehende Sterne.  
 4527 kugelförmiger Sternhaufen 1½°, ziemlich unregelmäßig.  
 4528 1 der große Sternhaufen am Nordrand.  
 4529 1 kugelförmiger Sternhaufen, ziemlich gedrängt.  
 4530 kugelförmiger Sternhaufen, 1½°, Sterne etwas gedrängt stehend. Auf einem  
 plötzl. vom aufsteigend.  
 4531 1 Sternhaufen, Sterne ziemlich gedrängt.  
 4532 Groß strukturer Sternhaufen.  
 4533 1 kugelförmiger Sternhaufen, ziemlich dicht.  
 4534 Sternhaufen, ziemlich dicht stehende Sterne.  
 4535 1 kugelförmiger Sternhaufen, unregelmäßig, Sterne etwas gedrängt.  
 4536 1 kugelförmiger Sternhaufen, Sterne gedrängt stehend.  
 4537 Groß strukturer Sternhaufen.  
 4538 kugelförmiger Sternhaufen, Sterne gedrängt stehend.  
 4539 kugelförmiger Sternhaufen, Sterne ziemlich gedrängt stehend.

N O. R.	Bezeichnung des Objektes	A.R. 1900	D. 1900	Durch- messer des Objektes	Zahl der Sterne	Helligkeit in Sechzigstel	Wann, u. wo das Objekt gesehen
		h m	s	''			
4264	—	17 3 9	—59 50	0	—	—	00
4265	Messier 4	16.8	—18 30	0	100	10—12	00
4266	Messier 5	16 3	+42 55	0	100	10—12	00
—	—	16 5	+45 50	15	20	10—12	00
4268	Donlop 417	17 4	+44 55	0	50	10—12	00
4269	—	17.5	—17 45	0	—	—	00
4270	Donlop 419	18 0	+44 55	0	—	—	00
4271	Messier 16	22.4	—5 51	0	100	14—16	00
4272	Donlop 420	20 0	+45 57	50	1000	10—15	00
4273	Messier 6	10 1	—10 4	20	100	5—12	00
—	B. A. C. 4087	12.4	+ 7 58	50	10	7—10	00
4274	Donlop 421	27.4	—57 3	0	—	—	00
4275	Messier 7	12.8	+44 47	50	40	5—6	00
4276	Messier 16	12.0	—16 0	50	100	10—12	00
4277	Messier 16	12.0	—16 0	50	—	—	00
4278	Messier 1	17.0	+45 30	50	—	—	00
4279	Messier 11	16.0	—20 30	15	50	5—10	00
4280	Donlop 475	20 0	+49 44	0	100	5—10	00
4281	Donlop 476	19.0	+49 15	0	75	10—12	00
4282	Messier 14	13.4	—14 37	0	10	10—14	00
4283	—	—	—	—	—	—	00
4284	Messier 12	12.0	+45 10	10	50	5—10	00
4285	Messier 12	12.0	+45 10	10	—	—	00
4286	—	12.0	+45 10	10	—	—	00
4287	Messier 10	18.0	+44 45	5	1000	14—16	00
4288	Caroline Herschel	16.3	+ 0 50	50	50	5—10	00
4289	Messier 10	16.0	+44 45	0	100	14—16	00
—	—	16.0	+44 45	20	50	7—12	00
4290	—	20.0	+45 50	1	—	—	00
4291	—	20.0	+45 50	10	100	10—12	00
4292	Donlop 407	10.0	+45 1	0	100	10	00
4293	Messier 20	10.0	+45 55	10	1000	10—15	00
—	—	10.0	+ 7 52	10	10	5—10	00
4294	Messier 10	18.0	+44 45	5	100	10—12	00
4295	Messier 10	18.0	+ 0 50	0	50	5—10	00
4296	Messier 10	+12.3	+ 0 50	10	100	10—12	00
4297	—	10.0	+ 0 50	0	75	10	00
4298	Messier 10	18.0	+44 45	0	—	—	00
4299	Messier 17	10.0	+45 42	1	—	—	00
4300	Donlop 478	22.0	+45 48	0	1000	10—15	00
4301	Donlop 480	20 0	+45 0	50	1000	10—15	00
4302	Messier 10	20 10	+45 0	50	50	10—15	00
4303	Messier 10	20.0	+45 10	10	500	10—14	00
4304	—	20.0	+45 20	10	10	10—15	00
4305	Messier 21	12.3	+49 57	0	—	—	00
4306	Messier 20	10 0	+45 45	0	—	—	00
4307	—	0.0	+47 45	0	10	5—10	00
4308	Messier 18	21 2.3	+45 46	10	1000	10—14	00
4309	Messier 5	20.3	+ 1 50	0	500	10—15	00
4310	Messier 10	20.0	+45 0	50	50	5—11	00
4311	Messier 10	20.0	+45 00	0	500	10—15	00
4312	—	19 10.0	+45 54	—	—	—	00
4313	Messier 10	20 10.0	+45 0	10	50	5—10	00
4314	Caroline Herschel	12.0	+45 10	50	40	10—15	00



# Anwendungen der mechanischen Wärmetheorie auf kosmologische und meteorologische Probleme.<sup>1)</sup>

Das unten besprochene Werk hat leider wissenschaftlicher Art. Es schließt sich an die Forschungen des Geheimrath A. Ritter an, der selbst an der Technischen Hochschule in Aachen wirkte. Diese ereignen zur Zeit ihres Erscheinens ungeheurer Aufsehen, da sie den damaligen Anschauungen, besonders den damals allgemein anerkannten Theorien von Kant und Laplace durchaus widersprechen. Es handelt sich nämlich um Kinetisismen der kosmischen Gasteorie, der wir bereits die Untersuchungen über die Größe der Neptunde und Alcyon verdanken, auch die Theorie über mittlere Geschwindigkeit und Weglänge gelöst haben.

Ritter begann zunächst mit Untersuchungen über die Natur der Atmosphäre, die ein Weltkörper von nahezu Kugelform an sich bewerkeln kann. Die Berechnung geschieht auf Grund der Energie- und Entropieprinzip. Nach dem letzteren überträgt sich die Mechanismenwirkungen derartig, daß der Ausgleich der lebendigen Kräfte einer Art von Endzustand mündet, bei dem schließlich kein Wärmeaustausch mehr stattfinden kann. Dieser Endzustand wird schließlich in endlicher Zeit erreicht, wenn die Anzahl der Atome im Weltall endlich ist, im andern Falle verbleibt er unendliche Zeit. Also, die Zeitpunkte, d. h. die Schließungszeitpunkte der Gase, richtet sich mehr auf ihrer einem Endzustand. Dieser von Clausius ausgesprochene Princip ist vielfach angegriffen worden, bei aber keine endgültige Widerlegung gelungen.

Nun wird es der Untersuchung zugewandt.

Wird stellt sich folgende Aufgabe: Es nahm an, daß die Atmosphäre sich in einem isothermen Gleichgewichtszustande befinde, der bei Störungen sich durch Aufsteigen und Sinken der Lufttheile, ohne Widerstände. Er nahm an, daß die Zustandsgleichung  $p = RT$  (p bezeichnet den Druck, v das Volumen, R die allgemeine Gaskonstante, T die absolute Temperatur) gewahrt bleibe. Dann ergab sich für die Temperatur  $t = 0^{\circ}\text{C}$  ( $T = 273^{\circ}\text{K}$ ) als gewöhnliche Dichte der Atmosphäre zu  $1.293 \text{ kg/m}^3$ . Dagegen betragen Wasserdampf

eine Dichte von  $0.804 \text{ kg/m}^3$ , die Luft, gesättigt mit Wasserdampf unter bestimmten Annahmen, eine solche von  $0.976 \text{ kg/m}^3$ , natürlich unter der Voraussetzung, daß es sich um irgendeine vollkommenen Gase handle, für welche die Molekulartheorie unbedingt Geltung habe. Würde die Luft durch einen Schicht mit dem Endzustand in Verbindung gesetzt, so ergab sich für dort der Temperatur  $T = 3140^{\circ}\text{C}$ , die Spannung  $p = 1066000 \text{ Atmosphären}$  und das molare Gewicht  $14.25$ . Sie ergab sich die Abhängigkeit, unter Wahrung der kinetischen, der Gasteile die Höhe der Atmosphäre für jeden Weltkörper zu berechnen, wobei sich ergab, daß die Höhe eine Funktion der Temperatur an der Oberfläche der Erde und der dort herrschenden Spannung war.

Würde man eine mittlere Anzahl von Alcyon unterstellt die im Gleichgewichtszustande eines durch eine Kugel begrenzt wird, so ergab sich der Satz, daß das Produkt aus Molekulargewicht und Radius konstant ist. Gewisse demnach sinnliche Zusammenhänge im Sinne der Laplace'schen Theorie, so müßte der Grad der mittleren Molekulargewichte verschieden und Wärme verschieden. Das Ergebnis war allerdings mangelhaft, als sich ergab, daß für den Fall der atmosphärischen Luft zur  $0^{\circ}\text{C}$  der Grad der Wärme auf die Ausdehnung fallen, dagegen  $0.5 \text{ g}$  auf Erwärmung verwendet würden. Das konnte aber, als Gas betrachtet, nicht in fortwährender Erwärmung begriffen sein.

Nun hat bekanntlich Helmholtz berechnet, wie viele Kometen der Gasseit haben würde, wenn er ungefähr aus der Größe einer Kugel von dem Durchmesser der Neptunde sich auf die jungen Gase zusammengeproben hätte, und versucht es zu zeigen, und wie viele Jahre die Sonne die jungen Ausstrahlung decken könnte. Die Helmholtz'sche Idee ist also aus der naturwissenschaftlichen Voraussetzung einer allgemeinen Abkühlung hervorgegangen, einer dagegen hat nachgewiesen, daß unter der Voraussetzung der kinetischen Gasteorie von Abkühlung überhaupt keine Rede sein könne. Es steht also jedem unvoreingenommenen, gut versehenen mit Helmholtz'scher Erwärmung, oder mit Helmholtz'scher Abkühlung zu entscheiden. Die Helmholtz'sche Idee wird mit Begründung aufgenommen worden, weil sie der Kant-Laplace'schen Theorie eine gewisse Grundlage gab, die für wissenschaftlichen Meteorologen der Wärmetheorie Robert Mayer (Erklärung wurde) Nummer 10 die wichtigsten Physiker haben sich bei

<sup>1)</sup>Dr. R. Emden, Göttingen, Anwendungen der mechanischen Wärmetheorie auf kosmologische und meteorologische Probleme 28 Figuren, 12 Diagramme, 3 Tafeln im Text. Wiesbaden, Verlag v. O. Trübner 1900. Preis geb. 13.-

angenehmen und bequemen, von Tyndall, das Alter des eisernen Körper des Sonnensystems.

Doch demnach die Rotations Resultate und gewöhnlichen Widerspruch stehen, was unbefriedigend. Aber Mittel sind noch nicht einen und arbeiten ruhig weiter. Verfasser dieser Zeilen veröffentlichte eine Widerlegung der Laplace'schen Theorie auf Grund der Helmholtz'schen und Poincaré'schen Theorie. Der Astronom Lehmann von der Sternwarte in Potsdam hat die helmsche Ausweichungstheorie, welche versagt die Ausstrahlung eines Gases in proportional der vierten Potenz der absoluten Temperatur, und welches besonders nachgehend gewonnen war, herabgesetzt, indem über gefunden, daß trotzdem die Helmsche Drehungstheorie stattfinden würde, nur etwas geändert im Procentbetr.

Ein Jahr nach dem Erscheinen meines Widerlegungsveruches erschien in mehrere Freunde das in Paris erscheinende jährliche Werk welches für die angelegten Zweifel eine glänzende Bestätigung beibringt. Es enthält fünfzig sehr reichhaltig mit den neuesten Untersuchungen, sowie ne neueste Untersuchungen bekräftigen, und berücksichtigt dabei das Material der Gründe auf die Untersuchungen mit neuerer Zeit über die Strahlungsgesetze. Allen geschieht seine Aufmerksamkeit der letzten Forschung mit dem höchsten Ansehen der Helmschen Gasstheorie und einem sehr 180 Seiten in Ausgabe. Reichlich die neuesten Forschungen sagt der Verfasser im wissenschaftlichen Darstellung. Es bezeugen dem Sonnensystem mit seiner Bahn als wichtige Bedingungen, die an Stelle der angenommenen Ursachen treten, nur dem nach nach Laplace durch bekannte Abschweifungen erfolgt zunehmender Zentralisiertheit, die Planeten gebildet haben sollen. Diese Ab-

weichungen werden alsdann nachgeprüft, als Haupt die ganze Kant-Laplace'sche Theorie, die sehr in Maßstäben gekommen ist und nur noch durch den Namen des Namen ihrer Urheber gestützt wird. Eine Beschreibung des Licht, Komet über das Alter der Planeten und der Sonne, die Deutungen der Sonnenflecke als Schließung, Bildung, die Theorien von Wilson und anderen werden als kritisch richtig, nur es notwendig freier, werden Helms Resultate den modernen Forschungen entsprechend modifizieren, der Zeit aber über die Konstanz des Prodrugs mit Helms Temperatur und Radius wird als diesem Material bekräftigen und von den folgenden Abweichungen Helms wird gezeigt, sie können noch lange nicht helmsche Bestätigung gefunden, sie enthalten noch viele unrichtigen Stellen. Die Resultate gegen die herangebrachten Satz werden gelehrt, die vornehmste Schlußfolgerung Theorie über die schließbare Größe der Sonne wird als unzulänglich bezeichnet, von Interesse aber ist es, daß der Astronom Prof. Schumacher in Göttingen die Korrekturen des Werkes mit übernommen hat, so daß ein Fachmann ersten Ranges an dem Werke mitgewirkt hat. Gegen denselben nach folgenden dieser Zeiten mit seiner Veröffentlichung besonders richtig, dass derartig nur einseitige Hilfsmittel benutzte. Die Sonne dem, der sich verhalten werden, verbleibt in einem vollständigen Überblick darüber, wenn es eigentlich bekannt. Sie schließt mit den Worten, „Möchte jeder Leser nach unrichtigen mit dem Gegebenen sein und Hunger nach weiteren und tiefen Studien empfinden“. Wer diesen Hunger empfindet, ist in der Lage, ihn durch das Ende'sche Werk zu stillen.

Dr. G. Helmoltz.

## Vermischte Nachrichten.

Die Bahn der Doppelstern 70 Cygnus ist anfängl von George C. Carrick untersucht worden. Er fand, daß der Begleiter 16. Größe eine Umhalbkreis von 58,3 Jahren besitzt und der scheinbare Bahnhalbmess 4.55" beträgt. Nimmt man die Parallaxe von 70 Cygnus zu 66" an, so ergibt sich die Gesamtmasse des Systems zu 2.08 Sonnenmassen und jeder der beiden Sterne besitzt eine Masse, die

nicht wesentlich von der Masse unserer Sonne verschieden ist.<sup>1)</sup>

Welt-Zeitungs. Die französische Akademie der Wissenschaften hat einem aus den Mitgliedern der astronomischen, geographischen, Schifffahrts- und Topographie beabsichtigen Ausschusses die Frage zur Erörterung überwiesen, was und ob sich Zeitgeographie für die ganz

<sup>1)</sup> Astron. Nachr. Nr. 4230.

Erde mit Hilfe der Funktelegraphie erreichen lassen. Die Auslegung gab Herr Bouquet de la Grye, dessen Denkschrift hier im Antrag niedergegeben wird.

Ein Blick auf die Entwicklung der Längenbestimmung zeigt, daß diese von der Zuverlässigkeit der Uhr, die die Zeit des ersten Meridians angibt, abhängt, durch fehlerhafte Angaben der Beobachter einfachen weltweite Schiffe gefährdet worden. Können nicht die Funktelegraphie an Land wie auf See und zwar für die ganze Erde die Zeit eines ersten Meridians angeben?

Die Herrschaften Welten von der Funktelegraphenstelle des Eiffelturms in Paris haben 1906 das Reichswort, die durch Verrückung der Stromstärke sich verlässigste Zeit.

Erreichte man beispielsweise auf dem PK von Teneriffa in 3710 m Höhe eine Station, auf der das Meer herabgehörten, könnte man in 14 km, so würde die jetzige Reichweite leicht überschritten werden, d. h. die Signale würden die Antipoden erreichen.

Es würde sich nicht um eine Funkgesprächstelle des Weltverkehrs handeln, sondern nur um einezeitige Abgabe am Tage eines Signals von ausnehmender Intensität, die die Zeit eines ersten Meridians angibt.

Das Zeitignal müßte um Mitternacht abgegeben werden, damit es auf seinem Wege nach allen Richtungen hin um die Erde nicht durch den Einfluß der Sonne auf die elektrischen Wellen beeinträchtigt wird. Es müßte ferner ein internationaler sein, d. h. die Zeit eines festzustellenden ersten Meridians angeben und nicht etwa beispielsweise die Zeiten der verschiedenen Länder.

Die Möglichkeit des Aussehens dieses Welt-Zeitignals haben Bouquet, Vorsitzender der Kommission für drahtlose Telegraphie, und Admiral Guérand, Vorstand des technischen Dienstes der Marine, angenommen. Der letztere hält die Bestimmung des PK von Teneriffa nicht für richtig, wogegen aber das Berg selbst für schädlich, dagegen erst 6 km lange Höhe, fern von jedem Berg liegende Meeresküste für geeignet und schlägt die Küste von Guetular (Genua) im Gebiet des Pazifiks hervor.

Jedenfalls würde ein Welt-Zeitignal die Sicherheit der Seeschifffahrt sehr erhöhen und die langwierige Längenbestimmung unnötig machen.

Prof. Dr. Klein ist sich der Vorschlag wegen nach Verwirklichung des Signals und Verlangung der Antenne vom Eiffelturm am Mitternacht Pomer Zeit, ein Signal gegeben würde, das von den durchstrahlenden Antennen, weltweiten Schiffe empfangen werden können.

Bei diesem Vorschlag würde man die erforderlichen Erfahrungen für die Welt-Zeitignalsstelle sammeln.<sup>1)</sup>

**Forschung für Freunde der Himmelsbeobachtung.** Aus dem Lesezirkel der „Jahre“ sind mehrere grüßte und kleinen sehr gut erhaltenen Formeln zum Verkauf angeboten worden. Freunde der Himmelsbeobachtung, welche die Anschaffung eines solchen Instrumentes beabsichtigen, und sich desselben zu bedienen, können sich an jeder geschickten Auskunft zum Besten.

Prof. Dr. Klein.

<sup>1)</sup> *Annalen der Hydrographie* 1906, 2, 229.

# Astronomischer Kalender für den Monat September 1908.

Name				Mond			
Mittlere Berliner Zeit				Mittlere Berliner Zeit			
Tag	Zeit M. Z. — W. Z.	Rektascension	Declination	Rektascension	Declination	Stand im Morgen	
1	0 0 00	10 28 50.00	+ 3 58 18.0	10 28 50.00	+ 3 58 18.0	0 00	
2	0 1 58	10 29 32.00	+ 3 57 20.0	10 29 32.00	+ 3 57 20.0	0 15	
3	0 3 55	10 30 53.00	+ 3 56 22.0	10 30 53.00	+ 3 56 22.0	0 30	
4	0 5 52	10 32 13.00	+ 3 55 24.0	10 32 13.00	+ 3 55 24.0	0 45	
5	1 7 49	10 33 33.00	+ 3 54 26.0	10 33 33.00	+ 3 54 26.0	1 00	
6	1 9 46	10 34 53.00	+ 3 53 28.0	10 34 53.00	+ 3 53 28.0	1 15	
7	1 11 43	10 36 13.00	+ 3 52 30.0	10 36 13.00	+ 3 52 30.0	1 30	
8	1 13 40	10 37 33.00	+ 3 51 32.0	10 37 33.00	+ 3 51 32.0	1 45	
9	1 15 37	10 38 53.00	+ 3 50 34.0	10 38 53.00	+ 3 50 34.0	2 00	
10	1 17 34	10 40 13.00	+ 3 49 36.0	10 40 13.00	+ 3 49 36.0	2 15	
11	1 19 31	10 41 33.00	+ 3 48 38.0	10 41 33.00	+ 3 48 38.0	2 30	
12	1 21 28	10 42 53.00	+ 3 47 40.0	10 42 53.00	+ 3 47 40.0	2 45	
13	1 23 25	10 44 13.00	+ 3 46 42.0	10 44 13.00	+ 3 46 42.0	3 00	
14	1 25 22	10 45 33.00	+ 3 45 44.0	10 45 33.00	+ 3 45 44.0	3 15	
15	1 27 19	10 46 53.00	+ 3 44 46.0	10 46 53.00	+ 3 44 46.0	3 30	
16	1 29 16	10 48 13.00	+ 3 43 48.0	10 48 13.00	+ 3 43 48.0	3 45	
17	1 31 13	10 49 33.00	+ 3 42 50.0	10 49 33.00	+ 3 42 50.0	4 00	
18	1 33 10	10 50 53.00	+ 3 41 52.0	10 50 53.00	+ 3 41 52.0	4 15	
19	1 35 07	10 52 13.00	+ 3 40 54.0	10 52 13.00	+ 3 40 54.0	4 30	
20	1 37 04	10 53 33.00	+ 3 39 56.0	10 53 33.00	+ 3 39 56.0	4 45	
21	1 39 01	10 54 53.00	+ 3 38 58.0	10 54 53.00	+ 3 38 58.0	5 00	
22	1 40 58	10 56 13.00	+ 3 37 60.0	10 56 13.00	+ 3 37 60.0	5 15	
23	1 42 55	10 57 33.00	+ 3 36 62.0	10 57 33.00	+ 3 36 62.0	5 30	
24	1 44 52	10 58 53.00	+ 3 35 64.0	10 58 53.00	+ 3 35 64.0	5 45	
25	1 46 49	10 60 13.00	+ 3 34 66.0	10 60 13.00	+ 3 34 66.0	6 00	
26	1 48 46	10 61 33.00	+ 3 33 68.0	10 61 33.00	+ 3 33 68.0	6 15	
27	1 50 43	10 62 53.00	+ 3 32 70.0	10 62 53.00	+ 3 32 70.0	6 30	
28	1 52 40	10 64 13.00	+ 3 31 72.0	10 64 13.00	+ 3 31 72.0	6 45	
29	1 54 37	10 65 33.00	+ 3 30 74.0	10 65 33.00	+ 3 30 74.0	7 00	
30	1 56 34	10 66 53.00	+ 3 29 76.0	10 66 53.00	+ 3 29 76.0	7 15	

## Planetenkonstellationen 1908.

September	Tag	Planet	Position
1	10	Mars	in der Skorpionstern.
4	13	Jupiter	in Konjunktion mit dem Mars.
10	17	Merkur	im Widderstern.
11	18	Saturn	in Konjunktion mit dem Mars.
14	21	Venus	in größter westl. Elong. 21° 11'.
16	23	Venus	in Konjunktion mit dem Mars.
20	27	Merkur	in der Skorpionstern.
21	28	Merkur	in Konjunktion mit dem Venus.
23	30	Jupiter	in Konjunktion mit dem Mars.
25	2	Saturn	in der Zeichen der Waage.
26	3	Mars	in oberer Konjunktion mit dem Mars.
27	4	Merkur	in Konjunktion mit dem Mars.
29	6	Saturn	in Opposition mit dem Mars.



Planeten- Ephemeriden.

Mittlere Berliner Zeit.							Mittlere Berliner Zeit.								
Jahr.	Rektascension			Declination			Distanz Parallax	Jahr.	Rektascension			Declination			Distanz Parallax
	h	m	s	°	'	"			h	m	s	°	'	"	
Mars.								Saturn.							
Sept. 1	11	39	40.00	+	5	23 37.4	5.40	Sept. 7	0	36	12.00	+	8 28 31.5	34.50	
	11	40	5.37	+	5	23 38.0	5.52		37	0	35	36.34	+ 8 27 34.6	37.47	
	11	39	37.89	—	5	23 34.7	5.3		37	0	35	40.92	+ 8 28 33.7	37.5	
	36	39	40	36.50		5 23 36.4	5.5	Uranus.							
	35	39	37	37.60		5 23 37.1	5.34	Sept. 7	20	18	57.94	—	23 28 38.0	7.10	
	36	39	37	47.38	—	12 38 35.4	5.38		27	21	18	38.26	— 23 24 13.0	7.12	
Venus.								Neptun.							
Sept. 7	5	38	38.33	+ 47	31	39.0	28.38	Sept. 7	7	13	38.47	+ 45 37 47.6	35.7		
	5	7	39	47.30	17	38 19.7	28.36		27	7	13	38.64	— 23 28 30.1	35.38	
	5	17	3	3.00	17	7 33.0	28.30		27	7	13	38.16	+ 23 28 30.0	35.15	
	5	38	8.54	18	38	7.4	28.30	Mondphasen 1908.							
	5	54	17.34	15	37	9.5	28.37								
	5	17	52.69	+ 18	34	19.7	28.39								
Mars.															
Sept. 1.	10	38	38.37	+ 18	34	12.0	28.40								
	5	35	41	38.88	8	37 1.3	28.41								
	17	35	43	47.80	8	34 4.8	28.34								
	26	34	5	37.74	8	18 42.7	28.28								
	24	34	57	34.64	7	44 39.4	28.24								
	28	34	59	52.08	+ 8	38 40.7	28.18								
Jupiter.															
Sept. 7	10	5	30.54	+ 12	58	47.4	35.5								
	27	10	13	34.58	13	52 19.4	35.20								
	27	10	20	30.35	+ 13	5 3.4	35.36								

Sonnenbedeckungen durch den Mond für Berlin 1908.

Mondtag	Name	Größe	Dauer währender Zeit		Anfang währender Zeit	
			h	m	h	m
Sept. 6	α Capricorni	0.2	1	12.0	2	10.0
„ 6	„ Aquarii	4.0	5	41	18	4.0
„ 20	β Pictoris	0.1	17	3.0	17	17.0
„ 25	„ Tauro	0.1	14	47.0	18	14.0

Zeit und Größe des Sonnenringes.

Sept. 1. Große Achse des Ringes: 41.0"; kleine Achse: 2.40" und  
Erhöhungswinkel der Sonne über der Ringebene: 1° 17' 56.5"

Sept. 25. Mittlere Scheitel der Kälte: 22° 21' 47.8"  
Mitternachts „ „ „ 22° 41' 47.9"  
Halbtag der Sonne: 24° 54 12"  
Perihelion „ „ „ 27.9"



Erhebungen der Jupitersonde. Die planetischen Angaben über die Erscheinungen der Jupitersonde beziehen sich auf mittlere Zeit von Greenwich. Der Testanten stand der Reihenfolge ihres Abwandens vom Jupiter nach mit I bis IV bezeichnet. Die vier größten Figuren zeigen die Stellung jedes Mondes mit Bezug auf den Jupiter für den Augenblick der Verhinderung (M) oder des Wiedererscheinens (P) bei r nicht angegeben, so kann der Austritt aus dem Schatten nicht beobachtet werden. Ferner bedeutet bei den nachfolgenden Zeichnungen:

- Ex D das Verschwinden des Testanten im Schatten des Jupiter.
- Ex R den Austritt des Testanten aus dem Schatten des Jupiter.
- Co D das Verschwinden des Testanten hinter der Jupiterschale.
- Co R das Wiedererscheinen desselben neben der Jupiterschale.
- Tr I den Eintritt des Testanten vor die Jupiterschale.
- Tr E den Austritt des Testanten aus der Jupiterschale.
- Sh I den Eintritt des Testantenschattens auf der Jupiterschale.
- Sh E den Austritt des Testantenschattens aus der Jupiterschale.

Es sind nur diejenigen Erhebungen der Jupitersonde aufgeführt, welche sich ereignen, wenn Jupiter im Oppositionsbereich über der Sonne vom dem Horizont steht. Um die Momente dieser Erscheinungen nach mittelmäßiger Zeit zu finden, hat man nur nötig, I<sup>h</sup> zu den angegebenen Zeitpunkten zu addieren.

September 15. I Ex. D 10<sup>h</sup> 20<sup>m</sup> 30<sup>s</sup>. September 16. I Sh. E 10<sup>h</sup> 00<sup>m</sup>. I Tr. E 10<sup>h</sup> 10<sup>m</sup>. IV. Ex. R 10<sup>h</sup> 30<sup>m</sup> 40<sup>s</sup>. IV. Co. D 10<sup>h</sup> 00<sup>m</sup>. September 22. II Sh. I 10<sup>h</sup> 10<sup>m</sup>. II Tr. I 10<sup>h</sup> 10<sup>m</sup>. September 28. I Sh. I 10<sup>h</sup> 00<sup>m</sup>. I Tr. I 10<sup>h</sup> 10<sup>m</sup>. III Co. R. I 10<sup>h</sup> 40<sup>m</sup>. I Sh. E 10<sup>h</sup> 10<sup>m</sup>. September 29. I Co. R 10<sup>h</sup> 10<sup>m</sup>. September 29. II Sh. I 10<sup>h</sup> 10<sup>m</sup>.

## Stellungen der Saturnsonde. (Erläuterung S. 30.)

Zeiten der östlichen Elongation im September 1908.

**Fach.** September 1. 10<sup>h</sup> 10<sup>m</sup>, September 2. 7<sup>h</sup> 10<sup>m</sup>, September 3. 10<sup>h</sup> 10<sup>m</sup>, September 7. 10<sup>h</sup> 10<sup>m</sup>, September 8. 10<sup>h</sup> 10<sup>m</sup>, September 10. 10<sup>h</sup> 10<sup>m</sup>, September 11. 10<sup>h</sup> 10<sup>m</sup>, September 12. 10<sup>h</sup> 10<sup>m</sup>, September 13. 10<sup>h</sup> 10<sup>m</sup>, September 14. 10<sup>h</sup> 10<sup>m</sup>, September 15. 10<sup>h</sup> 10<sup>m</sup>, September 16. 10<sup>h</sup> 10<sup>m</sup>, September 17. 10<sup>h</sup> 10<sup>m</sup>, September 18. 10<sup>h</sup> 10<sup>m</sup>, September 19. 10<sup>h</sup> 10<sup>m</sup>, September 20. 10<sup>h</sup> 10<sup>m</sup>, September 21. 10<sup>h</sup> 10<sup>m</sup>, September 22. 10<sup>h</sup> 10<sup>m</sup>, September 23. 10<sup>h</sup> 10<sup>m</sup>, September 24. 10<sup>h</sup> 10<sup>m</sup>, September 25. 10<sup>h</sup> 10<sup>m</sup>, September 26. 10<sup>h</sup> 10<sup>m</sup>, September 27. 10<sup>h</sup> 10<sup>m</sup>, September 28. 10<sup>h</sup> 10<sup>m</sup>, September 29. 10<sup>h</sup> 10<sup>m</sup>.

**Reise.** September 1. 10<sup>h</sup> 10<sup>m</sup>, September 2. 10<sup>h</sup> 10<sup>m</sup>, September 3. 10<sup>h</sup> 10<sup>m</sup>, September 7. 10<sup>h</sup> 10<sup>m</sup>, September 8. 10<sup>h</sup> 10<sup>m</sup>, September 10. 10<sup>h</sup> 10<sup>m</sup>, September 11. 10<sup>h</sup> 10<sup>m</sup>, September 12. 10<sup>h</sup> 10<sup>m</sup>, September 13. 10<sup>h</sup> 10<sup>m</sup>, September 14. 10<sup>h</sup> 10<sup>m</sup>, September 15. 10<sup>h</sup> 10<sup>m</sup>, September 16. 10<sup>h</sup> 10<sup>m</sup>, September 17. 10<sup>h</sup> 10<sup>m</sup>, September 18. 10<sup>h</sup> 10<sup>m</sup>, September 19. 10<sup>h</sup> 10<sup>m</sup>, September 20. 10<sup>h</sup> 10<sup>m</sup>, September 21. 10<sup>h</sup> 10<sup>m</sup>, September 22. 10<sup>h</sup> 10<sup>m</sup>, September 23. 10<sup>h</sup> 10<sup>m</sup>, September 24. 10<sup>h</sup> 10<sup>m</sup>, September 25. 10<sup>h</sup> 10<sup>m</sup>, September 26. 10<sup>h</sup> 10<sup>m</sup>, September 27. 10<sup>h</sup> 10<sup>m</sup>, September 28. 10<sup>h</sup> 10<sup>m</sup>, September 29. 10<sup>h</sup> 10<sup>m</sup>.

**Reise.** September 1. 10<sup>h</sup> 10<sup>m</sup>, September 2. 10<sup>h</sup> 10<sup>m</sup>, September 3. 10<sup>h</sup> 10<sup>m</sup>, September 7. 10<sup>h</sup> 10<sup>m</sup>, September 8. 10<sup>h</sup> 10<sup>m</sup>, September 10. 10<sup>h</sup> 10<sup>m</sup>, September 11. 10<sup>h</sup> 10<sup>m</sup>, September 12. 10<sup>h</sup> 10<sup>m</sup>, September 13. 10<sup>h</sup> 10<sup>m</sup>, September 14. 10<sup>h</sup> 10<sup>m</sup>, September 15. 10<sup>h</sup> 10<sup>m</sup>, September 16. 10<sup>h</sup> 10<sup>m</sup>, September 17. 10<sup>h</sup> 10<sup>m</sup>, September 18. 10<sup>h</sup> 10<sup>m</sup>, September 19. 10<sup>h</sup> 10<sup>m</sup>, September 20. 10<sup>h</sup> 10<sup>m</sup>, September 21. 10<sup>h</sup> 10<sup>m</sup>, September 22. 10<sup>h</sup> 10<sup>m</sup>, September 23. 10<sup>h</sup> 10<sup>m</sup>, September 24. 10<sup>h</sup> 10<sup>m</sup>, September 25. 10<sup>h</sup> 10<sup>m</sup>, September 26. 10<sup>h</sup> 10<sup>m</sup>, September 27. 10<sup>h</sup> 10<sup>m</sup>, September 28. 10<sup>h</sup> 10<sup>m</sup>, September 29. 10<sup>h</sup> 10<sup>m</sup>.

**Reise.** September 1. 10<sup>h</sup> 10<sup>m</sup>, September 2. 10<sup>h</sup> 10<sup>m</sup>, September 3. 10<sup>h</sup> 10<sup>m</sup>, September 7. 10<sup>h</sup> 10<sup>m</sup>, September 8. 10<sup>h</sup> 10<sup>m</sup>, September 10. 10<sup>h</sup> 10<sup>m</sup>, September 11. 10<sup>h</sup> 10<sup>m</sup>, September 12. 10<sup>h</sup> 10<sup>m</sup>, September 13. 10<sup>h</sup> 10<sup>m</sup>, September 14. 10<sup>h</sup> 10<sup>m</sup>, September 15. 10<sup>h</sup> 10<sup>m</sup>, September 16. 10<sup>h</sup> 10<sup>m</sup>, September 17. 10<sup>h</sup> 10<sup>m</sup>, September 18. 10<sup>h</sup> 10<sup>m</sup>, September 19. 10<sup>h</sup> 10<sup>m</sup>, September 20. 10<sup>h</sup> 10<sup>m</sup>, September 21. 10<sup>h</sup> 10<sup>m</sup>, September 22. 10<sup>h</sup> 10<sup>m</sup>, September 23. 10<sup>h</sup> 10<sup>m</sup>, September 24. 10<sup>h</sup> 10<sup>m</sup>, September 25. 10<sup>h</sup> 10<sup>m</sup>, September 26. 10<sup>h</sup> 10<sup>m</sup>, September 27. 10<sup>h</sup> 10<sup>m</sup>, September 28. 10<sup>h</sup> 10<sup>m</sup>, September 29. 10<sup>h</sup> 10<sup>m</sup>.

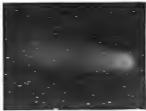


Fig. 1.

Sept. 1907.



Fig. 2.

Sept. 1907.

Der Komet d. 1907 (Dursch) August 14  
nach photographischen Aufnahmen von Prof. M. Wolf.

# SIRIUS.

Zeitschrift für populäre Astronomie.

Centralorgan für alle Freunde und Förderer der Himmelskunde.

Herausgegeben

unter Mitwirkung hervorragender Fachmänner aus wissenschaftlicher Schriftsteller

von Prof. Dr. Hermann J. Klein in Köln

August 1908.

„Wissen und Erkennen sind die Freude und die  
Bestimmung der Menschheit.“ Komma.

Jeden Monat 1 Heft. — Jährlich 12 Mk.

Verlag von EDUARD HEINRICH MAYER in Leipzig.

**INHALT.** Das Problem der Entwicklung unseres Planetensystems. S. 105. — Die im vorstehende Wochenschrift des Hellenygen. Komma. S. 115. — Untersuchung des Lichtwechsels durch veränderlichen Stern des Algoltypus. S. 119. — Das veränderliche S. in der südlichen Krone. S. 125. — Der glaudwürdige Nikol N. G. S. 126. — In der Astronomie. S. 128. — Die photographischen Serien von jenseits Polus von Max Wolf. (Fortsetzung Teil II.) S. 129. Veränderte Neutronen. S. 130. — Astronomischer Kalender. S. 131. — Beiträge der Japlanische. S. 131. — Beobachtungen der Japlanische. S. 131. — Beiträge der Japlanische. S. 131.

## Das Problem der Entwicklung unseres Planetensystems.

**E**s sind Vordrängen, welche über die Art und Weise, wie das Planetensystem entstanden sein könnte, herrschen, teilten sich an die Namen Kant und Laplace. Bei strengster Prüfung muß jedoch der erste ganz ausschließen, denn die Anschauungen, welche er über die Bildungsweise des Sonnensystems veröffentlicht hat, sind wesentlich verschieden von denjenigen Laplaces und überhaupt gleichfalls unrichtig. Die Laplace'sche Hypothese hat das merkwürdige Glück gehabt, daß sie anfangs ziemlich unbeachtet blieb, dann, vorzugsweise von geologischen Schriftstellern hervorgehoben und schließlich sogar als sichere Grundlage für weitere Spekulationen angesehen wurde, bis selbst, in der neuesten Zeit, von be-

reiter Seite als unzulässig aufgegeben zu werden. Uebrigst ist aus dem sehr beachtenswerten Werk von Dr. Friedrich Müller erschienen<sup>1)</sup>, welches nicht nur die bisherigen Hypothesen über die Planetenentwicklung einer kritischen Prüfung unterzieht, sondern auch eine neue Hypothese aufstellt. Wir wollen unten etwas Blick auf dieses Werk werfen, das von jemand, der sich für kosmologische Fragen interessiert, unbeachtet bleiben darf.

<sup>1)</sup> Das Problem der Entwicklung unseres Planetensystems. Aufstellung einer neuen Theorie nach vorhergehender Kritik der Theorien von Kant, Laplace, Poincaré, Moulton, Arrhenius u. a. Berlin 1904. Julius Springer. Preis 6 Mk.

Im den meisten neuen Lehrbüchern ist folgende als Laplacesche oder als Kani-Laplacesche bezeichnete Theorie zu finden: „Es Unvorteile haben die Körper unser Sonnensystems eine ungleiche Gestalt, welche sich bis über die Ränder des letzten Planeten hinaus erstreckt. Diese Gestalt ruht als Spannungsfläche, und zwar gibt es einen Zeitpunkt, wo am Äquator zwischen der Zentrifugalkraft der Schwerkraft gerade das Gleichgewicht stattfindet. Infolgedessen wölbt sich die am Äquator befindlichen Massen in einer Richtung. Möller“ Während auch die Gestalt auf einem kleinen Raum zusammengezogen, wurde die Schwerkraft am Äquator größer, so vergrößerte sich aber auch die Zentrifugalkraft, da das Ellipsoid mit der Zusammenziehung viel größere Winkelgeschwindigkeit erhielt. Der gesamte Vorgang der Ringbildung konnte sich also mehrere Male wiederholen. Aus jedem Ring schied ein Planet mit seiner Masse aus.“

Diese Formulierung entspricht nicht der von Laplace gegebenen, der ausdrücklich von der Sonne und ihrer Atmosphäre spricht und lehrt alles was im Alter des Systems der jüngsten Planeten für möglichste Stabilität und zwar solche, außerordentlich. Erklärt. Dr. Möller beschreibt daher als auch die letzte und letzte Phase als Laplace-Laplacesche Theorie. Er weist ganz deutlich,  $\frac{a}{b}$ ,  $\frac{a}{c}$  gelte, daß es eine unvollständige Annahme Laplaces sei. So gelte, ähnlich von der Voraussetzung aus, daß eine homogene rotierende Masse, deren Teilchen sich gegenseitig anziehen und das Gewicht des Ellipsoids mithin, durch die Form des Rotationsellipsoids mache.

Die mathematische Behandlung des Problems zeigt, daß die rotierende Gleichheit über das gewisse Rotationsgeschwindigkeit hinaus die Gestalt einer verdrängten Ellipse als unvollständige Form, von der Zeit sehr stark,

das andere weniger abgeplattet ist und die einen dreieckigen sogenannten Jacobischen Ellipsoid. Von Ellipsoiden, die Gleichgewichtslagen sind, können sich am Äquator keine Teilmassen bilden. Die Laplace-Laplacesche Theorie macht daher Annahmen, die nicht bestehen und: „Durch die Untersuchungen Poincarés,“ führt Dr. Möller fort, „hat sich ergeben, daß eine rotierende, homogene Flüssigkeit, drucklos, sich zusammenzieht, solange bei geringer Rotationsgeschwindigkeit die Form eines wenig abgeplatteten Rotationsellipsoids annimmt, daß auch dann, wenn die Dichte sehr vergrößert, daß Ellipsoid immer mehr abplattet, bis es bis dem Achsenverhältnis  $\frac{a}{c} = 1.716$  in ein dreieckiges

Ellipsoid übergeht, daß dann sehr mehr und mehr verlängert, bis der Achsenverhältnisse  $\frac{a}{b}$  und  $\frac{a}{c}$  die Werte

2.806 und 3.554 angenommen haben, und es ist höchst wahrscheinlich gemacht, daß sich das Ellipsoid bei der weiteren Verlängerung auch einer Zeit hin verlängert und eine birnenförmige Gestalt annimmt. Poincaré hat nicht geglaubt, daß die gesamte birnenförmige Figur das Gleichgewicht gesteht der Flüssigkeit sei, es fehlt aber noch der Beweis, die ein Stabilität besitzt. Wenn dieser Beweis gelingt sollte, so wird sich wahrscheinlich ergeben, daß immer eine stabile Gleichgewichtslage sich angeben läßt, deren Form die Flüssigkeit annehmen würde.“ Für gewisse Verhältnisse zeigt die Rechnung, daß die Ring die Gleichgewichtslage annimmt, allerdings bleibt er bei leichten Deformationen wahrscheinlich nicht stabil. „Vielleicht ergibt sich auch eine neue Gleichgewichtslage durch die weitere Entwicklung der von Poincaré bestimmten Resultate, wenn es, falls sie stabil sein sollte, sich bei einem gewissen dieser Stabilität entwickelt hat. Poincaré vermutet, daß der kleinste Teil der Masse sich von dem größten

strecken und sich in ihrer Bahn von einem langwierigen Wende, wie einen neuen Gleichgewichtszustand auflösen würde. Bei der ersten Zusammenziehung der protuberanten und der Teilmasse könnte sich dieser Entwicklungsgang mehrere Male wiederholen — Aus dem Gesagten geht hervor, daß es nun mindestens sehr gewagt ist, wenn die Pseudo-Laplacische Theorie annimmt, eine rotierende Flüssigkeit bewege sich noch zu bestehen, eine stabile Gleichgewichtslage anzunehmen, sondern lieber als kurzzeitiges Stadium rotieren und am Äquator Massen abschleudern.

»Wenn«, fährt Dr. Mölle fort, »der von Poncelet angenommene Entwicklungsengang einer sich selbst überlassenen, rotierenden Flüssigkeit, deren Dichte sich vergrößert, richtig ist, so ergibt sich aber eine neue Theorie der Entwicklung unseres Planetensystems. Poncelet selbst hat darauf hingewiesen, daß man versucht sein könnte, in seinen Untersuchungen eine Bestätigung oder eine Widerlegung der Laplaceschen Theorie zu finden, aber zu gleicher Zeit macht er darauf aufmerksam, man dürfe nicht vergessen, daß die Bedingungen doch sehr verschieden seien, da die von ihm vorausgesetzte Masse homogen wäre, während der Laplacesche Nebel nach dem Zentrum hin verdichtet vorausgesetzt werden müsse. Trotzdem scheint er der Meinung zu sein, daß seine Untersuchungen in kosmogonischer Beziehung doch eine Bedeutung bekommen könnte. Es weist mit Nachdruck darauf hin, daß, wenn sich herausstellen sollte, die Birnenform sei die eine homogene Flüssigkeit nicht stabil, eine heterogene Flüssigkeit gleichwohl eine Birnenförmige Gleichgewichtslage annehmen könnte, welche stabil wäre.«

Dr. Mölle unterzieht nun, ob die Theorie Poncelets unter der Annahme, die Birnenform sei eine stabile Gleichgewichtslage einer homogenen oder nicht-homogenen Flüssigkeit, in einer

Erläuterung der Entstehung der Planeten und der Monde unseres Sonnensystems Nütze und kommt zu dem Ergebnisse, daß dieses nicht der Fall sein kann. Nachdem er dann noch spezieller die Mangelhaftigkeit der Laplaceschen Theorie an den Folgerungen aus denselben nachgewiesen, geht er über zur Behandlung der von Newton und Chamberlin aufgestellten Theorien. »Einziges Tabakchen«, sagt Dr. Mölle, »was die angeführte Rechtsprechung der beiden holländischen Planeten und der hinter der Revolutionsdauer des inneren Planetenmondes zurückbleibende Rotationszeit des Planeten, das selbst jedoch weniger aus Gewicht stützenden Erwägungen schon seit längerer Zeit und mehrfach gegen die Richtigkeit der Laplaceschen Theorie am Feld geführt worden. Aber erst durch die numerische Berechnung der Bewegungsmomente und der kinetischen Energie der Planeten und der Sonne ist die Unhaltbarkeit der Theorie in unüberlegbarer Weise dargelegt. Diese Berechnung ist zuerst von den Professoren Maclaurin und Chamberlin in Göttinge ausgeführt worden. . .

Durch die ist eine eigene Theorie aufgestellt worden, von der Maclaurin folgenden Abteil gibt:

»Es wird vorausgesetzt, daß unser System sich aus einem Spritzschmelz, welches von der Art ansehe, von welcher Kepler sagte, daß es viel häufiger so als alle andere Arten zusammengekommen. Ferner wird angenommen, daß der Spritzschmelz ein Zustand, als eine andere Sonne sehr nahe an unserer Sonne vorüberging. Die Dimensionen des Nebels ergaben sich fast allein aus der Streckung der Bahnen der vielen kleinen Massen, aus denen er bestand, Expansion von Gasen kann dann nur in sehr geringem Maße zur Erklärung. Er war niemals in einem Zustande hydrodynamischen Gleichgewichts und kein Wirbelverwirr war notwendig, um planetarische Massen zur Abtrennung zu bringen. Die Planeten bildeten sich aus Karne von be-

richtigen Größen heraus, und zwar dadurch, daß ein großer Teil der durch das ganze System zirkulierenden Mikroteile mit dem Kernen verknüpft.

Ein Spindelstern, der auf die angegebenen Weise entstanden ist und die aufgeführten Eigenschaften besitzt, wird sich in ein System von folgender Beschaffenheit entwickeln: Alle Planeten bewegen sich in derselben Richtung und ungefähr (abgesehen vielleicht nicht genau) in derselben Ebene, die Sonne selbst in derselben Richtung und ungefähr in derselben Ebene und besitzt eine äquatoriale Beschleunigung; je mehr sich die Planeten durch Aufnahme der centralen Materie vergrößern, um so mehr nähert sich ihre Bahn der Kreisform, der Planeten rotiren rechtshändig und ungefähr (abgesehen vielleicht nicht genau) in ihrer Bahnebene; je mehr ein Planet an Größe zunimmt, um so schneller rotirt er; die planetarische Kern kann ursprünglich von vielen, in den verschiedenen Richtungen sich bewegenden hohl kugelförmigen Begleiter sein, aber die centrale Materie besteht aus, die Satellitenkugeln, welche sich nicht rechtshändig in der allgemeinen Ebene des Systems bewegen, mit dem planetarischen Kern zur Verbindung an bewegen; die centrale Materie bewirkt, daß die Satellitenbahnen Kreise werden und Kräfte bürden, wenn auch die Satelliten rechtshändig bewegen, aber die große Excentricität machen, wenn sie rückwärts sind; ein Satellit kann seinen Umlauf schneller vollenden als der Planet rotirt. Das System kann viele Planetenoiden enthalten, deren Umlauf ineinander greifen; die kleinen Planeten sind kalt und dicht, die großen heiß und locker. Der größtens Teil der Bewegungsgröße des Systems vertheilt den Planeten.

Die Neoscholastische Theorie hat auf den ersten Blick viel Bestechendes, aber in seiner ausführlichen Kritik derselben zeigt Dr. Nölke, daß sie in fast jedem Punkte angreifbar ist und daß sie nicht besser was sie verspricht.

Neuauflage von Swen Arvidson  
auf einer Theorie der Planetenentstehung  
aufgebaute. Er sagt in seinem Buch:  
"Kosmische Ethik"

Der Ursubstanz unseres Sonnensystems besaß, ähnlich demjenigen im Orion oder dem Plejaden, vielfach eine Ausdehnung wie ein riesiger kometaler Nebel, dessen Vorzeichen die Dichte der Materie so gering, daß keine wirklichen Ausdehnungskräfte herrschten. Die leichtesten Gase, wie Wasserstoff und Helium, befanden sich in den äußeren Schichten der Gasse, die schwereren Elemente nahmen das Innere ein. Verbindungen können bei der großen Verdünnung nicht bestehen. Die Temperatur nimmt, ungefähr wie es das adiabatische Gesetz verlangt, nach dem Innern des Nebels hin zu. Es herrschte jedoch nur in den äußeren Schichten derselben, da nur diese von den negativ geladenen Partikeln (Elektronen) getroffen wurden, welche die Protonen umgeben. So erklärt es sich, daß die Urmaterie nur einige leichte Elemente zu enthalten schied.

Die Zustände im Nebel sind nicht stabil. Im Laufe der Zeit müssen die Anordnungsstränge derselben zu regelunabhängigen unendlichen Formen zusammenrücken. Diese Zusammenballung kann dadurch verhindert werden, daß Kondensationskerne von außen in die Nebelmasse einströmen, wie der Kern aus Sonnenwinden. Diese stürzen sich auf Klüppelungen, welche allmählich die Materie in ihrer Nähe zusammen, so daß Leuchtungen um diese Zentren im Nebel entstehen. Die Anordnungen gravitieren gegeneinander und werden wohl zum Teil miteinander verschluckt, da die elektrostatische Nebelmasse ihre Bewegungen hemmt. Wenn nun die Nebelmaterie von Anfang an eine ungenügende Dichtung um eine Achse vorfindet, so werden die Kondensationspunkte mitgeführt, und machen allmählich die gewöhnliche drehende Bewegung mit. Ist nun der vorerfüllte



Verdichtung ziele sich die Nebelmasse mehr und mehr zusammen. Der Zentralkörper wird vergrößert, und anstatt einer großen Dursckugel mit drehender Bewegung bildet sich eine Scheibe aus. Durch fortwährende Verdichtung der Scheibenmaterie um bestimmte Punkte herum erhalten diese eine immer selbständiger Stellung, bis sie endlich in ihrer Bahn das Zentrum umkreisen. Demnach Zustände entsprechen die spiralförmigen Nebel, welche überaus gewöhnlich sind. Derselben sind sehr flach, scheibenförmig, wozum hervorgeht, daß die Gravitation durch eine Zentrifugalkraft in der Ebene der Scheibe aufgehoben wird. Die spiralförmige Struktur kann aus dem Umstände erklärt werden, daß die Kondensationspunkte nicht die Bewegungen derfelb ungeschwächt, sondern gleich beherrschen, wie Wirbelstürme aufgeführt hat. Diese Nebel zeigen ein kontinuierliches Spektrum, wozum zu schließen ist, daß die Strahlung der Kondensationskerne, die bereits die ganze polarethe Energie der diffusen Nebelmasse aufgenommen haben, die ganze der Nebelmasse vollkommen überwiegt.

Die Hypothese von Arhanus ist, was Dr. Nölke zeigt, noch weniger als die Laplace'sche geeignet die kosmologische Problem zu lösen. »Da sie«, sagt Nölke, »die Entstehung des Nebels nur bei zu dem Punkte verfolgt, wo er in die Planken und die Sonne zerfällt, so laßt sich im allgemeinen über sie urtheilen, daß sie zu schon führen, wo die andern Theorien mit ihrer Erklärung eigentlich erst ansetzen. Auf Einzelheiten geht sie überhaupt nicht ein. Die Entstehung der Rotation der Planken, ebenso die Entstehung der Monde, wird, um nur die Wichtigste hervorzuheben, nicht erklärt. Den Ausführungen von Arhanus dürfte daher, nach wenn eine Kritik dieser mehr oder weniger könnte, gleichsam nur ein prosaischer Wert zuerkennen werden. Aber die Kritik Nölkes zeigt, daß sie sich auch nicht zu einem Fundament

eigen, auf welchem man weiterbauen könnte.

Schließlich sagt Nölke in einem allgemeinen Rückblicke: »Wir haben nachgewiesen, daß keine der vorerwähnten Theorien für die Entstehung unseres Planetensystems eine genügende Erklärung gibt. Wir haben aber nicht nachgewiesen, und das ist wohl zu beachten, daß wir überhaupt nur Erklärung der Entstehung verschiedener Sonnensysteme unangeführt seien. Hätte ein Sonnensystem nur einen Planeten, so könnte die Pseudo-Laplace'sche Theorie zur Erklärung ausgenutzt werden. Wenn in einem Sonnensysteme das Vorherrschen der Masse der Planeten zu der des Zentralkörpers und der gegenseitiger Abstand kleiner wäre als in dem unigen, so könnte die Laplace'sche Theorie benutzt werden. Die Poinsot'sche Theorie findet vielleicht Anwendung bei der Erklärung der Entstehung der Doppel- und mehrfachen Sterne, denn bei diesen Sonnensystemen stehen die einzelnen Massen in keinem sehr großen Maßverhältnisse zueinander. Also, um es nochmals zu sagen, wir haben nicht nachweisen wollen und können, daß die genannten Theorien überhaupt annehmbar sind, um die Entstehung gewisser Sonnensysteme zu erklären, sondern haben nur gezeigt, daß die Entstehung unseres Sonnensystems sich durch Annahme jener Theorien nicht erklärt. Arhanus aber ist klarer nicht gesagt, daß die kosmische Hypothese bei der Erklärung der Entstehung anderer Sonnensysteme, z. B. die Poinsot'sche Theorie bei der Erklärung der Entstehung der Doppelsterne, anwendbar werden müßten.

Im zweiten Theile seines Werkes geht Dr. Nölke zur Aufstellung und Begründung einer eigenen Theorie über. Er vertritt hierbei als in Betracht zuziehenden Umstände und Tatsachen in zufälliger Weise. In dieser Beziehung muß hier nachdrücklich auf die Studien des Werkes selbst verwiesen

wurden; nur ein Überblick über die neue Theorie kann mit Dr. Nilles' Worten hier Platz finden. Er sagt zusammenfassend:

„Wir nehmen an, daß unser Sonnensystem aus einem überaus dünnen Spinnweb entstanden sei. Die wirkliche Bewegung der Teilchen des Spinnweb war mehr eine Folge lokaler Ursachen als einer Wirkung der zwischen den Teilchen des Nebels herrschenden Gravitation. Die Nebelschicht war in dem von der ersten Kanne nicht gleichmäßig vorbereitet, der bei weitem größte Teil derselben befand sich in der Umgebung des Nebelactuums und füllte dort einen Raum aus, dessen Radius ungefähr des dritten Teil des Unberechneten betrug. Diese Kanne war von einem locken Ringe kein verstellter Materie umgibt, in welcher mehrere größere oder kleinere, in die Länge gestreckte Massenvertheilungen als Teile von Spinnwebungen eingebettet lagen. Am weitesten nach außen befanden sich einige streifenförmige Webungsstücke,

die sich im Verhältnisse zu den übrigen Webungsstücken große, im Verhältnisse zur Plasmamasse aber nur geringe Masse besaßen; sie hielten sich an den vier großen Planden zusammen. Auf die genannten äußeren Webungen des Nebels folgten nur nur kleine lockenartige Vertheilungen: erdähnlicher Raum, und zwischen diesem und der eigentlichen Kanne des Nebels befanden sich noch wieder, in verschiedenen Abständen vom Centrum, nur zwei größere Massenvertheilungen. Diese bildeten sich an dem vier Plande Plande an, während aus den lockenartigen Vertheilungen die Planden<sup>1)</sup> hervorgingen. Durch mechanischer Kräfte und den Widerstand des Aethers zusammen gedrückt, näherten sich die an die Centrum lagernden Nebelmassen einander mehr und mehr und wurden endlich zu einer so Inhalt bedeutend kleineren, kugelförmigen Kugel, der späteren Sonne zusammen. Die zugleich mit der Verdrückung der Zentralmasse ihre Orientationskräfte zur Aus-

5. Wie schon oben bemerkt, hat Dr. Nilles in seiner Anmerkung bei, daß die Erklärung der Entstehung der Planeten, welche die neue Theorie mit ihrer Hauptgesetze abgibt, bei weitem nicht alle Probleme mehr ist, die nach unserer Theorie schon die Lösung der einzelnen Planetenstände, wenn nicht nicht in völliger Selbstständigkeit aber doch gleichsam in embryonischen Zustände enthält. Was uns deswegen die Vorwelt nachschaut, wir haben gesehen, wie es unsere Pläne gewissermaßen zu erklären, dem müssen wir, wenn der Vorwurf der Frage der Entstehung der Planeten betrifft, folgen geben. Auch wir begreifen hier, daß gleich wenig Aussicht vorhanden ist, der vorliegende Frage in definitiver Weise zu beantworten, nachdem alle Versuche dieser Art als verfehlt nachgewiesen werden konnten. Daß jedoch, daß im Planetenstadium herrschenden Verhältnisse irgendwelche, teilweise Erklärung innerhalb der Art wird hingegen niemand behaupten wollen, der die Wichtigkeit der beschriebenen Spinnwebbildung, und vor die entsprechenden Paraphrasen aufmerksam gelesen hat, wird nicht verkennen, daß uns, außer dem Problem der Erklärung der Planeten, noch so viele andere, nicht weniger wichtige

Probleme zur Lösung übrig bleiben, daß der gesamte, nur unvollständigen Mangel der durch ausgefüllt wird. Daß der Mangel wirklich nur ein scheinbarer ist, läßt besonders deutlich der Anwendung Newtons erkennen. Er schreibt: „Der Nebel befindet sich ebenfalls in einem Zustande hydrodynamischen Gleichgewichts.“ *Astrophysical Journal* VOL. Nr. 5, S. 166. Hieraus geht hervor, daß auch der scheinbare Mangel der Laplace'schen Theorie die Unmöglichkeit beweist, die Entstehung der Planeten aus einem einfachen Anfangszustande mit Hilfe der bekannten mechanischen Gesetze herzustellen. Nachdrücklich und zureichend durchdringend nach dem Anfangszustand des Sonnensystems. In seiner eigenen Theorie unterlagte Nilles und Erklärung der Planeten vom Centrum nur der ganz unregelmäßigen Gestalt, welche die Gewalt und Größe der Kräfte ausreicht und die nämlichen Erwartungen des letzten Weltalters abgibt. Auch wir können dem Ziele eine wichtige Rolle bei der Erklärung der Planeten als, bringen wir aber nicht in der Verbindlichkeit der Ergebnisse, sondern in die Mannigfaltigkeit der Massenverteilung im Innern des Unberechneten.

Wirkung kennen, mußten sich die Planeten, dem Flächenmasse gemäß, dem Mittelpunkt nähern. Die Weite ihres Sinkens zum Mittelpunkt wurde dann durch die Lage ihres Ursprungsortes, der ihre ursprüngliche Geschwindigkeit, und durch die Schnelligkeit ihrer Verdichtung, welche dem Einfluß des Ätherwiderstandes unterworfen, regulierten. Außerdem verleiht der Widerstand des Äthers die Planetenbewegung in eine rechtswinklige Kreisbewegung, deren Acher im allgemeinen senkrecht auf der Bahnebene stand, denn da er immer nur auf der bei der Bewegung veränderlichen Seite des Planeten wirken konnte, so notwendig ist die Gleichseitigkeit der hier betrachteten Teichen mehr als die Gleichseitigkeit der ihnen folgenden Teichen und wenig sie zum Falle nach der Zeitrechnung, woraus die gesamte Rotationsbewegung hervorgehen mußte. Der nämlichen gerichtete Rotationsbewegung der beiden äußeren Planeten schenkt, da die Anziehung der Nebelmasse allmählich noch nicht wirkte, durch das Aufheben der Nebelmasse an dem ruhenden, dem Nebel angehörenden Acher. Die Beschleunigung der Rotationsbewegung

erfolgte auf Grund des Flächenprinzips. Im Merkur und Venus (3) folgt die Rotation aus demselben Grunde wie bei dem Neptun; die Anziehung der ersten Sonne ließ sie nicht zu einem Rotationskörper werden.

Die Entstehung der meisten Monde (ausgenommen und die irregulären Monde: der Erdmond, die Jupitermonde VI und VII und die Saturnmonde Themis, Japetus, Phoebe) ergibt sich wie bei Laplace durch Abschleudung von dem der Rotation beschleunigten Planetenmassen. Die irregulären Monde haben sich nicht am Äquator des Planeten gebildet, sondern aus an Auszugsbereiche des Planeten getriebene, asymmetrische Anhäufung der Nebelmasse, aus denen sich der Planet zusammenbaute.

Wir glauben, daß gerade in der Beschreibung, welche De Mille seiner ersten Theorie gibt, ein großer Vorzug seiner Arbeit gefunden werden muß. In dieser Beziehung gibt sie, wie wir glauben, erst den richtigen Ausgangspunkt für alle Spekulationen über die individuelle Art und Weise, in welcher sich die Anordnung im Sonnensystem vollzogen hat.

## Die bevorstehende Wiederkehr des Halleyschen Kometen.

**E**iner Kunst, der vor allem dadurch merkwürdig ist, daß er der Erde vor, dessen Rückkehr zur Sonne nach Ablauf einer bestimmten Jahreszeit vorhergesagt wurde, und zwar (1758) von dem Astronomen, dessen Name er heute trägt, ist bezüglich des Zeitpunktes diese Rückkehr zur Sonne (des Perihelidurchgangs) im Anfang des 18. Jahrhunderts dreimal richtiger verfolgt worden. Daraus wirkliche Voraussagestellung lieferten Clairaut und Madame Laplace für die Wiederkehr 1758. Sie fanden, daß das Perihel des Kometen auf den 13. April jenes Jahres fallen werde mit einer Un-

sicherheit von 30 Tagen früher oder später. Es fand in Wirklichkeit statt 1758 März 12 (17<sup>h</sup> 24<sup>m</sup>), also knapp innerhalb der von den Berechnern angegebenen Unsicherheit ihrer Voraussage.

Die Erscheinung von 1835 wurde von Barnhardt, Ponsbrunat, Rosenberger und Lehmann voraushergesagt. So finden, daß das Perihel in November jenes Jahres eintreten werde, doch weichen die Berechnungen bezüglich des Tages voneinander ab. Nach Rosenberger, der der Wahrheit am nächsten kam, sollte es am 13. November eintreten, tatsächlich bei es auf No-

runter 15, 22<sup>h</sup> 41<sup>m</sup>. Die Genauigkeit der Voransberechnung war im ganzen noch größer als für die vorangehende Erscheinung desselben.

Wichtigste der nächsten Wiederkehr fand Perseuscent als Zeit des Perihels 1910 Mai 12. Es ist meistens schon früher<sup>1)</sup> darauf aufmerksam gemacht worden, daß der Rechnung Perseuscenta gewisse Unsicherheiten anhaften, so daß eine Neuberechnung der Bahn des Kometen für die Winterjahre 1910 erforderlich wurde. Diese wurde von Crommelin und Cowell in Göttingen ausgeführt, jedoch wurden dabei mehrere Abänderungen gemacht, um die Rechnung zu vereinfachen. Als Resultat ergab sich, daß der nächste Periheldurchgang des Kometen am 8. April 1910 zu erwarten ist, jedoch mit einer beträchtlichen Unsicherheit, die auf 30 Tage veranschlagt wird. Diese Voraussetzung hat also zunächst bezüglich der Zeit des Periheldurchgangs des Kometen zu keiner großen Genauigkeit geführt, da die erste Voransberechnung dieser Art durch Chabert und Lepaute in die Rücklichte des Kometen im Jahre 1793. Derselben haben Crommelin und Cowell ihre Rechnungen noch auf die früheren Erscheinungen des Halley'schen Kometen ausgedehnt und denselben bis zu der Erscheinung des Jahres 706 rückwärts verfolgt. Durch diese Rechnungen kann als erwiesen angesehen werden, daß während eines Zeitraumes von etwa 1200 Jahren der Halley'sche Komet in seiner Bewegung keine merklichen Störungen erfahren hat, welche nicht aus dem Gravitationsgesetze zu erklären wären, besonders zeigt sich keine Einwirkung Hülllicht der, welche der Erste des Komets erkennen läßt.

Auf Grund der Crommelinschen Bahnbestimmung hat Dr. Seidl eine Voransberechnung des Laufs des Kometen in der Zeit vom Januar bis Juli 1913 geführt.

Unter der Annahme, daß das Geklirre Mitte Mai seine Sonnenweite mit einer Periheldistanz von 0.59 Solarkathetensystem erreicht, wird dasselbe im Februar und März 1913 im Abendhimmel sichtbar sein. Im April wird das Kometa selbst bei der Sonne stehen und am Morgenhimmel erscheinen. Es bleibt aber dann doch noch immer sehr bei der Sonne, denn am 8. Mai, den Tage eines totalen Sonnenfinsternisses, wird er kaum 2 Stunden vor ihr aufgehen und während der Finsternis in ihrer Nähe stehen sein. Die große Helligkeit desselben dürfte einwirken nach seiner darauffolgenden Konjunktion mit der Sonne, Anfang Juni. Am ersten dieses Monats wird der Komet in der Nähe des hellen Sterns Pollux stehen und das Maximum seiner Helligkeit erreichen. Während einer oder zwei Wochen nach diesem wird er abends gut zu sehen sein, doch wird dann leider die Nacht sehr kurz. Es mag erwähnt werden, daß bei der Rückkehr des Kometen im Jahre 1456 dasselbe fast die gleiche scheinbare Bahn wie 1665 am Himmel durchlief und dabei als sehr ungewöhnliches Objekt erschien. Mit Hilfe der Photographie konnte man erwarten, daß der Komet schon im letzten November aufgefunden würde, als er sich in der Nähe des Saturnsterns befand, leider ist dies nicht gelungen. In den nächsten Monaten wird er sich in der Nähe der Jupiterbahn befinden.

Dr. J. Holstreich hat während eines Ephemeriden zur Aufzeichnung des Kometen berechnet und veröffentlicht<sup>2)</sup> Für derselben wurde als Zeit des Perihels 1910 Mai 16 43<sup>h</sup> m 25, von Paris und als Periheldistanz 0.687, sowie als Exzentrizität der Bahn 0.967322 angenommen. Da wie bemerkt die Zeit des Perihels nicht genau feststeht, so hat Dr. Holstreich auch Ephemeriden berechnet unter der Annahme, daß das Perihel 30 Tage früher und daß es

<sup>1)</sup> Bode, 1867, S. 60.

<sup>2)</sup> Astronomie, d. k. k. Akademie in Wien, Bd. CIV, Abt. II, 1906, April.

30 Tage später austritt, innerhalb dieses Zeitraums fällt es mehr und so können die Epheueriden dann daraus den Raum um Hinnel ausschließen, innerhalb dessen der Komet ganz be-

stehen zu sehen ist. Nachschon folgt die Auszug aus diesen Epheueriden für die Zeit vom Oktober 1900 bis März 1901.

	Perhel 1900			Perhel 1901			Perhel 1911		
	April 18			Mai 16			Juni 25 <sup>2</sup>		
	AE	D		AE	D		AE	D	
	1	2	3	1	2	3	1	2	3
1900 Oktober 31	100	46	+ 13 10	100	38	+ 13 7	100	36	+ 13 37
November 15	100	1	11 52	100	36	21 32	100	2	11 32
Dezember 15	96	38	11 23	96	32	21 13	96	53	21 3
„ 31.5	88	34	11 30	88	27	21 30	88	23	21 30
1901 Januar 30.5	81	26	22 5	81	18	21 55	81	27	21 55
März 15	73	26	+ 13 5	73	13	+ 13 55	69	42	+ 13 43

Auch die schwierige Frage der unvollständigen Helligkeit des Kometen in großen Entfernungen, ist von Dr. Holtschek einfach und befriedigend behandelt worden. Er kommt zu dem Ergebnisse, daß im Maximum die folgenden Helligkeiten derselben zu erwarten sind:

1900 bis 1901	1911 Größe	
1. November 1900	16.0	„
Ende 1900 und An-		
fang 1901	17.5	„
1. September 1901	18.0	„

Es ist daher, sagt Dr. Holtschek, begründet, daß Prof. M. Wolf in Hinnelberg mit seinen photographischen Aufnahmen der Kometengasse im Winter 1900/1 des Kometen noch nicht erreicht, wohl aber schon seine Plannoiden 16. Größe (1900 IN) gefunden hat.

Auch in der Opposition 1905/6 sind die besprochenen Helligkeiten, obwohl sie schon wesentlich geringer geworden sind, für ein weiteres Aufsuchen noch wenig erniedrigt. Was dagegen die Dauerphotographien betreffen wird, kann gegenwärtig noch nicht gesagt

werden, es sei jedoch daran erinnert, daß der Encke'sche Komet im Herbst 1904 photographisch schon 6 Wochen früher entdeckt worden ist, als er visuell beobachtet wurde, und daß der Halley'sche Komet, obwohl er unter den für das freie Auge sichtbar gewordenen Kometen nicht unter der allgeringsten, sondern nur oberhalb der Helliggröße 10, den Encke'schen jedenfalls sehr bedeutend übertrifft.

Nachträglich bemerkt Dr. Holtschek, daß auch den neuesten Rechnungen von Corvelli und Comanin, wobei die Störungen des Kometen von 1835 bis 1911 durch alle großen Planeten (mit Ausnahme von Merkur und Mars) berücksichtigt sind, der Zeitpunkt des nächsten Verhinderungsanges zwar sehr viel noch nicht völlig sicher gestellt ist, er scheint jedoch auch in den nächsten Jahren verfrüht worden zu dürfen, so daß also beim Suchen nach dem Kometen in dem Zeitraum 1901—2 zunächst auf die für April 16 berechneten Positionen zu achten wäre.

## Untersuchung des Lichtwechsels einiger veränderlichen Sterne des Algoltypus.

**E**ine Vorbedingung des Algoltypus ist ausser dem bekanntlich durch aus, daß der Lichtwechsel nur auf wenige Stunden beschränkt ist und sich in der Zwischenzeit völlig gleichmäßig fortsetzt. Auch hat man bei diesen Sternen mit Bestimmtheit die Ursache des Lichtwechsels ergründen können, die von bekanntem Charakter besteht, daß periodisch ein dunkler oder weniger hellster Körper sich für den Anblick von der Erde aus vor dem Veränderlichen vorbeibewegt und dadurch eine teilweise Verfinsternung des letzteren für uns hervorruft. Da es immer möglich ist aus dem Verlauf der Lichtänderung wichtige Schlüsse über die allernäherst liegenden physikalischen Verhältnisse dieser Sternsysteme zu gewinnen, so liegt die Wichtigkeit genauer Beobachtungen der Veränderlichen dieser Klasse auf der Hand.

Mit Beobachtungen dieser Art hat sich in den Jahren 1905 bis 1907 Dr. K. Gröfz auf der Hamburger Sternwarte beschäftigt und dieselben zu weiteren Untersuchungen verwertet<sup>1)</sup>, deren Hauptergebnisse hier mitgeteilt werden sollen.

Bei mehr als 14 Sternen ist gegenwärtig bereits der Algolcharakter sichergestellt und doch ist kaum ein halbes Dutzend davon mit der Endbestimmung Gegenstand einer genaueren Untersuchung geworden.

Dr. Gröfz benutzte zu seinen Beobachtungen den 9<sup>te</sup> zolligen Refraktor der Hamburger Sternwarte und verglich die Helligkeit der Veränderlichen mit derjenigen benachbarter hellster oder schwächerer Sterne, indem er die Unterschiede nach Stellen schätzte. Der Wert einer Stelle wurde bei der Reduktion durchweg zu 0,1 Größenklasse angenommen und die Schätzungen sämt-

lich auf das Potsdamer photometrische System der Sternhelligkeiten reduziert. Folgendes ist das Verzeichnis der von Dr. Gröfz beobachteten und untersuchten Veränderlichen.

Nr.	Var. bezeichnend	AB. 1905.6			Gr. 1906.6			
		<i>h</i>	<i>m</i>	<i>s</i>	<i>h</i>	<i>m</i>	<i>s</i>	
1.	9 <sup>te</sup> Deneb	20	23	47.72	+	17	56	5.5
2.	8 <sup>te</sup> Cygn	20	3	49.58		45	5	25.5
3.	8 <sup>te</sup> „	19	47	43.07		30	37	33.5
4.	1 <sup>te</sup> Sagittar	19	54	25.45		19	25	29.5
5.	1 <sup>te</sup> Cygn	20	28	21.54		42	55	13.5
6.	2 <sup>te</sup> Perse	2	23	39.55		45	45	5.5
7.	2 <sup>te</sup> Cassiope	11	39	49.77		77	45	17.5
8.	5 <sup>te</sup> Cygn	20	31	33.55		34	12	25.5
9.	9 <sup>te</sup> „	20	3	31.27		41	15	17.5
10.	8 <sup>te</sup> Tauro	3	57	43.27	+	22	58	59.7

Von Anfang an war es Absicht des Beobachters, alle Elemente des Lichtwechsels der untersuchten 10 Algolsterne möglichst ohne Zurückgriffen auf andere Beobachtungen zu ermitteln, schon aus dem Grunde, um darauf zurückgreifen, welche Genauigkeit sich durch das zwei- bis dreifache Beobachtungsgrade dieser Sterne erreichen läßt. Eine ständige Benützung der wenigsten geeigneten Zeiten des schwächsten Lichtes zur Ableitung der Periode war schon aus diesem Grunde gänzlich ausgeschlossen, und Dr. Gröfz hat daher einen anderen Weg eingeschlagen. Tragt man die einzelnen beobachteten Teile der Lichtkurve der hier in Frage kommenden Algolsterne auf Millimeterpapier auf und legt die korrespondierenden Teile verschiedener Perioden übereinander, so findet man, daß sich diese Kurvenstücke gut zur Deckung bringen lassen. Durch diese einfache Methode läßt sich sofort feststellen, ob der Lichtverlauf eines Sterns in allen Einzelheiten desselben Verlauf nimmt oder nicht. Ist das letztere der Fall, so ist man ohne weiteres berechtigt, zur Ableitung der Periode jedes beliebige

<sup>1)</sup> Mitteilungen der Hamburger Sternwarte, Nr. 13, 1907.

wiederholt beobachteten Stück der Lichtkurve zu verwerten. Man wird hierzu natürlich denjenigen Teil wählen, der die stärksten Lichtänderungen aufweist, in dessen Bereich sonst auch die Beobachtungsfehler den geringsten Einfluß auf das Resultat ausüben. Für jeden Veränderlichen wurde in dieser Weise zunächst derjenige noch über 1 bis 2 Größenklassen umfassende Teil des auf- und absteigenden Astes der Lichtkurve ausgewählt, und die vorhandenen Kurvenstücke in der Weise verwertet, daß sowohl für den absteigenden als auch für den aufsteigenden Ast alle Zeitmomente an den Kurven abgelesen und tabuliert wurden, so dass der Veränderliche bestimmt von 0.1 bis 0.1 Größenklassen fortwährend vollständig gemessen erscheint ist. Es wurde dabei als Bedingung angenommen, daß das benutzte Kurvenstück mindestens durch 3 verschiedene Beobachtungen genügend gesichert war.

Um die Auffindung und Beobachtung dieser Veränderlichen zu erleichtern, gibt Dr. Gaffl Märchen die Umgebung eines jeden derselben, in welchem auch die Vergleichsterne beizubringen sind, deren Helligkeit in Sterngrößen angegeben ist. Bei den meisten dieser Veränderlichen sinkt die Helligkeit im Maximum Licht bei nur 12. Größe und darunter, in manchen sogar die Normalhelligkeit nur gleich derjenigen eines Sterns 16. Größe. Diese Veränderlichen können also nur an kraftvollen Instrumente während ihres ganzen Lichtwechsels beobachtet werden. Der einzige unter den 18 hier behandelten Veränderlichen, der auch der Beobachtung an kleinen Instrumenten zugänglich bleibt, ist der Stern U Sagittae, dessen normale Helligkeit 6.65 GröÙen ist und der im kleinsten Licht dies bei nur 9. Größe verliert.

Dieser Veränderliche wurde als solcher 1901 von Schwab erkannt. Sein Ort am Himmel ist für 1924: AR = 19<sup>h</sup> 12<sup>m</sup> 27<sup>s</sup> D = + 19<sup>°</sup> 20<sup>'</sup>

Die Lichtkurve von U Sagittae verläuft vor und nach dem Maximum Licht völlig symmetrisch. Die Dauer der Periode beträgt 3<sup>d</sup> 4<sup>h</sup> 2<sup>m</sup> 4.1<sup>s</sup>, die Dauer der ganzen Lichtänderung beträgt 12.1<sup>d</sup> und während 1.4<sup>d</sup> verläuft der Stern in seinem kleinsten Licht.

Dr. Gaffl hat für deutsche 10 Yeränderliche die Elemente ihres Lichtwechsels (Dauer der Periode, der Maximum- und Minimumhelligkeit usw.) abgelesen und gibt davon folgende Übersichtliche Zusammenstellung. In derselben sind zur Abklärung folgende Bezeichnungen gesetzt:

- M = Helligkeit im Maximum,  
m = „ „ „ Minimum in Sterngrößen und in Einheiten von M,  
Jm = Länge des Lichtwechsels,  
L = Dauer der ganzen Lichtänderung vom Beginn der Abnahme bis zum Schluss der Zunahme,  
I = Dauer der beobachteten Minimalhelligkeit.

1. W. G. 10.1.1904 Sept. 17 100-24 = M. Z. G.  
Periodendauer: 3<sup>d</sup> 4<sup>h</sup> 2<sup>m</sup> 4.1<sup>s</sup>  
M = 6.65m m = 11.90m (0.104)  
Jm = 12.1d L = 12.1d I = 1.4d  
Lichtkurve im wesentlichen symmetrisch, Anfang vielfach ein wenig rascher als Abgang.

2. W. G. 10.2.1905 Okt. 9-11 100-24 = M. Z. G.  
Periodendauer: 3<sup>d</sup> 12<sup>h</sup> 44<sup>m</sup> 33.5<sup>s</sup>  
M = 9.42m m = 11.80m (0.107)  
Jm = 12.0d L = 11.2d I = 1.2d  
Lichtkurve im wesentlichen symmetrisch, mittlerer Teil des Abgangs jedoch ein wenig steiler als der aufsteigende Teil des Abgangs.

3. W. G. 10.3.1907 Sept. 2 115-14 = M. Z. G.  
Periodendauer: 3<sup>d</sup> 10<sup>h</sup> 30<sup>m</sup> 20<sup>s</sup>  
M = 11.90m m = 12.90m (0.109)  
Jm = 12.0d L = 12.0d I = 2.2d  
Lichtkurve wirklich asymmetrisch, Anfang, besonders im Anfang, wesentlich rascher als Abgang.

4. U. Sagittae  
M = 1905 Okt. 21 9<sup>h</sup> 35.1<sup>m</sup> = M. Z. G.  
Periodendauer: 3<sup>d</sup> 2<sup>h</sup> 30<sup>m</sup> 4.1<sup>s</sup>  
M = 6.65m m = 11.90m (0.104)  
Jm = 12.1d L = 12.1d I = 1.4d  
Lichtkurve vollkommen symmetrisch.

5. W. G. 10.4.1907 Sept. 20 8<sup>h</sup> 30.1<sup>m</sup> = M. Z. G.  
Periodendauer: 3<sup>d</sup> 19<sup>h</sup> 30<sup>m</sup> 8.0<sup>s</sup>  
M = 10.24m m = 12.70m (0.104)

$\mu = 2.15^m$   $L = 1954$   $I = 1.2^h$   
 Lichtkurve im wesentlichen symmetrisch  
 6 Z Perseus

Min. 1905 Aug. 26 12<sup>h</sup> 26<sup>m</sup> 1<sup>s</sup> M. Z. Gr.  
 Periodendauer:  $2^d 1^h 20^m 14^s$   
 $M = 2000^m$   $m = 12.30^m$  (2117)  
 $\Delta m = 2.30^m$   $L = 1.15^h$   $I = 1.1^h$   
 Lichtkurve völlig symmetrisch.

7 Z Draconis.

Min. 1905 Jan. 20 10<sup>h</sup> 13<sup>m</sup> 1<sup>s</sup> M. Z. Gr.  
 Periodendauer:  $1^d 21^h 30^m 40^s$   
 $M = 1940^m$   $m = 12.20^m$  (2149)  
 $\Delta m = 2.12^m$   $L = 4.15^h$   $I = 6.2^h$   
 Lichtkurve völlig symmetrisch

8 VW Cygni.

Min. 1905 Sep. 18 5<sup>h</sup> 35<sup>m</sup> M. Z. Gr.  
 Periodendauer:  $1^d 18^h 20^m 5^s$   
 $M = 1910^m$   $m = 12.20^m$  (2079)  
 $\Delta m = 1.90^m$   $L = 20.65^h$   $I = 5.7^h$   
 Lichtkurve symmetrisch.

9 WW Cygni.

Min. 1905 Sept. 17 5<sup>h</sup> 16<sup>m</sup> M. Z. Gr.  
 Periodendauer:  $2^d 1^h 31^m 21^s$   
 $M = 2000^m$   $m = 12.41^m$  (2068)  
 $\Delta m = 2.90^m$   $L = 19.85^h$   $I = 14^h$   
 Lichtkurve symmetrisch.

10 RW Tauri.

Min. 1905 Sept. 17 9<sup>h</sup> 49<sup>m</sup> M. Z. Gr.  
 Periodendauer:  $2^d 18^h 23^m 12.3s$   
 $M = 2020^m$   $m = 11.50^m$  (2070)  
 $\Delta m = 2.67^m$   $L = 2.8^h$   $I = 1.3^h$   
 Lichtkurve symmetrisch.

Die Dauer der ganzen Lichtänderung  
 schwankt bei den H-Sternen zwischen  
 $\frac{1}{2}$  und  $\frac{3}{4}$  der Periodendauer, und  
 zwar beträgt dieses Verhältnis:

bei U Sagittae . . . . .	1: 6.2
„ Z Perse . . . . .	1: 6.6
„ W Delphin . . . . .	1: 6.7
„ WW Cygni . . . . .	1: 5.6
„ Z Draconis . . . . .	1: 3.4
„ VW Cygni . . . . .	1: 2.6
„ RW Tauri . . . . .	1: 2.6
„ WW Cygni . . . . .	1: 2.4
„ WW Cygni . . . . .	1: 6.2
„ VW Cygni . . . . .	1: 10.1

im Mittel also 1:7.7. Bezüglich der  
 Größe der Lichtabnahme (der Am-  
 plitude) stehen RW Tauri mit 1.47  
 Größtenklassen ( $^m$ ) und WW Cygni mit  
 2.61 $^m$  oben. Es folgen dann Z Persei  
 mit einer Lichtabnahme von 2.18 $^m$ ,  
 U Sagittae mit 2.31 $^m$ , W Delphin mit  
 2.55 $^m$ , UW Cygni mit 2.16 $^m$ , Z Draconis  
 mit 2.13 $^m$ , SW Cygni mit 2.08 $^m$ ,  
 VW Cygni mit 1.94 $^m$ , und SV Cygni  
 mit 1.93 $^m$ . Bezüglich der Form der

Lichtkurve sind die Diagramme von  
 Z Draconis, RW Tauri und VW Cygni  
 besonders scharf, insofern, als sie den  
 Übergang vom ersten fast spitz aus-  
 fallenden Minimum bis zu einer fast  
 unterenflingigen Kurve des kleinsten  
 Lichtes verschaffen.

Sieht man voraus, daß der Licht-  
 wechsel durch die Bedeckung eines  
 heißen Sterns durch einen schwächeren  
 hervorgerufen wird, so prüfen die  
 Lichtkurven bereits einige Anhaltspunkte  
 bezüglich der Bauverhältnisse der be-  
 teiligenden Doppelsysteme.

Bei Z Draconis, RW Tauri, WW  
 Cygni, VW Cygni, UW Cygni und  
 SV Cygni setzt der Lichtwechsel zumeist  
 plötzlich ein und erreicht sein  
 Maximum kurz vor und bald nach  
 einem mehr oder weniger konstanten  
 Minimum. Wir haben hier offenbar  
 Doppelsysteme vor uns, bei denen  
 der weitestlich liegende, also kleinere  
 Komponente, zur Zeit des Minimums  
 hinter dem schwächeren, aber größeren  
 Hauptstern vollständig verschwindet  
 (totale Verfinsternis). Bei Z Persei,  
 U Sagittae, W Delphin und SV Cygni  
 dagegen erfolgt Beginn und Ende der  
 Lichtänderung, besonders bei den beiden  
 letzten Sternen, langsam, und auch die  
 Umbiegung der Kurve vor und nach  
 dem Maximum ist weniger plötzlich  
 wie bei der ersten Gruppe. Hier ist  
 es wohl richtiger, einen Minima, völlig  
 dunklen Begleiter anzunehmen, der sich  
 während des Minimums auf den heißen  
 Hauptstern vollkommen projiziert (lang-  
 dauerige Verfinsternis).

Auf Grund dieser Hypothese hat  
 nun Dr. Geff. für die 10 Algolsterne  
 genährte Kreisbahnenwerte abgeleitet  
 und zwar aus der Periode, der Am-  
 plitude, der Dauer der ganzen Hellig-  
 keitsänderung und der Dauer des Mini-  
 mum. Ihre vollständige Unter-  
 suchung der Bahnverhältnisse wird  
 sich erst dann lohnen, wenn der erste  
 und letzte Teil der Lichtkurven besser  
 gezeichnet und die Amplitude des Licht-  
 wechfels photometrisch kontrolliert ist.



Zu der wertvollen Arbeit De Graffs hat De F. Risengart einige interessante Zusätze gemacht, die sich auf die Dichtigkeit der Algot-Verwitterfelsen beziehen, die dem wesentlichen Inhalt nach nach hier eine Stelle finden mögen. De Risengart sagt:

«Es ist bekannt, daß man bei Doppelsteinen vom Algotypus aus photometrischen Beobachtungen alles die wahren Dimensionen und die Masse der Körper nicht ableiten kann, wohl aber läßt sich die Sternsdichte bestimmen, wenn man die Annahme macht, daß dasselbe bei beiden Körpern der gleiche sei. Diese Annahme ist zwar bei dem so verschiedenen Zustande des Leuchtens ihrer Oberflächen wenig wahrscheinlich. Dennoch erhält man durch solche Überlegungen eine Vorstellung von der Größenordnung der verwitterten Sternsdichte, die interessant genug ist. Und da in der Galiläischen Abhandlung zum ersten Male von einer größeren Anzahl von Algotvariablen alle Daten beigemessen bekannt waren, wollte ich nicht unterlassen, die kleine Rechnung anzuführen...

§ Astron. Nachrichten N. 4295.

Die folgende Zusammenstellung enthält noch einige andere Angaben aus Graffs Abhandlung, die hier von Interesse sind.

Die Sterne sind nach abnehmender Periode geordnet. Diese Anordnung erklärt die ungeführ fortwährende Zunahme der Dichtigkeiten in der letzten Kolonne. Natürlich liegen die Körper um so tiefer auseinander, je tiefer sie sind.

Bei den Sternen Z Perseus und Z Orionis hat Graff beide Möglichkeiten, daß der verwitternde Körper kleiner oder größer ist als der hellere, zugelassen und damit die Elemente abgeleitet. Für die Dichtigkeiten erhält man bei beiden Hypothesen merkwürdlich denselben Wert.

Für Algot selbst bekommt man bekanntlich  $\frac{1}{10}$  der Sonnen-dichte. Diese geringe Dichte ist nach verschiedenen Rechnungen auch den hier untersuchten Algotvariablen eigenständig. Da der Spektraltypus die darauf untersuchten Algotsterne in die Klasse Ia versetzt, so stimmt die geringe Sternsdichte mit unserer Vorstellung von dem letzten Entwicklungsstadium der I Spektralklasse überein.

Name	Periode	Normal- hellgr. (V)	Normal- hellgr. (V)	Staar des		Radius d. verwitternd. Körper	Radius hell- ster	Dichtigkeit (Ann. = 1)
				Unter- sch.	Über- sch.			
VW Cygni	4.496	16.75	15.75	36.0	6.7	2.63	0.66	0.090 = $\frac{1}{10}$
SV Cygni	5.054	11.05	12.04	38.0	7.2	0.91	4.71	0.025 = $\frac{1}{40}$
W Delphini	4.804	9.66	11.00	71.2	5.2	0.94	0.29	0.025 = $\frac{1}{40}$
SW Cygni	4.078	9.43	11.50	71.8	25	1.85	7.63	0.056 = $\frac{1}{18}$
SW Cygni	3.656	10.54	12.70	30.5	1.3	1.28	0.89	0.025 = $\frac{1}{40}$
S Sagittae	5.368	9.40	9.96	75.1	1.4	0.94	4.01	0.081 = $\frac{1}{12}$
SW Cygni	5.577	10.06	12.04	71.8	1.6	1.99	1.07	0.055 = $\frac{1}{18}$
Z Perseus	3.264	10.38	12.38	11.1	1.3	0.64 (1.21)	4.27 (1.58)	0.051 (0.037) = $\frac{1}{20}$
HW Tauri	3.769	7.47	11.64	79	1.3	1.70	0.57	0.176 = $\frac{1}{6}$
Z Orionis	1.374	10.46	12.52	4.7	6.8	1.00 (0.65)	4.77 (0.44)	0.048 (0.037) = $\frac{1}{25}$

## Der Veränderliche R in der nördlichen Krone

**D**ieser Stern wurde schon 1783 von Pigott als der Veränderliche verdinglich erkannt, doch erst 13 Jahre später konnte von demselben Beobachter der Lichtwechsel mit Sicherheit nachgewiesen werden. Später fand sich, daß die Lichtänderungen sehr ungleichmäßig von statten gehen und Argander vermochte nicht auszurechnen, genau Periodendauer zu ermitteln, obgleich die Lichtschwankungen bis zu 6 Größenklassen betragen. Unlängst hat nun H. Ladendorff die Ergebnisse seiner maßgebenden Untersuchung veröffentlicht<sup>1)</sup>. Er sagt in demselben:

• R Coronae borealis gehört zu den unregelmäßig veränderlichen Sternen, die Helligkeit, insbesondere Gesetzmäßigkeiten in dem Verlaufe seiner Lichtschwankungen gar nicht erkennen lassen, was mich veranlaßt, alle vorhandenen Beobachtungen dieses Veränderlichen einer einheitlichen Bearbeitung zu unterwerfen. Wenn man diese Aufgabe auch im wissenschaftlich strengsten Sinne ist, so möchte ich doch die Resultate meiner Untersuchung hier kurz veröffentlichen. In aller Ausführlichkeit wird meine Arbeit in den Publikationen des Astrophysikalischen Observatoriums abgedruckt werden.

Der Beschreibung wurde das gesamte bisher veröffentlichte Beobachtungsmaterial zugrunde gelegt, und ich konnte außerdem mehrere nicht publizierte Beobachtungsreihen heranziehen. Im ganzen umfaßt nur für die Zeit von 1783 bis 1905 mehr als 3000 einzelne Beobachtungen zur Verfügung.

Die Größen einer beträchtlichen Anzahl von Vergleichssterne für R Coronae sind auf dem Harvard-Observatorium bestimmt worden. Diese Größen werden benutzt, um die Helligkeitsänderungen der verschiedenen Beob-

achter auf ein einheitliches System zu reduzieren.

Während für die Zeit vom Jahre 1783, in welchem Pigott seine ersten Beobachtungen von R Coronae aufgeschrieben hat, bis 1843 nur wenige Helligkeitsbeobachtungen des Veränderlichen vorliegen, ist er von 1843 an sehr häufig beobachtet worden, und ich konnte daher für den Zeitraum von 1843 bis 1905 eine Lichtkurve von R Coronae zeichnen, die nur verhältnismäßig geringe Lücken aufweist. Die aus dem Studium dieser Kurve gezogenen Schlüsse möchte ich im folgenden zusammenfassen.

Als einzige Gesetzmäßigkeit im Lichtwechsel von R Coronae ergab sich die merkwürdige Tatsache, daß, wenn der Veränderliche längere Zeit hindurch konstante Helligkeit besitzt, von sehr häufig vorkommend, diese Helligkeit stets sehr nahe der Größe 6½ entspricht. Die folgende Tabelle enthält die Zeiten konstanter Helligkeit und die zugehörigen, aus der Lichtkurve abgelesenen Größen.

		Größe
1813.8	Ma. 1865.7	6.1
1840.1	1898.3	6.1
1853.1	1903.5	6.1
1854.2	1904.5	6.1
1855.9	1906.2	6.1
1856.7	1908.2	6.1
1860.0	1911.2	6.2
1861.2	1913.5	6.2
1871.3	1926.2	6.2
1876.7	1932.2	6.2
1878.0	1938.3	6.2
1879.6	1940.8	6.2
1880.6	1942.3	6.2
1884.0	1955.5	6.2
1886.0	1957.8	6.2
1888.1	1961.2	6.2
1891.0	1971.6	6.2
1894.4	1986.5	6.2
1896.0	1997.5	6.2
1898.3	2003.0	6.2
1901.0	2008.0	6.2
1903.6	2006.7	6.2

Die nur sparsam angeführten Zeiten sind durch einen Doppelpunkt gekennzeichnet. Zu bemerken ist noch, daß

<sup>1)</sup> Astron. Nachrichten Nr. 454.

aus den Jahren 1849 und 1850 nur ganz vereinzelt, aus dem Jahr 1851 gar keine Beobachtungen von R-Corone vorliegen.

Die in der Tabelle angegebenen, dem Zeilen korrespondierenden Helligkeit der spekulierten Größen, welche meist Mittelwerte aus den Schätzungen verschiedener Beobachter sind, schwanken zwischen 5.1 und 6.3. Es liegt nun nahe, diese kleinen Differenzen lediglich den systematischen Auffassungsunterschieden der Beobachter zuzuschreiben. Dabei handelt es sich wahrscheinlich, die Größe, welche R-Corone während des koronaren Lichts besitzt, und welche sie außer normale Größe bescheidet werden soll, aus den verschiedenen Beobachtungsverfahren getrennt zu berechnen. Leider sind nur sehr wenige von den letzten Jahren geblieben, so müssen wir allein die Beobachtungen von Schmidt wegen der ersten angängigen Wahl der Vergleichssternen bei dieser Untersuchung ausgeschlossen werden.

Aus dem angestrebten Studium der Beobachtungsverfahren ergibt sich, daß von 1843 bis 1867 einschließlich, die normale Helligkeit von R-Corone unveränderlich gewesen ist, und zwar handelt man, daß diese normale Helligkeit während des gesamten Zeitintervalls der Größe 6.11 entspricht.

Für die Zeit von 1868 an erhält man dagegen übereinstimmend nach den drei letzten oben angeführten Beobachtungsverfahren eine etwas größere normale Helligkeit, nämlich die Größe 5.84. Insofern die Zeit von 1898 bis 1904 sind keine Schwankungen dieses Wertes vorgekommen, wie die Beobachtungen von Linder beweisen.

„Linder“, führt Linderdorff fort, „ist es sich nicht sicher anzueignen, ob die Zunahme der normalen Größe von dem Wert 6.11 auf 5.84 noch so oder nicht. Von den in Betracht kommenden Beobachtungsverfahren gibt es nur eine, nämlich die von Sawyer, dem beiden hier in Rede stehenden Zeitintervallen zugleich

an, doch auch von dieser Seite lassen nur vier Beobachtungen in die Jahre 1898 und 1899. Diese vier Beobachtungen sprechen aber gegen die für die Existenz der Änderung, jedenfalls kann man keinen Blick in solche verhängt stehen.

Es fragt sich nun, ob R-Corone jemals eine größere Helligkeit als die normale erreicht. Es fragt sich, daß dies, wenn überhaupt, sicherlich nur selten unter der Fall ist. Zunächst sind es Beobachtungen von Schmidt aus den Jahren 1860 bis 1863, die eine besonders große Helligkeit des Violadeflecks verzeichnen lassen. Die sieben Diskussionen über die mit ziemlich großer Sicherheit erkennen, daß es sich nur um systematische Schätzungsfehler bei Schmidt handelt. Auffällig bleiben nur vier seiner Beobachtungen aus Mai und Juni 1861, welche die Größen 4.6 und 4.7 ergeben. Wenn man auch nicht zureichenden braucht, daß R-Corone damals wirklich diese Größe erreicht hat, so ist es doch möglich, daß er heller als von normaler Größe war. Es muß aber betont werden, daß Schmidts Beobachtungen von R-Corone nur einen Teil nicht ausreicht sind.

Ferner deuten die Beobachtungen Hartwegs aus dem Anfang des Jahres 1899 auf eine ungewöhnlich große Helligkeit des Violadeflecks hin.

Hierarch wird R-Corone bei der ersten bzw. dritten Beobachtung etwa von der Größe 4.5 bzw. 5.3 gemessen. Die dritte Beobachtung ist potentiell unsicher, wie schon aus der Form ihrer Aufzeichnung hervorgeht, und in der Tat hat Fize von Fontenay im März 1899 durch drei Messungen mit einem Zählrohren Photometer festgestellt, daß R-Corone damals von der Größe 5.0 war. Die erste Beobachtung Hartwegs läßt sich dagegen schwerlich mit der Annahme vereinigen, daß R-Corone damals schon 6 Größen gemessen sein sollte. Inwiefern wird man aber die Möglichkeit eines Versagens, wie es, z. B. durch atmosphärische Umstände

bedeugt, selbst dem geübtesten Beobachter unmerklich kann, nicht ganz von der Hand weisen dürfen.

Abgesehen von den beiden besprochenen Fällen aus den Jahren 1884 und 1898 hat R. Caronaz, soweit die Beobachtungen reichen, niemals seine normale Helligkeit überschritten.

In den verschiedenen Minima<sup>1)</sup> ist die kleine Helligkeit von R. Caronaz ganz außerordentlich verschieden, und es lassen sich keinerlei Gesetzmäßigkeiten feststellen. Es gibt Minima, in denen die Helligkeit gegenüber der normalen nur um ein bis zwei Größenklassen abnimmt, solche sind namentlich in den letzten Jahrzehnten häufig aufgetreten, nämlich 1885 (Größe  $m = 7.7$ ), 1886 ( $m = 7.7$ ), 1893 ( $m = 8.1$ ), 1904 ( $m = 7.2$ ). In vielen Minima wird der Veränderliche außerordentlich schwach. Das schwächste beobachtete Größe ist 15.0 im Jahre 1872 von Schaeßle beobachtet, doch ist es nicht ausgeschlossen, daß der Veränderliche auch schwächer wird. Das sehr schwache Minimum wird namentlich sehr ausführlich beschrieben.

Auch die Dauer der Minima ist außerordentlich verschieden. Die kürzesten sind das erste von 1895 ( $m = 9.5$ ) und das von 1904 ( $m = 7.2$ ), die beide nur etwa je zwei Monate in Anspruch nahmen. Das Maximum von längerer Dauer währte von Ende 1893 bis in die zweite Hälfte des Jahres 1894, d. h. während dieser ganzen Zeit hat der Veränderliche annähernd die normale Größe erreicht; allerdings war die Helligkeit in den geringsten Zeiteinheiten meistens in sekundären Maxima bis zur 7. oder 8. Größe, einmal sogar bis zur Größe 8.5 im pos.

Ebenso verschieden wie die Dauer der Minima ist auch die Form der Lichtkurve während des Vorstehens derselben.

<sup>1)</sup> Unter einem Minimum ist hier stets ein solcher Teil der Lichtkurve verstanden, der sich vom Beginn der Steile bis die normale Helligkeit bis zur Wiederreichung derselben erstreckt.

Charakteristisch für den Beginn der Minima ist zumeist ein außerordentlich rasches, gleichmäßiges Abnehmen der Helligkeit.

Sehr selten ist beim Beginn eines Minimums ein langsame Senken der Helligkeit, die letztere kommt in der Regel nur bei unbedeutenden Minima vor, so bei denen von 1885 und 1893. Verhältnismäßig langsam war der Abfall der Lichtkurve auch bei dem erst beobachteten Minimum von 1867 ( $m = 11.2$ ).

Das Wiederauwachen der Helligkeit zur normalen Größe geht meist viel langsamer vor sich als die Abnahme. Der aufsteigende Teil der Lichtkurve ist häufig unregelmäßig und zeigt sekundäre Maxima und Minima. Zumeist geschieht aber die Wiederauflage der Helligkeit ebenso plötzlich wie die Abnahme, so bei dem letzten Maximum von 1891 ( $m = 13.2$ ). In solchen Fällen hat die Lichtkurve, abgesehen von den zeitlichen Verhältnissen, eine gewisse Ähnlichkeit mit der von Algolherren.

Zwischen dem Senken unter die normale Helligkeit und dem Wiederauwachen zu derselben spielt sich der Veränderliche häufig die merkwürdigsten und unregelmäßigsten Lichtschwankungen, mit zahlreichen sekundären Maxima und Minima.

Speziellwichtige Gesetzmäßigkeiten in der Zeit des Entstehens der Minima hat Lohsenhoff nicht auffinden können. Wie sehr ab und zu solche zu zeigen scheinen, werden sie sich durch den weiteren Verlauf der Lichtschwankungen wieder umgestalten.

Die vorstehenden Betrachtungen füllt er kurz in folgende Sätze zusammen:

1. R. Caronaz ist seit lange Zeit langsam von konstanter Helligkeit, und zwar beträgt er dann stets sehr nahe die Größe 6.0. Kleine, insgesamt 0.2 bis 0.3 Größenklassen betragende Änderungen dieser normalen Größe sind eingetretet.

2. Die Anwesenheit der Helligkeit von R Coronae über der normierten Größe heißt jedenfalls nur ausnahmsweise, statt Kom weniger demüthiger Fall ist durch gleichzeitige Schätzungen verschiedener Beobachter oder auch nur durch eine größere Beobachtungsreihe eines Beobachters sicher bestätigt.

3. Die Zeiten konstanter Helligkeit werden scheinbar regelmäÙig unterbrochen durch zufällige Störungen von verschiedener Dauer und verschiedener Maximumhelligkeit. Die Helligkeitsabnahme bei Beginn eines Maximums geschieht zunächst sehr schnell, der Wiederanstieg am Ende eines Maximums nur allmählich.

weil langsame. Derselben liegen Lichtaberrationen von größerer Unregelmäßigkeit.

Von den bisher bekannten Veränderungen scheint nur RV Segneris eine ähnliche Lichtkurve wie R Coronae zu besitzen. Eine gewisse Verwandtschaft besteht ebenfalls auch zwischen R Coronae und X Persei.

Ehe man dazu geht, Hypothesen zur Erklärung der von R Coronae dargestellten nachweisbaren Erscheinungen aufzustellen, ist eine eingehende Untersuchung des Spektrums dieses Sterns dringend nöthig.

## Der planetarische Nebel N. G. K. 7662 in der Andromeda.

 = 6. Oktober 1764 entdeckte W. Herschel mit einem 7 Fußigen Reflektor in der Andromeda eine ziemlich helle, gelbbraunlich glanzstarke Nebel, dessen Durchmesser er zu 15" schätzte. Der Ort des Nebels am Himmel ist für 1860.0: AR = 23° 31' D = + 41° 59'. Der Nebel erschien in der Helligkeit eines Sterns 7.8 Größe. Längst hat ihn später wieder beobachtet und schätzte in seinem großen Teleskop, daß er einen kontrast Kern besitzt und zwei ovale Ringe trägt. Er sah ferner die ringförmige Gestaltung als geringe Struktur auf. Derselbe sah im Zentrum des Nebels einen Stern 15. Größe und hat denselben mit einem anderen Stern 13. Größe mikrometrisch verbunden. Das Spektrum des Nebels zeigt 4 Galaxies.

Dieser Nebel ist Gegenstand mehrjähriger Untersuchungen von Prof. Barnard am 10 Fußigen Reflektor der Yerkes Sternwarte gewesen, über welche er nachher berichtet.

Im 4 Fußigen Seiter des großen Reflektors zeigt sich der Nebel als

Stern 5. oder 5.5 Größe und von einem anderen Stern nur durch eine geringe Verwaschenheit des Bildes unterschieden. Im großen Reflektor ist er dagegen bei guten Luftverhältnissen ein sehr schönes Objekt, nämlich aus einem elliptischen Scheibe mit ziemlich scharfem Rande, mit einem an mehreren Stellen unterbrochenen hellen Ringe von bläulich-grünlicher Farbe, während die ganze Nebelscheibe oft schwach glänzend erscheint. Das Innere des Ringes ist fast vollständig nicht schwarz und im Zentrum erscheint gewöhnlich ein schwacher sternähnlicher Kern, der however hellgelblich ist, meist aber schwach und undeutlich farblos.

Ein Sternchen 15.5 oder 16. Größe zeigt sich ganz im äußeren Rande der Scheibe. Schon bald nachdem Prof. Barnard im Jahr 1867 die Beobachtung des Nebels begonnen hatte, vermutete er, daß der kontraste Kern in Helligkeit veränderlich sei. Vertrat mit dem veränderlichen Aussehen, welches die mit Nebel umgebener Stern zeigt, wenn Mondlicht oder unruhige Luft herrscht, hat er die Ansicht angewandt, um keinen Täuschung zu unterliegen, schließlich aber gelangte er zu der bestimmten

Übersetzung, daß der zentrale Kern oder Stern des Nebels vollständig ist und zwar in einer Umlänge bis zu 3 Grad-Klassen. Die Periode der Veränderlichkeit schätzte Prof. Barnard auf etwa 28 Tage, die Form der Lichtkurve hat er noch nicht bestimmt, glaubt aber, daß der Kern nur während weniger Tage hell, sonst meist schwach ist. So war am 6. August 1904, als Prof. Barnard zusammen mit Prof. Turner den Nebel beobachtete, der Kern an Helligkeit beträchtlich unsicher, also schwächer als 15. Größe. Bei allen Beobachtungen des Nebels wurde das Okular so eingestellt, daß der Nebel möglichst scharf erschien und dieses ist, wie Prof. Barnard schon früher gefunden, der Fall, wenn das Okular oben ein Viertel engl. Zoll außerhalb von der Stellung sich befindet, in welcher ein Fixstern im schärften erscheint.

Prof. Barnard teilt seine eigenen Aufzeichnungen über die Helligkeit des Korns seit 1897 September 17 bis 1908 Januar 2 mit. Meist war der Kern nur schwach oder gar nicht zu erkennen, selbst bei sehr guter Luft, zu anderen Zeiten erschien er bis zu 12. Größe und von gelblicher Farbe. Wenn er 13 bis 14. Größe war, konnte er mit Leichtigkeit gesehen werden, selbst bei wolkenigem Himmel. Meist wurde 700- und 480fache Vergrößerung angewandt. Der Nebel erschien genau verschiedenen Versuchen am schärfsten,

wenn das Okular 92 engl. Zoll über die Einstellung auf einen Fixstern hinausgezogen war, der zentrale Kern am schärfsten, wenn es 91 über die Einstellung auf einen Fixstern hinausgezogen wurde, der Kern verhielt sich also in dieser Beziehung ähnlich wie die Nebelscheibe selbst.

Genaue Messungen ergaben für das größten äußeren Durchmesser des Nebels 36.5", des kleinen Durchmesser 25.8". Für die Durchmesser des inneren hellen Ringes 14.34" und 11.24".

In den Jahren 1899 und 1900 hat Prof. Barnard verschiedene Versuche gemacht photographische Nebel zu photographieren, doch waren dieselben wegen der erforderlichen langen Dauer des Exponierens wenig befriedigend. Der in Folge stehende Nebel konnte in keinem Falle so lange exponiert werden, daß alle inneren Partien herauskamen. Der innere helle Ring zeigte sich deutlich und auch die verschiedenen Unterbrechungen derselben, welche am Refraktor gesehen wurden, sind auf der Photographie deutlich, außerdem zeigt bedauerungswürdige Linien, welche von der Instabilität der Röhre gegen den Kern her rühren, die aber am Refraktor nicht zu sehen sind. Auf diesen Photographien zeigt sich auch der innere Kern nicht central sondern merklich nach der äußeren Seite verschoben und die ganze Nebelscheibe sehr ungleich hell.

## Die photographischen Sternkarten

von Johann Palisa und Max Wolf.

(Hess's Tabl. IX.)

 Prof. Max Wolf hat mir durch Zusage von Kopien seiner Aufnahmen des Auffindens und Beobachtens kleiner Planeten, besonders der Lichtschwächeren, so wesentlich erleichtert, daß ich nur einen den vierten Teil der sonst notwendigen Zeit zur Aufstellung benötigte. Dies brachte mich auf den Ge-

danken, daß es vom größten Vorteil für diesen Zweig der Astronomie wäre, wenn die Aufnahmen des Heidelberger photographischen Institutes in einer sehr benutzbaren Form allgemein zugänglich gemacht würden. Dem kann umgekehrt, daß Prof. Wolf gleichfalls die Absicht hatte, später seine Aufnahmen in einer

Karte zusammenzustellen und deshalb mit Fresco auf meinen Vorschlag eingeg. Es hatte sich bei meinen Versuchen gezeigt, daß eine Karte nur dann einen perfekten Wirt besitzt, wenn dieselbe mit Gipsstreifen versehen ist, so daß man diese Streifen die Karte zum Aufheben der Oberteile und der Seiten besitzen kann. Ich hatte nun zunächst den Plan, den Westlichen Aufnahmen Teile von zehn zu zehn Zentimetern in Rektangularen zu entnehmen, aus den Maßstab ein Maßstab gleich einer Doppelgröße zu bringen und mit einem Gipsstreifen zu versehen, welches nicht die allfällige Genauigkeit zu bieten, sondern nur die rasche Orientierung zu ermöglichen bezweckt. Die hohen Herstellungskosten derartiger Karten waren die Ursache, daß ich dieses Projekt fallen ließ und mich einem andern zuwandte, welches darin besteht, die Aufnahmen in ihrer ganzen Ausdehnung und ungebrochen zu besitzen, und schließlich mit einem Gipsstreifen zu versehen. Der Maßstab ist 1" = 30 mm und jede Karte enthält 50 Quadratreue. Die Entfernungsweise der Handlanger Aufnahmen bringt es mit sich, daß sie sich nicht regelmäßig aneinander reihen lassen, wie es z. B. bei den großen mit nationalem Unternehmern der photographischen Himmelskarte der Fall ist. Es wird sich daher zeigen, daß einige Blätter einander stark überdecken.

Prof. Wolf erklärte sich, um den Preis der Blätter nicht billig zu gestalten, gern bereit kostenlos von seinen Aufnahmen selbstverfertigte (Doppelte) mittels Kameras herzustellen, auf welche das Netz mit einer Schneidvorrichtung nach übertragen war. Die Rektangularen in diese sieben Reue sind genau solche, die Deklamations-Karten von entsprechender Krümmung. Zum Zeichen der großen Liebe wurde ein sorgfältig hergestelltes Maßband verwendet, zum Zeichen der kleinen Liebe wurde dasselbe Band

in einen Apparat eingepaßt, in welchem ihm mittels einer Mikrometerschraube beliebige Krümmungen gegeben werden konnten. Die Krümmung der Karten wurde in jedem einzelnen Falle durch Aufheben der Karte bestimmt, die Krümmung der Zwischenräume durch Interpolation. Von einem so erhaltenen Diagramm sollten aus Kopien auf gleich materialienherkunftsgemachte Vorlagen, welche allen Eintragungen mit Bleistift und Krümmungen ohne Verletzung der Karte selbst. Die Bearbeitung des Netzes und die weiteren jedes Blatt charakterisierenden Angaben wären auf der Karte durch Nachdruck anzubringen.

Gegenwärtig ist eine Serie von mehreren Platten mit Netz versehen und die Vervielfältigung in Angriff genommen worden, so daß am Ende Jahr sicher zur Verwendung bereit sein wird.<sup>2)</sup>

Das Unternehmen ist leicht und weil daher die erscheinenden Ausgaben durch die Abnahme der Karte getragen werden können, eröffne ich eine Seitenzahl: Im Gegensatz zu anderen Druckwerken macht hier der Papier den größten Teil der Kosten aus; ich bin daher, um mich vor großem materialien Schaden zu bewahren, nicht in der Lage, eine größere Anzahl herzustellen, als vermutlich die Zahl der selbständigen Exemplare beträgt. Wenn nachträglich erweitert werden sollte, so wird zwar die Herstellung von Abzügen keine Schwierigkeiten machen, weil aber würden die Kosten des Textdrucks bei einer sehr kleinen Anzahl von Karten den Preis sehr erheblich steigern. In diesem Falle bliebe mir übrig, den Text handschriftlich durchzuführen.

Da die Bekleidungsgröße der einzelnen Aufnahmen verschieden ist, so entsprechen auf den verschiedenen Blättern gleich große Blöcke oberhalb derselben.

<sup>2)</sup> Ein Probeblatt kann mittels Stereotypen bei mir (Zahl IX) dieses Heftes des Jahres reproduziert. Druckkosten übernimmt jedoch das Papier und die Druck der Blätter.

nicht gleiche Sterngrößen. Es wäre eine ungenutzte Arbeit, für jedes einzelne Blatt die richtige Größenklasse zu bestimmen und außerdem wäre eine solche Skala wohl kaum für die ganze Karte gültig, weil sich die Sterne der Randgärten anders abheben als Sterne in der Mitte der Karte. Auch aus diesem Grunde habe ich von einer dergleichen Skala von vornherein abgesehen. Zur Orientierung sei bemerkt, daß ich im Durchschnitt am großen Refraktor der Wiener Sternwarte nicht mehr, aber auch nicht weniger sehe, als die Karten enthalten. Sie geben somit ungefähre Sterne bis zur 15. Größe.

Der Preis einer Serie von zwanzig Blättern beträgt 10 Mark. Nach Schluss der Subskription erhöht sich der Preis einer Serie auf 40 Mark. Die Subskription endet mit dem 31. Dezember 1908.

Ich ersuche alle jene Herren, resp. Institute, welche auf diese Karten re-  
belirren, die so bald als möglich, längstens aber bis 31. Dezember zu

besuchen und, um mir Mitteilungen zu versenden, das unfertige Blatt im vorstehenden anzuwenden. Weiter ersuche ich sie, nach Erhalt der Karten mit den richtigen Eintrag zu versehen und gleichzeitig beizufügen, ob sie die Absicht haben, weitere Serien zu beziehen. Diese Mitteilungen werden nach delivery über die Höhe der Anlage ankommen. Es dürfen im Jahre zwei, höchstens drei Serien fertiggestellt werden können.

Das Untersuchende ist, wie aus dem eingangs Erwähnten hervorgeht, ein gemeinsames Untersuchen von Prof. Wolf und mir. Wir werden ich allein diese Aufzeichnung der Subskription untersuchen, so geschickt es der-  
wegen, weil ich den meisten Teil der Arbeit und die Übernahme der Subskriptionsanmeldungen und die Verwaltung der Karten übernommen habe.  
Wien, den 18. Mai 1908

Johann Palisa,  
Wien, XVIII. Türkenstrasse 27 (Glennecker)

## Vermischte Nachrichten.

Die Bahn des spektroskopischen Doppelsternes « Andromedae » (von Robert H. Baker einer genauere Untersuchung unterzogen worden<sup>1)</sup>. Dieser Sternwardstrophischer Doppelstern von V. M. Skjeller (erkannt<sup>2)</sup> und seine Beobachtung ergab, das die Umlaufzeit etwa 100 Tage beträgt und die Bahn sehr exzentrisch ist. Letzteres hat später vorläufige Bahnrechnungen des Sternes bestätigt<sup>3)</sup>. Das Spektrum des selben gehört zum Vogelschen Typus Ia, und ist in der Harvard-Klassifikation unter VIII<sup>2</sup> eingereiht. Die Bahnbestimmung Bakers beruht auf Messungen der Verschiebungen von H. Linien, welche dem Kalium, Wasserstoff, Strontium, Kohlenstoff und Magnesium

angehören. Es wurden 64 Platten des Spektrums mit dem am 10. Juli 1907 « Korte-Memorial-Refraktor » angebrachten Heliostatischen Spektrographen behufs Bahnbestimmung gewonnen. Derselbe stammte aus der Zeit von 1903 August 10 bis 1905 Februar 18. Die Geschwindigkeitskurve des Sternes nach der Aufnahmen am Allegheny-Observatoriums mit einem ungenaueren Weise mit denjenigen von Lowell, Lick- und Potsdam-Observatorium abgelesen worden ist. Die regelmäßigen Bahnrechnungen sind Periode (P) = 96.61 Tage, Exzentrizität der Bahn (e) = 0.525, Zeit des Periastrons (T) = 1907 Nov 2.60, Positionswinkel des Periastrons = 76.21°, Geschwindigkeit des Systems relativ zur Sonne (v) = 11.55 km, Halbmesser der Bahn mindestens = 34.750-600 km

<sup>1)</sup> Publ. of the Allegheny Observatory Vol. 1, Nr. 2.

<sup>2)</sup> Lowell-Observatory Bulletin, 1904, Nr. 11.

<sup>3)</sup> Astr. Nachr. 1907, 2, 716, 327.



# Astronomischer Kalender für den Monat Oktober 1908.

Sonne					Mond				
Mittlere Berliner Mätg.					Mittlere Berliner Mätg.				
Jahr	Tag	Läng. N. 2. — W. 2.	Rektaszension	Declination	Rektaszension	Declination	Mond in Rektion		
		h m s	h m s	° ' "	h m s	° ' "	h m		
1	— 00 34 06	19 34 49 50	— 0 2 18 4	88 37 41 38	— 31 37 49	4 38 1			
2	20 33 17	19 33 38 27	0 38 33 2	17 54 55 36	37 33 33 6	5 36 6			
3	30 31 08	19 30 9 53	0 55 47 9	18 54 38 56	33 55 48 4	6 35 1			
4	40 28 44	19 26 48 35	1 12 40 4	19 54 30 00	29 5 58 6	7 33 9			
5	50 26 09	19 22 36 38	1 29 4 4	20 54 19 11	26 48 15 6	8 30 1			
6	60 23 40	19 18 9 28	1 46 18 6	21 54 49 52	27 3 1 5	9 28 1			
7	70 21 13	19 13 52 27	2 03 17 5	22 55 43 19	23 18 47 6	10 25 4			
8	80 18 47	19 9 40 58	2 20 16 6	23 56 31 36	18 36 5 5	11 23 6			
9	90 16 16	19 5 48 7 0	2 37 1 6	24 56 55 4	— 9 54 5 5	12 20 6			
10	10 13 44	19 1 40 14	2 54 55 1	1 56 37 58	+ 9 38 37 6	13 18 6			
11	12 11 10	19 0 30 53	3 12 38 9	2 57 27 11	20 58 58 6	14 16 6			
12	20 8 41	18 59 9 28	3 30 30 1	3 58 33 28	16 48 35 3	15 14 6			
13	30 6 10	19 57 38 28	3 48 47 4	4 59 50 5	12 37 35 6	16 12 6			
14	40 3 38	19 55 36 35	4 6 57 7	5 59 58 6	8 26 58 6	17 10 6			
15	50 1 12	19 53 11 55	4 25 16 6	6 59 49 19	3 16 36 9	18 8 6			
16	60 0 28	19 50 58 92	4 43 43 5	7 59 38 10	0 4 35 3	19 7 6			
17	70 0 41	19 48 38 18	5 1 46 1	8 59 45 13	5 8 59 1	20 6 6			
18	80 0 44	19 46 18 6	5 20 17 7	9 59 49 19	11 18 37 7	21 6 6			
19	90 0 58	19 43 58 12	5 38 39 6	10 59 58 10	16 58 58 6	22 6 6			
20	10 1 12	19 41 38 12	5 57 4 1	11 59 38 10	22 38 18 6	23 6 6			
21	20 1 30	19 39 18 18	6 16 28 7	12 59 17 13	28 38 27 6	24 6 6			
22	30 1 48	19 36 58 18	6 35 59 7	13 58 56 6	34 38 36 6	25 6 6			
23	40 2 10	19 34 38 18	6 55 30 1	14 58 35 10	+ 1 3 6 6	26 6 6			
24	50 2 31	19 32 18 18	7 15 1 6	15 58 14 13	— 1 37 48 6	27 6 6			
25	60 2 56	19 29 58 18	7 34 3 1	16 57 53 16	— 6 58 1 1	—			
26	70 3 14	19 27 38 18	7 53 25 6	17 57 32 19	12 58 19 6	0 4 6			
27	80 3 35	19 25 18 18	8 12 47 6	18 57 11 22	18 58 48 6	1 2 6			
28	90 3 56	19 22 58 18	8 32 9 1	19 56 50 25	24 58 17 6	2 0 6			
29	10 4 20	19 20 38 18	8 51 31 6	20 56 29 28	30 58 46 6	3 0 6			
30	11 4 44	19 18 18 18	9 11 3 6	21 56 8 31	36 58 15 6	4 0 6			
31	12 4 48	19 15 58 18	— 11 3 6 6	22 55 57 34	— 37 48 43 6	5 0 6			

## Planetenkonstellationen 1908.

Oktober	Tag	Planetenkonstellationen
1	10	Merkur in größter Süd elongation 16° 30'.
2	11	Uranus in Opposition mit der Sonne.
3	12	Venus in Konjunktion mit dem Monde. Mars 5° 52' alt.
4	13	Saturn in Konjunktion mit dem Monde.
5	14	Venus in aufsteigendem Knoten.
6	15	Nepheus in Opposition mit der Sonne.
7	16	Merkur in größter Nord elongation 16° 30'.
8	17	Venus in Konjunktion mit Jupiter. Mars 5° 38' alt.
9	18	Jupiter in Konjunktion mit dem Monde.
10	19	Venus in Konjunktion mit dem Monde.
11	20	Mars in Konjunktion mit dem Monde.
12	21	Merkur in Konjunktion mit dem Monde.
13	22	Merkur in größter Konjunktion mit der Sonne.
14	23	Merkur in aufsteigendem Knoten.



Stellungen der Jupitermonde im October 1908.



Stellungen zum 12<sup>ten</sup> für den Anblick von astronomischen Fernrohren

Tag	West.	Ost.
1	10	10
2	4	10
3	4	10
4	4	10
5	4	10
6	4	10
7	4	10
8	4	10
9	4	10
10	4	10
11	4	10
12	4	10
13	4	10
14	4	10
15	4	10
16	4	10
17	4	10
18	4	10
19	4	10
20	4	10
21	4	10
22	4	10
23	4	10
24	4	10
25	4	10
26	4	10
27	4	10
28	4	10
29	4	10
30	4	10
31	4	10

**Ercheinungen der Jupitersmonde.** Das stündliche Aussehen über die Erscheinungen der Jupitersmonde bestehen nicht auf andere Zeit von Greenwich. Die Tabellen sind der Reihenfolge eines Abtandes von Jupiter nach ab I bis IV bezeichent. Die vier größten Figuren zeigen die Stellung jedes Flondes mit Bezug auf den Jupiter für den Augenblick der Verlesungung ist oder der Wiedererscheinung ist. Ist r nicht angegeben, so kann der Ansicht aus dem Situation nicht beobachtet werden. Ferner befinden bei den nachfolgenden Zeitangaben:

- Ec D des Verschwindes des Trabanten im Schatten des Jupiter.
- Ec E des Austritts des Trabanten aus dem Schatten des Jupiter.
- Co D des Verschwindes des Trabanten hinter der Jupiterscheibe.
- Co E des Wiederaustrittes endlich neben der Jupiterscheibe.
- Tr I des Eintritt des Trabanten vor der Jupiterscheibe.
- Tr E des Austritts des Trabanten aus der Jupiterscheibe.
- Sk I des Eintritt des Trabanten vor die Jupiterscheibe.
- Sk E des Austritts des Trabanten hinter aus der Jupiterscheibe.

Es sind aus denjenigen Erscheinungen der Jupitersmonde aufgeführt, welche sich ereignen, wenn Jupiter zu Greenwich über und die Sonne mehr dem Horizonte steht. Um die Momente dieser Erscheinungen nach zeitlicherpölicher Zeit zu finden, hat man nur nötig,  $\lambda$  zu dem angegebenen Zeitpunkten zu addieren.

Oktober 1. II Co E 10<sup>h</sup> 27<sup>m</sup>. Oktober 2. III Ec E 20<sup>h</sup> 21<sup>m</sup> 30<sup>s</sup>. I Sk I 10<sup>h</sup> 20<sup>m</sup>. Oktober 3. I Co D 14<sup>h</sup> 12<sup>m</sup> 10<sup>s</sup>. I Co E 21<sup>h</sup> 10<sup>m</sup>. Oktober 4. I Tr E 20<sup>h</sup> 10<sup>m</sup>. Oktober 5. II Ec Co 14<sup>h</sup> 21<sup>m</sup> 10<sup>s</sup>. Oktober 6. II Tr E 14<sup>h</sup> 10<sup>m</sup>. I Co E 10<sup>h</sup> 42<sup>m</sup> 20<sup>s</sup>. Oktober 7. I Tr I 14<sup>h</sup> 41<sup>m</sup>. I Co E 10<sup>h</sup> 20<sup>m</sup>. I Tr E 21<sup>h</sup> 10<sup>m</sup>. Oktober 8. I Co E 14<sup>h</sup> 21<sup>m</sup>. Oktober 9. III Tr E 10<sup>h</sup> 20<sup>m</sup>. Oktober 10. II Ec Co 17<sup>h</sup> 27<sup>m</sup> 30<sup>s</sup>. Oktober 11. II Tr I 14<sup>h</sup> 11<sup>m</sup>. II Sk E 11<sup>h</sup> 10<sup>m</sup>. II Tr E 21<sup>h</sup> 10<sup>m</sup>. Oktober 12. I Sk I 21<sup>h</sup> 41<sup>m</sup>. I Tr I 10<sup>h</sup> 20<sup>m</sup>. I Sk E 10<sup>h</sup> 10<sup>m</sup>. Oktober 13. I Co E 10<sup>h</sup> 10<sup>m</sup>. Oktober 14. III Sk E 10<sup>h</sup> 10<sup>m</sup>. II Tr I 17<sup>h</sup> 20<sup>m</sup>. Oktober 15. IV Co E 14<sup>h</sup> 10<sup>m</sup>. Oktober 16. I Sk I 21<sup>h</sup> 41<sup>m</sup>. I Tr I 10<sup>h</sup> 20<sup>m</sup>. II Tr I 10<sup>h</sup> 20<sup>m</sup>. Oktober 17. I Sk I 21<sup>h</sup> 41<sup>m</sup>. I Tr I 10<sup>h</sup> 20<sup>m</sup>. Oktober 18. II Co E 14<sup>h</sup> 10<sup>m</sup>. I Ec Co 14<sup>h</sup> 10<sup>m</sup> 10<sup>s</sup>. I Co E 10<sup>h</sup> 27<sup>m</sup>. Oktober 19. I Sk E 21<sup>h</sup> 41<sup>m</sup>. I Tr I 10<sup>h</sup> 20<sup>m</sup>. II Sk I 21<sup>h</sup> 41<sup>m</sup>. Oktober 20. IV Tr I 10<sup>h</sup> 20<sup>m</sup>. Oktober 21. III Co E 10<sup>h</sup> 27<sup>m</sup>. II Sk I 21<sup>h</sup> 41<sup>m</sup>.

## Stellungen der Saturnsmonde. (Erklärung S. 30)

Zeitraum der folgenden Eintragen im Oktober 1888.

Tethys. Oktober 1 12<sup>h</sup> 15<sup>m</sup>; Oktober 2 12<sup>h</sup> 15<sup>m</sup>; Oktober 3 12<sup>h</sup> 15<sup>m</sup>; Oktober 4 12<sup>h</sup> 15<sup>m</sup>; Oktober 5 12<sup>h</sup> 15<sup>m</sup>; Oktober 6 12<sup>h</sup> 15<sup>m</sup>; Oktober 7 12<sup>h</sup> 15<sup>m</sup>; Oktober 8 12<sup>h</sup> 15<sup>m</sup>; Oktober 9 12<sup>h</sup> 15<sup>m</sup>; Oktober 10 12<sup>h</sup> 15<sup>m</sup>; Oktober 11 12<sup>h</sup> 15<sup>m</sup>; Oktober 12 12<sup>h</sup> 15<sup>m</sup>; Oktober 13 12<sup>h</sup> 15<sup>m</sup>; Oktober 14 12<sup>h</sup> 15<sup>m</sup>; Oktober 15 12<sup>h</sup> 15<sup>m</sup>; Oktober 16 12<sup>h</sup> 15<sup>m</sup>; Oktober 17 12<sup>h</sup> 15<sup>m</sup>; Oktober 18 12<sup>h</sup> 15<sup>m</sup>; Oktober 19 12<sup>h</sup> 15<sup>m</sup>; Oktober 20 12<sup>h</sup> 15<sup>m</sup>; Oktober 21 12<sup>h</sup> 15<sup>m</sup>; Oktober 22 12<sup>h</sup> 15<sup>m</sup>; Oktober 23 12<sup>h</sup> 15<sup>m</sup>; Oktober 24 12<sup>h</sup> 15<sup>m</sup>; Oktober 25 12<sup>h</sup> 15<sup>m</sup>; Oktober 26 12<sup>h</sup> 15<sup>m</sup>; Oktober 27 12<sup>h</sup> 15<sup>m</sup>; Oktober 28 12<sup>h</sup> 15<sup>m</sup>; Oktober 29 12<sup>h</sup> 15<sup>m</sup>; Oktober 30 12<sup>h</sup> 15<sup>m</sup>.

Mimas. Oktober 1 12<sup>h</sup> 15<sup>m</sup>; Oktober 2 12<sup>h</sup> 15<sup>m</sup>; Oktober 3 12<sup>h</sup> 15<sup>m</sup>; Oktober 4 12<sup>h</sup> 15<sup>m</sup>; Oktober 5 12<sup>h</sup> 15<sup>m</sup>; Oktober 6 12<sup>h</sup> 15<sup>m</sup>; Oktober 7 12<sup>h</sup> 15<sup>m</sup>; Oktober 8 12<sup>h</sup> 15<sup>m</sup>; Oktober 9 12<sup>h</sup> 15<sup>m</sup>; Oktober 10 12<sup>h</sup> 15<sup>m</sup>; Oktober 11 12<sup>h</sup> 15<sup>m</sup>; Oktober 12 12<sup>h</sup> 15<sup>m</sup>; Oktober 13 12<sup>h</sup> 15<sup>m</sup>; Oktober 14 12<sup>h</sup> 15<sup>m</sup>; Oktober 15 12<sup>h</sup> 15<sup>m</sup>; Oktober 16 12<sup>h</sup> 15<sup>m</sup>; Oktober 17 12<sup>h</sup> 15<sup>m</sup>; Oktober 18 12<sup>h</sup> 15<sup>m</sup>; Oktober 19 12<sup>h</sup> 15<sup>m</sup>; Oktober 20 12<sup>h</sup> 15<sup>m</sup>; Oktober 21 12<sup>h</sup> 15<sup>m</sup>; Oktober 22 12<sup>h</sup> 15<sup>m</sup>; Oktober 23 12<sup>h</sup> 15<sup>m</sup>; Oktober 24 12<sup>h</sup> 15<sup>m</sup>; Oktober 25 12<sup>h</sup> 15<sup>m</sup>; Oktober 26 12<sup>h</sup> 15<sup>m</sup>; Oktober 27 12<sup>h</sup> 15<sup>m</sup>; Oktober 28 12<sup>h</sup> 15<sup>m</sup>; Oktober 29 12<sup>h</sup> 15<sup>m</sup>; Oktober 30 12<sup>h</sup> 15<sup>m</sup>.

Encel. Oktober 1 12<sup>h</sup> 15<sup>m</sup>; Oktober 2 12<sup>h</sup> 15<sup>m</sup>; Oktober 3 12<sup>h</sup> 15<sup>m</sup>; Oktober 4 12<sup>h</sup> 15<sup>m</sup>; Oktober 5 12<sup>h</sup> 15<sup>m</sup>; Oktober 6 12<sup>h</sup> 15<sup>m</sup>; Oktober 7 12<sup>h</sup> 15<sup>m</sup>; Oktober 8 12<sup>h</sup> 15<sup>m</sup>; Oktober 9 12<sup>h</sup> 15<sup>m</sup>; Oktober 10 12<sup>h</sup> 15<sup>m</sup>; Oktober 11 12<sup>h</sup> 15<sup>m</sup>; Oktober 12 12<sup>h</sup> 15<sup>m</sup>; Oktober 13 12<sup>h</sup> 15<sup>m</sup>; Oktober 14 12<sup>h</sup> 15<sup>m</sup>; Oktober 15 12<sup>h</sup> 15<sup>m</sup>; Oktober 16 12<sup>h</sup> 15<sup>m</sup>; Oktober 17 12<sup>h</sup> 15<sup>m</sup>; Oktober 18 12<sup>h</sup> 15<sup>m</sup>; Oktober 19 12<sup>h</sup> 15<sup>m</sup>; Oktober 20 12<sup>h</sup> 15<sup>m</sup>; Oktober 21 12<sup>h</sup> 15<sup>m</sup>; Oktober 22 12<sup>h</sup> 15<sup>m</sup>; Oktober 23 12<sup>h</sup> 15<sup>m</sup>; Oktober 24 12<sup>h</sup> 15<sup>m</sup>; Oktober 25 12<sup>h</sup> 15<sup>m</sup>; Oktober 26 12<sup>h</sup> 15<sup>m</sup>; Oktober 27 12<sup>h</sup> 15<sup>m</sup>; Oktober 28 12<sup>h</sup> 15<sup>m</sup>; Oktober 29 12<sup>h</sup> 15<sup>m</sup>; Oktober 30 12<sup>h</sup> 15<sup>m</sup>.

Dione. Oktober 1 12<sup>h</sup> 15<sup>m</sup>; Oktober 2 12<sup>h</sup> 15<sup>m</sup>; Oktober 3 12<sup>h</sup> 15<sup>m</sup>; Oktober 4 12<sup>h</sup> 15<sup>m</sup>; Oktober 5 12<sup>h</sup> 15<sup>m</sup>; Oktober 6 12<sup>h</sup> 15<sup>m</sup>; Oktober 7 12<sup>h</sup> 15<sup>m</sup>; Oktober 8 12<sup>h</sup> 15<sup>m</sup>; Oktober 9 12<sup>h</sup> 15<sup>m</sup>; Oktober 10 12<sup>h</sup> 15<sup>m</sup>; Oktober 11 12<sup>h</sup> 15<sup>m</sup>; Oktober 12 12<sup>h</sup> 15<sup>m</sup>; Oktober 13 12<sup>h</sup> 15<sup>m</sup>; Oktober 14 12<sup>h</sup> 15<sup>m</sup>; Oktober 15 12<sup>h</sup> 15<sup>m</sup>; Oktober 16 12<sup>h</sup> 15<sup>m</sup>; Oktober 17 12<sup>h</sup> 15<sup>m</sup>; Oktober 18 12<sup>h</sup> 15<sup>m</sup>; Oktober 19 12<sup>h</sup> 15<sup>m</sup>; Oktober 20 12<sup>h</sup> 15<sup>m</sup>; Oktober 21 12<sup>h</sup> 15<sup>m</sup>; Oktober 22 12<sup>h</sup> 15<sup>m</sup>; Oktober 23 12<sup>h</sup> 15<sup>m</sup>; Oktober 24 12<sup>h</sup> 15<sup>m</sup>; Oktober 25 12<sup>h</sup> 15<sup>m</sup>; Oktober 26 12<sup>h</sup> 15<sup>m</sup>; Oktober 27 12<sup>h</sup> 15<sup>m</sup>; Oktober 28 12<sup>h</sup> 15<sup>m</sup>; Oktober 29 12<sup>h</sup> 15<sup>m</sup>; Oktober 30 12<sup>h</sup> 15<sup>m</sup>.

Japetus. Oktober 1 12<sup>h</sup> 15<sup>m</sup>; Oktober 2 12<sup>h</sup> 15<sup>m</sup>; Oktober 3 12<sup>h</sup> 15<sup>m</sup>; Oktober 4 12<sup>h</sup> 15<sup>m</sup>; Oktober 5 12<sup>h</sup> 15<sup>m</sup>; Oktober 6 12<sup>h</sup> 15<sup>m</sup>; Oktober 7 12<sup>h</sup> 15<sup>m</sup>; Oktober 8 12<sup>h</sup> 15<sup>m</sup>; Oktober 9 12<sup>h</sup> 15<sup>m</sup>; Oktober 10 12<sup>h</sup> 15<sup>m</sup>; Oktober 11 12<sup>h</sup> 15<sup>m</sup>; Oktober 12 12<sup>h</sup> 15<sup>m</sup>; Oktober 13 12<sup>h</sup> 15<sup>m</sup>; Oktober 14 12<sup>h</sup> 15<sup>m</sup>; Oktober 15 12<sup>h</sup> 15<sup>m</sup>; Oktober 16 12<sup>h</sup> 15<sup>m</sup>; Oktober 17 12<sup>h</sup> 15<sup>m</sup>; Oktober 18 12<sup>h</sup> 15<sup>m</sup>; Oktober 19 12<sup>h</sup> 15<sup>m</sup>; Oktober 20 12<sup>h</sup> 15<sup>m</sup>; Oktober 21 12<sup>h</sup> 15<sup>m</sup>; Oktober 22 12<sup>h</sup> 15<sup>m</sup>; Oktober 23 12<sup>h</sup> 15<sup>m</sup>; Oktober 24 12<sup>h</sup> 15<sup>m</sup>; Oktober 25 12<sup>h</sup> 15<sup>m</sup>; Oktober 26 12<sup>h</sup> 15<sup>m</sup>; Oktober 27 12<sup>h</sup> 15<sup>m</sup>; Oktober 28 12<sup>h</sup> 15<sup>m</sup>; Oktober 29 12<sup>h</sup> 15<sup>m</sup>; Oktober 30 12<sup>h</sup> 15<sup>m</sup>.

— 192 —

## PHOTOGRAPHISCHE STERNKARTEN



100% PAPER - 100% RECYCLED





**SIRIUS.**

**Zeitschrift für populäre Astronomie.**

**Centralorgan für alle Freunde und Förderer der Himmelsstrasse.**

## References

### Unterstützung, Betreuung, Fortbildung und wissenschaftliche Hilfskräfte

and Prof. Dr. Hermann J. Ebel in Eds.

September 2004

«Wissen und Erleben sind die Frucht und die  
Erleuchtung der Bewusstheit. — Karma»

Robert M. Howard | Fall — Martin M. Lee

Yorine van EDWARD HEINRICH MAYOR in Lelystad.

INHALT: Neue Insektenarten Spinnweben. S. 183 — Tiergeographische Notizen über große Nordische Käpen auf der Erde. S. 185 — Der Bienenstock von Arica in Bolivien. S. 191 — Die Bedeutung der Sonnenstrahlung vom 1. Januar 1894 auf der Phänologie im Großen Ozean. S. 193 — Die Bedeutung der Sonne auf Pflanzenleben und elementare Zoologie. S. 204 — Die Vergleichung von Mundschleimdrüsen, S. 206 — Die Zoogeographie der Meeres-Flaunen. S. 208. — Beobachtungen des Janus. S. 209. — Der häufigste Falschfänger der Gattungen auf Meeres-Weiden (Pteris, Vitis). S. 210 — Verschiedene Nachrichten. S. 211 — Auswärtiger Nekrosen. S. 212 — Mitteilungen der Japaner. S. 213 — Nachrichten der Japaner. S. 214. — Mitteilungen der Japaner. S. 215.

## Neuere kontroversielle Spekulationen



**E**s ist eine bemerkenswerte Tatsache, daß die meisten Forschungen auf astrophysischen Gebieten auch den kosmogonischen Spielräumen, die gesamte Zeit hindurch sehr wenig Ansätze gewonnen, erhöhte Bedeutung, gewissenmaßen neues Leben eingehaucht haben. Der Forscher von heute wagt sich an vielen Stellen fast gezwungen, von den augenblicklichen Zuständen der Menschkörper auch auf deren Vergangenheit und ebenso auf die Zukunft derselben den Blick zu wenden. Man kann sich z. B. über die Stellung der Sonne nicht gezwungen aussprechen ohne deren Verhalten in der Vergangenheit wie in der Zukunft zu erwähnen. Zu demjenigen, deren kosmogonische Ausläuferung, Entstehung von

diesem, gehört der schwedische Physiker Svante Arrhenius, und wir wissen daher an dieser Stelle auf die Ausführungen, welche er in seiner (jüngsten Schrift) veröffentlichte, etwas näher einzugehen.

Arrhenius betont zunächst, daß, weil für die Festerne ein gewisser Zentralkörper, um den sie sich bewegen, nicht vorhanden ist, sondern die Eigenbewegungen der einzelnen Sterne nur teilweise unabhängig strichförmig, es nicht unwahrscheinlich sei, daß unsere Sonne im Laufe der Zeit mit einem anderen Fixstern oder einem Nebelhaufen zusammen-

<sup>2</sup> Die Vorstellung vom Weltgebäude im Wandel der Zeiten. Das Werden des Weltens. Neue Fiktion. Von Jeanette Arden. Frankfurt 1988. Akademische Verlagsgesellschaft.

troffen würde. Bei dieser Zusammenstoß mit einem andern ebenso großen, leuchtenden Stern sich ereigne, müßte, wie es sagt, die Sonne etwa 100 000 Billionen Jahre vorwärts wandern. Die Zeit für eine ungehörte Wanderung der Sonne werde aber dadurch bedenkend verkürzt, daß vermutlich eine beträchtlich größere Anzahl erloschener als leuchtender Sonnen im Raume zwischen Äthiopien und Sirius liegt. Aber die Sonne in einem der Nebelflocken häufigsten, deren sehr viele am Himmel sind und von denen viele große Räume des Sternenhimmels einnehmen, im Gegensatz zu den Sternen, deren Ausdehnung im Raume verhältnismäßig verschwindend klein zu nennen ist. «Waffels», Elliot Arkenau sagt, «wird geglaubt, in einem solchen Nebelflocke würde die Sonne in ihrem Lichte geblendet und dadurch zum Erglühen gebracht werden. Sie würde ein sogenannter roter Stern werden, wie derjenige, der im Jahre 1941 im Perseus aufleuchtete. Aus folgendem geht klar hervor, daß dies unrichtig ist. Nach Laplace Vorstellung bildet die Masse der Sonnenspirale früher einen dazwischen Nebel, der schonbekannt ausgebreitet war und sich bis zur Nipponhöhe erstreckte. Nimmt man die Dichte dieser Schale im Durchschnitt nicht größer als das Zehnfache des gegenwärtigen Sonnendurchschnitts an, so war die Dichte des Nebels trotzdem durchschnittlich 420 Millionen mal geringer als die der Sonne. Kühlt man die Sonne mit ihrer relativen Geschwindigkeit von 26,3 km in der Sekunde in einem solchen Nebel, so würde sie im Laufe eines Jahres keine größere Masse als 2 Millionenstel ihres gegenwärtigen Gewichtes zu durchlaufen haben. Ihre Geschwindigkeit würde sich entsprechend vermindern. Das würde eine Erhöhung der äußeren Temperatur der Sonne um etwa  $0,2^{\circ}$  verursachen — vorausgesetzt, daß ihr spezifische Wärme der des Wassers gleicht. Diese ist verhältnismäßig höher, denn im allgemeinen nimmt die spezifische Wärme der Körper

mit der Temperatur stark zu. Beschleunigt sich die Temperaturerhöhung auch hauptsächlich auf die äußeren Sonnenstrichen und die dazwischenliegenden Quasarsen der Nebelflocke, so könnte sie sich doch nur sehr langsam entwickeln und es würde durchaus nicht zum plötzlichen Aufglühen, wie bei der Bildung neuer Sterne, kommen. Übrigens wäre eine Steigerung des Wärmeabstrahlungsvermögens der Sonne um 10 % genügend, um ihre weitere Entwicklung zu verhindern. Eine so geringe Veränderung der Helligkeit dieser Sonne würde kaum auffallen. Außerdem würde der Nebel in den äußeren Teilen bedeutend dünner sein, als die angegebenen mittlere Zahl.

Nur in dem Falle, daß die Sonne an einem andern Stern vorbeie oder vollständig in die mittlere kondensierten Teile des Nebels geriet, würde sie als neuer Stern mit einer Leuchtkraft aufleuchten, die mehrere hundert- oder tausendmal größer sein würde, als sie jetzt war oder werden kann wird.

Dagegen scheitert die Nebel Zusammenstöße zwischen Sonnen beschleunigen zu können. Es sammelt sich in ihnen nämlich sehr viel Material, das von allen Seiten und Himmelsrichtungen zu sie strömt. Meteoriten, Kometen, vor allem kosmischer Staub. Diese Himmelskörper haben solche geringe Masse, daß sie im Nebel stecken bleiben und dort schließlich mit der auf einen kondensierten Nebelmassenzu größerem Körper anschmelzen, die dann infolge von Kompression als kleine Sterne aufglühen. Obwohl die wandernde Sonne in der Nähe und kommt es zu einem Zusammenstoß, so werden von ihr große Massen ausgesaugt, die ihre Geschwindigkeit vermindern und ihren Widerstand gegen die Bewegung im Nebel vermindern. Auf diese Weise oder auch durch eine lang, andererseits Wanderung in den wärmegeleiteten Nebels können die Sonnen von letzteren eingefangen werden. Es besteht



also für uns in einem solchen Nebel gestaute Sonne viel größere Wahrscheinlichkeit, mit einer andern dort eingekerkerten zu kollidieren, als wenn sie sich auf ihrer Bahn durch den fast leeren Raum befindet.

Aus all diesen Gründen muß man die Zeit der letzten Wanderung der Sonne durch die Himmelsräume beiderseits bemessen; ein Hundertstel der vorher berechneten, also etwa 1000 Billionen Jahre, dürfte nicht zuviel sein. Natürlich ist diese Ziffer ganz ungenau und soll nur die ungefähre Größenordnung der Lebensdauer eines Himmelskörpers angeben.

Wir haben diese Zeitbestimmung für viel zu hoch gegriffen. Wenn man die Zahl ähnlicher sichtbarer Fixsterne auf 100 Billionen einschätzt und annimmt, daß von ihnen alle 10 Jahre nur ein einziger durch Zusammenstoß mit einem andern aufhört (was nach den jüngsten Erfahrungen über das Aussehen neuer Sterne zu wenig gegriffen ist), so würde unter sonst gleichen Umständen die Wahrscheinlichkeit der letzten Wanderung für eine bestimmte Stern, wie etwa unsere Sonne, sich nur auf 1000 Billionen Jahre strecken, im besten Falle aber auf ebensoviel Billionen Jahre.

Was nach dem Zusammenstoß zweier Weltkörper, denen jeder unsere Sonne an Größe gleich ist, eintreten wird, würde nach Aristoteles folgendes sein: »Es dringen zwei gewaltige Gasströme aus dem aufeinander stößenden Sonnen hervor und bilden, wie in anderer Weise im Raume beobachtet, eine doppelte Spirale, die charakteristische Form der Nebelwolke. Die austretenden Massen bestehen hauptsächlich aus dem schwer kondensierbaren Gasen, besonders Wasser und Wasserstoffgas, sowie aus kleinen Partikeln von leichter zu verdichtenden Stoffen, die ähnlich bei der Entstehung des so große Geschwindigkeit erhalten haben, daß sie sich um dem

Reichte der nachbaren Ausdehnung der Zentralmasse zu entfernen vermöchten. Dabei haben sie ihre Geschwindigkeit verloren und schweben sich daher während langer Zeiten in fast unveränderter Lage, ohne ihre Spiralkurve zu verlieren. Die mit geringerer Kraft ausgestoßenen Massen dagegen wenden sich zur Expansionsstelle zurück und begegnen auf ihrem Wege andern, später ausgeworfenen, besonders Gasen. Alle diese Materie bildet schließlich um den Zentralkörper, der zwei schon hellen Stellen (aus den durch den Stoß in heftige Rotation geraten war, diese weit ausgebreiteten, von leeren und dünnen Partikeln durchsetzten Gaswolken) ein weiteres nach innen zu befindet sich der heftig glühende Zentralkörper, der nach dem Maße des Volumens bedeutend vergrößert hat und nach außen allmählich in die um ihn wirbelnde Gasmasse übergeht.

Gerade so dachte sich Laplace den Nebelfleck, aus dem das Sonnensystem hervorgegangen ist. Passen wir die Laplacesche Darstellung mit den obigen Abbildungen des wirklich beobachteten Vorstößen an, so erhalten wir ein Bild davon, wie in dem Nebel die Entwicklung eines Sonnensystems von neuem begonnen kann. In dieser neuen Darstellung sind, wie wir sehen, die Lehren von Kelvin und Laplace in gewisser Weise verschmolzen.

Der größte Geschwindigkeit besitzt der hellste Stern Arkturus, der sich in der Sekunde etwa 400 km vorwärts bewegt. Er ist etwa 260 Lichtjahren von der Sonne entfernt und sendet ein dem Sonnenlicht sehr ähnliches Licht aus. Er ist demnach ungeheuer groß, so man bei berechnet, daß er wohl 30000 mal größer als die Sonne sein mag. Man kann sich die Folgen eines Zusammenstoßes von zwei derartigen Riesensonne mit der enormen Geschwindigkeit des Arkturus vorstellen. Die ausgestoßenen Gasmassen würden sich in einem Wirbel ausbreiten, der sich vorwärts abgetragen nach allen Richtungen in fast der gleichen Ebene

erstrecken würde. Man könnte sich denken, daß die Milchstraße verläuft auf dem Wege entstehen ist, wenn hierbei nicht die Schwingungslinie wäre, daß wir innerhalb dieses Systems keinen Zentralkörper kennen. In einem solchen Kosmosbel würde sich im Verlaufe von Jahrmillionen große Mengen von kleineren Sternen ansammeln haben, die wiederum zusammenstoßen und die Entwicklung neuer Wirtel verursachen. Fast alle neuen Sterne treten in der Nähe der Milchstraße auf, wo die Sterne selbst ungleichmäßig viel dichter stehen als an andern Stellen des Kosmos. Von neuen Sternen sieht man, sobald sie entstehen sind, nur zwei Ganschel sind in der Nähe der Milchstraße sind die Ganschel ebenfalls sehr stark konzentriert. Haben die Nebelmannen Zeit gefunden, sich wieder auf ausgewanderten Sternensystemen zu sammeln, so entstehen Sternensystem, wie solche auch hauptsächlich in jener Gegend vorkommen. Die Spiralstrahlen entstehen sich durch ihr Spirallinien als Sternstrahlen, die so weit entfernt sind, daß man die einzelnen Sterne darin nicht unterscheiden kann. Sie finden sich meist in denjenigen Teilen des Himmels, wo Sterne am häufigsten sind, nämlich in den Polen der Milchstraße, also in weiterer Entfernung von ihr.

Durch die Erklärung des Energieprinzips in der Kosmogonie haben sich unsere Anschauungen wesentlich erweitert und präzisiert. Besonders die Untersuchungen von A. Ritter haben in dieser Richtung wichtige Resultate ergeben und Arrhenius gibt eine interessante Überlegung derselben. Nach Ritter hat eine Ganschel, die den gewöhnlichen Gaszustand überwunden ist, im allgemeinen eine äußere Grenze, an der die Temperatur auf den absoluten Nullpunkt sinkt, von da an steigt sie nach innen und ist an jedem Punkte genau gleich derjenigen einer Ganschel, die von jener Grenze bis zu diesem Punkte herabfällt. Ein Beispiel wird dies klar machen. »Angenommen,

sagt Arrhenius, »die Temperatur in der Erdoberfläche wäre  $16^{\circ}$  (also  $289^{\circ}$  über dem absoluten Nullpunkt), wo die Durchschnittstemperatur an der Erdoberfläche tatsächlich ist, so müßte nach Ritters Annahme die Höhe der Atmosphäre  $259$  km betragen. Denn wenn ein Kilogramm Wasser einen Kilometer fällt, so wird seine Temperatur um  $1000 : 426 = 2,35^{\circ}$  erhöht. Da die spezifische Wärme der Luft  $0,239$  beträgt, so genügt die Wärmemenge, die ein Kilogramm Wasser um  $4,235^{\circ}$  erwärmt bringt, um die Temperatur von einem Kilogramm Luft um  $1^{\circ}$  zu erhöhen. Daraus ergibt sich, daß ein Kilogramm Luft, das einen Kilometer fällt, seine Temperatur um  $16^{\circ}$  erhöht, wobei nur der spezifischen Wärme der Luft bei konstantem Druck, wie es Ritter verlangt, genügt ist. Dann muß die Temperatur der Luft um  $289^{\circ}$  über dem absoluten Nullpunkt steigt, muß sie  $289$  km fallen, und das wird daher die Höhe der Atmosphäre über der Erdoberfläche.

Betrachte die Atmosphäre aus Wasserdampf, dessen spezifische Wärme  $1,42$  ist, so würde ihre Höhe  $421$  km betragen. Ebenso würde die Atmosphäre eine bedeutende Höhe erstrecken, wenn sie aus gasförmigen Wasserstoff und darin suspendierten Wassertröpfchen besteht; denn um die Temperatur einer derartigen Mischung um einen Grad zu erhöhen, müßte man nicht nur den Dampf erwärmen, sondern auch Wasser zur Verdampfung des Wassers aufheizen. Es wäre also genau so, als ob die spezifische Wärme dieser Mischung relativ groß wäre. Wie Ritter auch berechnet, würde die Höhe einer Atmosphäre aus Wasserdampf etwa  $259$  km betragen, wenn die Temperatur an der Erdoberfläche  $0^{\circ}$  wäre. Nun enthält die Luft wirklich etwas Wasserdampf und Wolken außer dem wenige kondensierten Bestandteilen, deshalb muß auch die Höhe der Atmosphäre um etwa  $7$  km größer angenommen werden, als  $259$ , wie oben berechnet.»

Aber das entspricht, wie Ritter bemerkt, durchaus nicht der Wirklichkeit. Beobachtungen an Storneschuppen zeigen, daß dasselbe oft in einer Höhe von mehr als 200 km über der Erdoberfläche auftritt — und diese Erhöhung ist die Folge von Reibung in der Luft. Die Folgen des Nordlichts, die auf elektrische Entladungen in der Luft beruhen, haben ihren höchsten Punkt in etwa 100 km Höhe. Durch Beobachtungen im Ballon hat man in den letzten Jahren auch gefunden, daß in einer Höhe von etwa über 10 km die Temperatur der Luft nahezu gleichmäßig ist, daß nach oben mit je 10° pro Kilometer abzunehmen.

Ritter zieht den Grund dieser Abweichung von seinen Berechnungen darin, daß die Luftgase sich in sehr großer Höhe zu Wolken verdichten, was der Wasserdampf in den tieferen Luftschichten, was eine bedeutende Erhöhung der Atmosphäre zur Folge hätte. Doch nach dem, was wir jetzt wissen, kann diese Verdichtung nicht über — 200° erfolgen, also ist bezüglich größerer Höhe, als der der Luftballons erreichen, wo die Abnahme der Lufttemperatur nach oben unmerklich war. Die Meteorologen sind noch nicht ganz einig, wie diese Erscheinungen zu erklären sind; Arrhenius glaubt, daß die Wärmestrahlung und ihre Absorption durch die Kohlendioxid und des Wasserdampf der Luft, wahrscheinlich auch durch Ozon, eine große Rolle dabei spielen. Ritter bemerkt nun weiter, wie hoch die Temperatur im Mittelpunkt der Erde sein würde, wenn man sich einen heißen Luftschacht, direkt durch die Erde geführt, dachte. Dabei zieht er natürlich in Betracht, daß sich die Schwerkraft mit der Tiefe in diesem Schachte ändert, so daß die im Erdmittelpunkte gleich Null ist, und findet so, daß die Temperatur im Mittelpunkt des Schachtes ungefähr 32000° betragen müßte. Die Temperatur der Erde in ihrem Mittelpunkt müßte nach seinen ferneren Berechnungen etwa 180000° erreichen. Daraus kann man

versehen, daß in einem gewöhnlichen Himmelskörper die Temperatur nach innen zunimmt. Arrhenius meint, die Erde sei in einer Tiefe von über 400 km gewöhnlich, so daß dessen Berechnung für diesen Fall eine gewisse Berechtigung haben dürfte. Die spezifische Wärme der in der Erde befindlichen Gase ist aber ohne Zweifel erheblich größer als diejenige der Gase, mit welchen Ritter rechnet, so daß die Temperatur im Erdmittelpunkte eher geringer als die von ihm angegebenen sein und, wenn man auch von chemischen Prozessen absieht, nach Arrhenius nicht einmal die Hälfte davon erreichen dürfte. Der Druck wird in dieser Tiefe auf ungefähr 1 Million Atmosphären geschätzt.

Die Wärmeerzeugung beim Zusammenstoßen der Sonnenmaterie reicht nach Arrhenius nicht aus, um den Verlust durch Strahlung auf genügend lange Zeit zu decken, er glaubt deshalb noch eine weitere Wärmequelle beanspruchen zu müssen und sieht diese in chemischen Prozessen, die sich beim langsamen Abkühlen der Sonne abspielen. »Da diese Prozesse«, schließt Arrhenius weiter, »sich bei der Zusammenziehung des Sonnenmaterials in ungeführter Richtung geltend machen, so folgt daraus, daß letztere noch rascher vor sich geht, als Ritter voraussetzte. Der Zeitraum, in welchem sich die Sonne wesentlich nach dem Zusammenstoß mit einer andern Sonne aus einem weitverstreuten Nebelstück zusammenzieht, dürfte, wenn die Strahlung immer so stark war wie jetzt, kaum eine Million Jahre erreicht haben. Die Sonne muß aber, als sie sich im Nebelstück bildete, eine enorme Energiemenge durch Aufnahme strahlender Wärme von außen aufgenommen haben. Diese Energie hat sie später, als ihre Mitteldensität zu sinken anlang, zur Deckung der Wärmeverluste allmählich verwendet, so daß die Temperatur und damit auch die Ausdehnung und Strahlung sehr rasch unverändert durch sehr lange Zeiträume stattfand. Daraus folgt auch,



## Vorgeschichtlicher Aufsturz eines grossen kosmischen Körpers auf die Erde.

**A**us den kosmogonischen und nicht minder in den geologischen Erörterungen über die Vergangenheit und Zukunft der Erde wird stets von der Anschauung ausgegangen, daß dabei nur die allgemessen wissenschaftlichen Verhältnisse unseres Planeten, ohne nützlich Einwirkung von der Sonne und die davon abhängige Jahreszeiten, sowie die Wärmeabstrahlung der Sonne in Betracht kommen, im übrigen aber keine außerordentliche Einwirkung fremder Weltkörper stattfindet. Diese Voraussetzung ist indessen schwerlich zureichend, wenn man, wie dies neuerdings wahrscheinlich wird, ein sehr hohes Alter des Erdballes annehmen und mit Zehntausen von vielen tausend Millionen Jahren rechnen will. Was zunächst einer so ungeheuren Jahresreihe der Erde bezeugen kann und in der Vergangenheit wirklich bezeugt ist, betrifft sich jeder Kenntnis; es kann wunderbarste Zusammenstöße mit Kometen stattgefunden haben oder mit klein vertheilten kosmischen Materie, auch kann die Erde von Sternschuppenerschüssen getroffen worden sein, der wenigstens keines vorüberginge als die in den letzten 50 Jahren aufgetreten, endlich können gewaltige Meteoriten die Erdoberfläche getroffen haben, von denen zuerst unbekannten kosmischen Zahlen ganz abgesehen. Man kann nun sich allerdings darauf berufen, daß die Spuren solcher großen katastrophenähnlichen Einwirkungen auf der heutigen Erdoberfläche nicht angetroffen werden, allein dieser Einwand verliert sein Gewicht, wenn man erwägt, daß die Erdoberfläche, soweit sie überhaupt derberichtigte Forschung zugänglich ist, noch keineswegs genügend untersucht wurde, so daß die geologische Wissenschaft bis vor wenigen Jahrzehnten von dem gewaltigen Erdquerschnitt der vorzeitigen Vergleichung der Erde kennen zu Zeiten erkennen konnte, daß

die Spuren des Vulkanismus früherer Erdperioden so häufig verwischt sind, daß sogar die Reste der letzten Vulkanen meist nur noch sehr eingehenden Untersuchungen nachweisbar blieben. Tatsache ist, daß die Erde Jahr für Jahr von zahllosen aus dem Weltraum kommenden Meteoriten getroffen wird, ja, daß sie einem ständigen Bombardement solcher Körper ausgesetzt ist, von dem die Erdoberfläche selbst allerdings nur wenig getroffen wird, weil die Luft als schützende Hülle sich darüber ausbreitet und die kosmischen Massen nur von geringer Größe und unbedeutendem Gewicht sind. Der größte bekannte Meteorit, die Fallische Eisenmasse und der große flachliche Eisen, besitzen doch nur Gewichte von höchstens ein paar hundert Zentnern, so daß man gerade sich kaum nur die Grenze für die Gefährlichkeit aus der die Erde treffenden Meteoriten zu sehen. Indessen könnte ein solcher Schuß leicht verhängnisvoll sein, und er ist dies in der Tat, wie die neuesten Untersuchungen der Fundstelle eines Meteoriten in Arizona ergeben haben. Es handelt sich um die riesigen Eisenmassen, die im Jahre 1886 bei Canyon Diablo zufällig gefunden wurden und die auch dadurch von großem Interesse erscheinen, daß sie mikroskopisch kleine Diamanten umschließen. Über diese merkwürdigen Eisenmassen ist bereits im *Stern* Jahrgang 1907 S. 43 berichtet worden. Jetzt hat nun George F. Merrill in den Publikationen der Smithsonian Institution die Schlußfolgerungen der Untersuchungen an der Fundstelle bei Canyon Diablo veröffentlicht und das Resultat ist von besonderem Interesse.

Was zunächst die geologischen Verhältnisse der gesamten Oberfläche anbetrifft, so erstreckt sich vom Rande der Fundschachtel (Canyon Diablo) eine direkt ebene flachliche Weite.

Ihren Untergrund bildet die sandige Kalkstein aus der Silurkalibronzeit, dem hier und dort überfliegende Hügel von solchem Sandstein als Quarzstein einer einst vollkommenen Überdeckung aufliegen. Wie aus einer in 26 engl. Meilen Entfernung vorstehendes Bohrung geschlossen werden kann, ist der Kalkstein etwa 100 m mächtig, und unter ihm folgen granitische Sandstein von einer unerschöpflichen Größe. Die Oberfläche ist spärlich besetzt und nur wenig durch Wind und Wasser eingegraben, durchbrochen von einigen sehr abgesehenen Tälern (Calcais) Eine 12 Meilen südlich von der Trochschachtel erhebt sich ein mit weit ausgedehnter Aufwölbung ein runder-einer Kalkstein. Seine Oberfläche besteht aus einem, durchwandelnden Bruchsteinen jeder Größe, von mikroskopischen Körnern bis zu Blöcken von hundert englischen Tonnen, die besetzen der Nähe des oberen Randes ruhenden Kalk und großer Sandstein unter Kalkstein liegen alle oben jede gestaltliche Anordnung, wie in nach und nach Schichtung, wobei der Sandstein meist stärker zertrümmert erscheint. Der obere Rand des Ringes ruht an den höchsten Stellen mehr als 50 m, an den niedrigsten 40 m über die angrenzende Hochfläche. Sein Durchmesser beträgt von Osten nach Westen etwa 1300 m, von Norden nach Süden ist er nicht ganz 100 m geteilt. Von dem eigentlichen Kamm, der aus dem aus sehr feinem Material sehr locker aufgebaut an und alle Gesteine liegt, die sich im Inneren finden, läßt sich der innerer Rand nicht in voller Kurve zu dem Boden des Innenraums ab. Dieser liegt 200 m tiefer als der Rand, also 150 m tiefer als die Hochfläche, in die er eingestürzt ist. Der so gebildete Innenrichter ist sich gut in einem unteren und einem oberen runden Teil sondern. Oben schließlich bildet eine nur die verbleibende Gestein, dessen Schichten in einem Winkel von etwa 15°, an einigen Stellen aber auch bis zu 30°, aufsteigen und

ihre Gefüge erneut sich ähnlich bis zur Mündung gebildet, jeder geringste Anstoß kann einen schweren Massen zum Abgleiten und Hinunterrollen in die Tiefe bringen. Der ganze untere Teil des Kammes besteht aus losen Massen, zum Teil unerschöpfen so weit dem oberen Rand, sind herabgefallen und haben durch die Anwesenheit der aufsteigenden größeren Teile des Kammes verändert. Sehr wichtige Aufschlüsse bezeugen ausgedehnte Schichten am Boden des Kammes, sie haben von hier aus eine Tiefe von noch 150 m durchwandern. Bei etwa 70 m unter dem Kammrand zeigt sich der runde Querschnitt der Gesteinswandung, indem hier der Sandstein zu einem schichten Binärie aufsteigend und eingeschnitten wurde, nach Resten auf Eisen und Nickel gibt. Darüber ist der Sandstein bis zu einer Tiefe von 200 m in feines Pulver verwandelt, dann aber wird er wieder fester und ist schließlich ganz verändert. Der Schicht aus diesem Befanden liegt nahe.

Der Kamm kann nicht durch eine von unten hochsteigende Kraft gebildet worden sein, er verdankt seine Entstehung einer von oben her wirkenden Macht, dem Aufstoß und der Expansion eines gewaltigen Meteoriten. Das beweist auch die ganze Veranordnung des Kammes mit Nickelstein, die in oxydierendem Zustand dem Sand beigemengt ist als Bindemittel dient. Hieraus können aus die überaus reichen Funde von Nickelverbindungen rings um den Kamm. Während die im eigentlichen Kamm reiche Kupfer und, bedecken die seine Hänge und lassen sich nach in mehreren Meilen Entfernung sammeln. Viel tausend können aufgefunden werden im Gewicht von 1 g bis zu 600 kg, zusammen etwa 20 englische Tons schwer. In der Hauptmasse bestehen sie aus Nickelstein, das beim Atzen die bekannten Wismutähnlichen Figuren zeigt. Außerdem wurden Verbindungen des Phosphors und Schwefels nachgewiesen, Eisenkiesel, Platin, Chrom, Kobalt, Kupfer, Kohlenstoff

als Eisenkiesel, als Graphit, Graphit und als Diamant. Die einzelnen Stücke liegen unmittelbar an der Oberfläche, das hat wohl der Wind verursacht, der die bedeckenden feinen Sande und Kalktrümmern im Laufe der Zeit wegwies. Die Verteilung der Metalle ist unregelmäßig, doch erschienen sie allem in einer ostwärtigen Linie angehäuft. Die einzelnen Stücke sind unregelmäßig geformt, ihre Oberfläche ist mit solchen Grübchen bedeckt. Dagegen finden sich weder Spuren einer Anordnung der Aufschicht, noch die häufigen Zeichen einer Auswaschungsfurche. Hätte man es lediglich mit einem gewöhnlichen Meteoriten zu tun, so könnte beide Erscheinungen schwerlich fehlen. Dagegen war die Schwerkraft behoben durch die Ausläufer eines Meteoriten, das heißt eines Meteoriten, bei dem die unregelmäßigen Stücke Meteoriten in ein mineralisches Bindemittel eingebettet waren. Bei dem gewöhnlichen Aufprall war dann das Zerschmelzen von vornherein ausgeschlossen, während die eingeschlagenen Eisenstücke bei wurden.

Über die Geschwindigkeit, mit welcher der Zusammenstoß erfolgte, sind genaue Berechnungen natürlich nicht möglich. Die größte beobachtete Geschwindigkeit eines Meteoriten wurde zu etwa 14 englische Meilen in der Sekunde berechnet. Bei der Annäherung an die Erdoberfläche wird aber durch den Luftwiderstand eine starke Verzögerung bewirkt. Nach Herschels Beobachtungen in England, verleiht für den Augenblick des Auftretens eine Sekundengeschwindigkeit von nicht viel über 100 m, während Evans für Fälle in Ohio 3 bis 4 Meilen annimmt. Sehr viel hängt davon ab, ob der Meteorit die Richtung der Erdbewegung hat, oder dieser entgegengekehrt sich bewegt. Wie nun die Verteilung der Metalle und die Form des Meteoriten wahrscheinlich machen, kam der kosmische Körper oder Kometa aus SWW. und schlug in einem Winkel von nicht unter 70° ein. Nach Tighens mußte der Durchmesser dieses kosmischen

Gesteins 500 Fuß betragen haben, und es müßte mit einer Geschwindigkeit von fünf englischen Meilen in der Sekunde aufgetreten sein. Diese lebendige Kraft reichte aus, den Kalkstein in einer Mächtigkeit von 100 m, den Sandstein darunter in einer solchen von über 150 m zu zertrümmern. Dabei sollen nach angeführten Versuchen Würfel dieses Kalksteins bis zu einer Zerschlagung einer Belastung von über 13, solche des Sandsteins einer Belastung von 8 englischen Pfunden auf den Quadratzoll aus. Mit dieser Zerschmetterung und teilweise Auslösung war die Kraft des Aufpralles noch so wenig erschöpft, daß sich der Überschuss in Wärme umsetzte und das zertrümmerte Gestein teilweise zu Glasstein zusammenschmolz, was eine Hitze von etwa 2000° C erfordert.

Erfährt sich so der Meteoriten-Nordamerikaner zu einem einzigartigen Phänomen für unsere Erde, so könnte man versucht sein ihn auch für die Erklärung der merkwürdigen Krater des Mondes herbeizuziehen. Auch hier sehr wie es zunächst scheint, die bei 25 Tausenden von Meilen in der Oberfläche des Mondes eingestürzt sind, von denen geologisch nur durch einen vorgetrockneten vulkanischen Ringwall. Selbst hat sie mit dem Haupttypus unserer Vulkane verglichen, Stöße mit den Calderabergen, Basen nicht in ihnen den Mars verwechselte Gebilde. Haydenbauer und K. Gilbert haben schon früher in den Meteoriten die Folgen vom Aufprall meteorischer Massen erblicken wollen. —

Natürlich handelt es sich hierbei nur um einen Analogieschluß, der nicht zu sehr frühen Aufstellungen führen könnte, denn die Meteoriten zeigen in ihrer Zentralberge Eigenschaften, die sich nicht durch den Aufprall meteorischer Körper erklären lassen, ganz abgesehen davon, daß es selbstverständlich, weshalb lediglich nur der Mond von so überaus zahlreichen und großen Meteoriten getroffen sein sollte nicht aber die Erde.

## Der Eisenmeteorit von Arde im Mesozoale.

**190** Prof. F. Sauerer hat sich kürzlich in der Kaiserl. Akademie in Wien veräußert<sup>1)</sup>. Er führte folgendes aus:

Am 23 April d. J. verließ ich auch Reichsgerichtsrat Ferd. Seidl in Görz, es wurde im Bezirk Kanal das Gericht verhört, am 31. März auf eine Kanonenkugel aus Italien über die eine Schlagschmelze herübergeflogen und habe mich bei Arde in die Erde gehalten. Die aufgefundenen Eisenmassen, die auch ein Meteorit sein können, sei vom Gendarmerieposten in Roncoo übernommen und an den Landesgendarmeriekommando in Triest gesendet worden.

Während wir uns telegraphischen Eideschwüren bei den Gendarmeriepostenkommandanten von Roncoo und Kanal und dem Landesgendarmeriekommando in Triest befanden, ließ sich gleichzeitig der k. k. Gendarmerieinspektor Teller auf einer Inspektionsreise in Triest befinden, wo er die vom in Meranien erkrankte Erdmännchen sich sehen, nach Wien brachte und den kais. kais. Fund der Division der mineralisch-geographischen Abteilung des naturhistorischen Hofmuseums übergeben ließ, die weitere Schritte zum Erwerb des Meteoriten der gesamten Division überließ. Nunmehr ist auch der Kauf mit Unterstützung des Gendarmeriepostens und des Gendarmeriekommandos in Roncoo rechtlich abgeschlossen und die Meteoriten durch in den Besitz der kais. kais. Meteoritenverwaltung übergegangen.

Nach den bisher angegebenen Nachrichten hat sich der Meteoritenfall am 20. März 1908 8<sup>1/2</sup> Uhr n. m. in östlicher Nähe des slowenischen Dorfes und der Eisenbahnstation Arde (lat. Roncoo Arco, 46° 6' 29" n. Br., 13° 12' Ost, E. von Greenwich) gegenüber

der Gemeinde Roncoo im Mesozoale, Gerichtsbezirk Kanal, Ortsteil Görz, Schloßarisch, ereignet. Die Festlegung des Falles und Aufklärung des Meteoriten verdanken wir dem glücklichen Zufalle, daß der Insasse des Dorfes Arco Johann Kallenc 40 m vom Fallorte entfernt seine Feldarbeit verrichtete und den Niedergang des Meteoriten auf das Grundstück des Herrn Krizan aus Arde beobachtete, den er nach einer Mitteilung des Gendarmeriekommandos in Kanal folgendermaßen schildert. Es hörte um die angegebene Zeit eine Detonation in der Luft, welcher sofort ein Pfeifen und Säusen folgte. Das soll mehr als zwei Minuten gedauert haben, worauf er auf einem um ca. 5 m hohen auf dem Apfelbaum stehenden und unter dem Baum Erdbeeren pflücken sich fast nachmittags-diesem Tage geprügelt Kallenc in Gesellschaft des Mathias Suliga aus Arde die betreffende Stelle ergründete und fand dort ca. 30 m tief das eigentliche Meteorit, welchen er sodann, da es abgemessen gesprochen wurde, daß dies von Kanonenkugel sei, der Gendarmerie übergab. Kallenc ergab seine ersten Angaben nach Vorlage eines Fragebogens in richtiger Richtung dahin, daß er das Erscheinen des Meteoriten im Himmel nicht gesehen und auch keine Lichtschowung wahrgenommen habe. Über die Fallrichtung sagt er nun: »das Geräusch des herabfallenden Meteoriten wurde aus der nordwestlichen Richtung gehört. Mit dieser letzten Angabe steht die Aussage im Widerspruch: »der vom Meteoriten in der Erde erzeugte Hohlraum sei gegen Südwesten gerichtet gewesen.« Vermutlich werden auch weitere Nachforschungen keine brauchbaren Angaben über die Richtung der Bahn und die Geschwindigkeit des Meteoriten erbringen.

Das Meteorit von Arde hat die Größe einer kleinen Mannhand und ein Gewicht von 1200 g. Es hat eine

<sup>1)</sup> Anzeiger der Kaiserl. Akademie, Wien 1908, S. 298.



Fläche, die durch die Abschleifung nicht verändert ist, ist das Eisen von glatt abgeschliffener Fläche begrenzt, die in stark abgerundeten Kanten zusammenstoßen. Von den glatten Flächen ist die größte wesentlich röhre und die übrigen sind stark konvex gekrümmt. Die obere und eine gekrümmte Fläche schneiden sich in einem sehr spitzen Winkel, wodurch die Form eines Kades entsteht. Die gekrümmten Flächen stoßen in einer stark verkrümmten Spitze zusammen. Die breite obere Fläche, der keilförmige Zusammenstoß zweier Flächen und die von vier Flächen gebildete Ecke erinnern sehr an die Form des Quarzquaders und wir dürfen aus dieser Gestalt darauf schließen, daß im Eisen von Aves ebenfalls wie bei Quarz ein oktaedrisches Eisen vorliegt, das sich von einem größeren Quarzstück nach Oberflächflächen losgerissen hat. Die Oberfläche ist von einer papierdünnen Bräunung bedeckt, um der an beschädigten Stellen das Eisen mit unbewerteter Farbe hervorgibt.

Aus der Orientierung des Schmelzdrucks ist zu entnehmen, daß die von den glatten Flächen gebildete Seite des Meteoriten im Flug nach vorne gebiegt war und seine Endseite ist. Die größte Fläche ist die Rückseite des Meteoriten. Die Abschleifung erfolgt sich wie immer am leichtesten auf der Schärfe der Kanten. Von ihnen fließt die dünne Schmelze nach beiden Seiten zur Mitte der Flächen ab, auf denen sie sich in beiden meisten Stufen ausbreitet, die schabweise aufeinander folgen und sich wellenförmig abwechselnd schieben. Der in der Richtung der Fläche liegende Außenrand der Schmelzblätter ist meist von röhrenförmigen in eine Pore austretenden Schmelzdrücken begrenzt.

Seit 157 Jahren ist das Eisen von Aves der achte im Nachfolde beobachtet und bekannt gewordene Eisenmeteorit und im selben Zeitraum der dritte im Besitze der Österreich-ungarischen Monarchie kaiserlich-königliche Meteoriten (Agram 1751, Bannau 1847).

## Die Beobachtung der Sonnenfinsternis vom 3 Januar 1908 auf der Filinfinsel im Großen Ozean.

Auf dieser Insel hat die von der Kaiserlichen kaiserlichen Expedition Station gemacht und hauptsächlich photographische Beobachtungen angestellt. Zur Aufnahme des kontinuierlichen Spektrums der Koronalen dienten 2 Heliographen-Spektrographen. Einer derselben, dessen Platz 3 Minuten 45 Sekunden lang exponiert wurde, zeigt das Spektrum der inneren Krone von der Linie mit Wellenlänge 23550 bis zu derjenigen mit der Wellenlänge 25980. Bis zu 2° vom Sonnenrande ist dieses Spektrum sehr intensiv, dann nimmt seine Intensität allmählich bis zu 15° oder 20° vom Rande ab und im übrigen bis zu den Enden des Spätes, 45° an der östlichen Seite der Sonne und 40° an der westlichen, merklich

gleichmäßig hell. Die Koronallinie, deren Wellenlänge zu 23862,9 bestimmt wurde, ist schwach sichtbar, die bekannte Koronallinie 24215 dagegen leicht zu sehen und durch Diffusion in die Menschensehe leicht vergrößert; eine schwache Koronallinie ist auf beiden Seiten der Sonne zu erkennen und wahrscheinlich höher noch nicht wahrgenommen worden, nur andere scharfe Linie 23843,3 ist auch besser sichtbar, das dritte 23841,8 nur an der östlichen Seite und eine solche 23841,3 leicht ersichtbar. Alle übrigen hellen Koronallinien sind in dem strengen kontinuierlichen Spektrum unsichtbar, weil die Dispersion des Prismas zu gering war. Das Maximum der Helligkeit des kontinuierlichen Spektrums liegt

im Vergleich zum normalen Sonnenspektrum mehr nach dem roten Ende hin, was beweist, daß die Temperatur der Korona niedriger ist als diejenige der Sonnenatmosphäre. Von ganz besonderem Interesse sind die zahlreichen Spektralanalysen gegen Ende der Tundrá. Dieselben sind auf einer Platte erhalten worden, die sich hinter einem 1,5 mm breiten Spalt befand und in großer Sekunde automatisch um die genau-Spaltbreite verschoben wurde. Man erkennt auf dieser Platte an zahlreichen Linien, entsprechend dem allmählichen Schmelzwerden der tiefen Schichten der Sonnenatmosphäre, den allmählichen Übergang der hellen (Emission-) Linien in die dunklen (Absorption-) Linien der eigentlichen Photosphäre der Sonne.

Das Spektrum der inneren Korona scheint von Absorptionen aus fern zu sein, wenigstens bis zu 3' oder 10' vom Sonnenrande. Im Spektrum der äußeren Korona sind die Absorptionen sehr schwach und fast schwächer oder ganz zweifelhafte in dem Maße, wie der Mondhöhe, während sie in 10' bis 20' Entfernung vom Sonnenrande leicht zu sehen sind. (Machete)

Ergebnisse der Studie der späten Spektrograph. Die Deutung dieser Spektrogramme, sagen W. W. Campbell und S. Albrecht<sup>1)</sup>, ist schwierig und komplizierter als es auf den ersten Blick scheint. Die äußere Korona, wie es dem bloßen Auge auch darstellte, war nach dem Umriss von Beobachtern die schon frühere Fixationen gesehen haben (Piazzi, Albot und Campbell), sehr schwach.

Zum Zwecke der Nachforschung nach interstellaren Flecken ist die Umgebung der Sonne bis 14' östlich und westlich und in einer Breite von 9' zentral photographisch aufgenommen worden. Auf diesen Platten sind nicht weniger als 300 Sterne sichtbar, deren schwächste 5 Größe sind. Dieselben wurden aber ohne Ausnahme mit bekannten Fixsternen identifiziert, so daß keine Spur eines unbekannten Planeten sich vorfindet hat. Das stimmt mit den Ergebnissen der Aufnahmen während der letzten Fixationen von 1901 und 1905 überein und es scheint jetzt gewiß, daß innerhalb der Bahn des Merkur kein Planet vorhanden ist, der sich um 7 bis 10 Meilen Durchmesser besitzt.

## Die Berechnung der Sonnen- und Mondfinsternisse auf elementarer Unterlage



Die Sonnen- und Mondfinsternisse gehören zu den auffälligsten Himmelserscheinungen und werden von jedermann bei sich herbeiziehender Gelegenheit gern und aufmerksam betrachtet. Auch der Unterricht in der mathematischen Geographie beschäftigt sich mit ihnen und weist auf die weitläufige Zusammenhänge der Erscheinungen mit den erlernten Tatsachen hin, wenn es auch um Mangel an Zeit unmöglich ist, eine vollständige Berechnung der Sonnen- und Mondfinsternisse mit in das Programm aufzunehmen. Indessen ist sicher,

daß Viele ein Interesse für diesen Gegenstand aus der Schule mit in das Leben mitbringen können und daß es für solche nicht zu schwierig ist, sich durch Privatstudium von der Methode der Berechnung, wenn diese genügend eingehend vorliegt, bis zu einem gewissen Grade der Durchbildung selbst zu unterrichten und sich theoretisch und praktisch eine hervorragende Fertigkeit in der Berechnung anzueignen. Ist es denn einmal gelungen, selbständig

<sup>1)</sup> Publ. of the Astr. Soc. of the Pacific No. 220 p. 126.

eine Sonnen- oder Mondfinsternis zu berechnen, und haben es sich über das Bestehen der Finsternisse für eine Reihe von Jahren einen Überblick durch eigene Notizenung verschafft, dann wird sicherlich der Interesse für den Gegenstand um noch ganz anderem sein, als wenn sie sich immer nur für ein einziges Jahr aus unsere gewöhnlichen Kalender über das Vorkommen der Finsternisse unterrichten können.

Von diesem Gesichtspunkte aus hat Professor Dr. Otto Baus unterzogen, ein Werk über die Berechnung der Sonnen- und Mondfinsternisse auf einer neuen Unterlage zu schaffen, welches gewiß Vielen höchst willkommen sein wird<sup>1)</sup>. Das Werk ist entstanden aus einer Reihe von Programmabhandlungen, die Prof. Baus 1897, 1899 und 1907 veröffentlichte, die aber jetzt in allen Teilen umgearbeitet und mit dem nötigen Erläuterungen versehen sind, um den Freunden der astronomischen Beobachtung und Berechnung in ihren Darstellungen behilflich zu sein. In dem Vorwort bemerkt Prof. Baus:

„Die Zeiten eines Theiles und Apollonides sind vorüber, in welchen das vorwiegendste Element einer totalen Sonnenfinsternis ganze Völker in Angst und Schrecken versetzte. Heutzutage wird jede bevorstehende Finsternis auf das genaueste vorausgerechnet, und das plötzliche Eintreten aller vorher angekündigten Umstände muß jeden überzeugen, daß die Grundlagen, auf denen die Vorausberechnung beruht, zureichend und zuverlässig sind. Haben sich doch seit Jahrhunderten die uralten Mathematiker und Astronomen — aus der Mesopotamie wie die Griechen, aus der Mesopotamie wie die Araber, aus der Mesopotamie wie die Chinesen, aus der Mesopotamie wie die Indier — mit der Berechnung der Sonnen- und Mondfinsternisse beschäftigt, und haben sie sich über das Bestehen der Finsternisse für eine Reihe von Jahren einen Überblick durch eigene Notizenung verschafft, dann wird sicherlich der Interesse für den Gegenstand um noch ganz anderem sein, als wenn sie sich immer nur für ein einziges Jahr aus unsere gewöhnlichen Kalender über das Vorkommen der Finsternisse unterrichten können.“

<sup>1)</sup> Die Berechnung der Sonnen- und Mondfinsternisse, nebst Berechnung der Mondphasen. Ein Lehrbuch auf elementarer Grundlage für den Selbstunterricht bearbeitet und mit Rechnungsproben versehen. Halle a. S. 1904, Louis Nebert Verlag.

Man zu bringen, und wenn auch bei allen die gräßlichen Worte noch keine absolute Überzeugung zogen, so sind doch die Unterschiede für die Gegenwart und die nächsten Jahrhunderte so gering, daß für jetzt wenigstens die Aufgabe der Mondberechnung als gelöst zu betrachten ist.

Zieht man die von Oppolzer in seinem Werke „Syngonische für den Mond“ enthaltenen „syngonischen Reihenfolgen“ mit in Betracht, so stehen die von Oppolzer'schen Tabellen ermittelten Werte in der Mitte zwischen denen von Hansen und Newcomb. Daher lag es nahe, die Werte für die Annahme dieser Tabellen zu wählen. Da zugleich auch die Formeln für die Berechnung der Elemente bei Oppolzer einfacher sind als bei Hansen, so konnte ich auch hierbei an den Oppolzer'schen Entwicklungen festhalten, habe ich diese Formeln, soweit es unbedeutet der Umgestaltung bedurfte, auch einfacher zu gestalten gesucht, indem die angegebenen Tabellen nahezu den Berechnungen für die Zeit von der Gegenwart bis zum Jahre 3000 genügt haben sollten. Ein zweites wichtiges Werk von Oppolzer „Canon der Finsternisse“ konnte zugleich für mich als eine willkommene Kontrolle dienen für diesen Schluss begründeten Rechnungsgebens, welche die Aufgaben der mit einer Finsternis verbundenen Syngonie erleichtern und einen Überblick über die im 20. Jahrhundert zu erwartenden Sonnen- und Mondfinsternisse verschaffen sollen.

Der Inhalt der Arbeit zerfällt in drei Teile. Der I. Teil, „Berechnung der Mondphasen und Berechnung der Sonnen- und Mondfinsternisse“, gibt zuerst theoretische Erläuterungen über den Lauf des Mondes und der Erde und die scheinbare Bahn der Sonne und geht sodann zu der Berechnung der ersten und letzten Zeiten der Haupt- und Vollfinsternisse, sowie der ersten und letzten Viertel über. Es werden immer Erläuterungen für

den Einflüssen der Finsternisse gegeben und die sogenannten Elemente der Finsternisse aufgestellt. Nachdem dann die Berechnungsmethode der Mond-Finsternisse entwickelt ist, wird das Gleiche für die Sonnenfinsternisse durchgeführt. Jedem Kapitel sind zur Erläuterung vier Berechnungsbeispiele beigegeben, an welchen die charakteristischen Fälle zur Anschauung gebracht werden. Es folgt als Schluß noch eine Erläuterung, durch welche an der Hand derben die Salina gegeben werden können, wo die Mond-Finsternisse beginnt und endet. Auch dieses wird an Beispielen erläutert.

Der II. Teil behandelt die natürliche Berechnung der Sonnenfinsternisse und entwickelt die bei Sonnenfinsternissen wichtigen geometrischen Angaben über den Verlauf der Finsternisse auf der Erde: den ersten und letzten Berührungspunkt des Halbschattens, die Kurve der größten Phase im Horizont, die west östlichen Grenzkurven, die Zenitkurve, die Dauer der Totalität oder Ringförmigkeit auf der Zenitkurve, die nördlichen und südlichen Grenzkurven selbst den nördlichen und südlichen Kurven von bestimmter Größe. Die entwickelten Methoden werden an einem Berechnungsbeispiel erläutert, für welches eine Sonnenfinsternis gewählt ist, die in nicht allzu ferne Zeit stattfinden und durch ihre ausgezeichnete Sichtbarkeit in Deutschland von allgemeinem Interesse sein wird.

Der III. Teil, »Tafeln und Berechnungsergebnisse«, enthält die zur Berechnung nötigen Tafeln, als da sind: die Daten der ersten Neumonde, Vollmonde, Ersten und Letzten Viertel für die Jahre 1700 bis 1779 die Argumente für den jährlich ersten Neumond an 19-jährigen Zyklen von 1786 bis 1802,

die Vielfachen der Argumente, die ersten Schritte der Elipse für die Jahre 1800 bis 1803, sodann folgen die Berechnungsergebnisse sämtlicher Sonnen- und Mondfinsternisse der Jahre 1800 bis 1804 und eine Zusammenstellung der statistischen Sonnenfinsternisse Deutschlands in den kommenden Jahrhunderten.

Häufig spricht man von Perioden in der Mondbewegung und von Finsternisperioden, obwohl es nichts im eigentlichen Sinne des Wortes wohl gibt. Doch gibt es Zeiträume, nach deren Ablauf Mond- und Sonnenstellung sich periodisch wiederholen. Diese hat Prof. Bode, um das Wesen derselben zu zeigen, bei verschiedenen Gelegenheiten veranschaulicht. So ist z. B. die 31-jährige Periode (genauer 31 Jahre 2 Tage = 353 1/2 Lunationen), innerhalb deren die vollen Monde, wenn auch abwechselnd Neumond mit Vollmond und Ersten Viertel mit Letzten Viertel, zu fast gleicher Tageszeit wiederkehren, bei Berechnung der Syzygien und Quadraturen einer der Beispiele zum Ausdruck gebracht. Die 19-jährige Periode (= 215 Lunationen), nach welcher die gleichen Mondphasen wieder auf denselben Tag fallen, ist bei Aufstellung der Tafel V verwendet worden, damit so unter Zeitbestimmung der Tafeln I bis IV die Daten der jährlichen Mondörter des Mittelwerts nach genau bestimmt werden können. Die Periode von 18 Jahren 11 Tagen (= 223 Lunationen), die sogenannte Sarosperiode der alten Ägypter, nach welcher die Finsternisse in ungefährr gleicher Größe wiederkehren, ist in der Tafel Verwendung gefunden. Es kann dadurch erkannt werden, in welcher Weise eine jede Finsternis nach Ablauf einer solchen Periode an Größe zunimmt oder abnimmt.

## Die Vergleichung von Mondaufnahmen untereinander.

 In einem Observatorium hat sich Herr E. Teichert zusammen mit Herrn M. Farnes mit Studien über die

Ansehen der Mondanbahnungen beschäftigt, wobei sie Gelegenheit nahmen, Mondaufnahmen, die zu verschiedenen

Zellen gemacht worden waren, miteinander zu vergleichen. Sie haben dadurch die Schwierigkeit kennen gelernt, welche während des Mondvollaufs das veränderte Aussehen der Mondkonturen einer solchen Vergleichung darbietet. Diese Schwierigkeit hat ihren Ursprung in der veränderlichen Beleuchtung der Mondoberfläche durch die Sonne. Unauflöflich wechselt die Lage der Lichtgrenze auf dem Monde, d. h. die scheinbare Linie, längs welcher die Sonne im Horizont steht und die also die Grenze zwischen Tag und Nacht auf dem Monde bezeichnet. Auf der beleuchteten Fläche des Mondes steht die Sonne um so höher je näher jener Punkt dieser Fläche an die Lichtgrenze liegt und da bei höher stehender Sonne die Schatten länger und als bei höherem Sonnenstande, so zeigen sich in der Nähe der Lichtgrenze die Erhöhungen und Vertiefungen der Mondoberfläche deutlicher als bei größerem Abstände von derselben. Diese Tatsache ist selbstverständlich der Beobachter Touchet und Forman bekannt und ebenso haben sie bemerkt, daß das Aussehen der Mondkonturen überhaupt je nach der Beleuchtung desselben durch die Sonne sehr verschieden ist. Um Zeichnungen der Mondlandschaften, die bei sehr verschiedenen Beleuchtungsverhältnissen der letzteren erhalten wurden, miteinander zu vergleichen, muß man diesen ungleichen Beleuchtungsverhältnissen Rechnung tragen. Hürmel beschloß daher auch die gesamten Beobachtungen einer besonderen Abhandlung<sup>1)</sup>.

Es bemerkt, daß man die Länge der Schatten der dargestellten Mondberge zum Maßstabe für die Vergleichung der Beleuchtungsverhältnisse nehmen könne, doch sei dieses, bei hoher Beleuchtung, also nahe dem Vollmonde, unzulässig, weil dann die meisten Mondobjekte keinen oder nur sehr wenig wahrnehmbaren Schatten werfen. Das

ist richtig, aber im den Vollmond herum wird man spezielle topographische Studien der Mondoberfläche überhaupt nicht machen, da während des vollen Mondes, eben weil es sich überhaupt nicht durch Schattenwurf hervorheben machen kann, unsichtbar ist. Nur wenn es sich um das Vordahersein oder das Aussehen gewisser heller Punkte der Mondoberfläche handelt, muß man bei hoher Beleuchtung beobachten, aber man ist dann sehr oft in Verlegenheit solche hellen Punkte überhaupt mit sonst nichtem Detail zu identifizieren. Das oben genannten Beobachter bemerken, daß manche Schenographen bei ihren Zeichnungen oder Beschreibungen das sogenannte Alter des Mondes, d. h. die Zeitdauer, welche seit dem letzten Neumonde verstrichen ist, in Tagen und Stunden angeben; sie sagen meistens mit Recht, daß diese Angaben sehr mager sind und nur eine oberflächliche Beschreibung der Beleuchtungsverhältnisse der Mondlandschaften gestatten. Tatsächlich kommt es heute vor ausnahmsweise vor, daß ein Beobachter für seine Wahrnehmungen oder Zeichnungen auf das sogenannte Alter des Mondes rekurriert, wenigstens wird sich ein erfahrener Schenograph niemals darauf beschränken. Anders Beobachtung z. B. Prof. W. H. Pickering, geben bei jeder Beobachtung die Zahl der Stunden an, die verlossen sind seit die Sonne über der beobachteten Mondgegend aufgegangen ist. Diese Methode ist erheblich genauer als die vorhergenannte, sie führt aber auch gelegentlich zu ungenauen Resultaten, weil die gleiche Stundenzahl seit dem Aufgange der Sonne einer ungleichen Beleuchtung der mondlichen Mondgegend entsprechen kann, je nach der Geschwindigkeit des Mondes in seiner Bahn. Die Beobachter Touchet und Forman sind deshalb zu dem Ergebnisse gekommen, daß man bei Mondaufnahmen am besten die astronomische Länge beifügen solle, in welcher die Lichtgrenze des Mondäquator schneidet. Diese Lage der

<sup>1)</sup> Bulletin astronomique Tom II, Juli 1905 S. 341.



der ersten Bahnberechnung derselben, daß die halbe große Achse demjenigen der Jupiterbahn entspricht. Die spätere genauere Berechnung zeigt dann, daß diese Halbachse der Plutobahn noch etwas größer ist als die der Jupiterbahn. Das Perihel von Nr 568 liegt desshalb der Jupiterbahn, während das Aphelium um volle  $\frac{1}{2}$  der Bahnlänge

der Erdbahn über die Jupiterbahn hinaus liegt. Eine Zusammenstellung der hauptsächlichsten Bahnmerkmale der vier Planeten können Plutiden oder Gegenüberstellung der entsprechenden Bahnmerkmale des Jupiter ist am geeignetsten, die tatsächlichen Verhältnisse derselben zu illustrieren.

	568	417
U . . . . .	33.64	31.60
a . . . . .	5.350	5.146
e . . . . .	0.1711	0.1475
$\varpi$ . . . . .	295.5°	418.4°
i . . . . .	10.3°	33.1°

In dieser Tabelle bezeichnet U die Umlaufzeit in Jahren, a die halbe große Bahnachse in Einheiten der mittleren Entfernung der Erde von der Sonne, e die Exzentrizität der Bahn,  $\varpi$  die Länge des sonnigen Knotens, i die Neigung der Bahn gegen die Ekliptik. Die Bahnberechnung des Plutiden

568	1994 C.S.	Jupiter
12.13	11.79	11.87
5.378	5.301	5.203
0.0773	0.1115	0.0483
142.9°	350.8°	94.5°
10.1°	4.5°	1.3°

1994 C.S. ist von Dr. M. Ebell in Kiel ausgeführt worden und beruht auf den Weibull's Aufnahmen vom 23. März, 26. April und 18. Mai. Interessant ist, daß von den vier Plutiden der Jupitergruppe zwei dies kleiner und zwei eine größere mittlere Entfernung von der Sonne haben als Jupiter selbst.

## Beobachtungen des Jupiter.

Auf der Urania-Sternwarte zu Kaputlagen hat H. E. Loe seine Beobachtungen des Jupiter fortgesetzt und berichtet uns darüber<sup>1)</sup>. Wir entnehmen diesem Berichte folgendes.

Als die Messungen der Jupiterstreifen im November 1907 wieder aufgenommen wurden, war der nördliche Äquatorstreifen bereits schwächer geworden. Die nördliche Gruppe bildete eine rote rote Kuchenscheibe, die im Frühjahr 1908 sehr breit und verschwommen wurde, die Kuchenscheibe erschien im April als eine äußerst komplizierte Reihe von dunklen Fleckchen und hellen rötlichen mit langen gekrümmten Ausläufern auf der Nordseite.

Der südliche Äquatorstreifen (IV) erschien dunkelgrün, vielfach etwas bläulich, er war durch eine helle Zentrallinie geteilt, die jedoch äußerst

unregelmäßig verhielt; in 30° Länge lief diese helle Linie in die Äquatorlinie aus.

Der Streifen V war dunkelgrün, jedoch ohne die bläuliche Färbung, die bei IV erscheint wurde. Über diesem Streifen erstreckte eine Kette von hellen Flecken, die in einer Art von Pfeilschweif zusammenfloßen. Von dem nördlichen Polarkreis (V\*) vermittelte der Beobachter keine Spur zu erkennen. Der Streifen II war ebenfalls schwach, nützlich und graubraun.

Der nördliche Polarkreis (V\*) war grau und ziemlich scharf gegen Süden begrenzt, während die nördliche ohne nördliche Grenzen mit dem polaren Gegenstand zusammenfloß.

Die Messungen der Streifen wurden stets mit 365 facher Vergrößerung gemacht.

Der Beobachter teilt seine schönsten Messungen der schönsten Lage der

<sup>1)</sup> Astron. Nachrichten, Nr. 4366.  
Serie 1908, Blatt 5.

5 Stationen auf der Jupiterstreifen mit. Beim Streifen IV wurde die Breite des nördlichen und südlichen Randes jede für sich bestimmt. Es gibt demnach die folgende Zusammenstellung der Breiten:

Breiten der Jupiterstreifen

	1901-2	1902-3	1903-4	1904-5	1905-6
I . . .	+38.0	+36.1	+35.3	+35.8	+35.0
II . . .	+26.2	—	+21.9	+20.4	+20.4
III . . .	+ 8.8	+ 9.8	+ 8.8	+ 5.8	+ 4.4
IV . . .	- 5.7	- 5.6	- 5.6	- 5.6	- 5.6
	-15.4	-17.1	-18.0	-19.4	-19.8
V . . .	-26.3	-26.7	-27.9	-27.5	-27.3

Lau hat ferner die Lage des roten Fleckes auf der Jupiterstafel astronomisch gemessen und findet die von Phillips benutzte Abnahme der Länge desselben bestätigt.

Auch war es ihm möglich eine Neubaubestimmung des roten Fleckes

teile der von Prof. H. Struve und ihm selbst ausgeführten Messungen der Breiten der Jupiterstreifen für den Zeitraum von 1900 bis 1908.

anzustellen. Es fand sich, daß er in denselben Niveau wie die von Prof. H. Struve und Lau früher gemessenen hellen und dunklen Flecke sich befindet, und er gehört also den höheren Schichten der Jupiteratmosphäre an.

## Der 60zöllige Reflektor des Observatoriums auf Mount Wilson.

(S. 111 Tafel X.)

Die Carnegie-Institution zu Washington hat bekanntlich auf Mount Wilson ein astronomisches Observatorium errichtet, welches mit den wichtigsten zu den in Aussicht genommenen Beobachtungen benötigten Instrumenten ausgestattet wird. Unter dem letztem wird ein Reflektor von 60 engl. Zoll Durchmesser des Objektivglases an der Spitze stehen. Derselbe ist, wie bereits früher im Sinne erwähnt wurde, von Ritchey nach seiner Methode geschliffen und gehört werden. Als dieser Spiegel im April 1903 seine vollständige Politur erhalten hatte, fand sich eines Morgens, daß seine Oberfläche verkratzt war. Wie diese Kratze entstanden sind, konnte nicht festgestellt werden, um so weniger, als während der Aufbeziehung des

Spiegels die größten Vorsichtsmassregeln angewandt worden waren jede Beschädigung seiner verfertigten Oberfläche zu vermeiden. Jedenfalls mußte der Spiegel aufs neue poliert werden und es ist bezeichnend für die große Erfahrung des Verfertigers, daß die Neuherstellung der reflektierenden Fläche in wenigen Monaten gelang und die Fläche selbst so genau der theoretischen Vordrirt entspricht als nur gefordert werden kann. Auch die Montierung des großen Teleskops, welche von der Union-Frank-Werk Company hergestellt wird, ist so gut wie vollendet. Derselbe Objectiv ist eben auch das größte stählernen Teleskophaus für den 60zölligen Reflektor, dessen Bau richtig vom Schreiner. Den Zustand des Baues gegen Ende vorigen Jahres zeigt Tafel X.



## Fernmische Nachrichten.

**Die Sonnenparallaxe.** Wie Prof. C. D. Pettit mitteilt, sind die Untersuchungen über die Bestimmung der Sonnenparallaxe aus photographischen Aufnahmen des Eos mit dem Grubb-Kollimator der Licksternwarte, nahezu beendet und dürfte in einigen Monaten veröffentlicht werden. Der endgültige Wert der Parallaxe ist noch nicht eingeleitet, doch kann versucht werden, daß er von dem bis jetzt angenommenen Werte  $8.800''$  schwachlich um mehr als  $0.010''$  abweichen wird.

Die am astrophysikalischen Observatorium des Smithsonian-Instituts ausgeführten Untersuchungen wurden vom Direktor dieses Observatoriums der Akademie der Wissenschaften zu Washington eingeleitet. Dem Bericht darüber entnehmen die Naturwissenschaftliche Rundschau (Nr. 27) die folgende:

Der mittlere Wert der Sonnenkonstante, d. h. der Strahlung pro Quadratcentimeter in der Höhe beträgt, aus 44 Beobachtungen in Washington von 1902 bis 1906 ungefähr, 2.060 Kalorien, aus 59 Beobachtungen auf dem Mount Wilson, Kalifornien, im Jahr 1905/1906, und aus 62 Beobachtungen auf dem Mount Wilson im Jahre 1906 2.020 Langley liest es für angezeigt, seine Sonnenkonstantenwerte aus den Beobachtungen auf dem Mount Whitney von 1851 über ein Drittel heranzuliegen, weil er annahm, das Rayleighs Durchdringungsgesetz anwendig sei. Diese Rayleighs scheint aber nicht ganz richtig zu sein und Langleys Werte wären andere folgende. Für Long Pine 2.06 und für Mountain Camp 2.23; eine Differenz wird mit Recht den verschiedenen Umständen zugeschrieben, und nicht den Höhenunterschiede. Die Tatsache, daß es zwei gute Übereinstimmung zwischen den Werten von Washington, Long Pine, Mount Wilson und Mount Whitney gefunden wird, macht es höchst wahrscheinlich, daß der wahre

Wert der Sonnenkonstante nur sehr wenig von 2.1 Kalorien abweicht. Aus der Temperatur der strahlenden Erdoberfläche ist nachgewiesen worden, daß die Sonnenkonstante nicht größer sein kann als 2.13 Kalorien, falls das Reflexionsvermögen der Erde ein Planet nicht 37 5 übersteigt. Der letztere Wert wurde abgeleitet aus Messungen des Reflexionsvermögens der Wolken und anderer irdischen Oberflächen.

Veränderungen der Sonnenkonstantenwerten wurden sowohl in Washington als auf dem Mount Wilson beobachtet, und sie sind so groß und durch Beobachtung so sicher festgestellt, daß die Fortsetzung der Untersuchungen an zwei Observatorien in vollkommenen Objekten der Erde, die voneinander weit getrennt sind, wissenschaftlich ist. Eine Studie der Oberflächentemperaturen an 48 über die Erde weit verstreuten Landstationen weist darauf hin, daß Temperaturschwankungen vorgekommen sind, welche durch Schwankungen der Sonnenstrahlung von kurzer Periode bedingt sein können. Der Sonnenfleckenzyklus ist deutlich verknüpft mit einer Temperaturschwankung, denn höhere Temperaturen treten zur Zeit des Sonnenfleckenmaximums auf.

Die Änderung der Helligkeit der Sonnenkorbe vom Zentrum zum Rande wurde für verschiedene Wellenlängen des Lichts und an zahlreichen Beobachtungstagen aufgeschrieben. Änderungen in der Schwelligkeit dieser Variation sind teilweise bemerkt worden, und diese Änderungen mögen verknüpft sein mit Schwankungen der Konstante der Sonnenstrahlung. Wahrscheinlich ist Ursache der verschiedenen Helligkeit in der Nähe des Sonnenrandes der niedrigen Temperatur der Lichtquellen am Rande, was von dem Umstand herrührt, daß die Zerstreuung des Lichts durch die Gasatome der Sonne am Rand, am Rande so viel zu sehen, wie im Zentrum der Scheibe. (Die Strahlungs-

streuung in der Atmosphäre ist so groß, daß nach Analogie die Zerstreuung wahrscheinlich am heftigsten in der Nähe der Sonnenoberfläche selbst als bis  $\frac{1}{4}$  des Sonnenradius unter der äußeren Photosphärenschichten zu finden und bedeutend weniger bei am Rande wegen der größeren Weglänge der Strahlen bis zu einer Schwächung von geringer Tiefe. Dies erklärt die schwerer scharfe Grenze der Sonnenoberfläche, trotzdem man eine große Beschaffenheit der Sonne wegen ihrer äußerst hohen Temperatur annehmen gezwungen ist.

Die Sonnenfinsternis-Expedition nach Fint Island am 3. Januar beschäftigte sich mit der Intensität der Koronastrahlen und fand die hellsten nur etwa  $\frac{1}{4}$  so hell wie die Sonnenstrahlen. Die Zusammensetzung der Koronastrahlen differierte wenig von der des Sonnenlichts, was dafür spricht, daß die Koronastrahlen wahrscheinlich aus verdichteten Sonnenstrahlen sind.

Eine Bedeckung des II. Jupitermondes durch den I. wurde am 25. Februar 1905 durch Prof. Hartmann am Astrophysikalischen Observatorium in Potsdam beobachtet<sup>1)</sup>. Resultat wurde der große Refraktor von 90 cm Öffnung und eine 450-fache Vergrößerung. Die Scheibe des Mondes bedeckte sich nicht zeitlich, als der Mond I vor dem anderen vorbeiging, sondern etwa zur Hälfte, wobei Mond II südlich von I blieb. Innerhalb

der Scheibe war die Trennungslinie nicht zu erkennen. Die erste Berührung der Scheiben fand statt 9<sup>h</sup> 43<sup>m</sup> 47<sup>s</sup>, die letzte 9<sup>h</sup> 47<sup>m</sup> 22<sup>s</sup> M. E. Z.

Das Himmelsteleskop von 100 Zoll Spiegeldurchmesser, welches die Carnegie-Institution in Washington auf ihre Kosten durch Dr. Ritchey herstellen ließ, ist bezüglich seiner Ausführung gesichert. Der große Oblokk, aus welchem der Spiegel hergestellt wird, wurde am 26. August 1907 gegossen und ist vollkommen gelungen. Sein Gewicht beträgt 4500 Kilo und er befindet sich bereits auf dem Wege nach America. Auch die Maschen, welche zur Gestaltung des Spiegels dient, ist vollkommen und ebenso das Gehäuse, das sie umschließt. Nach den bisherigen Erfahrungen, welche Dr. Ritchey mit der Herstellung sehr großer Spiegelskope machte, kann an dem Gelingen des größten Teleskops, das er jezt unterwies, nicht gezweifelt werden. Dasselbe wird an Leitstärke das berühmte russische Kosmoskop etwa um das Dreifache überbieten.

Fernere die Freunde der Himmelsbeobachtung. Aus dem Lenzblatt des »Stern« sind mit mehreren größeren und kleineren sehr gut erhaltenen Formulare zum Verleiste angemeldet worden. Fernere der Himmelsbeobachtung, welche die Anschaffung eines solchen Instrumente beabsichtigt, und sich diesbezüglich an mich wenden, bis ich zu jeder gewünschten Auskunft gerne bereit.

Prof. Dr. Klein

<sup>1)</sup> J. A. N. Nr. 426.

### Zu verkaufen:

Torvaldsen's Refraktor von 7<sup>1</sup>/<sub>2</sub> engl. Zoll Spiegelöffnung, 8<sup>1</sup>/<sub>2</sub> Zoll Koronweite am Sucher, 7 astronomischen Gläsern, bis zu 100facher Vergrößerung. Hauptvorteil besitzt 3 besondere Okulare und 4 Sonnenfilter, parallelstrahlend montiert und in einem Lager behaltend, Stunden und Sekundenzeiten durch Linsen ablesbar, intelligenter Uhr-

werk, dessen Gang beim Anziehen mit unterbrechen wird, Feinbewegung der Stundenachse unabhängig vom Uhrwerk, Qualitätslinsen mit Akromatkorrektur, alles in gutem Zustande, ist besonders Uhrmacher hatten für den Preis von 2000 Mark zu verkaufen. Näheres durch Prof. Dr. Klein in Köln-Landstr.

# Astronomischer Kalender für den Monat November 1908.

Sonnen				Mond			
Mittlere Berliner Mittag.				Mittlere Berliner Mittag.			
Tag v. J.	Zeit M. Z. — W. Z.	Rektascension	Declination	Rektascension	Declination	Mond im Meridiane	
	h m s	h m s	° ' "	h m s	° ' "	h m	
1	— 56 14 78	14 52 7 36	— 34 55 49 2	55 45 13 50	— 41 44 48 4	6 58 0	
2	56 15 00	14 53 56 51	34 42 37 1	55 46 10 79	34 35 58 4	7 58 0	
3	56 15 28	14 55 52 75	35 1 34 1	55 50 53 75	23 57 48 1	8 58 0	
4	56 15 58	14 58 47 87	35 26 17 8	55 55 26 95	14 43 38 2	9 58 0	
5	56 16 24	14 45 47 47	35 56 56 2	5 55 55 15	— 5 57 18 4	10 58 0	
6	56 16 54	14 44 48 54	35 58 48 8	1 55 46 84	+ 2 46 17 2	10 57 3	
7	56 17 21	14 47 46 34	36 12 30 7	0 5 47 14	9 41 58 1	11 58 3	
8	56 17 50	14 55 48 59	36 38 11 8	0 5 50 75	18 55 58 4	12 58 4	
9	56 1 79	14 54 48 44	36 48 56 4	0 5 5 56	28 54 54 7	13 58 5	
10	56 1 50	15 0 49 37	37 0 36 3	0 5 5 56 84	31 53 17 8	14 58 8	
11	56 1 58	15 1 50 31	37 30 25 8	0 5 13 50	33 53 38 8	15 58 8	
12	56 2 27	15 6 44 54	37 56 46 1	0 46 1 49	34 53 8 3	16 58 1	
13	56 25 29	15 13 57 40	37 55 39 5	7 46 37 28	29 49 1 5	17 58 0	
14	56 26 47	15 17 4 77	38 11 56 8	8 50 55 50	20 10 56 8	17 58 3	
15	56 28 04	15 14 51 56	38 37 33 1	9 52 58 83	11 24 37 1	18 58 4	
16	56 28 30	15 26 54 56	38 48 54 8	10 55 45 17	1 11 47 7	19 58 5	
17	56 28 57	15 39 56 56	38 57 37 7	11 58 38 34	8 10 42 8	20 58 6	
18	56 29 25	15 53 54 51	39 13 9 5	12 44 30 43	7 45 37 4	20 57 7	
19	56 29 54	16 12 44 46	39 26 17 3	13 26 53 15	+ 5 55 54 5	21 58 8	
20	56 30 27	16 41 34 34	39 46 1 8	13 18 8 72	— 0 10 59 7	22 58 1	
21	56 4 03	16 48 8 38	39 57 33 8	13 55 54 25	7 13 57 5	23 57 0	
22	56 5 27	16 58 57 32	40 0 45 8	14 42 46 77	14 4 59 8	24 56 5	
23	56 53 41	16 54 53 56	39 58 30 7	15 40 38 85	15 55 53 8	—	
24	56 53 47	16 58 44 34	39 55 53 1	16 28 30 38	26 11 49 8	0 57 8	
25	56 5 14	17 0 42 42	39 42 54 8	17 16 47 34	26 51 55 8	1 58 0	
26	56 29 25	17 0 11 35	39 53 5 8	18 58 41 56	24 13 57 8	0 58 0	
27	56 29 54	17 11 56 59	40 0 40 8	19 50 50 44	24 5 48 8	0 58 0	
28	56 30 27	17 18 47 34	40 57 33 8	20 37 38 45	22 27 18 8	0 58 0	
29	56 30 54	17 28 4 35	41 37 33 8	21 28 30 58	19 58 11 4	0 58 0	
30	— 11 27 55	17 52 52 55	— 42 37 38 8	22 55 37 54	— 15 11 58 8	0 58 0	

## Planetensichtbarkeiten 1908.

November	2	25.	Merkur in der Sonne.
"	4	19	Saturn in Konjunktion mit dem Monde.
"	12	9	Venus in der Sonne.
"	13	8	Merkur in größter westl. Elong. 10° 18
"	14	8	Merkur in größter westl. helios. Breite
"	14	19	Jupiter in Konjunktion mit dem Monde
"	20	8	Venus in Konjunktion mit dem Monde
"	25	7	Merkur in Konjunktion mit dem Monde
"	26	8	Merkur in Konjunktion mit dem Monde
"	30	24	Venus in Konjunktion mit Mars. Venus 1° 17' westl.

Planeten- Ephemeriden.

Mittlere Berliner Mittag.					Mittlere Berliner Mittag.				
Tag M.	Rektascension			Oberer Meridian- durchg.	Tag M.	Rektascension			Oberer Meridian- durchg.
	h	m	s			h	m	s	
1208 Merkur.					1209 Saturn.				
Nov. 1	14	46	10.10	— 0.26	1.7	23	49		
10	13	51	26.17	— 0.4	1.07	23	38		
18	14	0	37.12	— 0.36	1.07	23	28		
26	14	00	51.47	— 0.55	1.06	23	17		
34	14	0	14.05	— 1.00	1.10	23	6		
35	14	00	27.70	— 1.0	1.1	23	55		
Venus.					Uranus.				
Nov. 1	24	11	24.4	+ 0.36	1.0	24	54		
10	23	59	7.51	— 1.40	2.5	24	43		
20	23	55	26.43	— 0.59	22.4	24	32		
30	24	17	31.50	— 0.5	22.7	24	21		
35	24	40	48.46	— 0.55	20.2	24	10		
36	24	0	59.50	— 0.59	19.5	24	0		
Mars.					Neptun.				
Nov. 1	25	0	48.55	— 0.46	2.0	25	0		
10	25	10	47.53	— 0.4	24.3	25	50		
20	25	27	53.75	— 0.15	20.0	25	40		
30	25	48	7.44	— 0.51	20.4	25	30		
35	25	53	27.53	— 0.47	13.4	25	20		
36	26	4	44.51	— 0.15	13.5	25	10		
Jupiter.					Mondphasen 1208.				
Nov. 1	16	40	37.45	+ 0.07	10.4	25	12		
10	16	54	20.74	— 0.1	10.5	25	10		
20	16	57	14.76	+ 0.44	10.8	25	8		

Mittlere Berliner Mittag.					Mittlere Berliner Mittag.				
Tag M.	Rektascension			Oberer Meridian- durchg.	Tag M.	Rektascension			Oberer Meridian- durchg.
	h	m	s			h	m	s	
1208 Merkur.					1209 Saturn.				
Nov. 1	14	46	10.10	— 0.26	1.7	23	49		
10	13	51	26.17	— 0.4	1.07	23	38		
18	14	0	37.12	— 0.36	1.07	23	28		
26	14	00	51.47	— 0.55	1.06	23	17		
34	14	0	14.05	— 1.00	1.10	23	6		
35	14	00	27.70	— 1.0	1.1	23	55		
Venus.					Uranus.				
Nov. 1	24	11	24.4	+ 0.36	1.0	24	54		
10	23	59	7.51	— 1.40	2.5	24	43		
20	23	55	26.43	— 0.59	22.4	24	32		
30	24	17	31.50	— 0.5	22.7	24	21		
35	24	40	48.46	— 0.55	20.2	24	10		
36	24	0	59.50	— 0.59	19.5	24	0		
Mars.					Neptun.				
Nov. 1	25	0	48.55	— 0.46	2.0	25	0		
10	25	10	47.53	— 0.4	24.3	25	50		
20	25	27	53.75	— 0.15	20.0	25	40		
30	25	48	7.44	— 0.51	20.4	25	30		
35	25	53	27.53	— 0.47	13.4	25	20		
36	26	4	44.51	— 0.15	13.5	25	10		
Jupiter.					Mondphasen 1208.				
Nov. 1	16	40	37.45	+ 0.07	10.4	25	12		
10	16	54	20.74	— 0.1	10.5	25	10		
20	16	57	14.76	+ 0.44	10.8	25	8		

Mittlere Berliner Mittag.					Mittlere Berliner Mittag.				
Tag M.	Rektascension			Oberer Meridian- durchg.	Tag M.	Rektascension			Oberer Meridian- durchg.
	h	m	s			h	m	s	
1208 Merkur.					1209 Saturn.				
Nov. 1	14	46	10.10	— 0.26	1.7	23	49		
10	13	51	26.17	— 0.4	1.07	23	38		
18	14	0	37.12	— 0.36	1.07	23	28		
26	14	00	51.47	— 0.55	1.06	23	17		
34	14	0	14.05	— 1.00	1.10	23	6		
35	14	00	27.70	— 1.0	1.1	23	55		
Venus.					Uranus.				
Nov. 1	24	11	24.4	+ 0.36	1.0	24	54		
10	23	59	7.51	— 1.40	2.5	24	43		
20	23	55	26.43	— 0.59	22.4	24	32		
30	24	17	31.50	— 0.5	22.7	24	21		
35	24	40	48.46	— 0.55	20.2	24	10		
36	24	0	59.50	— 0.59	19.5	24	0		
Mars.					Neptun.				
Nov. 1	25	0	48.55	— 0.46	2.0	25	0		
10	25	10	47.53	— 0.4	24.3	25	50		
20	25	27	53.75	— 0.15	20.0	25	40		
30	25	48	7.44	— 0.51	20.4	25	30		
35	25	53	27.53	— 0.47	13.4	25	20		
36	26	4	44.51	— 0.15	13.5	25	10		
Jupiter.					Mondphasen 1208.				
Nov. 1	16	40	37.45	+ 0.07	10.4	25	12		
10	16	54	20.74	— 0.1	10.5	25	10		
20	16	57	14.76	+ 0.44	10.8	25	8		

Mittlere Berliner Mittag.					Mittlere Berliner Mittag.				
Tag M.	Rektascension			Oberer Meridian- durchg.	Tag M.	Rektascension			Oberer Meridian- durchg.
	h	m	s			h	m	s	
1208 Merkur.					1209 Saturn.				
Nov. 1	14	46	10.10	— 0.26	1.7	23	49		
10	13	51	26.17	— 0.4	1.07	23	38		
18	14	0	37.12	— 0.36	1.07	23	28		
26	14	00	51.47	— 0.55	1.06	23	17		
34	14	0	14.05	— 1.00	1.10	23	6		
35	14	00	27.70	— 1.0	1.1	23	55		
Venus.					Uranus.				
Nov. 1	24	11	24.4	+ 0.36	1.0	24	54		
10	23	59	7.51	— 1.40	2.5	24	43		
20	23	55	26.43	— 0.59	22.4	24	32		
30	24	17	31.50	— 0.5	22.7	24	21		
35	24	40	48.46	— 0.55	20.2	24	10		
36	24	0	59.50	— 0.59	19.5	24	0		
Mars.					Neptun.				
Nov. 1	25	0	48.55	— 0.46	2.0	25	0		
10	25	10	47.53	— 0.4	24.3	25	50		
20	25	27	53.75	— 0.15	20.0	25	40		
30	25	48	7.44	— 0.51	20.4	25	30		
35	25	53	27.53	— 0.47	13.4	25	20		
36	26	4	44.51	— 0.15	13.5	25	10		
Jupiter.					Mondphasen 1208.				
Nov. 1	16	40	37.45	+ 0.07	10.4	25	12		
10	16	54	20.74	— 0.1	10.5	25	10		
20	16	57	14.76	+ 0.44	10.8	25	8		

Mittlere Berliner Mittag.					Mittlere Berliner Mittag.				
Tag M.	Rektascension			Oberer Meridian- durchg.	Tag M.	Rektascension			Oberer Meridian- durchg.
	h	m	s			h	m	s	
1208 Merkur.					1209 Saturn.				
Nov. 1	14	46	10.10	— 0.26	1.7	23	49		
10	13	51	26.17	— 0.4	1.07	23	38		
18	14	0	37.12	— 0.36	1.07	23	28		
26	14	00	51.47	— 0.55	1.06	23	17		
34	14	0	14.05	— 1.00	1.10	23	6		
35	14	00	27.70	— 1.0	1.1	23	55		
Venus.					Uranus.				
Nov. 1	24	11	24.4	+ 0.36	1.0	24	54		
10	23	59	7.51	— 1.40	2.5	24	43		
20	23	55	26.43	— 0.59	22.4	24	32		
30	24	17	31.50	— 0.5	22.7	24	21		
35	24	40	48.46	— 0.55	20.2	24	10		
36	24	0	59.50	— 0.59	19.5	24	0		
Mars.					Neptun.				
Nov. 1	25	0	48.55	— 0.46	2.0	25	0		
10	25	10	47.53	— 0.4	24.3	25	50		
20	25	27	53.75	— 0.15	20.0	25	40		
30	25	48	7.44	— 0.51	20.4	25	30		
35	25	53	27.53	— 0.47	13.4	25	20		
36	26	4	44.51	— 0.15	13.5	25	10		
Jupiter.					Mondphasen 1208.				
Nov. 1	16	40	37.45	+ 0.07	10.4	25	12		
10	16	54	20.74	— 0.1	10.5	25	10		
20	16	57	14.76	+ 0.44	10.8	25	8		

Mittlere Berliner Mittag.					Mittlere Berliner Mittag.				
Tag M.	Rektascension			Oberer Meridian- durchg.	Tag M.	Rektascension			Oberer Meridian- durchg.
	h	m	s			h	m	s	
1208 Merkur.					1209 Saturn.				
Nov. 1	14	46	10.10	— 0.26	1.7	23	49		
10	13	51	26.17	— 0.4	1.07	23	38		
18	14	0	37.12	— 0.36	1.07	23	28		
26	14	00	51.47	— 0.55	1.06	23	17		
34	14	0	14.05	— 1.00	1.10	23	6		
35	14	00	27.70	— 1.0	1.1	23	55		
Venus.					Uranus.				
Nov. 1	24	11	24.4	+ 0.36	1.0	24	54		
10	23	59	7.51	— 1.40	2.5	24	43		
20	23	55	26.43	— 0.59	22.4	24	32		
30	24	17	31.50	— 0.5	22.7	24	21		
35	24	40	48.46	— 0.55	20.2	24	10		
36	24	0	59.50	— 0.59	19.5	24	0		
Mars.					Neptun.				
Nov. 1	25	0	48.55	— 0.46	2.0	25	0		
10	25	10	47.53	— 0.4	24.3	25	50		
20	25	27	53.75	— 0.15	20.0	25	40		
30	25	48	7.44	— 0.51	20.4	25	30		
35	25	53	27.53	— 0.47	13.4	25	20		
36	26	4	44.51	— 0.15	13.5	25	10		
Jupiter.					Mondphasen 1208.				
Nov. 1	16	40	37.45	+ 0.07	10.4	25	12		
10	16	54	20.74	— 0.1	10.5	25	10		
20	16	57	14.76	+ 0.44	10.8	25	8		

Mittlere Berliner Mittag.					Mittlere Berliner Mittag.				
Tag M.	Rektascension			Oberer Meridian- durchg.	Tag M.	Rektascension			Oberer Meridian- durchg.
	h	m	s			h	m	s	
1208 Merkur.					1209 Saturn.				
Nov. 1	14	46	10.10	— 0.26	1.7	23	49		
10	13	51	26.17	— 0.4	1.07	23	38		
18	14	0	37.12	— 0.36	1.07	23	28		
26	14	00	51.47	— 0.55	1.06	23	17		
34	14	0	14.05	— 1.00	1.10	23	6		
35	14	00	27.70	— 1.0	1.1	23	55		
Venus.					Uranus.				
Nov. 1	24	11	24.4	+ 0.36	1.0	24	54		
10	23	59	7.51	— 1.40	2.5	24	43		
20	23	55	26.43	— 0.59	22.4	24	32		
30	24	17	31.50	— 0.5	22.7	24	21		
35	24	40	48.46	— 0.55	20.2	24	10		
36	24	0	59.50	— 0.59	19.5	24	0		
Mars.									

Störbedeckungen durch den Mond für Berlin 1908

Mittnachts	Stern	Größe	Dauer mittler Zeit		Anfang mittler Zeit	
			h	m	h	m
Nov. 1	10 Perseus	4.0	23	20.0	12	11.9
" 4	12 Perseus	5.0	24	3.4	14	48.0
" 9	4 Teles	5.0	0	54.8	16	58.0
" 20	9 Argem	4.0	0	48.0	18	41.7

Lage und Größe des Saturnsringes.

Nov. 1 Große Achse der Ringellipse 4940", Kleine Achse 140"  $\delta$ 61  
Erhöhungswinkel der Sonne über der Ringebene:  $\delta^{\circ}$  11.6'  $\delta$ 61

Nov. 16. Mittlere Scheitel der Ringkette  $22^{\circ}$  57'  $\delta$ 58"  
Winkel " "  $22^{\circ}$  57'  $\delta$ 58"  
Mittelpunkt des Saturn  $11^{\circ}$  18' 55"  $\delta$ 58"  
Perihelion " "  $1^{\circ}$  18' 55"



**Ercheinungen der Jupitermonde.** Die stündlichen Angaben über die Erscheinungen der Jupitermonde beziehen sich auf mittlere Zeit von Greenwich. Die Trabanten sind der Reihenfolge ihres Abstandes vom Jupiter nach mit I bis IV bezeichnet. Die starren gestrichelten Figuren zeigen die Stellung jedes Mondes mit Bezug auf den Jupiter für den Augenblick der Verfinsternng (V) oder des Wiederauftretens (W). Ist v nicht angegeben, so kann der Austritt aus dem Schatten nicht beobachtet werden. Fürster bedeutet bei den nachfolgenden Zeitangaben.

- Er D das Verschwinden des Trabanten im Schatten des Jupiter.
- Er R den Austritt des Trabanten aus dem Schatten des Jupiter.
- Ge D das Verschwinden des Trabanten hinter der Jupiterscheibe.
- Ge R das Wiederauftreten desselben neben der Jupiterscheibe.
- Tr I den Eintritt des Trabanten vor die Jupiterscheibe.
- Tr R den Austritt des Trabanten aus der Jupiterscheibe.
- gh I den Eintritt des Trabanten vor die Jupiterscheibe.
- gh R den Austritt des Trabanten aus der Jupiterscheibe.

Es sind nur diejenigen Erscheinungen der Jupitermonde aufgeführt, welche sich erkennen lassen, wenn Jupiter zu Greenwich über und der Sonne unter dem Horizont steht. Um die Momente dieser Erscheinungen nach mitteleuropäischer Zeit zu finden, hat man nur nötig, 1<sup>h</sup> zu den angegebenen Zeitpunkten zu addieren.

November 2. I. Er. D. 10<sup>h</sup> 12<sup>m</sup> 37<sup>s</sup>, II. Ge. R. 10<sup>h</sup> 31<sup>m</sup>. November 3. I. Gh. I. 12<sup>h</sup> 33<sup>m</sup>. I. Tr. I. 11<sup>h</sup> 34<sup>m</sup>. I. Gh. E. 10<sup>h</sup> 33<sup>m</sup>. II. Tr. E. 11<sup>h</sup> 33<sup>m</sup>. November 4. I. Ge. R. 10<sup>h</sup> 33<sup>m</sup>. November 7. III. Er. R. 10<sup>h</sup> 32<sup>m</sup> 34<sup>s</sup>. III. Ge. D. 11<sup>h</sup> 47<sup>m</sup>. IV. Er. D. 10<sup>h</sup> 33<sup>m</sup> 40<sup>s</sup>. November 8. II. Er. D. 10<sup>h</sup> 33<sup>m</sup> 40<sup>s</sup>. I. Er. D. 10<sup>h</sup> 33<sup>m</sup> 40<sup>s</sup>. I. Er. D. 10<sup>h</sup> 33<sup>m</sup> 40<sup>s</sup>. November 10. I. Gh. I. 10<sup>h</sup> 33<sup>m</sup>. I. Tr. I. 11<sup>h</sup> 34<sup>m</sup>. I. Gh. E. 10<sup>h</sup> 33<sup>m</sup>. November 11. I. Er. D. 10<sup>h</sup> 33<sup>m</sup> 40<sup>s</sup>. II. Tr. E. 10<sup>h</sup> 33<sup>m</sup>. I. Ge. R. 10<sup>h</sup> 33<sup>m</sup>. November 12. I. Gh. E. 10<sup>h</sup> 33<sup>m</sup>. I. Tr. E. 10<sup>h</sup> 33<sup>m</sup>. November 14. II. Er. D. 10<sup>h</sup> 33<sup>m</sup> 40<sup>s</sup>. IV. Tr. E. 10<sup>h</sup> 33<sup>m</sup> 40<sup>s</sup>. IV. Tr. E. 10<sup>h</sup> 33<sup>m</sup>. November 17. I. Gh. I. 11<sup>h</sup> 34<sup>m</sup>. I. Tr. I. 11<sup>h</sup> 34<sup>m</sup>. November 18. III. Er. D. 10<sup>h</sup> 33<sup>m</sup> 40<sup>s</sup>. III. Er. D. 10<sup>h</sup> 33<sup>m</sup> 40<sup>s</sup>. November 19. IV. Tr. E. 10<sup>h</sup> 33<sup>m</sup>. II. Er. D. 10<sup>h</sup> 33<sup>m</sup> 40<sup>s</sup>. IV. Tr. E. 10<sup>h</sup> 33<sup>m</sup>. November 21. I. Gh. I. 11<sup>h</sup> 34<sup>m</sup>. I. Tr. I. 11<sup>h</sup> 34<sup>m</sup>. November 22. III. Er. D. 10<sup>h</sup> 33<sup>m</sup> 40<sup>s</sup>. III. Er. D. 10<sup>h</sup> 33<sup>m</sup> 40<sup>s</sup>. November 23. I. Gh. E. 10<sup>h</sup> 33<sup>m</sup>. I. Tr. E. 10<sup>h</sup> 33<sup>m</sup>. November 24. I. Gh. E. 10<sup>h</sup> 33<sup>m</sup>. I. Tr. E. 10<sup>h</sup> 33<sup>m</sup>. November 25. I. Gh. E. 10<sup>h</sup> 33<sup>m</sup>. I. Tr. E. 10<sup>h</sup> 33<sup>m</sup>. November 26. I. Gh. E. 10<sup>h</sup> 33<sup>m</sup>. I. Tr. E. 10<sup>h</sup> 33<sup>m</sup>. November 27. I. Gh. E. 10<sup>h</sup> 33<sup>m</sup>. I. Tr. E. 10<sup>h</sup> 33<sup>m</sup>. November 28. I. Gh. E. 10<sup>h</sup> 33<sup>m</sup>. I. Tr. E. 10<sup>h</sup> 33<sup>m</sup>. November 29. I. Gh. E. 10<sup>h</sup> 33<sup>m</sup>. I. Tr. E. 10<sup>h</sup> 33<sup>m</sup>. November 30. I. Gh. E. 10<sup>h</sup> 33<sup>m</sup>. I. Tr. E. 10<sup>h</sup> 33<sup>m</sup>.

## Stellungen der Saturnmonde. (Erklärung S. 20.)

Zeiten der größten Elongation im November 1905.

**Tethys.** November 8 21<sup>h</sup> 15<sup>m</sup>, November 9 10<sup>h</sup> 45<sup>m</sup>, November 9 11<sup>h</sup> 15<sup>m</sup>, November 9 19<sup>h</sup>, November 10 17<sup>h</sup>, November 11 10<sup>h</sup>, November 12 10<sup>h</sup>, November 13 22<sup>h</sup>, November 17 19<sup>h</sup>, November 20 20<sup>h</sup>, November 21 20<sup>h</sup> 15<sup>m</sup>, November 22 11<sup>h</sup> 15<sup>m</sup>, November 23 21<sup>h</sup>, November 24 10<sup>h</sup>, November 25 21<sup>h</sup>.

**Dione.** November 8 10<sup>h</sup> 15<sup>m</sup>, November 9 14<sup>h</sup> 15<sup>m</sup>, November 9 19<sup>h</sup>, November 10 15<sup>h</sup>, November 11 10<sup>h</sup> 15<sup>m</sup>, November 12 10<sup>h</sup>, November 13 22<sup>h</sup>, November 14 10<sup>h</sup>, November 15 21<sup>h</sup>, November 16 10<sup>h</sup>, November 17 10<sup>h</sup>, November 18 19<sup>h</sup>.

**Reia.** November 8 10<sup>h</sup> 15<sup>m</sup>, November 9 11<sup>h</sup> 15<sup>m</sup>, November 10 10<sup>h</sup> 15<sup>m</sup>, November 11 10<sup>h</sup> 15<sup>m</sup>, November 12 10<sup>h</sup> 15<sup>m</sup>, November 13 10<sup>h</sup> 15<sup>m</sup>, November 14 10<sup>h</sup> 15<sup>m</sup>.

**Titan.** November 8 17<sup>h</sup> 15<sup>m</sup>, November 9 14<sup>h</sup> 15<sup>m</sup>, November 11 10<sup>h</sup> 15<sup>m</sup>, November 12 10<sup>h</sup> 15<sup>m</sup>, November 13 10<sup>h</sup> 15<sup>m</sup>, November 14 10<sup>h</sup> 15<sup>m</sup>, November 15 10<sup>h</sup> 15<sup>m</sup>, November 16 10<sup>h</sup> 15<sup>m</sup>, November 17 10<sup>h</sup> 15<sup>m</sup>, November 18 10<sup>h</sup> 15<sup>m</sup>.

**Jagetur.** November 11 10<sup>h</sup> 15<sup>m</sup>.



Table 10.

Building for the 10-story Kofu Hotel and Mount Wilson in New.

# SIRIUS.

Zeitschrift für populäre Astronomie.

Gesamorgan für alle Freunde und Förderer der Himmelskunde.

Herausgegeben

unter Mitwirkung hervorragender Fachmänner und astronomischer Sachverständiger

von Prof. Dr. Hermann J. Klein in Köln.

Oktober 1908.

„Wissen und Erleben sind die Freunde und die  
Bewehrung der Menschheit.“ Ernst.

Jeden Monat 1 Heft. — Jährlich 12 Hef.

Verlag von EDUARD HEINRICH MAYER in Leipzig.

INHALT: Der Sternwarteauftrag in Österreich. Von J. Palen. S. 171. — Die Arbeiten auf dem Gebiete der Astrophysik im Jahre 1907 an den deutschen Observatorien. S. 193. — Schwankungen in der Wärmestrahlung der Sonne. S. 219. — Der 10. Monat des Jahres (Jahres Tafel XL). S. 229. — Die tiefsten Erscheinungen des Helixgalactischen Kometen. S. 235. — Ein ungewöhnlicher Vorpäuser Galaxie. S. 237. — Veränderliche Hauptsterne. S. 234. — Astronomischer Kalender. S. 237. — Beiträge zur Jagdmotiv. S. 239. — Erscheinungen der Jupitermonde. S. 240. — Beiträge zur Sonnenstrahlung. S. 240.

## Zur Sternwarteauftrag in Österreich.

Von J. Palen.



Es ist auch der menschliche Geist in die Geheimnisse der Natur eingedrungen ist, das höchste Interesse aller kultivierten Naturen hat doch immer der geistige Himmel erregt, und der ungelöste Problemat der Bewegung der Wandelsterne waren in früheren Zeiten das Objekt und Ziel der Forschung der unerschlossenen Geheimnisse. Als Kopernikus die richtige Lösung des Hauptproblems gefunden hatte, wurde neue Leben, welche die Erde von ihrem ersten Platz in einem Seitenwinkel des Universums stellte, vielfach angeknüpft und von den verschiedenen Religionsgesellschaften verdammt, dass mit der neuen Lehre war ja die Möglichkeit gegeben, daß auch andere Himmels-

körper von bewohnten Planeten umgeben seien. Sogar die Überwind des Kopernikanischen Lehren alle Verdammungsurteile, die bezeichnet die Anfang einer neuen Epoche der Naturforschung und seit dieser Zeit hat letztere immer mehr Gebiete erschlossen, das Tempo der Aufklärung der Geheimnisse in der Natur ist immer schneller geworden. Geht über die Astronomie das Verdienst, den größten Einfluss auf die geistige Entwicklung der Menschheit gewonnen zu haben, so hat sie weiterhin auch direkt im praktischen Leben eingegriffen, indem sie die Mächte der Zeit und ungelöste Wegweisern auf neuen und in unbekanntem Ländern geworden ist.



Wie wäre es um den Weltraum bestellt, ohne ihre Leistungen für den Aufbau? Ihr gegenwärtiges Ziel ist die Erforschung der immer neu sich entfaltenden Geheimnisse des Himmels, denn es war und bleibt eines der höchsten Ideale der Menschheit, Entdecken und Verstehen unserer Welt zu erkennen.

Wir nennen Astronomie eine ideale Wissenschaft, losgelöst vom Götterbau auf unserer kleinen Pflanz, genannt Erde, durchschaut sie das weite Weltall, hat lange ungelöste Fragen desethen und gibt wieder neue Rätsel zu lösen auf. Das Resultat der Forschungen der Astronomie spricht sich in Zahlen aus, aber nicht in Zahlen, die sich in klingende Münze umwandeln lassen, und doch, was sehr bedauerlich auch astronomische Forschung der künftigen Münze, soll sie mit Fortschreiten können zu immer höherer Entwicklung! Ihre Wissenschaften, die tief eingreifen in menschliche Leben, wie z. B. Medizin und Technik, geben mehr die allgemeine Aufmerksamkeit auf sich und es ergibt sich daraus von selbst, daß ihre landläufige Vertreter über Vorfälle ausfinden, meistens von selbst des Staates, anderwärts durch private Unterstützung für die Bedürfnisse und Wünsche zur Förderung ihrer Wissenschaft. Aber auch die ideale Wissenschaft verlangt ihr Recht. Wer sich ruhig verhält, stört auch die Ruhe anderer nicht, und man stimmt zu, daß er überhaupt nichts zu wünschen hat. Und doch, was vieles hilft zu wünschen für die astronomische Forschung in Österreich!

So will ich nun sprechen von jenen der Klänge der Wissenschaften gewählten Säulen, von unsern Sternwarten in Österreich. Das Fundament jeder astronomischen Forschung ist die Beobachtung. Es ist dann Sache des Theoretikers, unter Zuziehung der Lehren der Physik und Chemie das innere Zusammenhang der beobachteten Erscheinungen zu erkennen.

Je vollkommenere, je genauere, je zahlreicher die Beobachtungen sind, desto

schärfer werden die Resultate des Theoretikers ausfallen. Der Beobachter ist vom Wetter abhängig, trüben Wetter verhindert, dunklige Himmel erschwert die Beobachtung, verneigte Luft vermindert die Genauigkeit, und das beste Instrument kann nicht solchen Umständen nicht zur vollen Geltung kommen. Deshalb ist man in den letzten Jahren bestrebt gewesen, und die Amerikaner und die Vereinigten, die besten Instrumente dort aufzustellen, wo die Bedingungen vollkommen Himmel, große Durchsichtigkeit und Ruhe der Luft am besten erfüllt werden. Es ist ja präsumptiv anzunehmen, daß hohe Lagern, wie Hochsteiner, hohe Berge, im allgemeinen viel öfter bessere Himmels sich erweisen werden als tiefergelegene Plätze. Aber auch die Durchsichtigkeit der Luft nimmt mit der Höhe zu, denn das Licht der Sterne hat dort oben einen kürzern Weg in unserer Atmosphäre zurückzulegen als in der Tiefe. Dazu kommt, daß insbesondere blaue und violette Strahlen, die hervorragend auf die photographische Platte einwirken, durch die Atmosphäre viel stärker absorbiert werden als die roten, und daher die höhere Lage der besten, wenn es sich um photographische Beobachtungen handelt, weit vorzuziehen. Daher kann man die Störungen von Sternwarten, die in Südlage untergebracht sind, eine fast trostlose nennen. Prof. Seeliger hat auf der Astronomerversammlung in Jena 1906 erklärt, daß die Sternwarten in München und Leipzig verlegt werden müssen. Die Sternwarte in Hamburg wird bereits in Bergedorf neu gebaut, und für die Verlegung der Bodmer Sternwarte nach Heidelberg setzt sich der junge Direktor Struve auf die energischste ein. Auch die Sternwarten von Greenwich und Paris werden in der nächsten Zeit verlegt werden müssen. Dieser Zustand war aber nicht immer so, sondern ist begründet durch Änderung der Verhältnisse. Als die meisten dieser Institute gegründet wurden waren die Städte noch klein, der Dunst-

kräft, die sie enthalten, sehr gering, der Arbeitsgehalt in der Astronomie erstreckt sich nur auf die hellere Objekte des Himmels, und niemand konnte die Zukunft voraussagen. Mit der fortschreitenden Verbesserung der Einflügelung vollständigem Strahlenscheinung einmündig, mit den veränderten Forderungen der Astronomie andernorts, konnte sich der Zustand sehr rasch zum schlechteren. Die alte Wiener Sternwarte, die sich auf dem Dächern des Alarumsgebäudes mitten in der Stadt befand, hatte schon vor mehr halbjahrtausenden unter diesen ungünstigen Umständen zu leiden, und deshalb entschloß man sich in den sechziger Jahren die Sternwarte an die Peripherie zu verlegen, und so entstand das neue Institut auf der Türkenhöhe. Aber Wien verfügte sich von Jahr zu Jahr, die Häuser rückten immer näher, und der Dunst über Wien ward immer dichter. Denn kam die Beobachtung der Straßen durch das Auerthum und im Jahre 1903 durch Bagatellen. Der freie Felder ist ganz besonders ausschlaggebend für die Verschlechterung der Situation, denn das elektrische Licht beleuchtet nicht nur die Straßen, sondern auch den Drost, und es ist ganz auffallend, wie schnell sich die Durchsichtigkeit nach Mitternacht, wenn die elektrischen Lichter erlöschen, verbessert. Wenn von andrer Seite behauptet wird, daß die Situation der Wiener Sternwarte nicht so schlecht ist als ich sie wiederholt angegeben habe und hier ebenfalls behauptet, so wird man mit dem langjährigen Beobachter, der ähnliche Wacklungen erlebt hat, wohl glauben können. Daß trotzdem noch recht viel beobachtet wird, beweist nichts für die günstige Lage, sondern nur, daß die belästigten Beobachter sich nicht abschrecken lassen mit dem immer stärker werdenden Dunst zu klappen. Allerdings, wenn die Hauptaufgabe der Wiener Sternwarte im Unterricht in der Astronomie und nicht im Anstellen von Beobachtungen und der modernen Forschung entsprechenden Arbeiten besteht, dann ist der

Kampf mit dem Wetter nicht berechtigt, sondern überflüssig, denn für den Unterricht ist das Wiener Wetter noch gut genug. Über Wien wird die Sonne häufiger immer leuchten und auch die Sterne werden immer sichtbar sein. Hilfen wie man andere Fachpersonen über die Situation der Sternwarte in Schöten erbitten! Prof. Künze, der Direktor der Wiener Sternwarte, schreibt in seinem Jahresbericht für 1905: „Unter solchen klimatischen Verhältnissen erfordern ständige Beobachtungen, wie überhaupt die Bestimmung von Positionen und ähnliche Untersuchungen der letzten Zeit und schließlich die schärfste Arbeit (wenn man die vielen möglichen Beobachtungen bedacht) als unter einem glänzenden Himmel, bei schließlich geringerer Genauigkeit, wegen der Zerschlagung der Beobachtungen. Ich habe es daher für dringend notwendig und möchte dieser Ansicht auch an dieser Stelle Ausdruck geben, daß für solche Zwecke die südlichen, ungünstig gelegenen Sternwarten Beobachtungsstationen in einem südlichen Klima errichten, da die wenigen so gelungenen ständigen Beobachter zu sehr mit andern Arbeiten und mit Entdeckungen beschäftigt sind.“ Noch ausführlicher als Künze spricht Valentin, der Direktor des Heidelberger astronomischen Instituts, über denselben Gegenstand. Er plädiert für die Trennung der Unterrichtsstation von den Beobachtungsstationen in der Art, daß die ersten die besten Instrumente in südlich gelegenen Filialen aufstellen. Da Deutschland keine so südlich gelegenen Landstriche hat — er denkt dabei nur an den europäischen Festland Deutschlands — so möge man solche Filialen auf besondere Gebiete errichten, etwa wie man für das Studium der Kunst, der Zoologie usw. vorgegangen ist.

Die Erkenntnis, daß die in Schöten gelegenen Sternwarten moderner Forschung nicht genügen können, ist bereits ziemlich allgemein verbreitet,

und wenn auch dessen noch Arbeitsfeld übrig bleibt, so sind wir gewiß nicht geneigt, daß an ihnen systematisch auf Entdeckungen ausgegangen wird. In Österreich ist es das hohe und unbegabte Verdienst des jetzigen Oberlandesrates Dr. Kuntze, diese Sache für die Sprache gebracht und das Projekt der Errichtung einer Bergstation in vorläufigen gemacht zu haben. Dr. Kuntze dachte zuerst an den Schneeberg, frag aber wegen der im Winter unerlöschbaren Verbindung davon ab und pflanzte für den Sommerstein. Auf dem im Jahre 1907 in Wien stattgefundenen Akademikerkongress wurde von Prof. Hale, der in Amerika die Sommerwerke auf dem Mount Wilson errichtet hat, die Aufmerksamkeit der kaiserlichen Akademie der Wissenschaften vornehmlich auf die ausgezeichneten Gegendkeiten und speziell auf den Sommerstein gelenkt und betont, daß wir gerade in Österreich so glücklich sind, in unserem eigenen Gebiete auf äußerst günstig gelegenen Punkten Beobachtungsstationen errichten zu können. Die kaiserliche Akademie hat dem auch beschlossenen das Sommersteinprojekt in die Hand zu nehmen und zunächst den Punkt durch längere Zeit untersuchen zu lassen, ob er auch nach jeder Richtung das Maß, was man von ihm hofft. Daß gerade dieser Punkt im Herbst bis tief in den Winter hinein vom schönsten Wetter begünstigt wird, ist bekannt, aber noch ist nicht bekannt, ob die Luft auch für astronomische Forschungen genügend ruhig ist. Allen, wenn auch der Sommerstein ein vollkommen geeignetes ist, so steht doch die Tatsache fest, daß in vielen Fällen die Nordseite der Alpen das edelste geographische Wetter der Südseite aufweist. Aus diesem Grunde hat auch Dr. Kuntze für eine zweite Station am Südabhange der Alpen pflanzte. War so wie ich jahrelang unter den kaiserlichen günstigen Verhältnissen eines stichfesten Himmel beobachtet

hat, kann ihm nur recht getan; nur ist es aus einer ungewöhnlichen Provinz in Pola bekannt, wie tief blau der Himmel an der Adria ist. Ich habe einmal dem Stern 5 Größe um 2 Uhr nachmittags im Meridian beobachtet, ich habe den Stern 3 Größe,  $\gamma$  Bootis, mit der Sonne gleichzeitig im Meridian gesehen, und ich habe einmal einen kleinen Planeten wiederholend und beobachtet, von dem Prof. Theodor v. Oppolzer behauptete, daß er schwach gewesen sei, daß ich ihn gar nicht hätte sehen sollen. Wenn man nun einen Punkt unserer Adria auswählt, der auch dazu eine bedeutende Höhe hat, so müßte derselbe als ein ideal geeigneter Platz für die Errichtung einer Station angesehen werden.

Dieser Gedanke ist so nahegelegt, daß auch andere Persönlichkeiten, die sich für die Förderung der Astronomie in Österreich interessieren, mit Begierde an dem Punkt unserer Adria aufsucht, der auch dazu eine bedeutende Höhe hat, so müßte derselbe als ein ideal geeigneter Platz für die Errichtung einer Observatorium auf dem außerordentlich günstig gelegenen Cerro von Vico (1180 m Seehöhe) bei Albiera nach Kärnten zu finden. An ihrer Spitze steht in erster Linie Prof. Dr. Oskar Sauer. Er war es, der mich ersuchte, der Sache schon jetzt näher zu treten, und so unternehmen ich zu Pfingsten eine Expedition zum Schutzhause des Monte Maggiori, um durch mehrere Tage hindurch mit Hilfe eines ausgezeichneten vorläufigen Führers die Fels der Stabblöcke zu untersuchen. Der erste Beobachtungstag war noch von dem Wettersturm der Pfingsttage bedingt und entsprechend unruhige Luft, aber schon der zweite Tag entsprach meinem Erwarten und die folgenden Abende haben ruhige Luft oberer Gänge. Diese so günstigen Resultate haben in mir den Entschluß zur Fels gebracht, durch längere Zeit, durch die ganze Jahr entweder selbst oder durch andere kundige Personen dauerhafte Beobachtungen anstellen zu lassen. Bei dieser Expedition wurde ich durch die

Dickflüss der Stiefchen und durch den Vorstand der Station Montagna, Herr Ludwig Kekat, auf das beste unterstützt. Ich hatte, um unnötige Transport-schwierigkeiten des Instruments zu vermeiden, dieses in der nächsten Nähe des Schutthauses aufgestellt, wo die Luftströmung entweder vom Fuß her oder vom Fuß weg geht: es ist das die Umstand, der die Höhe der Luft nur geringfügig beeinflusst, nicht, wenn aber trotzdem die erwähnte Luftströmung angetrieben wird, so muß es in einem Stile dieses Gebietes in nach höherem Grade vorhanden sein. Als Punkt für die Errichtung einer definitiven Sternwarte haben Prof. Simon und ich das Geringe Volk, eine nördlich der Schutthauses gelegene Kuppe ausgewählt, die rund 100 m höher als das Schutthaus liegt und jetzt, wo noch kein Weg hinaufführt, in einer halben Stunde zu erreichen ist. Hier ist der ganze Horizont bis auf einen kleinen Teil im Süden, wo der Hauptkamm des Monte Maggiore um rund 6° des Horizont überhöht, vollkommen frei. Die von mir geplante, durch ein Jahr hindurch zu führende Untersuchung, kann wegen der Stöcherheit des schwebelenden Fernrohrs und aus Untersuchungsgründen nur in der nächsten Nähe des Schutthauses vorgenommen werden. Wenn der Luftzustand sich hier als günstig erweist, dann ist er es in noch höherem Maße auf dem definitiven Punkte. In der Nähe des Schutthauses müßte man eine kleine, runde Hütte mit einem nach allen Richtungen aufzufahrenden Dache errichten und in demselben ein mittelgroßes Fernrohr aufgestellt werden.

Man wird mir vielleicht den Vorwurf machen, daß ich mit diesem Projekte zu früh an die Öffentlichkeit trete, bevor noch die Untersuchung des Sonnenwinkels beendet und damit der Zustandkommen des von der kaiserlichen Akademie aufgenommenen Sternwortsprojekts entschieden ist. Dem entgegen will ich nur auf die folgende

Lage der Astronomie in Österreich verweisen. Wir besitzen in Österreich einmal die Wiener Universitätssternwarte. Diese ist mit Instrumenten reichlich ausgestattet, aber ein guter Meridiankreis fehlt ihr, für astrophysikalische Untersuchungen ist sie nicht ausgerüstet und photographische Untersuchungen läßt die hier in jeder Nacht, wenn auch nur vorübergehend, eintreffende Verschleierung und Bewölkung nicht zu. Innerhalb ist die Wiener Sternwarte, was Instrumentenpark und Personal betrifft, hinausgerückt. Es giebt sich in Wien die Sternwarte des Herrn v. Kuffner an, die gleichfalls als leistungsfähig bezeichnet werden muß. Damit sind wir aber so ziemlich fertig. Die Sternwarte in Prag besitzt nicht einmal eine Deckkuppel, die Sternwarten in Krems und Lemberg haben nur ganz kleine, im heutigen Betriebe der Astronomie gar nicht mehr brauchbare Instrumente, und dieselbe gilt auch für Genua. Für Innsbruck hat die kaiserliche Akademie auf Anregung des Hiesigen an früh verstorbenen Prof. Eugen Oppolzer ein sehr leistungsfähiges Spiegelteleskop gestiftet, und in Kremsmünster ist der von Hofrat Krummholz gestiftete kypselische Heliometer zu erwähnen. Dazu müßten in Österreich noch drei leistungsfähige Sternwarten, aber darauf geht es keine Astronomen, ein toller Körper ohne Seele. Summa Summarum: Österreich besitzt nur in Wien leistungsfähige Sternwarten. Unter solchen Umständen wird man es wohl begreiflich finden, daß, wenn auch die Akademie der Wissenschaften das Sonnenwinkelsprojekt durchführen will, ein neues Projekt für die Errichtung in einem stürmischen Klima ganz am Platze ist. Außerdem ist es aber auch gar nicht ausgemacht, ob am Sonnenwinkels noch wirklich jene Höhe der Luft vorhanden ist die notwendigerweise verlangt werden muß, und die Untersuchungen darüber werden sich gewiß ziemlich lange hinziehen. Aus diesem Grunde ist die Vorausset-

nachung eines zweiten Punktes, der von vornherein sehr günstige Aussichten bietet, ganz entsprechend und kann für die Entwicklung der Astronomie in Österreich nur förderlich sein.

Die Astronomie in Österreich wird wie ein Stiefkind behandelt. Ja, wenn die Astronomie Früheren tagen würde, auf die man Patente schenke und an denen man Gewinn ziehen könnte, da wäre es leicht eine Sternwarte auf Aktien zu gründen. Und doch hat sie für das geistliche Leben, wie ich bereits eingangs erwähnte, enormen Gewinn und bildet es noch fortbildend; aber das Gefühl für diese Leistungen ist in der Allgemeinheit nicht lebendig. Man würde die Wichtigkeit der Astronomie nur einssehen wenn die Astronomie sich einmal den jetzt so beliebten Mäßen des Strebens bedienen wollte. Die Schiffe könnten nicht über den Ozean fahren, wenn die Bevölkerung der Ephemeriden eingestrichelt würde, und die Uhren der Städte und Eisenbahnen würden in Unordnung gerathen, wenn die Astronomie sich weigern würde die Zeitbestimmungen anzustellen. Man, so weit wird es nicht kommen.

Eine kleine Verrückung von ihr die astronomische Wissenschaft begnadeten Männern will es unterstehen, durch private Veranstaltungen, durch Vorträge und Sammlungen von Beiträgen die auf etwa 1000 Kronen sich belaufenden Kosten — Anschaffung einer Halle, Beschaffung eines Fernrohrs und der Anlagen für die Beobachter — unterbrengen, um die ersten Voruntersuchungen auf dem Gebiete Vich anzustellen zu können. Könnte man hoffen, daß ein Mäßen sich findet, der die Besetzung der erforderlichen Götter sowohl für Voraussetzung als für die definitive Erreichung des Observatoriums zuehrt, so ginge alles viel rascher, und es wäre das auch die beste und schnellste Lösung. Es wäre das nur Thut, die den Namen der

Gründern für alle Zeiten unvergänglich erhalten würde, die sich Andenken sicherer der Nachwelt erhalten würde, als die höchsten Annehmungen, die erworben werden können. Nur große Entdeckungen auf dem Gebiete der Wissenschaft und Thatkraft können hierin die Wage halten. Von solchen Größten ausgehend sind ja in Amerika von den Privatisten Licht und Verlor die beiden größten Sternwarten der Welt errichtet und ausgestattet worden. Hier sprechen die Astronomen von der Sternwarte auf dem Mount Hamilton oder von der Sternwarte in Witkowsky, sondern sich von der Lick-Sternwarte und Veltins-Sternwarte, und so oft an diesen Sternwarten Entdeckungen gemacht und neue Fortschritte errungen wurden, werden die obigen Namen nicht genannt und die Andenken jener Männer immer erneuert. Oft sind nur einzelne große und kostspielige Instrumente gestiftet worden, wie in solchen Fällen vollständig die Astronomen ihre Leistungen auf diese Instrumente stützen mit dem Namen des Spendens, so der Crayley-Kolldor an der Lick-Sternwarte, in dem der 6. und 7. Jupitermond entdeckt worden, und das Braun-Teleskop der Heidelberger Sternwarte, an dem durch Prof. Wolf und einer Göttingen noch fortwährend neue Planeten entdeckt worden. Auch in Österreich haben wir in Triest einen Mann, der unvergänglich bleiben wird, da aus dem von ihm gestifteten und seiner Namen irgendein Fonds fortwährend Forschungen unterstützen und Entdeckungen gemacht werden. Und dennoch will man mit kleinen Mäßen anfangen und sich nach Größeren schalten, wenn die erforderlichen Bedingungen durch die Voraussetzung bestätigt werden. In Österreich wird es auch sehr viel für die wissenschaftliche und kulturelle Menschheit gespendet, vollendet ehrenvoll und erweist sich praxend der modernsten Wissenschaft und geleistet bei Testamenten und Legaten derselben, speziell der aufstrebenden Astronomie.

Wenn Prof. Pickering, der berühmte Astronom Americas, Mittel zu neuen Experimenten benötigt, dann wendet er sich an die amerikanische Öffentlichkeit, und in kürzester Zeit hat er das ersehnte, was er gerade benötigt. Solchen Beispiele bin ich gefolgt, indem ich der weiten Öffentlichkeit die Lage der Astronomie in Österreich auseinandergesetzt, ein Ziel zur Verbesserung der Zustände gesteckt habe und am 1. Juni, die sich für die anhaltende der Wissenschaften interessieren

sind, auch die Arbeit haben, die Aufzählung nicht, ihr beizubringen und unter die Arme zu greifen, damit sie nach jeder Richtung hin sich eben hingeben können. Es wäre wohl nicht überflüssig, aber es ist nicht ausgeschlossen, daß zum Beispiel die österreichischen Astronomen, in deren Plan es zunächst liegt die Sonne unter fortwährender Kontrolle zu halten, mit wissenschaftlicher Taubheit in unseren Vorlesungen das ausüben, was wir selbst nicht zu stande bringen.

## Die Arbeiten auf dem Gebiete der Astrophysik im Jahre 1907 an den deutschen Observatorien.

In Deutschland gibt es zurzeit nur zwei staatliche Observatorien, die ausschließlich für astrophysikalische Untersuchungen bestimmt und ausgestattet sind, nämlich das astrophysikalische Observatorium zu Potsdam und das astrophysikalische Institut Koenigsberg bei Heidelberg; daneben aber werden auch auf einigen Sternwarten des Reiches astrophysikalische Arbeiten mit Erfolg betrieben. Die nachstehende kurze Übersicht der bezüglichen Arbeiten im Jahre 1907 beruht auf den öffentlichen Jahresberichten der betreffenden Anstalten, welche in der Vierteljahrsschrift der Astronomischen Gesellschaft in druckverfälschter Form veröffentlicht worden sind.

1. Astrophysikalisches Observatorium zu Potsdam. Nach dem am 13. August 1907 erfolgten Tode des bisherigen Direktors des Observatoriums, Geheimen Observationsraths Prof. Dr. H. C. Vogt, wurde Prof. O. Loew die provisorische Leitung des Instituts übergeben.

Was die wissenschaftlichen Arbeiten anbelangt, so hat Prof. Loew Untersuchungen angestellt zu dem Phänomen Jupiter, Mars und Saturn, sowie an einigen Doppelsternen, darunter auch Sirius. Ferner hat er wie in den vorher-

gehenden Jahren die photographischen Aufnahmen der Sonne fortgeführt. Seine Beobachtungen über Doppelsterne, die sich über eine Reihe von Jahren erstrecken, hat er zum Abschluß gebracht und für den Druck vorbereitet; im Anschluß daran werden nun abgedruckte Notizen von Doppelsternen bzw. Verbesserungen von solchen zur Veröffentlichung kommen. Außerdem hat er die Bearbeitung seiner 25-jährigen Jupiterbeobachtungen in Angriff genommen.

Geheimrat Müller hat die Aufnahmen mit dem großen Öffnungstheodoliten zu Untersuchungen über die thermischen Umlage im Sonnenspektrum im Frühjahr 1907 beendet. Bis zum 3. April wurden noch 43 Platten erhalten, hauptsächlich vom roten Teile des Spektrums. Es gelangte also diejenige Platte zur Auswertung, welche zur Prüfung der von Hain gefundenen spektralen Verschiebungen der Sonnenscheiben genutzt waren. Jede der ausgewählten Platten wurde sowohl von ihm, als auch unabhängig von Dr. Grabowski und Böhmer ausgewertet. Die Ergebnisse der Untersuchung, die eher gegen als für die Veränderlichkeit der Linienschiebung sprechen, sollen recht bald veröffentlicht werden.

Für eine denksicht in August zu schenke neue photoelektrische Arbeit hat Gehnang Müller Vorberatungen getroffen. Für stärkere Sterne der Bessers Durchmusterung innerhalb des Nordpols und  $+15^{\circ}$  Deklination sollen sowohl die optischen als auch die photoelektrisch fotografischen mit mechanischer Genauigkeit festgelegt werden. Die direkten Beobachtungen sollen mit einem neu konstruierten Zöllnersehen Photozometer mit elektrischer Einrichtung ausgestattet werden, welches an dem Grubbsehen Refraktor angebracht wird, der zu dem Zwecke ein neues Objektiv von 30 cm Öffnung und 360 cm Brennweite erhält. Die für die photoelektrische Durchmusterung erforderlichen Anschaffungen sind bereits angekauft, so besitzen wir 60 Sterne I. Ordnung, etwa von der Helligkeit 8.8 bis 8.5, und um 183 Sterne II. Ordnung, etwa von der Helligkeit 8.8 bis 9.2. Mit den Beobachtungen ist im Herbst 1902 begonnen worden.

Der Katalog der veränderlichen Sterne wurde beträchtlich gefördert. Eine größere Anzahl von Variablen, namentlich von schwächeren Objekten, hat Gehnang Müller selbst bearbeitet, außerdem wurden sämtliche von den Mitarbeitern eingeleiteten Darstellungen genau durchgesehen und ergänzt. Es sind gegenwärtig bereits für nahezu 500 Sterne druckfertige Manuskripte vorhanden, und mehr als 100 Sterne befinden sich noch in Bearbeitung.

Die bei Gelegenheit der photoelektrischen Durchmusterung entdeckten Veränderlichen wurden von den Herren Müller und Kämpf weiter verfolgt. Die Beobachtungen der beiden ungewöhnlich Veränderlichen  $\eta$  Draconis und  $\delta$  Herculis sind vollständig angefertigt worden. Alle Messungen an  $\delta$  Persei, die seit 1899 angefertigt worden waren, sind veröffentlicht worden, eine bewegte Komete zeigt die Verhältnisse des Sterns während der Bewegung, in denen er regelmäßig beobachtet wurde. —

Der zu monochromatischen Aufnahmen der Sonne dienende Spektro-

helograph gelangte im Frühjahr 1901 nach Abnahme des großen Gitterspektrographen, auf dem Darke des Beobachtungsaufbaus neben der großen Kuppel zur Aufstellung. Zu den Aufnahmen wurde zunächst ein Objektiv von 16 cm Öffnung und 4 m Brennweite benutzt, später aber wieder das Objektiv des Grubbsehen Spektroskops.

Die genannten unternommenen spektralphotometrischen Beobachtungen am 80 cm-Refraktor haben Prof. Wising und Prof. Schuster fortgesetzt; außerdem wurden von beiden Beobachtern Messungen des Jupiterspektrums, des Marspektrums und Messungen des Sonnenspektrums ausgeführt.

Von jedem der beiden Beobachter wurden in 30 Tagen ungefähr 30 Messungen der Refraktionskoeffizienten von 30 Mineralien ausgeführt. Endlich wurde in 11 Tagen die Abbe'sche Methode bestimmt, und zwar sowohl nach der Laubertischen Methode, als auch nach einem Verfahren, bei dem die zur Beleuchtung dienende Lichtmenge und die reflektierte direkt gemessen wurden. Beide Verfahren ergaben in Übereinstimmung Werte für die Abbe'sche Methode, welche die Einheit, des Dispersion koeffizienten Grenzwert, erreichen. Diese Untersuchungen sollen ebenso wie die Messungen am Himmel fortgesetzt werden.

Die unter der Leitung von Prof. Schuster stehende Herstellung des Katalogs der photographischen Himmelskarte hat trotz mannigfacher Störungen guten Fortgang genommen.

Prof. Schuster hat die von ihm schon früher angefangene Berechnung und Zusammenstellung der in den ersten 4 Blättern des Katalogs gemessenen Doppelsterne beendet, nach bereits einer Vergleichung mit dem neuen hiesigen Doppelsterneverzeichnis angefertigt und die Ergebnisse richtiglich verwertet.

Das bereits im Frühjahr 1904 angeordnete Manuskript einer hauptsächlich auf dem Göttinger Ort angefertigten Untersuchungen über die Saturnringe und die Temperatur der Sonnensphäre

schien hat Prof. Schuster nochmals durchgesehen, die Arbeit befindet sich gegenwärtig im Druck.

Prof. Hartmann erhielt am 30. umschrieben an 53 Abenden 50 direkte Aufnahmen, sowie mit Spektrograph I 25, mit Spektrograph II 28 und mit dem Quasipspektrographen 20 Aufnahmen von Sternspektren. Unter letzteren ist nur mit einer Belichtungszeit von 11 Stunden erhaltene Aufnahme des Spektrums der Nova Persei von besonderem Interesse, insofern als es ganz dem Typus der Wolf-Rayet-Sterne entspricht, während das Spektrum vorher die Nebellinie gezeigt hatte.

In einer größeren kritischen Untersuchung behandelte Prof. Hartmann die Erklärung astrophysikalischer Beobachtungen durch die normale Dispersion, nachdem er vorher schon die Zurückführung der bei Aufnahmen des Flach-Spektrometers erhaltenen Doppelkurven auf normal dispergiertes Licht widerlegt hatte.

Die Bearbeitung aller der von Prof. Hartmann zur Prüfung des 46. im Objektiv ausgeführten Untersuchungen ist dem Abschluß nahe, eine Veröffentlichung darüber wird demnächst in der Publikation des Observatoriums erscheinen.

Die Tätigkeit von Dr. Lüdendorff war im ersten Lufe der Ausrüstung der mit dem Spektrographen II erhaltenen Sternspektrogramme gewidmet. Im Jahre 1901 wurden 154 Platten genommen und reduziert, darunter größten Seiten von  $\alpha$  Andromedae,  $\beta$  Arietis,  $\gamma$  Aurigae,  $\delta$  Camelostrum,  $\epsilon$  Ursa maj. sept.,  $\gamma$  Ursa maj. sept. Ein Teil der Resultate wurde veröffentlicht.

Ferner hat Dr. Lüdendorff eine Abhandlung über den Lichtbrechwert von Kieseisen besonders zum Abschluß gebracht. Mit der Drucklegung wird demnächst begonnen werden.

Gemeinsam mit Prof. Eberhard hat Dr. Lüdendorff an 43 Abenden 74 Sternspektrogramme, meist von spektroskopischen Doppelsternen aufgenommen

Einen großen Teil der Arbeitzeit von Prof. Eberhard nahm in der ersten Hälfte des Jahres 1901 die Herstellung von Kohäeranten für eine neue Spiegelmontierung sowie für zwei in Verbindung mit den Spiegeln zu verwendende kristalline Spektrographen in Anspruch.

Seine Untersuchungen über das Spektrum der Dispersionseigenart hat Prof. Eberhard 1901 weiter gefördert, so daß die Publikation desselben 1902 erfolgen kann. Ferner hat er die mit 3 Jahren geführte Untersuchung über das Vorkommen von Scandium auf der Erde fortgesetzt und beendet. Es hat sich dabei gezeigt, daß das genannte Metall, dem theoretischen Voraussetzungen Eberhards gemäß, eine ganz allgemeine Verbreitung hat, und nicht nur in einigen seltenen Mineralen zu finden ist, wie noch ursprünglich von Crookes angegeben wird.

2. Astrophysikalisches Institut Königsberg. An den drei Instrumenten des Instituts wurden im Jahre 1901 im ganzen 350 verschiedene Gegenstände (110 im Bruce Teleskop, 105 im Seelen-Zeiler und 115 am Wulfs-Refraktor) mit im ganzen 662 Stunden Belichtung aufgenommen. Hierbei wurden 813 Platten exponiert bei 285 verschiedenen Aufnahmen.

Für Plattenaufnahmen sind systematisch nur die beiden Refraktoren verwendet worden, der Reflektor nur gelegentlich. Es wurden im ganzen 109 verschiedene Himmelsorte auf Plattenbelichten aufgenommen, wozu 155 verschiedene Aufnahmen, mit 420 Platten und 307 Stunden Belichtung gemacht wurden. In den 139 verschiedenen Gegenständen fanden sich 66 neue und 127 alte Pleiaden. Das Verhältnis von neuen zu alten stellt sich dabei 1901 wie 1:1.62, und wiederum zeigt sich aus der Vorläufe der große Zunahme dieser Verhältnisse gegenüber den früheren Jahren. Es schließt, bekannt Prof. Wolf, maßgebend, daß die Zunahme nur scheinbar ist, und daß bei der sich



hundertsten Zahl einer entdeckter Planeten ein großer Prozentsatz der jetzt als neu entdeckten Planeten als früher bereits gefunden, aber als nicht identifizierbar anzuerkennen ist. Dies wird durch die späte Identifizierung einer Reihe von Planeten äußerst wahrscheinlich gemacht. Die geringere Verlässlichkeit verleiht daher jetzt jede Bestätigung und kann mit dem Ende von Jahren später zu aufgehoben werden, daß ein daraus geprägter Schein vollständig berechtigt erscheint. — Außer den obigen 66 neuen, von denen vier von Metcalf hatte, Lowell zuerst gefunden worden sind, werden zwei weitere L<sup>9</sup>A und L<sup>9</sup>B auf Platten des Jahres 1866 nachträglich gefunden. Es sind demnach 64 Planeten im Jahre 1867 in Heidelberg entdeckt worden, somit 21 weniger als im Jahre 1866.

Der Komat D<sup>1</sup> wird bei einer vollkommenen Gelegenheit, den Reflektor anzuwenden, um bessere Bilder von der Schweifstruktur in der Nähe des Kometenkerns zu erzeugen, als bisher. Er wurde so oft als möglich mit allen Instrumenten aufgenommen und auch am Reflektor gerichtet. Es bestätigte sich von neuem die von Prof. Wolf schon früher geäußerte Vermutung, daß die Schweifstrukturen hinter dem Kern, auf der der Sonne abgewandten Seite, speziell photographischer Natur sind und nicht gesehen werden können, und daß sie ganz verschieden von den anderen Schweifbildungen sind, die von dem Kern gegen die Sonne hin ausstrahlen, um diese nach hinten anzubringen und die photographischen Schweife zu umfassen. Vermutlich wird auch die Entstehungsweise der beiden Arten von Gebilden ganz verschieden sein. — Außer diesem großen Kometen wurde der Komat 1867/IV an drei Abenden aufgenommen und auf einer Platte vom 16. Januar 1868 nach der Berechnung von Heind. Wolf aufgenommen. — Der Komat 1867/II wurde am dem Reflektor photographiert. — Nach dem Kometen de Vico-Swift wurde

vergeblich gesucht, dagegen der Komat 1867/II am 24. Dezember mit dem Reflektor wiedergefunden.

Der Saturnmännchen Phoebe ist das öfters mit Loeblaplast am Reflektor photographiert worden, ebenso der Neptunmännchen.

Es wurde ein weiterer Katalog von kleinen Nebeldecken aus der Gegend bei Rio de Janeiro aufgenommen und als Nebeldecke 7 publiziert. — Der Reflektor wurde dazu verwendet, solche Nebel im Detail zu studieren, und es konnten im Laufe des Jahres fast alle Nebel die Roberts in seinem Werke zur Abbildung gebracht hat, photographiert werden. Ein mit dem Baus-Tölkop verwechselbar angelegter Nebeldecken abgesehen von C<sub>1</sub> legiert wurde mit dem Reflektor verändert. — Vergleichen wurde auch einen richtigen Spindelnebel geteilt, der einen Zentralnebel besitzt.

Es war früher die Vermutung ausgesprochen worden, daß, unabhängig von dem Ausbruch der Nova Perseus, oblige Mauer schon vorher in der Nähe der Nova lagerten. Die Nova wurde daher jetzt, wo sie nicht mehr durch ihren Glanz über, sondern mit dem Walter-Reflektor jeweils 4 Stunden lang aufgenommen. Wie erwartet lassen die Platten, die die Sterne 16. Größe zeigen, keine Spur von strukturbauender Nebelmasse erkennen. — Der Nebel H II H C<sub>1</sub> Cygnus wurde als typisches Beispiel für die Vorgänge der H II Bildung erkannt und öfters am Reflektor photographiert. — Besonders Aufmerksamkeit wurde auch eine Klasse von H II-Neblen gewidmet, die als langgestreckte Gassen zwischen von sternreichen Gegenden scheiden. Solche Nebel schloß Prof. Wolf als „Kometen“ bezeichnet. Hierher gehören beispielsweise die Nebel bei L-Cygnus, bei 52 Cygnus, bei 7 Eridani usw. Bei denselben können auch die Quasarsysteme studiert werden, daß die Sternzahl bereits im Nebel selbst abnimmt und die Nebel

pinus etwas über die Sternengrenze hinausragt in die Leere.

Wendendrehungen sind sehr oft mit dem Walz-Reflektor gemacht worden. Außer allgemeinem Interesse lag auch die Frage nahe, ob die Erdrotation genügt, Sternkopfbilder des Mondes zu liefern. Es wurden mehrere bei Vollmond Serien von Aufnahmen durch die Nacht hindurch gemacht. Das Resultat war, daß bei mittleren Brennweiten bereits Bilder mit nur einer Stunde Zwischenraum an Sternkomparativ merkbare Effekte geben.

3. Auf der Sternwarte zu Bonn wurde 1907 die 1903 begonnene Reihe von spektrophotischen Aufnahmen möglichst mit Serie der 2. und 3. Spektralklasse, die mit dem 30 cm-Reflektor und dem Dispersion-Spektrographen in Bonn aufgenommen worden können, beendet, da selbst insgesamt rund 150 brauchbare Aufnahmen von 181 Sternen, von denen jedoch «Auriga» und «Leonis» als Doppelsterne mit nicht ganz zweiter Komponente, die besonders zu betrachten sind, ausreichen. Die Platten sind ausgemessen und die Ergebnisse für die Rotationsgeschwindigkeiten liegen, in erster guter Näherung berechnet, zur Veröffentlichung bereit.

Von Arktur hat Prof. Kähler im Laufe des Sommers noch 46 höher aufgenommene Spektrogramme zur weiteren Bestimmung der Sonnenparallelismen ausgemessen. Der Zustand hat die Reihe des spektrophotischen Doppelsterns «Polaris» auf Grund von 13 von ihm aufgenommenen Spektrogrammen bestimmt und im Zusammenhang damit seine theoretischen Untersuchungen zur Bestimmung dieser Sterne fortgesetzt. Von Kassiopeia sind 35 Spektrogramme des spektrophotischen Doppelsterns «Auriga» aufgenommen und bearbeitet worden; es ist nun damit gelungen mit aller Sicherheit eine Anzahl von Linien der schwächeren Komponente zu erkennen und zu messen, und daraus das bisher nur beläufig bekannte Massenverhältnis

schärfen zu bestimmen. Kassiopeia ist mit der Ausmessung von drei Platten des Sternsystems Messier 52, die Prof. Kähler im Oktober 1902 aufgenommen hatte, beschäftigt gewesen.

4. Auf der Sternwarte zu Göttingen wurde die photographisch-astrophotische Durchmusterung im wissenschaftlichen erledigt. Die schon im vorigen Jahre bemerkte Entdeckung, daß unter den beobachteten Sternen diejenigen einer bestimmten Übergangsreihe zwischen weißen und gelben Sternen relativ selten sind, hat sich bestätigt. Die rotsten weißen Sterne entsprechen der Spektralklasse XII bis XIII nach M<sup>2</sup> Maury's Bestimmung, also gemäß der Spektralklasse, welche nach Hertzsprung und Russell die größte scharfbare Eigenbewegung anweist. Man erklärt, bemerkt Prof. Schwarzschild, offenbar beide Erscheinungen, das Minimum in der Helligkeit, wie das Maximum in den Eigenbewegungen, indem man diesen Sternen geringste absolute Leuchtkraft zuschreibt, jenen Polstersterne ist daher eine gewichtige Stütze des Resultats von Hertzsprung und Russell, wonach das Minimum der absoluten Leuchtkraft nicht bei den roten Sternen, sondern wunderbarerweise bei Sternen einer gewissen mittleren Färbung liegt. Dr. Beck hat die photographischen Vergleichen zwischen Sonne, Vollmond, zerklüftetem Licht, diffusen Tagelicht und Sternen fortgesetzt. Als Helligkeit der Sonne bezogen auf gleichfarbige Sterne des Panchrom Systems, erhält er das Endwert — 27.17<sup>m</sup>. Die photographische Extinction fand sich bei Tage gleich dem  $\beta$  bei  $\beta$  Stunden der visuellen Photometer Extinction und zwei wochen größer als nachtags.

Dr. H. Rosenberg hat es übernommen, das von der Firma Zeiss gefahne U V-Prismenkonstrukt zur Spektralanalyse der Sterne zu verwenden. Sein Programm umfaßt die 81 hellsten Sterne nördlich von — 30° Deklination, die größten Planeten und  $\epsilon$  Aurigae. Es werden auf einer Platte nacheinander

die Spektren der zu vergleichenden Sonne ein wenig extrahiert aufgenommen. Bis jetzt liegen vor: 220 Spektren von 43 Programmsternen, 51 Spektren von

Planeten, 10 von  $\epsilon$  Aquila. Der größte Teil derselben ist unter dem Hartmannschen Mikrophotometer für je 30 verschiedene Wellenlängen aufgenommen

## Schwankungen in der Wärmestrahlung der Sonne

In neuerer Zeit ist von verschiedenen Seiten darauf hingewiesen worden, daß die Variabilität der meteorologischen Erscheinungen möglicherweise von periodischen Änderungen in der Intensität der Sonnenstrahlung hervorgerufen werde oder wenigstens mit solchen in engerem Zusammenhang stehe. Es ist klar, daß, wenn dem der Fall ist, besonders die Wetterprognosen, deren künftige Möglichkeit abgeklärt sind, einige Aussicht haben würden besser zu werden. Für eine solche, wenn auch nicht periodische Änderung in der Stärke der Wärmestrahlung der Sonne hat sich am bekanntesten Langley ausgesprochen. Aus seinen Beobachtungen am astrophysikalischen Observatorium zu Washington in den Jahren 1903 und 1904 folgerte er, daß im August, September und Oktober 1903 diese Strahlung um 10 % geringer gewesen sei als im Februar 1904. Dabei ergaben die Messungen der Absorption der Sonnenatmosphäre im Februar 1904 eine bedeutend geringere Größe als im September 1903.<sup>1)</sup>

Es liegt am nächsten, anzunehmen, daß Änderungen in der Intensität der Sonnenstrahlung mit der 11-jährigen Fleckenperiode verknüpft sind, es könnte aber auch der Fall sein, daß irgend ein Teil des Sonnenkörpers mehr Wärme ausstrahlt als die andere Regionen derselben, dann würde eine periodische Änderung stattfinden innerhalb der Zeitdauer, die verfließt, bis dieser Teil wieder für uns sichtbar auf der Sonnenscheibe steht, d. h. die Periodendauer würde

gleich sein der sogenannten synodischen Umdrehungszeit der Sonne (etwa 27½ Tage).

Prof. S. Newcomb hat aus vorläufigen Untersuchungen veröffentlicht<sup>2)</sup>, in welchen er Temperaturbeobachtungen mit Rücksicht darauf prüft, ob es eine oder die andere der beiden genannten oder sonstige Perioden andeute.

Klappen hatte vor Jahren aus meteorologischen Beobachtungen in verschiedenen Teilen der Erde während der Jahre 1827 bis 1877 den Schluß gezogen, daß nur Zeit eines Maximums der Sonnenheize die Lufttemperatur in den tropischen Gegenden der Erde um 0,7° C niedriger ist als zur Zeit der wenigsten Sonnenheize. Später hat Brückner aus 35-jährige klimatische Periode gefunden. Die genauesten Untersuchungen Prof. Newcombs führen diesen jetzt zu folgenden Schlüssen:

Es besteht unzweifelhaft eine 11-jährige Schwankung der Wärmestrahlung der Sonne, aber die Größe (Amplitude) dieser Schwankung ist bisher nicht bedeutender als der wahrscheinlichste Fehler, der den Beobachtungen zugeschrieben werden muß. Insbesondere ist ihr Betrag so unbedeutend, um anzunehmen zu können, daß diese Schwankung irgendeinen direkten Einfluß auf den meteorologischen Vorgänge in unserer Atmosphäre ausübt. Die Größe dieser Schwankung beträgt nur etwa die Hälfte von jener, welche Klappen gefunden haben will. Der 35-jährige Periode Brückners findet in den Untersuchungen Newcombs keine Bestätigung. Letzterer

<sup>1)</sup> *Vegetaria Series* 1905 S. 174.

<sup>2)</sup> *Transactions of the American Philosophical Soc.* 14, S. Vol. 21, V.

Ist auch untersucht, ob die durchschnittlichen monatlichen Temperaturschwankungen Änderungen zeigen von Störungen der Sonnenstrahlung, die eine Dauer von einem Monat bis zu einigen Jahren besitzen. In dieser Beziehung ergab sich kein unverweifelhaftes Ergebnis. Sind solche Schwankungen vorhanden, so können sie nur so gering sein, daß sie merkliche meteorologische Einflüsse nicht nach sich ziehen, höchstens könnte eine periodische Schwankung von ungefähr 11-jähriger Dauer als möglich angenommen werden. Abgesehen von dieser und der 11-jährigen Periode ist keine Schwankung der Sonnenstrahlung erkennbar, die genügend wäre, um eine

meßbare Wirkung auf die irdischen Temperaturen auszuüben. Auch eine Periode entsprechend der synodischen Umlaufzeitdauer der Sonne 11½ Jahr mit Sicherheit nicht erkennen, denn die dadurch bewirkten Temperaturschwankungen könnten wohl bei weitem nicht 0,1° erreichen.

Es ist sehr zu bedauern, daß die Astronomen der Meteorologie keine Anhaltspunkte zur Veranschaulichung von Witterungsmaximalen zu bieten vermögen und es scheint jetzt bedauerlich, daß alle Versuche, die Witterungsbildung für einige Zeit wissenschaftlich, mit Unfruchtbarkeit geschildert sind.

## Der 10. Mond des Saturn.

(Himm. Tabel. XI.)

**U**m früher an dieser Stelle mitgeteilt wurde<sup>1)</sup>, hat Prof. William H. Pickering durch Aufnahmen mit dem großen photographischen Teleskop der Harvard-Werkstatt, die Vorhandensein eines 10. Saturnmondes festgestellt, der den Namen Thémis erhalten hat. Es wurde ferner ermittelt, daß die Umlaufzeit dieses Trabanten um den Saturn etwa 21 Tage und die Exzentrizität seiner Bahn 0,23 beträgt, auch ist diese letztere um 11° gegen die Bahnebene der übrigen inneren Satelliten des Saturn geneigt. Endlich ergab sich, daß der neue Trabant zu gewissen Epochen sehr nahe bei dem Saturnmonde Titan vorübergeht, und daß eine solche Annäherung nur nicht langer Zeit wiederholend haben muß. Hierauf wurde die Idee hervorgebracht, daß diese starke Annäherung an Titan die ursprüngliche Bahn der Thémis verändert und die stark Exzentrisch sowie die große Neigung ihrer Bahn verursacht habe.

Jetzt hat nun Prof. William Pickering ausführliche Mitteilungen über seine Forschungen betreffend die Thémis veröffentlicht.<sup>2)</sup> Hiernach wurden im Jahre 1906 18 photographische Aufnahmen des Saturn resp. seiner Umgebung gemacht, von denen 14 zur weiteren Untersuchung geeignet waren. Auf einem konnte der neue Trabant gefunden werden. Um dem Leser eine Vorstellung davon zu geben, wie sich dieser schwachere Mond auf einer solchen Platte darstellt und welche Schwierigkeit es hat, denselben zu erkennen und zu identifizieren, sei auf Tabel. XI eine solche Platte durch Lichtdruck nach dem Original in der Pickering'schen Publikation, wiedergegeben. Derselbe stellt ein photographisches Negativ vor, das am 20. Juni 1904 erhalten und 12 hoch vergrößert wurde, so daß die Länge

<sup>1)</sup> *Annals of the Astron. Obs. of Harvard College* Vol. LXI, Part I, Cambridge M., 1902.

von 1 Millimeter — 5 Bogensekunden ist. Der große, schwarze, verwaschene Fleck ist der Planet Saturn, dessen Ost- und die Cassinischen Streifen, durch die sehr lange Exposition der Platte, die notwendig war um ihn so feinschwarzen Objekt zu erhalten wie der Trabant Thone ist, völlig verschwunden waren. Links neben Saturn erblickt man einen hellgelblichen schwarzen Fleck (durch 2 Linien künstlich gemacht), es sind die beiden bekannten Saturnmonde Titan und Hyperion, der oben starke Fleck ist Tass. Rechts vom Saturn erblickt (ebenfalls durch 2 Linien gekennzeichnet) ebenfalls übersehbarer Fleck der Trabant Iapetus. Zwischen diesem und dem Saturn, etwas nach oben, steht (widerum durch 2 Linien gekennzeichnet) der 10. Mond Thone, ein höchst schwacher Fleckchen, das von einem Nichtfachmann sehr leicht hätte übersehen werden können. Dieser Trabant befindet sich bei der Aufnahme gerade nahe in seiner größten westlichen Entfernung vom Saturn und nur infolgedessen wurde es möglich, ihn auf der vergrößerten Wiedergabe des Originalnegatives noch erkennbar zu drucken.

Die Berechnung der Bahn, welche der Trabant um den Saturn in den Jahren 1900 und 1904 beschreibt, ergab auf Grund der photographischen Aufnahmen folgenden:

	1900	1904
Halbe große Achse der Bahn . . . . .	2017"	2014"
Exzentrizität . . . . .	0.045	0.030
Neigung der Bahnebene . . . . .	25.1°	26.0°
Laufe der aufsteigenden Knoten . . . . .	172.6°	164.7°
Laufe der Perisaturnlinie . . . . .	157.2°	158.0°
Umlaufdauer (Tage) . . . . .	79.80	79.85
Epochen für welche diese Bahnrechnungen gelten . . . . .	Sept. 1. Juli 12.	

Wie man sieht, ergibt sich die halbe große Achse der Bahn und dementsprechend die Dauer der Umlaufzeit für das Jahr 1900 sehr nahe übereinstimmend mit der Berechnung für 1904. Dagegen erscheint die Erre-

bnis in beiden Jahren sehr verschieden: 1900 sehr gering, so daß die Bahn fast kreisförmig ist, 1904 dagegen erheblich. Die schon früher bekannten 6 inneren Monde des Saturn bewegen sich ebenfalls nahezu in der Ebene des Saturnrings und des Saturnequators, die Neigung ihrer Bahnbenen ist nahezu 28° und dem Kometen folgen bei 165°.

Die beträchtlichen Unterschiede der Exzentrizität und Bahnneigung, welche sich aus den Aufnahmen 1900 und 1904 ergeben, haben Prof. Pickering auf die Vermutung geführt, daß es sich möglicherweise um 2 Trabanten handeln, die sich in Saturn mit gleicher Umlaufzeit bewegen, ähnlich wie der 6. und 7. Jupitermond.

Die Untersuchung des 10. Mondes bedarf wegen dessen außerordentlichen Lichtschwäche sehr große Schwermühen. Schon der 6. Saturnmond, Phoebe, ist so lichtschwach, daß er erst kürzlich mit Hilfe auf zwei europäischen und drei amerikanischen Observatorien gesehen wurde konnte. Prof. Barnard, der ihn zweimal am 40zölligen Refraktor der Yerkesobservatory sah, erklärt, daß er an der Grenze der Beobachtbarkeit für den großen Refraktor stehe. Thone ist dagegen noch schwächer und es ist zweifelhaft, ob er gegenwärtig außer in Arizopa überhaupt photographiert werden kann. Das Objekt befindet sich also für unsere bestgenutzte Hilfsmittel überhaupt an der äußersten Grenze der Wahrnehmbarkeit.

Im August und September 1900 wurden 6 Platten erhalten und auf 5 von denselben ist der 6. Saturnmond (Phoebe) sehr gut abgebildet. Eine entsprechende Prüfung dieser Platten ergab auf fast allen mindestens eine und bisweilen drei schwache Eindrücke, ähnlich demjenigen von höchst lichtschwachen Satelliten, gleichwohl nicht den Maßstab von schwachen Fixsternen. Mit einer Ausnahme zeigen sich diese schwachen Objekte sämtlich innerhalb 30° von der Bahnzone der bekannten inneren Saturnmonde. Da in dieser Region

des Himmels nur wenige Fixsterne stehen, so schienen sehr günstige Verhältnisse für eine genaue Bahnbestimmung des Satelliten zu bestehen. Aber diese Erwartung wurde getäuscht, es fanden sich keine Objekte an den Orten, wo der Satellit gemäß den Bahnen von 1900 und 1904 hätte sehen müssen. Danach mußte man also schließen, daß Theia ebenfalls eine große Veränderung ihrer Bahn seit 1904 erlitten habe und zwar wahr-

scheinlich wiederum infolge ihrer großen Auslösung an den Trabanten Titan. Andererseits könnten aber auch mehrere Trabanten von nahezu gleicher Helligkeit in der Nachbarschaft der Theia vorhanden und dadurch Konfusion in der Identifizierung derselben mit Theia entstanden sein. Welche dieser Annahmen richtig ist, darüber können wir weitere und zahlreiche Aufnahmen entscheiden.

## Die früheren Erscheinungen des Halley'schen Kometen.



In Edmund Halley für 1790 die Rückkehr des später nach ihm benannten Kometen unabhängig, stützte er sich darauf, daß die von ihm beobachteten Bahnbestimmungen der 1682, 1697 und 1758 erschienenen Kometen einander so ähnlich seien, daß sie offenbar die- und denselben Kometen angehörten. Diese Annahme fand ihre Bestätigung, als der Halley'sche Komet im selben Jahr 1835 wieder erschien und wird für 1910 ebenfalls erwartet. Es ist aus von Interesse, festzustellen, ob und wenn dieser Komet wie 1531 erschien, und mit dieser Frage hat sich vor Jahren besonders der englische Astronom Hind beschäftigt. Nach seinen Untersuchungen, besonders der chinesischen Nachrichten über Kometenrechnungen, gehören folgende dem Halley'schen Kometen an:

1. 11 vor Chr. Perseid am 5. Oktober.
2. 319 nach „ „ „ 4. April.
3. 366 „ „ „ Anfangs April.
4. 373 „ „ „ Im November.
5. 451 „ „ „ am 3. Juli.
6. 524 „ „ „ Anfangs November.
7. 598 „ „ „ „ „
8. 607 „ „ „ „ April.
9. 918 „ „ „ „ „
10. 969 „ „ „ am 17. September.
11. 1066 „ „ „ „ 1. April.
12. 1346 „ „ „ „ 19 „
13. 1378 „ „ „ „ 2. November.
14. 1406 „ „ „ „ 4. Juni.

Diese Identifizierungen sind natürlich zum Teil unsicher, weil die Angaben über die Beobachtungsverhältnisse der Kometen, besonders aus den früheren Zeiten sehr ungenau, ja zum Teil phantastisch sind. Eine neue Untersuchung anderer dieser schon lange sehr wahrscheinlichen, der Astronom P. H. Cowell und A. C. D. Crommelin, von der Sternwarte zu Greenwich, haben sich dieser sehr schwierigen Arbeit unterzogen, indem sie die Bewegung der Kometen rückwärts verfolgten und die Störungen, die besonders die beiden großen Planeten Jupiter und Saturn darauf ausübten, berechneten. Sie haben bestätigt, daß ein im Jahr 1301 geschehener großer Komet, über den verschiedene europäische Schriftsteller und ebenso die chinesischen Chroniken berichten, unzweifelhaft der Halley'sche Komet gewesen sein muß. Diese berechneten sie die Bahn, welche derselbe Komet im Jahre 1221 beschrieben hat, und fanden, daß ein damals erscheinender großer Komet, dessen die Chinesen und die französischen Berichte sprechen, ebenfalls eine Erscheinung des Halley'schen Kometen war. Auch die Identifizierung des Kometen von 1145 mit dem Halley'schen fand sich durch die neue Nachrechnung bestätigt. In beiden Fällen war der Komet wegen vor Sonnenanalogie am Osthorizont sichtbar

geworden und verlor sich darauf wieder in den Sonnenstrahlen, um später dieses wieder aufzuwachen und im Sternbilde der Hydra zu verschwinden. Der beiden Kondemnerschmungen von 989 und 912 konnten aber nicht mit Sicherheit als solche des Halley'schen Kometen nachgewiesen werden. Dagegen ist dieser identisch mit dem Kometen von 612, dessen Perihel sehr wahrscheinlich auf den 25. Februar fiel, und ebenso mit dem Kometen von 760, den schon Laugier als frühere Erscheinung des Halley'schen erklärte und dessen Perihel-durchgang die letzten neuen Berechnung auf den 15. Jan. 760 setzten.

Als Hauptergebnis der Rückwärts-berechnung dieses Kometen auf mehr als 11 Jahrhunderte, ergibt sich, daß eine Änderung der mittleren Bewegung desselben, wie solche beim Encke'schen Kometen erkannt wurde, sehr wahr-

scheinlich ist und die Gravitationsstörung vollkommen genügt die Bewegung des Kometen während dieser ganzen Zeit darzustellen. Während dieses langen Zeitraums hat die Umlaufdauer des Kometen von der einen bis zur nächsten Erscheinung erheblich geschwankt und nur lediglich infolge der ständigen Einwirkungen der heißen Hauptplaneten umterte Sonnensystems. Die Länge von der Erscheinung des Kometen.

1000 bis 1145	75 Jahre 1 Monat
1145 - 1200	72 - 4 -
1200 - 1304	78 - 1 -
1304 - 1330	72 - 0 -
1330 - 1456	72 - 2 -
1456 - 1621	76 - 3 -
1621 - 1807	76 - 3 -
1807 - 1862	74 - 0 -
1862 - 1799	75 - 0 -
1799 - 1838	76 - 2 -
1838 - 1910	76 - 5 -

## Ein angeblicher Vorgänger Galilei's.

**I**n der öffentlichen Sitzung der Königl. Preussischen Akademie der Wissenschaften zur Feier des hundertsten Jahrestages am 2. Juli d. J. hat der vorredende Sekretär Graf von Dula eine Ansprache gehalten, in der er sich über die auffallende Ähnlichkeit verheißt, die im Verlaufe des Streits entsteht, der sich über Galilei's Entdeckungen erhob, mit jenem, der sich im 16. Jahrhundert v. Chr. in Griechenland über verwandte astronomische Lehren abgespielt hatte. Er schreibt daher einen Teil der Entdeckungen Galilei's ohne weiteres dem Leukippos zu.

„Als Galilei“, so sagte Graf Dula, „im Jahre 1609 den ersten bloßen Fernrohr konstruiert hatte, der nach jetzt in der Technik d. Galilei in Florenz gruppiert wird, machte er in wenigen Monaten folgende Entdeckungen, die er selbst in seinem »Sidereus Nuncius« staunenden Welt mittheilte: 1. Er entdeckte, daß die Flecken des Mondes

won einer gehörigen Struktur berühren, und er gab die Methode der Berechnung für die Mondberge richtig an. 2. Er entdeckte die Unzahl neuer Fixsterne, statt der 7 Planeten umschwebte er 40 Sterne, und so konnte er, gestützt auf diese Entdeckungen, wagten, 1. die Milchstraße, das alte Räthsel der Himmelskunde, als eine Anhäufung kleiner Fixsterne zu erklären. Vor allem wichtig aber war seine damalige 4. Entdeckung, daß der Planet Jupiter von vier kleinen Trabanten umgeben ist, die er zu Ehren seines Fürsten »Mediceische Galilei« nannte. Dieses Planetensystem bildete eine starke Analogie zu der Kopernikanischen Theorie des ganzen Sonnensystems, und die aristotelisch-ptolemäische Auffassung der Himmelsbewegung erschien damit als abgesehen.

Es ist nun sehr merkwürdig, daß ein Teil dieser Entdeckungen bereits um die Mitte des fünften vorchristlichen

jahrhunderts in der Schule zu Abdera gemacht worden ist und zwar von einem früh vorantiken Naturforscher, der als der wahre Vater der modernen Naturwissenschaft betrachtet werden kann: Leukippos, aus der von Thales begründeten atomistisch-mathematischen Schule von Milet stammend, hatte sich in dem nach ihm aufblühenden Abdera niedergelassen. Er verknüpfte mit den ererbten mathematisch-astronomischen Kenntnissen die logische Schärfe der Eliten und eine ihm eigene reiche Naturbeobachtung, die es ihm erlaubte, die bisherigen Traditionen entgegenzusetzen. So setzte er an die Spitze seiner das ganze Universum betrachtenden Schrift über den Kosmos die ebenen Naturerkenntnis, den Satz von der unermesslichen Herrschaft der Naturgesetze, der jegliches Wunder ausschloß. Alles Entstehen und Vergehen müßte sich auf mechanische Ursachen zurückführen, und zwar beruhte die Körperwelt aus einer Zusammensetzung von Atomen, Dingen Farbe, Wärme und alle sonstigen Qualitäten und Fähigkeiten beruhten auf der Unterordnung der Qualität ihnen sich somit auf quantifizierbare zurückführen. Wie man die einzelnen irdischen Körper aus unendlich vielen unzerstörbaren Atomen bestanden, so schloß er, müßten auch im Himmel unendlich viele Welten bestehen, die wiederum aus kleinen Himmelskörpern bestanden. Die Milchstraße war nichts als aus unendlich vielen kleinen Körpern zusammen. Die Lichtstrahlung des Mondes erklärte sich durch die Verschiedenheiten der Bodenbeschaffenheiten der Mondoberfläche. Denn auch diese ist, wie die Erde, mit Bergen und Tälern bedeckt. Im Jahre 468 war in der Nähe von Abdera auf dem Thakischen Chersones ein großer Meteorereignis niedergegangen. Man hatte die Götter mit verschiedenen Gesandten aufsuchen sehen und dann an dem wiedergeführten Stern glühende Eisenmassen kneten können. Leukippos schloß daraus, daß alle weiteren

leuchtenden Himmelskörper ebenfalls glühende Metallkugeln seien. Diese erstaunlichen Hypothesen, die sich in der ganzen wissenschaftlichen Auffassung wie ein roter Faden bemerkbar und Galileo Beobachtungen berühren, die in der Tat moderne Kanonen dieser abstrakten Entdeckungen hieß, wurden zunächst nur in engem Kreise bekannt, obgleich Astronomen wie Eudemos damals in der Nähe von Abdera in Amphipolis sich aufhielten, um Observatorien auszurüsten. Wiederholte fanden sie erst, als der Klammereiter Anaxagoras im Jahr danach in Athen, der Herrscherhauptstadt, als sein eigenes Entdeckungen vortrug, wenn er dann bis auf den heutigen Tag Athen gekundet hat, obgleich Demokrit, der Schüler des Leukippos und unzweifelhaft ein gleichwertiger Zeuge, ihn des Plagiat beschuldigte. Aber man wollte von diesem nordischen Naturforscher in Athen nichts wissen, und so trug Anaxagoras den Ruf, wie der Vorfänger dieser neuen kosmischen Anschauung davon. Denn in der kleinen Stadt der Attika, wo es eine berühmte Wachtel des abstrakten Glanzes gab, fand man es empfindlich, daß Helios und Selene, die heiligen Götter, zu bloßen Metallkugeln herabgewürdigt werden sollten. Und ebenso hat wie die freigeschaffene Jugend Athens, in ihrer Spitze Eurypides, der mit glühendem Kette aus Himmel aufgehängten Sonnenkugeln bezug, schreien die Anhänger der alten Bildung die Ausnahme auf. Ein Familiär seiner Dargestellten brachte die Götter durch, die die Ungläubigen und Naturwissenschaftler mit dem Tode bedrohte, das erste Beispiel einer solchen Verfolgung der Wissenschaft, die dann auch die Frucht des kognitiven befallenen Anaxagoras zur Folge hatte. Das war noch vor dem Peloponnesischen Kriege.

Wir können der Auffassung nicht beigefügen, daß die Teil der Entdeckungen Galileis schon am die Mitte des 3. vorchristlichen Jahrhunderts in



der Schule zu Ablesen gemacht wurde. Dass von dort ausgesprochen worden, waren Ansichten und Meinungen, je wie viele der beständigen Ausprüche des „glücklichen“ Plato, blinde Einfälle, die durch nichts belegt werden sind

belegt werden konnten. Solche bodenlose Behauptungen mit dem durch mehr Beobachtungen nachgewiesenen Entdeckungen auf gleiche Linie zu stellen ist durchaus unstatthaft.

## Vermischte Nachrichten.

Die Helligkeit der Sonne und des Mondes ausgedrückt in Sterngrößenklassen ist von Prof. William Pickering gelegentlich seiner Expedition nach Japan zur photographischen Aufnahme des Mondes, bestimmt worden.

Die Messungen geschahen mit Hilfe einer Paraffin-Lampe (Ponton-Lampe), die ein sehr constantes Licht gibt, nach der Methode der Vergleichung der Schatten. In seiner Mitteilung über diese Untersuchungen<sup>1)</sup> gibt Prof. William Pickering alle nöthigenwerthen Details über die Beobachtungsmethoden und die Vorrichtungsforgern zur möglichsten Ausschaltung von Fehlern in den Messungen. Hier sollen nur die Ergebnisse dieser Untersuchung mitgeteilt werden.

Die Helligkeitsklassen der Protonen begreifen Schätzfehler mit den Sternen 1. Größe und schwächen bei den schwächeren Sternen nur 2, 3, 4 von Größenklassen fort. Für Sterne heller als diejenigen 1. Größe besteht deshalb eine Schwierigkeit über diese Größenklassen nach oben fortzuschreiben und man hat diese dadurch gelöst, daß man in diesem Falle von der Größenklasse 0 zur Größenklasse — 1, — 2, — 3 usw. übergeht. Dieses Verfahren gibt für die Rechnung durchaus vergleichbare Werte, obgleich das Messen selbst hier physikalisch keine Berechtigung gefunden wurde die Helligkeit der Sonne mit derjenigen von Capella, Arktur, Wega und Sirius. Als Endergebnis aus 10 Messungen ist es

so, daß die Sonne in die Größenklasse — 26.60 anzuordnen ist, wobei Arktur zur Größenklasse 0.24, Capella zur Größenklasse 0.21, Wega zur 0.04 Größe und Sirius als — 1.58 Größe angenommen sind. Die für die Sonne gefundene Größenklasse stimmt mit den wenigen früheren Versuchen anderer Astrophysiker gut überein.

Was den Mond anbelangt so erhielt Prof. W. Pickering für dessen Helligkeit zur Zeit des Vollmondes den Wert — 12.6 Sterngröße. In der Menschheit ist sie — 9.6 Sterngröße.

Aus den gefundenen Daten ergibt sich:

Die Sonne ist 54000-mal so hell als der Vollmond, oder 54000 Millionen mal so hell als ein Stern 0 Größe, wobei angenommen ist, daß Sirius 126-mal so hell ist als ein Stern 0 Größe. Eine Normalsterne in Entfernung von 1 m hat eine Helligkeit, die in Sterngrößen ausgedrückt — 12.60 ist. Die totale Helligkeit der Sonne ist gleich derjenigen von 4280 Quadrillionen Normalsterne.

Das Licht des Vollmondes ist gleich dem vorstehigen Licht von 1000000 Sternen 0 Größe, derjenige eines Mondes ist gleich derjenigen von 8320 Sternen 0 Größe. Die durchschnittliche Lichtreflexion (Albedo) der Mondoberfläche beträgt 0.093. Die totale Helligkeit des Vollmondes ist gleich derjenigen von 3300 Millionen Normalsterne.

Die Bahn des E. Jupitersatelliten ist von P. H. Cowell und A. D. Crommelin auf Grund von Beobachtungen

<sup>1)</sup> *Report of the Astron. Obs. of Harvard College*, Vol. LXI, Part 1, 1901.

zu Greenwich, Heidelberg und Mount Hamilton untersucht werden.<sup>3)</sup> Die störende Wirkung der Sonne auf den Trabanten nahm in der ersten Hälfte dieses Jahres von 16% auf 6% der anziehenden Kraft des Jupiter ab, was also noch immer sehr beträchtlich und verlangte eine eigentümliche rechnerische Behandlung.

Die Beobachtungen resp. photographischen Aufnahmen des Trabanten lieferten den Zeitraum vom 21. Januar bis 28. April 1906. Zu Anfang dieses Zeitraumes war der Trabant 34, zu Ende 25 Millionen Kilometer vom Jupiter entfernt, so daß in solchen der großen Masse des Jupiter nur die in jener Entfernung selbst starke Abnahme der Sonnenwirkung auszurechnen ist, daß der Trabant überhaupt in der Anziehungssphäre Jupiters verblieb. Die durchschnittliche Bahn des Trabanten war  $31.14^{\circ}$  gegen die Ekliptik und  $29.64^{\circ}$  gegen die Ebene der Jupiterbahn geneigt, die mittlere Entfernung vom Jupiter betrug 0,1262 Erdbahnhalfenweiten, die Exzentrizität etwa  $\frac{1}{10}$ , die Länge des aufsteigenden Knotens  $277.46^{\circ}$  und der Umlaufzeit nahezu 26 Monate. Diese Daten sind jedoch keineswegs als mit-

tere Bahnelemente des Trabanten zu betrachten.

Die definitive Bahnbestimmung des Kometen 1844 V ist jüngst von Dr. F. Wrobley angebahnt worden.<sup>4)</sup> Der Komet wurde in den Morgenstunden des 21. Dezember 1844 von Prof. K. Beudon in Leipzig entdeckt, konnte aber teils wegen zunehmender Schwäche, teils wegen seiner ständigen Störung, nur bis zum 29. Januar 1865 verfolgt werden. Dr. Wrobley hat nun nach Revision der Vergleichssterne das spätere Beobachtungsintervall in 161 Orte zusammengefaßt, die Schlangen des Kometen durch Jupiter, Venus und Erde, welche letzterer er fast am 26. Januar 1865 bis auf 0,292 Erdbahnhalfenweite öfters, beschnitt und dann streng nach der Methode der kleinsten Quadrate ausgeglichen. Die wahrscheintliche Bahn ist wohl eine Hyperbel, aber mit einer so wenig von der Einheit abweichenden Exzentrizität ( $e = 1.000317$ ), daß die Darstellung der Orte durch eine Parabel genau ebenso gut ausfällt wie durch die Hyperbel. Es liegt daher kein Grund vor, die Parabel zu verlassen; sie lautet:

Zeit des Perihels . . . . .	1864 Dez. 21.71465 nach Greenwich Zeit
Argument des Perihels . . . . .	$73^{\circ} 30' 46.5''$
Länge des aufsteigenden Knotens . . . . .	$240^{\circ} 54' 39.4''$
Neigung der Bahn . . . . .	$162^{\circ} 22' 30.3''$
Periheldistanz . . . . .	1.11624

**Der Komet 1868a.** Am 1. September wurde von Mannheim auf der Yerkes Sternwarte photographisch ein neuer Komet entdeckt, der ziemlich senkrecht auf und einen langen Schwanz zeigt. Am 3. September wurde unabhängig derselbe Komet von Beccly auf der Sternwarte zu Marzelle gefunden und als 16. Größe mit kleinem Schwanz beschrieben. Seitdem ist das Gesteir zu Kopenhagen, Moskau, Greenwich, Stockholm, Mount Hamilton und auch zu anderen Sternwarten beobachtet

worden. Es nimmt seinen Lauf durch die Sternbilder Comaepa und Cepheus und stand am 30. September in der Höhe des Sterns  $\beta$  im Cepheus. Nach den ersten Beobachtungen umfaßt der Komet am 24. Dezember seine Sonnen-  
nähe.

**Merk im Wallfisch im Bedauern seiner Heiligkeit 1907.** Nach den Beobachtungen von H. Lauer von der Sternwarte zu Lyon, erreichte der Venusähnliche Merk im Wallfisch 1907 seine größte Helligkeit am 4. November und

<sup>3)</sup> Monthly Notices RAS, Vol. LXVIII, No. 2. Juni, S. 236.

<sup>4)</sup> Wiener Akad. Berichte 1906, S. 108  
20\*

war damals 32. Größe. Henri Moysen Montpelier hat um dieselbe Zeit den Veränderlichen ebenfalls beobachtet und fand das Maximum am 27. Oktober mit 26 Größe. Ähnliche Unterschiede zwischen den Beobachtern finden sich bei den Veränderlichen von langer Periode nicht selten und es sind im vorliegenden Falle wohl zum großen Teil durch die rote Farbe des Sterns zu erklären, die im Herbst 1867 besonders sehr intensiv war. Die Maximumhelligkeit blieb dagegen gegen die des Jahres 1866 erheblich zurück.

Eine Reform der Stundenrechnung in England ist dort vorgeschlagen worden und wird in den Tagesblättern öfters diskutiert. Hiernach sollte die älteste oder westliche Zeit, welche heute der mitteleuropäischen Zeit eine Stunde zurück ist, in England nur vom 1. Oktober bis zum 31. März gelten, während der andere Jahreshefte sollte dagegen die mitteleuropäische Zeit Gültigkeit haben. Wenn dieser Vorschlag gesetzlich würde so hätte man in England also als Urmass am 1. April jedes Jahres um 1<sup>h</sup> vorzurücken und am 1. Oktober um ebensoviel zurückzurufen. Die Befürworter dieses Projektes weisen darauf hin, daß mit Einführung desselben die Arbeiter und Angestellten im allgemeinen für ihre Tätigkeit mehr als bisher von dem zeitlichen Tageslichte profitieren und künstliche Beleuchtung in merklichem Maße eingespart würde.

Der Vorschlag ist indessen so unpraktisch, daß er schwerlich auf Annahme rechnen darf, denn aus zweifelsfreien Urverordnungen würde das Nichtbeachtlich erreicht werden, wenn von den im Auge gefaßten Geschäften, Anstalten usw. der Beginn der Arbeit, Mitternacht im Sommer auch auf eine Stunde früher als im Winter festgelegt würde, wie es tatsächlich schon jetzt mehrfach geschieht.

**Prof. Dr. Aumers.** Seines 75. Geburtstag wurde am 12. September der Astronom, Galt. Observatorienrat Prof. Dr. phil. Arthur Aumers, beständiger Sekretär der physikalisch-mathematischen Klasse der großherzoglichen Akademie der Wissenschaften und Kander des Ordens pour le mérite für Wissenschaften und Künste. Er ist am 12. September 1838 zu Göttingen geboren, hörte Vorlesungen bei Wilhelm Weber, Dedekind, Schering und Stern an der Göttinger Universität und wurde 1869 Assistent an der Sternwarte Königstern. Hier setzte er seine Studien fort und promovierte 1862. Bald darauf kam er an die Sternwarte in Göttingen und erhielt 1866 als Nachfolger von Bode die Stelle des Astronomen bei der Akademie der Wissenschaften in Berlin. Hier wurde er 1878 als Nachfolger Kammens zum ständigen Sekretär der physikalisch-mathematischen Klasse gewählt. Seit 1892, hinter den Ordensposten zurück für Wissenschaften und Künste, wurde Aumers 1903 als Nachfolger Theodor Mommsens zum Vizekanzler und 1905 als Nachfolger Adolf Harnacks zum Kanzler dieser Ordens ernannt. Im Reichstag gedankt unermüdetlich, veröffentlichte er außer verschiedenen Sternverzeichnissen und -katalogen zahlreiche Arbeiten auf dem Gebiete der Pausenrechnung. „Untersuchungen über veränderliche Eigenbewegungen von Fixsternen“ (1862), „Reduktion der Beobachtungen der Fundamentaltiere am Passageninstrument der Sternwarte am Palermo 1860 bis 1865“ (1866), „Neue Reduktionen der Druckkymen Beobachtungen 1756 bis 1862“ (1862 bis 1868). Über die Venusdurchgänge, die er als Leiter zweier deutscher Expeditionen 1874 in Lankau und 1882 in Porto Arima beobachtet hatte, schrieb er den „Bericht über die deutschen Beobachtungen der Venusdurchgänge von 1874 und 1882“ (1887 bis 1890). 1896 gab er mit Galt „Determinations of the solar parallax“ heraus.

# Astronomischer Kalender für den Monat Dezember 1908.

Sonnen				Mond			
Mittlerer Berliner Mittag.				Mittlerer Berliner Mittag.			
Tag des Jahrs	Zeitl. M. L. — W. L.	Rektascension	Declination	Rektascension	Declination	Mond im Meridian	
h m s	h m s	h m s	° ' "	h m s	° ' "	h m	m
1	— 10 53 48	18 34 44.34	— 23 47 34.9	22 37 37.76	— 19 33 48.9	8 31.9	
2	— 10 55 17	18 35 8.68	— 23 48 49.9	8 3 43.27	— 1 38 37.6	7 41.4	
3	— 10 5 46	18 37 29.08	— 23 5 39.9	1 1 54.58	+ 1 59.5	6 50.6	
4	— 9 58 54	18 41 44.37	— 23 12 51.9	1 57 55.59	+ 4 49 37.3	6 12.8	
5	— 9 55 47	18 46 1.98	— 23 21 49.1	8 54 34.97	13 9 39.1	55 1.7	
6	— 9 54 50	18 49 50.68	— 23 30 39.4	8 57 49.88	19 44 7.9	51 1.1	
7	— 9 55 51	18 54 40.87	— 23 38 54.9	4 33 38.37	25 38 58.6	51 54.4	
8	— 9 49	18 59 4.98	— 23 48 59.9	8 58 54.68	27 51 39.4	50 49.3	
9	— 9 37 57	19 1 30.88	— 23 49 59.4	8 54 49.99	24 33 31.9	50 49.3	
10	— 9 31 54	19 7 58.78	— 23 54 59.9	7 28 15.66	14 31 8.4	54 58.5	
11	— 9 45 49	19 15 59.90	— 23 48 54.9	8 54 31.88	55 58.8	55 58.8	
12	— 9 38 45	19 24 49.84	— 23 4 48.9	8 5 48.59	50 49 37.9	55 58.8	
13	— 9 47 40	19 34 2.79	— 23 5 9.9	7 54 34.33	17 51 39.4	55 58.1	
14	— 9 51 34	19 38 58.84	— 23 10 59.1	18 41 17.23	19 43 7.4	57 48.9	
15	— 9 55 28	19 44 38.98	— 23 18 17.9	22 58 7.33	9 51 39.6	54 29.8	
16	— 9 59 23	19 51 49.99	— 23 26 19.9	18 46 5.00	+ 9 59 39.9	51 59.9	
17	— 10 3 18	19 59 45.11	— 23 35 43.9	18 44 38.49	— 9 18 39.4	50 48.8	
18	— 10 7 14	20 10 58.81	— 23 46 49.9	18 34 30.58	5 18 47.9	50 58.9	
19	— 10 11 10	20 24 58.87	— 23 58 18.7	18 26 3.89	18 11 47.9	50 18.4	
20	— 10 15 06	20 40 9.94	— 24 10 39.9	18 14 10.93	10 48 59.9	50 4.8	
21	— 10 19 02	20 56 39.4	— 24 7 1.93	18 7 1.93	18 59 59.9	50 59.9	
22	— 10 23 00	21 1 3.44	— 24 57 37.7	18 57 39.9	20 45 9.9	50 57.8	
23	— 10 27 00	21 8 39.34	— 24 58 49.1	19 4 48.34	22 34 8.4	—	
24	— 10 31 00	21 16 1.37	— 25 6 36.3	19 4 12.93	24 28 19.7	5 59.3	
25	— 10 35 00	21 24 31.43	— 25 14 27.9	19 6 5.04	26 7 49.9	5 59.7	
26	— 10 39 00	21 34 47.70	— 25 22 56.4	19 19 39.93	28 56 59.9	5 59.4	
27	— 10 43 00	21 45 34.74	— 25 32 39.1	19 32 37.94	28 54 9.9	5 59.4	
28	— 10 47 00	21 57 45.41	— 25 43 59.1	19 4 3.91	28 27 39.1	4 59.1	
29	— 10 51 00	22 10 5.39	— 25 54 49.3	19 16 58.93	9 18 59.4	5 59.9	
30	— 10 55 00	22 24 59.11	— 26 5 3.4	4 18 39.71	— 9 57 59.3	6 59.3	
31	+ 10 59 00	22 40 37.37	— 26 1 37.1	1 18 39.99	+ 9 59 7.1	7 59.9	

## Planetenstellungen 1908.

Dezember	Tag	St.	Planet in Konjunktion mit dem Monde
"	3	18	Venus in größter südlich. Latenz. Breite
"	4	16	Merkur in Konjunktion mit J. (super.) Merkur 17° 40' süd.
"	8	18	Jupiter in Opposition mit der Sonne
"	9	18	Merkur im änderstgrößten Abstand
"	14	18	Jupiter in Konjunktion mit dem Monde
"	17	22	Merkur in der Sonnenferne.
"	21	28	Mars in Konjunktion mit dem Monde.
"	24	24	Saturn in Konjunktion mit dem Monde
"	31	28	Sonne tritt in den Zeichen des Strebendes. Winteranfang
"	31	—	Sonnenfinsternis.
"	27	8	Merkur in Konjunktion mit dem Monde.
"	27	27	Merkur in oberer Konjunktion mit der Sonne.
"	28	25	Venus in Konjunktion mit J. (super.) Venus 17° 30' süd.
"	28	6	Saturn in Opposition mit der Sonne.
"	28	6	Saturn in Konjunktion mit dem Monde.

Planeten-Ephemeriden.

Mittlere Berliner Zeit						Mittlere Berliner Zeit					
Jahr 1906	Rechnungs- jahr	Declination			Jahr 1906	Rechnungs- jahr	Declination			Jahr 1906	Rechnungs- jahr
		h	m	s			h	m	s		
Merkur.						Saturn.					
Dec.	1	10	1 40 07	— 20 20 10	10	2	10	10 10 10	— 20 20 10	10	2
	10	10	1 40 07	— 20 20 10	10	10	10	10 10 10	— 20 20 10	10	10
	20	10	1 40 07	— 20 20 10	10	20	10	10 10 10	— 20 20 10	10	20
	30	10	1 40 07	— 20 20 10	10	30	10	10 10 10	— 20 20 10	10	30
	40	10	1 40 07	— 20 20 10	10	40	10	10 10 10	— 20 20 10	10	40
	50	10	1 40 07	— 20 20 10	10	50	10	10 10 10	— 20 20 10	10	50
	60	10	1 40 07	— 20 20 10	10	60	10	10 10 10	— 20 20 10	10	60
	70	10	1 40 07	— 20 20 10	10	70	10	10 10 10	— 20 20 10	10	70
	80	10	1 40 07	— 20 20 10	10	80	10	10 10 10	— 20 20 10	10	80
	90	10	1 40 07	— 20 20 10	10	90	10	10 10 10	— 20 20 10	10	90
Venus.						Uranus.					
Dec.	1	10	1 40 07	— 20 20 10	10	2	10	10 10 10	— 20 20 10	10	2
	10	10	1 40 07	— 20 20 10	10	10	10	10 10 10	— 20 20 10	10	10
	20	10	1 40 07	— 20 20 10	10	20	10	10 10 10	— 20 20 10	10	20
	30	10	1 40 07	— 20 20 10	10	30	10	10 10 10	— 20 20 10	10	30
	40	10	1 40 07	— 20 20 10	10	40	10	10 10 10	— 20 20 10	10	40
	50	10	1 40 07	— 20 20 10	10	50	10	10 10 10	— 20 20 10	10	50
	60	10	1 40 07	— 20 20 10	10	60	10	10 10 10	— 20 20 10	10	60
	70	10	1 40 07	— 20 20 10	10	70	10	10 10 10	— 20 20 10	10	70
	80	10	1 40 07	— 20 20 10	10	80	10	10 10 10	— 20 20 10	10	80
	90	10	1 40 07	— 20 20 10	10	90	10	10 10 10	— 20 20 10	10	90
Mars.						Neptun.					
Dec.	1	10	1 40 07	— 20 20 10	10	2	10	10 10 10	— 20 20 10	10	2
	10	10	1 40 07	— 20 20 10	10	10	10	10 10 10	— 20 20 10	10	10
	20	10	1 40 07	— 20 20 10	10	20	10	10 10 10	— 20 20 10	10	20
	30	10	1 40 07	— 20 20 10	10	30	10	10 10 10	— 20 20 10	10	30
	40	10	1 40 07	— 20 20 10	10	40	10	10 10 10	— 20 20 10	10	40
	50	10	1 40 07	— 20 20 10	10	50	10	10 10 10	— 20 20 10	10	50
	60	10	1 40 07	— 20 20 10	10	60	10	10 10 10	— 20 20 10	10	60
	70	10	1 40 07	— 20 20 10	10	70	10	10 10 10	— 20 20 10	10	70
	80	10	1 40 07	— 20 20 10	10	80	10	10 10 10	— 20 20 10	10	80
	90	10	1 40 07	— 20 20 10	10	90	10	10 10 10	— 20 20 10	10	90
Jupiter.						Mondphasen.					
Dec.	1	10	1 40 07	— 20 20 10	10	2	10	10 10 10	— 20 20 10	10	2
	10	10	1 40 07	— 20 20 10	10	10	10	10 10 10	— 20 20 10	10	10
	20	10	1 40 07	— 20 20 10	10	20	10	10 10 10	— 20 20 10	10	20
	30	10	1 40 07	— 20 20 10	10	30	10	10 10 10	— 20 20 10	10	30
	40	10	1 40 07	— 20 20 10	10	40	10	10 10 10	— 20 20 10	10	40
	50	10	1 40 07	— 20 20 10	10	50	10	10 10 10	— 20 20 10	10	50
	60	10	1 40 07	— 20 20 10	10	60	10	10 10 10	— 20 20 10	10	60
	70	10	1 40 07	— 20 20 10	10	70	10	10 10 10	— 20 20 10	10	70
	80	10	1 40 07	— 20 20 10	10	80	10	10 10 10	— 20 20 10	10	80
	90	10	1 40 07	— 20 20 10	10	90	10	10 10 10	— 20 20 10	10	90

Strahlendeckungen durch den Mond für Berlin 1906.

Abendung	Zentrum	Größe	Eintritt		Austritt	
			h	m	h	m
Dec. 1	1. Dezember	10	10	11 0	10	11 0

Lage und Größe des Sternenganges.

Dec. 1. Größe Achse der Ringfläche 1200' Höhe Achse 140' nach  
Erhöhungswinkel der Sonne über der Ringebene 7° 34' 1" nach

Dec. 10. Mittlere Scheitel des Erdgips 10° 10' 1000'  
Winkel " " " 10° 10' 1000'  
Halbmessung der Sonne 10' 10 1000'  
Parallax " " " 1000'

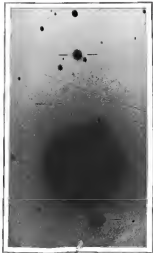
# Stellungen der Jupitermonde im Dezember 1904.



Stellungen der J. M. für den Anfang der verschiedenen Perioden.

Tag	W. III.	Ort
1		0 1 2 3 4
2		0 1 2 3 4
3		0 1 2 3 4
4		0 1 2 3 4
5		0 1 2 3 4
6		0 1 2 3 4
7		0 1 2 3 4
8		0 1 2 3 4
9		0 1 2 3 4
10		0 1 2 3 4
11		0 1 2 3 4
12		0 1 2 3 4
13		0 1 2 3 4
14		0 1 2 3 4
15		0 1 2 3 4
16		0 1 2 3 4
17		0 1 2 3 4
18		0 1 2 3 4
19		0 1 2 3 4
20		0 1 2 3 4
21		0 1 2 3 4
22		0 1 2 3 4
23		0 1 2 3 4
24		0 1 2 3 4
25		0 1 2 3 4
26		0 1 2 3 4
27		0 1 2 3 4
28		0 1 2 3 4
29		0 1 2 3 4
30		0 1 2 3 4
31		0 1 2 3 4





Seite 1111

Tafel 26.

Reproduktion einer photographischen Aufnahme des 10. Saturnmondes vom 20. Jan. 1904.



**SIRIUS.**

Zeitschrift für populäre Astronomie

**Controlling: für alle Freunde und Förderer des Hirschkunds**

100

Walter: **Wissenschaftler, Unternehmensberater, Fachkollegen und selbstständiger Selbstbetrieber**

from *Exot. Des. Mammals* 1. *Exot. Des. Mamm.*

November 1990

«Menschen und Vögelchen sind die Freunde und die  
 Bewohnenden der Menschheit.» T. S. Eliot

[illegible]

Source: 2000 U.S. Census Bureau, *U.S. Census Bureau, 2000 Census of the United States, 100-200*.

1931A(J). Das 50. Vennstung der Astronomischen Gesellschaft in Wien. S. 241. —  
 Die Sternschnuppen der Abhängeperiode der optischen Fernrohre. Von J. v. Harrow.  
 Beobachtung. S. 187. — Eine geistige Epigone in der Astronomie aus 1. Juni 1930  
 S. 240. — Einmalige Vorlesung auf der Sternwarte Wien. S. 242. — Neue Bestimmungen  
 der Helligkeitsverhältnisse von Marsen der 3. und 4. Äquidistanz, ausgeführt auf der  
 Sternwarte von Bonn. S. 243. — Die Helligkeit der veränderlichen Sterne April. S. 244. — Die  
 Sternwarte des Himmels 1931 in der Schweiz. S. 245. — Die neue Bestimmung der absoluten  
 Grenzen der Sternwarte. S. 246. — Vermehrte Beobachtungen. (Himmels Tafel 20) S. 247. — Astronomische  
 Kalender. S. 248. — Helligkeiten der Jupitermonde. S. 249. — Einbeziehung der  
 Sternwarte. S. 250. — Helligkeiten der Sternwarte. S. 251.

### Die 22. Versammlung der Astronomischen Gesellschaft in Wien.

**F**ür den Zeit vom 15. bis 18. September fand die internationale Astronomerversammlung ihre Tagung in der alten Kaiserstadt an der Donau. Die Sitzungen fanden im großen Saal der Kaiserlichen Akademie statt unter Vorsitz des Direktors der Münchner Sternwarte Prof. Dr. v. Seeliger. Nach den üblichen Begrüßungen seitens der Regierung, der städtischen Behörden und der Akademie, berichtete der Präsident Prof. von Seeliger über die wichtigsten Vorgänge auf astronomischem Gebiete seit der letzten Tagung der Gesellschaft. Er hob namentlich das Zusammenwirken der Gesellschaft hervor, das dem Abschluss nahe ist.

Es handelt sich dabei um die Feststellung grosser Positionenabweichungen alter Sterne der Barmser Durchmusterung bei nur 8 Größen, sowie deren Katalogisierung. Eine weitere Aufgabe der Astronomischen Gesellschaft ist die Herstellung eines «Katalogs der veränderlichen Sterne», dessen gegenwärtig eine sehr große Zahl entsteht ist. Das Werk, das in etwa 3 Jahren vollendet sein dürfte, wird über 14000 Sterne beinhalten. Der Vorstande gehalten in seinem Bericht auch der verstorbenen Astronomin Guldemann, Direktorin der Lisebeth Sternwarte, Kraus, Wichmann, Jaenen, S. Oppolzer und Löwy. Wiederholt hat er während der viele Proben

der astronomischen Gesellschaft durch die Wiener Gelehrten unter Führung von Prof. Weiß hervor.

In der zweiten Sitzung legte der Direktor der Wiener Sternwarte Hofrat Prof. Weiß eine Reihe neuer Publikationen derselben vor.

Der Adjunkt am k. k. kaiserlichen Observatorium in Triest Dr. Bilschowsky sprach über diese seit 1904 dem Handelsministerium unterstellte Institut, das unter der Direktion des Prof. Hatzfeld steht. Dem Observatorium ist auch eine von der Wiener Akademie der Wissenschaften gegründete Erdbebenstation erster Ordnung zugegliedert. Das Institut hat den wissenschaftlichen Arbeiten ebenso große Aufmerksamkeit zugewandt wie den meteorologischen und nautischen Untersuchungen im Interesse der österreichischen Handelsmarine. So wurden zahlreiche Chronometer der Seeschiffe untersucht, und es wird ein gestandener Zeitgleichheitsdienst versehen. Die Zeiten für Ebbe und Flut werden kontinuierlich vorausgerechnet und dienen auch der Witterungsdiagnostik für Triest, Ljubljana, Görz und Delmenhorst. Dem Institut gibt ein deutsches und italienisches „Nautisches Jahrbuch“ und das „Nautische Handbuch für die Handelsmarine“ heraus. Dr. Bilschowsky berichtete über die von ihm begonnene Katalogisierung von 36000 Fixsternebeobachtungen.

Dr. Horstmann (Wien) hielt einen Vortrag über die Seichheiten von Komoren deren Wiederaufstehen berechnet wurden ist. Der Direktor der vulkanischen Sternwarte in Rom Padre Dr. Hagen machte Mitteilung über ein von ihm verfaßtes, umfassendes Werk über die vulkanischen Sterne. Prof. Bilkhausen sprach über „Reflexionsrechnungen auf Grund von Temperaturbeobachtungen bei Luftschichtgrenzen. Man hat bei Luftschichtfahrten, die auf der ganzen Erde vorgenommen wurden, die Temperaturabnahme mit der Höhe in der Atmosphäre bestimmt, diese Wärmestromen in dem höheren Regionen hat

Einfluß auf die Strahlendrehung des Lichtes. Prof. Bilkhausen hat Berechnungen und Tafeln darüber geschaffen.

Prof. Weiß (Hinsberg) zeigte mit dem Skulpturen seine neuen Himmelsphotographien.

In der dritten Sitzung wurde als Ort des nächsten Kongresses Breslau gewählt. Es lagen auch Einladungen von Hamburg und aus Amerika vor. Aus den Neuwahlen des Vorstandes gingen hervor: Oelsener Rat Prof. Dr. v. Seifert (München) als Präsident, Hofrat Prof. Weiß (Wien) als dessen Stellvertreter, hiesiger Direktor Sachland (Potsdam), Direktor Charlier (Lund) und Oelsener Rat Müller (Potsdam).

Der wissenschaftliche Teil der Sitzung wurde eingeleitet durch den Vortrag von Prof. Baumgarten (Königsberg) über die Bestimmung des Meridianbogens aus Sternbedeckungen. Prof. Leuschner (Breslau) sprach über eine Methode der Bahnbestimmung, bei der der Einfluß der Anziehung der anderen Planeten, vor allem des Jupiter, mitberücksichtigt wird. Praktische Anwendung findet diese Methode nur bei der Bahnbestimmung kleiner Planeten, die in der Nähe von Jupiter aufgefaßt wurden. Prof. Schwarzschild (Dillingen) sprach über Farbe und Licht der Sterne. Dr. Herr (Wien) über eine neue Methode der Bahnbestimmung. Über die Frage der Errichtung von Bergobservatorien in Österreich vertrat sich Oberlandarzt Dr. Kauteritz (Wien), der für diese Angelegenheit bereits seit mehr als zehn Jahren eintreibt. Er hält den Sonnenwenden für besonders geeignet und schlägt vor, es drei klimatisch so bevorzugten südlichen Gegenden der österreichischen Alpen gleichfalls Beobachtungspunkte zu errichten, die die Beobachtungen auf dem Sonnenwenden ergänzen sollten. Als Punkte für solche Stationen können das Hochplateau von Ober-Isarn und der Gailtaler-Frost bei Admont in Betracht. Auf letzterem Berg hat er vier oder zwei Wochen eine Expedition unternommen. Zur Prüfung der Luftström-

hat Dr. Kowalew dort in einer photographischen Kamera während der Nacht eine Platte exponiert, auf der einige Sterne infolge ihrer schwebenden Bewegung Striche zogen. Die unruhige Luft würde diese Striche gestreift oder uncharf erscheinen, auf der von Kowalew aufgenommenen Platte aber sind diese Sternspuren absolut scharfe Linien.

Dr. Palau hob im Anschluß daran hervor, daß die Vorlesung der Sternwarten wegen des Raumes und der Nachbeleuchtung immer notwendiger werde, und beauftragte zugleich Erhöhung, daß die Luftverhältnisse an der Stern- und Beobachtungsgasse vorzüglich gelagert sind. Er schlug daher eine Restruktion vor, in

der die Astronomische Gesellschaft angeschlossen der stets ungünstiger werden des Lage der in den Städten gelegenen Sternwarten, die große Wichtigkeit der günstigsten gelegenen Observatorien, besonders auf hohen Bergen, betont. Die Restruktion wurde einstimmig angenommen.

Nach Auflesung des Protokolls wurde die Tagung geschlossen mit Dankworten des Vorstands an alle, die zum Gelingen derselben beigetragen.

Der stündliche Bericht über die Verhandlungen der Kongresse wird erst später erscheinen und kann erst dann Spezialreferate über den Inhalt der gehaltenen Vorlesungen im «Stirn» mitgeteilt werden.

## Die Sonnenflecke als Abkühlungsprodukte der eruptiven Protuberanzen.

Von J. E. Hermann Schmidt-Harling

Vortrag gehalten in der astronomischen Sektion der 10. Versammlung deutscher Naturforscher in Witten

 Was sind die Sonnenflecke? Erscheinen sie uns dunkel, weil sie kühler als die strahlende Fläche, oder weil sie umgebenen heißer als die Fläche sind und daher nur unsere Augen umstrahlen, ultraviolette Strahlen ausstrahlen? Was ist die Ursache ihres Entstehens, ihres Vorkommens nur in bestimmten Zonen, und in bestimmten, etwa täglich periodischer Häufigkeit? Was bestimmt endlich ihre eigenartigen Bewegungen?

Das sind Fragen, die noch heute da geläufiger Lösung harrend, ungelöst werden — Es gibt ja nicht Lösungversuche, aber wiederum nur für einzelne der obigen Punkte, und nur allein ist keiner vorhanden, dem nicht wichtige Erwähnung entgegen gesetzt würden.

Der Grund, weshalb ich auf dieses Problem zurückkomme, ist folgender — Meine ganz Sonnenhypothese be-

ruht auf der Annahme, daß — wie Kirchhoff und Zöllner lehrten, die Sonne ein glühender, tropfbar-flüssiger Körper ist, umgeben von einer ausgebreiteten glühenden Gas- und Dampfschicht. Angesichts der Temperaturschätzungen von Millionen von Grad für die strahlenden Teile, und noch mehr für das Innere der Sonne, war aber früher der glühend-flüssigen Aggregatzustand überhaupt undenkbar. Das hat sich geändert. — Heute gehen die Temperaturschätzungen oder Berechnungen, nur noch bis zwischen 5 und 6000°, und außerdem hat Wieners gelehrt, daß auch bei den höchsten, in unserer irdischen Gase erreichbaren Temperaturen, wohl alle irdischen Stoffe «verdampfen», aber noch keineswegs sichtlich in richtigen Sinne «brennen».

Zur Überschrift habe ich gewählt: «Die Sonnenflecke als Abkühlungs-

produkt der kreativen Produktionen, dass nur dieser Teil will ich heute besprechen.

Dass ein Zusammenhang zwischen Sonnenflecken und Protonensturm besteht, wurde besonders von Sodde und Tachibana betont, von anderer Seite wieder bestritten oder bestritten. Es ist auch richtig, daß die meisten Protonenstürme mit den Sonnenflecken in keiner Verbindung stehen und vielmehr nur die Klasse der einfachen Protonenstürme umfassen oder (jetzt) vielmehr auch als metallische Eruptionen bezeichnet, weil sie mehr oder weniger metallische Linien in ihrem Spektrum zeigen — als direkte Ursache der Sonnenflecke in Betracht kommt. — Sodde und Tachibana haben den mehrfach ausgesprochenen, und deren stand dafür eine langjährige Erfahrung als regelmäßigen Beobachter der Sonne zur Seite

Jeder Beobachter weiß, daß das Aussehen der Fläche am besten durch die Zelltheorie erklärt werden kann, wenn man sie trotzdem heute vergessen zu haben scheint, so liegt das in der zweifellosen Überlegenheit ihrer Begründung. Einmal veränderte Ausrichtung in dem Zonen größerer Klarheit der Atmosphären genügt zur Erklärung der Fläche nicht.

Im Jahre 1873 baute sich eine Kältemaschinenmaschine, Patent Windhausen, konnte gefahren, die absolute was die Ländliche Maschine war mittels der schwebend Luft komprimiert, diese so erhitze Luft kühle, und selbst abends mit einer — 50° C wieder ausströmen ließ. — Das brachte mich 1883 auf die Idee, auf den Gedanken, ob nicht in der umstehenden Probenmaschine mittels der Expansion die Temperatur sehr niedrig und die Fläche eben durch diese Abkühlung veranlaßt von Wasser. Es kam hierzu, daß in Verbindung mit dieser Idee mir eine Möglichkeit rief, die Polarküste und die topographische Verlebung der Fläche zu erklären. — Man wird mir einwerfen, wenn auch die Gase der um-

ihren Probenwerte sich stabilisierten, so bleiben sie doch immer noch sehr hoch, wie man aus der besonderen Helligkeit gerade dieser Klasse ableiten muß. Darauf erwidert ich, was wir von den Probenwerten beobachten, ist auch nicht die ausströmende Gasmasse an sich, sondern lediglich ihre komprimierende Wirkung auf die ruhenden Schichten der Sonnenatmosphäre, in welche die ausströmende Masse mit großer, oft ausströmender Geschwindigkeit eindringt.

Es ist überausbedeutend, daß diese komprimierende Wirkung unbeschadet geblieben ist, während doch die mit 30 bis 50 km Geschwindigkeit in die Erdatmosphäre eindringenden Meteoriten bereits so heftige Erscheinungen hervorgerufen

Meine Erklärung war, zugleich verständlich: 1. daß das Spektrum der Freisohnnen im wesentlichen mit dem Spektrum der Atmosphäre übereinstimmt, 2. daß gerade die hellsten Strahlungserscheinungen nicht nur sehr schnell entstehen und abklingen, sondern fast noch schneller wieder spurlos verschwinden, die Kompression in der freien Atmosphäre weil sehr selbst wieder ausgelassen, wenn der Akt des Ausstrahlens und damit die Ursache vorüber ist.

Zielerreichte vorantreibt die Sommertemperatur aus der dynamischen Abkühlung der ausströmenden Prandtlströmung zu berechnen. — Er setzt dabei die Endtemperatur des ausströmenden Gases  $= 6^{\circ}\text{C}$  oder  $273^{\circ}$  ein, weil zwar seiner Messung nach eigentlich zu niedrig, da die Prandtlströmung ja noch besteht; so kann er zu den hohen Ziffern von Millionen von Grad. Hätte er umgekehrt die Frage gestellt was wird die Endtemperatur wenn man von einer niedrigeren Anfangstemperatur ausgeht, und hätte er die Wirkung des ausströmenden Gasstrahles auf die ruhende Atmosphäre untersucht, so würde er die von mir verrichtete Lösung des Sommerproblems schon haben.

Für Gase, welche dem Wasserstoff und Sauerstoff ähnlich, berechnet sich die Temperaturänderung infolge Druckänderung, bei gleichbleibendem Wasserdampf nach einer Gleichung, aus der sich ergibt, daß für jede Verdoppelung der Spannung die absolute Temperatur sich nahezu verdoppelt und umgekehrt bei Abnahme der Spannung die Temperatur entsprechend sinkt.

Wenn also in einer bestimmten Region der äußeren Sonnenatmosphäre eine Temperatur von  $238^{\circ}\text{C}$  ( $= 512^{\circ}\text{F}$ ) stattgefunden hätte und hier die Spannung plötzlich durch eine einwirkende Protoplasma verdreifacht würde, so müßte die Temperatur darauf auf  $717^{\circ}\text{C}$  ( $1323^{\circ}\text{F}$ ) absolut steigen, und auf  $1651^{\circ}\text{C}$  ( $2994^{\circ}\text{F}$ ) absolut, wenn die Spannung auf das hundertfache des normalen Wertes stiege. — Eine solche Erhöhung des Gases, als Folge plötzlicher Kompression, muß ein lebhaftes Aufschäumen desselben bedingen, und daraus folgt, daß wir an dem Orte nur genügend starken Gasexplosionen — die an sich für uns unvorstellbar sein können — die an der Kompression komprimierten Schichten der Atmosphäre lebhaft aufblähen sehen.

Die Temperatur der ausströmenden Gasmasse selbst dürfte wohl infolge der Expansion, welche sie erfährt. — Wie weit das geht kommt auf die Anfangsspannung im Innern der Sonne

und die Endspannung in der Höhe der Sonnenatmosphäre an.

Oben den Widerstand der Atmosphäre zu berücksichtigen, berechnet Zöllner die erforderliche Spannung des Gases im Innern der Sonne für eruptive Protoplasmen, welche eine Höhe von nur 1.5 Bogensekunden oder ca. 6300 km erreichen, zu 56 Millionen Atmosphären. — Für höhere Protoplasmen wird der Druck größer, und wolten wir daher eine Anfangsspannung des Gases im Sonneninnern von 100 Millionen Atmosphären annehmen. — Bei einer Dichte von 1.1 für die äußeren Schichten der Sonne (1.4 ist die mittlere Sonnendichte), würde solcher Druck in rund 30000 km Tiefe herrschen. — Über die Spannung = Tension — in großen Höhen der Sonnenatmosphäre wissen wir nichts Bestimmtes, wir werden daher verschiedene Werte annehmen.

Für die Anfangstemperatur im Innern der Sonne setzen wir  $7000^{\circ}\text{F}$ ; das dürfte rechtlich noch bemessen sein, denn wir brauchen keinen höheren Wert dafür zu setzen als für die Temperatur an der Oberfläche des flüssigen Sonnenballs in ruhenden Breiten. Auf Grund dieser Annahme ergibt sich die nachstehende Tabelle. Dieselbe zeigt, daß die Abkühlung bis nahe an den absoluten Nullpunkt geht, sofern die ausströmenden Gasmassen bei in genügender Höhen emporgedrückt werden.

Anfangsspannung 100 000 000 Atm.

Endspannung:

10 000 000 Atm	
1 000 000 „	
100 000 „	
10 000 „	
1 000 „	
100 „	
10 „	
1 „	
0.1 „	
0.01 „	
0.001 „	

Anfangstemperatur  $7000^{\circ}\text{F}$  absolut.

Endtemperatur:

$1500^{\circ}\text{F}$ absolut	
1000 „	
750 „	
500 „	
250 „	
120 „	
60 „	
30 „	
15 „	
5 „	
1 „	

Wasserdampf steigt unter Atmosphärendruck	Ob	— $252^{\circ}\text{C}$	oder $21^{\circ}\text{F}$	absolut
„ „ „ „ „ „ „ „	„	— $227\text{—}230^{\circ}\text{C}$	„	$50\text{—}14^{\circ}\text{F}$
Helium steigt unter Atmosphärendruck	„	— $268\text{—}269^{\circ}\text{C}$	„	$9\text{—}4^{\circ}\text{F}$

Ich habe früher die Ansicht entwickelt, daß die Koronarosphäre hauptsächlich aus Koronium — dem 1434 Gas — besteht, und Wasserstoff, so wie Helium nur einen geringen Bruchteil derselben bilden, nämlich, daß das ausströmende Gas, welches die Protuberanzsphäre ausmacht, genau so, eben das Koronium so in Übereinstimmung mit der allgemeinen Annahme habe als das Koronium für ein Gas von geringerer Dichte als die Wasserstoffgas. Trotzdem braucht es nicht schwer kondensierbar zu sein, wie wir bemerken, wenn wir z. B. Wasserstoff und Helium in dieser Beziehung vergleichen. — Wir dürfen daher annehmen, daß das ausströmende Koronium in gasförmigen Fäden bis zu seiner Kondensation, ja selbst Entzündung abgeführt wird. Das auf alle Fälle sehr kalte Koroniumgas, bevor die Koronaregner oder Scherfall senkt auf die Höhe, weißglühende Sonnenoberfläche herab und bedingt hier eine Abkühlung, welche — wenn stark genug — zur Bildung der dunklen Sonnenflecke führt.

Wir wenden diese Flecken in der Regel nicht als eine typische zusammenhängende rechte Scheibe zu denken haben, sondern vielmehr als einen Komplex zahlloser oder vieler, von verschiedener Größe und verschiedener Mächtigkeit (Dicke) aus verschiedenen Punkten, umschlossen mit Stoffen so dergestalt die weißglühende Oberfläche bedecken Fleck, bevor bald wieder durchbricht.

Über den relativ kalten Schollenkomplex entwickelt sich eine Zirkulation der Atmosphäre, analog den „Landwinden“ an unsern tropischen Küsten; es gibt in der Höhe vom Rand nach dem Zentrum eine absteigende Komponente. — Hierdurch werden die im allgemeinen unregelmäßigen, nur einem Begriff gewordenen photosphärischen Wolken bis weit über die Schollenmasse getragen, drängen sich zusammen, und weil sie in höherer Ni-

veau von größerer Spannung und also höherer Temperatur gelangen, so nimmt ihre Heftigkeit noch zu, trotzdem sie sehr von einer mächtigeren Schicht absorbierender Gase und Dämpfe überdeckt sind als am äußeren Rande. In der Tiefe dagegen geht die Strömung von innen nach außen und erstreckt sich selbst noch bis über die umgebenden glühenden Massen. Hier entstehen auch die aus den Schollen hervorkommenden kalten Gase und Dämpfe bald dergestalt, daß sie aufsteigen und, die photosphärischen Wolken durchbrechend, nach der oberen Atmosphäre zurückkehren. — Hierbei passieren sie das bereits erwähnte Strömung, werden mitgerissen und rufen so auch über dem Fleckenkomplex Lichter in den photosphärischen Wolkenlagen hervor; es sind das die dunklen Löcher nahe dem äußeren Rande der Protuberanzen.

Über den Flecken haben wir nach der gleichen Atmosphäre so hin weit über der Umgebung, nur daß die Gase und Dämpfe hier bis in höhere Höhen, also bis in Regionen höherer Spannung und Temperatur zu verfliegen sind. Das Spektrum der Flecke muß demgemäß im wesentlichen mit dem allgemeinen Sonnenspektrum übereinstimmen, kann aber auch, wegen der niedrigen Spannung Verfeinerungen, wegen der höheren Temperatur und dem dunklen Hintergrundumhüllungen der Linien zeigen. Die in der Mitte perfokal abwärts gerichtete Bewegung, die mit großer Geschwindigkeit erfolgen muß, bedingt Verschiebung beim Verfeinerung der Linien nach dem roten Ende des Spektrums. Gleichzeitig können aber auch hier neue Protuberanzerscheinungen der Aufwärtsbewegung der Gase, somit eine Verschiebung der Linien nach dem violetten Ende des Spektrums verursachen. Die daraus sich ergebende Verdopplung der Linien bzw. Verschiebung gleichzeitig nach beiden Enden des Spektrums hat Lockyer bereits vor mehr als 20 Jahren konstatiert und beschrieben in „Nature“

(Nr. 2825 vom 20. August 1909) wird die neueste Hypothese von Prof. Hale besprochen, wonach ein Sonnenfleck ein umgebenes magnetisches Kraftfeld (magnetic vortex) wäre und die Verdopplung der Linien nichts anderes als der entsprechende «Zeemann-Effekt». Es soll nicht übersehen werden, daß diese Erklärung unter gewissen Umständen richtig sein kann. Aber die von mir gegebene Erklärung genügt ebenfalls und beweist dem Vater, daß nur die Erscheinung der Verdopplung nicht beständig fordert. Da Prof. Hale Erklärung muß man aber fragen, warum zeigt sich die Verdopplung nicht bei allen Flecken und jederzeit?

Später bekämpfte die Wissenschaft Hypothese, wonach die Flecke Verwirbelungen seien, indem er erklärte, die Erscheinung der Flecke wäre am Rande entpuppt als nicht ganz Hypothese, gleichzeitig betonte er auch den Einfluß der Sonnenstrahlen auf die schwebenden Partikeln der Flecke. Die Refraktion, also die Ablenkung der Strahlen vom geraden Wege, kann in der Nähe der Flecke nicht so einfach und regelmäßig verlaufen wie etwa in der Erdatmosphäre. Wir haben hier nicht nur ein Temperaturgefälle von Tausenden von Grad, sondern auch mit großen Unterschieden in der chemischen Zusammensetzung beobachteter Partien zu rechnen. Der hierdurch bedingte unregelmäßige Gang der Strahlen muß nicht nur die Partikeln der Flecke unregelmäßig erscheinen lassen, sondern auch ihre Formen und Details, so gewissermaßen verzerren, und damit erklären sich die Abweichungen von der Wissenschafts Regel.

Selbst auf das Aussehen einer gleichmäßig hellen Fläche muß eine unregelmäßige Brechung des von ihr ausgehenden Lichtes die Wirkung haben, daß wir nicht mehr eine gleichmäßig, sondern nur ungleichmäßig helle Fläche zu erblicken glauben. Wir kommen damit zu einer Erklärung der Sonnenfackeln, welche besser als die übliche

alles Beobachtungen genügt. Die Fackeln sind im allgemeinen nur optische Erscheinungen, bedingt dadurch, daß die unregelmäßige Lichtbrechung in der Sonnenatmosphäre einzelne Partien der Photosphäre heller, die benachbarten dagegen dunkler erscheinen läßt.

Wenn man die partiellen Sonnenstrahlen durch eine Schicht gasförmigen Fensterglases gehen läßt und sie auf einem 10 bis 20 cm entfernten Schirm auffängt, so zeigen sich bei so einem Einfallswinkel von  $45^\circ$  nur geringe Spuren einer Lichtablenkung. Wird der Einfallswinkel größer, so treten Schlierungen von hell und dunkel auf, welche durchaus den Fackeln ähneln, wie selbst auf Sonnenphotographien erscheinen. Bei einem Winkel über  $50^\circ$  nimmt die Erscheinung ab und verschwindet gänzlich bei  $55^\circ$  bis  $60^\circ$ , um einer allgemeinen Lichtablenkung Platz zu machen, es tritt totale Reflexion ein. Eine genaue Überlegung zeigt, daß für diese erklärten Beobachte, die nur gleichmäßig helle Kugelflächen durch ein mit so demselben behaftetes, ungleichmäßig Medium betrachtet, die Erscheinungen ähnlich, und also geradezu verlaufen wie in der Erscheinung der Sonnenfackeln auf der Sonnenoberfläche dastehen.

Die übliche Deutung der Fackeln als besonders heftiger Gehirne, oder als Erscheinungen der Photosphäre über das normale Niveau mag zwar zum Teil richtig sein, ist es aber jedenfalls im allgemeinen, denn sie genügt nicht um zu erklären, warum die Fackeln in der äußeren Randzone unendlich werden oder ganz verschwinden, wenn es wirkliche Erscheinungen, so müßten wir sie nicht am äußeren Rand, sondern regelmäßig bis an den äußeren Rand verfolgen können.

Sehr lehrreich ist dieser Vergleich mit dem von Secchi zu diesem Worte: «Die Sonne» gegebene Bild und Beschreibung des Übergangs eines Fleckens zum Fackel am westlichen Sonnenrande.

Den Zeichnungen des Sonnenrandes am 9<sup>h</sup> 0<sup>m</sup>, 10<sup>h</sup> 12<sup>m</sup> und 10<sup>h</sup> 32<sup>m</sup> am 6. August 1859 zeigen denselben stark erweitert verlaufen mit wellenförmiger Begrenzung, die aber in allen drei Stadien verschieden ist und ein fliehesches Wogen der Konturen ergibt. In der Zeichnung von 9<sup>h</sup> 0<sup>m</sup> sieht es auswärts von dem Kern beschränkt aus eine mächtige Fackel, und gerade hier war auf diesem Bilde der Einbruch, d. i. die Verstellung einer des normalen Nivras am stärksten! Der Fackel läßt hier hell in die abstrahierende Atmosphäre umgeben liegen müssen, was der erwähnten bemerkt, das Erklärung gerade widerspricht. Nach meiner Hypothese erklärt sich das Wollen der Konturen, aus dem sich raschen Wechsel der äusseren Lichtbrechung, welche die Ursache des wellenförmigen Aussehens der Randlinie sowie jener Fackel war.

Diese Erklärungsversuche hat gewisse Berührungspunkte mit der bekannten Schmutzigen Sonnenhypothese und der jenseitigen Depressionshypothese. Ich mache jedoch darauf aufmerksam, daß ich meine Erklärung viel früher publiziert habe und daß die alten drei Hypothesen zugrunde liegende Ideen allerdings genügt unmittelbar an der Photosphäre beobachtete Erscheinungen — der Fackeln — zu erklären, aber niemals aus Schmutz und jenseitigen, für die sich weit davon erweisenden Probestimmungsphänomene.

Gegen die von mir vertretene Zöllnerische Schattensphäretheorie wird eingewandt, daß die Flecken viel zu veränderlich seien als daß man ihnen einen festen, starren Kern zuschreiben könne, die große Veränderlichkeit spreche vielmehr für einen gas- und dampfförmigen Natur.

Man übersieht, daß auch eine feste Schale, wenn sie erfolgt einer nicht sehr ergebigen Erupcion nur von relativ geringer Dicke ist, auf dem glühendflüssigen Sonnenmassen schnell wieder schmelzen und verflüchtigen

muß, und, wenn das nicht überflüssig gleichwohl zur Auflösung führt, die scheinbare Gewalt rapide Änderungen, das Gebilde selbst erweitert Torsionen, nach schmerzhaften Dehnungen erloschen kann. Die Veränderlichkeit wird auch durch meine Hypothese vollständig erklärt.

Audemals zeigen die Flecke zu nicht selten große Beständigkeit ihrer Formen und Details, das danken nicht zu der Deutung als von glühenden Gebilde paßt ich verweise Herrn Prof. Wolfen, Zürich, aus dem von Detailschneidern des großen Sonnenflecks vom September 1858, die hell lückellose vom 3. bis zum 14. September nicht. Selbstverständlich kann man auch diese Beständigkeit verstehen — wie es meist geschieht — nur zu sagen, daß sich ein Sonnenfleck von Tag zu Tag ändert, gleichzeitig aber sagt sie, daß merkwürdigerweise solche Einzelheiten sich noch nach 2, selbst 3 Tagen erkennen lassen, und zwar gerade nach in der nächsten Zone. Von der so oft genannten Wirbelbewegung aber sagt sich keine Spur.

Wenn die Sonnenflecke große Wirbel oder Zylinder wären, so müßten sie doch wohl mehr und weniger stark des erkennen lassen und nicht nur in solchen Aussehenformen derartige zeigen. Diese Ausnahmen, wo ein Fleck scheinbar eine Drehung erfährt, oder wo die Peripherieausstrahlung eine wirbelartige Struktur erkennen lassen, sind auch nach meiner Hypothese zu erklären.

Frägt man schließlich nach der eigentlichen Ursache der Probestimmungs speziell der erupcion, und warum diese gerade an der bekannten Fleckzoneen geschehen sind, so bemerke ich noch auf das bereits vor über zwanzig Jahren von mir Publicirte. — Ich habe in wesentlichen nichts daran zu ändern, wenig bemerkt, daß ich durch das Studium der Arbeiten Herrn Molesmatt auf folgende Tatsachen aufmerksam wurde



Als Reissner die Verdampfung des Wassers untersuchte, fand er, daß das geschmolzene Eisen in sehr hohem Grade Gas absorbiert. Bei weiteren Erhitzen wurde das Gas wieder ausgetrieben, wobei ein körniges Aufschäumen eintrat, und bei dem nächsten An Erhitzen des geschmolzenen Eisens in Gestalt kleiner Tropfen aus dem Schmelzgefäße herausgeschleudert wurde. Erst bei noch weiter fortgesetztem Erhitzen traten schließlich ein ruhiges Sieden und Verdampfen ein. Dennoch wäre es möglich, daß, sobald oder schon vor dem mit ungeduldig angetriebenem chemischen Bindung des Gases es sich um eine schwierige Absorption desselben durch die flüssige Eisenschmelze handelt.

In einem ruhenden, sich abkühlenden Körper — wie der Sonne — muß eine Zirkulation entstehen, die an der Oberfläche von einem Breiten nach dem Polus strömt und im Innern der Sonne den umgekehrten Weg nnt. In anderen Worten: quellen die Massen mit der hohen Temperatur des Innern

auf, im verfließen derselbe mehr und mehr, wie die Strömung polwärts zieht, tritt überall sich bildender kleinerer und kleinerer Konvektionsströmungen. Die Temperatur muß mit wachsender Breite abnehmen, d. h. an der flüssigen Oberfläche, während das bei der Photosphäre nicht nötig und daher für die Beobachtung von der Erde aus wenig nützlich ist.

Die in höherem Breiten niedriger spezifizierten Massen nehmen also das Gas chemisch oder durch Absorption gebunden in sich auf, um es im Innern, bei Wiedereintrichtung auf die normale Sonnenkomposition, wieder auszuschleichen. Dadurch wird die Anheftung neuer freier Massen im Innern der Sonne ermöglicht, die dann bei ihrem Ausströmen in der geschickten Weise der Protonenstrahlung strömen.

Die konstante Zirkulation erklärt das Auftreten der Flecke nur in den Zonen des Aufstroms derselben, die Penetration und die gesamtartigen Bewegungen in Breite.

## Eine gestörte Region in der Sonnenkorona am 8 Januar 1908

 Prof. Campbell macht kürzlich einige sehr interessante Mitteilungen.<sup>1)</sup>

In seiner Abhandlung über die Korona des April 1903 wurde Prof. Schaeberle auf Grund der Photographien, welche die Sonnenminuten-Expedition der Lick-Sternwarte nach Chile aufgenommen hatte, zu dem Ergebnisse gelangt, daß die weiteren Endpunkte der Koronastrahlen in ihrer Position zusammenfallen mit Regionen der Sonnenatmosphäre, die sich in großer Erregung befinden. Indem er die Strahlen gegen die Sonnenoberfläche verlängert ansah, konnte Prof. Schaeberle sechs Ursprungsstellen derselben

nachweisen. Beim Vergleich dieser lediglich aus den Korona-Aufnahmen erhaltenen Resultate mit den photographischen Aufnahmen der Sonnenscheibe, welche Prof. Hale in Chicago aufgenommen genommen hatte, ermittelte Prof. Schaeberle, daß die von ihm gefundenen Punkte zusammenfallen mit gestörten Regionen auf der Sonne, welche die Aufnahmen in Chicago derselben. Aus dem Studium der neuesten und frühesten Photographien der Korona schloß Prof. Schaeberle ferner, daß die Koronastrahlen in der Hauptsache bezüglich ihres Ursprungs auf die Fleckenzone der Sonne beschränkt sind.

Dr. Penz beschreibt in seinem Bericht über die Crocker-Expedition

<sup>1)</sup> Lick-Observatory Bulletin No. 126.  
Sept. 1906. Heft 21.

nach Seneca zur Beobachtung der Sonnenstrahlen von 1911, eine auf den Photographien der Korona erkennbar begrenzte stark gestaute Region derselben. Eine Anzahl Strahlen ging offenbar aus von einem gemeinsamen Punkte auf der Sonne, welche von der Menschheit verdeckt war, und schien gewissermaßen auf eine Explosion, die in diesem Punkte stattgefunden hatte, hinzuweisen. Eine genau Prüfung und Vergleichen mit Photographien der verschiedenen Sonnen, die zu Uchiyama in Japan am Tage der Finsternis aufgenommen waren, ergab für den Ausgangspunkt der Strahlung entsprechend dem Ort des großen und damals einzigen Flecks, der sich auf der Sonnenscheibe zeigte. Es konnte kein Zweifel darüber stehen, daß die Strahlung in der Korona sehr innig mit diesem Fleck in Verbindung stand.

Die großen Photographien der Korona, welche am 30 August 1905 von der Cosaker-Expedition in Spanien und Ägypten erhalten worden sind, zeigen ebenfalls eine ausgedehnte Region im südlichen Quadranten der Sonnenscheibe, die aus hervorragenden Strahlen besteht, welche von einem gemeinsamen Punkte ausgehen. Dieser Punkt, genau den im die Spitze des Strahlenbüschels der Korona gebildet ist, lag an einer Stelle eben innerhalb des Sonnenrandes. Er lag nahe einem hervorragenden Fleck, der die Sonnenphotographien der Lick-Sternwarte, die am Tage der Finsternis erhalten wurden, zeigen, doch ist er nicht völlig mit dem Ort dieses Flecks zusammen. Eine kegelförmige Strahlungsemission in der Korona ist auch in den

Photographien der Sonnenfinsternis vom 3. Januar 1908, welche auf der Finsternis erhalten wurden, zu erkennen. Sie erstreckt am Sonnenrande  $15^{\circ}$  südlich vom Nordpol der Scheibe, und die schärfste Entfernung der Spitze des Strahlenbüschels vom Mittelpunkt der Sonnenscheibe war näherungsweise  $13.7'$ . Da der Photograph der Lick-Sternwarte aus technischen Gründen auslandsgerechtem war, können dieselben Sonnenphotographien am jenen Tage aufgenommen werden. Dagegen sind am Sonnenobservatorium auf Mount Wilson am 3., 4. und 5. Januar 1908 Sonnenaufnahmen erhalten worden. Sie zeigen eine ausgedehnte Strahlung in der Sonnenatmosphäre, nahe dem südlichen Rande der Sonne in etwa  $10^{\circ}$  nördlicher Breite. In dieser Region erschienen 5 oder mehr Flecke wenig voneinander entfernt. Aus der Lage des Sonnenpolaris, die von Prof. Hale auf den Photographien berechnet ist, wurde von Prof. Campbell und S. Albrecht die Stellung der Hauptfäden für die Zeit der letzten Verfinsternis abgeleitet. Es ergaben sich daher Werte für die Position am Sonnenrande zwischen  $7.1^{\circ}$  und  $22.6^{\circ}$  südlich vom Nordpol der Sonnenscheibe und  $13.2'$  bis  $14.8'$  Abstand vom Mittelpunkt der Sonnenscheibe. Hiernach ist es kaum noch einem Zweifel unterworfen, daß die Strahlung der Sonnenatmosphäre, welche die Flecke zeigt, sehr innig verknüpft ist mit dem Phänomen des kegelförmigen Strahlenbüschels in der Korona. Fraglich bleibt nur, ob diese Erscheinungen sich gegenseitig bedingen oder von einer allgemeinen Ursache hervorgerufen werden.

### Zeitweise Veränderung auf der Mondoberfläche.

**D**r. Ardenhold, Direktor der Sternwarte in Tympson, hat auf dem Monde eine seltene Veränderung konstatiert, die nicht zu bezweifeln ist.

Es handelt sich um den kleinen Krater  $\epsilon$  nördlich von Posidonius A im Innern des Ringgebirges. Dieser Krater besitzt auch nicht bei Mäler, wohl

der bei Schmidt und Krüger. Auf den Mondphotographien darf man zu diesem Objekt nicht soviel wissen. Neumond hat den Krater auf Tafel III seiner Mondkarte, aber er ist dort zu sehr nach Süden verlegt. Die Anwesenheit scheint nun darüber:

Am 9. Mai 1905 abends 8<sup>h</sup> (3 Tage 4 Std. 18 Min. nach Neumond) beobachtete ich, das Objekt c, welches bei Krüger einen deutlichen Schatten zeigt 1897 Oktober 1 abends 7<sup>h</sup>, also 5 Tage 4 Std. 20 Min. nach Neumond. In der Nähe von Krater c fand ich einen etwa doppelt so großen weißlichen Fleck.

Am 11. Mai abends 8<sup>h</sup> (also 2 Tage später) sah ich den Krater c ganz deutlich und zwar mit sehr schwachem Schatten.

Die helle weiße Fläche am 9. Mai hat etwa die Größe des Zentralkraters A im Pseudomon. Schmidt hat 1791 November 11 das Becken des Zentralkraters A auch bloß als eine ganz

Fläche ohne Schatten gesehen, jedoch am folgenden Abend, den 12. November, wieder als tiefen Krater mit Schatten.

Griffiths hat am 7. April 1821 auch den Krater A ohne Schatten gesehen, trotzdem die kleinen Hügel auf dem Boden von Pseudomon deutlich Schatten werfen. Am folgenden Abend war der Schatten wieder scharf zu sehen.

An der Tatsache, daß der Krater Pseudomon c zu einer Zeit, wo er Schatten zeigen mußte, keinen solchen hat, später aber, als die Schatten ziemlich kleiner waren, solchen deutlich zeigt, ist nach dem Obigen nicht zu zweifeln. Merkwürdig ist, daß der Hauptkrater Pseudomon A gelegentlich die nämliche Erscheinung gezeigt hat. Man kann die Erscheinungen nur dadurch erklären, daß man annimmt, es gewesen Zellen von dem Innern dieser Krater von einer gewissen Mächtigkeitsgröße gefüllt worden und zwar nur auf kurze Zeit.

Prof. Klein

## Neue Bestimmungen der Radialgeschwindigkeiten von Sternen der 2. und 3. Spektralklasse, ausgeführt auf der Sternwarte zu Bonn.

**I**n den Jahren 1903 bis 1905 hat Prof. F. Künze mit Beihilfe von Dr. W. Zurbellen Spektrogramme von fast allen Sternen 1. bis 4. oder 5. photographischer Größe, die der 2. und 3. Spektralklasse angehören und in Bonn überhaupt gut beobachtet werden können, aufgenommen. Als Instrumente diente dabei der Stereokopische Refraktor der Sternwarte von 30 cm Öffnung und 5,1 m Brennweite. Prof. Künze veröffentlichte zunächst die photometrischen Ergebnisse, welche die Ausmessung und Berechnung bezüglich der Radialgeschwindigkeiten dieser Sterne lieferten<sup>1)</sup>. Sie um-

fassen 99 Sterne. Das Spektrum, welches der benutzte Tüplerische Spektrograph liefert, ist scharf definiert und erstreckt sich von der Wellenlänge 2 4150 bis 2 4500. Zum Vergleich diente das Bezugsspektrum des elektrischen Bogenes. In seiner Mitteilung gibt Prof. Künze eine Zusammenstellung aller einzelnen Bestimmungen für jeden der beobachteten Sterne. Wir begnügen uns nachstehend die Mittelwerte für jeden Stern zusammenzustellen. Der häufigste Spektraltypus derselben ist derjenige, welcher der Einteilung von Miss Mayr entspricht, und die angegebene Größe ist stets die photographische, die bekanntlich von der optischen mehr oder weniger abweicht. Bei den Radialgeschwindigkeiten bezeichnet + ein

<sup>1)</sup> Astrophysical Journal, 1906, June, p. 301.

Endform, — eine Annäherung des Sterns in Kilometern pro Sekunde.

Unter diesen 59 Sternen befinden sich 15, von denen bereits bekannt war, daß sie eine veränderliche Radialbewegung besitzen, also wahre Doppelsterne sind, aufgeführt werden von Prof. Klinker auf Grund seiner Messungen der Sterne  $\delta$  Teles,  $\gamma$  Bootes und  $\mu$  Vierge als sehr wahrscheinlich zu derselben Klasse gehörig bezeichnet. Bei dem entsprechenden Stern schwanken die absoluten Werte für die Radialbewegung um 506 km, bei dem zweiten um 637, bei dem dritten um 541 km. Von den übrigen Sternen zeigen folgende die besorgfältigsten größten Schwankungen ihrer Radialgeschwindigkeiten:

$\delta$ Andromedae . . . . .	166 km
$\alpha$ Ceti . . . . .	430 „
$\alpha$ Ursae majoris . . . . .	132 „
$\alpha$ Virginis . . . . .	377 „
$\delta$ Boötis . . . . .	376 „
$\gamma$ Cygni . . . . .	136 „

Es ist wahrscheinlich, daß auch bei diesen Sternen die beobachteten Veränderungen der Radialgeschwindigkeit reell sind und die Sterne also ebenfalls spektroskopische Doppelsysteme sind. Nach dem Vorschlage von Dr. Zanussi wurde mit dem Spektrographen die schmale Spalte eines Mondhorns, die namentlich leuchtend von der Mondnacht nahe der Lichthorizonte empfangt, benutzt. Diese Aufnahmen geschahen zu 4 Abenden im Januar und Februar dieses Jahres. Aus der Vergleichung der beobachteten mit der berechneten Radialgeschwindigkeit dieser Objekte ergab sich, daß die im nachstehenden Verzeichnisse aufgeführten Radialgeschwindigkeiten um — 13 km zu korrigieren sind, um von den kleinen Instrumental-, Aufstellungs- und Messungsfehlern, sowie den kleinen Fehlern in der Auswahl der Wellenlängen frei zu sein.

Name des Sterns	Größe	Spektraltypus	Wert der Radialgeschwindigkeit
$\delta$ Andromedae . . . . .	4.79	15	— 350 km
$\alpha$ Cassiopejae . . . . .	3.66	15	— 3.45
$\alpha$ Ceti . . . . .	3.66	15	+ 14.64
$\gamma$ Cassiopejae . . . . .	4.70	15	+ 9.85
$\delta$ Andromedae . . . . .	4.87	17	+ 1.49
$\alpha$ Ursae minoris . . . . .	—	13	veränd. Radialgesch.
$\gamma$ Pleiadum . . . . .	5.02	16	+ 14.77
$\alpha$ Persei . . . . .	5.19	15	+ 18.18
$\gamma$ Andromedae (helle Komponente) . . . . .	4.06	15	— 19.45
$\alpha$ Androm . . . . .	4.13	15	— 12.87
$\beta$ Ceti . . . . .	5.09	14 (?)	veränd. Radialgesch.
$\alpha$ Ceti (helle Linie) . . . . .	veränderlich	20	+ 66.34
„ (helle Linie) . . . . .	„	„	+ 50.55 (+ lang+ Exponierung), 50.6 (+ kurze Expon.)
$\alpha$ Ceti . . . . .	4.60	17	— 22.61
$\gamma$ Persei . . . . .	4.60	14	+ 1.57
$\alpha$ Persei . . . . .	5.12	15	+ 30.60
$\alpha$ Persei . . . . .	—	12 u. 6	— 2.24
$\gamma$ Teles . . . . .	5.11	15-16	veränd. Radialgesch.
$\gamma$ Teles . . . . .	4.85	14 (?)	+ 39.62
$\delta$ Teles . . . . .	5.2	15	veränd. Radialgeschwindigkeit (?)

Name des Sterns	Größe	Spektral- typus	Recht. der Bekindgeschwindigkeit
α Boot	4.03	B (5)	+ 39.01
α Tau	3.94	B	+ 16.87
α <sup>2</sup> Orion	4.25	B 2	+ 26.31
α Aurigae	4.87	B	+ 19.34
α Aurigae	5.17	B (5)	+ 15.87
α Orionis	—	B	+ 26.57
γ Aurigae	4.11	B	+ 19.93
α Centaure	4.05	B	+ 37.38
α Centaure	4.06	B	+ 9.35
α Cassiopeidis	—	B 2	— 3.62
α Centaure	4.03	B	+ 31.38
γ Centaure	—	B	+ 4.79
β Cassio	5.05	B	+ 25.39
α Ursa majoris	4.08	B	+ 20.81
α Cassio	4.05	B	+ 19.08
ε Hydor	4.43	B	+ 26.16
δ Lyrae	4.98	B	+ 29.35
α Hydor	4.15	B	— 2.51
α Ursa majoris	4.24	B 2	+ 15.81
α Loris	4.34	B 2	+ 5.98
γ Loris majoris	3.72	B	— 26.27
α Ursa majoris	4.09	B	vermind. Bekindgesch.
δ Loris minoris	4.05	B	+ 17.99
α Ursa majoris	4.30	B	— 7.26
α " "	4.90	B	— 2.39
α " "	5.15	B (5)	— 7.47
γ " "	4.92	B	— 7.36
β Vergae	4.40	B 2	+ 4.09
α " "	5.01	B	— 28.12
γ " "	4.31	B	— 12.54
η Bootis	3.79	B	vermind. Bekindgesch.
α " "	—	B	— 3.89
β " "	4.98	B	— 11.74
α " "	—	B	vermind. Bekindgeschwindigkeit (5)
β Ursa minoris	4.05	B	+ 14.24
β Bootis	4.36	B	— 19.34
δ " "	4.72	B	— 11.72
α Draconis	5.05	B	— 9.88
α Serpente	4.22	B	+ 4.70
γ Serpente	4.54	B 2	+ 7.18
β Ophiuchi	4.53	B	— 17.08
α Draconis	—	B (5)	— 12.64
β Herculis	4.17	B	vermind. Bekindgesch.
δ " "	3.95	B	"
α " "	4.05	B	+ 10.58
α Ophiuchi	4.56	B	— 12.58

Name des Sterns	Orbits	Spektral- typen	Mittel der Radialgeschwindigkeit
$\alpha$ Herculis	4.98	15	— 25.95
$\beta$ Draconis	4.19	14	— 20.90
$\beta$ Cygni	4.19	15	— 20.41
$\alpha$ Herculis	4.70	14	— 14.50
$\delta$ Draconis	5.50	15	— 25.41
$\delta$ Herculis	4.79	15	— 0.00
$\gamma$ Draconis	4.48	15	— 25.45
$\epsilon$ Serpenti	4.52	15	+ 15.80
$\gamma$ Draconis	4.28	13+	veränd. Radialgesch.
$\delta$ „	4.68	15	+ 25.14
$\epsilon$ Cygni	4.44	15	— 22.75
$\beta$ „	4.51	15	— 22.74
$\gamma$ Aquarii	4.64	15	— 0.50
$\alpha$ Draconis	4.95	14 (?)	+ 3.91
$\beta$ Aquarii	4.65	15	— 20.50
$\epsilon$ Cygni	5.08	15	— 25.37
$\delta$ „	5.14	15	veränd. Radialgesch.
$\gamma$ „	5.18	13+	— 5.30
$\delta$ „	5.65	15	veränd. Radialgesch.
$\epsilon$ Cygni	4.68	15	— 25.98
$\epsilon$ Cygni	4.42	15	veränd. Radialgesch.
$\beta$ Aquarii	4.28	14	+ 5.55
$\gamma$ Cygni	5.08	15	+ 5.21
$\alpha$ Pegasi	4.41	15	+ 5.04
$\alpha$ Aquarii	4.55	14	+ 5.91
$\gamma$ Pegasi	4.44	12+	veränd. Radialgesch.
$\epsilon$ Cygni	5.28	15 (?)	„
$\epsilon$ Pegasi	4.68	14	„
$\delta$ „	4.71	15	— 0.75
$\alpha$ Cygni	4.95	15	— 25.17
$\delta$ Pegasi	4.60	15	+ 28.17
$\gamma$ Perseus	5.43	15	— 23.74
$\alpha$ Andromedae	5.00	15	veränd. Radialgesch.
$\gamma$ Cygni	4.87	15	— 41.45

## Die Bahn des veränderlichen Sterns Algol.

 In den Untersuchungen von Vogel weiß man, daß der veränderliche Stern Algol im Perseus die spektroskopische Doppelstern ist und der auf wenige Stunden beschränkte Lichtwechsel durch den Vorübergang eines dunklen Begleiters entsteht, ähnlich wie bei uns Sonnenfinsternisse durch

den Vorübergang der Mondschleibe vor der Sonne. Schon Vogel hat damals die Bahnberechnung des Algolbegleiters gesteuert, doch ist es natürlich wünschenswert auch aus anderen Beobachtungen eine Bestimmung dieser Bahn zu erhalten. Mit dieser Aufgabe haben sich M. Frank Schönlager, Direktor der

Alghazy-Observatorium, und der Assistant-Astronom desselben, R. H. Curtiss beschäftigt. Sie stürzten sich dabei auf 93 Aufnahmen des Algispektrums, welche an dem genannten Observatorium erhalten worden sind und in die Zeit vom 23. September 1900 bis zum 25. März 1902 fallen. Die Ausmessungen der Spektrallinien sind mit höchster Sorgfalt gemacht und zahlreiche Spektrallinien wurden dabei berücksichtigt; auch geschah die Untersuchungen durch die beiden Astronomen völlig unabhängig voneinander. Die aus den Berechnungen

sich ergebenden Bahnbestimmungen sind folgende, wobei bezeichnet:  $\tau$  die Epochzeit,  $T$  die Umlaufzeit des Begleiters in Tagen gerechnet vom Augenblick des kleinsten Lichtes,  $a$  die Länge des Periastrums vom nächstgrößten Knoten aus gemittelt,  $K$  die Amplitude, deren doppelter Wert der totale Betrag der radialen Geschwindigkeit ist,  $A$  und  $B$  die absoluten Werte der radialen Maximalgeschwindigkeit in der Gefährdlinie,  $r$  die radiale Geschwindigkeit des ganzen Systems und  $\alpha$  die halbe große Achse bedeutet.

	Schlesinger		Curtis	
$\tau$ . . . . .	0.031	+ 0.022	0.000	+ 0.021
$T$ . . . . .	2.700	$\pm$ 0.006	2.764	$\pm$ 0.004 Tage
$a$ . . . . .	+ 21"	$\pm$ 26"	+ 31"	$\pm$ 20"
$K$ . . . . .	28.6 km	$\pm$ 0.7 km	41.3 km	$\pm$ 0.7 km
$A$ . . . . .	45.9 km		43.8 km	
$B$ . . . . .	26.8		26.8 km	
$r$ . . . . .	- 1.78 km	+ 0.40 km	+ 1.40 km	+ 0.56 km
$\alpha$ meridional	1.979.000 km		1.870.000 km	

Die beiden berechneten Bahnen stimmen genügend überein mit Ausnahme des Wertes  $r$  für die radiale Geschwindigkeit des Systems. Die Ursache dieser Abweichung ist unbekannt, und schon in früheren Rechnungen ergab sich letztere sehr ungleich. Es fanden nämlich statt

Vogel 1896—99	- 3 km
Schlesinger 1897	+ 2 "
" 1903—05	+ 10 "
" 1903—04	- 3 "
" 1904—05	+ 12 "
Schlesinger 1900	+ 9 "
Curtis 1905	+ 10 "
Schlesinger 1907	- 3 "
Curtis 1907	+ 3 "

Prof. Schlesinger besucht Alghazy, daß unter der Voraussetzung, das Licht

änderung des Algis werde durch einen dunklen Trabanten desselben verursacht, der Augenblick des kleinsten Lichtes ereignet wird, wenn dieser Trabant sich in der Gesichtsebene vom Algis zur Erde befindet, was gemäß den oben von Schlesinger und Curtis berechneten Bahnen nicht genau der Fall ist, und das stärkste gut von den früher durch Belopolsky berechneten Bahnen. Das Lichtmaximum tritt vielmehr 1.5 bis 2 Stunden später ein als sich aus den radialen Bewegungen herausgemittelt ergibt. Senach ist das Problem der Helligkeitsänderungen des Algis noch keineswegs vollkommen gelöst, sondern verlangt weitere Untersuchungen, die in der Tat auch auf der Alghazy Sternwarte angestellt werden.

## Das Spektrum des Nebels HV 15 im Schwan.

**D**ieser Nebel, der im Neuen Generalkatalog die Nummer 5983 trägt, liegt am Himmels in  $\text{A}\delta = 30^{\text{h}} 42^{\text{m}}$ ,  $\text{D} = 30^{\circ} 31'$  (für 1900.0).

Er wurde von W. Herschel am 7. September 1784 entdeckt und in einem Newtonschen Reflexhiz über 1 $\frac{1}{2}$  lang gesehen, in einem andern Reflex-

kur über den kleinen Spiegel, und eben so sehen 2" lang. Hirschel bemerkt, der Nebel geht über den Stern 52 im Schwanz.

Prof. M. Wolf ist es gelungen das Spektrum dieses Nebels zu photographieren. Er schreibt darüber<sup>1)</sup>:

«Der langgestreckte, ziemlich schmale Michaelis-Brauseff HFF 15 Cygni = NGC. 6590 verdient deshalb besonders Interesse, weil er in ganz ausgesprochener Weise an der H<sub>2</sub>-Entstehung der Milchstraße beteiligt ist. Fast genau von Süd nach Nord reichend, scheidet er scharf die Gegend größter Sternhäufigkeit im Orion von einer solchen geringer Sternzahl im Wesen. Ich habe ihn deshalb früher als einen «Randnebel» bezeichnet. Zur selben Gattung gehören die Nebel bei [Orionis und «Eridani».

Roberts beschreibt den Nebel wie folgt: «Er ist mehr als 2" lang von N nach S und 47" breit und folgt auf den Stern 52 Cygni, welcher von einem kleinen Teile des Nebels bedeckt wird. Der streifige Charakter des Nebels ist auf der Photographie zu erkennen, und wenn sich die Gelegenheit zu einer neuen Aufnahme mit besserer Expositiionsdauer bietet, wird die Verbindung verschiedener Teile des Nebels miteinander zweifellos erkennbar werden.» In der Tat hängt der Nebel, von der Aufnahme mit meinem Sechseckler im Jahr 1890 gesehen haben, sogar mit dem Nebel HFF 14 Cygni = NGC. 6590 lang zusammen.

Aufnehmen mit dem Refraktor ergab im vergangenen Jahre, daß es verschiedenen Stellen fast zweifelhafte Verbindungen zwischen den Nebelenden und einzelnen Sternen nachweisbar sind,

so daß der Nebel nie in der Tat abbrecher Milchstraßenketten beendend angesehen werden darf.

Es war daher von besonderem Interesse, herauszubringen, ob dieser Nebel ein kontinuierliches Spektrum oder ein Linienspektrum besitzt.

Am 1. August 1906 gelang mir mit dem Wette-Refraktor von 3", einsteufige Spektralanalyse derjenigen Teile des Nebels, die nördlich von 52 Cygni in großer Intensität auf schwachen Bogen zusammenhängt und.

Es ergab sich ein ausgesprochenes Linienspektrum.

Während die hellste Linie liegt an westlichen Ende des Spektrums, sind an dem Linsen Ende viel schwächer, so daß ich unter dem Mikroskop nicht auf sie einwirkendes vermochte. Ich habe nach verschiedenen Messungen zwischen die hellste Linie für die Nebellinie mit der Wellenlänge  $\lambda = 373$ .

Unter dieser Annahme wären wohl die schwachen Linien zu identifizieren, nämlich  $\lambda = 434$ , dann das zusammengezogene Band der beiden ersten Hauptlinien um  $\lambda = 589$ , und die Linien  $\lambda = 366$ , 387 und 411 und zwar bezüglich ihrer Intensität vollends in dieser Reihenfolge.

Die für  $\lambda = 373$  angenommene Linie ist nicht hell auf der Platte über das ganze photographierte Teil des Nebels (ca. 12 Bogensekunden von Nord nach Süd) hinweg. Die übrigen sind sehr schwach. Es ist möglich, daß etwa um  $\lambda = 360$  noch eine Linie steht, aber nicht festlich.

Vollrecht gelingt mir mit flacher Spiegelanordnung einmal eine köstliche Aufnahme dieses interessanten Spektrums.

<sup>1)</sup> Astron. Nachr. No. 4771.

## Die weite Verbreitung des chemischen Elements Scandium.

**E**s Scandium zählt bisher zu den unterschätzten auf der Erde vorkommenden Elementen, so daß es trotz

seiner offenbar höchst interessanten chemischen Eigenschaften noch wenig bekannt ist. Um so mehr mußte es



Stemschen, daß Scandium außerhalb der Erde in den äußeren Himmelskörpern in offenbar reichlicher Menge vorkommt. Schon Bowditch konnte bei der Identifizierung der Fraunhofer'schen Linien des Sonnenspektrums mit Linien bekannter irdischer Elemente, wegen der stärksten Scandiumlinien mit Bestimmtheit, und zwar als kräftige Linien im Sonnenspektrum nachweisen, und jetzt hat man alle Linien dieses Elementes, bis auf die schwächsten, im Sonnenspektrum mit absoluter Sicherheit aufgefunden.

Aber nicht nur im Absorptionsspektrum der Sonne, sondern auch in dem bei isolierten Scandiumpräparaten nur wenige Sekunden aufleuchtenden Emissionsspektrum der Sonnenstrahlung (Fluoreszenzspektrum) hat man unter den Linien der wenigsten dann vorkommenden Elemente noch die stärksten des Scandiums erkannt. Es kann daher keinem Zweifel unterliegen, daß Scandium in der Sonne nicht nur reichlich vorhanden ist.

Das gleiche gilt von den Sternen. Beim Ansehen von Sternspektren fällt es nämlich sofort auf, daß auch in denen die Scandiumlinien stark auftreten, und zwar nicht bloß in den der Sonne ähnlichen Sternen. Selbst ein Stern in seiner Entwicklung so weit fortgeschritten ist, daß die Leuchtzahl seines Spektrums eine größere wird (Vergleiche Spektralklasse  $h_2$ ), und auch die Linien des Scandium dunkler, und zwar meist nicht kräftig. Als Beispiel führt Prof. Eberhard den Stern  $\alpha$  Persei an, welcher dem Zustand noch nicht erreicht hat, in dem sich unsere Sonne befindet. Aber auch in rötlichen Sternen, wie z. B.  $\alpha$  Orionis und  $\alpha$  Rigelis (Klasse III), welche schon sehr weit das Stadium der Sonne überschritten haben, sind die Linien des Scandium noch unverändert sichtbar.

Duß dieser Unterschied in der Zusammensetzung der Sonne und der Sterne einwandfrei und der der Erde andererseits, liegt natürlichster sein könnte, liegt

nahe, da sowohl die Widerspruch gegen die kosmogonischen Anschauungen, welche einen gemeinsamen Ursprung der Himmelskörper annehmen, vorliegen würde. Es war sehr leicht zu vermuten, daß Scandium auch auf der Erde reichlicher, wenn auch vielleicht in großer Verklümmung vorkommt und man war auch wohl geneigt auch diesem Element gesucht habe oder es bei den Mineralanalysen übersehen hätte. Man braucht nur an den ganz analogen Fall des Helium zu denken, welches man zwar auf der Sonne vor längem konnte, dessen Auffindung auf der Erde aber erst sehr viel später den sehr verwickelten Analysemethoden zu verdanken ist.

Prof. Eberhard beschloß daher, als er 1901 bei der Auswertung von Sternspektren auf das starke Auftreten der Scandiumlinien aufmerksam geworden war, dieser Frage näher zu treten und das Scandium auf spectrographische Wege auf der Erde zu suchen. Über seine wichtige damalige unterbrechnene Untersuchung hat er jetzt der Preussischen Akademie der Wissenschaften berichtet<sup>1)</sup>. Da damit zu rechnen war, daß dieses Element eventuell in großer Vorkommen in den Gesteinen der Erde vorkommen würde, suchte er sich zunächst die Urteil über die Empfindlichkeit der späteren Resultate des Scandium zu bilden, um nicht etwa ungenügend zu arbeiten. Er hat, da ihm damals Scandium nicht zur Verfügung stand, nach eingehender praktischer Beschäftigung mit der Chemie der schweren Erden, zur Erleichterung dieser Frage drei der jüngsten Metalle ausgewählt, von denen bekannt war, daß es Scandium enthält. Das Oxid zweier verschiedener Valenzstadien von 0,1 g an dickem Bogen verdampft ließen die Hauptlinien des Scandium in gleicher Weise sehr stark erkennen. Diese waren auch dann

<sup>1)</sup> Sitzungsberichte d. Kgl. Preuss. Akad. d. Wissenschaften 1906, S. 359.

nach gut sichtbar, nachdem er die Gase mit verschiedenen Flüssigkeiten auf ein Zehntel verdünnt und von diesem Präparat wieder 81 g verdampft hatte. Das spektrale Verhalten des Scandiums ist überhaupt als eine ganz außerordentlich aufschlußreiche zu bezeichnen.

Prof. Eberhard berichtet sich in seiner Abhandlung genauer über die Technik der Untersuchungen und führt hienzu die von ihm auf Scandium untersuchten Flammen und Gase an. Diese Elementen gehören nicht hienzu. Das Hauptergebnis ist die überraschende Tatsache des allgemeinen Vorkommens des Scandiums auf der Erde. «In fast allen Gesteinen», sagt Prof. Eberhard, «aus denen die Gänge der Erde oder besser die Hauptteile der Erdkruste selbst gebildet sind, ist Scandium erkennbar, es ist kein seltenes Element

mehr, sondern hat vielmehr die dritthöchste und größte Verbreitung denn wir nur eine kleine Zahl der übrigen bekannten Elemente. Ich bin der Überzeugung, daß man es auch in den Gesteinen, in welchen ich es nicht hat finden würde, wenn man nur großen Mengen Material im Augen verdampfen würde, als ich getan habe.

Durch diesen Nachweis der allgemeinen Verbreitung des Scandiums auf der Erde ist es nun nicht mehr befremdlich, sondern durchaus natürlich, daß Scandium überall in den Steinen und der Sonne zu finden ist.

Als von Interesse mag auch erwähnt werden, daß der Meteoriten von Fichtelberg, welcher gewissermaßen einen Übergang von der Erde zu den Gesteinen darstellt, einen kleinen Scandiumgehalt hat als die meisten von Prof. Eberhard untersuchten Gesteine der Erde.

## Vermischte Nachrichten.

**Direkter Nachweis der magnetischen Fernwirkung der Sonne.** Eine Entdeckung von großer Tragweite konnten die Prof. Zeeman aus Leyden und Kapteyn aus Bonn in der letzten für Physik der Naturforscherversammlung in Köln stiften. Vor einigen Wochen besaßen der amerikanische Astrophysiker Prof. Hale Bildungen von den Sonnenflecken, die er als gewaltige Wirbel glühender Gase deutete. Nun stützt die moderne Theorie der Elektromagnetischen Erscheinungen der Elektrizität und des Magnetismus auf die Existenz elektrischer Atome, der sogenannten «Elektronen», zurück. Nach der modernen Elektrodynamik, die sich weitestgehend mit gewaltiger Geschwindigkeit bewegen, in der Länge eines des Werts magnetische Kräfte, d. h. die solcher Elektromagnetismus verleiht sich von ein Magnet. Ferner machen unsere Untersuchungen wahrscheinlich, daß in glühenden Gasen solche freie Elektronen

vorhanden sind. Wenn dem so ist, schließt Prof. Hale, dann müssen die Sonnenflecken sich verhalten wie magnetisierte Magnete, und dann muß die Licht, welches sie ausstrahlen, das sogenannte «Zeemaneffekt» zeigen. Prof. Zeeman hat nämlich vor einigen Jahren gefunden, daß die Spektrallinien, welche von einer leuchtenden Flamme zwischen den Polen eines Magneten ausgeht, in zwei getrennten Zuständen (je nach magnetischer Beschleunigung) auftritt. Der Spektrallinien, in welcher das Licht durch ein Prisma zerlegt wird, werden durch den Magnet zerlegt, und die Komponenten, in welche jede Linie zerlegt ist, zeigen charakteristische, heißt für räumliche Eigenschaften des «Polarisationszustandes». Dies ist der Zeemaneffekt, das man auch das Licht der Sonnenflecken zeigen muß, wenn die Sonnenflecken sich wirklich zugleich wie gewaltige Magnete verhalten. In

der Teil bei Prof. Hale dieses Erfolge an photographischen Aufnahmen des Spektrums der Flecken feststellen können. Prof. Zeeman förderte ihn nun weiter an, die Flecken nicht nur dann zu beobachten, wenn sie sich in der Nähe der Sonnenscheibe befinden, sondern auch wenn sie am Rande gesehen werden. In letztem Falle sieht man in der Richtung der Längsachse des Wirbels, in letztem Falle scheint zu dieser Achse, und dann reflexen wiederum die Spektrallinien charakteristische Verschiebungen ihrer Spaltung zu beiden Seiten aufzuweisen. Ferner maß der Effekt verschoben von,  $\rho$  nachdem der Winkel in der Richtung der Bewegung des Zuges der Uhr oder entgegengesetzt richtet. Prof. Zeeman konnte nun ein Telegramm von Hale vorlesen, welches die Auffindung auch dieser Erscheinungen anzeigt und damit unendlich beweis, daß die Sonnenflecken sich in der Tat wie rasche Magnete verhalten. Dieser Triumph wissenschaftlicher Theorie wird auch wichtige praktische Folgen haben. Denn wenn wir sind die Theorien, welche die magnetischen und klimatischen Störungen auf unserer Erde in Beziehung zu den Sonnenflecken bringen, auf eine feste Basis gestellt. Außerdem zeigt die Entdeckung die grundlegende Bedeutung theoretischer Spekulationen für den Fortschritt unserer Erkenntnis sowohl wie für die Zwecke der Praxis.

Die Granulationen der Sonnenoberfläche sind ihrem Wesen nach noch immer wenig bekannt. S. Chevalier hat<sup>1)</sup> auf der Sternwarte zu Zew bei Zirkow in China seit zwei Jahren diesen Gebilden besondere Aufmerksamkeit geschenkt.

Für die Untersuchung konnte nur die Photographie in Frage kommen. Wesentlich war hierbei, daß nach Versuchen auch kleine Sonnenbilder

als die von Janssen zur Erkennung der Granulationen der Photosphäre als notwendig gehaltenen, für den vorliegenden Zweck ausreichen, und daß sehr kurze Expositionen genügen, während deren Störungen von der Atmosphäre möglichst ausgeschlossen werden.

Zur Veranschaulichung der Resultate gibt Chevalier seiner Abhandlung fünf vergrößerte Bilder seiner Photographen bei, von denen eins am 1. Juli, zwei am 26. Juli in einem Intervall von 10 Sekunden und zwei am 24. Juli in einem Intervall von 30 Sekunden aufgenommen sind. Jedes von diesen beiden Paaren stellt den gleichen Abschnitt der Sonnenscheibe dar, so daß Unterschiede, die die Granulationen der beiden Bilder zeigen, zweifellos als Beweise für Änderungen aufzufassen werden dürfen, die wirklich auf der Oberfläche der Sonne stattgefunden haben. Auf Tafel III sind die beiden Photographen vom 24. Juli wiedergegeben. Die zu verschiedenen Zeiten von der Sonne aufgenommenen Bilder dürften zwar als Unterschiede zeigen, die von Verschiebungen der Dualität der Photographie bedingt sind, aber diese Verschiebungen lassen sich leicht von denen trennen, die durch wirkliche Änderungen in der Photosphäre verursacht sind. Chevalier bespricht die Gestalt und die Dimensionen der Granulationen, ihre Dauer vom Erscheinen eines einzelnen Korns bis zu seinem Verschwinden und ihre horizontalen Bewegungen. Er faßt seine bisherigen Ergebnisse wie folgt zusammen:

Wenn man einen Teil der Photosphäre auf Platten, die in Zwischenräumen von einer oder einer halben Minute aufgenommen sind, vergleicht, wird man die meisten Granulationen als solche deutlich erkennen. Gleichwohl haben sie gewöhnlich manche deutliche Änderungen sowohl in ihrer Gestalt, wie in ihrer Helligkeit erfahren. Bei aufmerksamster Prüfung findet man auch, daß viele von ihnen ihre gegen-

<sup>1)</sup> Astrophysical Journal 1900, Vol. 27, p. 11.

nige Stellung verändert haben. Die Verschiebungen der verschiedenen Granulationen variieren ganz bedeutend innerhalb der Grenzen Null und dreißig oder mehr Kilometer in der Sekunde. Die Verschiebungen differieren auch bedeutend in der Richtung: jede Granulation bewegt sich selbstständig um die Bewegungen der andere in ihrer Nachbarschaft. Die bei manchen Granulationen beobachteten Verschiebungen erreichen zwar zwischen ganz neuen Zahlen, in Klammern ausgedrückt, aber sie sind klein, verglichen mit dem Durchmesser der sich bewegenden Granulation. Häufig bewegt sich keine Granulation während ihrer Existenz so weit, als die Länge ihres Durchmessers beträgt. Es entsteht die Frage, ob wir verschiedene Bewegungen längs der Oberfläche der Sonne beobachten oder nur Änderungen des Aussehens und der Form der Körper infolge vorübergehender Bewegungen von kometarischen Teilchen. Man könnte annehmen, daß die Granulationen leuchtende Wolken sind, die in einer weniger leuchtenden Atmosphäre schwimmen, gleich den Wolken unserer Atmosphäre, und daß wir auch durch diese Atmosphäre, oder mit ihr, mit den gewöhnlichen Geschwindigkeiten von 20, 30, 40 km in der Sekunde, bewegen. Aber diese Annahme scheint unzureichend mit den Befunden. So zeigen komatöse Geschwindigkeiten einiger Granulationen, in deren Mitte andere flüchtige Granulationen sind, die sich überhaupt nicht bewegen, oder sich in verschiedenen Richtungen und mit verschiedenen Geschwindigkeiten bewegen, scheinen ganz unbegründet.

Nehmen wir hingegen an, daß die Granulationen der Gipfel einer flüchtigen Schicht kometarischer Teilchen sind, mit oder ohne eine harmonische Bewegung, und daß die Schicht Wellenbewegungen erfährt, dann werden die Gipfel der Wellen derselben Reihenfolge von Veränderungen folgen und ihre relative Lage wird in jeder Richtung und mit jeder Geschwindigkeit variieren, wie

die Beobachtung der Granulationen es gezeigt hat.)

**Neuer Ring des Saturn.** Ein Telegramm der Central Sternwarte vom 8. Oktober lautet: „Ein neuer brauner Ring umgibt die beiden Ringe des Saturn. . . . Weiteres außer dieser kometarischen Nachricht ist noch nicht bekannt. Ich konnte hier in Köln bei sehr guter Luft (Näher 15) nichts ungewöhnliches an Saturnringe wahrnehmen.“ K)

**Der Komet 1880 c (Herschel).** Aus Beobachtungen vom 3. September bis 24. September hat Prof. H. Klotz eine neue Bahnberechnung dieses Kometen ausgeführt, wonach das Perihel desselben auf den 25. Dezember fällt. Gemäß dieser Bahnberechnung hat der Komet im zweiten Drittel des Oktober seine größte Helligkeit erreicht und folgendes sind für die nächste Zeit die Positionen des Kometen am Himmel (für 12<sup>h</sup> mittlere Zeit von Berlin)

	Alt.	12
Nov.	9 18 <sup>h</sup> 51.4 <sup>m</sup>	+ 12° 1'
• 12.	53.2	+ 7 45
• 17.	55.4	+ 3 35
• 20.	56.9	+ 0 27
• 25.	58.6	— 2 40
• 29.	58.4	— 5 32
Dec. 3.	58.3	— 8 30
• 7.	58.2	— 10 51

**Der Komet Tempel, -Swift (1880 d)** ist in Mainz am 29. September von Jovella bei unser damaligen Reichsleiter aufgefunden worden. Er erschien von der 14. Größe.

**Periscope für Freunde der Himmelsbeobachtung.** Aus den Lehrbüchern des „Simus“ sind mir mehrere größere und kleinere sehr gut erhaltene Periscope zum Verkauf angeboten worden. Freunden der Himmelsbeobachtung, welche die Anschaffung eines solchen Instrumentes beabsichtigen, und sich deshalb an mich wenden, bin ich zu jeder gewünschten Auskunft gern bereit. Prof. Dr. Klein.

— 1 Naturwissenschaftliche Buchhandlung, Nr. 24.

# Astronomischer Kalender für den Monat Januar 1909.

Tag des Jahrs	Sonne				Mond			
	Mittlere Berliner Zeit				Mittlere Berliner Zeit			
	Zeit h. m. s.	Rekt. ascen.	Decl.		Rekt. ascen.	Decl.	Mod. im Meridian	
1	+ 3 27.09	29 45 39.19	-29 3 39.9		9 31 5.18	+18 49 37.5	9 1.0	
2	4 3.04	29 46 47.94	-29 47 39.1		9 29 54.97	18 55 43.5	9 52.0	
3	4 58.97	29 48 57.68	-29 56 39.5		9 28 5.18	19 10 48.0	9 49.0	
4	4 59.60	29 50 36.11	-30 48 19.1		9 26 44.97	19 17 53.1	10 39.0	
5	5 51.41	29 52 39.19	-30 58 49.5		9 24 39.95	19 33 43.4	11 50.0	
6	5 58.37	29 54 39.07	-30 58 54.9		9 22 44.97	19 50 5.0	12 38.0	
7	6 58.41	29 56 43.05	-31 19 54.7		9 20 7.98	20 18 53.0	13 17.0	
8	6 49.13	29 58 5.65	-31 17 54.7		9 18 33.98	20 36 56.0	14 8.0	
9	7 1.09	29 59 39.58	-30 9 49.5		9 16 39.49	19 57 39.9	14 57.4	
10	7 59.09	30 0 43.14	-29 1 7.0		9 14 39.49	19 45 39.9	15 50.0	
11	7 54.02	29 59 31.98	-29 59 9.0		9 12 54.02	19 49 40.0	16 17.0	
12	8 39.01	29 57 31.09	-31 49 39.7		9 10 39.09	9 11 3.0	16 58.0	
13	8 49.02	29 57 31.54	-31 39 47.9		9 10 39.02	+ 1 19 18.4	17 59.0	
14	9 1.05	29 49 30.47	-31 39 34.9		9 10 39.04	- 9 54 39.0	18 50.0	
15	9 39.14	29 44 39.19	-31 19 49.7		9 7 37.49	9 27 18.0	19 4.0	
16	9 49.04	29 40 49.45	-31 9 49.9		9 49 37.09	10 4 39.7	19 57.0	
17	10 1.02	29 37 5.44	-30 49 12.9		9 46 49.09	10 19 50.0	20 49.0	
18	10 39.15	29 35 39.70	-30 37 39.0		9 44 39.04	10 44 39.0	21 39.0	
19	10 47.07	29 33 39.50	-30 30 9.7		9 42 49.07	10 54 57.0	22 34.7	
20	11 1.09	29 31 39.75	-30 19 19.0		9 40 49.09	11 10 37.0	23 44.0	
21	11 33.17	29 29 4.07	-30 19 12.9		9 40 31.11	10 49 9.0	—	
22	11 40.00	29 28 37.70	-29 49 53.0		9 40 9.00	10 39 5.7	0 49.0	
23	11 39.04	29 30 30.33	-29 40 1.0		9 40 49.07	10 37 16.0	1 49.0	
24	11 33.04	29 34 49.19	-29 17 33.0		9 40 31.01	10 4 19.0	2 50.0	
25	11 30.77	29 39 49.19	-29 9 55.9		9 40 33.41	9 50 37.0	3 52.0	
26	11 30.41	29 39 9.30	-29 49 39.9		9 40 49.07	- 1 27 39.0	4 54.0	
27	11 39.52	29 37 30.79	-29 30 31.9		9 37 30.41	+ 4 54 39.0	5 19.0	
28	11 4.09	29 33 31.95	-29 17 49.0		9 34 30.05	9 43 39.9	6 37.0	
29	11 30.97	29 48 39.04	-29 9 47.4		9 31 9.04	14 39 49.0	8 37.0	
30	11 29.07	30 49 39.94	-29 49 47.0		9 29 49.07	29 44 30.0	7 43.0	
31	+12 30.49	30 50 41.71	-27 39 49.1		9 27 30.43	+11 49 18.0	6 49.0	

## Planetenkonstellationen 1909.

Januar	1	10 h	Merkur in Konstellation mit Uranus. Merkur 1° 30' südl.
"	8	13	Merkur in der Krebslinie
"	8	6	Merkur in Opposition mit der Sonne
"	9	9	Merkur in größter südlicher Distanz
"	7	10	Uranus in Konstellation mit dem Mars
"	26	26	Jupiter in Konstellation mit dem Mars
"	27	10	Mars in Konstellation mit dem Mond
"	28	16	Venus in Konstellation mit dem Mars
"	29	13	Merkur in Konstellation mit dem Mars
"	23	13	Jupiter in Konstellation mit dem Mars
"	21	7	Merkur in südlichsten Knoten
"	30	17	Merkur in größter südlicher Distanz 30° 23'
"	30	26	Venus im südlichsten Knoten
"	24	9	Venus in Konstellation mit Uranus. Venus 0° 31' südl.
"	30	31	Merkur im Perihel.

### Phaeton-Ephemeriden

Älterer Berliner Mätag.							Mittlerer Berliner Mätag.						
$\frac{1}{2}$ J	Rektascension			Declination			$\frac{1}{2}$ J	Rektascension			Declination		
	h m s			° ' "				h m s			° ' "		
1899.													
Jan. 1	10	7	20.20	+54.34	00.0	0.30	Jan. 1	0	18	20.20	— 0.24	10.0	0.37
10	10	40	0.00	55.00	00.0	0.40	11	0	00	00.00	— 0.00	20.7	0.00
20	10	10	10.00	55.44	00.0	0.07	20	0	10	00.00	— 0.0	4.20	0.20
30	10	01	00.00	56.23	00.0	0.11	30	0	20	00.00	+ 0.10	20.0	0.40
10	11	10	00.00	56.59	00.0	1.00	Uranus.						
20	11	40	20.00	57.28	0.7	0.00	Jan. 1	10	10	00.07	— 30.00	0.0	0.10
30	11	05	00.00	— 57.48	00.0	1.30	11	10	10	00.00	— 22.00	0.0	0.10
Venus.													
Jan. 1	10	40	00.00	— 18	1.14	20.1	11	10	10	00.00	— 22.00	0.0	0.10
10	17	0	00.00	18.56	04.0	22.7	20	10	10	00.00	— 22.00	0.0	0.10
20	17	10	00.00	19.02	00.7	23.14	30	10	10	00.00	— 22.00	0.0	0.10
30	17	0	00.00	19.02	00.0	23.20	Jan. 1	7	0	20.07	+ 25.44	1.0	21.17
10	18	10	00.00	19.02	00.7	23.20	10	7	0	20.00	— 25.44	0.0	21.40
20	18	10	00.00	— 19.00	00.0	23.20	20	7	0	20.00	— 25.44	0.0	21.40
30	18	10	00.00	— 19.00	00.0	23.20	Neptun.						
Jan. 1	7	0	20.07	+ 25.44	1.0	21.17	Jan. 1	7	0	20.07	+ 25.44	1.0	21.17
10	7	0	20.00	— 25.44	0.0	21.40	10	7	0	20.00	— 25.44	0.0	21.40
20	7	0	20.00	— 25.44	0.0	21.40	20	7	0	20.00	+ 25.44	0.0	21.40
30	7	0	20.00	+ 25.44	0.0	21.40	Mars.						
Jan. 1	10	00	0.00	— 18.51	00.0	20.40	Jan. 1	10	00	0.00	— 18.51	00.0	20.40
10	18	40	00.00	19.00	00.0	20.40	10	18	40	00.00	19.00	00.0	20.40
20	18	10	00.00	19.00	00.0	20.40	20	18	10	00.00	19.00	00.0	20.40
30	18	10	00.00	19.00	00.0	20.40	30	18	10	00.00	19.00	00.0	20.40
10	18	10	00.00	19.00	00.0	20.40	10	18	10	00.00	19.00	00.0	20.40
20	18	10	00.00	19.00	00.0	20.40	20	18	10	00.00	19.00	00.0	20.40
30	18	10	00.00	19.00	00.0	20.40	30	18	10	00.00	19.00	00.0	20.40
Jupiter.													
Jan. 1	12	4	40.00	+ 7.02	40.6	10.20	Jan. 1	12	4	40.00	+ 7.02	40.6	10.20
10	12	4	40.00	7.02	20.7	10.40	10	12	4	40.00	7.02	20.7	10.40
20	12	0	0.00	7.02	10.0	10.6	20	12	0	0.00	7.02	10.0	10.6
30	12	0	0.00	+ 7.02	00.0	10.10	30	12	0	0.00	+ 7.02	00.0	10.10

Sterndeckungen durch den Mond für Berlin 1899.

Abendtag	Stern	Größe	Eintritt		Austritt	
			h	m	h	m
Jan. 11	γ Virginis	0.4	10	50.1	10	1.07
10	10 Virginis	0.0	7	1.0	8	1.6
10	32 Phidippi	0.0	8	42.4	8	4.07

Jan. 10. Mittlere Stärke der Ekliptik  
Mittlere „ „ „ „  
Mittlere „ „ „ „  
Mittlere „ „ „ „

10° 17' 4.00"  
10° 17' 4.00"  
10° 17' 4.00"  
10° 17' 4.00"

# Stellungen der Jupitermonde im Januar 1906.



Stellungen am 1. u. 15. für den Beobachter im nördlichen Polarstern.

Tag	Westl.	Ostl.
1	3	4
2	1	2
3	2	3
4	1	2
5	2	3
6	1	2
7	2	3
8	1	2
9	2	3
10	1	2
11	2	3
12	1	2
13	2	3
14	1	2
15	2	3
16	1	2
17	2	3
18	1	2
19	2	3
20	1	2
21	2	3
22	1	2
23	2	3
24	1	2
25	2	3
26	1	2
27	2	3
28	1	2
29	2	3
30	1	2





26 July 1965



1" 20" 30"



1" 20" 30"

Slide 1188

Table 101

Photographic Aufnahmen der Struktur der Sonnenatmosphäre von S. Chavelier

# SIRIUS.

Zeitschrift für populäre Astronomie.

Centralorgan für alle Freunde und Förderer der Himmelskunde.

Herausgegeben

unter Mitwirkung hervorragender Fachmänner und astronomischer Schriftsteller

von Prof. Dr. Hermann J. Klein in Köln

Dezember 1908.

„Wissen und Erkenntnis und die Frucht und die  
Bewältigung der Menschheit.“ — Kasten.

Jeden Monat 1 Heft. — Jährlich 12 Hft.

Verlag von EDUARD HEINRICH MAYER in Leipzig.

**INHALT.** Von der rotatorischen Bewegung (Achsendrehung) der Himmelskörper. Von E. Schuy in Mülheim (Ruhr). S. 285. — Die Coudé-Exposition der Lufteinstrumente. S. 279. — Das Apollonische Gebirge und Herculand auf dem Mond. (Phases Bild 387) S. 254. — Barbara Melchior die Zeit der Überführung der Sonne durch den Meridian von einer Fühlergenau von weniger als einer Sekunde zu bestimmen. Von Dr. med. Theor. Friedrich in Stockholm. S. 274. — Die Tätigkeit der Fäden (Sonnens) im Jahre 1907. S. 255. — Versuche (Nachrichten). S. 281. — Jahresberichte (Kapseln). S. 255. — Beiträge der Japaner. S. 271. — Nachrichten der Japaner. S. 281.

## Von der rotatorischen Bewegung (Achsendrehung) der Himmelskörper.

Von E. Schuy in Mülheim (Ruhr).



Es scheint eine etwas allgemeine Tatsache zu sein, daß sich die Weltkörper gegenseitig nach einem bestimmten Gesetze anziehen, nach dem jedoch zu sein, wonach alle kugelförmigen Körper im Universum sich um ein richtiges Achsen drehen, d. h. in einer bestimmten, sich ziemlich gleichbleibenden Zeitdauer, rollen. Diese Rotationen, die bei der Erde einen Tag (Stellung) beträgt, hat man ein Maß für die Zeit abgelesen, was eigentlich eine Konsequenz involviert, denn wir müssen damit Zeit mit einem Maßstab, für dessen Prüfung wir dann kein

weiteres absolut genauem Prinzip mehr besitzen. Es liegt hier ein Fehler vor, wie ihn der Philosoph Fichteberg in Bewegungsprinzip erkannt, wenn er sagt: „Wir suchen die Entstehung des Subjekts und finden Bewegung (Attraktion und Repulsion). Um aber die Bewegung zu finden, muß sich etwas bewegen, und wir setzen wieder ein Subjekt.“ Oben jedoch darauf näher eingehen zu können, konnten wir vor allem, daß jeder des Phänomen nach der große,

§ Logische Union, S. 281

gewollte Sonnenkugel, der aus so nahe Repräsentant der Fixsterne, auch um eine Achse wälzt, wie die Verfolgung der Sonnenflecken ergab, und hieraus dürfen wir per Analogie schließen, daß, was schon gesagt, als Weltkörper, so mögen freistehend oder fest, selbstleuchtend oder dunkel sein, einer rotatorischen Bewegung unterliegen.

Diese eigentümliche Tatsache ist nun in hohem Grade dazu geeignet, unser spekulatives Interesse in Anspruch zu nehmen, und wirklich, wenn schon wir nicht schon die Bewegungen im Universum mit einer großen metaphysischen Fragestellung befaßt, wenn es nach dem „Wohin“ und „Wann“ frage? Da wir nungen Nachdenken merkt man aber bald, daß solche Fragen darin in die tiefsten Tiefen der Naturphilosophie führen und schließlich ideellisch sind mit der Frage nach dem Ursprung der Bewegung überhaupt.

Man konnte die Rotation freilich auch für eine sekundäre Bewegung halten und versuchen, sie bei einer Helix- oder Gummireise um Wellen aus der gegebenen Rotation oder Anziehung der Massenflächen zu deduzieren, wie es Kant eben in seiner Naturgeschichte und Theorie des Himmels getan hat, allein wir müssen dann mit dem selbstverständlichen schon störende Zentrum in der nicht mehr homogenen Masse annehmen, um welche die leichten Perleichen, im Bestreben, dorthin zu fallen, kreisen, um nach und nach in gleichmäßiger Rotation die ganze Masse mitzuführen. So sehen wir eben bald bereits wenigstens zuwenden, die Tendenz zur Rotation ist schon deutlich vorhanden, um Entstehung derselben schreiben wir aber immer schon zu spät zu kommen. Es scheint ebenso schwierig, wenn nicht unmöglich zu sein, die Rotation auf mechanischem Wege zu erklären, wie es nach Prof. Dr. Karl-Reynold die Meinung ist, die schon in diesem mechanisch zu konstruieren.<sup>1)</sup> Das letztere

hat zwar Bedenken in einer Schrift: „Das Rätsel von der Selbstbewegung“ versucht, indem er die fortwährende Stoßwellen des andauernden Wellstuhls als primäre Ursache vorschlägt, allein dieser hypothetische Ather muß dann von vornherein schon selbst schwer sein, d. h. darf nicht gewichtlos gelassen werden. Nun bedingt aber Anziehung eben erst das Gewicht eines Körpers, so daß sich kein Ather supponieren als eine contradictio in adjecto erweist, die vor allem den philosophisch Denkenden nicht befriedigen kann.

Während es dem Naturforscher gestattet ist, willkür mechanische Konstruktionen in dieser Hinsicht zu erlauben, muß der Philosoph derselben zu geringen verwerfen und zunächst respekt des Faktum betrachten, das, nach seiner Meinung, eine metaphysische Erklärung verlangt. So verfährt Hegel in seiner Naturphilosophie, worin der mathematisierende Physiker freilich schlicht verhängt. Der Raumausrechnung einer Weltkugel, der an der Oberfläche derselben ganz bedeutende Geschwindigkeiten aufweist, kann nie und nimmer zu mechanischer Arbeitsleistung gebraucht werden, der Körper würde in Bezug himself ebenso gut still stehen, auch ist es für denselben völlig gleichgültig, an welchem Orte des Raumes ein Punkt seiner Oberfläche sich gerade befindet. Daraus folgt die Folie einer Rotation des Körpers zu dem die umgebenden Räume hängt denselben eben dadurch zum Ausdruck, so argumentiert Hegel, daß in der Zeit auch und nach alle Orte des Raumes von einem Punkte seiner Oberfläche angenommen werden, d. h. daß er eben rotiert, Somit wäre die Zeit die letzte Ursache der Bewegung und damit allerdings, was viele Philosophen nicht anerkennen, ein dynamisches Prinzip. Von diesem Standpunkt aus ergibt sich auch der Lehrsatz der Plakmetrie, daß Sehnen, welche gleich weit vom Mittelpunkt eines Kreises entfernt sind, alle denselben Länge haben, als selbstverständliche Tatsache ohne Be-

<sup>1)</sup> Naturwissenschaft Rundschau, III. Jahrgang, No. 18.

wie, dass die Lage der Sonne im Kreis ist je stationär völlig gleichgültig.

Auch in Schopenhauers Willensprinzip liess sich die Rotation schliesslich unterbringen. Das Willk, als ewig Strömendes, dessen Wesen eben unauflösbare Ströme ist, dem kein ewiges Ziel ein Ende macht, heisst sich auch am Himmelstüpfel in einem zwecklos unauflösblich ewigen Akt einer ständig sich wiederholenden Umwälzung darstellen, einem Mühsal vergleichbar, das sich, »von der Flut gerast, unvollständ' für und für,« oder ähnlich dem Dasein einer Pflanze, die über Entwicklung von Samenkeim zur Pflanze, zur Frucht im Unendliche fort wiederholt, ohne Ziel, ohne Befriedigung, ohne Ruhepunkt.

Stellen wir uns aber gar auf den Standpunkt des Philosophen des Unendlichen, E. v. Hartmann, nach dem die Welt ebenso gut nicht sein könnte, als sie ist, und wozu es nur einen ganz kleinen Überschuß des Positiven über den Indifferentismus heissen bedurfte, damit sie wird, so wird man mit ihm sagen müssen, daß die Rotation, die ebenso wohl dem Kosmos als der Natur fehlen könnte, als sie ihnen ausser allem Zweifel ist, an demselben eben einer völligen, nach philosophisch nicht eigentlich erkennbar, als Lassen wir damit diese akademische Frage im Unentschiedenen, da motorische Bewegung weder von einem selbst Philosophen noch Naturforscher auch nur angeht wurde, und seien wir uns es, was die aus durch allem vorhandene Rotation in astronomischer Hinsicht interessieren thut.

Da ist es man zuerst die gewöhnliche Sonnenkugel, deren gegenwärtige Rotationsverhältnisse uns neue, große Probleme stellen. Aus der Verfolgung der Sonneneffloren hand man, daß sich die ungleiche Geschwindigkeit in etwa 25 Tagen einmal um ihre Achse wende. Da die Flecken, deren Häufigkeit variiert, mit zunehmender Sicherheit als Gebilde der Sonnenatmosphäre erkannt worden

sind, so lag die Vermutung nahe, daß diese, wie den Wellengebirgen unserer Luftmeeres eine gegen Eigenbewegung ruhende, die ihre Rotation um die Sonne beeinflussende Fläche 1798 schrieb der berühmte Astronom Olbers<sup>1)</sup> in von Zuch: »Die optische Beobachtung der Sonneneffloren wird so sehr verunsichert, und eben deswegen können wir die Rotationszeit der Sonne und die Lage des Sonnenäquators noch nicht sehr zuverlässig, noch müssen es Beobachtungen mit Gewissheit ausmachen, ob der Flecken bild der Rotation der Sonne folgen, oder noch eine eigene Bewegung, eine Verdrängung zu der Sonne selbst haben ...« Die Bestätigung dieser Vermutung von Olbers war Ch. Carrington,<sup>2)</sup> einem Privatsternwarte, vorbehalten, der aber gleichzeitig auch die Entdeckung machte, daß die Rotationsdauer der Flecken, nach abzüglich ihrer Eigenbewegung, in grössere nördlichen und südlichen Sonnenanteile ganz ungleich verteilt werde, d. h. daß die Sonne nicht unter allen Breiten in demselben Zeit rotiert.<sup>3)</sup> So umkreist die Flecke in 10<sup>h</sup> nördlicher und südlicher heliographischer Breite der Sonne schon in 25<sup>h</sup>, Tages, bei 25<sup>h</sup> in 28 Tagen, während die Flecke unter 40° zu einem Umlauf um den Sonnenball volle 35 Tage bedarf. Da außerhalb dieser Zone die Flecken bedeutend sehr spärlich sind, so liess sich das Gesetz der Sonnenrotation aus den Sonneneffloren nicht weiter verfolgen, es erfuhr aber eine Ergänzung mittels der spektroskopischen Methode, welche Chr. Dawes, Direktor der Sternwarte in Uppsala, auf der Sonne anwandte. Diese Methode beruht auf dem Dopplerschen Prinzip, wonach die Fraunhofer'schen Linien sich nach dem Wälzen oder einem Teil des Spektrums verschieben, je nach-

<sup>1)</sup> Georg Olbers, I.

<sup>2)</sup> Gek. im *Observ.* 1858, part. 1858 in *Chart. des Français.*

<sup>3)</sup> Carrington, *Observations of the spots on the Sun from 1851, 21, 4 to 1854, 11* 24, made at North London. 1859.

dem eine Lichtquelle sich aus selbst<sup>1</sup> oder auch von uns entfernt. Man kann nun außerhalb der Fleckenzone in einem und demselben Spektroskop einen vom Centrum kommenden belebten Sonnenstrahl mit einem am Westende verschwindenden ausmessen und findet dann die entsprechenden Spektrallinien verschoben, wovon sich in glühender Weise die gemachte Geschwindigkeit in der Breite dieses Sonnenstrahls und durch die denselben zukommende Rotationszeit findet. Es dehnte auf diese Weise Durch seine Beobachtungen bis zum 70° aus und fand für denselben eine Rotationsdauer von nicht weniger als 37 Tagen.

Dassel ist nun ein sehr komplizierter der Beizten für eine derartige Hologlogie gewissermaßen Offenbar müssen Zeichnungen sehr heftiger Art in jenen Schritten der Sonnenatmosphäre stattfinden, in denen wir die Flecke beobachten, allein Nieman ist es kaum möglich, es eine theoretisch genügend fundierte Erklärung dieses merkwürdigen Phänomens zu denken. Offenbar ist die Frage allgemein so zu lauten: Wie vollzieht sich der Achsenumschwingung einer mit einer Gaschülle umgebenen Kugel, ev. der einer reinen Gasugel? So ist das Problem auch in der Tat von Helmholtz präpariert worden, und seine helgeordneten Studien in dieser Frage haben es sehr plausibel gemacht, daß die Gaschülle zwei größeres rotierendes Körper am Äquator desselben fast genau die Rotationsdauer des Kerns annehmen, um in höhere Breiten mehr zurückzubleiben. So ziemlich auf Helmholtz'schem Annahmen fußend, hat Prof. R. Fendler in München diese interessante Frage weiter untersucht<sup>2</sup>. Inwiefern dürfen die Ideen in derselben auch nicht geahndet sein, vor allem gilt auch auch hier, was in so vielen astronomischen Fragen, durch die Experiment im Labortraum kein Analogon im Kleinen schaffen

Auch der um uns stehende stehende Himmelskörper, der Mond, besitzt ein beständiges seiner Rotation wieder eine merkwürdige Anomalie. Als bald erkannte man nämlich, daß um ihm immer dasselbe Gesicht ergeht und demzufolge nicht in jeder Weise rotieren kann. Beim Monde gilt besonders die Dauer der Achsendrehung mit der Zeit eines Umlaufs desselben um die Erde zusammen. Daß dies nicht möglich so ist, ist ohne weiteres einleuchtend. Sicherlich hat die verhältnismäßig große Erde den ursprünglich sehr rasen rotierenden Mond so beschleunigt, daß er zu dieser langsamen, mit der Revolutionsdauer zusammenzufallen den, Achsendrehung herabstach. Man nimmt an, daß in erster Linie die gewaltigen Flutbeschleunigungen, welche die Erde vorerst auf dem noch mit flüssigen Elementen begabten Monde hervorbrachte, die Vollendung seiner Rotation bewirken mußte. Es gilt allgemein auf der Welt eine solche, d. h. von innerer Reibung freie Flutung. Der Flutberg, durch Attraktion hervorgerufen, konnte auch auf dem Monde nicht in dem Momente entstehen, wo die Erde in ihrer Bahn schon durch den Meridian ging, sondern, infolge der Zögerlichkeit der Flutung, erst etwas später, dann ist nicht einzusehen, daß die Attraktion der Erde auf diesen Flutberg, der Mondrücken entgegensteht, somit die reine drehende Moment auf denselben so lang war, bis Kräfte aus der Revolution und Rotation der Erde einwirkten. Dasselbe Schicksal scheint nicht an die Jupitermonden, sondern auch Merkur und Venus, wo die große Sonnenwirkung ähnliches hervorbrachte, an unseren Monde zu laßen, und man wird allgemein vermessen dürfen, daß dem Zentralkörper sehr nahe Existieren sich ihre schließliche Rotation aufgeben mußten. Aber auch aus denselben Gründen wird sich die Erklärung, infolge der Anziehung von Sonne und Mond auf ihren Ge-

<sup>1</sup> Vgl. bes. seine astrois. Schrift „Galilei“. 28.

igen Teil, allmählich verlagern, und es kommt nur darauf an, ob die Existenz des Wassers länger dauert, als zur völligen Verwitterung des Bodenschwungs nötig ist, oder ob die Verlagerung drückt, damit das Wachstum eines irischen Tages noch nicht der Erde geschehen ist, wenn der Ocean (nicht Naß verlegt). Auch über das Schicksal der Erde in dieser Richtung liegen theoretische Studien von Laplace, Darwin und Hansen vor. Letzterer war auch auch, daß die Mondugel durch die geringfügige Anziehung der Erde zu einer E- oder Berggabel deformiert wurde, welche der Erde die Spitze zuzieht.

Vergleichen geologisch müssen aber endlich die Fluphänomene von bei noch kurzflüssigen großen und sehr sehr alten erhaltenen Massen, wie aus ein Beispiel das Algisystem. Dort sieht sich im ungenauen geringer Entfernung zwei rauhe Wälder im Kampf gegenüber, und die höhere Anhöhe hat es noch nicht genug, allmählich von Fluten, Deformationen und Kanalsphären ausgehen, die sich bei der Umwandlung dieser Doppelbarriere auseinander abspalten müssen oder gar ein Progenitor für das Lebensdauer zu stellen.

Die Mechanik nennt diese Durchmesser, der zwei Punkte der Oberfläche einer vollkommenen Kugel, die bei der Drehung ohne Bewegung bleiben, die Pole, miteinander verbunden, die Rotationsachse. Sie ist zugleich die Gleichgewichtslinie, d. h. ein dazwischen gruppiert sich die Masse der Körper so, daß jedes Massenstück mit einem beträchtlich dieser Achse diametral liegenden anderen Teilchen im Gleichgewicht ist. Diese Rotationsachse zeigt bei der Erde beinahe nach dem Polstern oder Wälder. Die Höhe dieses Sternes über dem Horizont eines Ortes nennt wir die Polhöhe desselben, und es ist allmählich mit seiner geographischen

Breite. Man hatte schon Bessel gefunden, daß diese Polhöhe nicht genau konstant bleibe, sondern kleinen Schwankungen unterworfen sei, welche man jetzt allgemeine Polhöhen-schwankungen nennt. Damit wäre auch die geographische Breite eines Ortes veränderlich. Es ist begreiflich, daß die Astronomen die größten Anstrengungen machten, den inneren kleinen Betrag dieser Schwankungen als sicher verstanden festzustellen. Es beschloß im Jahr 1860 die europäische Großversammlungsversammlung, zwei Beobachter an jedem 120 Längengrad voneinander entfernte Orte zu senden, um alle instrumentellen Einflüsse zu eliminieren, denn auf diese Weise müßten sie zwei gleiche, aber ungleiche Resultate erhalten. Das ist in völliger Übereinstimmung ist, und wir die Polhöhen-schwankung auf der Erde zur feststehenden Tatsache erhalten. Was aber kann die Ursache dieser ungleichen Erscheinung sein? Wie in vielen Fragen der Astronomie, sind wir auch hier bis heute bei Hypothesen stehen geblieben. Bessel schrieb bald nach seiner Entdeckung an Humboldt: „Ich denke an einen Verdrängungen des Erdkörpers, welche Einflüsse auf die Richtung der Schwerkraft haben.“ Da die Schwankungen periodischer Natur sind, so suchte man eine Erklärung in astronomischen Vorgängen, insbesondere im Absinken und Anwachsen der Eiskappen am Nord- und Südpol, ferner in den Massenveränderungen durch große Flüsse, in den Strandveränderungen der Küsten u. d. m. Auch wurden tropische Vorgänge in der Erde zum Verhängnis der momentanen Rotationsachse beigemessen. Will man die Annahme wagen, daß die Erde demnach mehrere Flände umwandeln sie sich in geologisch nicht allzu fern liegenden Vorgangsreihen bis auf den Punkt auf die Erde herabgeführt hätten, so ließen sich die gegenwärtigen Polhöhen-schwankungen leicht als der letzte Rest jener Stoffveränderungen denken. Nur

\*) Vergl. Sur la figure de la terre.

so viel scheint aus dem obigen Verlauf dieses Phänomens hervorzugehen, daß es einer Erscheinung ziemlich verwirklichter Natur sein muß, und wir wissen nun auch in dieser Frage dasjenige Besondere, kommende Constructionen zu beschaffen, darauf völlige Klarheit zu schaffen.

Zum Schluß sei noch einer Heiligkeitserscheinungen gedacht, die aus ein von der Kugelgestalt wesentlich abweichender Himmelskörper bei seiner Rotation zeigen muß. Ein Beispiel dieser Art bietet uns der kleine Planet Eros, der in kurzen Zeiträumen einer merkwürdigen Lichtwechseln zeigt. Dieser bietet für Eros nur eine Erklärung darin, daß dieser ein wirklich unregelmäßig geformter Körper ist — wohl ein Bruchstück eines größeren Planeten? — der uns während einer Schwenkung bald eine größere, bald ge-

ringer Schriftflächenode Fläche zukehrt. Jedenfalls muß aber die Möglichkeit noch bedenklichen Schwankungen unterliegen, wie es bei einem solch unregelmäßigen Himmelskörper ausfallen sein kann. Theoretisch ist die Frage natürlich in der Dissertationsschrift von G. Herglotz: „Zur Rotation des Planeten Eros“, München 1903.

So zeigen uns diese wenigen Beispiele, wie es selbst in dem scheinbar so einfachen Ansehen der Rotation, der Axenenden und Komplikationen genug gibt, und es ist nicht ausgeschlossen, daß ihre Zahl und Art noch einer weiteren Vervollständigung fähig ist. Denn auch hier scheint das an Plutarch erinnerte Wort des antiken Philosophen, das er am 21. April 1854 in einem Briefe an Humboldt richtete, zu gelten: „Die Natur hat unser Mittel ein der weit Mensch dünkt kann.“

## Die Crocker-Expedition der Licksternearte.

**E**s wurde mitgeteilt wurde, hat die Licksternearte auf Kosten des Herrn William H. Crocker eine Expedition zur Beobachtung der letzten Sonnenfinsternis des 1. Januar 1908 unternommen, über deren Ergebnisse jetzt ausführlicher berichtet wird.<sup>1)</sup>

Während dieser Finsternis zog der Beobachter nach den über den meisten Teil des großen Ozeans und bei dabei nur auf zwei bekannte kleine Inseln, die Fidschid, 780 Seemeilen nördlich von Samoa, und die bellische Fidschid, in 11° nördlicher Breite, 698 Seemeilen nordwestlich von Tahiti. Beide Inseln waren gleichmäßig schwer zu erreichen, aber auf Fidschid dauerte die Finsternis mindestens 60½ Tage und die Sonne stand dabei beträchtlich höher. Als Herr Crocker von der Wichtigkeit der Beobachtungen während dieser Sonnenfinsternis versah, erbot

er sich, die Kosten einer Beobachtungsexpedition zu bestreiten, falls ein geeigneter Weg zum Transport zu finden sei. Fidschid wird von keinem Dampfer angelaufen, nach Samoa die regelmäßigen Dampfer regelmäßig für die Expedition einen Umweg von mehreren hundert Seemeilen machen, deshalb entschied sich der Direktor der Licksternearte Herr Prof. Campbell zu einem Gesuch an die Regierung um Übernahme des Transports der Expedition. Dieses Gesuch hatte den gewünschten Erfolg und es wurde ein Schiff zur Verfügung gestellt, daß von Tahiti aus etwa 4 Wochen vor dem Termin der Finsternis die Expedition nach Fidschid bringen und 2 Tage nach der Finsternis sie wiederum nach Tahiti zu bringen sollte.

Prof. E. P. Lewis von der physikalischen Fakultät der Universität von Kalifornien wurde eingeladen, an der Expedition teilzunehmen, wegen seiner

<sup>1)</sup> Lick-Observatory, Bulletin No. 114, 115

großen Erlösung in spektroskopischen Forschungen und mit der Aussicht mittels seines großen Querspektrographen Aufnahmen des Spektrums der Korona auszuführen. Sehr wünschenswert erschien es außerdem, daß das Beobachtungsprogramm auch die Studien der Wärmestahlung der Korona mittels des Bolometers berücksichtige, wie welches zuerst bei der Finsternis von 1900 durch Prof. C. G. Abbot geschehen war. Dieser Umstand und die große Erfahrung desselben in Bolometerbeobachtungen hatten wünschenswert erschiene, daß Direktor Abbot (vom Smithson-Observatorium) ebenfalls Gegenpartei finde, die Sonnenfinsternis des 3. Januar 1908 zu beobachten. Dies wurde erreicht und beschlossen, daß neben der Lick-Expedition eine zweite vom Smithsonian-Institut organisiert werden sollte und beide die Arbeit zusammen ausführen, aber unabhängig voneinander die Finsternis beobachten sollten. Beide Expeditionen verließen San Francisco am 27. November 1907 auf dem Dampfer *Manopoa*. Die Anzahl der Teilnehmer betrug 8 mit 200 Zentner Gewicht an wissenschaftlichen Instrumenten und sonstige Ausrüstungengegenstände. Die Teilnehmer waren: Direktor Campbell und Frau, die Astronomen Pomeroy und Allen und Assistant Abbot von der Licksterwarte, Prof. Lewis vom Berkeley-Observatorium, Direktor Abbot von Washington und dessen Assistant A. F. Moore von der California-Universität. Am 4. Dezember wurde Tahiti erreicht, dort die Vorpervisierung eingeleitet und am 7. Dezember begaben die Expeditionen nach Papeete und erreichten diese am 9. Dezember, woselbst die Landung nicht ohne Schwierigkeit und Gefahr erfolgte. Ober Zögern begann die Aufrichtung der Beobachtungs- und Unterhaltungsstände, 3 in der Zeit, wenn alles Notwendige natürlich mitgebracht worden war. Die Beobachtungsinstrumente der beiden Expeditionen waren 1200 Fuß voneinander

entfernt. Außerdem fand sich, daß ein Herr Francis K. McClure von Cambridge Wells (England) auf seine Kosten auch eine Expedition zur Beobachtung der Sonnenfinsternis nach der Puna-Insel geschickte, deren Beobachtungsstand etwas entfernt von demjenigen der Amerikaner lag. Vom 20. Dezember an war das Wetter meist wollig, aber die Nöchte nach dem 25. Dezember fast ohne Ausnahme klar. Am Morgen des 3. Januar waren alle Vorbereitungen beendet und man wartete der Dinge die sich am Himmel ereignen sollten. Etwa 10 Minuten vor Beginn der Totalität schickten sich mit großer Schwindigkeit Wolken bis der Horizont dicht bedeckt war. Gerade als der Assistant an der Uhr ausrief: »Fünf Minuten bis zur Totalität« begannen ein Hagelsturm und ein sehr starker Nebel — bis auf die Erde. Aber am Schluß von 2 oder 3 Minuten nahm der Regen ab und die Wolken im Osten machten Anstalt aufzuhören und weniger als 1 Minute vor der Totalität wurde die Sonne als kleine Scheibe durch die Wolken gesehen, sogleich auch etwas Regen fiel. Aber das Aufhören nahm noch zu und 2 oder 3 Sekunden vor der Totalität fielen die letzten Tropfen. Unmittelbar nachdem die Sonne total verfinstert war, wurde die Korona durch dünne Wolken hindurch schwach sichtbar und letztere schienen fongewirrt. Während des zweiten Viertels der Totalität wurde die Wolken außerst dünn und während der letzten Hälfte war die Sonne von Wolken frei, sogleich auch etwas Dampf zu bemerken war. Es herrschte Windstille. Des 20. Instrumente, von 7 Uhr weiter bewegt, sowie die 11 Beobachter und ihre Gebläse traten prompt die vorher festgesetzte Tätigkeit an und erzielten gute Resultate. Die Dunkelheit während der Totalität war nicht so groß als bei den Finsternissen von 1896, 1899 und 1905, die Prof. Campbell ebenfalls beobachtet hatte.

Nach gung des Empfehlen der Instrumente von statten und am 4. Januar



waren dieselben nebst einem Zubehör weitgeborgen an Bord des Schiffes. In zwei Booten, die mit dem Geßel der Beobachter besetzt waren, verließen wir uns am 5. Januar 11 Uhr die Insel, um am Morgen des 7. Tahiti wieder zu erreichen. Von dort begann die Heimfahrt am 13. und nach einer stürmischen Reise lief der Dampfer am 25. durch Golden Gate nach San Francisco. Die Instrumente und die Photographien trafen Anfang Februar auf der Lokalbahn ein.

Die jetzt vorliegenden Berichte betreffen über die erhaltenen Resultate im wesentlichen folgendes: Die geographische Länge der Sonne ergab sich zu  $10^h 7^m 13^s$  W., von Greenwich mit einer Unsicherheit von  $\pm 0^s$ , die geographische Breite zu  $11^{\circ} 25' 26.83''$  nördl. mit einer Unsicherheit von  $\pm 0.37''$ . Die zweite Bestimmung ist ein zweiter Auslass der obigen Länge  $9^h 22^m 26.34''$ , die dritte  $9^h 39^m 12.34''$  mehrere Zeit von Greenwich. Die Dauer der Totalität war  $8^m$  länger und die Mitte desselben trat  $27^s$  früher ein als die Vorausberechnung ergeben hatte.

Die Nachforschung nach übrigen atmosphärischen Phänomenen war Prof. C. D. Perrine anvertraut. Es standen ihm dazu zwei Säten der vertikalen Kameras zur Verfügung, die zu dem nämlichen Zwecke schon bei der Sonnenfinsternis von 1905 gebraucht hatte. Jede derselben umfaßt einen Bogen von  $26^{\circ}$  in Länge in der Vertikalerung des Sonnenquadranten und von  $9^{\circ}$  in Breite. Die erhaltenen Platten sind gut und zeigen Sterne bis zur 8. Größe, auch mehrere Strahlen der Korona, besonders die längeren, sind sehr klar. Stärkste Sterne können mit bekannten Sternen identifiziert werden, so daß von unbekannten Planeten keine Spur zu finden ist.

Photographien der Korona mit der Floyd-Kamera wurden von Prof. Campbell erhalten. Diese Kamera mit einer Linse von 5 Zoll Öffnung mit 51 Zoll Brennweite diente dazu, die Korona

nach kleineren Stufen aufzunehmen und Bilder zu liefern, die für das Studium der äußeren und äußeren Teile derselben von Wichtigkeit sind. Es wurden acht Aufnahmen gemacht, von denen die längste 16 Sekunden dauerte. Die längere Strahlen der Korona erstrecken sich auf diesen Platten bis zu 2 Sonnen-durchmesser Entfernung. Sie sind mehr gleichförmig rings um die Sonne verteilt, während die stark innere Korona intensiver an der östlichen und westlichen Seite erscheint als in den Polargegenden der Sonne. Die Korona während der totalen Finsternis von 1905 war in dieser Beziehung gleichförmig in den äquatorialen und polaren Gegenden der Sonne. Derzeitige von 1909 erschien in der Form ähnlicher dem Aussehen der Korona zur Zeit der Sonnenfinsternis, als in der Epoche der Fleckenmaxima.

Photographien der Korona mit der 40zölligen Kamera, 6 an der Zahl, wurden von Campbell und Albrecht aufgenommen. Die erhaltenen Negative sind ausgezeichnet und der Durchmesser des Mondes auf ihnen beträgt 474 Zell. Die ersten und letzten Platten zeigen vollständig das Aussehen der Chromosphäre, sowie eine Anzahl von Protuberanzen, unter ihnen eine große Gruppe im Positionswinkel von  $214^{\circ}$  am Sonnenrande. Die Expositionszeit betrug bis zu 64 Sekunden. Die Platten mit kurzer Exposition (von 2 und 4 Sekunden) zeigen eine große Anzahl innerer Strahlen besonders in den Polargegenden der Sonne, die längsten mit längerer Exposition zeigen etwa 30 gut definierte lange Koronastrahlen. Die innere Korona erscheint an der Oberfläche der Sonne in ihrer Struktur sehr unregelmäßig und außerdem eine gewisse Region von knäueliger Gestalt ähnlich derjenigen, die während der Finsternisse von 1901 und 1905 und von 1905 in Spanien mit der Crocker-Photographie erhalten wurden.

Samuelische Beobachter, die schon bei früheren Finsternissen Erfahrungen ge-

nacht hatten, erklärten, daß dieses Mal die äußere Korona für das Auge schwächer war als damals. Prof. Perreni machte den Versuch, die photographische Helligkeit der Korona mit einem ähnlichen Apparat zu bestimmen wie bei der Finsternis von 1905 in Spanien. Die vorläufige Untersuchung der beiden erhaltenen Platten ergibt, daß das photographisch wirkende Licht fast sämtlich aus demjenigen inneren Teile der Korona stammt, der sich 1" oder 2" von der Sonnenoberfläche befindet.

Die bei den Sonnenfinsternissen von 1898, 1906 und 1915 mittels eines Apparates mit beweglicher Platte erhaltenen Spektrogramme haben ergeben, daß auf diese Weise sehr wichtige Ergebnisse erhalten werden können über die Veränderungen, welche das Spektrum der Sonnenkorona zeigt, in dem Maße, als derselbe vom Monde bedeckt oder wieder frei wird. Diese Methode wurde von Prof. Campbell mit einem dazu beschriebenen Instrumente auch bei der Finsternis von 1906 angewendet. Die erhaltenen Spektrogramme zeigen häufig von hellen Linien, welche durch Veränderungen in Helligkeit, Länge und Dicke und durch Umwandlung in dunkle Linien, je nach der Verdickung der Sonne durch den dunklen Mondrand, gegliedert.

Das Spektrum der Korona wurde von E. P. Lewis aufgenommen. Ungefähr 15 Sekunden nach Beginn der Totalität begann die Exposition der Platten und nach 2½ Minuten wurde das Bild soweit verschoben, um das zweite Flattspektrum als Vergleichsspektrum zu erhalten. Letzteres gelang meistens nur teilweise, weil die Zeit der Totalität kürzer war als rechnungsmäßig erwartet worden. Nebenstärkenreicher erschienen Spuren von drei 50-starken chromosphärischen Linien auf dem Sonnenspektrum projiziert, sowie einige abgetrennte Liniellchen, welche auf eine Projektions- und wesentliche Sonnenmasse zurückzuführen sind. Das Spektrum der Korona erscheint kontinuierlich

zwischen den Linien von der Wellenlänge 13200 bis 13100, in letzter Gegend fällt die Helligkeit stark ab, infolge der geringen Sensibilität der Platte. Hier und da in der Mitte des Ultraviolett zeigen sich sehr schwache Andeutungen eines Spektrums mit dunklen Linien, welches das andere überleuchtet und gleich breit ist wie dieses. Von den Koronalinien sind diejenigen mit der Wellenlänge 73602.5 und 13106.5 neu, eine andere 13190.1, die stärkste des ganzen Spektrums, ist bei den totalen Finsternissen von 1900, 1911 und 1905 nicht gesehen worden, während eine Anzahl anderer Linien, die bei den Finsternissen 1904 und 1911 erschienen, auf den bisherigen Aufnahmen fehlen. Diese Tatsache spricht dafür, daß das Spektrum der Korona Veränderungen unterworfen ist. Aller Wahrscheinlichkeit nach ist das kontinuierliche Spektrum der Korona größtenteils eine Folge der hohen Temperatur ihrer Materie. Beim Vergleich desselben mit dem Sonnenspektrum erscheint man zugleich, daß das Licht der Sonnenkorona viel reicher an ultravioletten Strahlen ist, wozumehr man folgern darf, daß die Korona beträchtlich weniger heiß ist als die Sonnenoberfläche, aber doch immerhin über 2000° heizgen mag.

Die Deutung der Spektrogramme, welche von der Korona erhalten wurden, ist, wie Prof. Campbell und S. Albrecth bezeugen, sehr schwierig, denn es handelt sich um eine kompliziertere Erscheinung, als man zunächst erwarten mag. Kaum einem Zweifel kann manliegen, daß das Koronenspektrum aus drei Typen — hellen Linien, kontinuierlichem Farbendeck und dunklen Linien — zusammengesetzt ist und immer ist klar, daß jeder Punkt des Spektes vor dem Fokale des Apparates Licht empfängt, durch Diffusion, von jeder Frontiersche, von jedem Punkte der unendlichen Chromosphäre und von jedem Punkte der Korona. Die gewöhnlichen Beobachter glauben, daß das wahre Spektrum der äußeren Korona



Land bezeichnet. Die dunkle Fläche im Osten (rechts) gehört dem Mare Internum an und von den drei großen Ergüssen im östlichen Teil (unten) ist 1 Archimedes, 2 Autolyon und 3 Aristilus. Der gewaltige Abfluss des Orlagos gegen das Mare Internum ist durch seine Schalen deutlich hervor-  
gehoben. Die bei heute beste Beschreibung dieser grossen Landschaft hat Möller in seiner grossen Selenographie gegeben und sie bildet die Grundlage des folgenden.

Schon die ersten Mondbeobachter, sagt er, verstanden über die gewaltige Höhe und den plötzlichen Abbruch dieses Gebirgszuges und nicht mit Unrecht haben Gabriel und Herschel hier die höchsten eigentlichen Berge der menschlichen Welt vermutet. Die Gebirgs-  
Dörfer und Lösser mögen allerdings höher sein, sie liegen aber am Meeresrande, im Gegenstrich, der einer grossen Untersuchung nicht genügt und ihr Profil ist uns noch nicht bekannt. Das Apenninergebirge dagegen liegt fast auf der Höhe der uns zugewandeten Meeresküste und unter günstigen Umständen können die Schalen seiner Gipfel bis zu einer Entfernung von 15 deutschen Meilen (also in ebenso grosser Entfernung von der Lohgrube) können aber noch seine Berggipfel in der Nachtzeit noch beobachtet werden. Zur Zeit des ersten Vortrags sieht hier eine lange Reihe schüsselförmiger Bergstöcke in die Mondnacht hinein, die selbst ein gutes Auge ohne Bewaffnung noch einzeln wahrnimmt und es ist mir gewiss zu versichern, daß es der Anblick dieser Gegend war, der das Alter auf die Vorstellung von Bergen und Tälern des Mondes brachte. Fast nichts ist die Menge der Berggipfel, zwischen Gipfel und Hügel, welche das Hochland bedecken und selbst die stärksten Augenbewaffnung und dem unbeweglichen Auge dürfte hier eine so reichhaltige Darstellung nicht gelingen. Möllers Karte enthält westlich vom

Cosmos (No 8 der Tafel) gegen 160 Gipfel, allein 2000 bis 3000 werden zusammengezählt, wenn man alles darstellbar wollte, was hier unter günstigen Umständen auch und noch gesehen werden kann. Ein Rosenkranz und die schlangenförmige spezifische Beobachtung wäre erforderlich, um an das bessere, detaillierter Gebirgskarten unsere Erde nachkommendes Bild dieser Mondgegend versetzen zu bringen. Schätzend ist den Gebirgen kaum vier Tage in jedem Monat, je nach ihrer selbst 24 Stunden vor dem Vollbruche noch Spuren des nach Osten fließenden Schattens des Hochgebirges.

Johann Schmidt hat in seiner grossen Mondkarte das Gebirge der Apenninen in doppelter Mäasse der Mollerschen Karte dargestellt und gibt viel Detail; wie sehr aber seine Karte gerade bezüglich des deutschen Abbruchs des Hochlandes verbesserungsbefähigt ist, zeigt eine Vergleichung derselben mit der photographischen Aufnahme. Diese letztere enthält sehr viel weniger Detail als die Schmidtsche Karte und übertrifft nicht was man nicht auch mit einem zweifachen Vergrösserungsdreieck zu sehen vermöchte, dafür aber ist die Darstellung frei von unnütigen Fehlern und gibt den Zusammenhang der Bergmassen wie er wirklich ist.

Zu den aussergewöhnlichen Objekten auf dem Hochlande gehört der nur 1,5 Meilen im Durchmesser haltende aber hohe und sehr hohe Krater Aristos (7). Im Monden denselben Platz vom Hochlande ein trager und hoher Rücken gegen Norden, dem Scheller den Namen Hachey (8) beilegt hat und der nach Möllers Messungen bis zu 14200 pariser Fuss über das Mare Internum anhebt und sehr hell ist. Westwärts hin ist der Apennin auf und ist durch eine breite dunkle Fläche des Mare Sordidum mit dem Mare Internum verbunden, es sieht gleichsam eine breite Strasse aus dem einen in das andere. Cosmos (8) ist ein Ringgebirge von 2,5 Meilen im Durchmesser, liegt in

einer der höchsten Gegenden des Plateaus und senkt sich zu einer beträchtlichen, jedenfalls mehr als 1100 Fuß großen Tiefe herab. Das Ringgebirge Mantus (9), oben an der südlichen Begrenzung der Abkürzung, hat 55 Meilen im Durchmesser und erhebt sich mit seinem Walle bis zu 2800 Fuß über die umgebende Tiefe des Mars Vapores. Der Krater A liegt dicht neben einem ziemlich steilen Berge, ein anderer Krater B, auf einem niedrigen Gebirgszuge, und zwischen beiden erstreckt sich eine dunkele, ohne Einbeziehung.

Der mittlere Teil der Apenninen zieht sich vom Ocean bis zum schnell abfallenden Cap Hyggens (10). Dem Nordrand lagert an dem hohen Vorgebirge Beadley (6), das sich nach Wallers Meßungen über 12000 Fuß hoch erhebt. Er fällt nach West ziemlich steil ab, nach Osten aber sehr steil ab und mit bläulicher Steinfarbe zeigt der Rand nach Südost hin. Hyggens (10) bildet einen aus der Hauptmasse des Apennin nach abwärtsgehenden Höhenzug, auf dessen höchsten Gipfel ein sehr schwer schließbarer Krater liegt. Die höchsten Spitzen steigen hier bis zu 14000 Fuß über das Mars Indurum an. Die prachtvolle Klarheit, besetzt Mäler, mit der dieser ganze Standort zur Zeit des ersten Visites in einem technischen Fernrohr sich darstellt, überbietet jede Beschreibung. Unzählige Lichtpunkte, eine immer leiser als die andere steigen aus der schwarzen Mondnacht empor und die Szene verändert sich unter den Augen des Beobachters, indem stets neue Punkte sichtbar werden, während andere nachlassen und sich mit beschatteten zu langen, glänzenden Rücken verringern. Marco Polo (11) ist eine fast nur im abnehmenden Monde gut sichtbare bedeutende Vorstufung, deren im Hochlande eines selbständigen Ringgebirges, die weisse Tal, in das von allen Seiten her roth und schwarze Gebirgspitzer wie in einem Kessel zu rücken. Der östliche Teil

des Hochlandes erstreckt sich von Hyggens A bis Wolf (12). Dort stehen auf hoher Basis zwei Mäse wenig zusammenhängender Rücken, die gegen Nordosten hin steil zu der dunklen Fläche des Mars Asinum abfallen. Der Nordrand, der sich in Hyggens A nach fast 12000 Fuß hoch über das Mars Indurum erhebt, verliert weiter gegen Südosten hin an Steilheit und Höhe, doch hat er auch an den niedrigsten Punkten noch 6000 Fuß Erhebung auf die schärfste Gipfelspitze, die sich von Hyggens A gegen Wolf (12) hinzieht, gewahrt, wobei der bei Hyggens y anfangenden, in 4 Meilen Entfernung vom dunklen Marsboden sich erhebenden und dem Apenninenabhang parallel verlaufenden Kette eine schiefen Abfall. Diese kleine Kette hat bei y 1200 Fuß Höhe über dem Mars und ihr zur Seite strecken einige noch niedrigere Ketten.

Wenden wir uns jetzt zu dem auf der Tafel dargestellt vertheilten Teile des Mars Indurum. Wir stellen hier im südlichen Teile, mitten in der dunklen Fläche des Mars auf dem merklichen Bergzug y, der antiken heile Krater trägt, die aber nur bis zu 1200 Fuß Höhe haben können, nach der Walthöhe hin, besonders im westlichen Teile, nur unbedeutlich von. Mehrere sehr niedrige Bergzüge stehen hier durch das Mars in der Richtung auf die Apenninen hin. Von den großen Ringgebirgen tritt hier vor allem Asinomedes (1) hervor. Es hat 11,5 Meilen im Durchmesser und ist einer der schönsten, regelmäßigsten und am weitesten ostwärts seiner Art. Die runde, gegen 80 Quadratmeilen umfassende Fläche gewinnt das Ansehen einer vollkommenen Ebene, obgleich die Umstände es sehr günstig für die Wahrnehmung kleiner Bergzüge und Hügel angestrichen wurden müssen. Nicht dem Vorstehenden sieht man, daß diese kleine Fläche durch fast parallel laufende Streifen in sieben im Helligkeit angeordnete Zonen getheilt wird, von denen beson-

den die nördliche Zone schwer zu erkennen ist. Da, wo die hellen Zonen des Ringgebirges brechen, ist diese ebenfalls hell, teilweise auch höher als an andern Punkten. Jedoch ist auch diese größere Höhe, verglichen mit der Größe des Ringgebirges, nicht sehr beträchtlich. Die untere Fläche ist absolut wie relativ nicht bedeutend vertieft (höchstens 6000 Fuß) und die Mure höherem liegt nur etwa 600 Fuß höher als diese. Der Abfall nach unten scheint aber erhebliche Abstände und auch nur mäßig schnell zu sein, nach außen aber steigt nach einer sehr ausgeprägten Terrassenstufe. Lange Parallel-Rücken, ebenso wie der Hauptwall nachlich mit kleinen Gipfeln besetzt, schwingen sich dem Ringgebirge an, die großartige Denudation, mit der sie sich beim Auf- und Untergange der Sonne darstellen, ist starrsenkrecht. Neben und zwischen diesen Rücken streichen kleinere Anstöße hin, so daß sich mehrere Täler der verschiedensten Gestalt und Größe bilden, die jedoch sämtlich weit ansteigen und deren Schalen sich schon 24 Stunden nach Sonnenaufgang unserer Aufblik ganz entziehen. Im Vollmond hat Archimedes ein etwas stränkendes Aussehen und bei weniger günstiger Luftbeschaffenheit ist er dem nur mit Mühe zu finden.

Die Gegend südlich von Archimedes zeigt statt einzelner Leuchtanteile auf dunklen Grunde einen hellen Grund von grauer Fläche unterbrochen und ein labyrinthisches Spiel von Ringen verläuft sich weiter. Doch selbst die höchsten dörchen und kaum mit unsern Harn- und Ringgebirgsgruppen zu vergleichen. Der Ring, welcher auf seinem Hauptgipfel den Krater E trägt, liegt 1700 Fuß über der Seehöhe Umgebung. Die erste Südgruppe des halbkreisförmigen Berges A ist hell und erreicht 3000 Fuß Höhe. Solcher hellen Berge kann man hier im Vollmond auch viele wahrnehmen, während andere wiederum von ihrer Umgebung nicht zu

unterscheiden sind. Eine lange Rille tritt bei a aus unter Ringgeschicht, die am Walle des Archimedes entspringt, hervor und zieht, schwach gebogen und in ungleicher Breite, zwischen von Hügeln begleitet, nach einer andern A, welche rechtswärtig auf sie trifft aber noch schwerer als jene zu erkennen ist, auch einige Male durch jeder unter? Berge Hügeln. Die beiden Rillen sind in der phlogographischen Aufnahme nur schwach und verwaschen angedeutet. Mit scharfen Fingerringen von etwa 5 Zoll Öffnung darüber, findet man unter günstigen Beleuchtungsverhältnissen, daß hier noch verschiedene andere Rillen vorhanden sind, darunter auch solche, welche direkt am Abhänge des Apenninplanus hinstehen.

Der Ringgebirge Antioleus (Z) hat 5 Meilen im Durchmesser und ist fast ebenso hell als Antioleus mit dem es in jeder Beziehung auffallende Ähnlichkeit besitzt. Der höchste Rand erhebt sich 5400, der westliche 7000 Fuß über die Tiefe und letzterer bei c 4500 Fuß über der äußeren Fläche. Der Zentralberg ist schwach und kaum höher als die Fläche. Der Wall ist merklich hell und breit, nach trägt er mehrere Gipfel. Hügeln ziehen nach allen Seiten von ihm aus und um ihn herum, ganz wie beim Antioleus, während sich das ganze Gebirge im Vollmond nicht so verwaschen zeigt als jene.

Archimedes (3) ist durch Größe (2.5 Meilen im Durchmesser), Tiefe und günstige Lage ein sehr ungewöhnliches Objekt. Sein Zentralgebirge besteht aus mehreren niedrigen Berggipfeln, der Hauptwall erhebt sich 4000, der noch spätere südlich bei a 10500 Fuß über die untere Tiefe, doch treten die Ungleichheiten seines Rückens wenig hervor. Im Norden und Süden schneidet der Wall niedriger zu sein. Nach allen Richtungen ziehen von ihm Berggipfel in gleicher Richtung in hoher Betrachtung sieht man von ihm gegen Westen, Nordwesten und Norden nicht

reiche Lichtstreifen über dem dunklen Grunde, andere erstreckt in das helle leuchtende Meer vorwärts. An einigen Stellen fallen diese Streifen mit der Richtung einer Bergkette zusammen, an den meisten Stellen aber in dem nicht der Fall.

Westlich neben Antiopeus und Anaktus sieht man auf der Abbildung eine verklärte Berglandschaft. Sie bildet den südlichsten Teil des Caecus in der dunklen Fläche des Mars. Sie ist als Bereich der Lichtfleck L. des Komet Linné. Derselbe hatte nach Mödler Mannagen 14 Noten im Durchmesser, war im Vollmonde nicht ein verwaschener Lichtfleck, ist aber, wie Julius Schmidt im Oktober 1866

nur bemerkt, auch bei schräger Beleuchtung nicht mehr in der hellen Kometenflut zu sehen. Schmidt schloß daraus, daß beim Linné vor Mödler Zeit eine Verkleinerung stattgefunden habe, ein Schluß, dem jeder wirkliche Kenner des Mondes unbedingt beipflichten muß. Der Komet 4 hat den Namen Sulpisius Galus, ist hell und ist, sitzt nach außen nur niedrige Umrandung und ist östlich von der Bergkette im Südost, das den Namen Hannu Hülsgubrow. Zwischen diesen und Sulpisius Galus zieht eine Kette durch das Meer nahe dem Gabelpunkt gegen Nordosten hin. Sie ist auf der vorliegenden Mondphotographie nur matt und verwaschen angedeutet.

## Einfache Methode die Zeit des Durchgangs der Sonne durch den Meridian mit einer Fehlergrenze von weniger als einer Sekunde zu bestimmen.

Von Dr. med. Theor. Stenbeck in Stockholm

**E**ben man in der sonnenbeschienenen Wand eines dunklen Zimmers ein kleines Loch angebracht hat, so zeigt sich im Zimmer die Sonnenbild, dessen Größe von der Entfernung von diesem abhängt und welches sich mit derselben Winkelgeschwindigkeit wie die Sonne bewegt, sich also im ruhigen Mittag gerade im Norden befindet. Dieses umgekehrte Bild bewegt sich schon bei dem Abstand von 3 bis 4 m (also in einem gewöhnlichen Zimmer) so schnell und hat eine so schnelle Umdrehung, daß man seine Passage durch einen im Meridian gegebenen Faden nicht genau beobachten kann.

Nah hinter und unter diesem Faden setzt man einen Schirm und beobachtet den Augenblick, wenn der Faden bei der Passage in das Sonnenbild und bei der Passage aus demselben einen Schatten wirft, das Mittel von diesen beiden Zeiten ist natürlich der Zeitpunkt

in welchem das Zentrum der Sonne den Faden passiert.

Da diese Zeit mit derjenigen, wenn die Sonne den Meridian passiert, 4 h dem wahren Mittag, zusammenfällt, so kann man leicht mit Hilfe der Zeitgleichung die Zeit des wahren Mittags berechnen und erkennen, wieviel die Uhr vor oder nach geht. Sollte der Faden nicht gerade in nördlicher Richtung gespannt sein, so macht dies nichts aus, denn bei so geringen Abweichungen wird die Abweichung der Zeit die gleiche.

Dies ist alles!

Nur einige kleine Vorrichtungen sind noch zu erwähnen.

Das kleine Bildchen, welches unterhalb unter dem Loch platziert werden soll und auf welche man den Faden, der nach Norden gespannt werden soll (oder die Fäden, ich gebrauche 2), einstellt, muß genau eingezeichnet werden und zwar so tief wie möglich, damit

man größten Distanz zwischen dem Loch und dem Faden bekommt. Das dem andern Ozen sind in der ausgeglichenen Wind eingeschneilt, und zwar annähernd so hoch wie das Loch, damit vorwärts das Sonnenbild nicht höher steigen kann als die Fäden sitzen, anderseits der Abstand der Fäden vom Loch so groß wie möglich wird. Mein Zimmer ist ca. 4,5 m tief und der horizontale Abstand zwischen den drei Ozen, die an der östlichen Wand eingeschneilt sind, ist ca. 1 cm. In diese Ozen habe ich je eine kleine Kerbe gebohrt, damit die Fäden sich gar nicht verschieben können.

Die Fäden werden einer nach dem andern durch ihre resp. Ozen eingeführt und durch die Gewicht von ein paar barometer Ozen gespannt. Darauf paßt man sie in ihre resp. Kerben ein und stellt ruhig nach unten, wobei durch das Gewicht und die Festheit der Spannung beobachtet wird.

(Auf diesem Boden oder dgl., wo die Anwendung nicht jemandem von aufgewendet werden muß, ist es auch al-

facher, dort bleibt alles unberührt.) Das Observatorium, da ich gebraucht habe, ist ganz einfach eine Taschenuhr, obwohl sehr gut, kann sie sich natürlich doch nicht mit einem Chronometer messen. Da aber die Zeit, in welcher ich meine Observations gemacht habe, höchstaussergewöhnlichen von derjenigen, wo der Zirkel läuft, differiert, und da ich meine Uhr immer um 7,9 Uhr morgens aufstellte, so spielen die Verschieben im Gange der Uhr keine Rolle.

Ich werde mir jetzt erlauben meine Observationen, welche ich von dem 27. März 1897 (dem ersten Tag wo ich nach einigen Vorversuchen die Passage des Sonnenbildes durch die drei Fäden beobachtete) bis September 1897 gemacht habe, mitzuteilen. Ich habe alle während dieser Zeit von mir gemachten Observationen aufgenommen.

Leider ist es mir nicht vergönnt meine Beobachtungen hier im Detail zu veröffentlichen, vielmehr muß ich es daher bescheiden lassen die Resultate derselben kurz wiedergeben:

					Berechnete Zeit		Beobacht.	
					m	s	m	s
	1897 März	27	.	.	0	55,8	0	57,8
II	"	28	.	.	0	14,5	0	14
III	"	29	.	.	0	14,4	0	13
IV	"	31	.	.	0	9,5	0	9,5
V	April	3	.	.	0	10	0	30
VI	"	3	.	.	0	10,2	0	30
VII	"	10	.	.	50	52,8	50	53
VIII	Sept	12	.	.	50	51,5	50	53
IX	"	18	.	.	50	48,6	50	49,5
X	"	19	.	.	50	50,7	—	—
XI	"	19	.	.	50	50,6	50	50,5
XII	"	20	.	.	50	50,7	50	52

Die selbstbestimmten Zeitdifferenzen, die an ein paar Stellen vorkommen, sind extremst gering. Auch lassen sich derselben zum Teil daraus anschließen, daß die Signalleuchte in der alten Navigationskarte als Sechsholme gar nicht richtig dargestellt waren (in der neuen Navigationskarte und die Welt kennt).

Die aufgeführten 12 Versuche sind, wie ich speziell hervorheben möchte,

keine Auslese, sondern es sind die sämtlichen Versuche, die ich während dieser Zeit gemacht habe; sie scheinen mir daher zu Genüge zu beweisen, daß man auf diese Weise, selbst ohne Instrumente, die wahre Zeit bis auf die Sekunde bestimmen kann. Mit einem großen Zirkel, bei direktem Sonnenstrahl zum Lichte, d. h. ohne die Fernrohrscheibe; mit mehreren Fäden und bei zahlreicher Empassung derselben



in den Meridian, mit Chronometer statt Taschenuhr, sowie unter Anwendung der Photographie (die hier ganz besonders angebracht ist), wird man natürlich noch bessere Resultate erzielen.

Zum Schluß möchte ich dem Vorsteher der k. k. k. Navigationsschule,

Herrn M. F. v. Kressatyna, öffentlich meinen Dank aussprechen dafür, daß er mich Hülfe der Freundschaft leiste mir insofern die von ihm bestrichene Zeit zurverfüge, wenn ich verhindert war den Zeitball zu beobachten.

## Die Tätigkeit der Pariser Sternwarte im Jahre 1907.

**D**er Direktor der Pariser Sternwarte, M. B. Baillaud, hat dem Verwaltungsrat derselben den Jahresbericht für 1907 vorgelegt. Wir entnehmen demselben folgendes:

Zunächst erwähnt der Bericht das am 15. Oktober erfolgte Tod des seitherigen Direktors Loewy, der dem Observatorien als Nachfolger Tisserand seit 1896 versah. Dann folgt der summarische Bericht über die Meridianbeobachtungen der Sonne, des Mondes, der inneren Planeten und der Zirkumpolaren, die ohne Unterbrechung während des ganzen Jahres 1907 fortgeführt wurden, trotz der im ganzen recht ungünstigen Witterung. Der große Meridiankreis diente zur Bestimmung der Fundamentalkreise für die photographische Himmelskarte, außerdem zu Ortsbestimmungen des Mondes und der großen Planeten. Der Meridiankreis im Garten des Observatoriums hat sehr wertvolle Verbesserungen erhalten und die neuen neuen Registrierungen erreichen eine ungeheure Präzision. Das große Äquatorial wurde wie früher zu photographischen Aufnahmen des Mondes benutzt, was denen die 10. Lektion des großen photographischen Atlas des Mondes zusammengestellt wurde. Außerdem wurden an diesem Instrumente Oberflächenbeobachtungen des Mondes angestellt, um gewisse Gegenden des Mondes genauer kennen zu lernen als dies durch photographische Aufnahmen derselben zu erreichen ist, besonders gilt dies vom Verlauf mehrerer Höhen.

Von besonderem Interesse sind die photometrischen Beobachtungen der Fixsterne, mit denen sich M. Nordmann beschäftigt und wobei ein særordentlich neues Photometer benutzt wurde. Es ergab sich ferner die Wahrscheinlichkeit, daß das Sternensicht beim Durchleiten des Lichtstrahles eine merkliche Dispersion erfährt. Die Helligkeitsänderungen von 11. grade wurden für verschiedene Spektrallinien sowie Licht untersucht. Es fand sich, daß der größte Unterschied zwischen dem Maximum und Minimum der Helligkeit für die roten Strahlen des Spektrums 0.66, für die grünen 0.64, für die blauen 1.34 Größenklassen beträgt. Bei den Veränderlichen  $\beta$  Cephei ist dieser Helligkeitsunterschied für die roten Strahlen 0.63, für die grünen 0.79 und für die blauen 1.16 Größenklassen. Auch die Gestalten der Lebkuchen bei der Sonne und für die verschiedenen farbigen Strahlen ihres Spektrums verzeichnet.

Das seit Ende 1906 am großen Äquatorial eingebrachte Sternspektroskop hat auch mehrere Verbesserungen erhalten und gestattet die Bestimmung von drei verschiedenen Dispersionen. Es dient zur Ermittlung der Rotationsgeschwindigkeiten heller Sterne, wobei 40 Aufnahmen erhalten wurden. Nach der gewöhnlichen Erfahrung war eine Expositionszeit von 45 Minuten erforderlich, um bei guten Fokussieren des Spektrums des Lichtes zu erhalten, oft jedoch mußte diese Dauer erheblich verlängert werden.

Was die photographische Plattenarbeit anbelangt, so wurden am photographischen Kabinett, der dafür bestimmt ist, 55 Platten erstellt, jede mit drei Expositionen von 30 Sekunden. Die Karten erhalten die Nummer nur 14. Die Abzüge auf Papier wurden sorgfältig mit der

Gegenplatte verglichen. Endlich wurde die Anweisung der Platten zur Herstellung des Stereokarts fortgesetzt. Der Stab des Observatoriums bestand außer ihm am 3. Oktober 1907 von Professor Direktor Loewy aus 10 Astronomen und Hilfsbediensteten.

## Vermischte Nachrichten.

**Ringförmige Sonnenfleckenränder** am 23. Dezember. Dieses Ereignis beginnt auf der Erde am 23. Dezember 19<sup>h</sup> 5,8<sup>m</sup> oberhalb M. E. Z., die ringförmige Phase 11<sup>h</sup> 11,5<sup>m</sup>, das Ende der ringförmigen Phase 2<sup>h</sup> 17,6<sup>m</sup> nach, das Ende der Finsternis überhaupt 2<sup>h</sup> 22,2<sup>m</sup>. Diese Finsternis ist bei uns nicht sichtbar, sie kann in Südamerika, außer im nordwestlichen Teil desselben, freigelegt in Südchina und Madagaskar, sowie im südlichen Teil der Afrikanischen Kontinent und in den nördlichen Polargegenden gesehen werden.

**Durchgang des Mondes durch den Halbschatten der Erde** in der Nacht vom 7. zum 8. Dezember durchschneidet der Mond auf seinem Laufe um die Erde den Halbschatten der letzten. Es ist dies bekanntlich derjenige Teil des Strahles, der aus dem Kernstrahl, welcher nach Lichtstrahlen von dem Teil der Sonne besteht und der um so dunkler ist, je näher dieser Teil dem Kernstrahl selbst liegt. Ein Auge auf dem Monde sieht, wenn es sich im Kernstrahl der Erde befindet, eine totale Sonnenfinsternis, wenn es dagegen vom Halbschatten der Erde getroffen wird, eine partielle Sonnenfinsternis. Der Eintritt des Mondes in den Halbschatten ist keinesfalls wissenschaftlich wahrnehmbar und in welchem Grade die Mondscheibe während des Durchgangs durch denselben in Helligkeit abnimmt ist nicht mit Sicherheit wissen zu können.

Was die bevorstehende Erscheinung anbelangt, so findet die Berührung der Mondscheibe mit dem Halbschatten nach mittelenösterreichischer Zeit statt am 7. Dezember 19<sup>h</sup> 30,2<sup>m</sup>, die Mitte der Finsternis 18<sup>h</sup> 55,1<sup>m</sup>, das Ende am 8. Dezember früh 1<sup>h</sup> 12<sup>m</sup>. Die erste Berührung mit dem Halbschatten tritt am 38<sup>h</sup> vom nördlichsten Punkt der Mondscheibe, die letzte 385<sup>h</sup> gegen Süden.

**Der Glanz des Planeten Venus.** Den wahren Glanz des Planeten Venus liest man meist auf das Vorhandensein von Wolken in der Atmosphäre dieses Planeten zurück und stimmt daher übereinstimmend auch das Vorhandensein von Meeren auf diesem Planeten an. Der englische Beobachter Marshall entwickelt jetzt in einem heftigen Aufsatz der Wochenschrift „English Mechanic“ neue Anschauungen, indem er die bisherige Anschauung für verfehlt hält. Von großer Bedeutung für die gesamte Wissenschaft von diesem Planeten ist die Beantwortung der Frage, in welcher Zeit er sich um seine Achse dreht, und diese wichtige Forderung ist bisher bis auf den heutigen Tag noch nicht in befriedigender Weise gelöst worden. Eine Gruppe von Astronomen vertritt die Ansicht, daß die Venuszeit ungefähr die gleiche Länge habe wie die Erdentag, nämlich beinahe 24 Stunden, eine andere Gruppe hält es für mehr wahrscheinlich, daß die Venuszeit eine viel größere Länge besitze, nämlich eine

solche von 226 Erdentagen. Außerdem hat der italienische Astronom Bianchini um das Jahr 1727 mit einem allerdings unachselhaften Fernrohr Beobachtungen angestellt, die ihn die Umdrehungszeit der Venus von 24 Tagen annehmen ließen. Er hat dabei mehrere Flecke auf der Oberfläche des Planeten entdeckt, die er für Monde hielt. Dem folgte gegen Ende des 18. Jahrhunderts Untersuchungen von Hirschel und Scheller, die zeigen, wie schwierig die Forschung nach der Oberflächenbeschaffenheit eines Planeten ist. Während nämlich Schröter an den sogenannten Hürnen der Venus, die er bei Schellern zeigt, hohe Berge zu sehen glaubte, bekannte Hirschel, daß er mit seinen Instrumenten überhaupt keine dauernden Flecken oder andern Unregelmäßigkeiten auf der Oberfläche der Venus wahrnehmen vermochte. Daraus folgte Hirschel, daß der Planet von einer ziemlich dichten Atmosphäre umgeben sein müsse und daß die von ihm hin und wieder gesehenen veränderlichen Flecken als Wolkenbildungen aufgefaßt werden müßten.

Auch die Beobachtungsmittel der Neuzeit haben die Vermutung, daß die Venus von einer dichten Atmosphäre umgeben ist, in den Bereich größerer Wahrscheinlichkeit gebracht. Dr. Mädler ist nun über allem das Auftritten von Wolken auf der Venus gelaufen und behauptet vielmehr, daß die Oberfläche des Planeten nicht das gleiche Aussehen zeigt und daß die als Festländer betrachtete Unmasse immer in demselben reinen Glanz erstrahlt. Wenn Wolken vorhanden, so würden sich auch auf der Venus ebenso wie auf der Erde und auch auf dem Merkur gewisse Dämmererscheinungen beim Aufgang und Untergang der Sonne in einer rötlichen Färbung wahrnehmen lassen. Statt dessen behält sie stets ihren weißen Glanz, der beim Zurückbleiben nur in ein farbloses Grau abgedämpft wird. Daraus

zieht er den ferneren Schluß, daß die Oberfläche der Venus eine vollkommen glatte sein müsse, weil die Strahlen der Sonne, die diesen Planeten aus einer so geringen Entfernung treffen als die Erde, durch nichts in ihrer Wirkung abgeschwächt werden. Gleiches Schlußfolgerungen laßt man gemäß sehr viel Unsichern ist.)

**Die Bahn des 8. Jupitermondes.** Wie bereits an dieser Stelle eingetragt worden haben die englischen Astronomen P. M. Cowell und A. D. Cromwell eine Bahnberechnung des 8. Jupitermondes angestellt, die sich auf die Beobachtungen von Ende Januar bis April stützt und zu einem sehr merkwürdigen Ergebnisse führte. Jetzt ist eine flüchtige Beschreibung veröffentlicht worden<sup>1)</sup>, welche durch die Astronomen R. T. Crawford und W. F. Meyer von der Lick-Sternwarte ausgefüllt worden ist. Dasselbe beruht auf den Beobachtungen, von denen der erste Januar 27 in Greenwich, die beiden andern März 8 und April 29 auf der Lick-Sternwarte erhalten wurden. Es wurde dabei vorausgesetzt, daß Jupiter der Zentralkörper für diesen Trabanten und die Sonne der Hauptstörungskörper der Bewegung desselben ist. Die Berechnung ergibt dann die Bahn, in welcher sich der Trabant um 8. März unter Einwirkung der Sonnenstörung bewegen mußte, die sogenannte oskulare Bahn. Die Rechnungsmethode führt auf zwei elliptische Bahnen, eine mit direkter, die andere mit retrograder Bewegung des Trabanten, letztere ist die wahrscheinlichere. Als Unbekannt ergibt sich 25452 Jahre, als halbe große Achse der Bahn 8 (3471. Halbmesser der Erde), als Exzentrizität 0.0365.

Der Komet Tempel-Swift, dessen Wiederkehr im vorigen Jahre das Brenn angeht wurde, trat nach der Berechnung der bis zum 7. Oktober vorhergehenden Beobachtungen durch

<sup>1)</sup> Lick Observatory Bulletin No. XII.

E. Maunder's) eine Verlangsamung seiner Bewegung, infolge desselben ist die Zeit des Perihels um 3644 Tage später als der Vorausberechnung nach Zeit des letzten Beobachtens im Jahre 1891 hat der Komet in seiner Bewegung allerdings beträchtliche Störungen erlitten, doch glaubt E. Maunder nicht, daß die Ungenauigkeit der Störungsrechnungen die obige Differenz von mehr als  $3\frac{1}{2}$  Tagen erklären könne. Von 1880 bis 1891 waren die Störungen, die der Komet in seiner Bewegung erlitt, nur unbedeutend und trotzdem wurde auch durch der Beobachter Bossert eine Verlangsamung der Bewegung annehmen, um die Beobachtungen von 1891 darzustellen. Genau die gleiche Verlangsamung ergibt sich nunmehr auch für die darauffolgende Erscheinung des Kometen. Daraus würde folgen, daß der Komet sich von der Sonne entfernt, sich also umgekehrt verhält wie der Eachebe-Komet.

Veränderungen in der Helligkeit des Kometen 1890e sind in den Monaten September und Oktober von verschiedenen Beobachtern wahrgenommen worden. Auch die Schwefelringe hat sich sehr stark verändert. So schreibt Prof. Hartwig am 12. Oktober in den Astronomischen Nachrichten:

«Cluster 2 und 4 wachsen sehr durchsichtiger Luft, kamen durch das Mondlicht so sehr heraus, daß der Komet recht schwach und sein Schweif war nicht mehr selbst nur in seiner Richtung erkennbar. Dagegen war zu dem folgenden Abend, am 5. und 6. Oktober der Schweif trotz viel heller gewordenen Mondlichts auf 40 Bogensekunden Länge in der Breite von 2 bis 3 Minuten in  $189^\circ$  Positionswinkel deutlich zu sehen. Ostern abend, Oktober 11, war bei hellem Mondlicht der Schweif wieder auf eine Länge von 40 Bogensekunden unter

einem  $90^\circ$  Positionswinkel zu erkennen, weniger gut als am 5. Oktober. Es scheint der Schweif von weißlichen, durch wellichte perovische Ausströmungen gestreuter Helligkeit zu sein, und dadurch erklären sich vielleicht die Widersprüche der ersten Meldungen über die physischen Verhältnisse, nach denen zuerst ein deutlich langer Schweif, dann Schweiflosigkeit, dann Sichtbarkeit des Kometen mit bloßem Auge und wieder nur teleskopische Erkennbarkeit berichtet wurde. Der Durchmesser des rund erscheinenden Kopfes, der auch der Mitte entspricht, aber ohne Kern erscheint, betrug etwa 3 Minuten, die Helligkeit der Verflechtung war 10. Größe.

W. Waidler hat auf seiner Privatsternwarte zu Jena Ortsbestimmungen dieses Kometen ausgeführt und dabei auch dessen Aussehen, Schweifbildung usw., an seinem heutigen Refektorium notiert. Er macht darüber folgende Mittheilungen:)

1908 Sept. 15. Komet glänzende Erscheinung. Kern deutlich, Kern, Kopf auch innen allmählich in Helligkeit zunehmend. Schweif ziemlich grade,  $40^\circ$  lang, war schwach sich ausbreitend.

Sept. 18. Komet rund, allmählich verbleichend, kein deutlicher Kern. Schweifspitze  $5^\circ$  bis  $10^\circ$  lang. Nebelhülle hinter dem Kopf ganz vollständig, wie abgebläht oder wie ein glühender Ring über den Schweif sich legendes Schleier.

Sept. 18. Ähnlich wie gestern, Rand,  $10^\circ$  (?) Durchmesser, Zentrum schwach, Schweif  $5^\circ$  bis  $6^\circ$  (?)

Sept. 20. Wieder ein längerer Schweif, etwas über  $1^\circ$  lang.

Sept. 21. Schweif kaum sichtbar, vielleicht trübe Bewölkung.

Sept. 21. Schweif  $30^\circ$ , flüchtig.

Sept. 26. Kopf hell, Schweif ausbreitend,  $40^\circ$  lang.

Oct. 1. Komet nach Nebelstern,

) Astron. Nachr. Nr. 4277

) Astron. Nachr. Nr. 4283

kein Schwefel, zu schwach für Messung Capricorn.

Obj. 4. Komet ziemlich hell, trotz Mondschleier. Schwefel 30.

Obj. 5. Komet schwach, Schwefel 30.

Obj. 6. Beob. schwierig wegen Lichtschwäche.

Obj. 9. Komet gesehen, nicht beobachtet. Mondschleier stört.

Obj. 10. Ein Sternchen in der Mitte des Kopfes erschwert die Beobachtungen, die deshalb abgebrochen wurden.

Obj. 13. Auch diesmal die Sternchen in der Nebelhülle. Schwefel 2<sup>4</sup>. In diesen Tagen war der Kopf von einer ziemlich leeren Hülle umgeben, die hinter dem Kopf abfiel. Der Schwefel entspringt aus dem Kern, was an der Ausmündung besonders schmal ist als der Kern selbst und verbreitete sich erst in einiger Entfernung mehr und mehr (Vergrößerung 48). Krönung oder Knickung ist nie richtig aufgeföhrt.

Obj. 14. Schwefel 25<sup>4</sup>.

Obj. 15. Schwefel kann zu sehen.

Der Doppelstern (Ursa major).

Bei Berechnung der Bahn dieses schönen Doppelsterns fand 1905 N. E. Nielsen, daß in dem Bewegungszustand dieses Systems eine Störung vorhanden ist, deren Periode 140 Jahr beträgt. Dies deutete auf einen unsichtbaren Doppelst. Jetzt hat nun W. H. Wright von der Lick-Sternwarte gefunden, daß der Hauptstern des Systems ein spektroskopischer Doppelstern ist und daß der 17 bis Juni 1906 erhaltenen Position mit Helligkeitsänderungen ausgeregt, deren Periode 1.5 Jahr beträgt. Eine genauere Untersuchung des Sterns wird auf der Lick-Sternwarte angestellt.

Das Kopernikus-Denkmal in Frankenburg. In Frankenburg, dem wunderschön auf der linken Seite des Preuss. Hells gelegenen Badeort der ostpreussischen Provinz Ostland,

steht, wie bekannt, das Begründer der neuen Astronomie, Kopernikus, zu Denkmal errichtet worden, da derselbe letzte Jahre in Frankenburg als evangelischer Prediger gelebt und dort auch in dem herrlichen Werke „De revolutionibus orbium coelestium“ seine Studien zum Abschluß gebracht hat. Das Denkmal soll auf der höchsten südlichen Höhe des Dorfbogens seinen Platz erhalten, wo von dem alten Markt aus der herrliche Ausblick über die Fläche des letzten Hells sich bietet. Mit dem Fundamentbauarbeiten zum Denkmal hat man jetzt begonnen. Daraus ist zu schließen, daß sich die Denkmalkommission endlich auf einen der angegebenen Entwürfe geeinigt hat. Kaiser Wilhelm, der sich als Kaiser Gymnasiallehrer selbst für dieses Kopernikus-Denkmal interessiert, hatte sich für einen Entwurf ausgesprochen, der im wesentlichen eine Pyramide auf hohem Sockel darstellt. Wie es scheint hat dieser Entwurf ziemlich allgemeinen Beifall gefunden, denn, wie im Obeliskens grundiert wird, soll das vorstehende beinahe der Frankenburgs Denkmal aus Bronze bilden, auf der die erste Stellung der Sonne im Kreis der Himmelskugel ausgedrückt ist. Diese Himmelskugel wird wohl an einer der vier Seiten der Pyramide angebracht werden. Wie voraussetzt, soll sich der stoffliche Zustand zum Frankenburgs Kopernikus-Denkmal auf 20000 Mk. belaufen.

Vorgeschichte für Freunde der Himmelsbeobachtung. Aus dem Leontineischen -Serus- und wie mehrere große und kleine sehr gut erhaltenen Formate zum Verkauf angeordnet worden. Freunden der Himmelsbeobachtung, welche die Anschaffung eines solchen Instrumentes beabsichtigen, und sich deshalb zu nach wenden, bis ich zu jeder gewünschten Ansicht bereit. Prof. Dr. KJara.

# Astronomischer Kalender für den Monat

## Februar 1908.

Tag	Sonne				Mond			
	Mittlere Berliner Zeit.				Mittlere Berliner Zeit.			
	Zeitgl. M.E.—W.E.	Entfernung	Declination		Entfernung	Declination	Stand im Meridian	
	h m s	h m s	° ' "	h m s	h m s	° ' "	h m	
1	11 53 43.79	22 27 42.08	— 27 13 17.6	0 53 53.0	+ 35 43 33.6	0 59 0		
2	11 53 43.79	22 27 42.08	— 27 13 17.6	0 53 53.0	+ 35 43 33.6	1 59 0		
3	11 53 43.79	22 27 42.08	— 27 13 17.6	0 53 53.0	+ 35 43 33.6	2 59 0		
4	11 53 43.79	22 27 42.08	— 27 13 17.6	0 53 53.0	+ 35 43 33.6	3 59 0		
5	11 53 43.79	22 27 42.08	— 27 13 17.6	0 53 53.0	+ 35 43 33.6	4 59 0		
6	11 53 43.79	22 27 42.08	— 27 13 17.6	0 53 53.0	+ 35 43 33.6	5 59 0		
7	11 53 43.79	22 27 42.08	— 27 13 17.6	0 53 53.0	+ 35 43 33.6	6 59 0		
8	11 53 43.79	22 27 42.08	— 27 13 17.6	0 53 53.0	+ 35 43 33.6	7 59 0		
9	11 53 43.79	22 27 42.08	— 27 13 17.6	0 53 53.0	+ 35 43 33.6	8 59 0		
10	11 53 43.79	22 27 42.08	— 27 13 17.6	0 53 53.0	+ 35 43 33.6	9 59 0		
11	11 53 43.79	22 27 42.08	— 27 13 17.6	0 53 53.0	+ 35 43 33.6	10 59 0		
12	11 53 43.79	22 27 42.08	— 27 13 17.6	0 53 53.0	+ 35 43 33.6	11 59 0		
13	11 53 43.79	22 27 42.08	— 27 13 17.6	0 53 53.0	+ 35 43 33.6	12 59 0		
14	11 53 43.79	22 27 42.08	— 27 13 17.6	0 53 53.0	+ 35 43 33.6	1 59 0		
15	11 53 43.79	22 27 42.08	— 27 13 17.6	0 53 53.0	+ 35 43 33.6	2 59 0		
16	11 53 43.79	22 27 42.08	— 27 13 17.6	0 53 53.0	+ 35 43 33.6	3 59 0		
17	11 53 43.79	22 27 42.08	— 27 13 17.6	0 53 53.0	+ 35 43 33.6	4 59 0		
18	11 53 43.79	22 27 42.08	— 27 13 17.6	0 53 53.0	+ 35 43 33.6	5 59 0		
19	11 53 43.79	22 27 42.08	— 27 13 17.6	0 53 53.0	+ 35 43 33.6	6 59 0		
20	11 53 43.79	22 27 42.08	— 27 13 17.6	0 53 53.0	+ 35 43 33.6	7 59 0		
21	11 53 43.79	22 27 42.08	— 27 13 17.6	0 53 53.0	+ 35 43 33.6	8 59 0		
22	11 53 43.79	22 27 42.08	— 27 13 17.6	0 53 53.0	+ 35 43 33.6	9 59 0		
23	11 53 43.79	22 27 42.08	— 27 13 17.6	0 53 53.0	+ 35 43 33.6	10 59 0		
24	11 53 43.79	22 27 42.08	— 27 13 17.6	0 53 53.0	+ 35 43 33.6	11 59 0		
25	11 53 43.79	22 27 42.08	— 27 13 17.6	0 53 53.0	+ 35 43 33.6	12 59 0		
26	11 53 43.79	22 27 42.08	— 27 13 17.6	0 53 53.0	+ 35 43 33.6	1 59 0		
27	11 53 43.79	22 27 42.08	— 27 13 17.6	0 53 53.0	+ 35 43 33.6	2 59 0		
28	11 53 43.79	22 27 42.08	— 27 13 17.6	0 53 53.0	+ 35 43 33.6	3 59 0		
29	11 53 43.79	22 27 42.08	— 27 13 17.6	0 53 53.0	+ 35 43 33.6	4 59 0		
30	11 53 43.79	22 27 42.08	— 27 13 17.6	0 53 53.0	+ 35 43 33.6	5 59 0		
31	11 53 43.79	22 27 42.08	— 27 13 17.6	0 53 53.0	+ 35 43 33.6	6 59 0		

### Planetenkonstellationen 1908

Februar	h	Min	Planet
1	10	4	Jupiter in Konjunktion mit dem Monde.
2	11	0	Merkur in größter östl. Induz. Breite.
3	12	0	Merkur in seiner Konjunktion mit der Sonne.
4	13	22	Mars in entgegengesetzten Konj.
5	14	35	Mars in Konjunktion mit dem Monde. (Einschlag).
6	15	11	Venus in Konjunktion mit dem Monde.
7	16	23	Merkur in Konjunktion mit dem Monde.
8	17	0	Saturn in Konjunktion mit dem Monde.
9	18	0	Jupiter in Opposition mit der Sonne.

## Plattener Ephemeriden.

Mittlerer Berliner Mittag							Mittlerer Berliner Mittag							
Jahr	Sonnenzeit			Ordnungszeit			Jahr	Sonnenzeit			Ordnungszeit			
	h	m	s	h	m	s		h	m	s	h	m	s	
1908.							1909.							
Merkur.							Saturn.							
Febr.	10	30	55	12.00	—	0 40 40	0 53	Febr.	10	30	55.50	—	0 40 40	0 53
	15	35	35	12.02	30	17 58 0	0 50		15	35	35.5	—	0 40 40	0 53
	20	35	15	12.03	55	0 42 0	0 47							
	25	32	5	12.05	57.00	0 40	4							
	28	30	1	12.05	—	0 40 12.00	39 30							
Venus.							Uranus.							
Febr.	10	12	55	12.00	—	11 50 40 0	10 53	Febr.	10	30	12.00	—	0 20 50 0	0 33
	15	20	15	12.01	50 18 18 4	10 57	15		20	15	12.04	—	0 20 50 0	0 33
	15	20	45	12.04	54 14 54 0	10 9								
20	17	9	12.05	57 10 52 0	10 9									
25	15	35	0 50 0	—	10 10 20 0	10 14								
Mars.							Neptun.							
Febr.	10	17	0	12.00	—	01 45 30 0	10 0	Febr.	10	30	12.00	—	0 45 30 0	0 44
	15	17	55	12.01	55 0 40 0	00 9	15		30	55	12.04	—	0 45 30 0	0 44
	20	17	54	12.03	55 23 30 1	0 10 57								
	25	17	45	12.04	55 20 0 0	0 10 50								
	28	16	4	12.04	—	00 47 50 0	10 10							
Jupiter.							Mondphasen.							
Febr.	10	18	55	12.00	0 1 44 50 0	10 50	Febr.	10	12	10 0	Vollmond			
	20	18	55	12.05	0 1 46 50 0	10 53		12	0	10 0	Letzter Viertel.			
								15	55	10 1	Neumond.			
								20	15	10 1	Erster Viertel.			
								27	10	—	Mond in Entfernung.			
								29	10	—	Mond in Erdnähe.			

## Sonneneinstrahlungen durch den Mond für Berlin 1908.

Monatstag	Sonnenzeit	Ordnungszeit	Sonnenzeit		Ordnungszeit		
			h	m	h	m	
Febr. 10	12.00	0 1 44 50 0	14	55 1	16	50 4	
21	12.05	0 1 46 50 0	4	55 1	0	50 4	18.2

Febr. 1. Mittlere Größe der Exzentrizität.  
 1908 1909  
 1909 1910  
 Halbmesser der Sonne  
 Parallaxe

1908 1909  
 1909 1910  
 1910 1911  
 1911 1912

Stellungen der Japlanomede im Februar 1909.

I.



III.



II.



IV.



Stellungen um 15<sup>h</sup> für den Anlauf im astronomischen Fernrohr.

Tag	West	East
1	1 0 1	1 0 1
2	1 0 1	1 0 1
3	1 0 1	1 0 1
4	1 0 1	1 0 1
5	1 0 1	1 0 1
6	1 0 1	1 0 1
7	1 0 1	1 0 1
8	1 0 1	1 0 1
9	1 0 1	1 0 1
10	1 0 1	1 0 1
11	1 0 1	1 0 1
12	1 0 1	1 0 1
13	1 0 1	1 0 1
14	1 0 1	1 0 1
15	1 0 1	1 0 1
16	1 0 1	1 0 1
17	1 0 1	1 0 1
18	1 0 1	1 0 1
19	1 0 1	1 0 1
20	1 0 1	1 0 1
21	1 0 1	1 0 1
22	1 0 1	1 0 1
23	1 0 1	1 0 1
24	1 0 1	1 0 1
25	1 0 1	1 0 1
26	1 0 1	1 0 1
27	1 0 1	1 0 1
28	1 0 1	1 0 1



Ercheinungen der Jupitermonde. Die chronischen Angaben über die Ercheinungen der Jupitermonde beziehen sich auf mittlere Zeit von Greenwich. Die Tabellen sind der Reihenfolge ihres Abstandes vom Jupiter nach auf- bis IV hin geordnet. Die vier größten Figuren zeigen die Stellung jedes Mondes mit Bezug auf den Jupiter bei dem Augenblicke der Verfinsternng (M) oder des Wiedererscheinens (W) bei  $r$  nicht angegeben, so kann der Ausfall aus dem Schatten nicht beobachtet worden. Ferner bedeutet bei den nachfolgenden Zeinangaben:

- Je D das Verschwinden des Trabanten im Schatten des Jupiter.
- Je R den Austritt des Trabanten aus dem Schatten des Jupiter.
- Co D das Verschwinden des Trabanten hinter der Jupiterscheibe.
- Co R den Wiedereintritt desselben vor der Jupiterscheibe.
- Tr I den Eintritt des Trabanten vor die Jupiterscheibe.
- Tr E den Austritt des Trabanten aus der Jupiterscheibe.
- gh I den Eintritt des Trabantenschattens auf die Jupiterscheibe.
- gh E den Austritt des Trabantenschattens aus der Jupiterscheibe.

Es sind nur diejenigen Erscheinungen der Jupitermonde aufgeführt, welche sich ergiebt, wenn Jupiter zu Greenwich oder auf die Sonne unter dem Horizonte steht. Um die Momente dieser Erscheinungen nach weltchronologischer Zeit zu finden, so man nur nötig,  $P^m$  zu den angegebenen Zeitangaben zu addiren.

1908 Februar 1 III Je D 12<sup>h</sup> 51<sup>m</sup> 30<sup>s</sup>. III Co R 12<sup>h</sup> 50<sup>m</sup>. Februar 2. I Je D 12<sup>h</sup> 32<sup>m</sup> 37<sup>s</sup>. Februar 2. I Je D 12<sup>h</sup> 30<sup>m</sup>. I Tr I 12<sup>h</sup> 31<sup>m</sup>. I Je E 12<sup>h</sup> 30<sup>m</sup>. I Tr E 12<sup>h</sup> 31<sup>m</sup>. Februar 4. I Je D 12<sup>h</sup> 48<sup>m</sup> 47<sup>s</sup>. I Co R 12<sup>h</sup> 48<sup>m</sup>. II Je D 12<sup>h</sup> 47<sup>m</sup>. II Tr I 12<sup>h</sup> 47<sup>m</sup>. II Je E 12<sup>h</sup> 47<sup>m</sup>. I Tr E 12<sup>h</sup> 47<sup>m</sup>. Februar 5. I Je D 12<sup>h</sup> 47<sup>m</sup>. I Co R 12<sup>h</sup> 47<sup>m</sup>. II Je D 12<sup>h</sup> 47<sup>m</sup> 18<sup>s</sup>. II Co R 12<sup>h</sup> 47<sup>m</sup>. Februar 6. I Je D 12<sup>h</sup> 47<sup>m</sup> 18<sup>s</sup>. I Co R 12<sup>h</sup> 47<sup>m</sup> 18<sup>s</sup>. II Je D 12<sup>h</sup> 47<sup>m</sup> 18<sup>s</sup>. II Co R 12<sup>h</sup> 47<sup>m</sup> 18<sup>s</sup>. Februar 8. I Je D 12<sup>h</sup> 47<sup>m</sup> 18<sup>s</sup>. I Co R 12<sup>h</sup> 47<sup>m</sup> 18<sup>s</sup>. II Je D 12<sup>h</sup> 47<sup>m</sup> 18<sup>s</sup>. II Co R 12<sup>h</sup> 47<sup>m</sup> 18<sup>s</sup>. Februar 10. I Je D 12<sup>h</sup> 47<sup>m</sup> 18<sup>s</sup>. I Co R 12<sup>h</sup> 47<sup>m</sup> 18<sup>s</sup>. II Je D 12<sup>h</sup> 47<sup>m</sup> 18<sup>s</sup>. II Co R 12<sup>h</sup> 47<sup>m</sup> 18<sup>s</sup>. Februar 12. I Je D 12<sup>h</sup> 47<sup>m</sup> 18<sup>s</sup>. I Co R 12<sup>h</sup> 47<sup>m</sup> 18<sup>s</sup>. II Je D 12<sup>h</sup> 47<sup>m</sup> 18<sup>s</sup>. II Co R 12<sup>h</sup> 47<sup>m</sup> 18<sup>s</sup>. Februar 14. I Je D 12<sup>h</sup> 47<sup>m</sup> 18<sup>s</sup>. I Co R 12<sup>h</sup> 47<sup>m</sup> 18<sup>s</sup>. II Je D 12<sup>h</sup> 47<sup>m</sup> 18<sup>s</sup>. II Co R 12<sup>h</sup> 47<sup>m</sup> 18<sup>s</sup>. Februar 16. I Je D 12<sup>h</sup> 47<sup>m</sup> 18<sup>s</sup>. I Co R 12<sup>h</sup> 47<sup>m</sup> 18<sup>s</sup>. II Je D 12<sup>h</sup> 47<sup>m</sup> 18<sup>s</sup>. II Co R 12<sup>h</sup> 47<sup>m</sup> 18<sup>s</sup>. Februar 18. I Je D 12<sup>h</sup> 47<sup>m</sup> 18<sup>s</sup>. I Co R 12<sup>h</sup> 47<sup>m</sup> 18<sup>s</sup>. II Je D 12<sup>h</sup> 47<sup>m</sup> 18<sup>s</sup>. II Co R 12<sup>h</sup> 47<sup>m</sup> 18<sup>s</sup>. Februar 20. I Je D 12<sup>h</sup> 47<sup>m</sup> 18<sup>s</sup>. I Co R 12<sup>h</sup> 47<sup>m</sup> 18<sup>s</sup>. II Je D 12<sup>h</sup> 47<sup>m</sup> 18<sup>s</sup>. II Co R 12<sup>h</sup> 47<sup>m</sup> 18<sup>s</sup>. Februar 22. I Je D 12<sup>h</sup> 47<sup>m</sup> 18<sup>s</sup>. I Co R 12<sup>h</sup> 47<sup>m</sup> 18<sup>s</sup>. II Je D 12<sup>h</sup> 47<sup>m</sup> 18<sup>s</sup>. II Co R 12<sup>h</sup> 47<sup>m</sup> 18<sup>s</sup>. Februar 24. I Je D 12<sup>h</sup> 47<sup>m</sup> 18<sup>s</sup>. I Co R 12<sup>h</sup> 47<sup>m</sup> 18<sup>s</sup>. II Je D 12<sup>h</sup> 47<sup>m</sup> 18<sup>s</sup>. II Co R 12<sup>h</sup> 47<sup>m</sup> 18<sup>s</sup>. Februar 26. I Je D 12<sup>h</sup> 47<sup>m</sup> 18<sup>s</sup>. I Co R 12<sup>h</sup> 47<sup>m</sup> 18<sup>s</sup>. II Je D 12<sup>h</sup> 47<sup>m</sup> 18<sup>s</sup>. II Co R 12<sup>h</sup> 47<sup>m</sup> 18<sup>s</sup>. Februar 28. I Je D 12<sup>h</sup> 47<sup>m</sup> 18<sup>s</sup>. I Co R 12<sup>h</sup> 47<sup>m</sup> 18<sup>s</sup>. II Je D 12<sup>h</sup> 47<sup>m</sup> 18<sup>s</sup>. II Co R 12<sup>h</sup> 47<sup>m</sup> 18<sup>s</sup>.

Die Saturnumonde sind von Februar bis Mai 1908 nicht zu beobachten.



Tafel 100

Nord

Die Mondagenden  
nach einer Photographie der Pacific States Co.

1910



